

調査写真



写真-1-1 山方 Lアレイ観測点 L1



写真-1-2 山方 Lアレイ観測点 L2



写真-1-3 山方 Lアレイ観測点 L3



写真-1-4 山方 Lアレイ観測点 L4



写真-1-5 山方 Lアレイ観測点 L5



写真-1-6 山方 Lアレイ観測点 L6



写真-1-7 山方 Lアレイ観測点 L7



写真-1-8 山方 Mアレイ観測点 M1



写真-1-9 山方 Mアレイ観測点 M2



写真-1-10 山方 Mアレイ観測点 M3



写真-1-11 山方 Mアレイ観測点 M4



写真-1-12 山方 Mアレイ観測点 M5



写真-1-13 山方 Mアレイ観測点 M6



写真-1-14 山方 Mアレイ観測点 M7



写真-1-15 山方 Sアレイ観測点 S1



写真-1-16 山方 Sアレイ観測点 S2



写真-1-17 山方 Sアレイ観測点 S3



写真-1-18 山方 Sアレイ観測点 S4



写真-1-19 山方 Sアレイ観測点 S5



写真-1-20 山方 Sアレイ観測点 S6



写真-1-21 山方 Sアレイ観測点 S7



写真-2-1 大宮 Lアレイ観測点 L1



写真-2-2 大宮 Lアレイ観測点 L2



写真-2-3 大宮 Lアレイ観測点 L3



写真-2-4 大宮 Lアレイ観測点 L4



写真-2-5 大宮 Lアレイ観測点 L5



写真-2-6 大宮 Lアレイ観測点 L6



写真-2-7 大宮 Lアレイ観測点 L7



写真-2-8 大宮 Mアレイ観測点 M1



写真-2-9 大宮 Mアレイ観測点 M2



写真-2-10 大宮 Mアレイ観測点 M3



写真-2-11 大宮 Mアレイ観測点 M4



写真-2-12 大宮 Mアレイ観測点 M5



写真-2-13 大宮 Mアレイ観測点 M6



写真-2-14 大宮 Mアレイ観測点 M7



写真-2-15 大宮 S アレイ観測点 S1



写真-2-16 大宮 S アレイ観測点 S2



写真-2-17 大宮 Sアレイ観測点 S3



写真-2-18 大宮 Sアレイ観測点 S4



写真-2-19 大宮 Sアレイ観測点 S5



写真-2-20 大宮 Sアレイ観測点 S6



写真-2-21 大宮 S アレイ観測点 S7



写真-3-1 高萩 Lアレイ観測点 L1



写真-3-2 高萩 Lアレイ観測点 L2



写真-3-3 高萩 Lアレイ観測点 L3



写真-3-4 高萩 Lアレイ観測点 L4



写真-3-5 高萩 Lアレイ観測点 L5



写真-3-6 高萩 Lアレイ観測点 L6



写真-3-7 高萩 Lアレイ観測点 L7



写真-3-8 高萩 Mアレイ観測点 M1



写真-3-9 高萩 Mアレイ観測点 M2



写真-3-10 高萩 Mアレイ観測点 M3



写真-3-11 高萩 Mアレイ観測点 M4



写真-3-12 高萩 Mアレイ観測点 M5



写真-3-13 高萩 Mアレイ観測点 M6



写真-3-14 高萩 Mアレイ観測点 M7



写真-3-15 高萩 Sアレイ観測点 S1



写真-3-16 高萩 Sアレイ観測点 S2



写真-3-17 高萩 Sアレイ観測点 S3



写真-3-18 高萩 Sアレイ観測点 S4



写真-3-19 高萩 Sアレイ観測点 S5



写真-3-20 高萩 Sアレイ観測点 S6



写真-3-21 高萩 Sアレイ観測点 S7



写真-4-1 日立 L アレイ観測点 L1



写真-4-2 日立 L アレイ観測点 L2



写真-4-3 日立 Lアレイ観測点 L3



写真-4-4 日立 Lアレイ観測点 L4



写真-4-5 日立 Lアレイ観測点 L5



写真-4-6 日立 Lアレイ観測点 L6



写真-4-7 日立 L アレイ観測点 L7



写真-4-8 日立 M アレイ観測点 M1



写真-4-9 日立 Mアレイ観測点 M2



写真-4-10 日立 Mアレイ観測点 M3



写真-4-11 日立 Mアレイ観測点 M4



写真-4-12 日立 Mアレイ観測点 M5



写真-4-13 日立 Mアレイ観測点 M6



写真-4-14 日立 Mアレイ観測点 M7



写真-4-15 日立 Sアレイ観測点 S1



写真-4-16 日立 Sアレイ観測点 S2



写真-4-17 日立 Sアレイ観測点 S3



写真-4-18 日立 Sアレイ観測点 S4



写真-4-19 日立 Sアレイ観測点 S5



写真-4-20 日立 Sアレイ観測点 S6



写真-4-21 日立 Sアレイ観測点 S7

調査データ記録簿

1. 山方微動アレイ観測における観測日時および観測点座標

表 1.1 山方微動アレイ観測の観測日時

アレイ	年月日	時間
L	2017/07/25	10:10-11:40
M	2017/07/25	12:25-13:25
S	2017/07/25	13:50-14:35

表 1.2 山方微動 L、M、S アレイ観測の観測点座標

St.	緯度	経度	St.	緯度	経度	St.	緯度	経度
No.	[°]	[°]	No.	[°]	[°]	No.	[°]	[°]
L1	36.634674	140.401649	M1	36.636042	140.400443	S1	36.636066	140.399949
L2	36.630467	140.399150	M2	36.636983	140.399817	S2	36.636299	140.399813
L3	36.638410	140.398910	M3	36.635900	140.401810	S3	36.636040	140.400298
L4	36.634550	140.407006	M4	36.635133	140.399679	S4	36.635830	140.399756
L5	36.634530	140.398700	M5	36.636390	140.399780	S5	36.636146	140.399798
L6	36.636760	140.402880	M6	36.635890	140.400450	S6	36.636069	140.399839
L7	36.632690	140.403690	M7	36.635763	140.399733	S7	36.635984	140.399774

2. 大宮微動アレイ観測における観測日時および観測点座標

表 2.1 大宮微動アレイ観測の観測日時

アレイ	年月日	時間
L	2017/07/26	10:05-11:35
M	2017/07/26	12:45-13:45
S	2017/07/26	14:20-15:05

表 2.2 大宮微動 L、M、S アレイ観測の観測点座標

St.	緯度	経度	St.	緯度	経度	St.	緯度	経度
No.	[°]	[°]	No.	[°]	[°]	No.	[°]	[°]
L1	36.545844	140.417712	M1	36.552063	140.411683	S1	36.552733	140.409234
L2	36.791700	140.779300	M2	36.552300	140.411000	S2	36.552948	140.409421
L3	36.550550	140.417830	M3	36.552420	140.412630	S3	36.552499	140.409357
L4	36.543775	140.422451	M4	36.551226	140.411706	S4	36.552771	140.408895
L5	36.546970	140.414910	M5	36.552120	140.411180	S5	36.552884	140.409246
L6	36.546920	140.420160	M6	36.551900	140.411430	S6	36.552823	140.409181
L7	36.543400	140.417500	M7	36.551614	140.411441	S7	36.552824	140.409060

3. 高萩微動アレイ観測における観測日時および観測点座標

表 3.1 高萩微動アレイ観測の観測日時

アレイ	年月日	時間
L	2017/07/27	07:50-09:20
M	2017/07/27	05:00-06:00
S	2017/07/27	06:25-07:10

表 36 高萩微動 L、M、S アレイ観測の観測点座標

St.	緯度	経度	St.	緯度	経度	St.	緯度	経度
No.	[°]	[°]	No.	[°]	[°]	No.	[°]	[°]
L1	36.712353	140.709540	M1	36.712333	140.709798	S1	36.712977	140.708420
L2	36.711300	140.705000	M2	36.713168	140.709677	S2	36.712919	140.708081
L3	36.716010	140.710410	M3	36.711920	140.710840	S3	36.713241	140.708517
L4	36.709960	140.712820	M4	36.711739	140.708847	S4	36.712771	140.708651
L5	36.713610	140.707810	M5	36.712680	140.707390	S5	36.712866	140.708267
L6	36.711282	140.711800	M6	36.712400	140.709440	S6	36.712898	140.708386
L7	36.710640	140.709120	M7	36.712224	140.709135	S7	36.712824	140.708458

4. 日立アレイ観測における観測日時および観測点座標

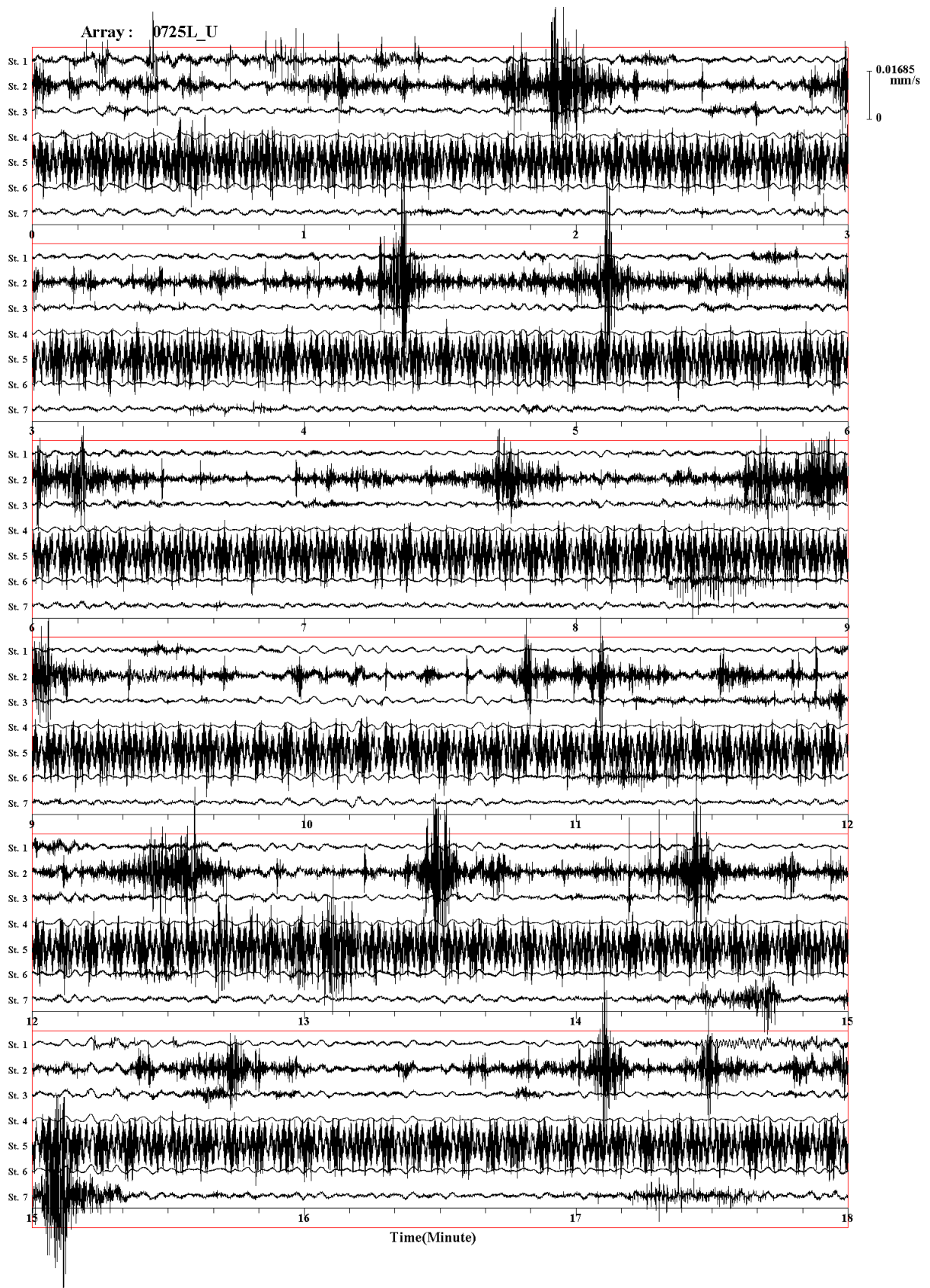
表 4.1 日立微動アレイ観測の観測日時

アレイ	年月日	時間
L	2017/07/27	21:15-22:30
M	2017/07/27	23:20-24:20
S	2017/07/28	10:10-10:55

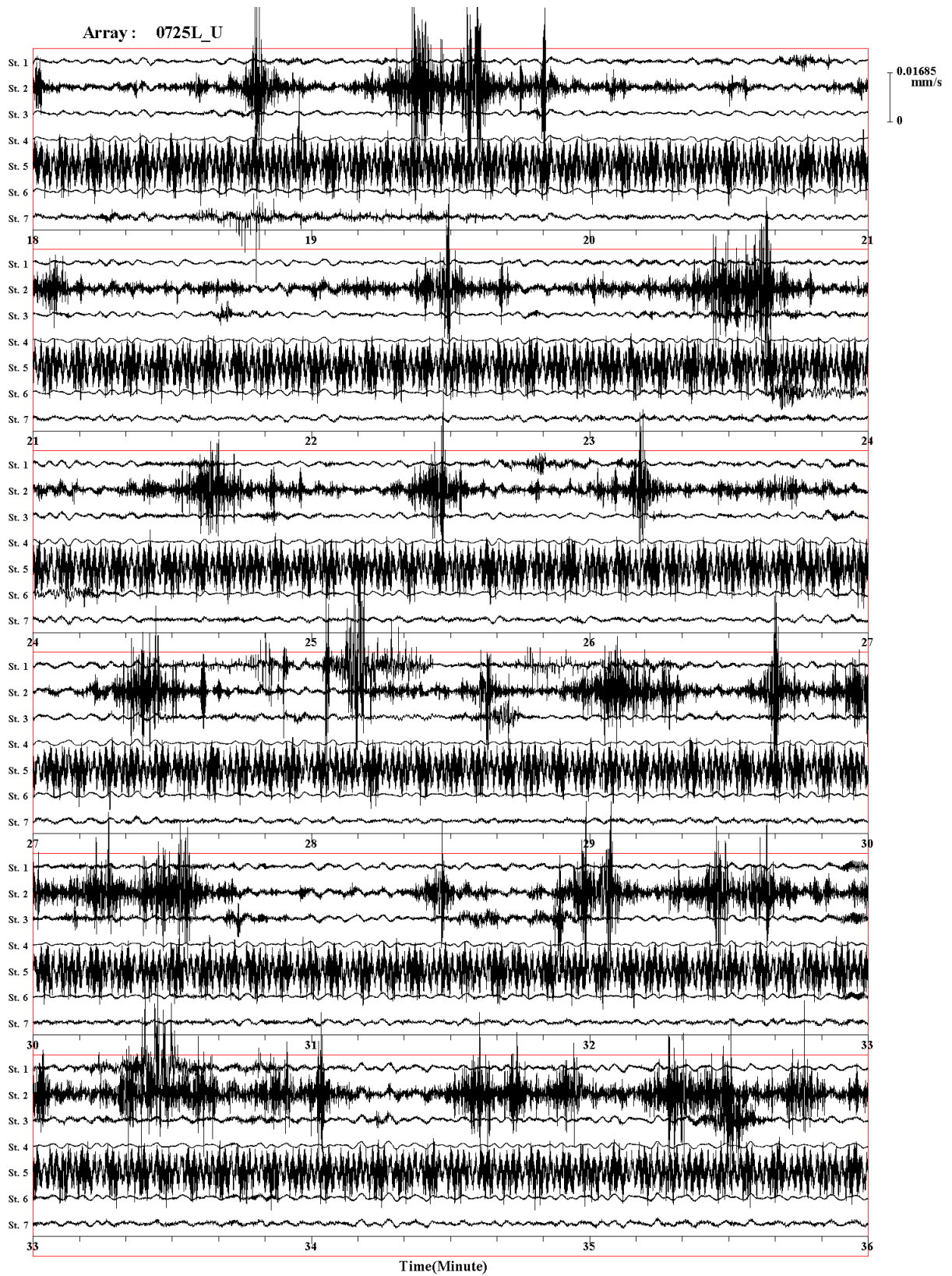
表 4.2 日立微動 L, M と S アレイの観測点座標

St.	緯度	経度	St.	緯度	経度	St.	緯度	経度
No.	[°]	[°]	No.	[°]	[°]	No.	[°]	[°]
L1	36.592699	140.652539	M1	36.591870	140.650160	S1	36.592368	140.646274
L2	36.591900	140.648800	M2	36.591930	140.649010	S2	36.592312	140.646599
L3	36.596030	140.653170	M3	36.592690	140.650790	S3	36.592166	140.646051
L4	36.592982	140.656650	M4	36.590990	140.650710	S4	36.592642	140.646174
L5	36.594010	140.650920	M5	36.592300	140.649870	S5	36.592420	140.646462
L6	36.593090	140.654700	M6	36.591810	140.650690	S6	36.592439	140.646348
L7	36.591780	140.652730	M7	36.591470	140.649830	S7	36.592528	140.646311

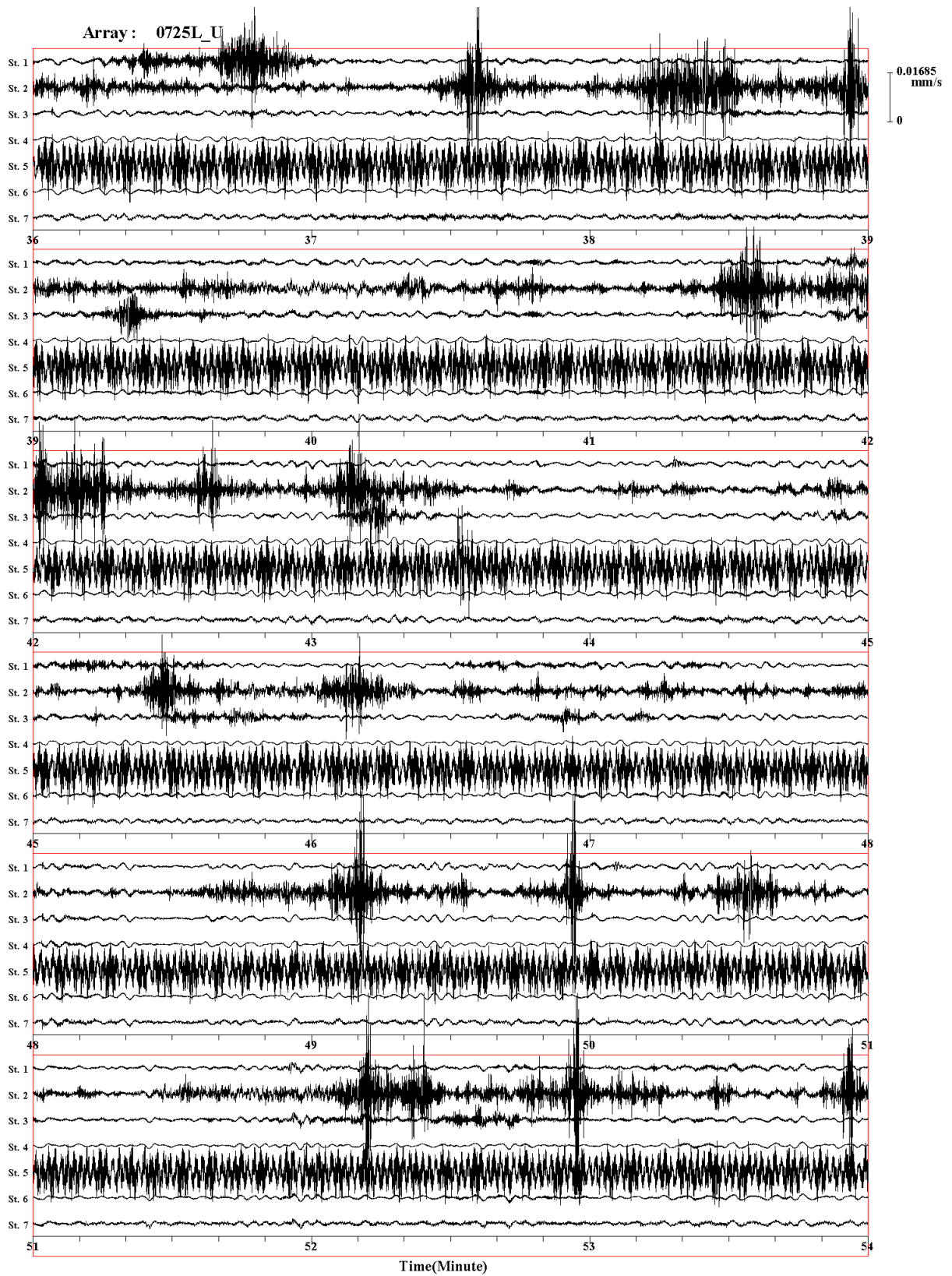
觀測微動波形



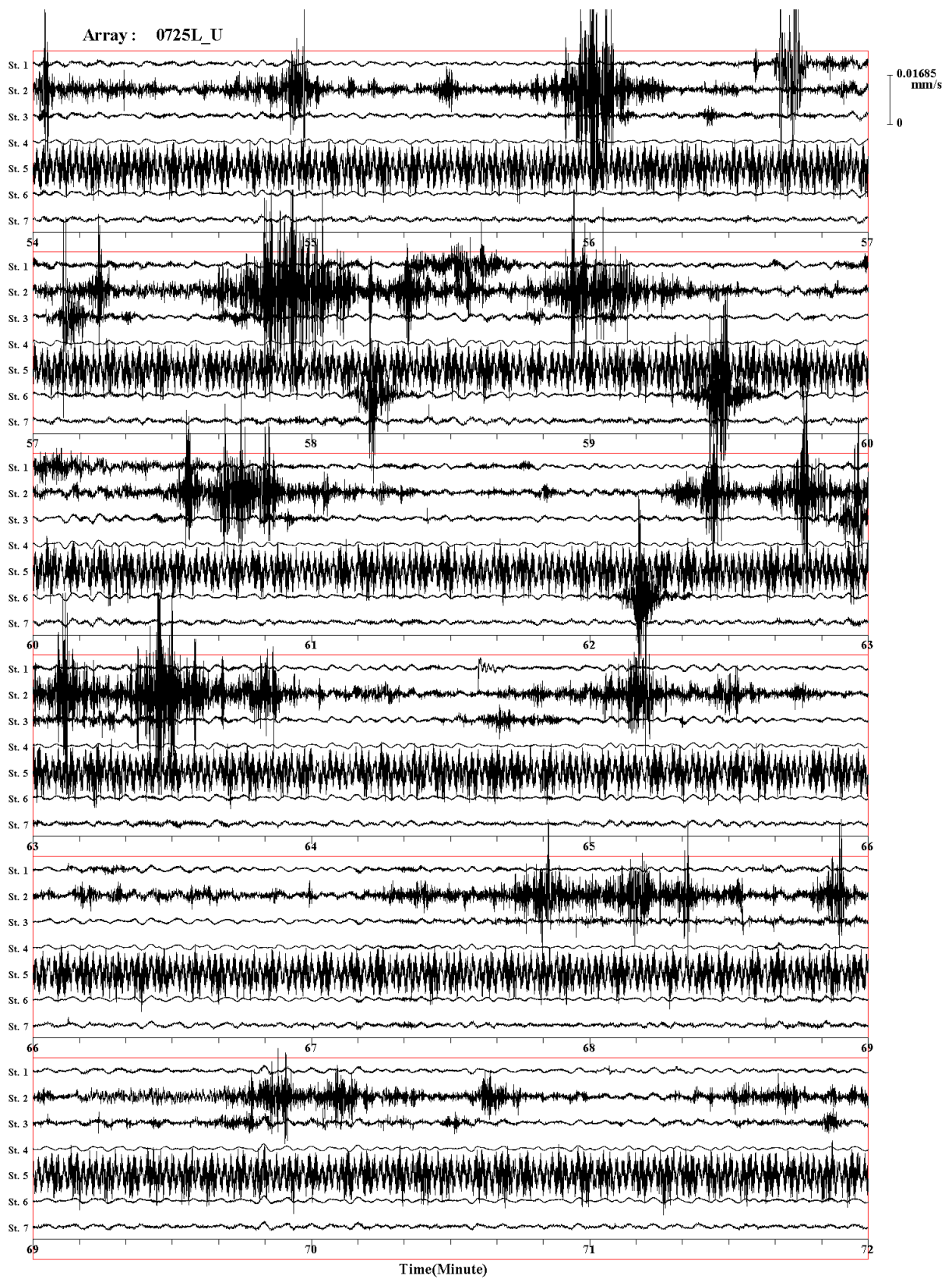
付図 1-1a-(1) 山方 L アレイにおける観測微動波形(07/25 10:10-11:40)



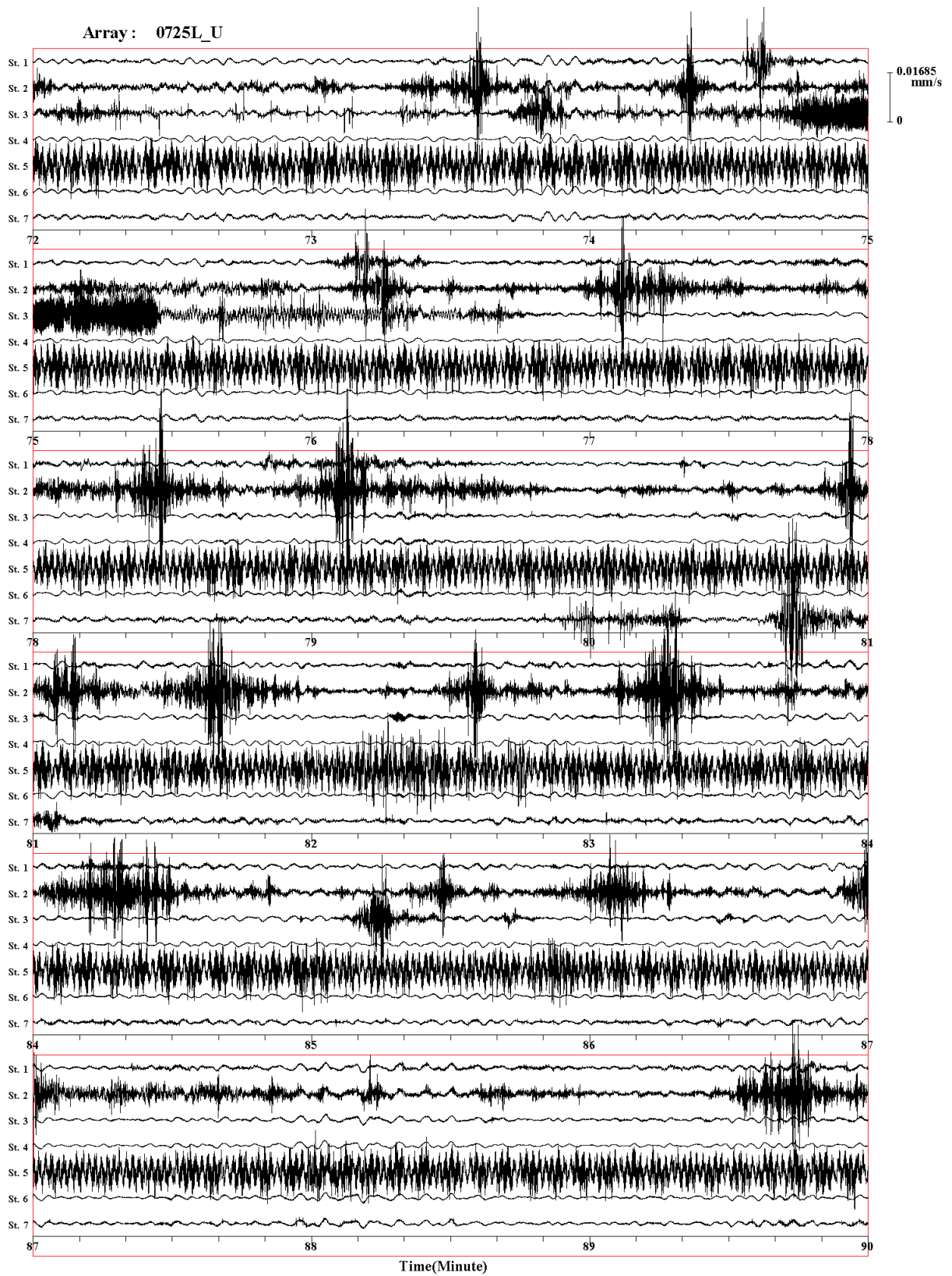
付図 1-1a-(2) 山方 L アレイにおける観測微動波形(07/25 10:10-11:40)



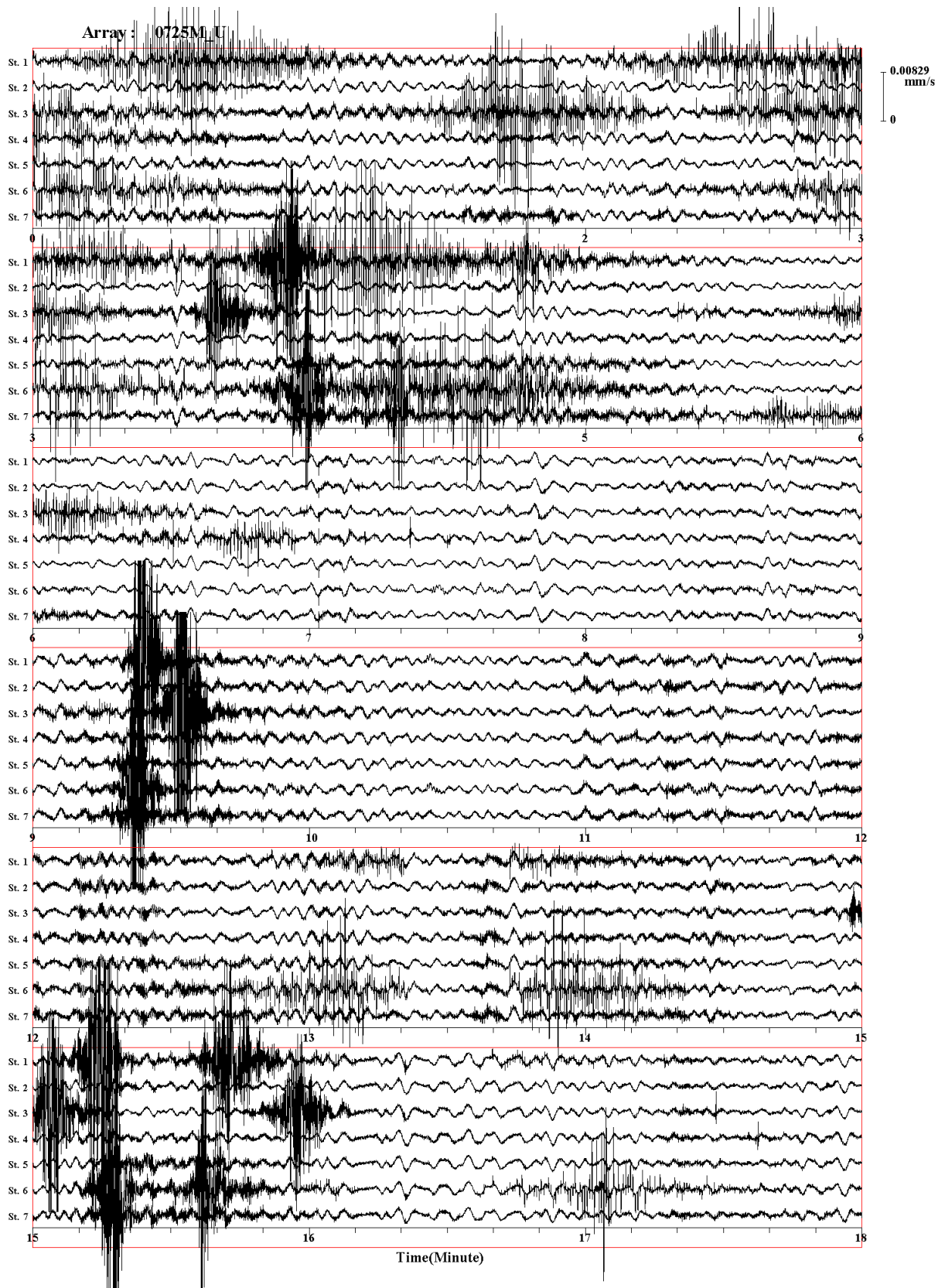
付図 1-1a-(3) 山方 L アレイにおける観測微動波形(07/25 10:10-11:40)



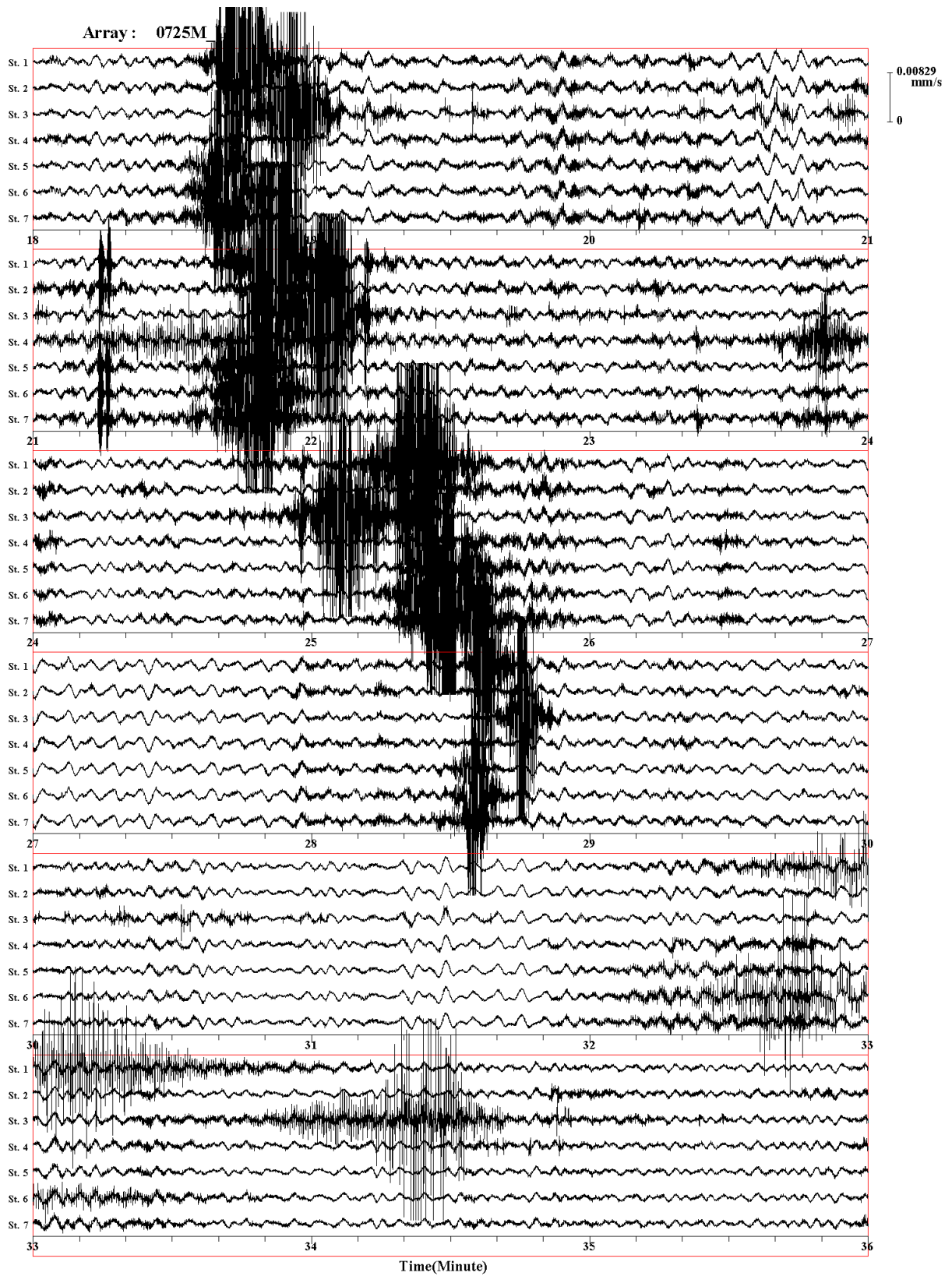
付図 1-1a-(4) 山方 L アレイにおける観測微動波形(07/25 10:10-11:40)



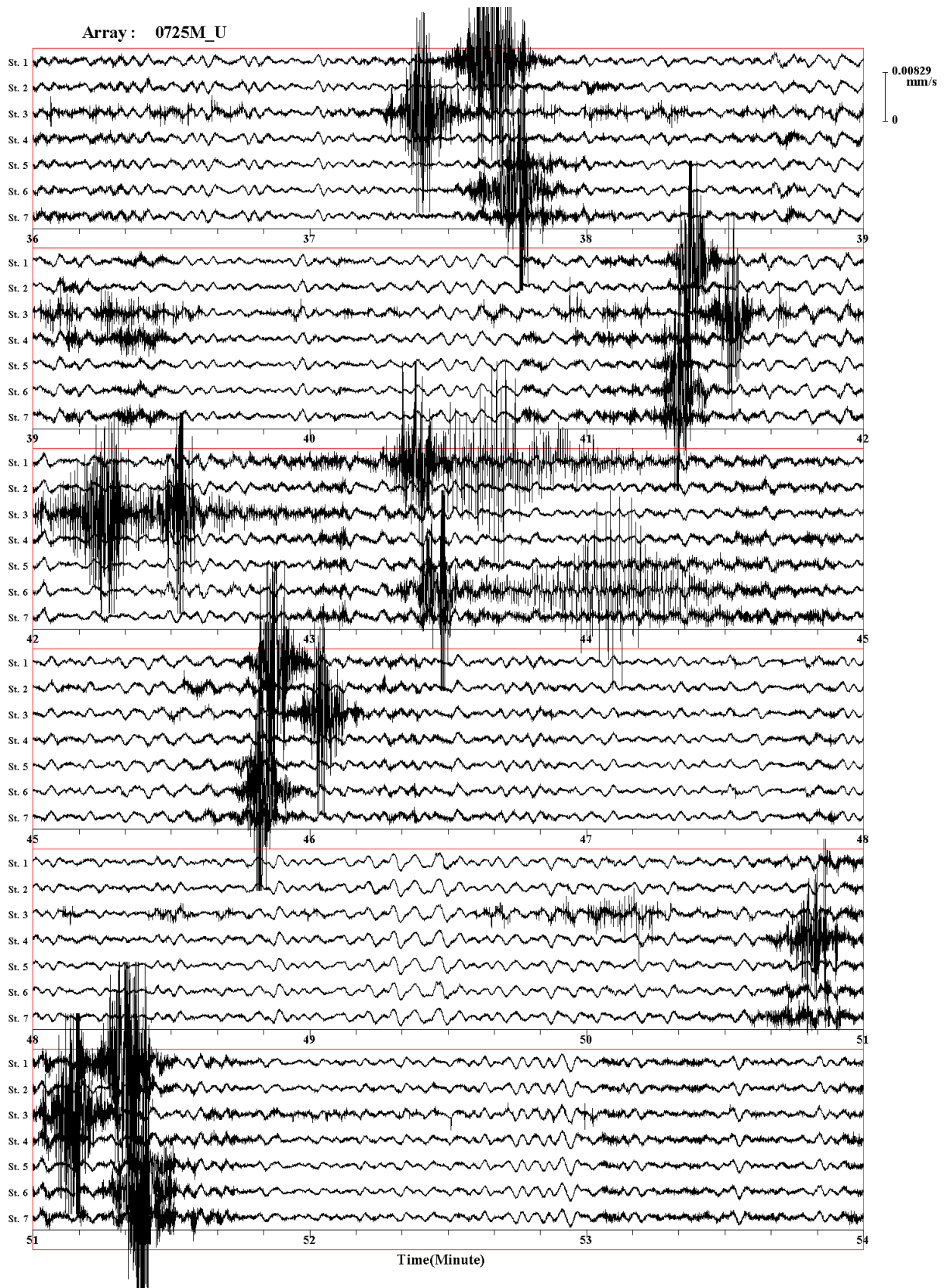
付図 1-1a-(5) 山方 L アレイにおける観測微動波形(07/25 10:10-11:40)



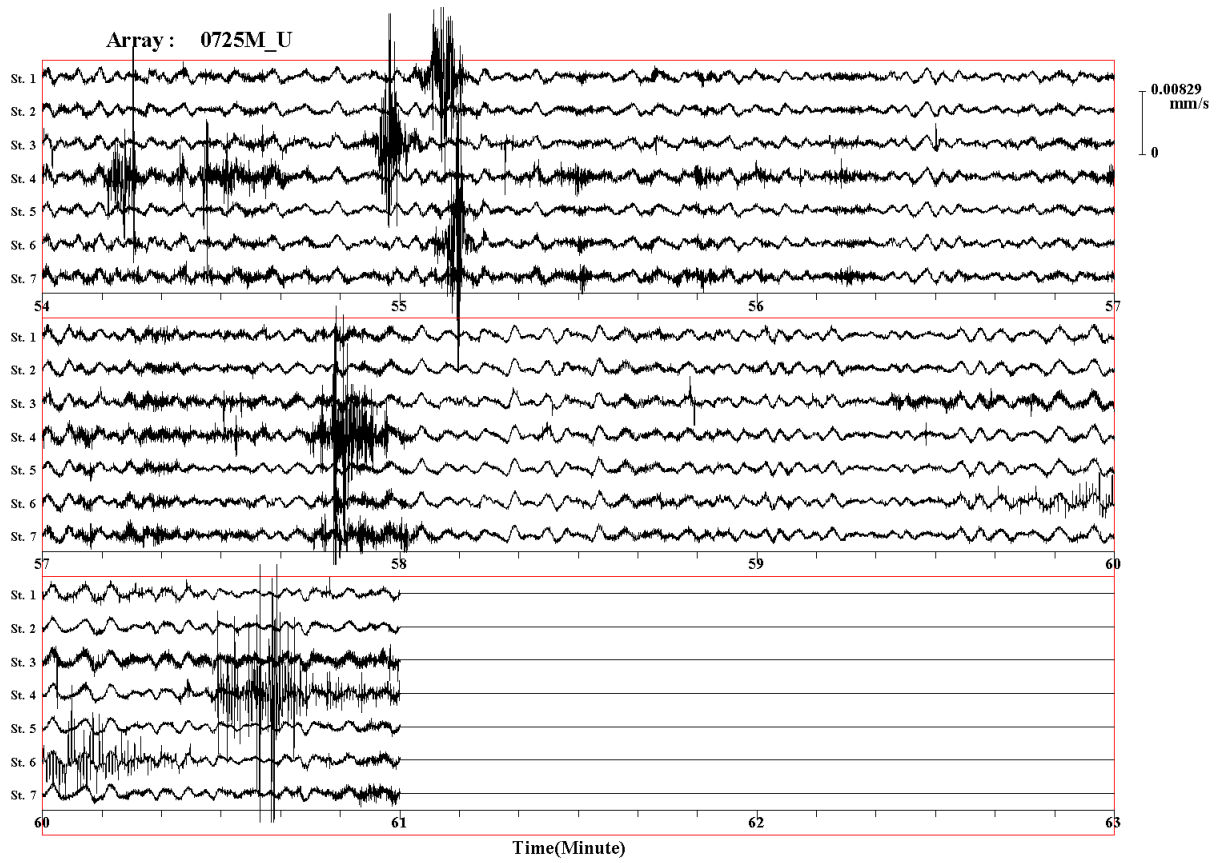
付図 1-1b-(1) 山方 M アレイにおける観測微動波形(07/25 12:25-13:25)



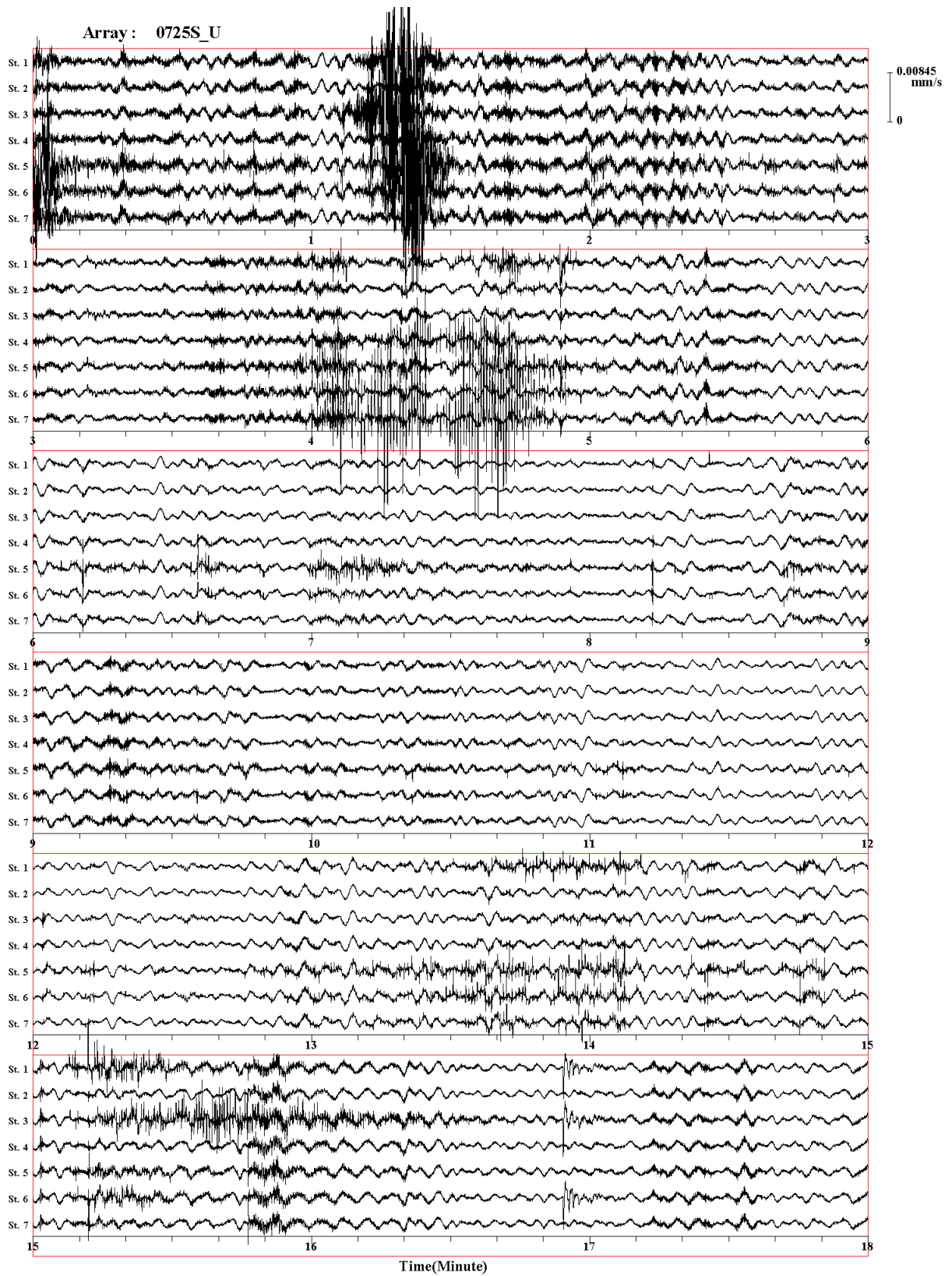
付図 1-1b-(2) 山方 M アレイにおける観測微動波形(07/25 12:25-13:25)



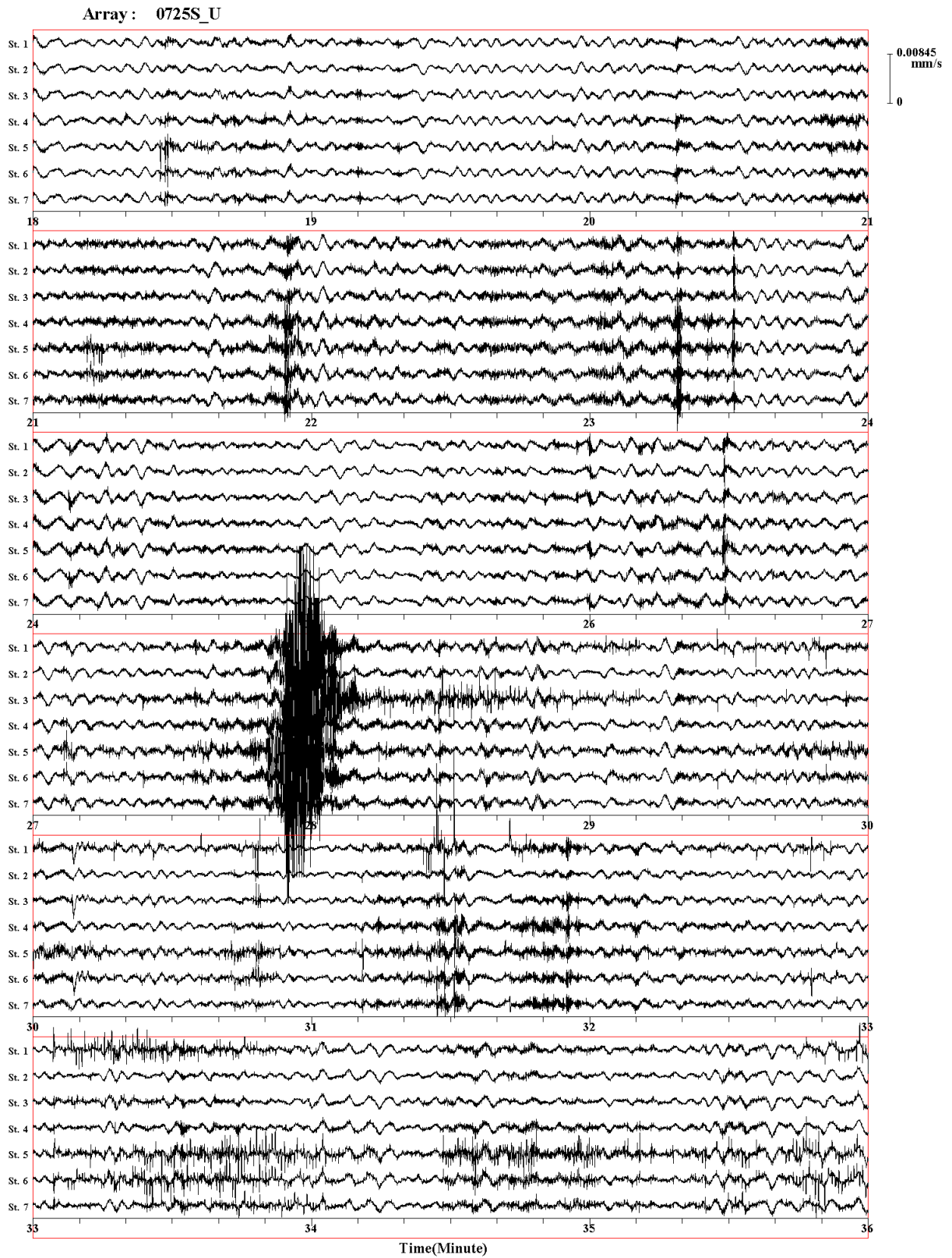
付図 1-1b-(3) 山方 M アレイにおける観測微動波形(07/25 12:25-13:25)



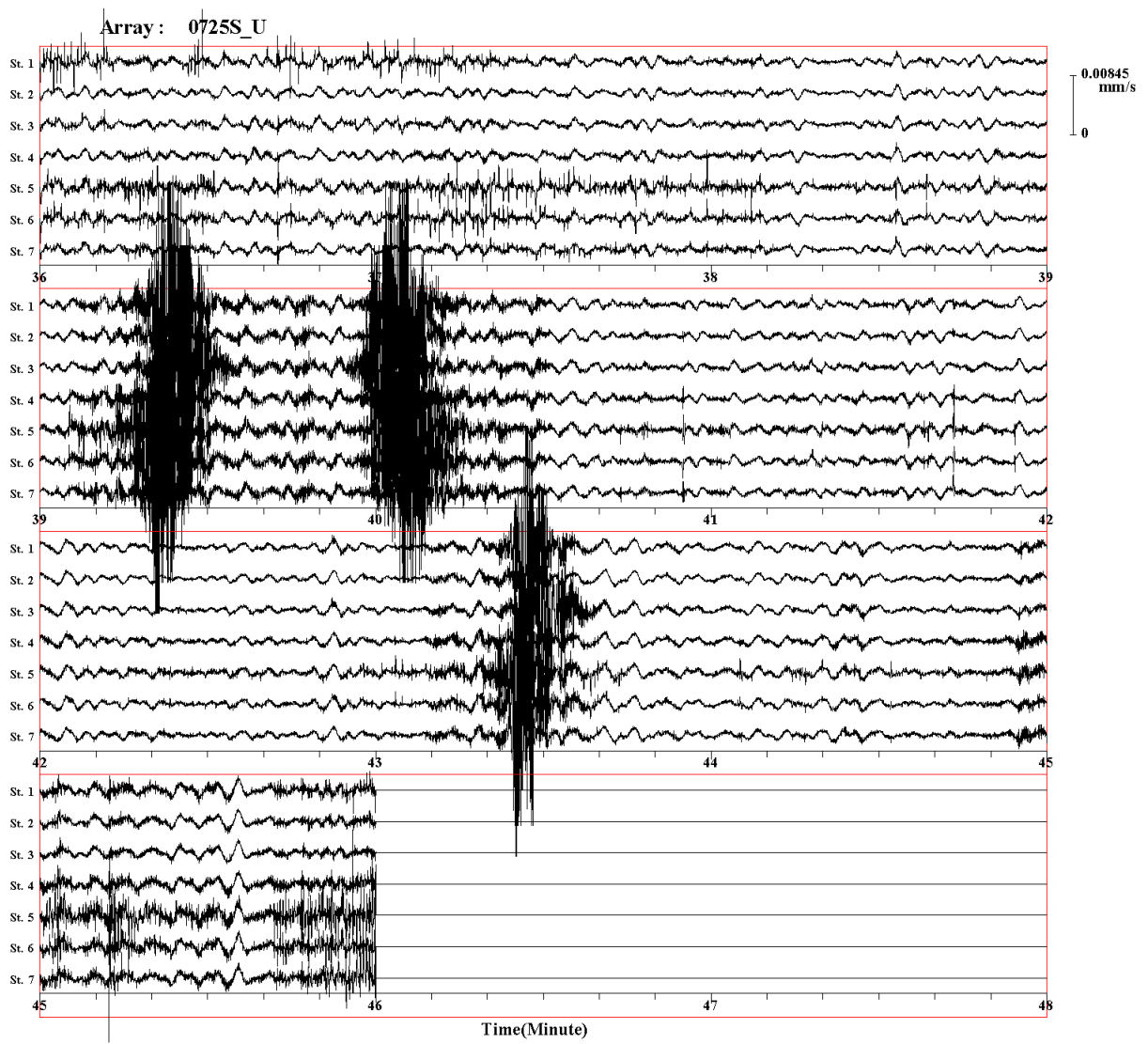
付図 1-1b-(4) 山方 M アレイにおける観測微動波形(07/25 12:25-13:25)



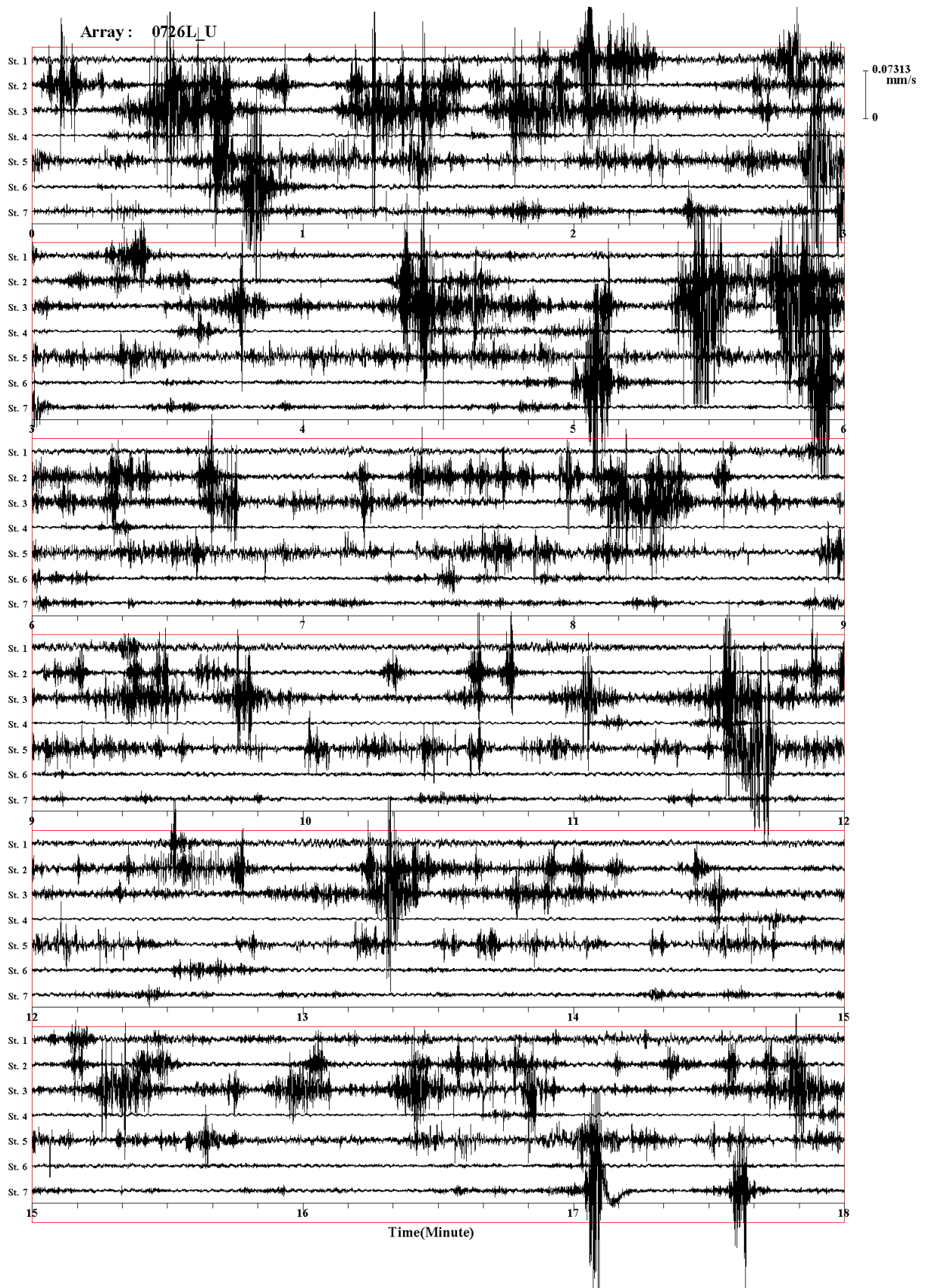
付図 1-1c-(1) 山方 S アレイにおける観測微動波形 (07/25 13:50-14:35)



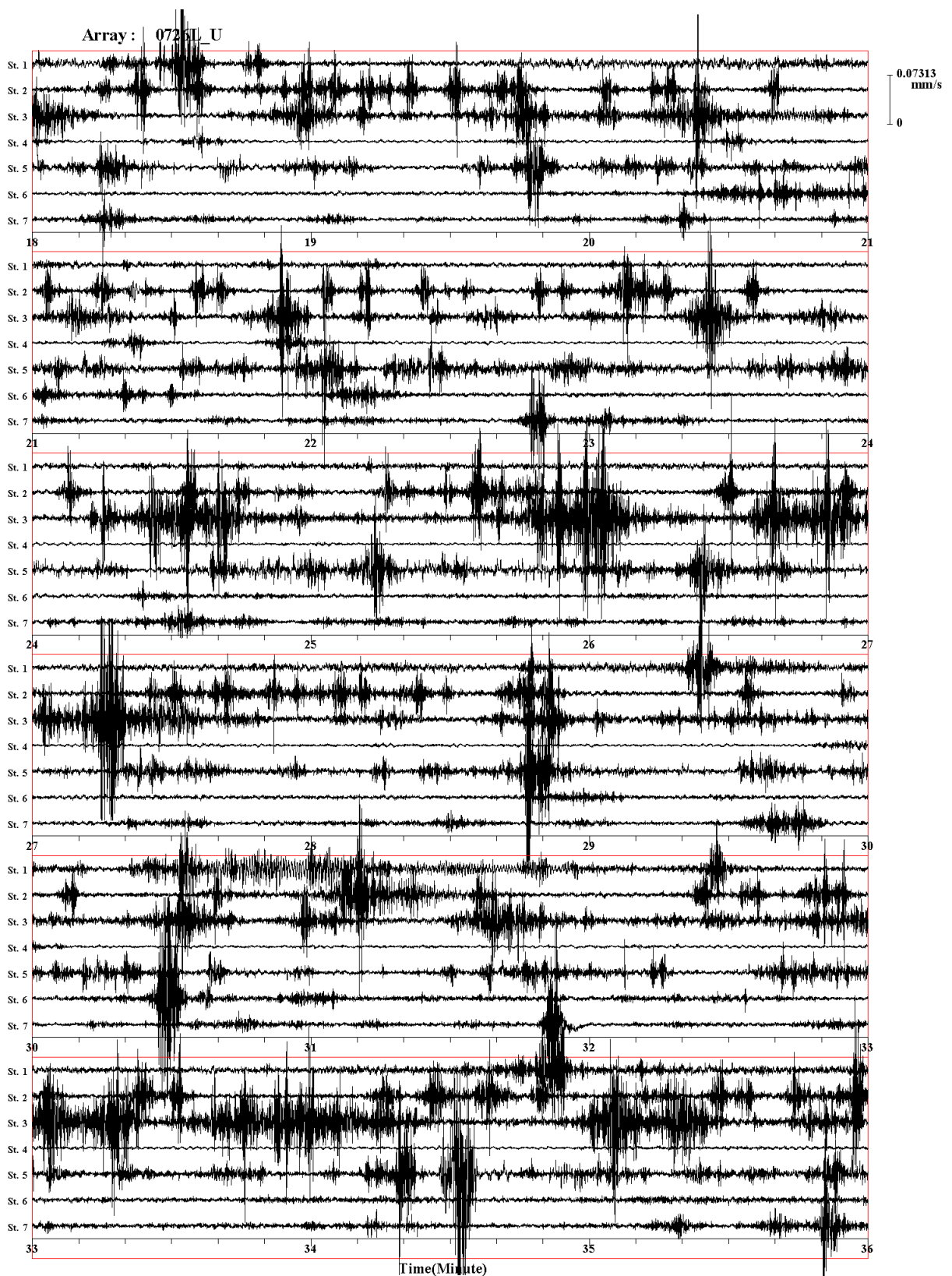
付図 1-1c-(2) 山方 S アレイにおける観測微動波形 (07/25 13:50-14:35)



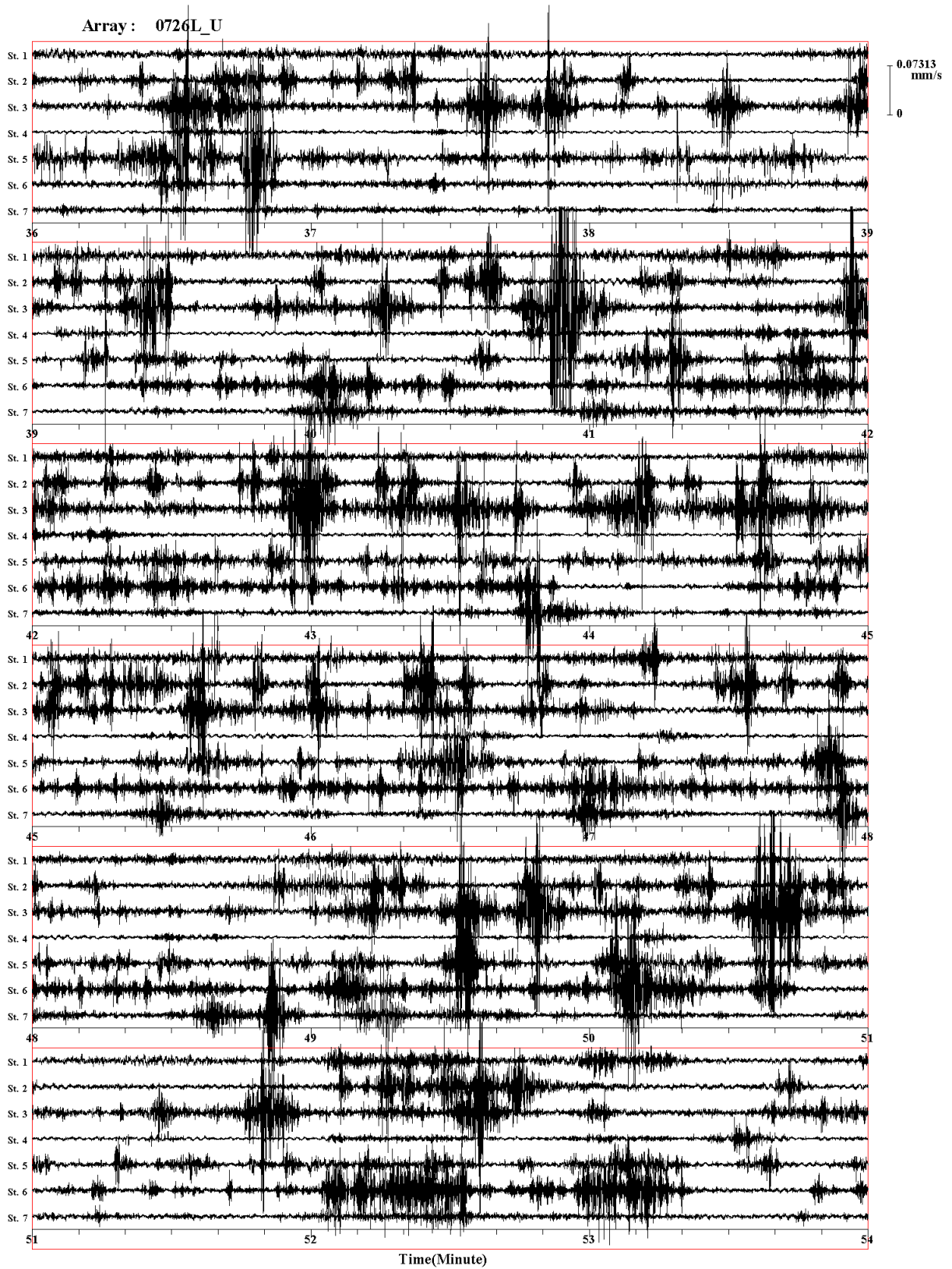
付図 1-1c-(3) 山方 S アレイにおける観測微動波形 (07/25 13:50-14:35)



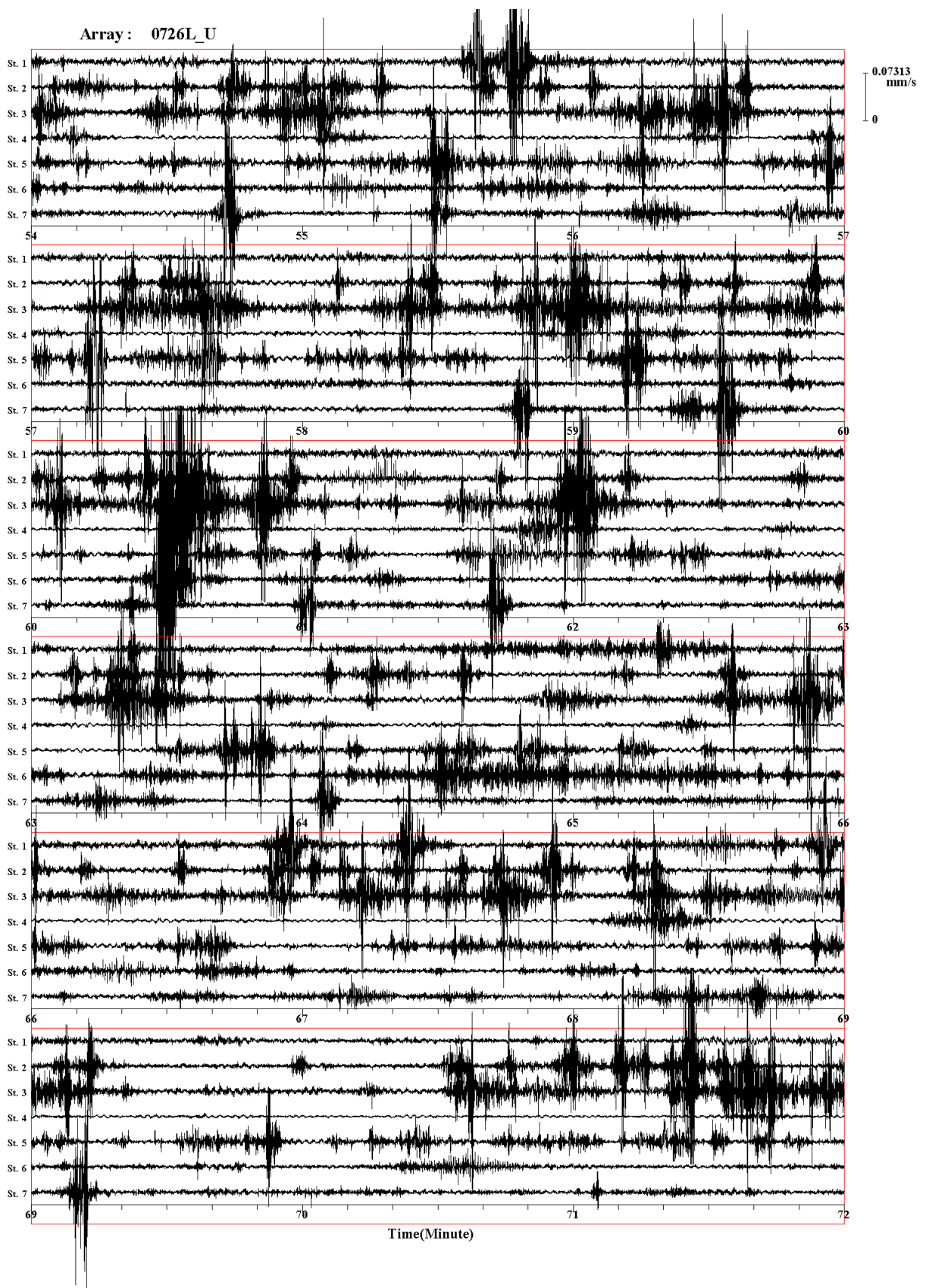
付図 1-2a-(1) 大宮 L アレイにおける観測微動波形(07/26 10:05-11:35)



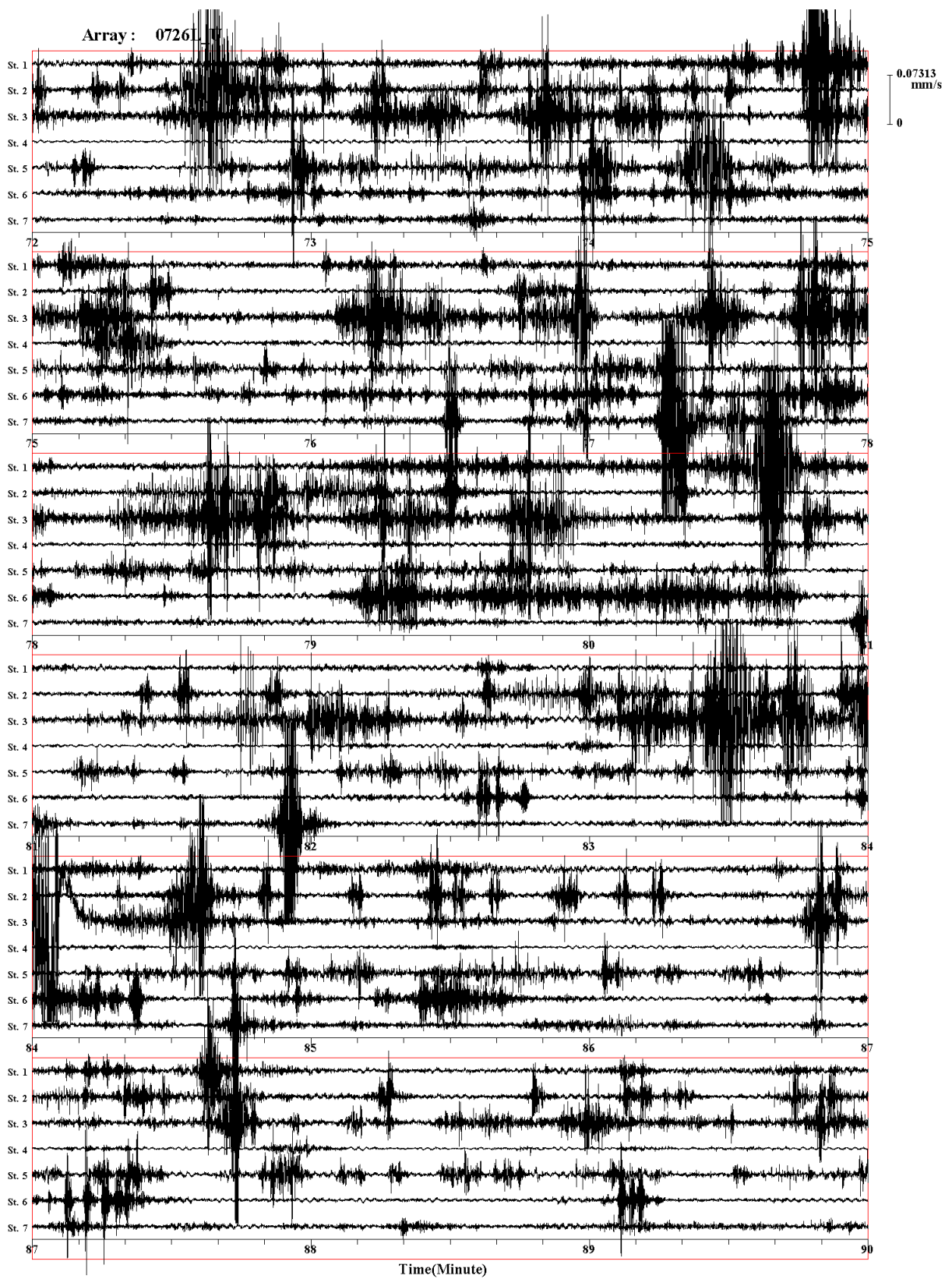
付図 1-2a-(2) 大宮 L アレイにおける観測微動波形(07/26 10:05-11:35)



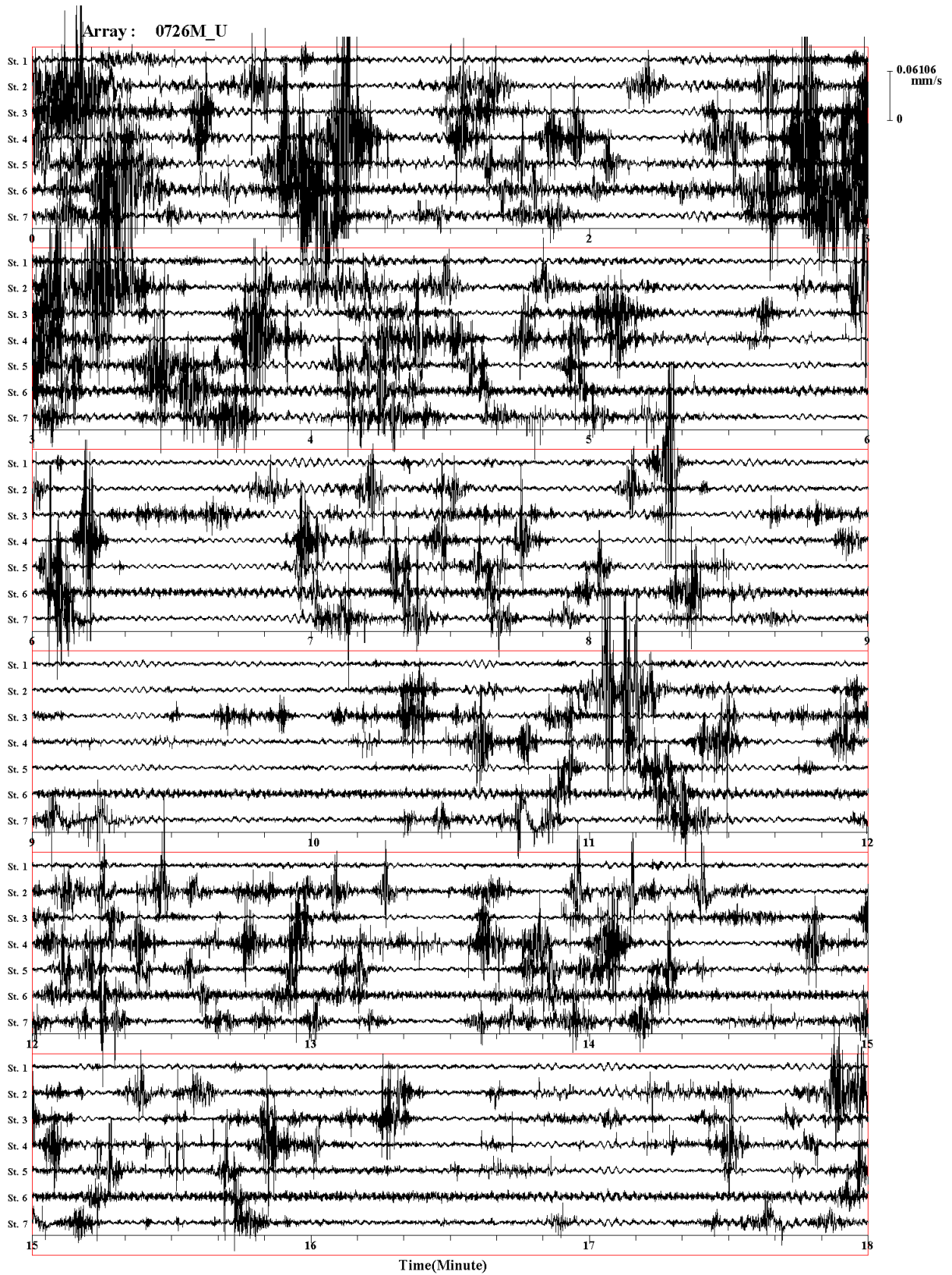
付図 1-2a-(3) 大宮 L アレイにおける観測微動波形(07/26 10:05-11:35)



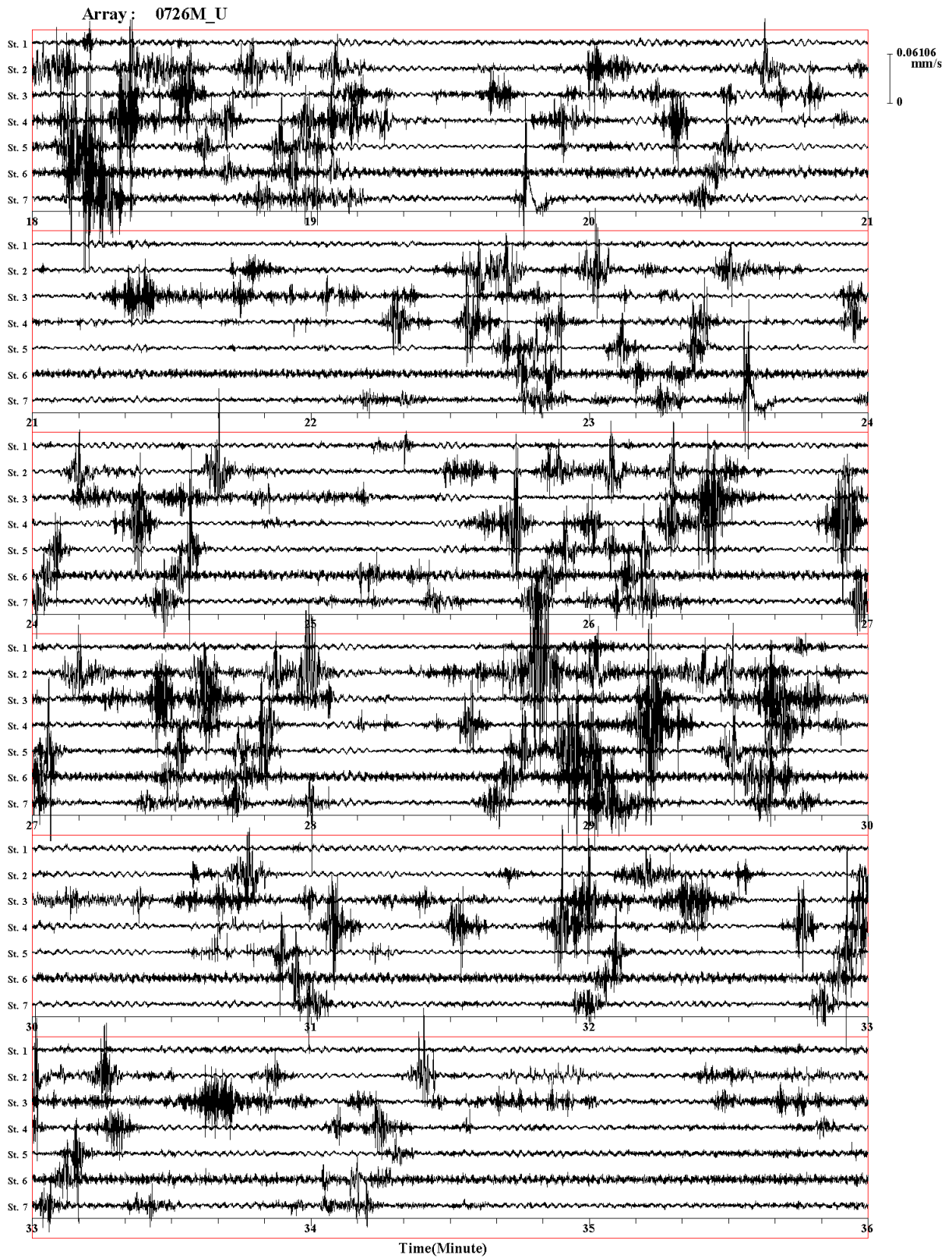
付図 1-2a-(4) 大宮 L アレイにおける観測微動波形(07/26 10:05-11:35)



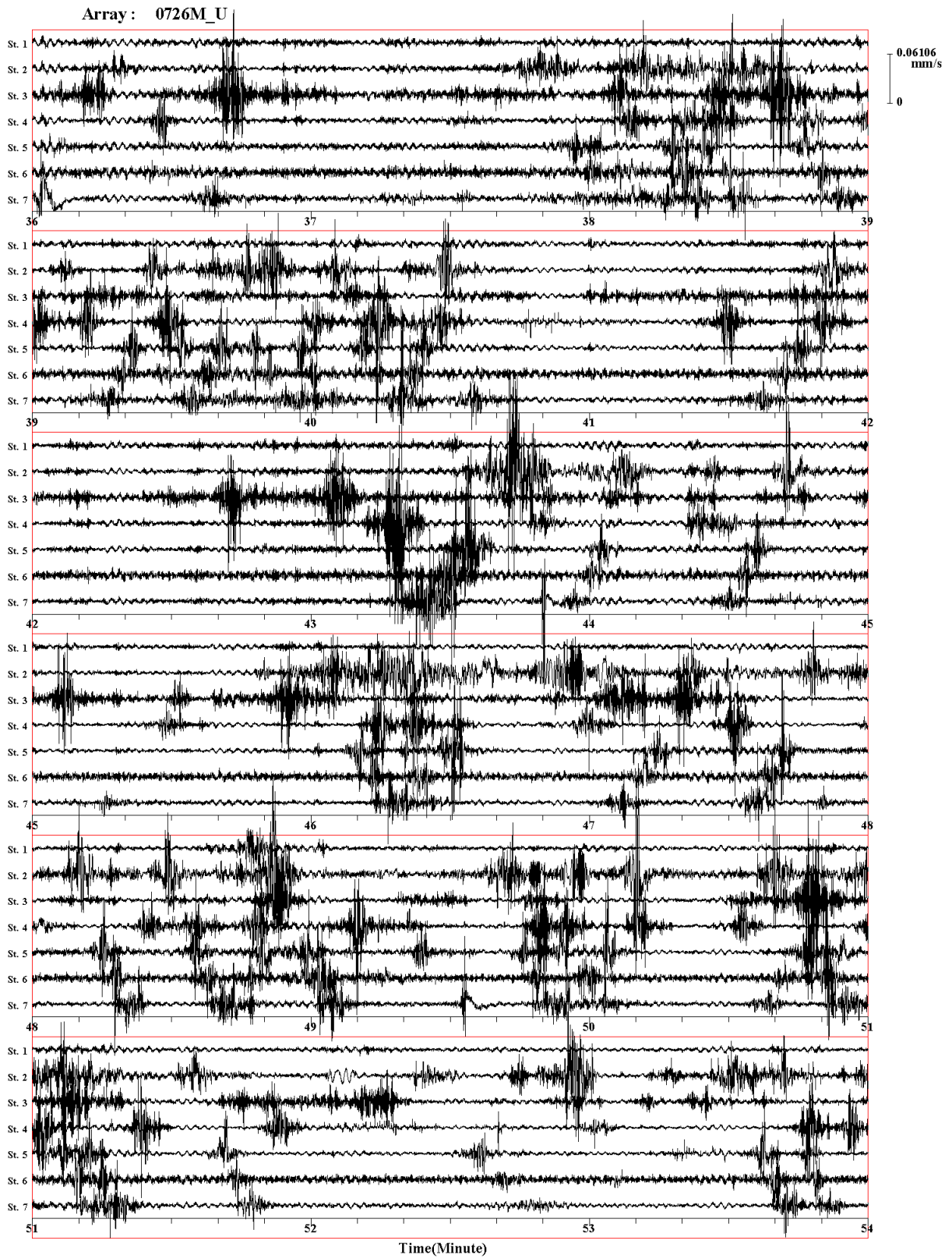
付図 1-2a-(5) 大宮 L アレイにおける観測微動波形(07/26 10:05-11:35)



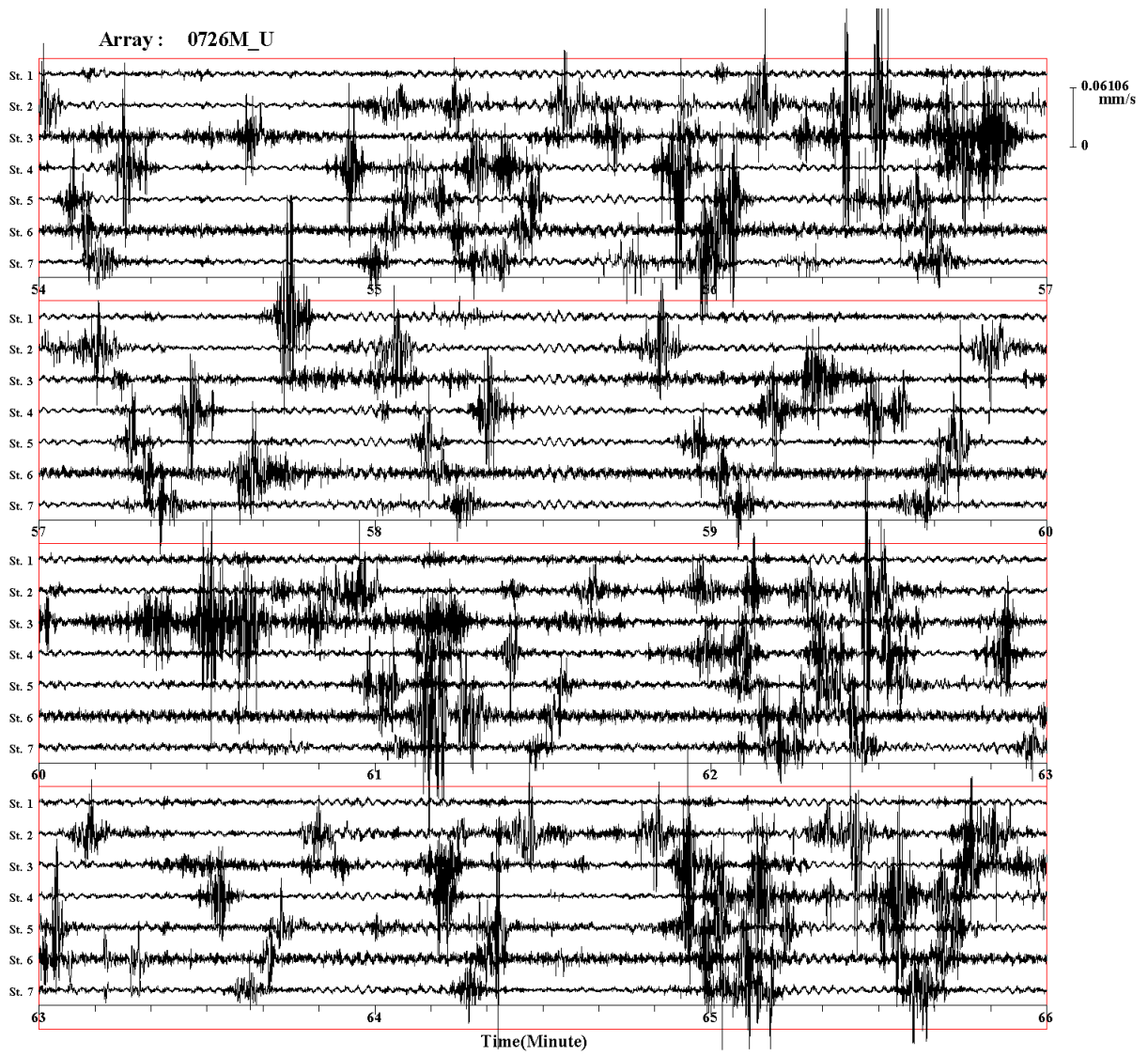
付図 1-2b-(1) 大宮 M アレイにおける観測微動波形(07/26 12:45-13:50)



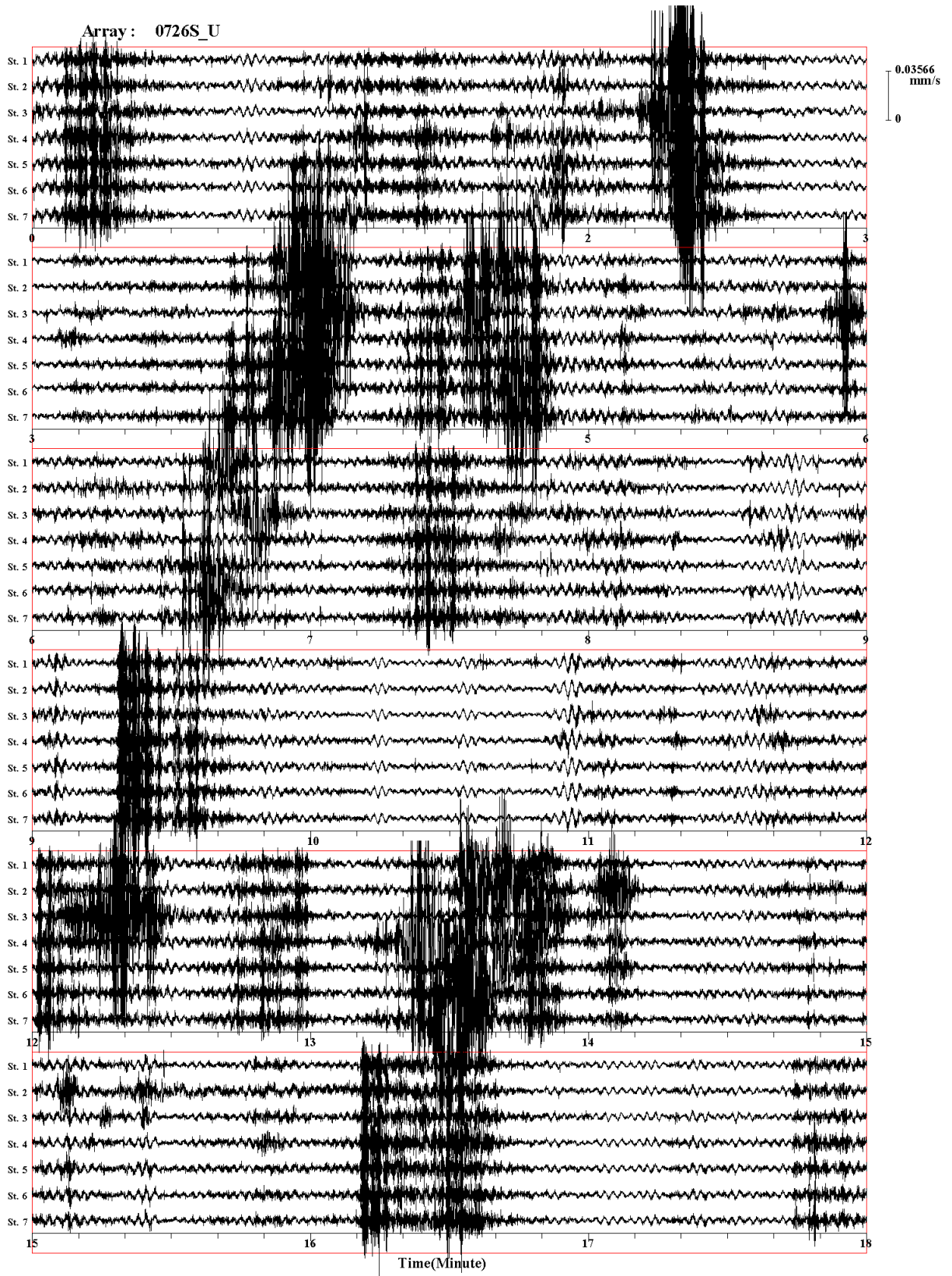
付図 1-2b-(2) 大宮 M アレイにおける観測微動波形(07/26 12:45-13:50)



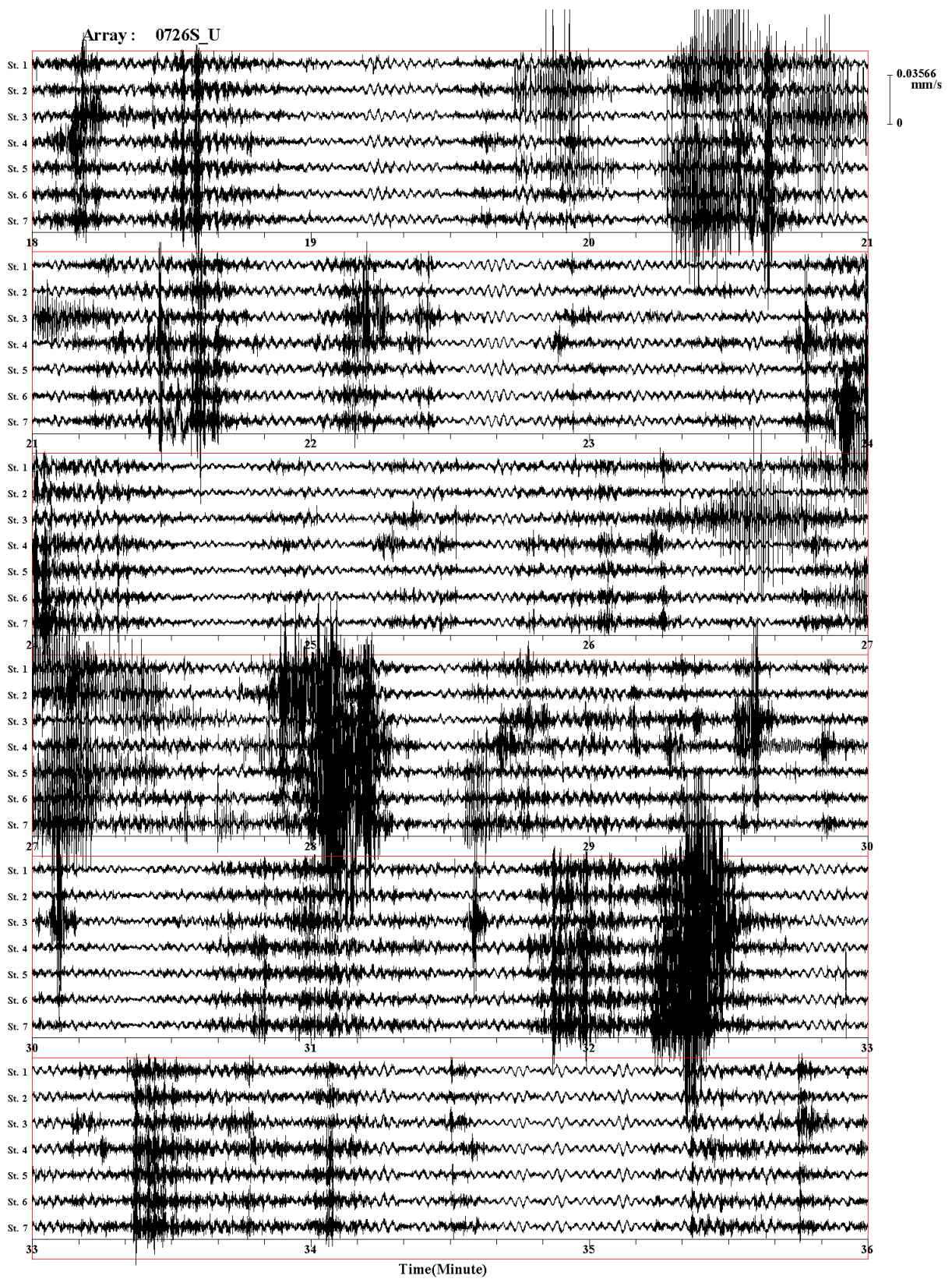
付図 1-2b-(3) 大宮 M アレイにおける観測微動波形(07/26 12:45-13:50)



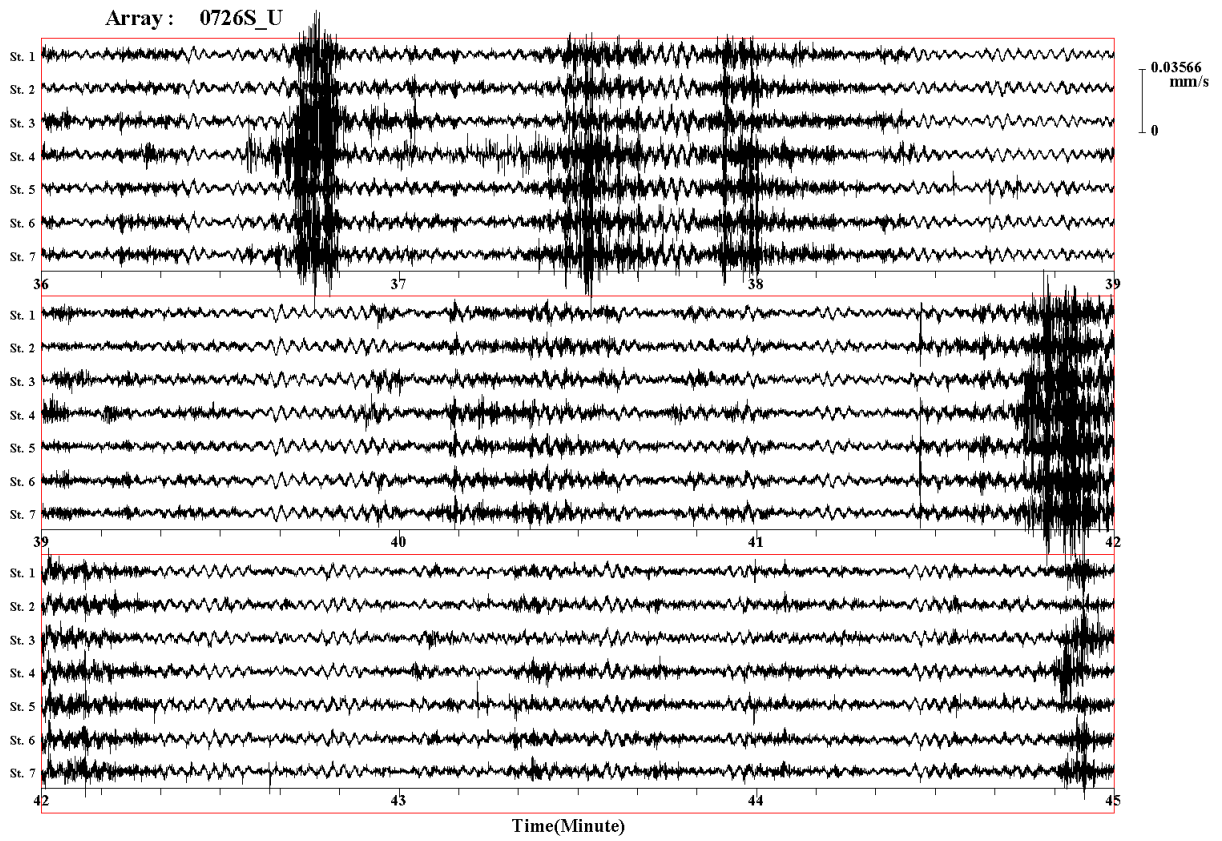
付図 1-2b-(4) 大宮 M アレイにおける観測微動波形(07/26 12:45-13:50)



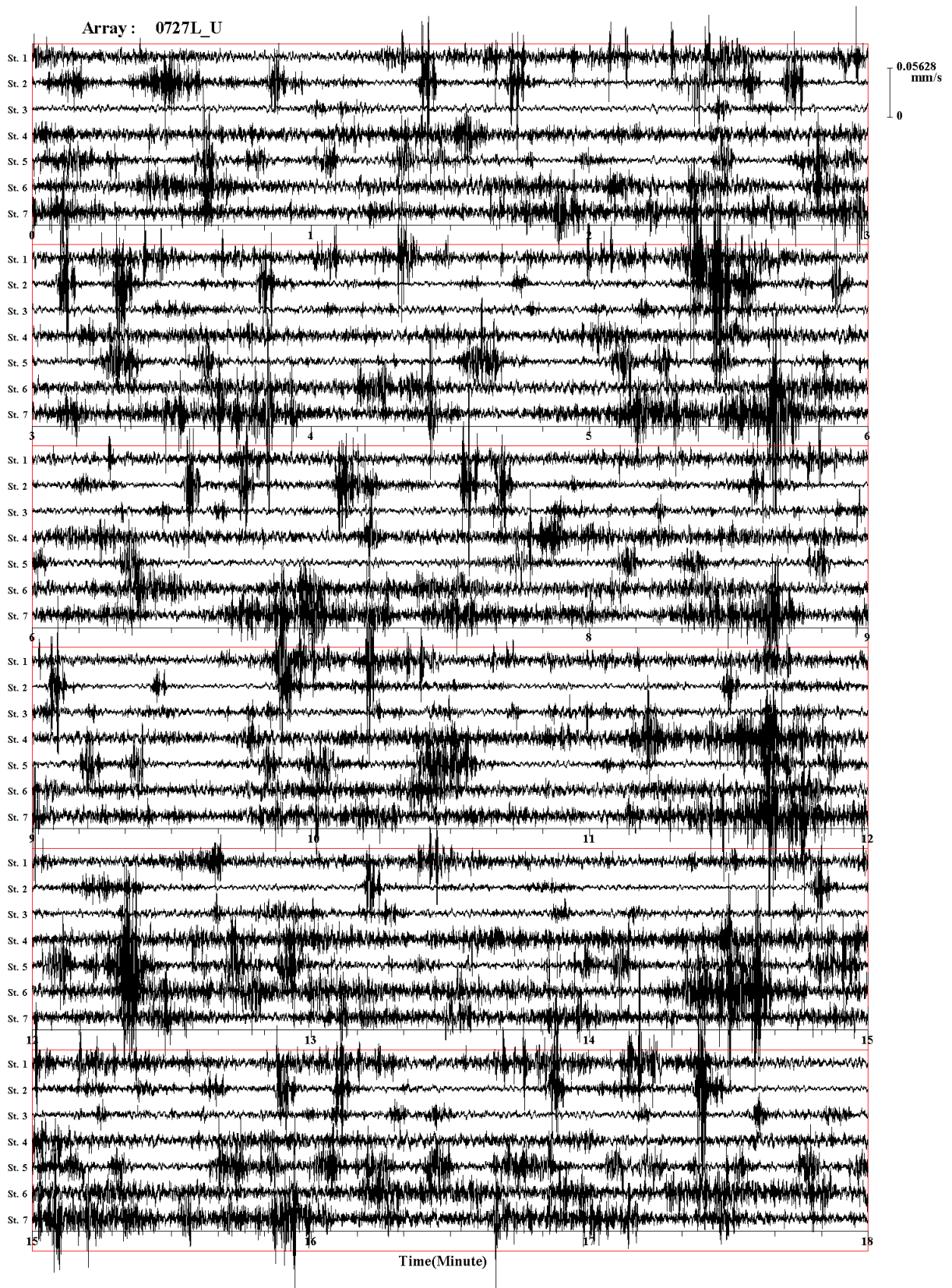
付図 1-2c-(1) 大宮 S アレイにおける観測微動波形 (07/26 14:20-15:05)



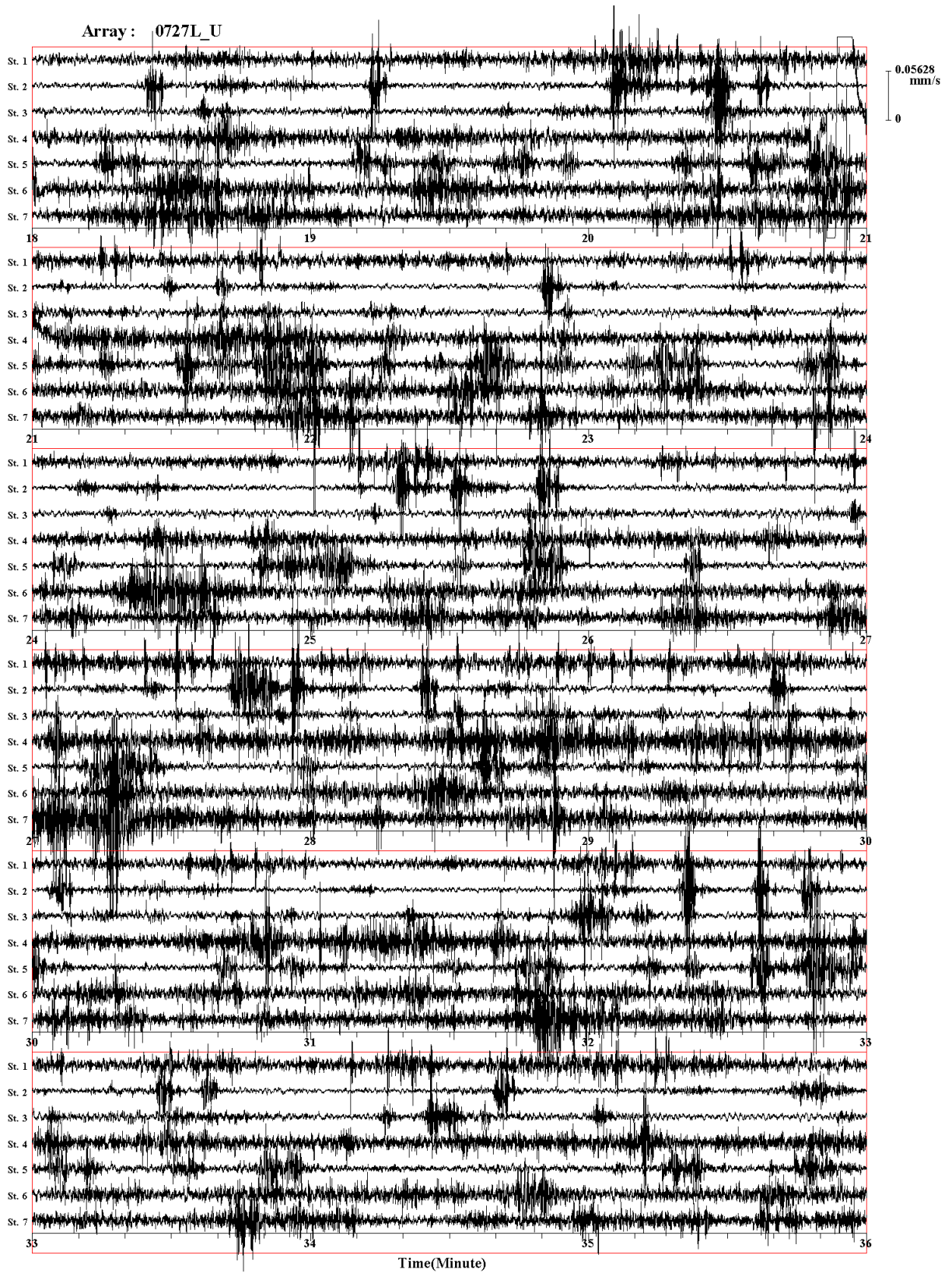
付図 1-2c-(2) 大宮 S アレイにおける観測微動波形 (07/26 14:20-15:05)



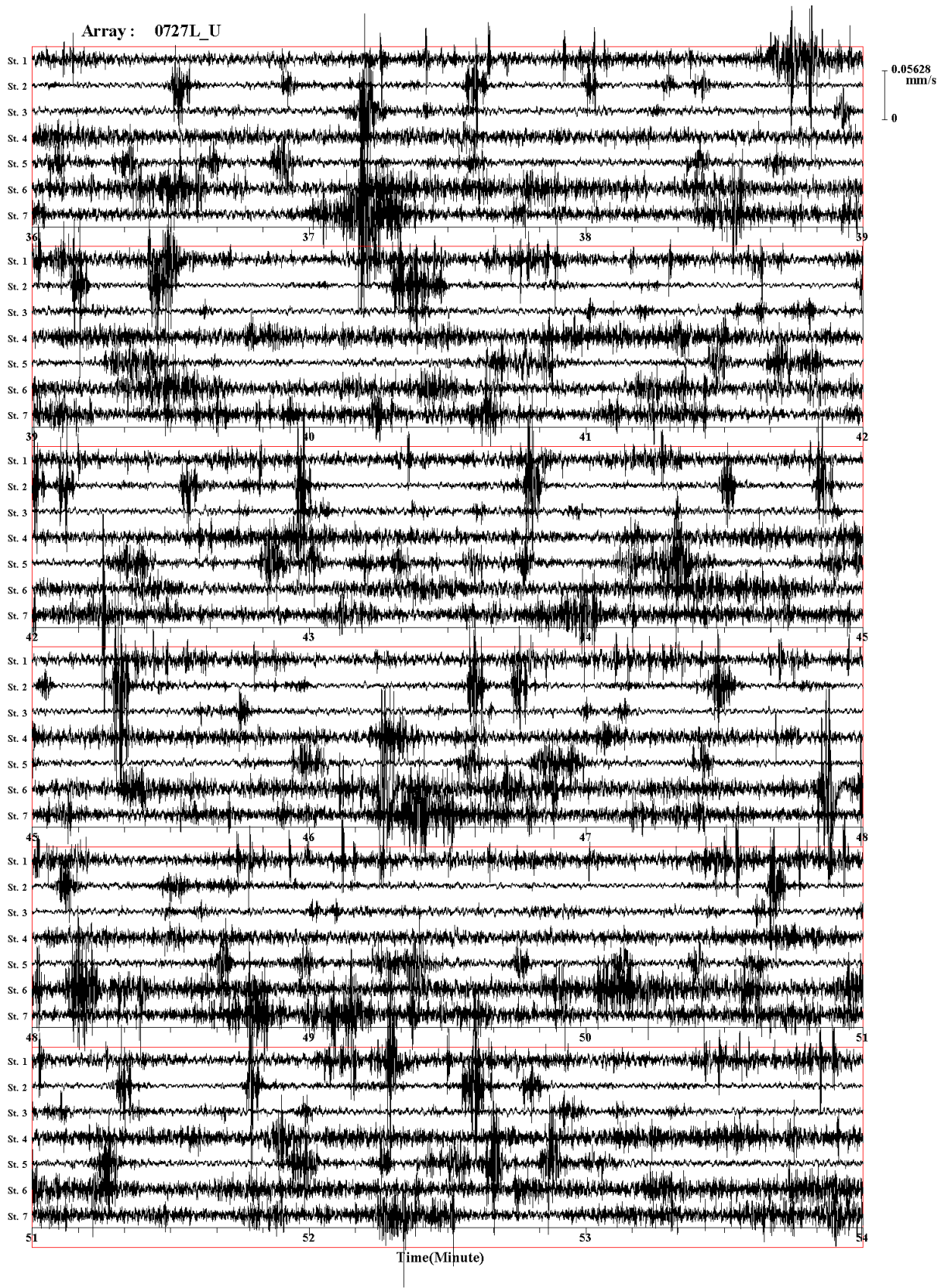
付図 1-2c-(3) 大宮 S アレイにおける観測微動波形 (07/26 14:20-15:05)



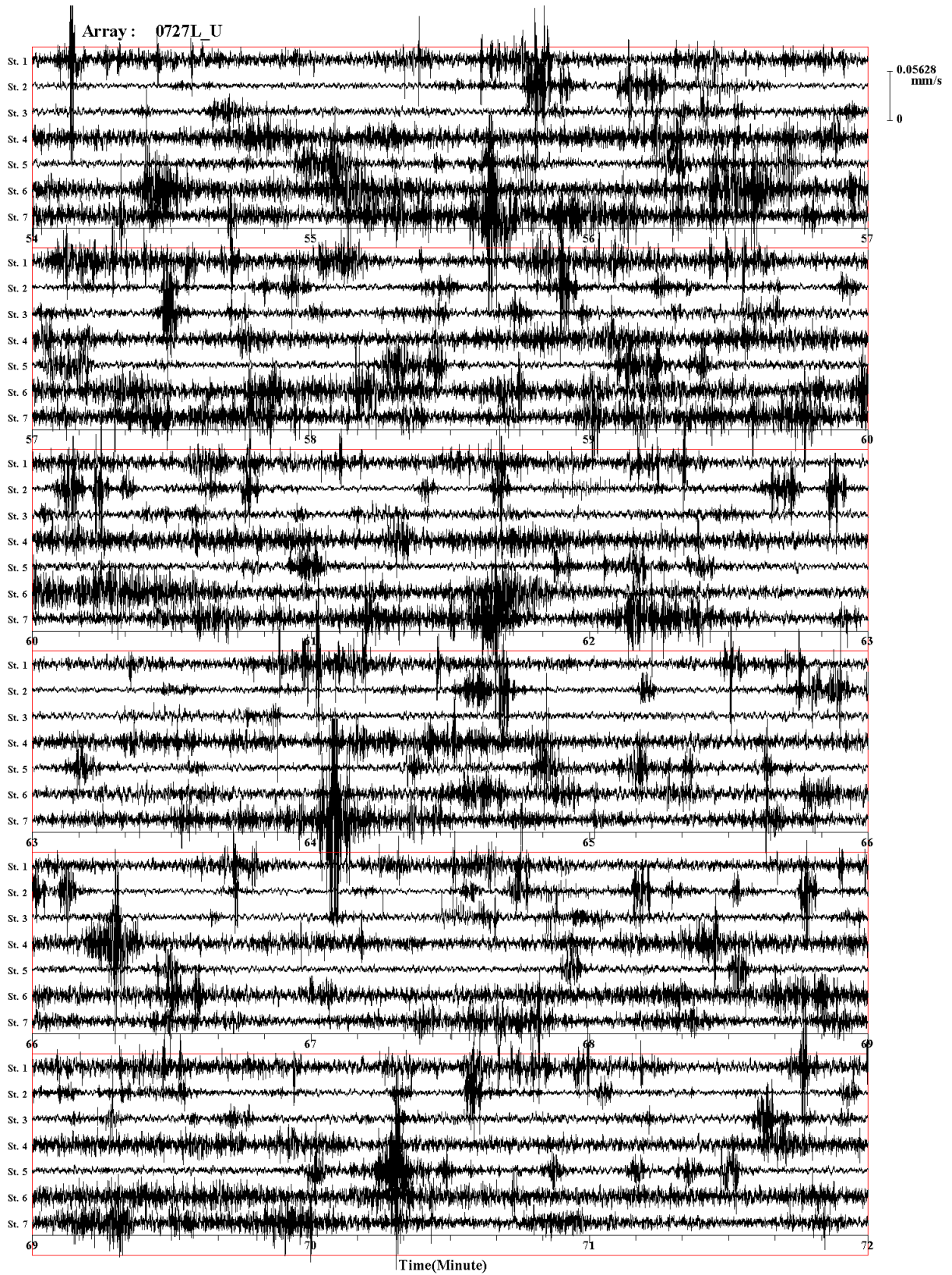
付図 1-3a-(1) 高萩 L アレイにおける観測微動波形(07/27 07:50-09:20)



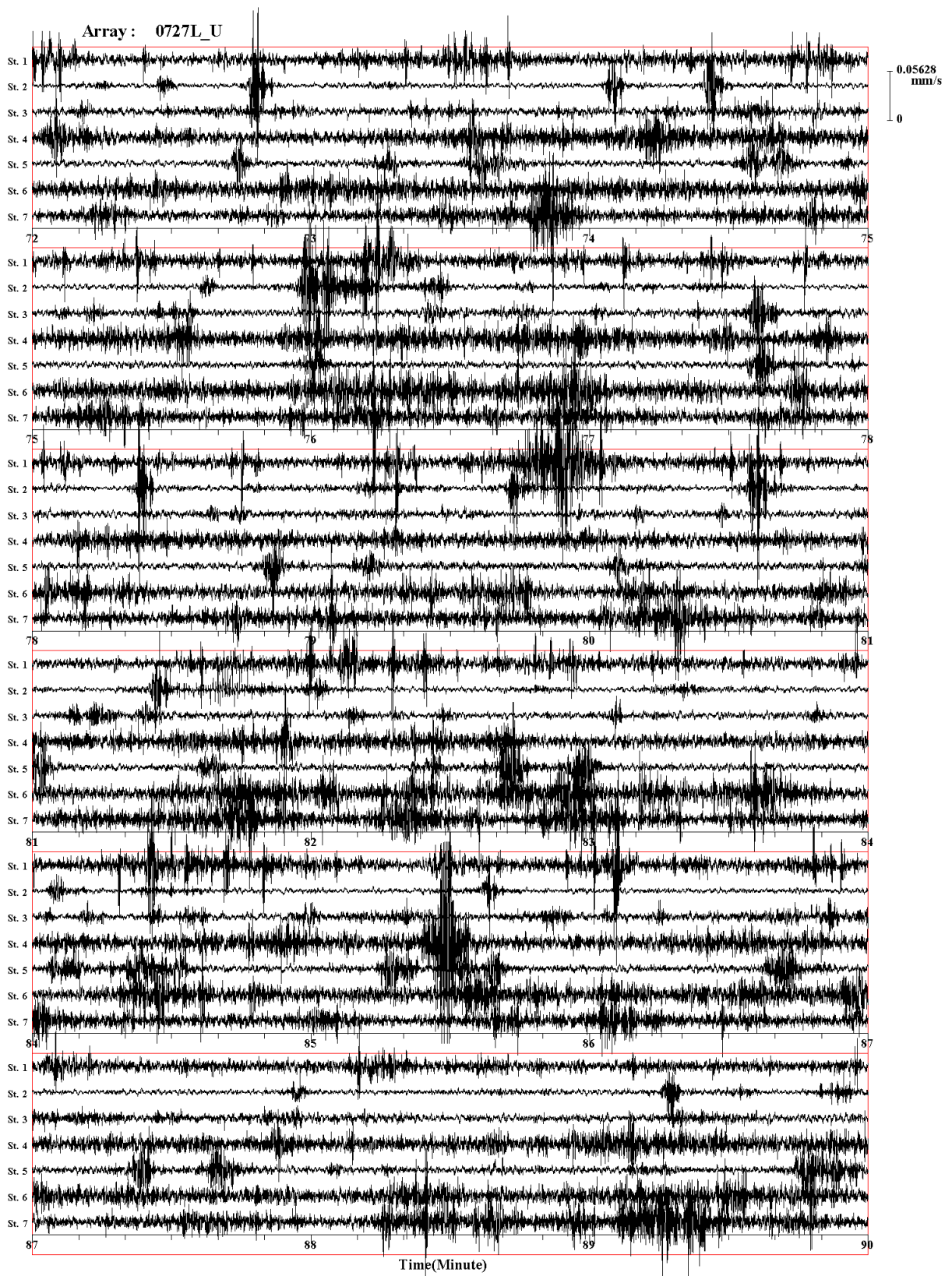
付図 1-3a-(2) 高萩Lアレイにおける観測微動波形(07/27 07:50-09:20)



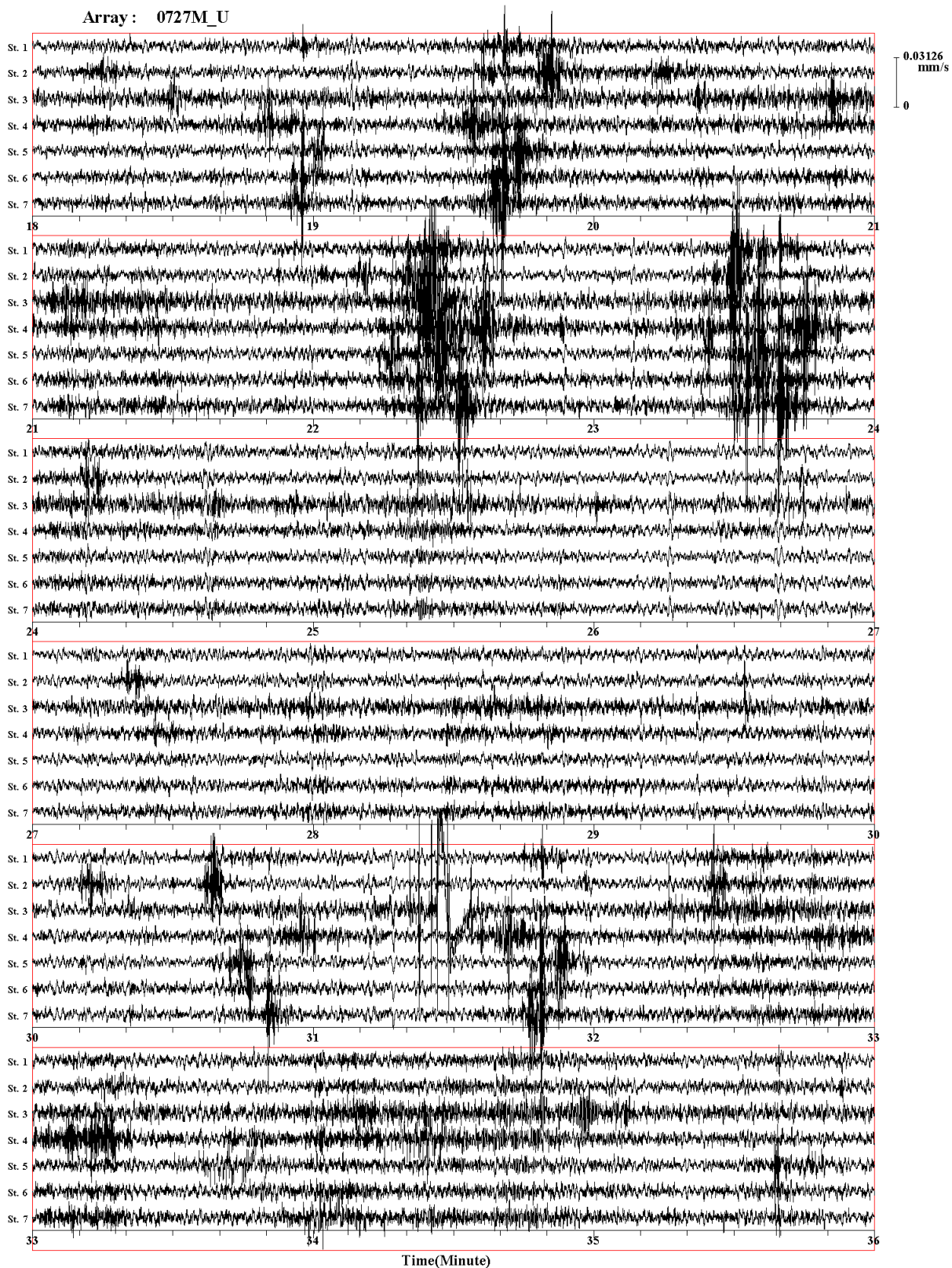
付図 1-3a-(3) 高萩 L アレイにおける観測微動波形(07/27 07:50-09:20)



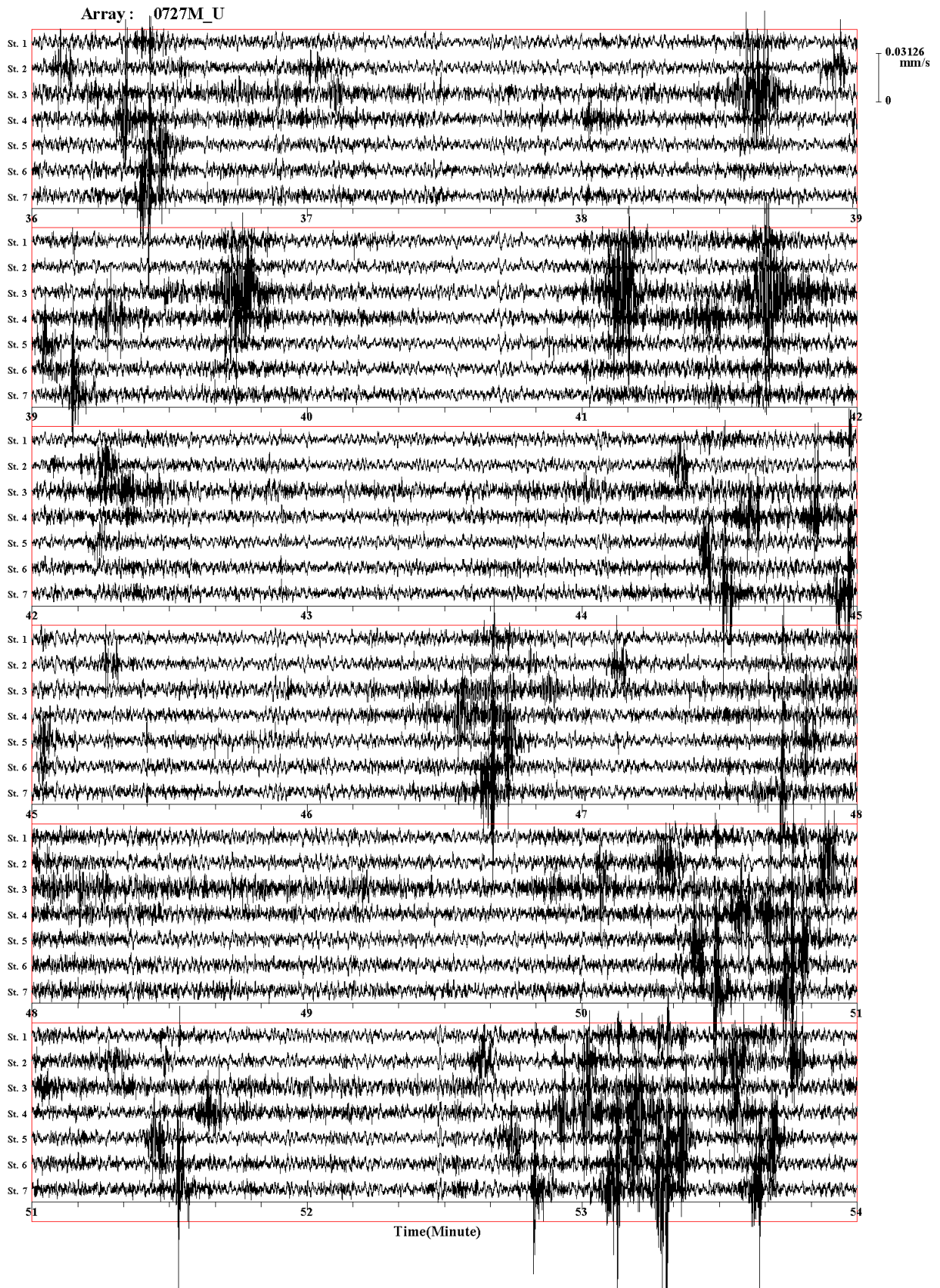
付図 1-3a-(4) 高萩 L アレイにおける観測微動波形(07/27 07:50-09:20)



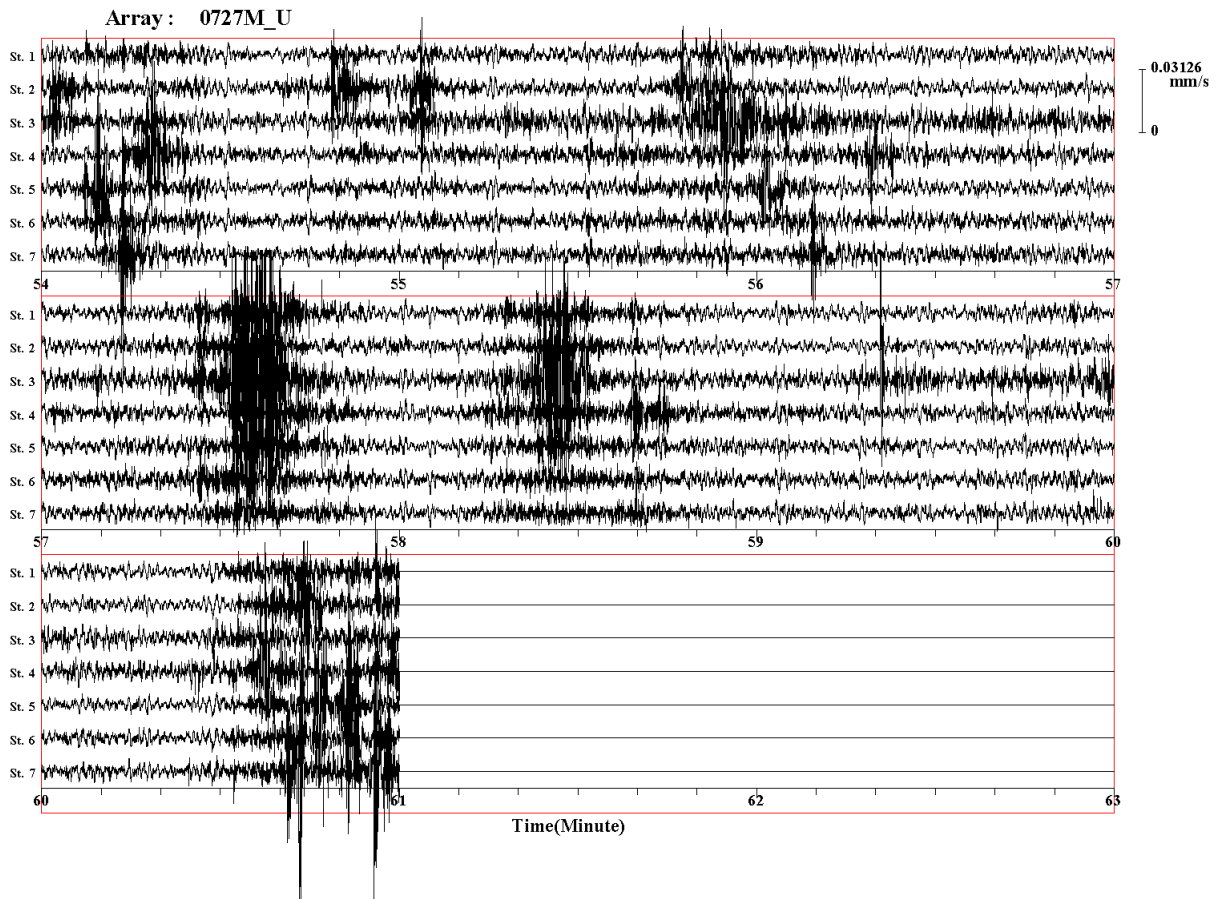
付図 1-3a-(5) 高萩 L アレイにおける観測微動波形(07/27 07:50-09:20)



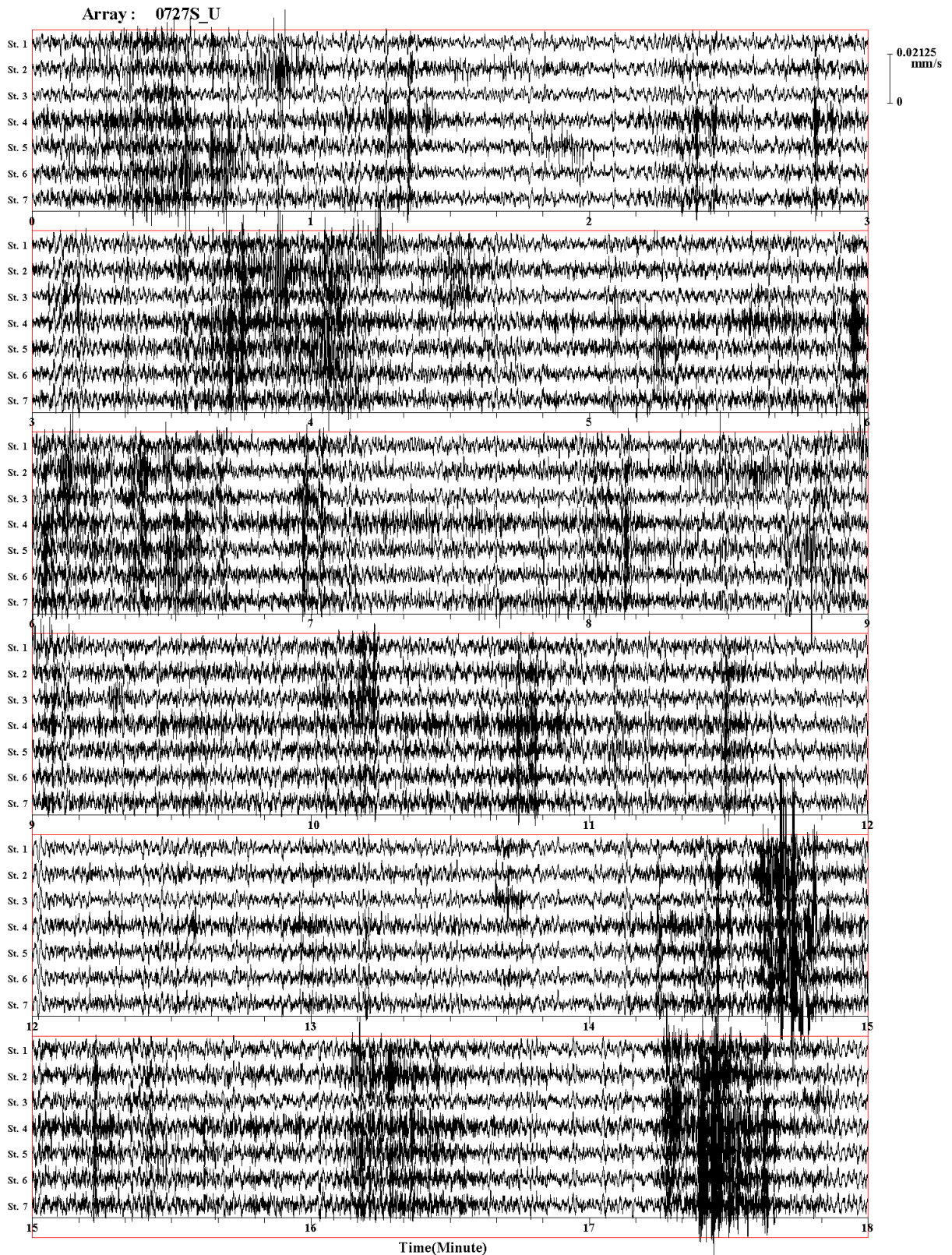
付図 1-3b-(1) 高萩 M アレイにおける再観測微動波形(07/29 05:00—06:00)



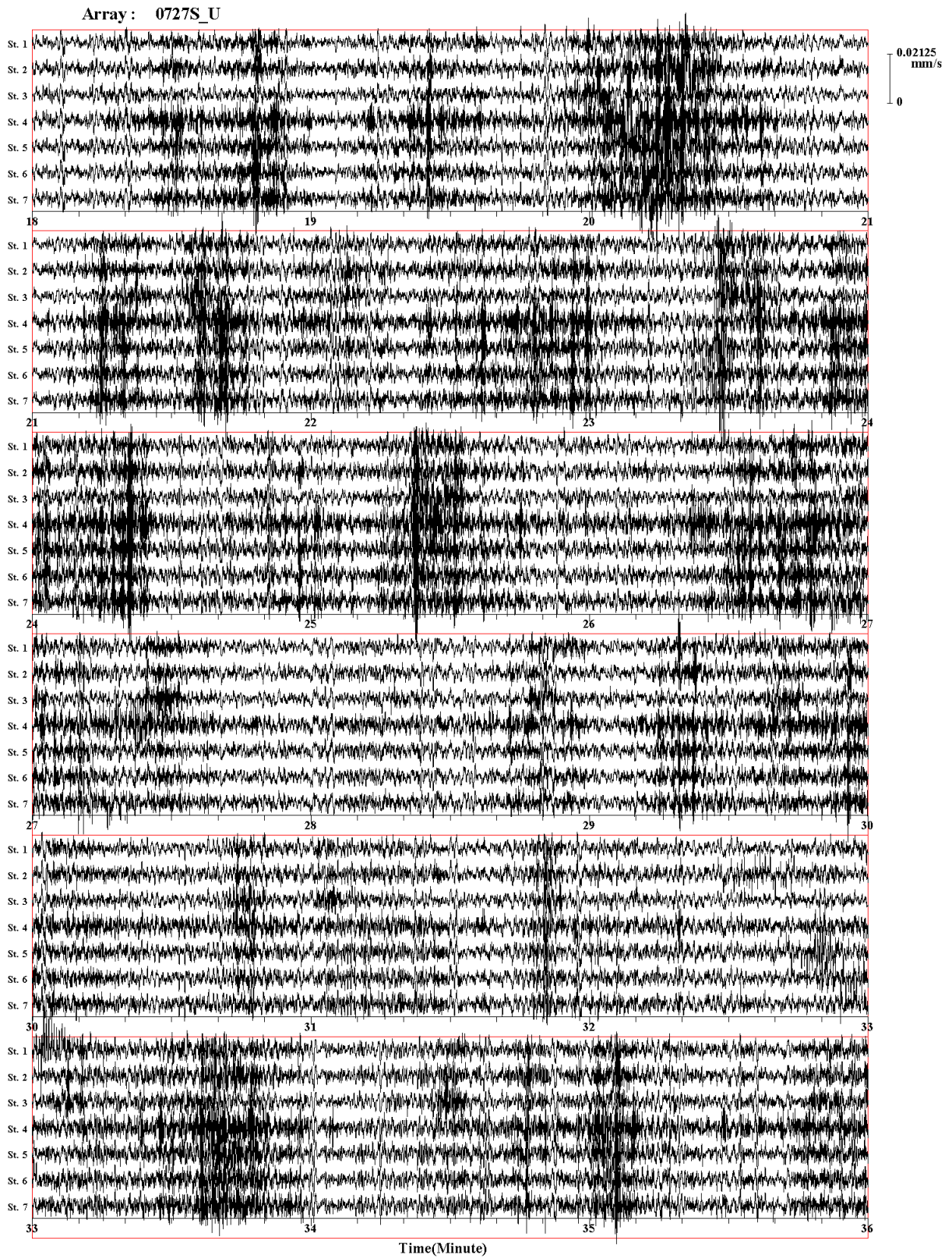
付図 1-3b-(2) 高萩 M アレイにおける再観測微動波形(07/29 05:00-06:00)



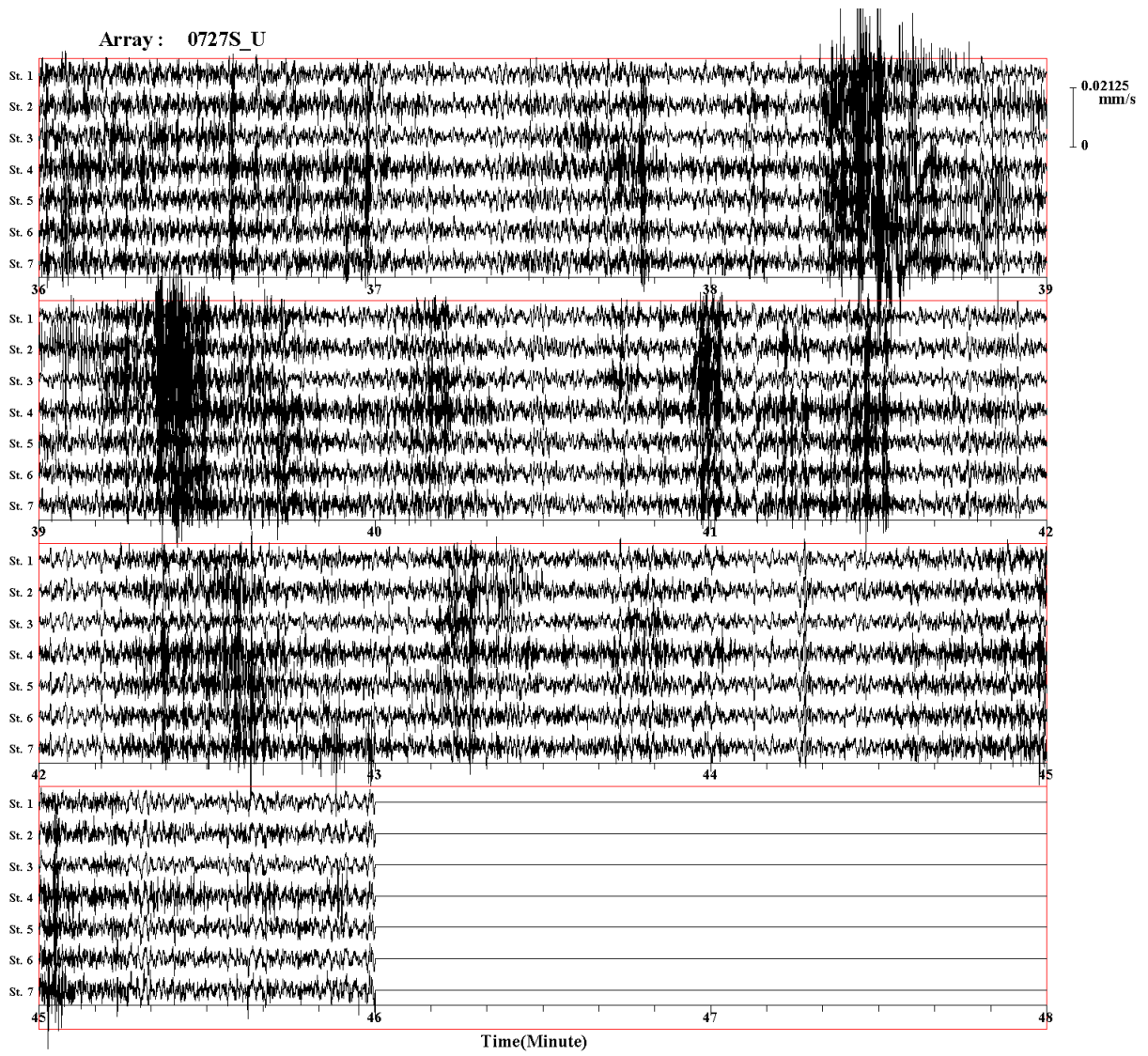
付図 1-3b-(3) 高萩 M アレイにおける再観測微動波形(07/29 05:00-06:00)



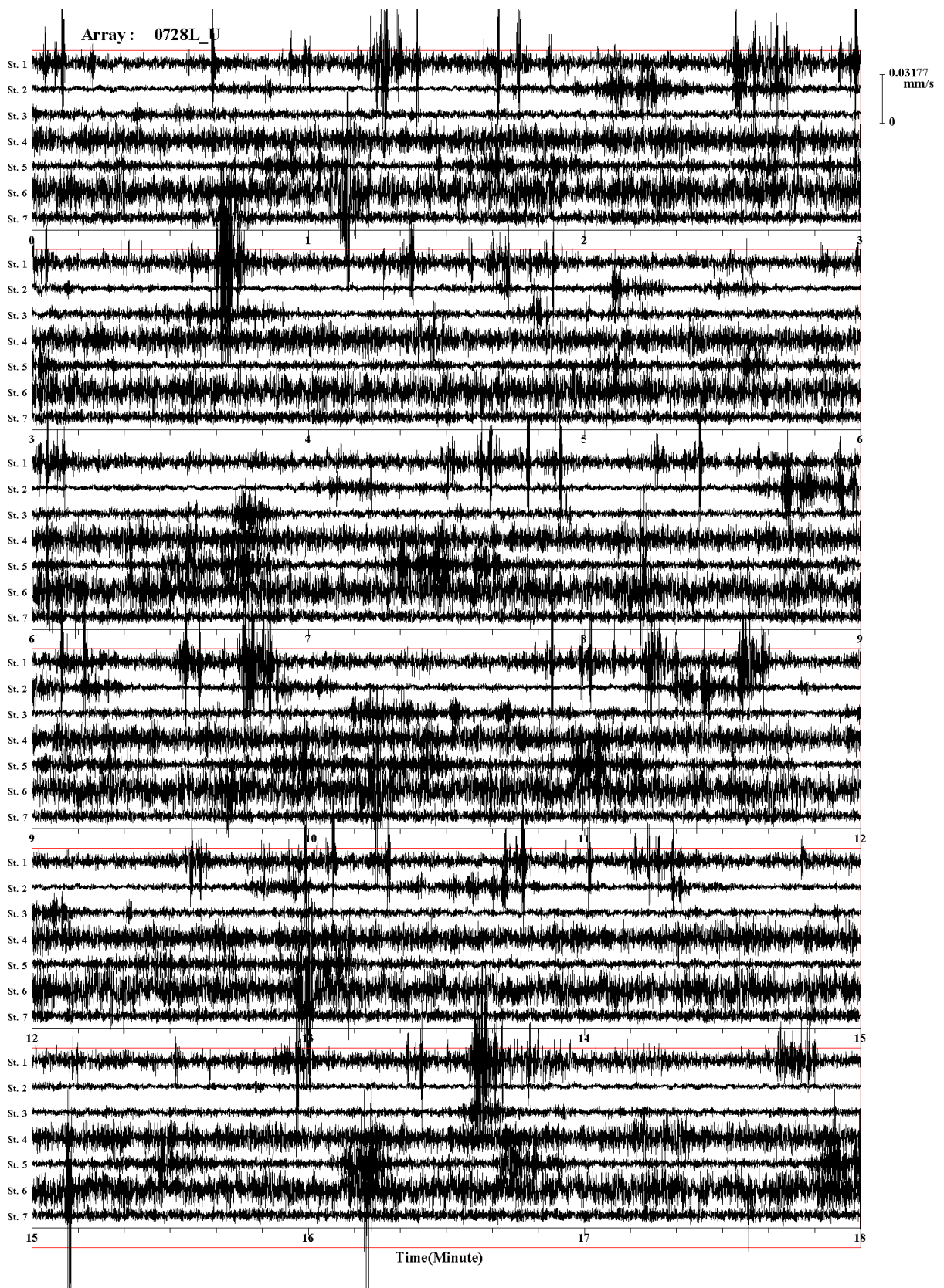
付図 1-3c-(1) 高萩 S アレイにおける観測微動波形(07/27 06:25-07:10)



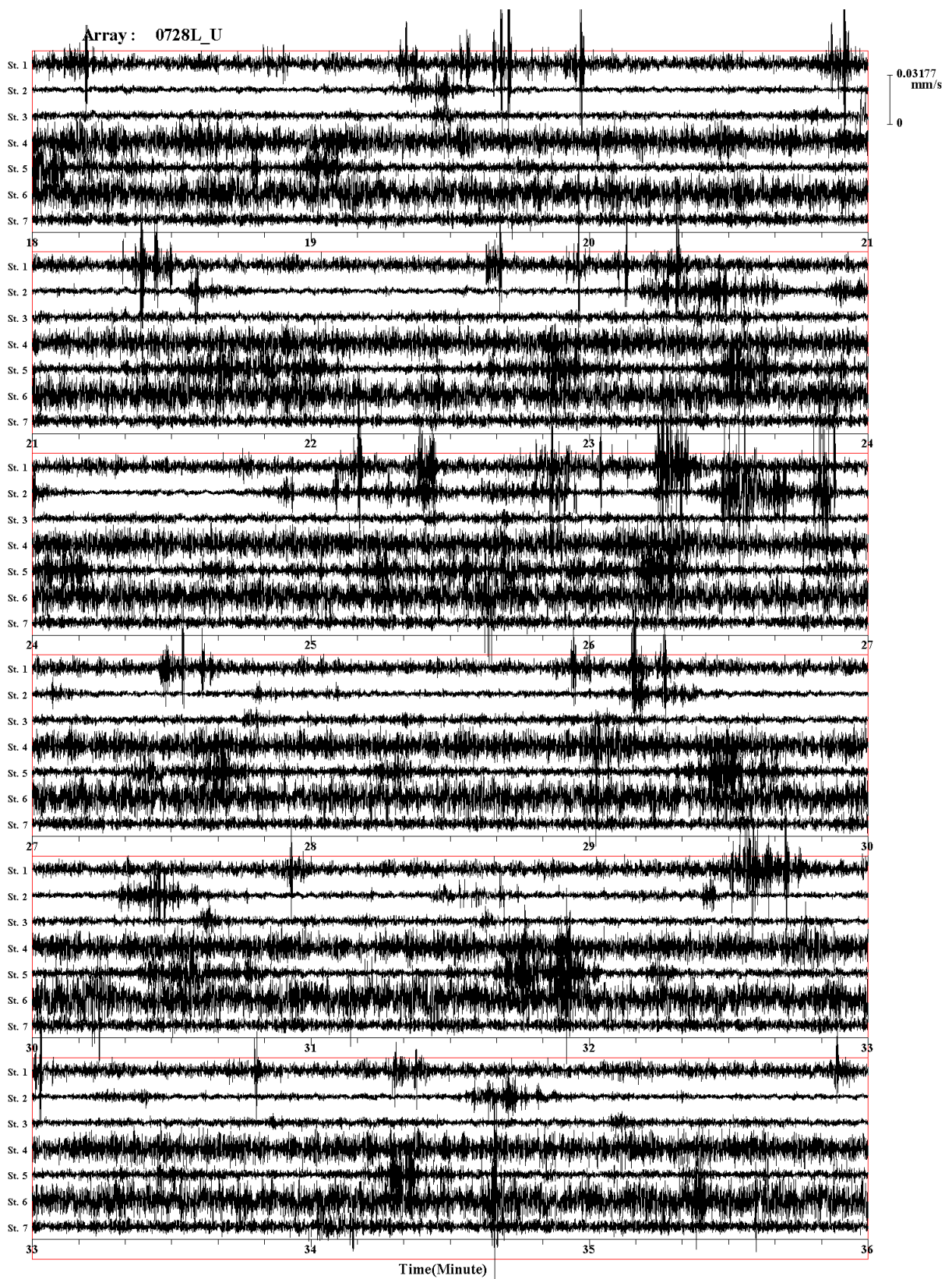
付図 1-3c-(2) 高萩 S アレイにおける観測微動波形(07/27 06:25-07:10)



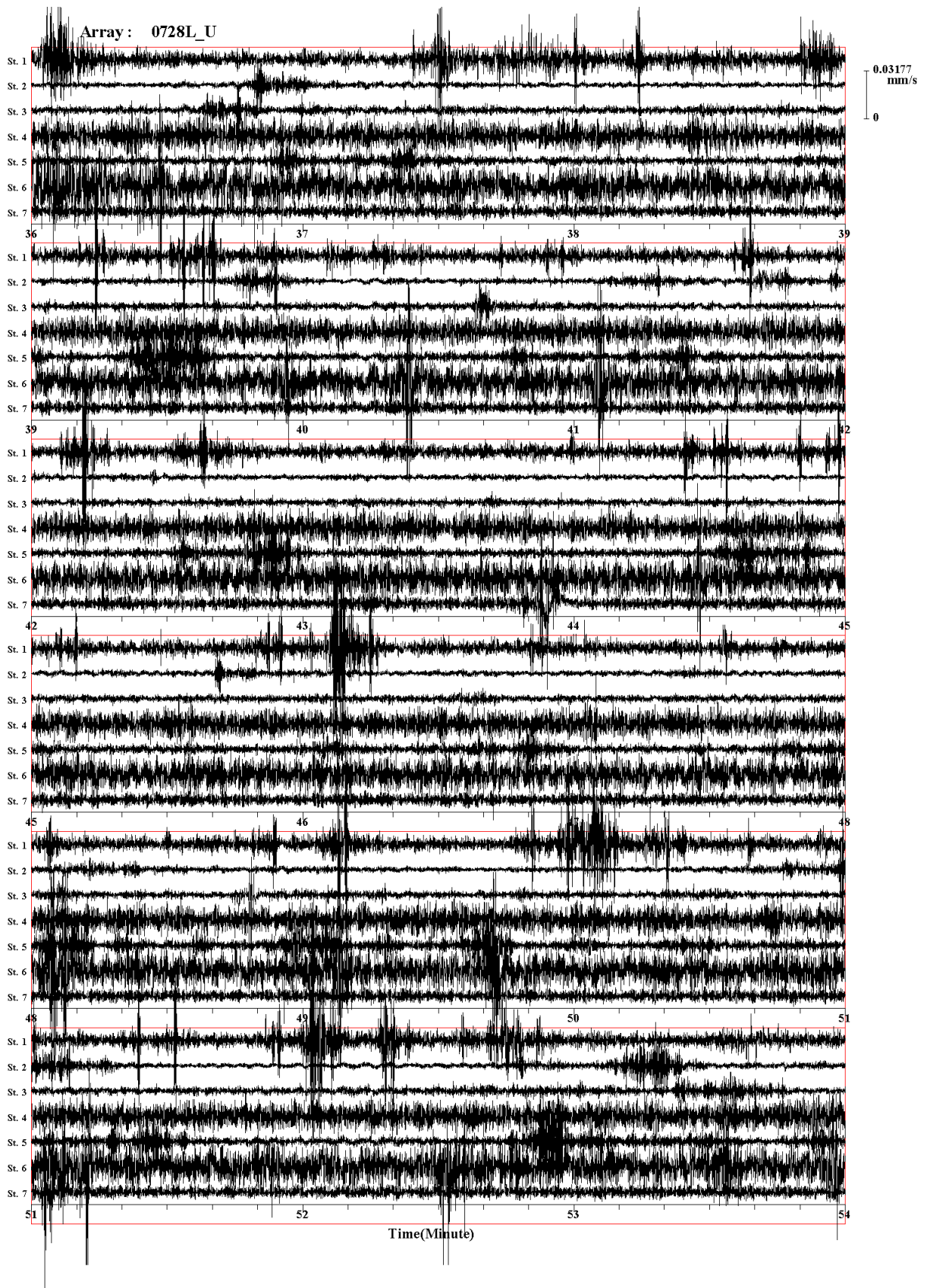
付図 1-3c-(3) 高萩 S アレイにおける観測微動波形(07/27 06:25-07:10)



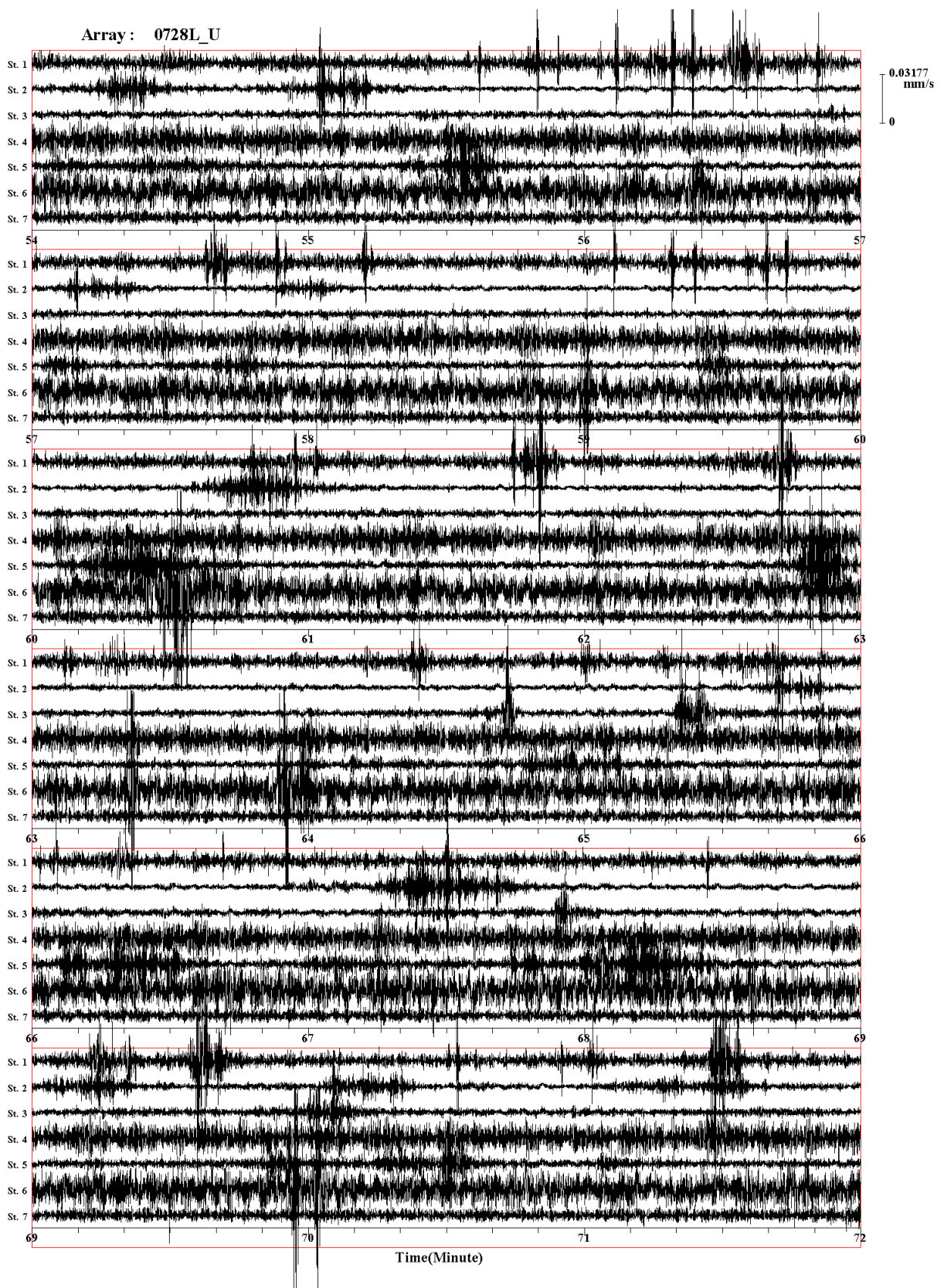
付図 1-4a-(1) 日立 L アレイにおける観測微動波形(07/27 21:15-22:30)



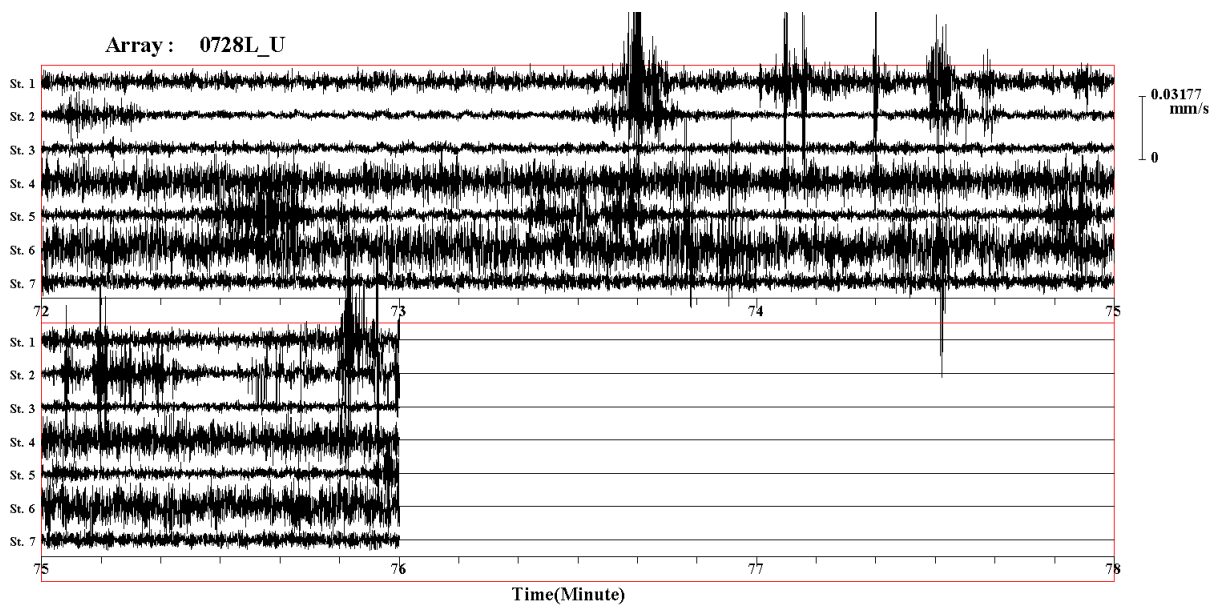
付図 1-4a-(2) 日立 L アレイにおける観測微動波形(07/27 21:15-22:30)



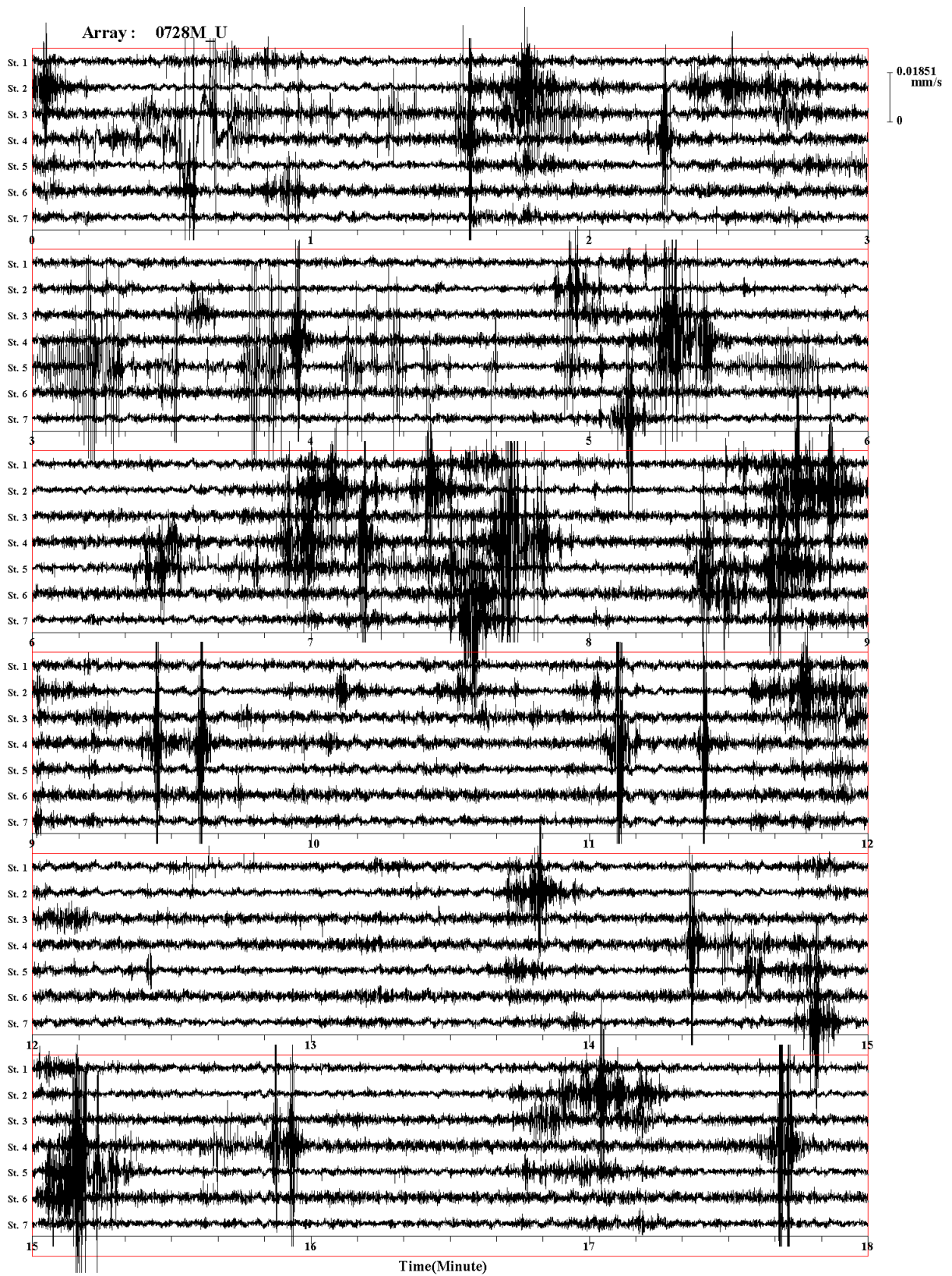
付図 1-4a-(3) 日立 L アレイにおける観測微動波形(07/27 21:15-22:30)



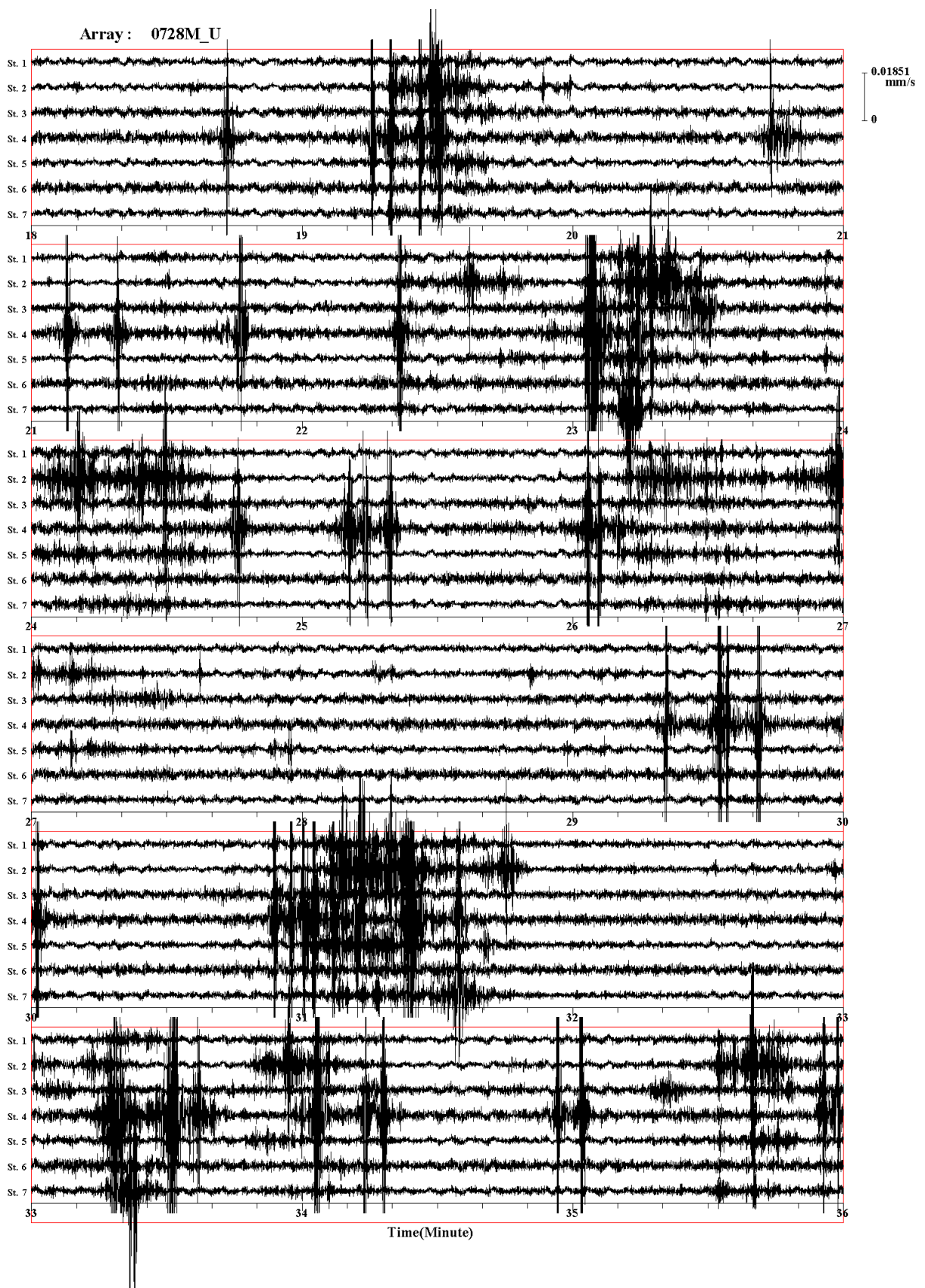
付図 1-4a-(4) 日立 L アレイにおける観測微動波形(07/27 21:15-22:30)



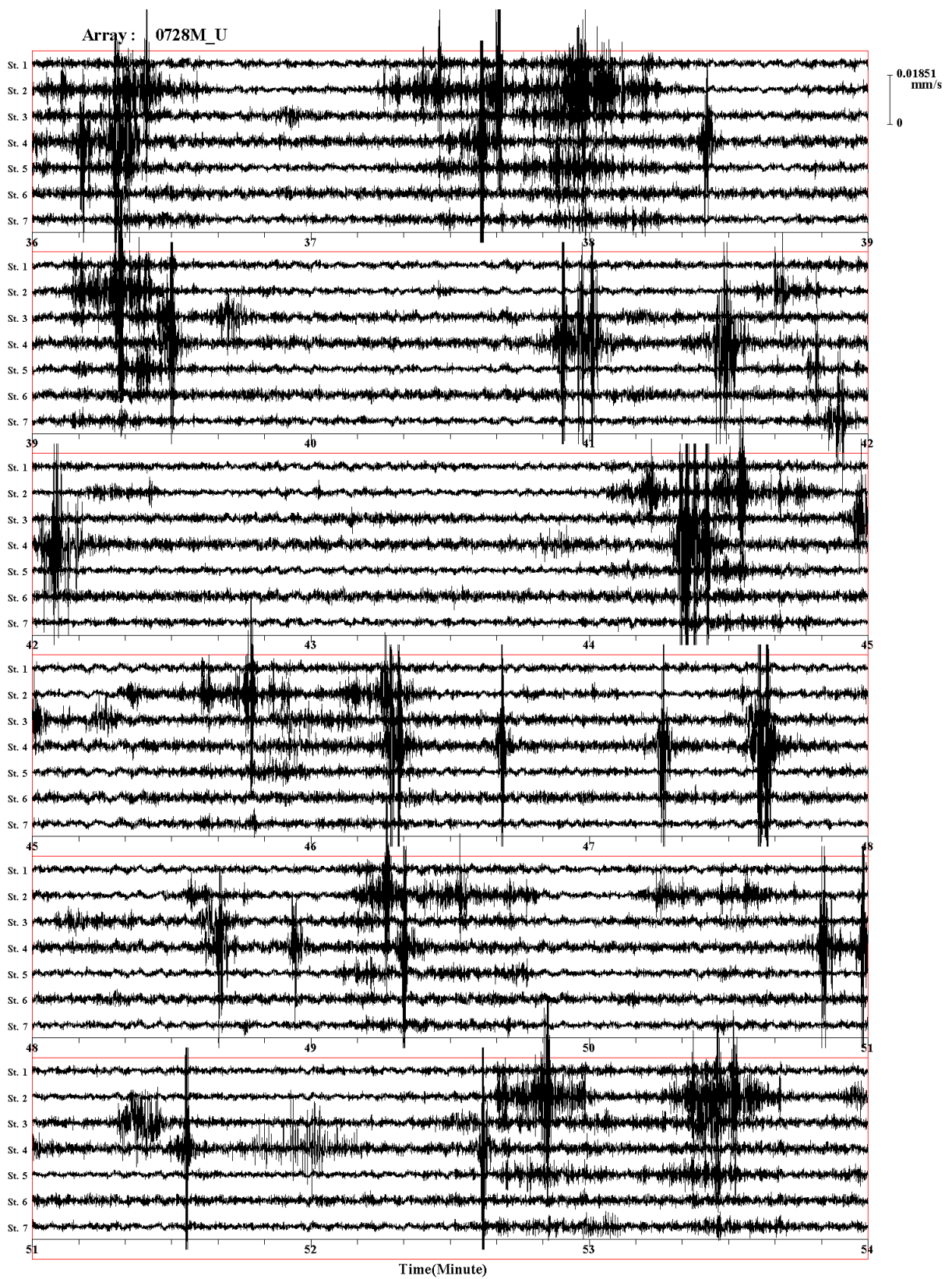
付図 1-4a-(5) 日立 L アレイにおける観測微動波形(07/27 21:15-22:30)



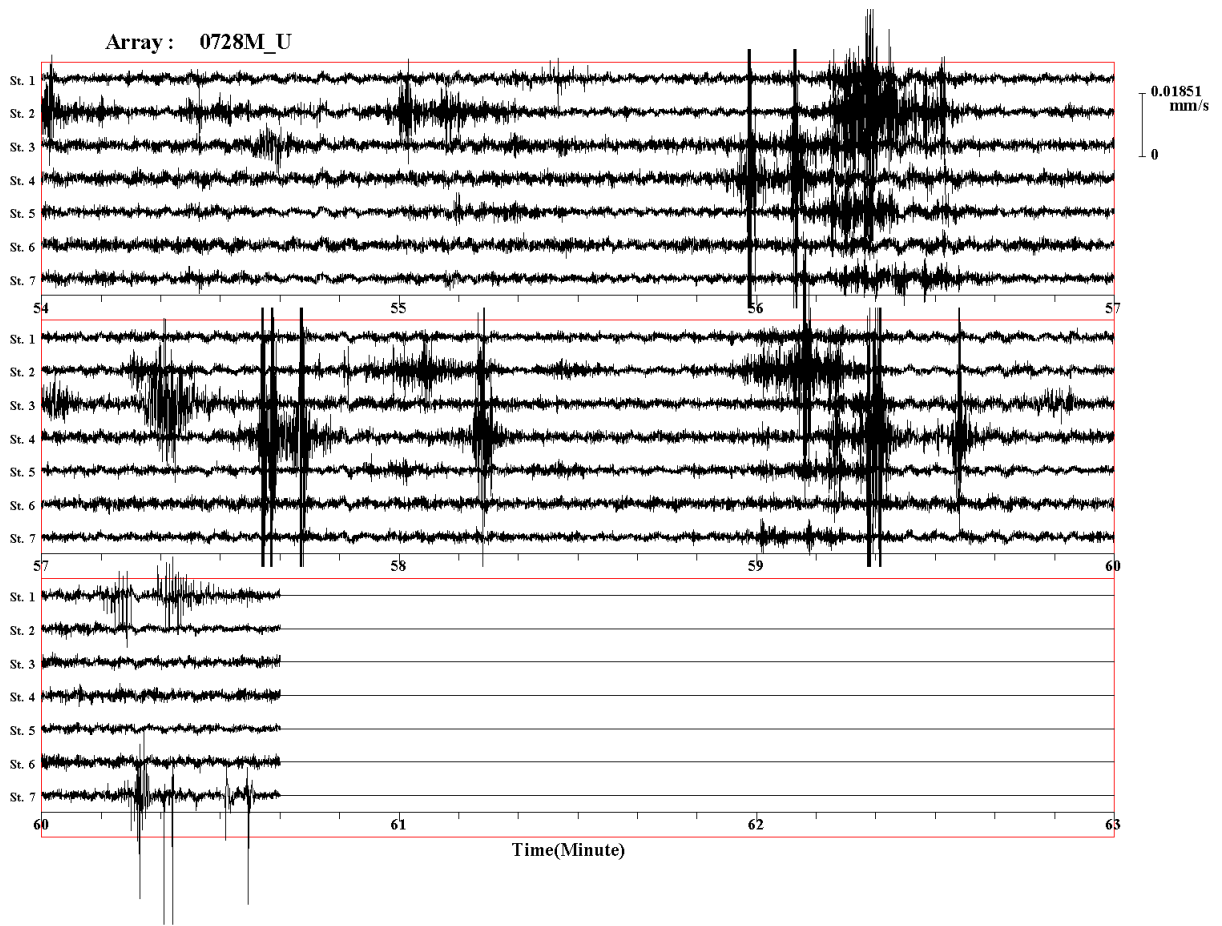
付図 1-4b-(1) 日立 M アレイにおける観測微動波形(07/27 23:20-24:20)



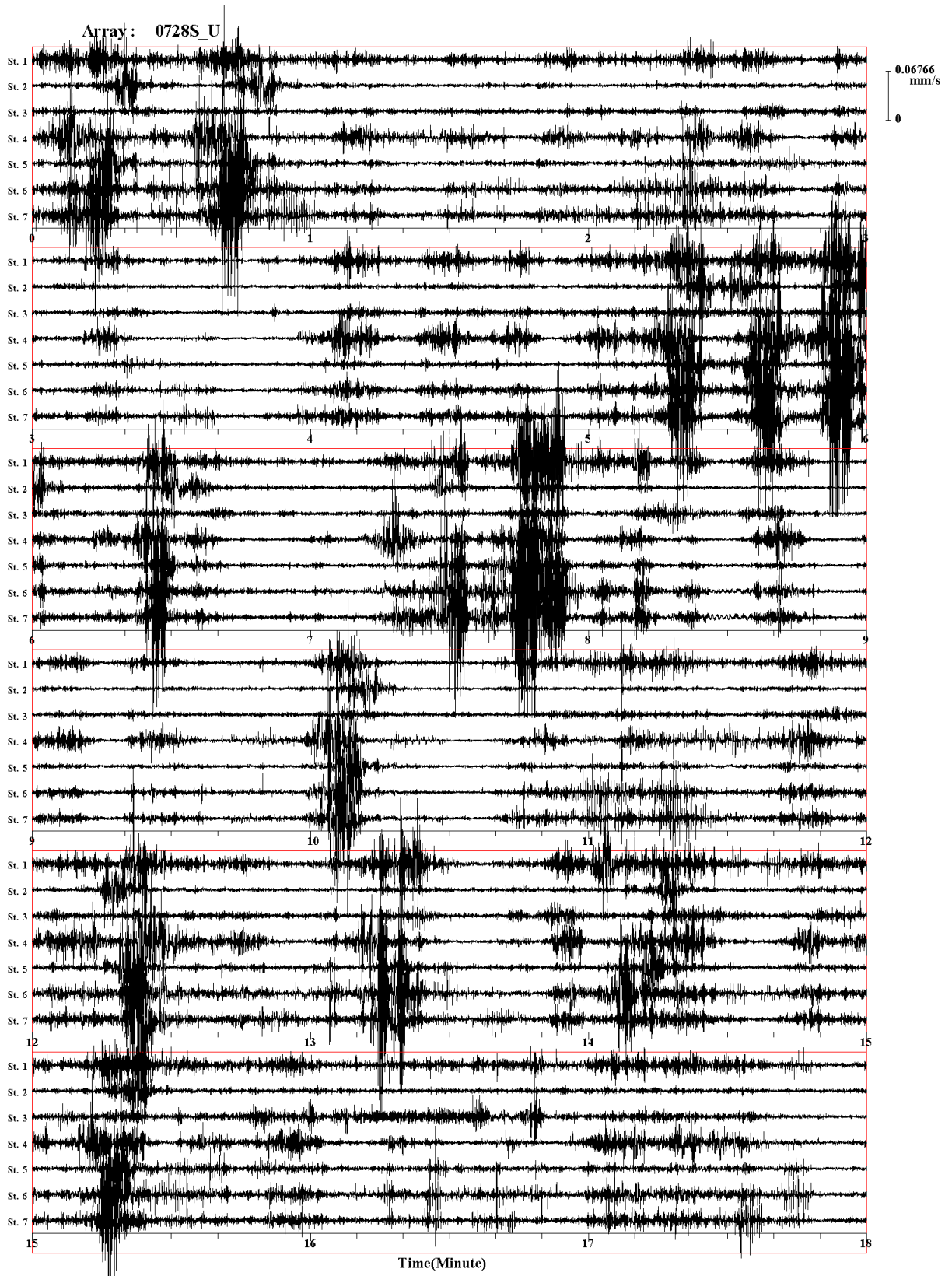
付図 1-4b-(2) 日立 M アレイにおける観測微動波形(07/27 23:20-24:20)



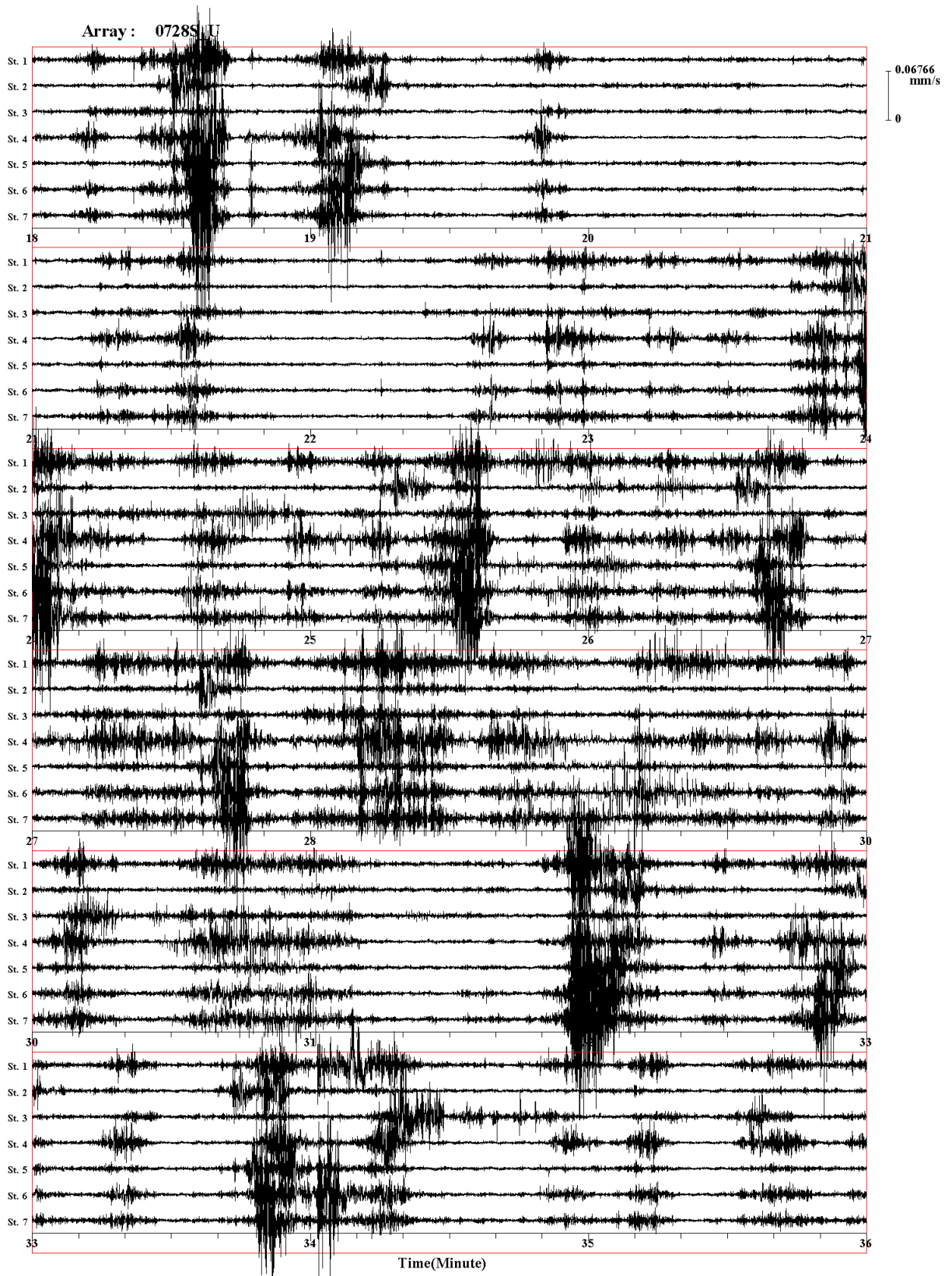
付図 1-4b-(3) 日立 M アレイにおける観測微動波形(07/27 23:20-24:20)



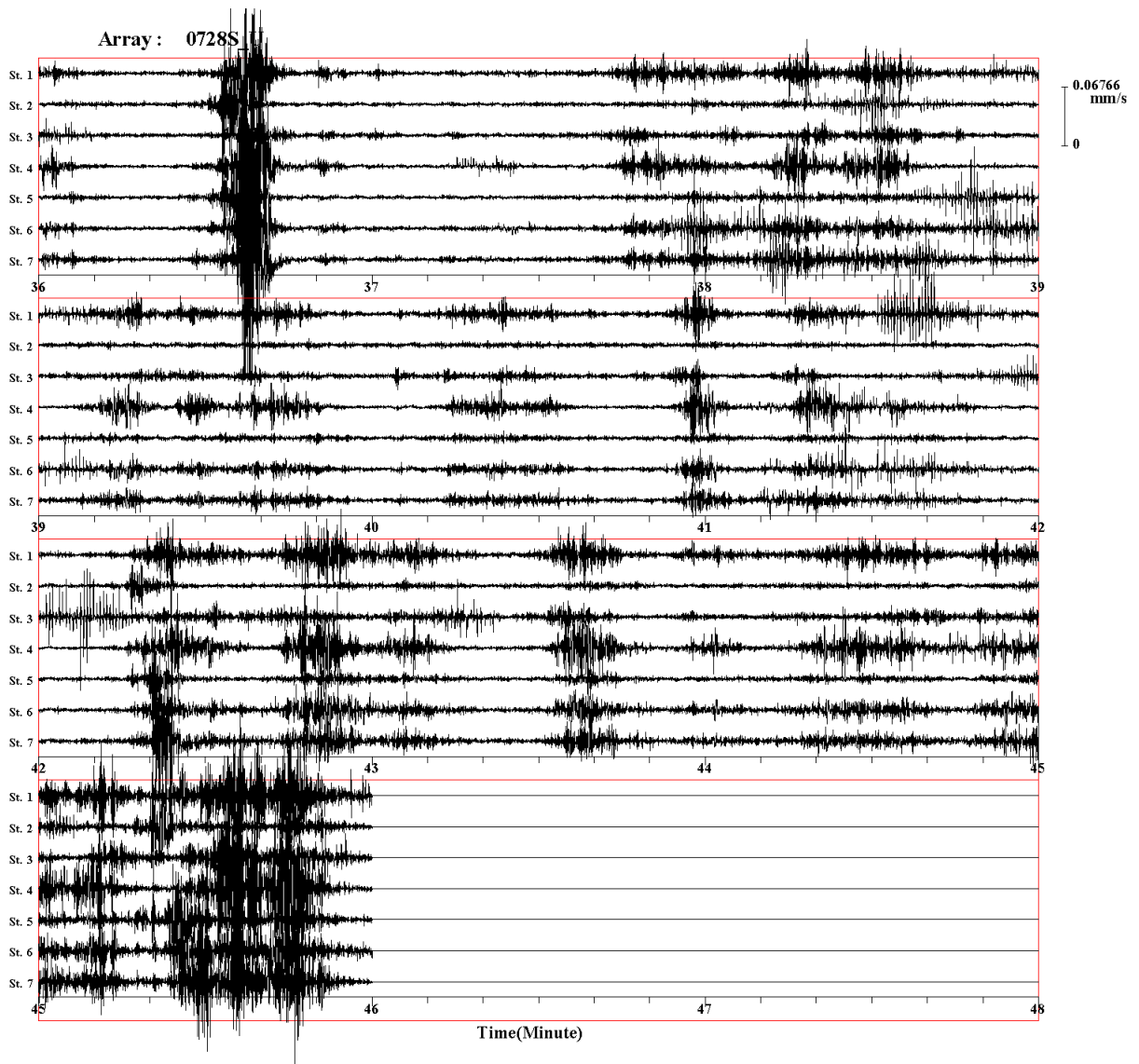
付図 1-4b-(4) 日立 M アレイにおける観測微動波形(07/27 23:20-24:20)



付図 1-4c-(1) 日立 S アレイにおける観測微動波形 (07/28 10:10-10:55)

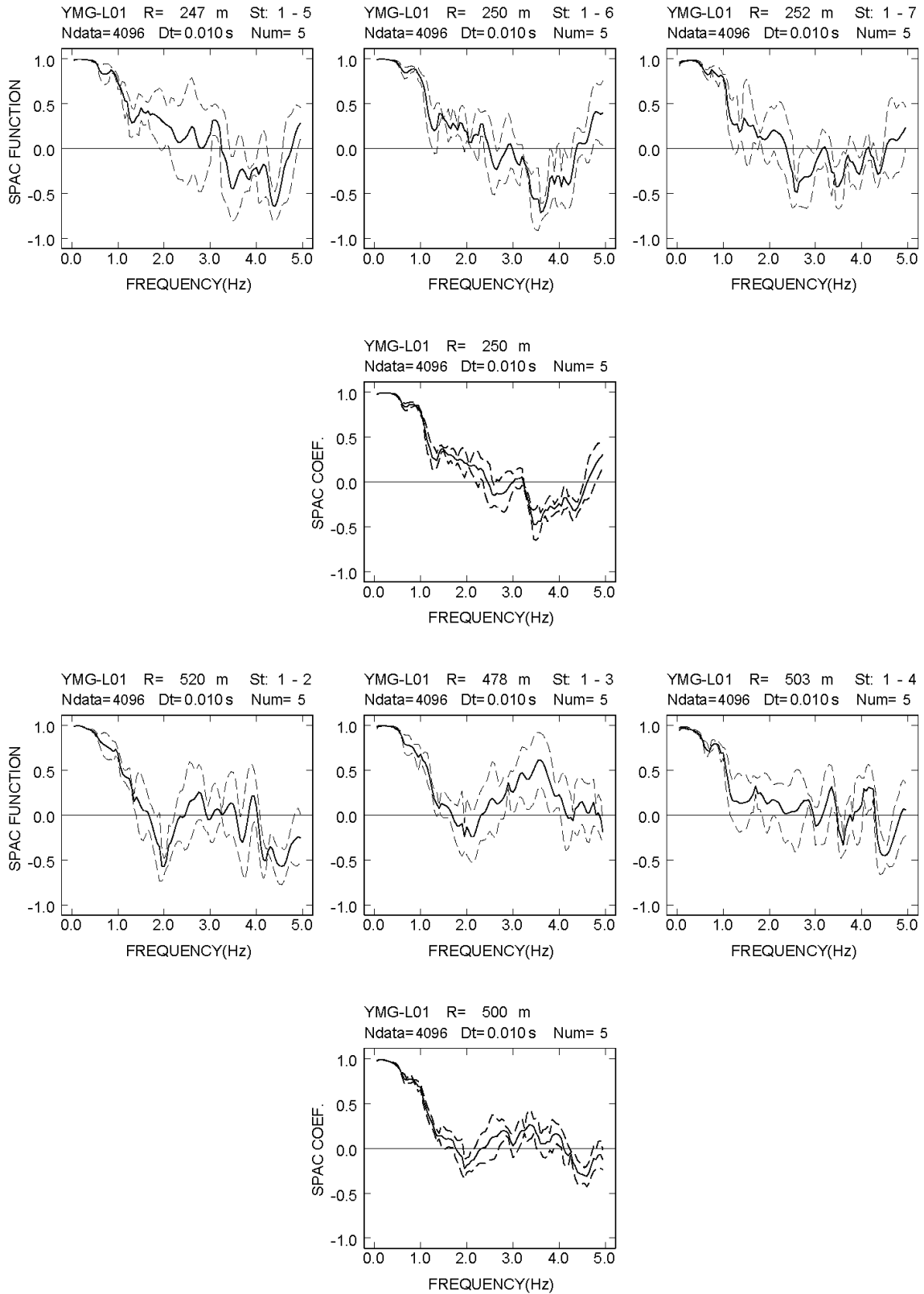


付図 1-4c-(2) 日立 S アレイにおける観測微動波形 (07/28 10:10-10:55)

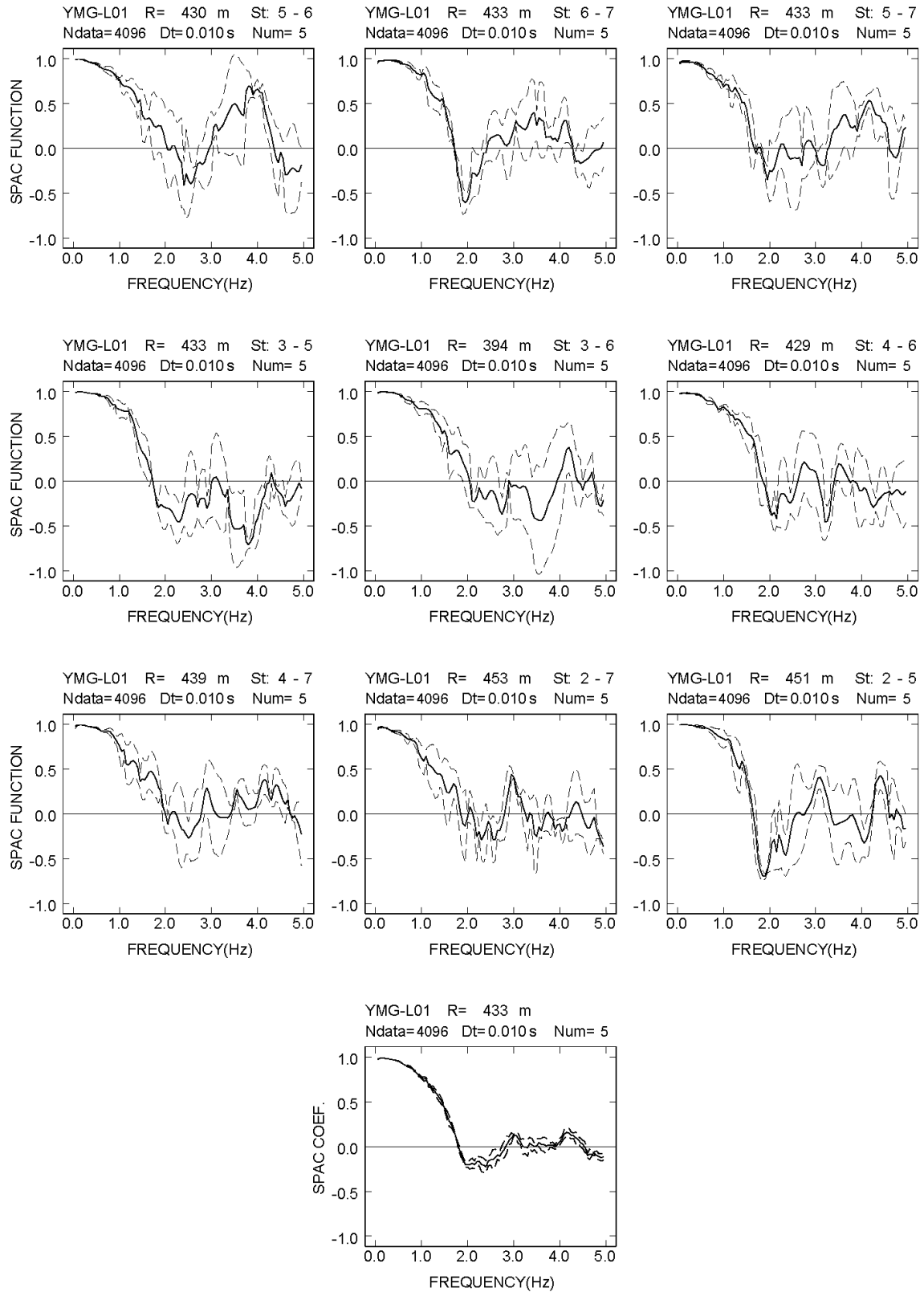


付図 1-4c-(3) 日立 S アレイにおける観測微動波形 (07/28 10:10-10:55)

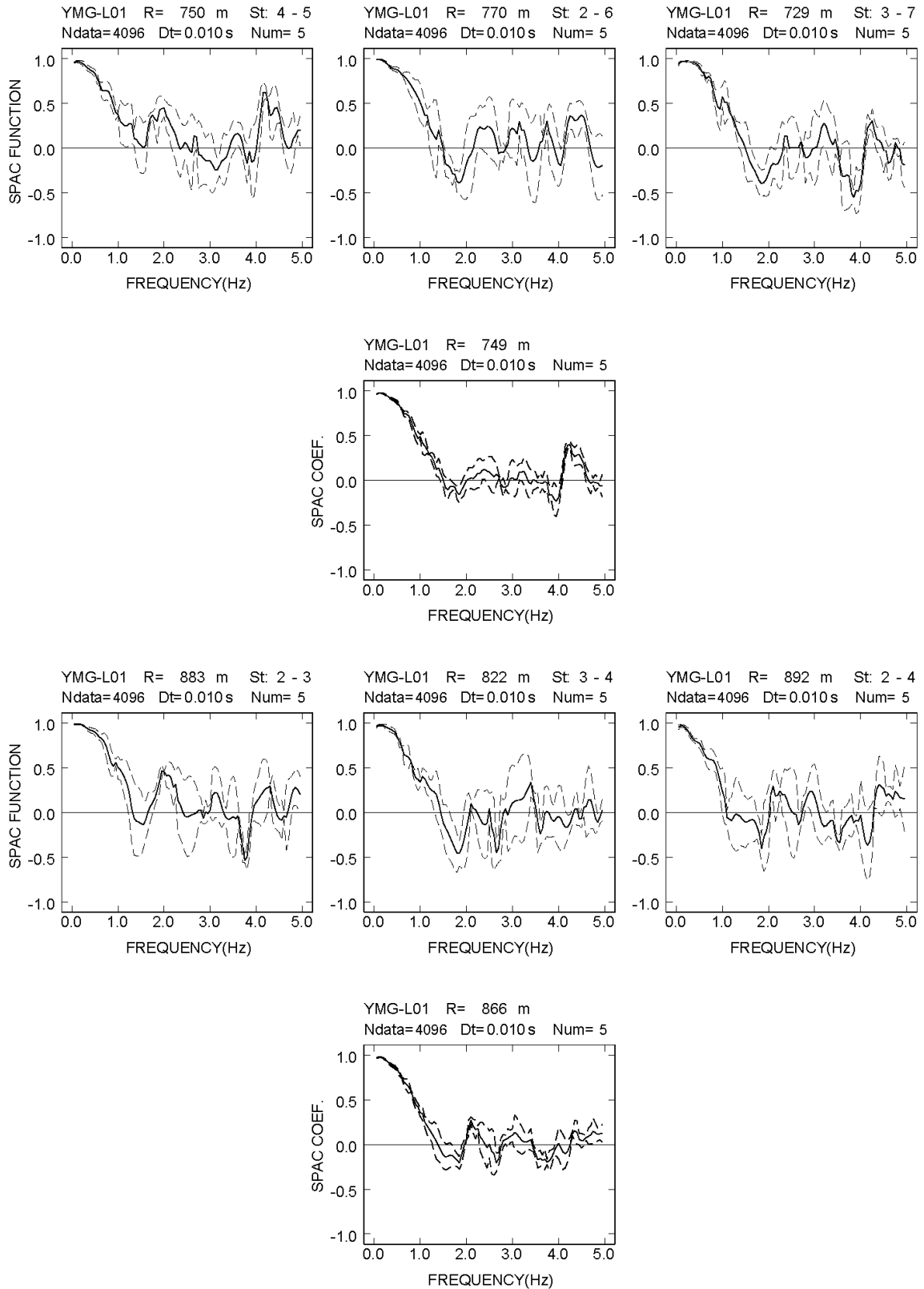
空間自己相関係数データ



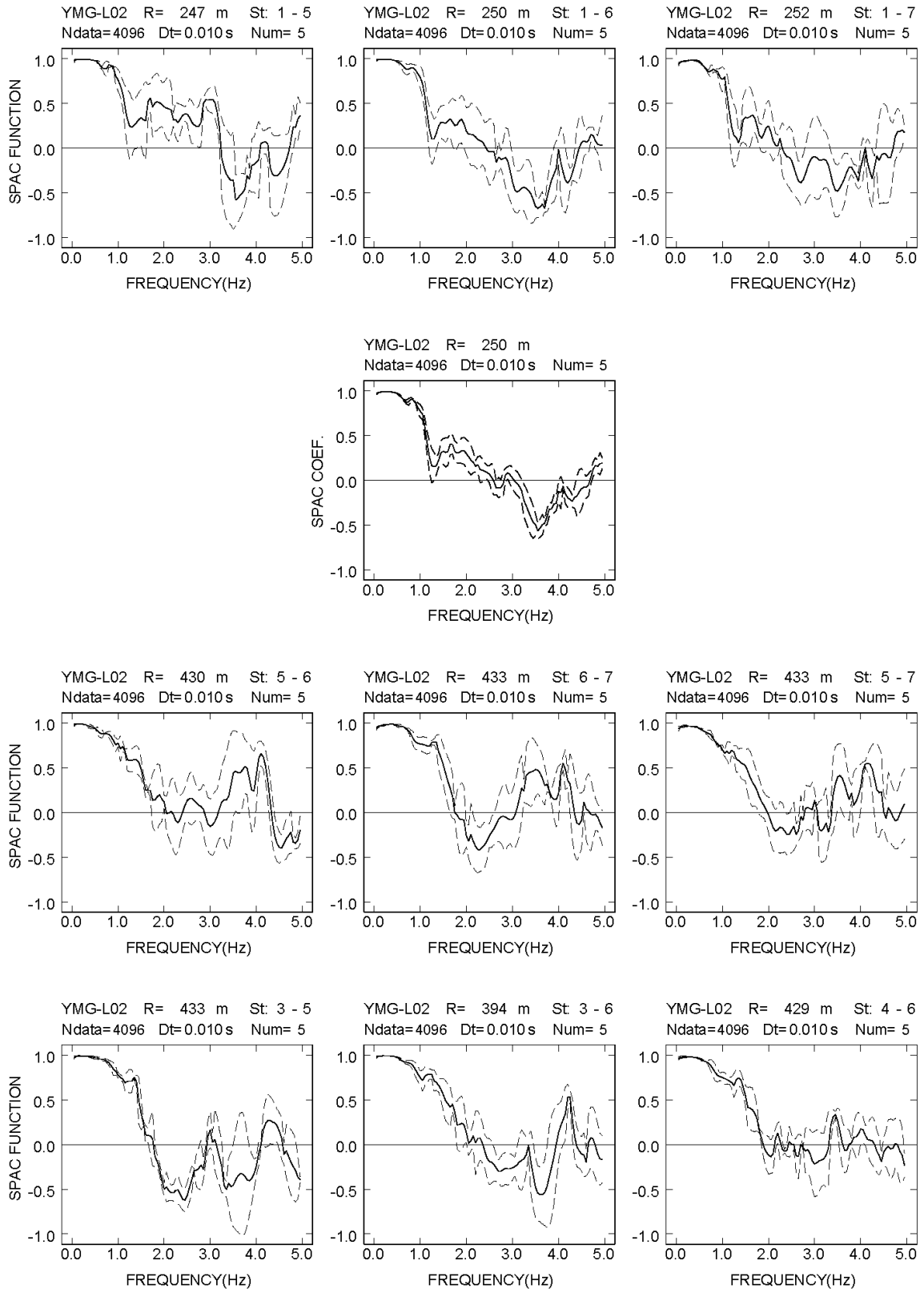
付図 2-1a-(1) 山下 L アレイにおける各地震計間隔での空間自己相関係数



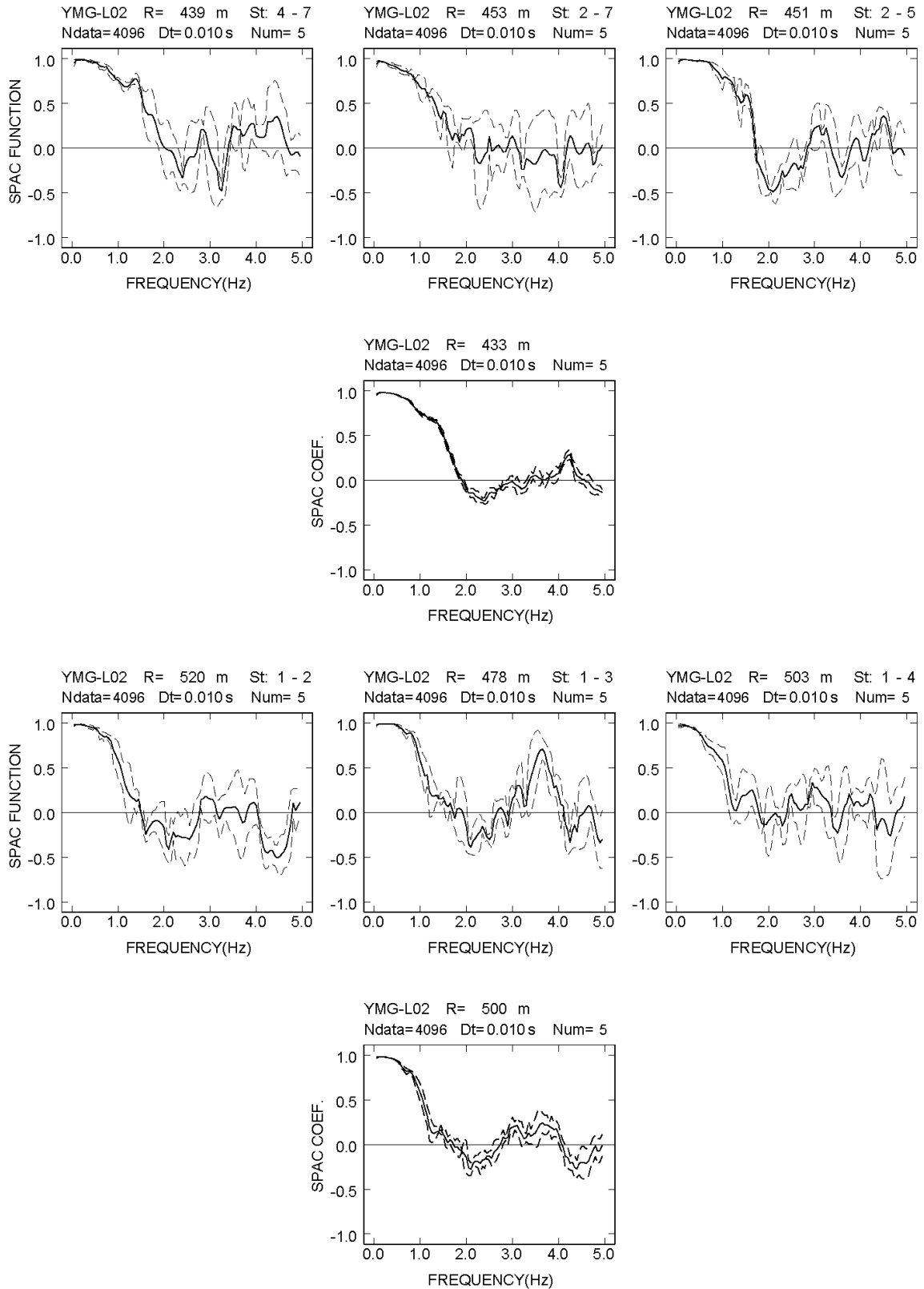
付図 2-1a-(2) 山下 L アレイにおける各地震計間隔での空間自己相関係数



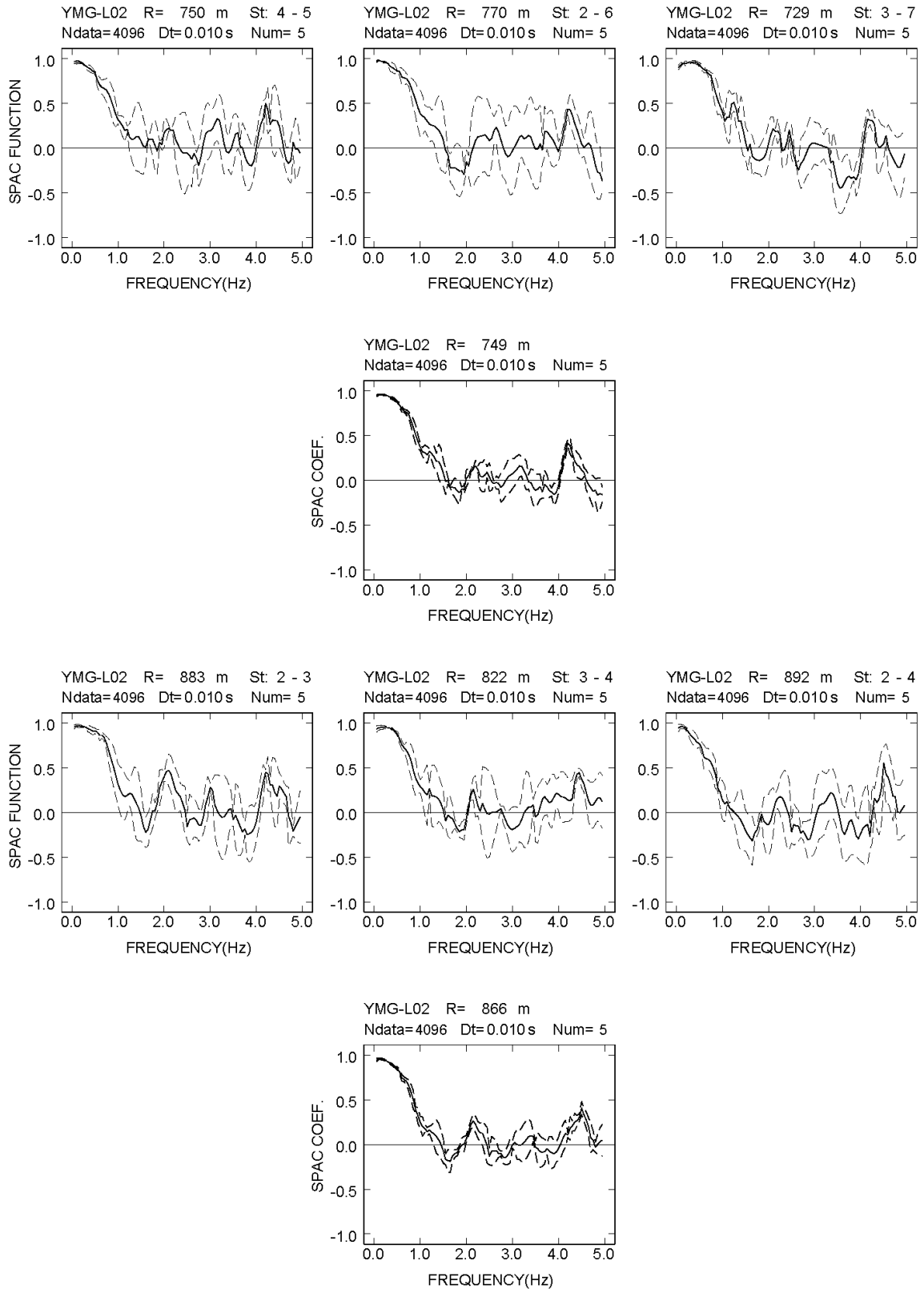
付図 2-1a-(3) 山下 L アレイにおける各地震計間隔での空間自己相関係数



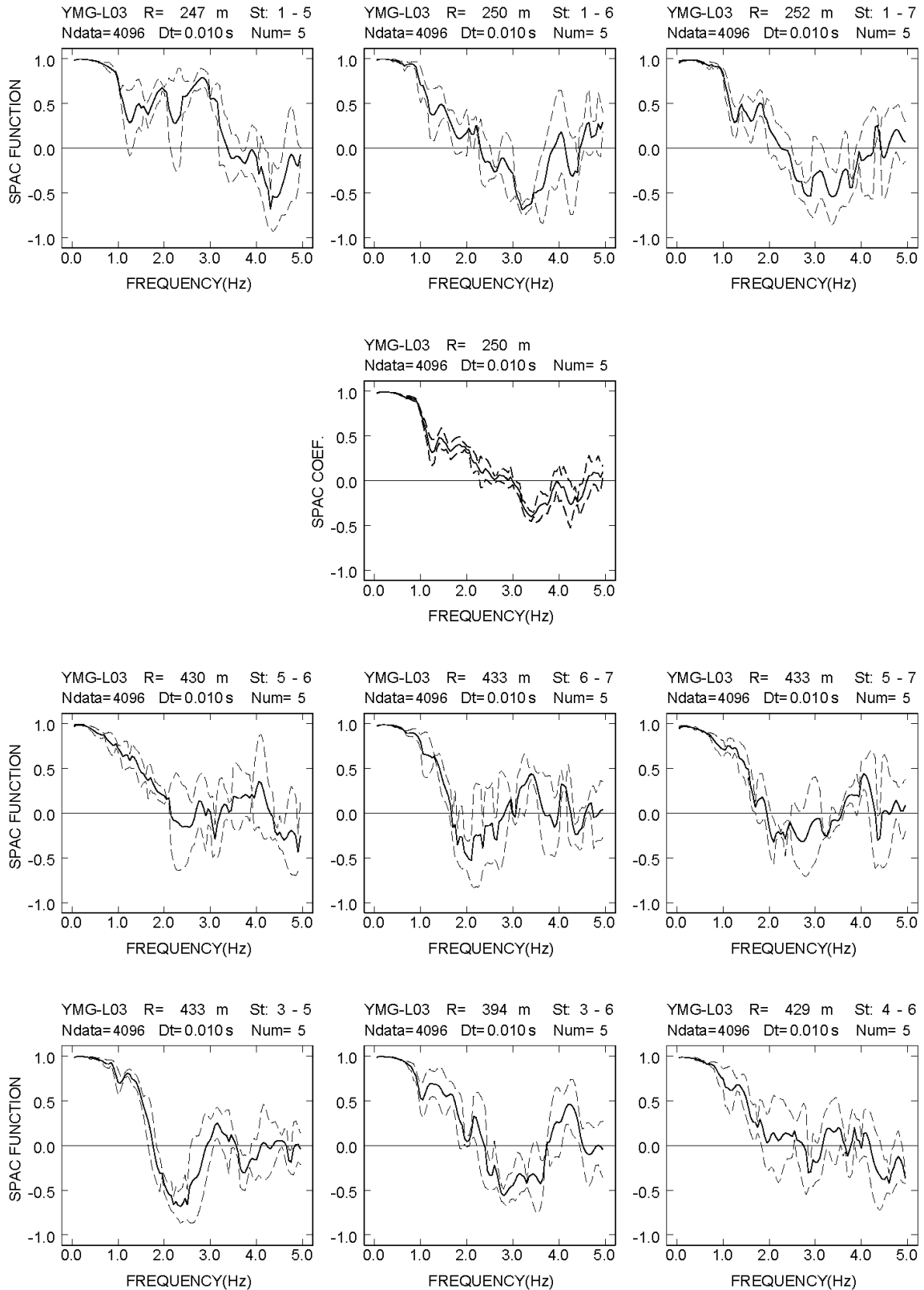
付図 2-1a-(4) 山下 L アレイにおける各地震計間隔での空間自己相関係数



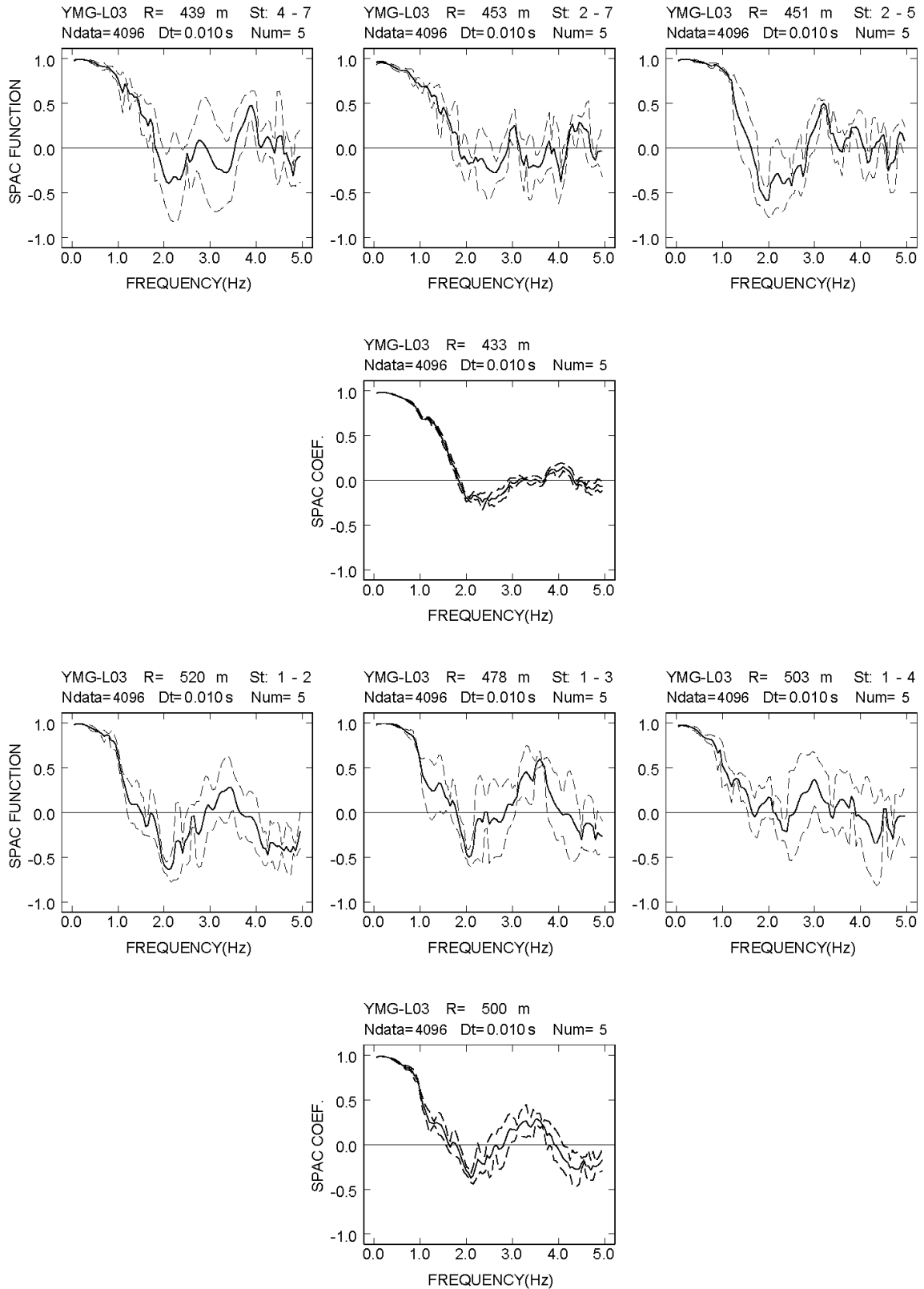
付図 2-1a-(5) 山下 L アレイにおける各地震計間隔での空間自己相関係数



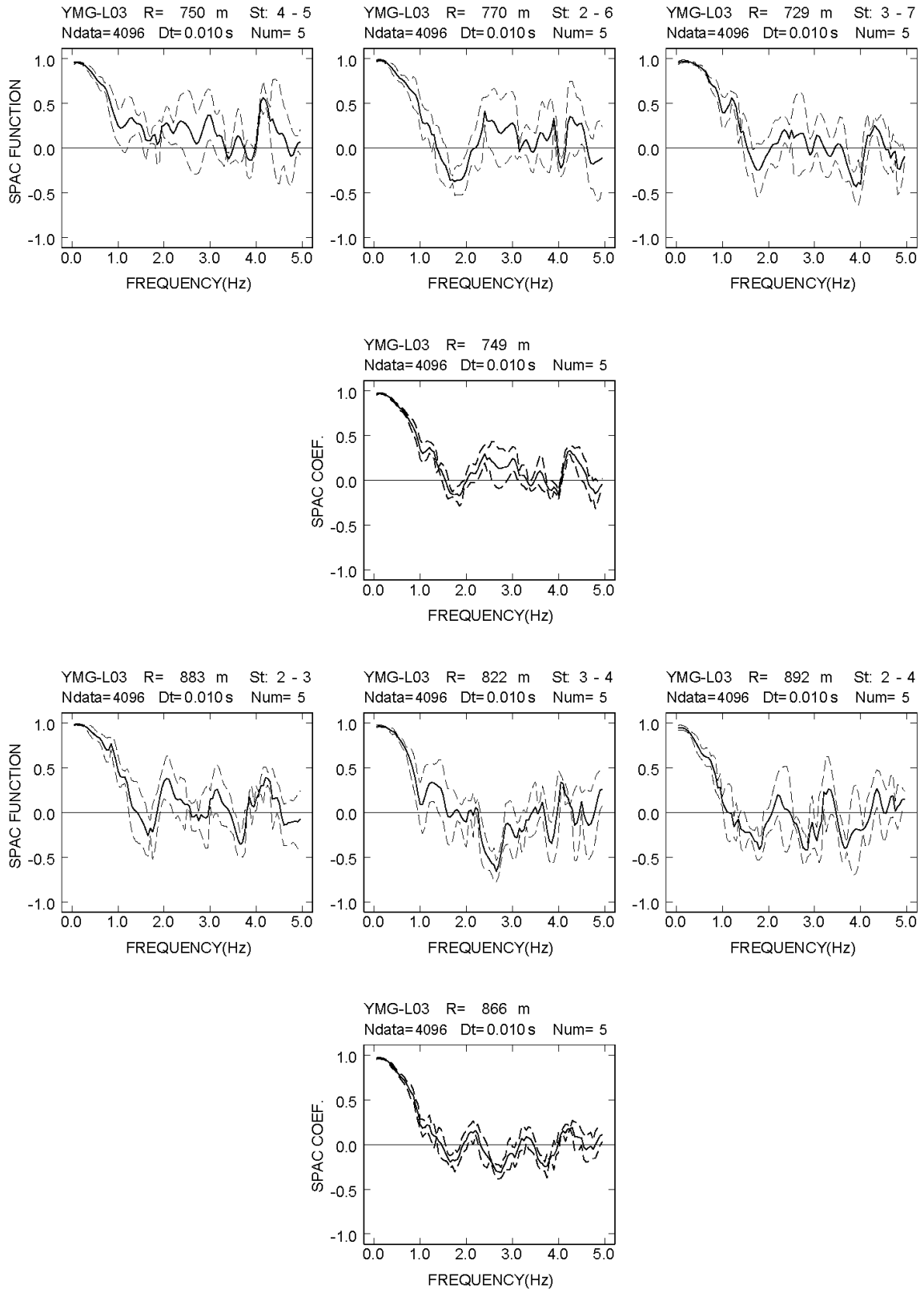
付図 2-1a-(6) 山下 L アレイにおける各地震計間隔での空間自己相関係数



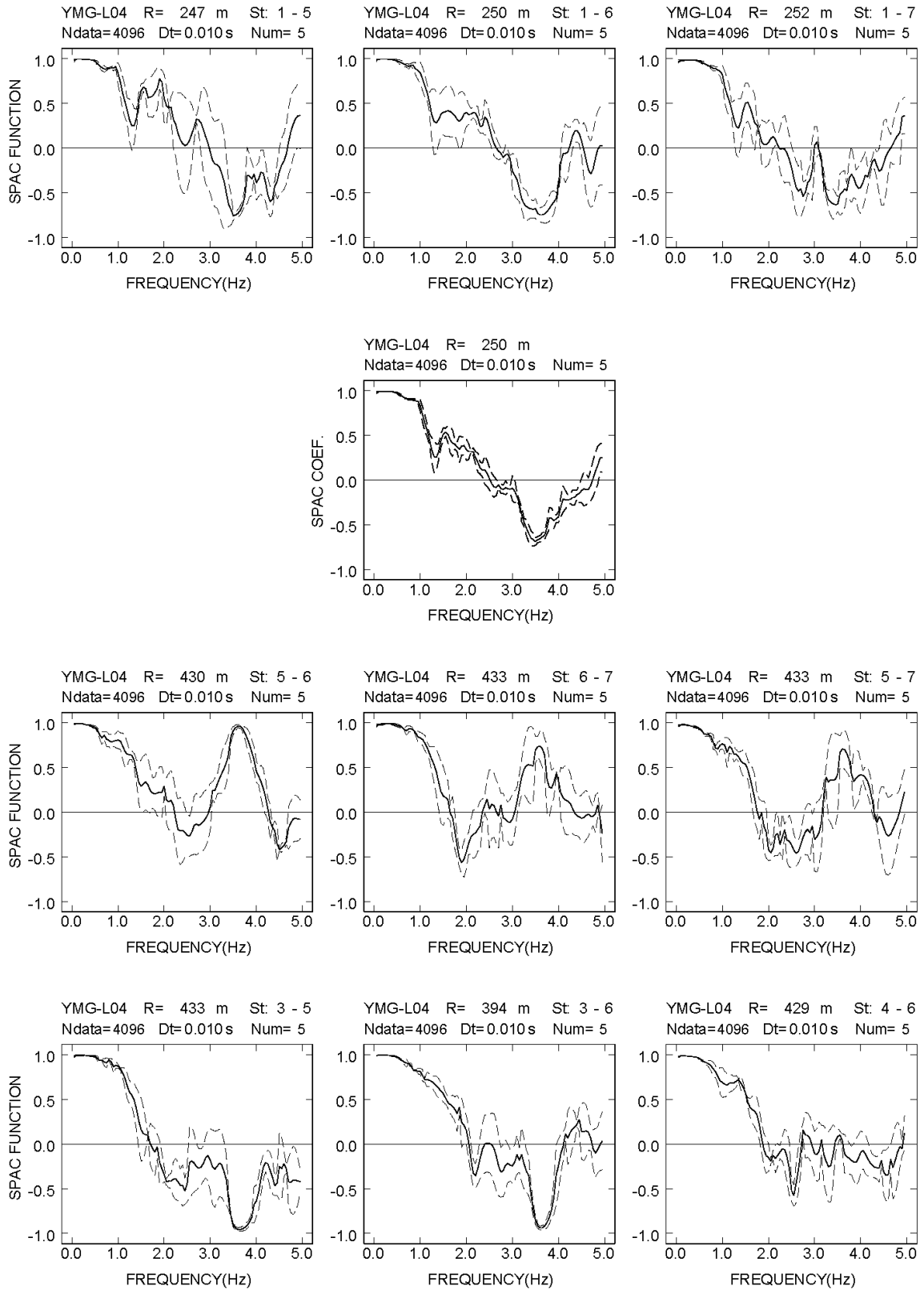
付図 2-1a-(7) 山下 L アレイにおける各地震計間隔での空間自己相関係数



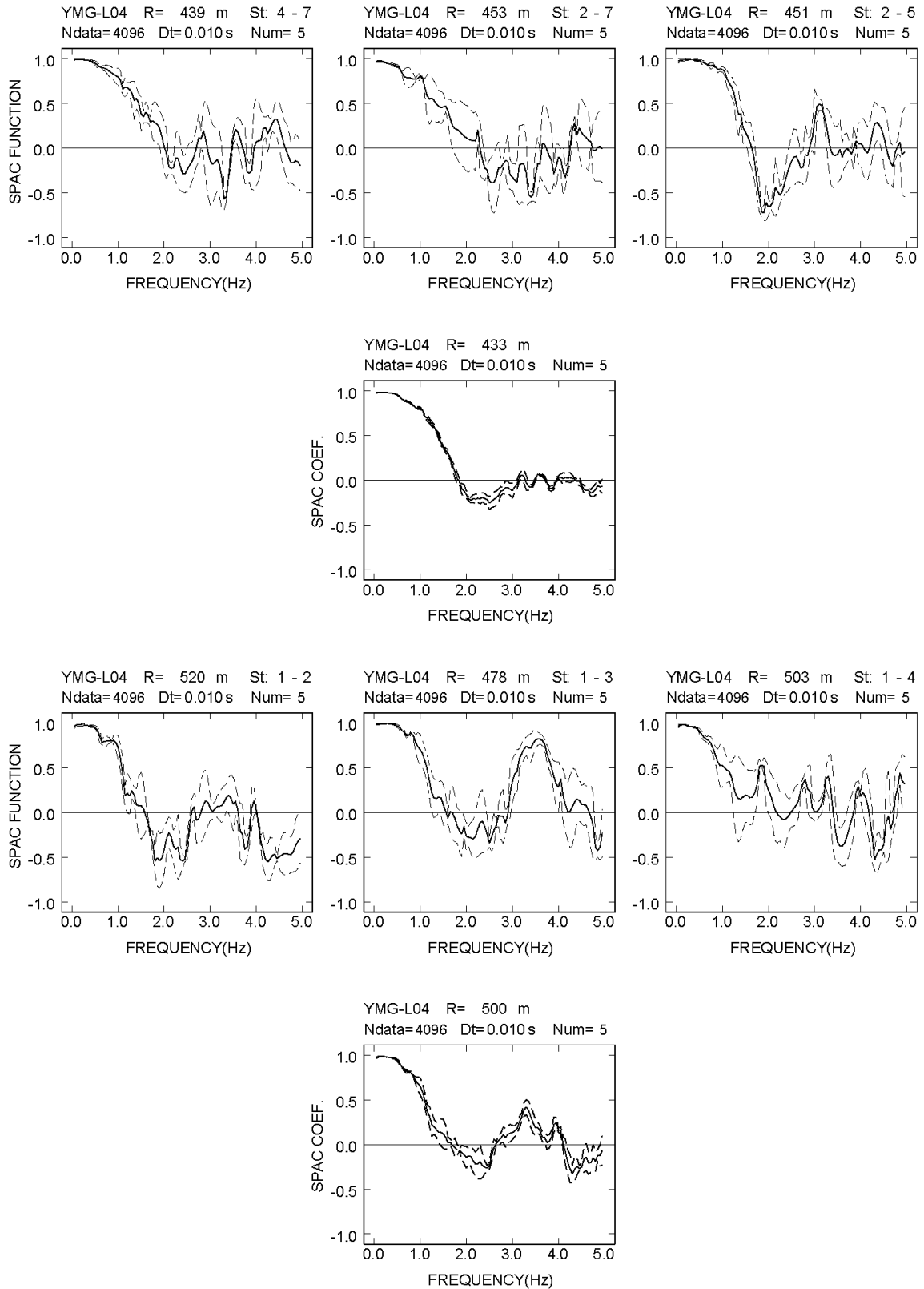
付図 2-1a-(8) 山下 L アレイにおける各地震計間隔での空間自己相関係数



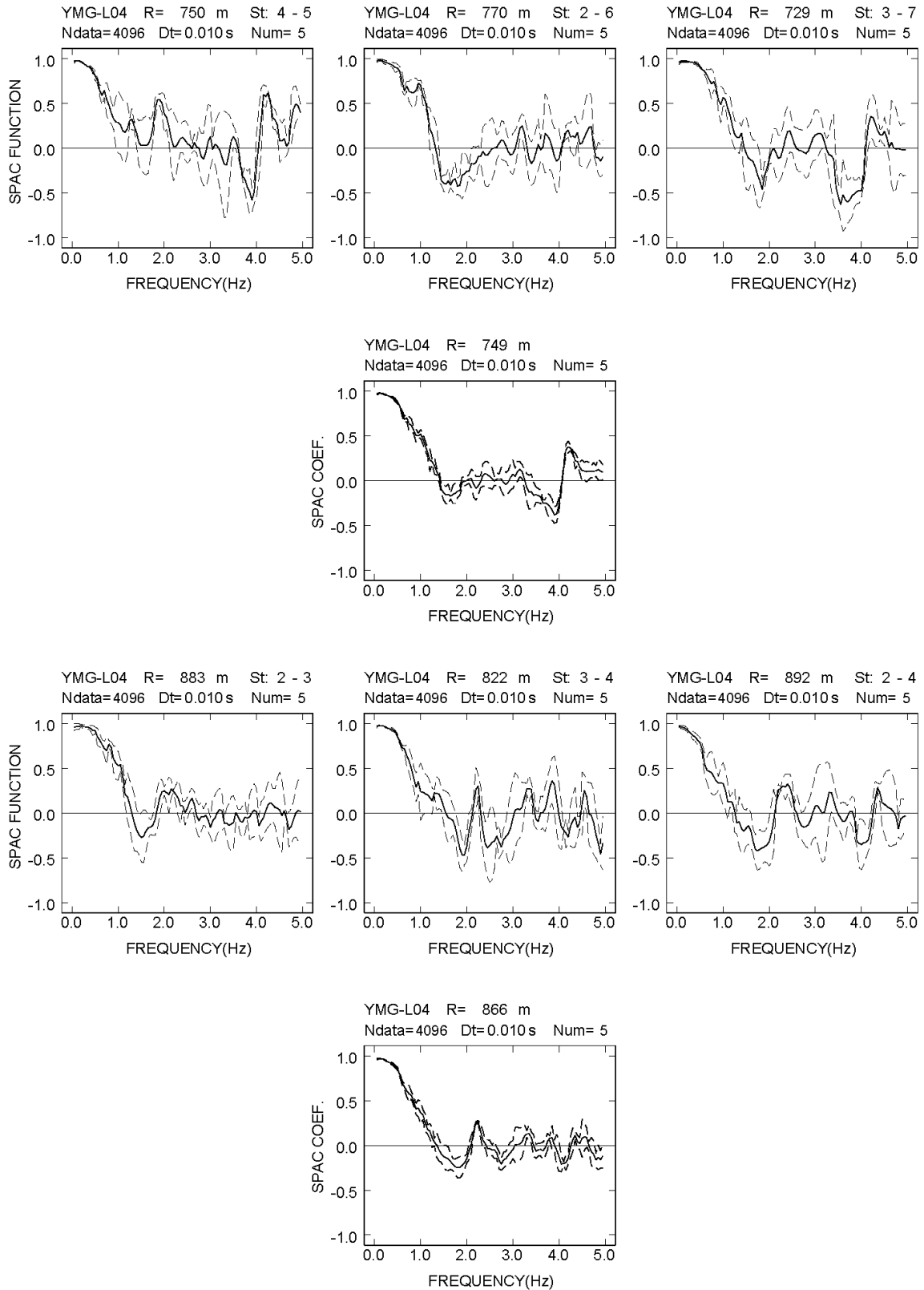
付図 2-1a-(9) 山下 L アレイにおける各地震計間隔での空間自己相関係数



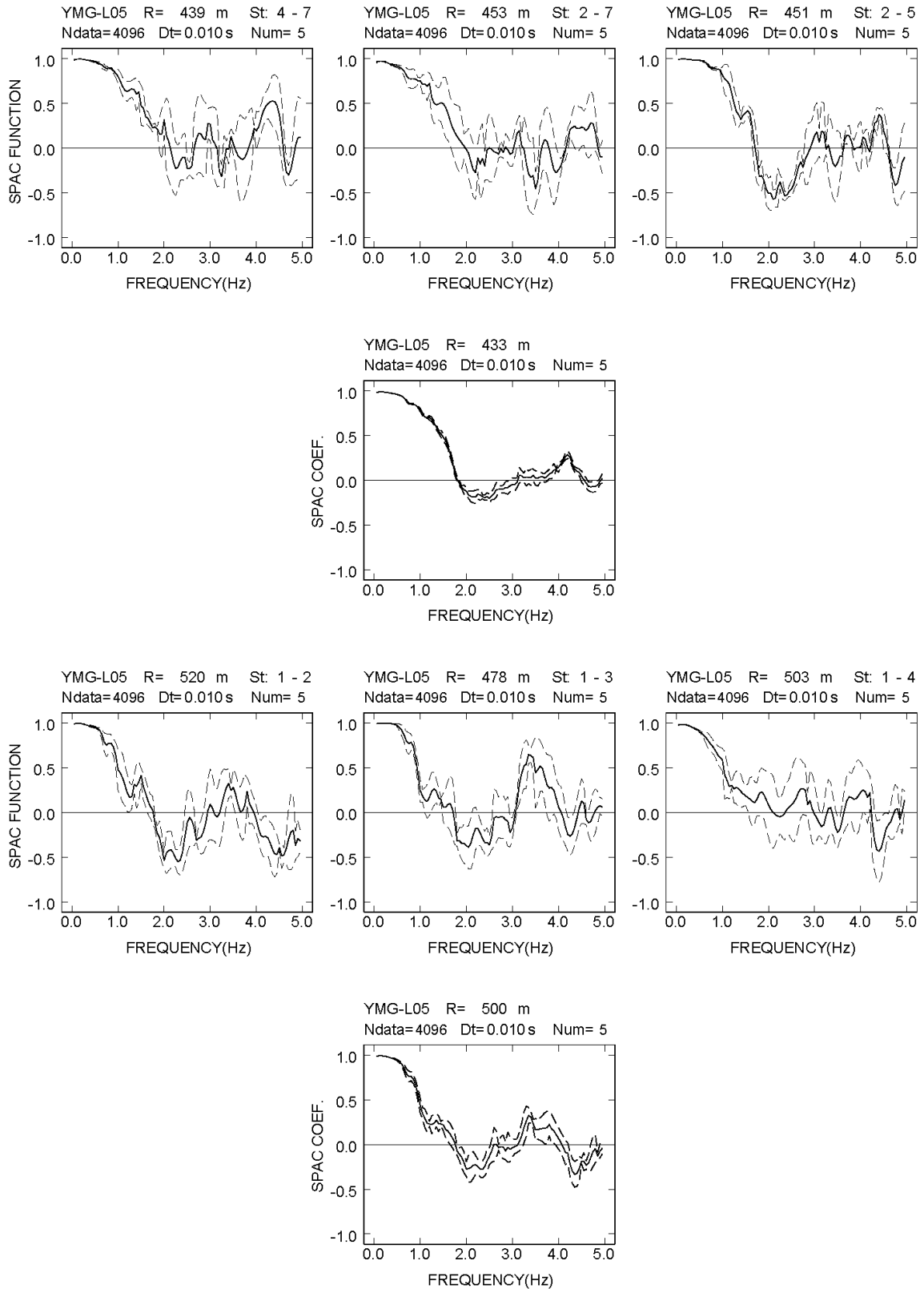
付図 2-1a-(10) 山下 L アレイにおける各地震計間隔での空間自己相関係数



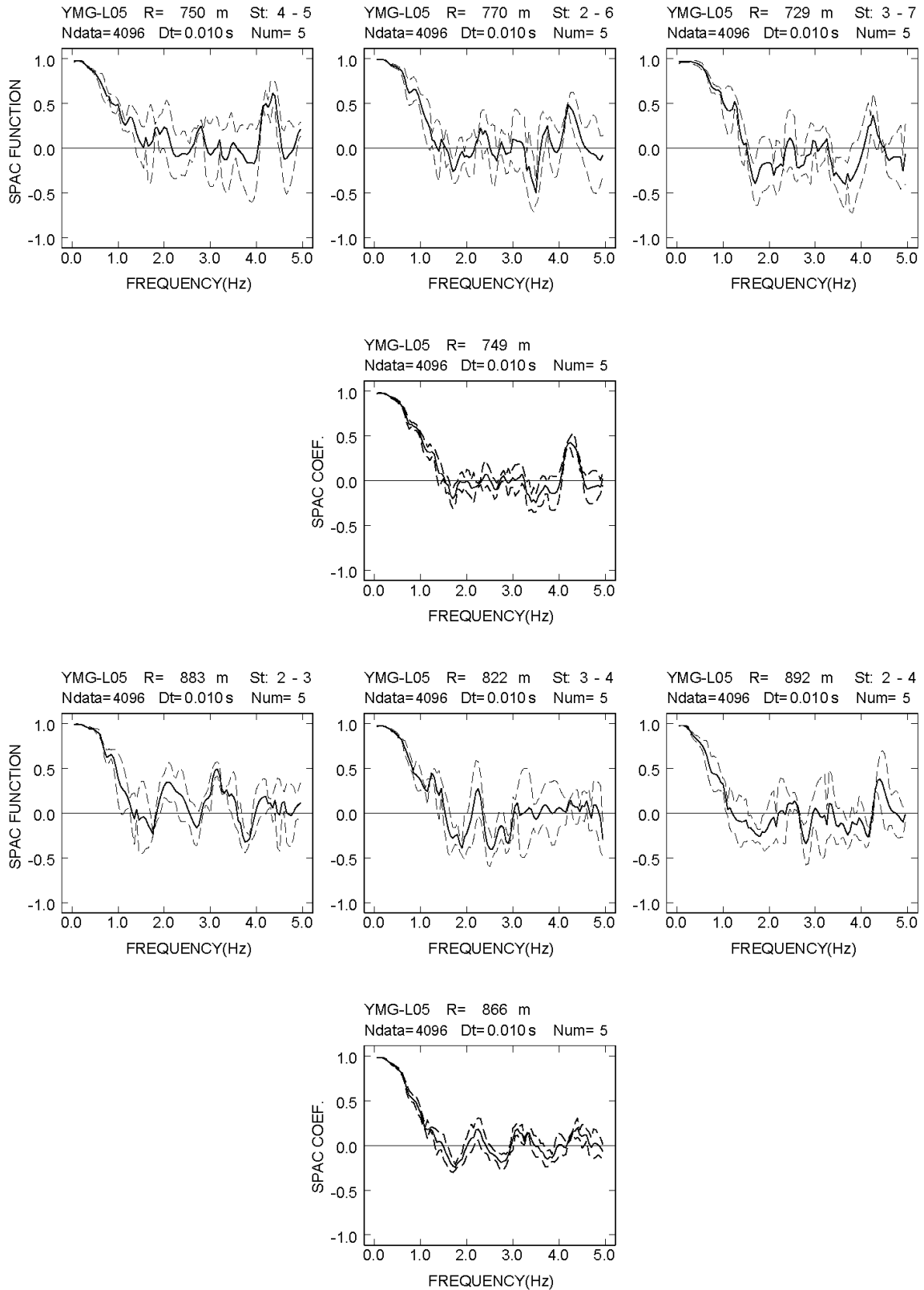
付図 2-1a-(11) 山下 L アレイにおける各地震計間隔での空間自己相関係数



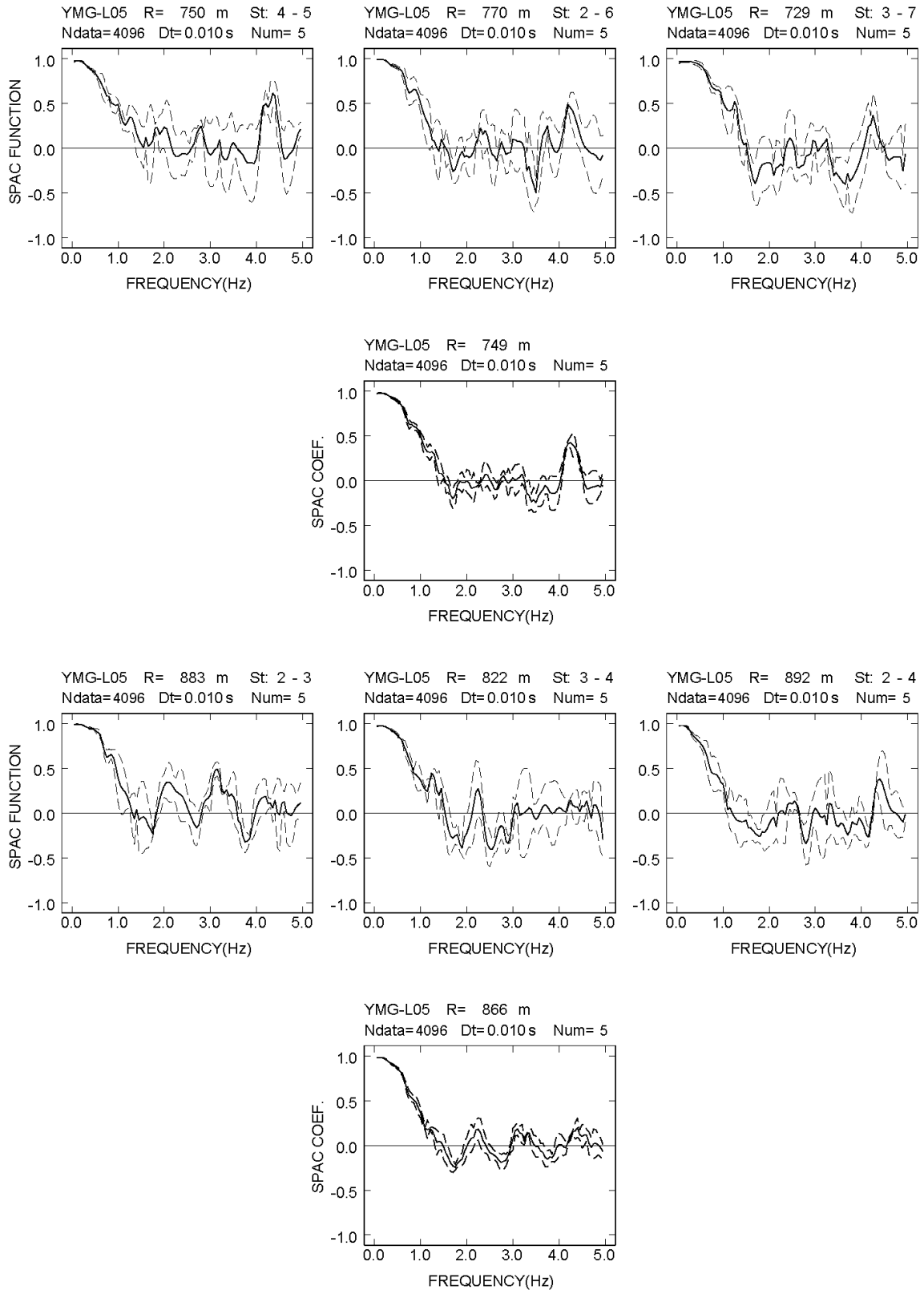
付図 2-1a-(12) 山下 L アレイにおける各地震計間隔での空間自己相関係数



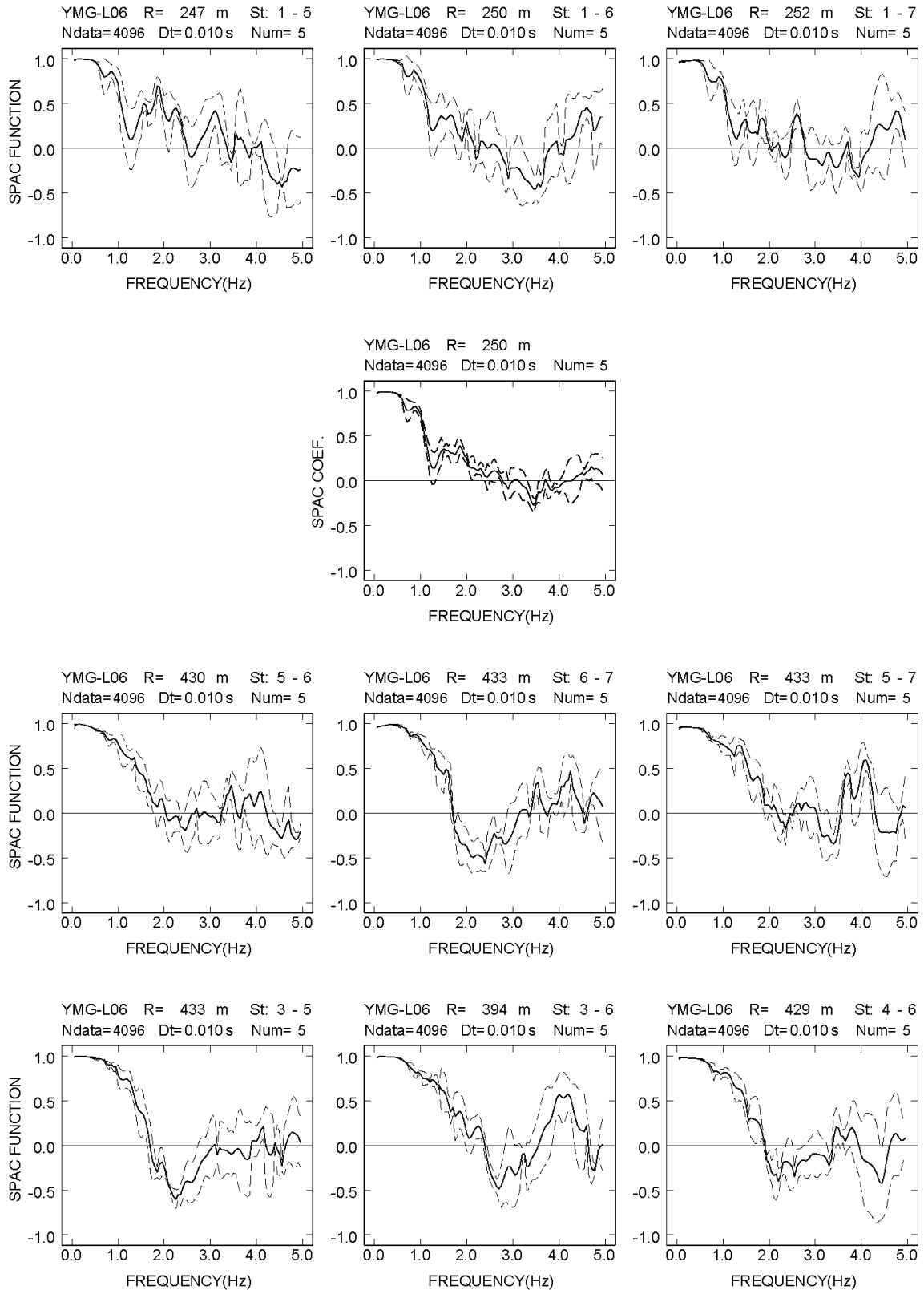
付図 2-1a-(13) 山下 L アレイにおける各地震計間隔での空間自己相関係数



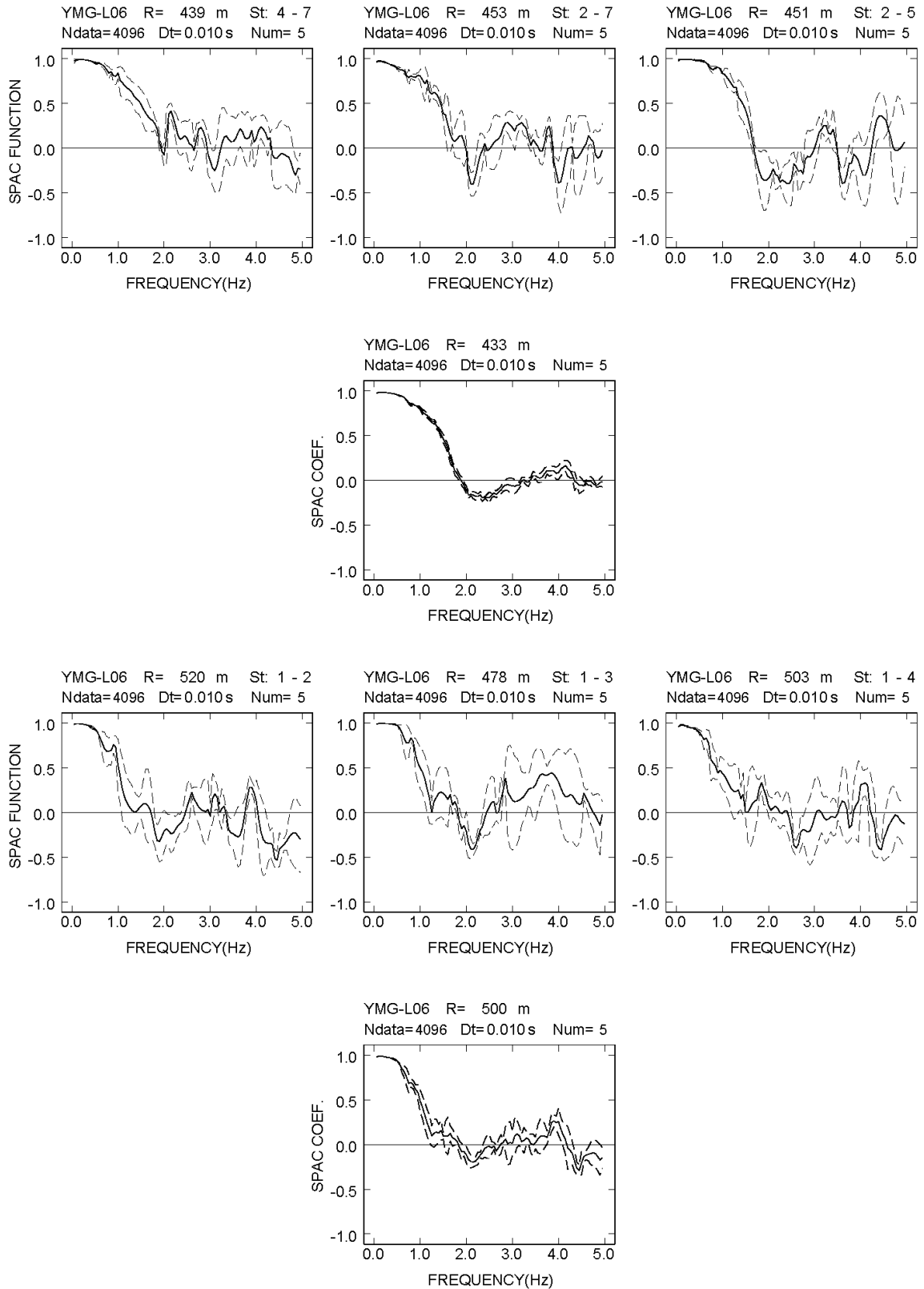
付図 2-1a-(14) 山下 L アレイにおける各地震計間隔での空間自己相関係数



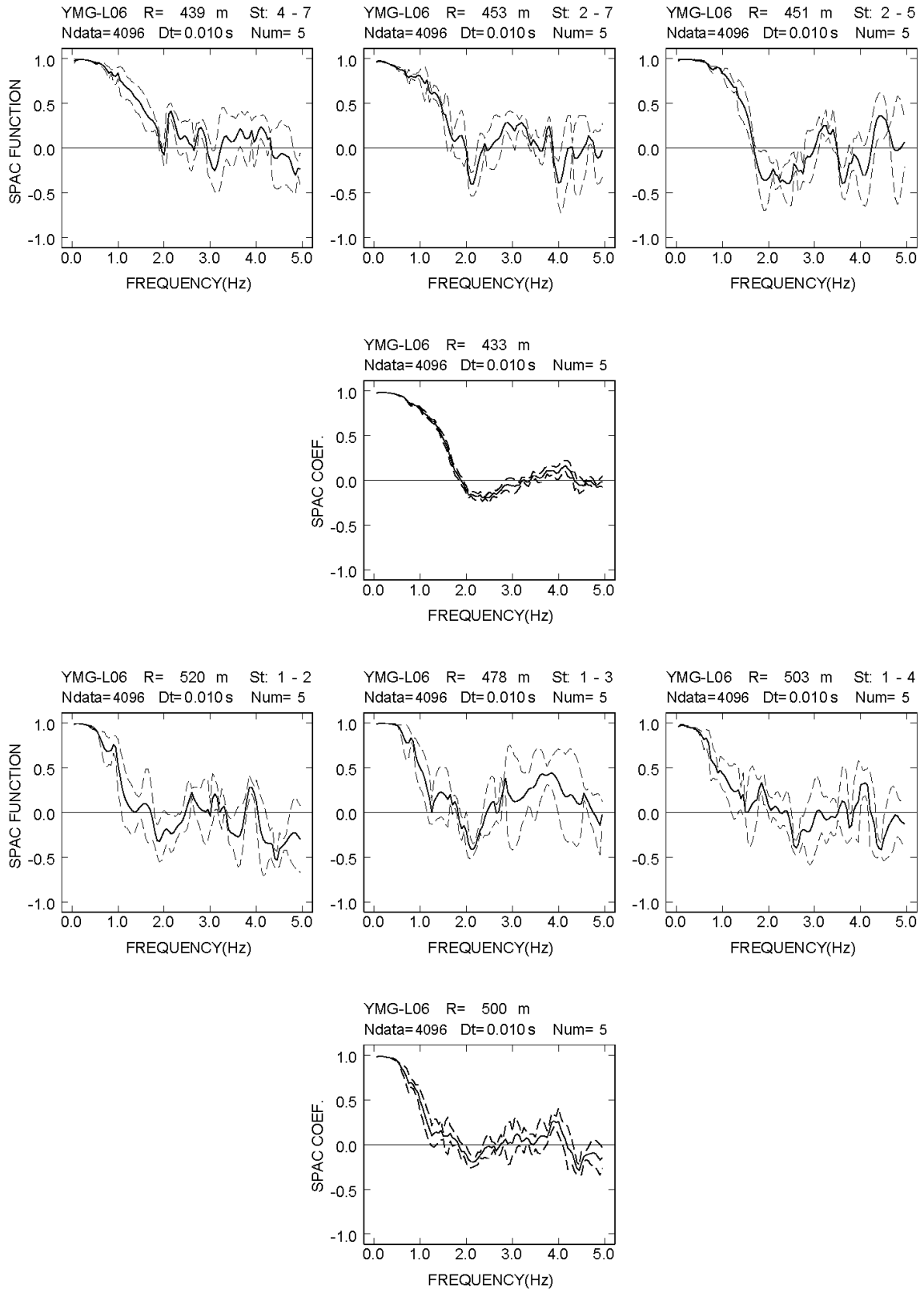
付図 2-1a-(15) 山下 L アレイにおける各地震計間隔での空間自己相関係数



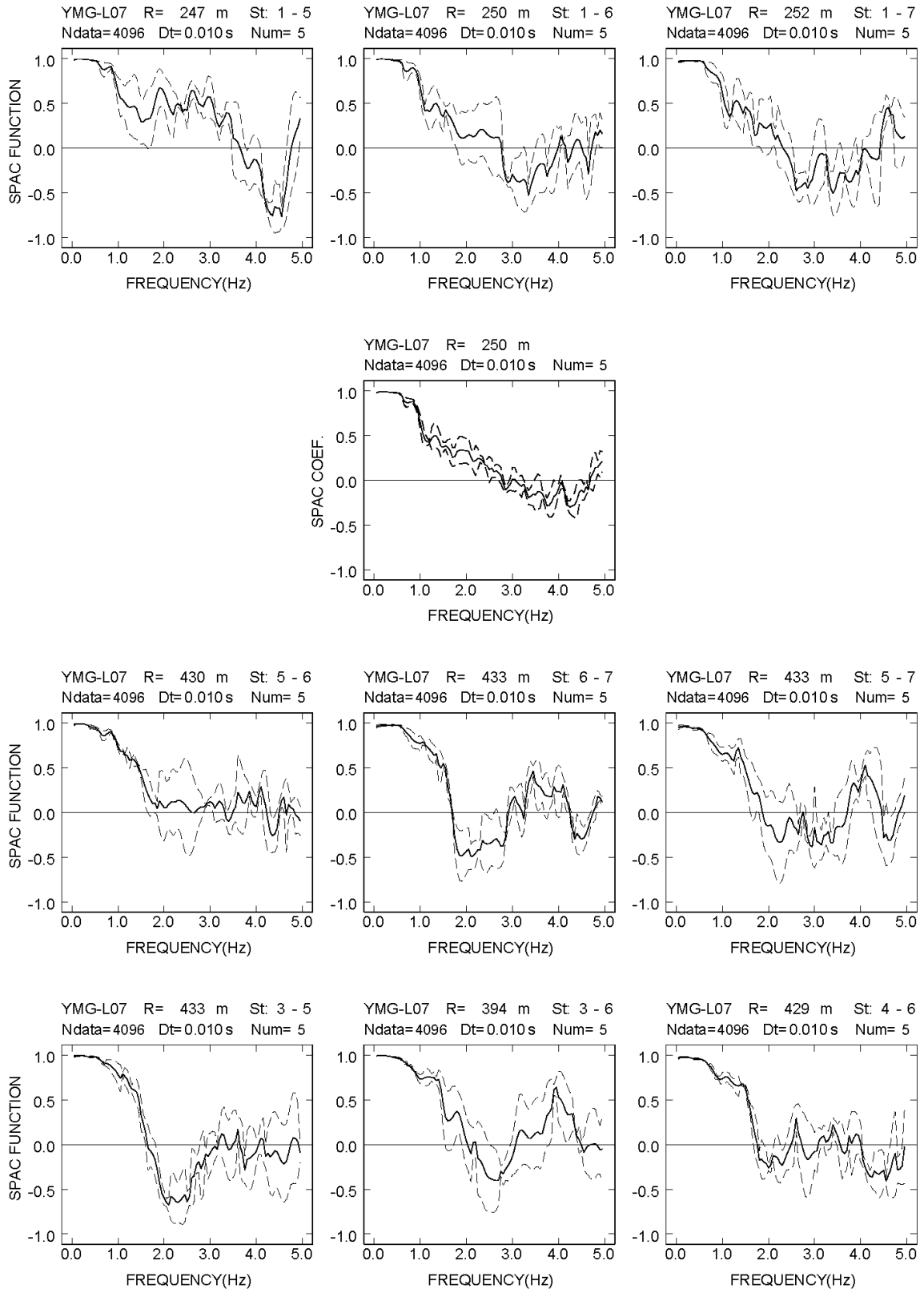
付図 2-1a-(16) 山下 L アレイにおける各地震計間隔での空間自己相関係数



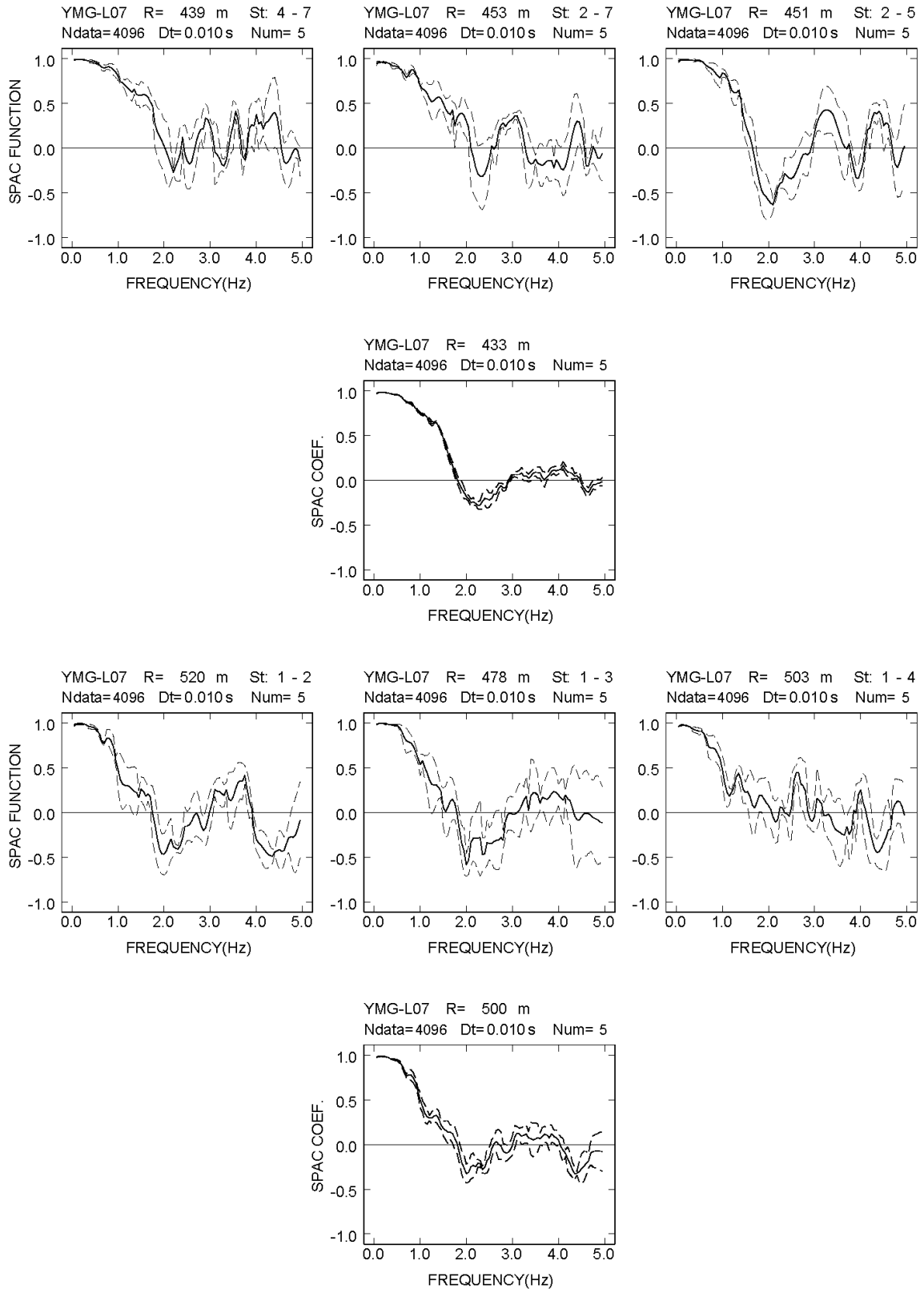
付図 2-1a-(17) 山下 L アレイにおける各地震計間隔での空間自己相関係数



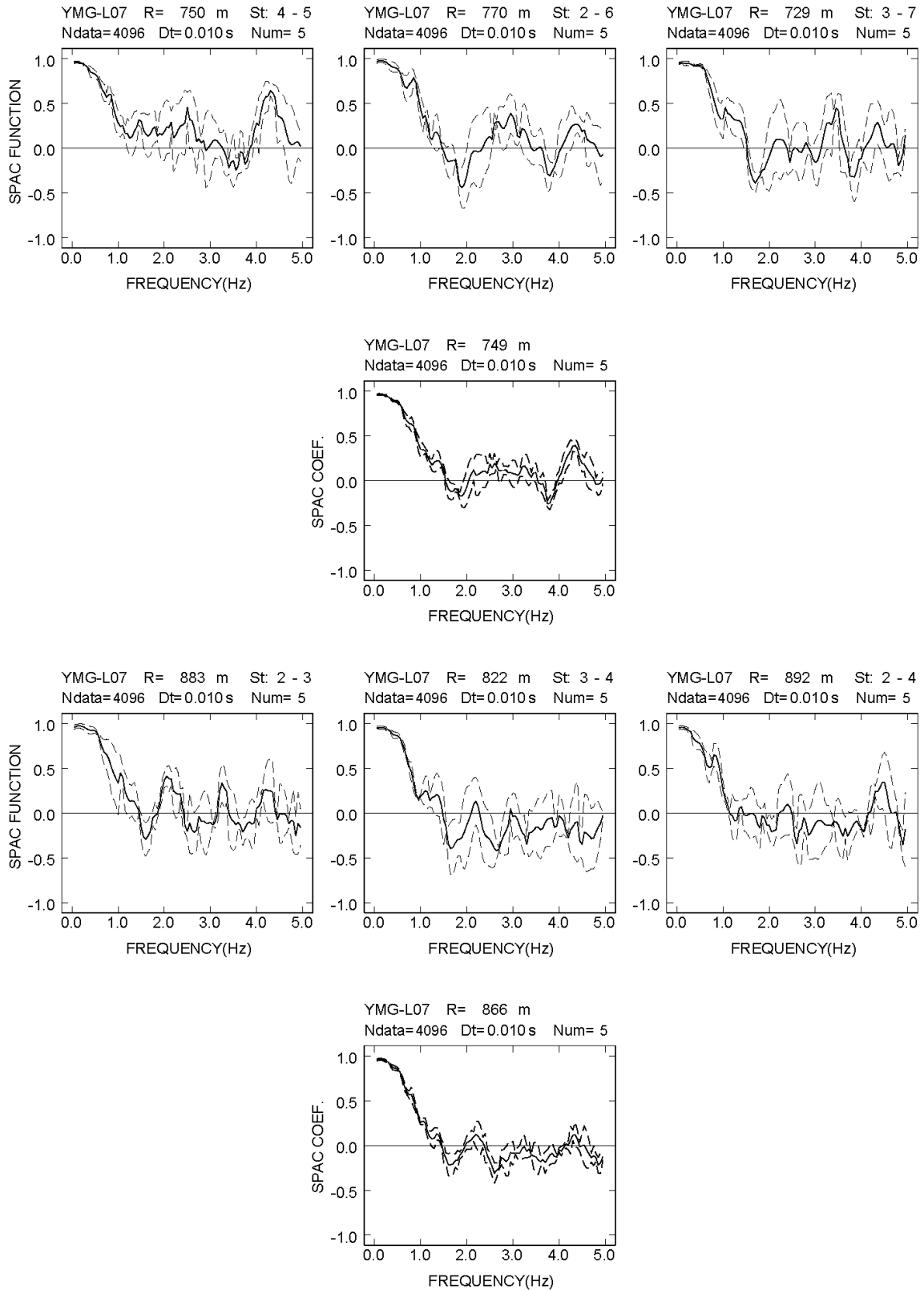
付図 2-1a-(18) 山下 L アレイにおける各地震計間隔での空間自己相関係数



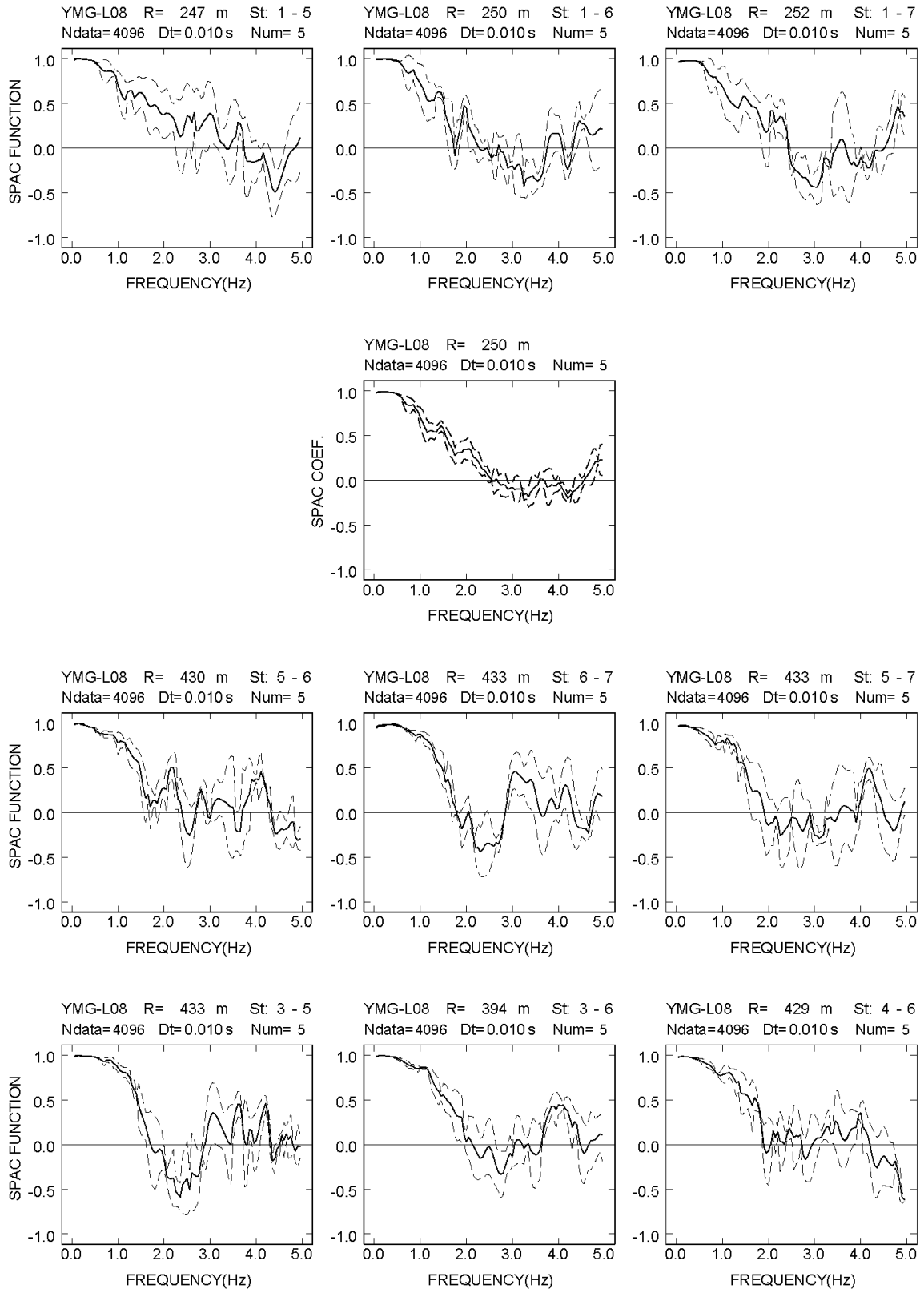
付図 2-1a-(19) 山下 L アレイにおける各地震計間隔での空間自己相関係数



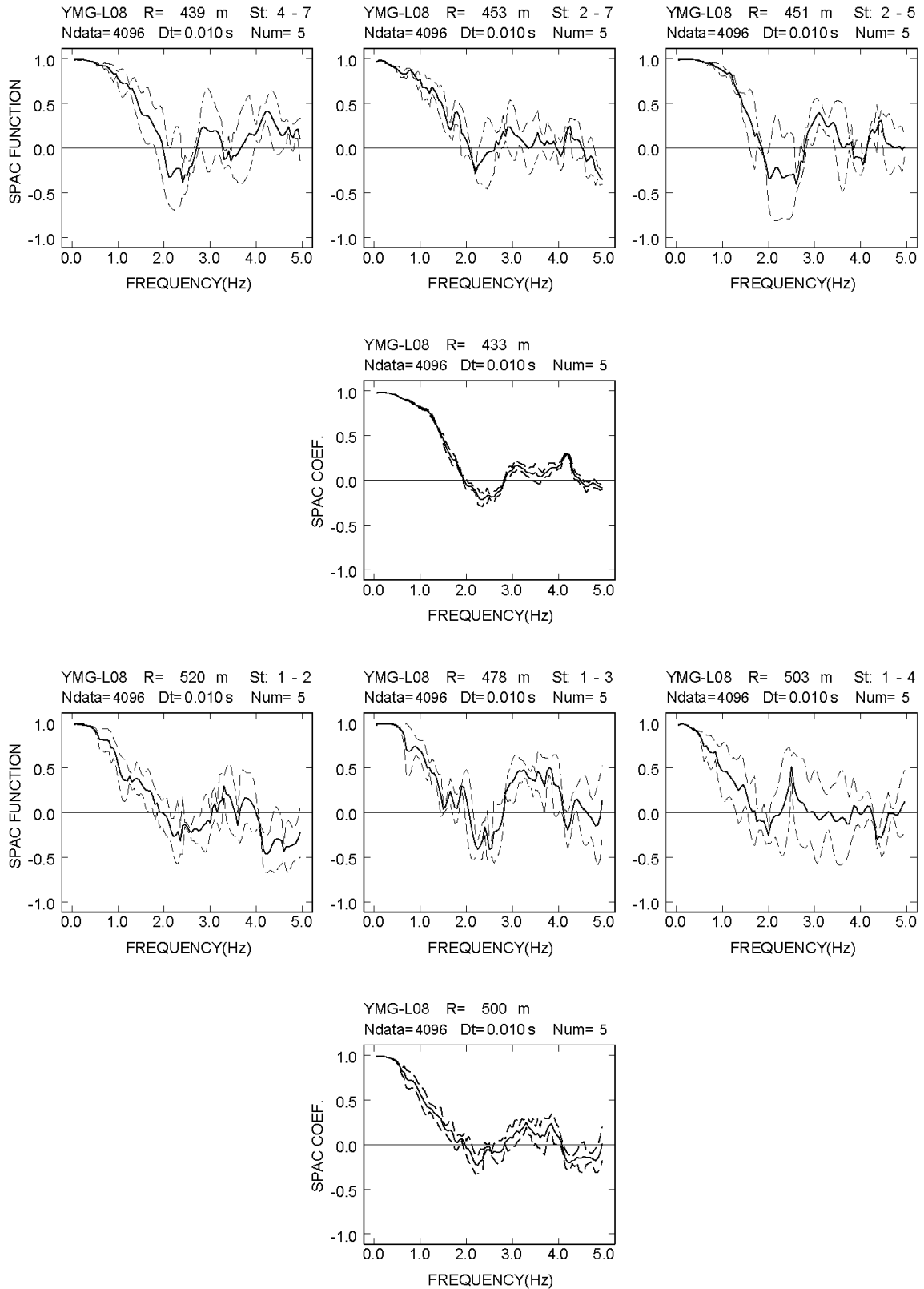
付図 2-1a-(20) 山下 L アレイにおける各地震計間隔での空間自己相関係数



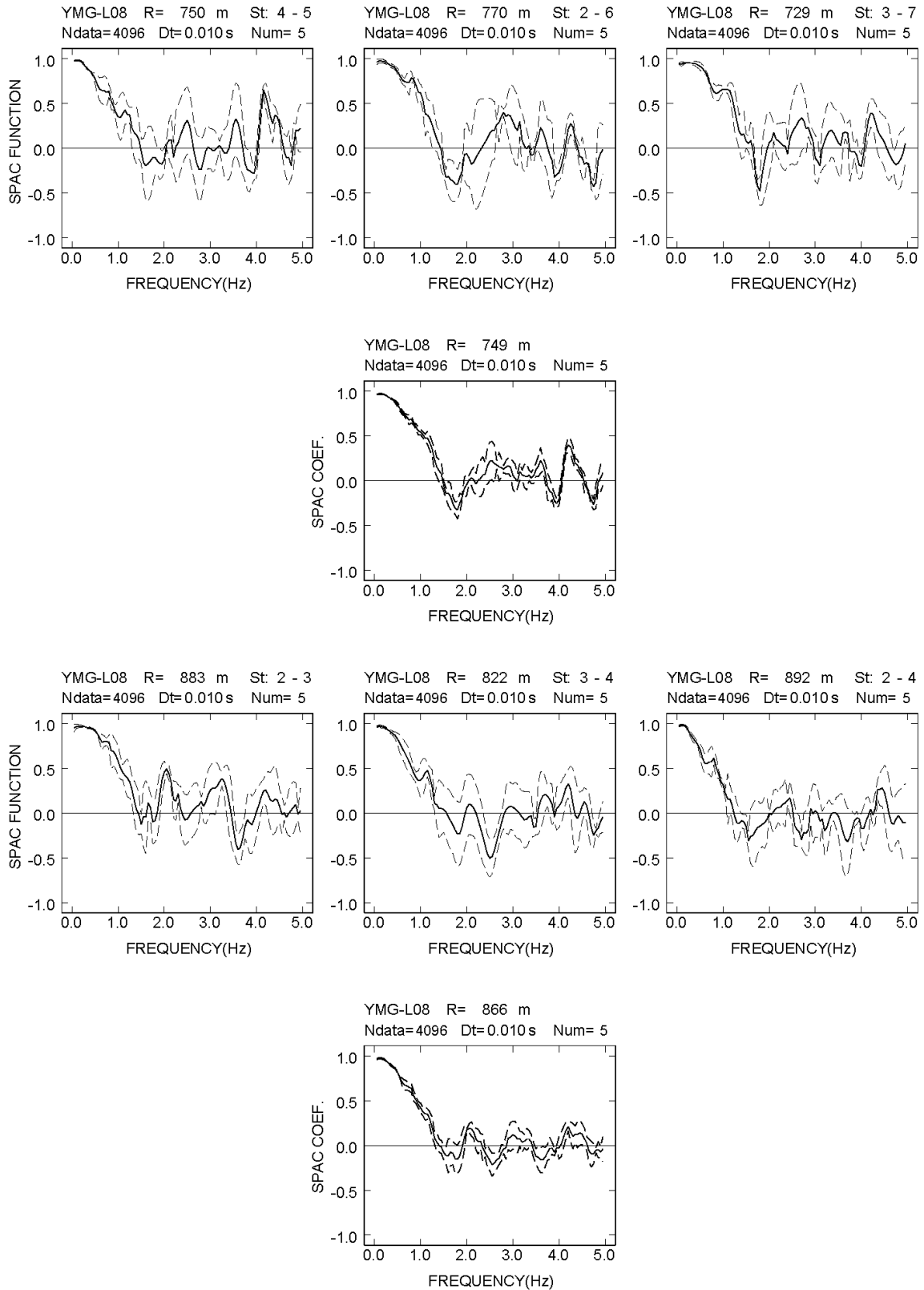
付図 2-1a-(21) 山下 L アレイにおける各地震計間隔での空間自己相関係数



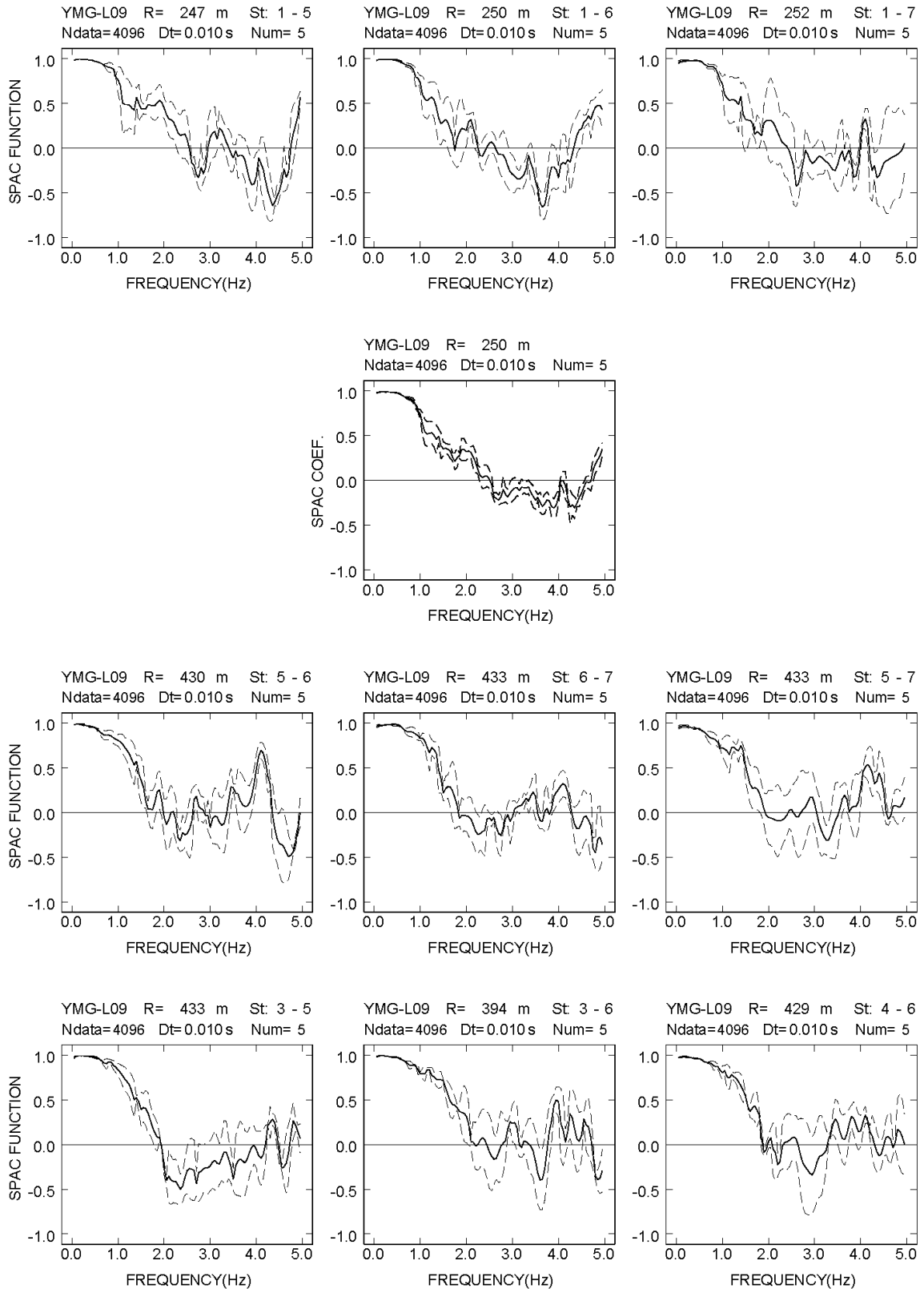
付図 2-1a-(22) 山下 L アレイにおける各地震計間隔での空間自己相関係数



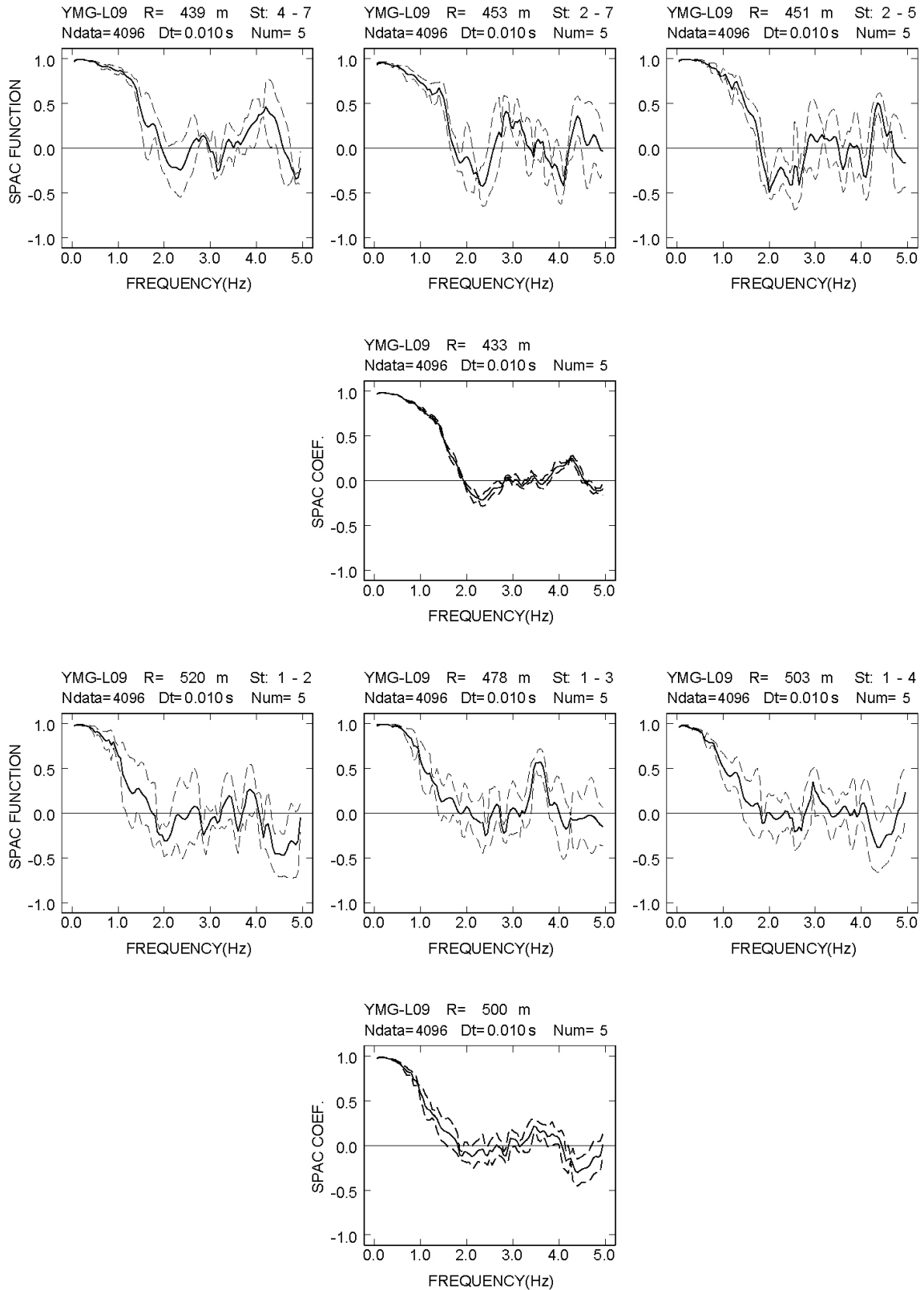
付図 2-1a-(23) 山下 L アレイにおける各地震計間隔での空間自己相関係数



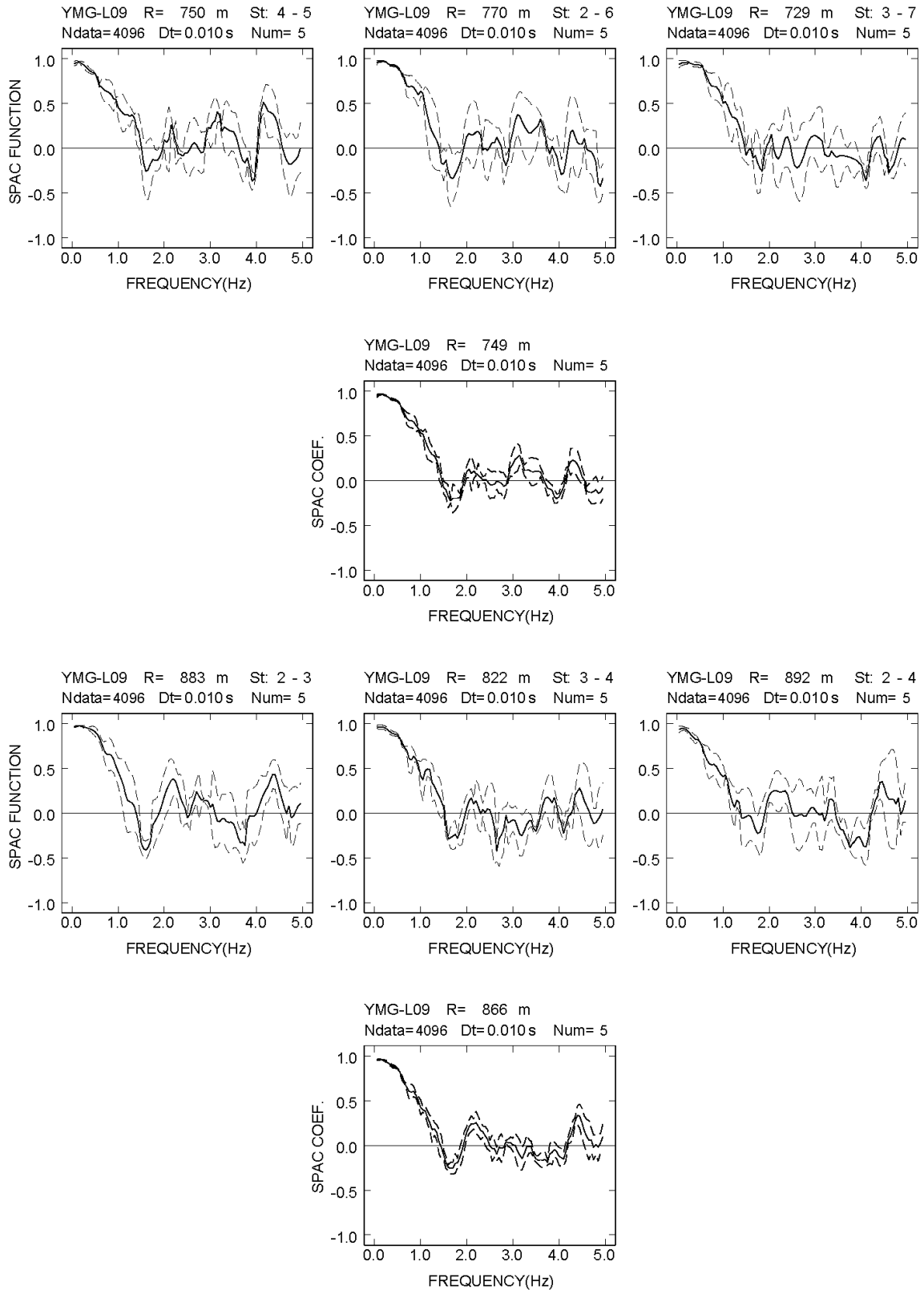
付図 2-1a-(24) 山下 L アレイにおける各地震計間隔での空間自己相関係数



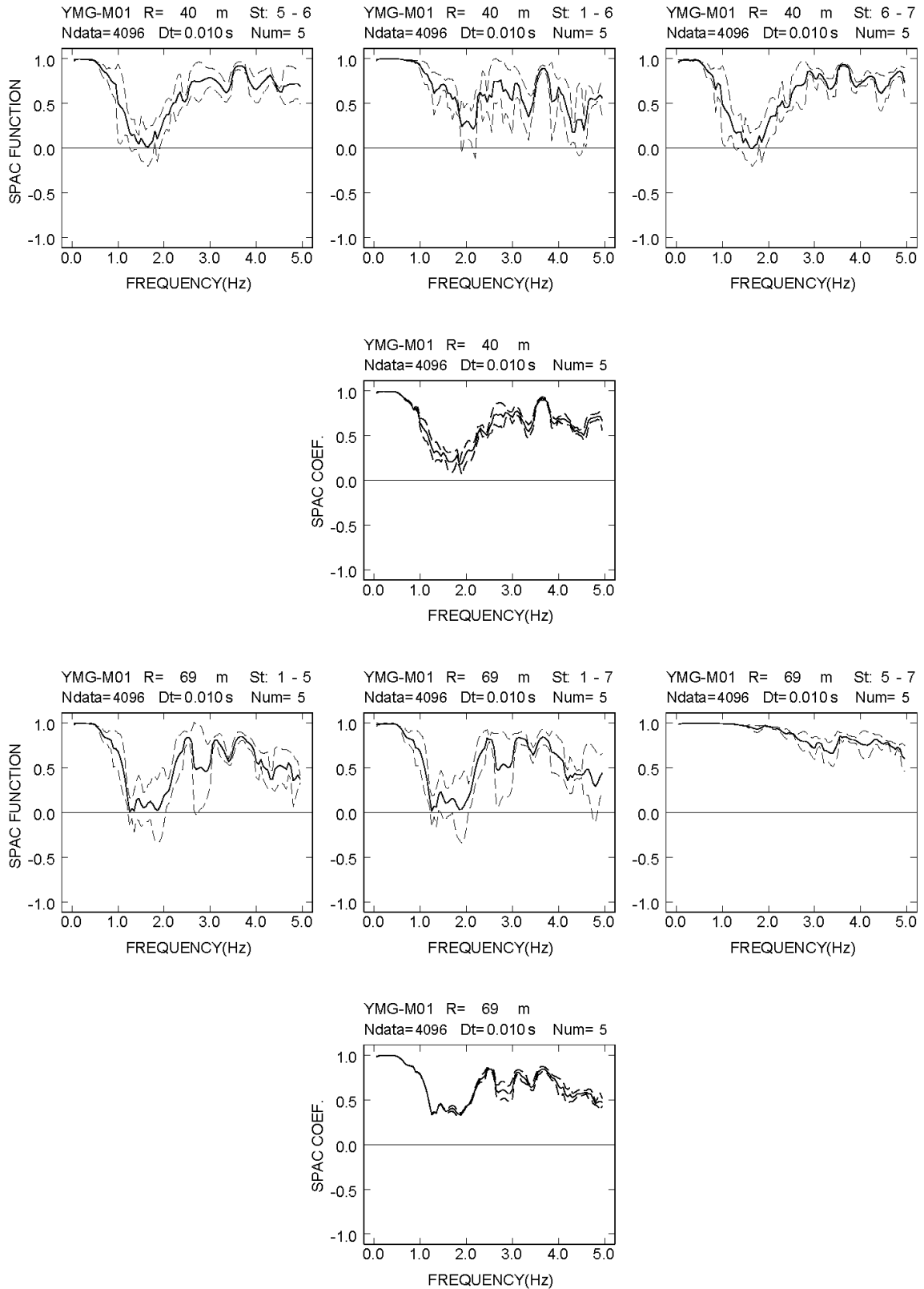
付図 2-1a-(25) 山下 L アレイにおける各地震計間隔での空間自己相関係数



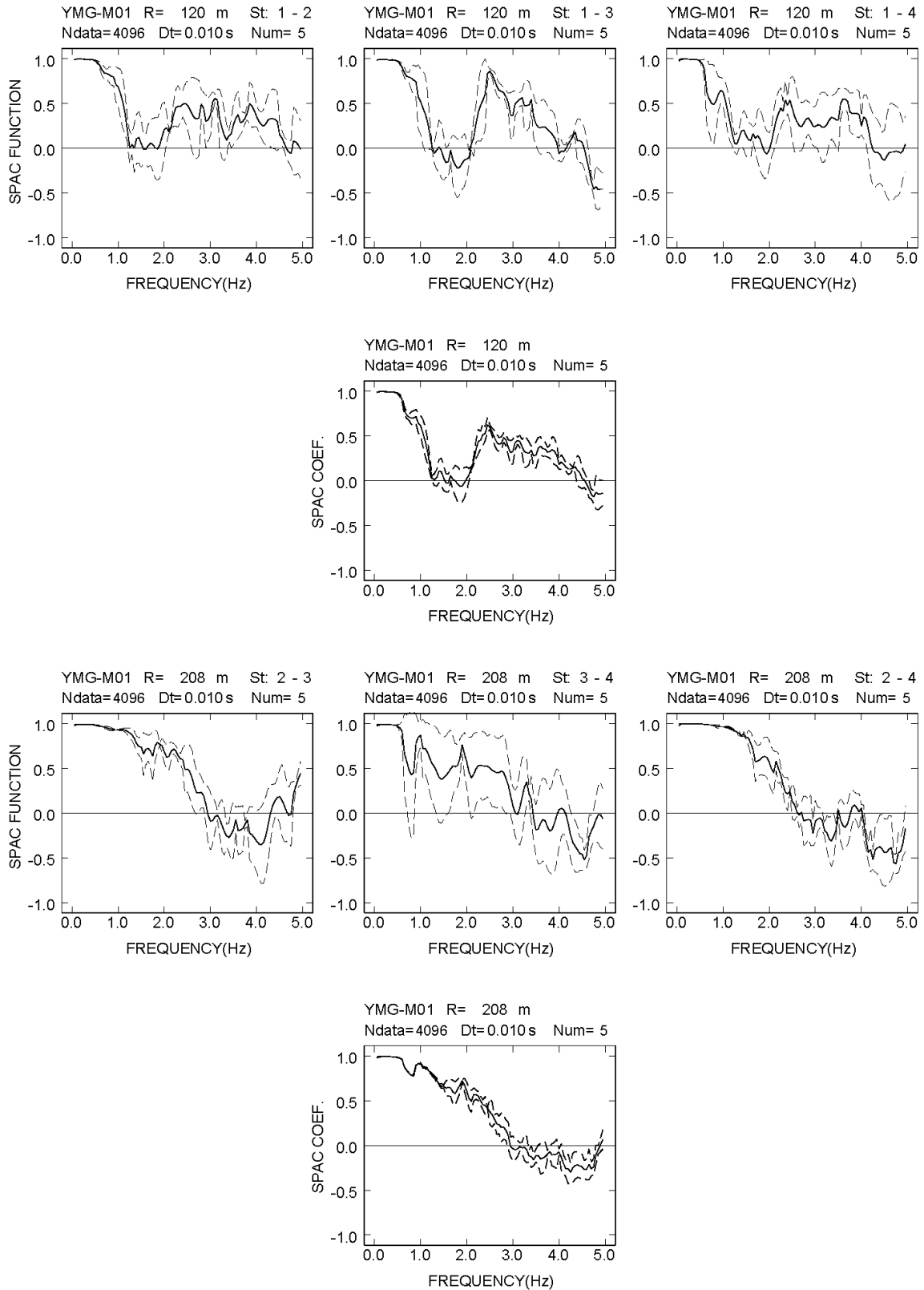
付図 2-1a-(26) 山下 L アレイにおける各地震計間隔での空間自己相関係数



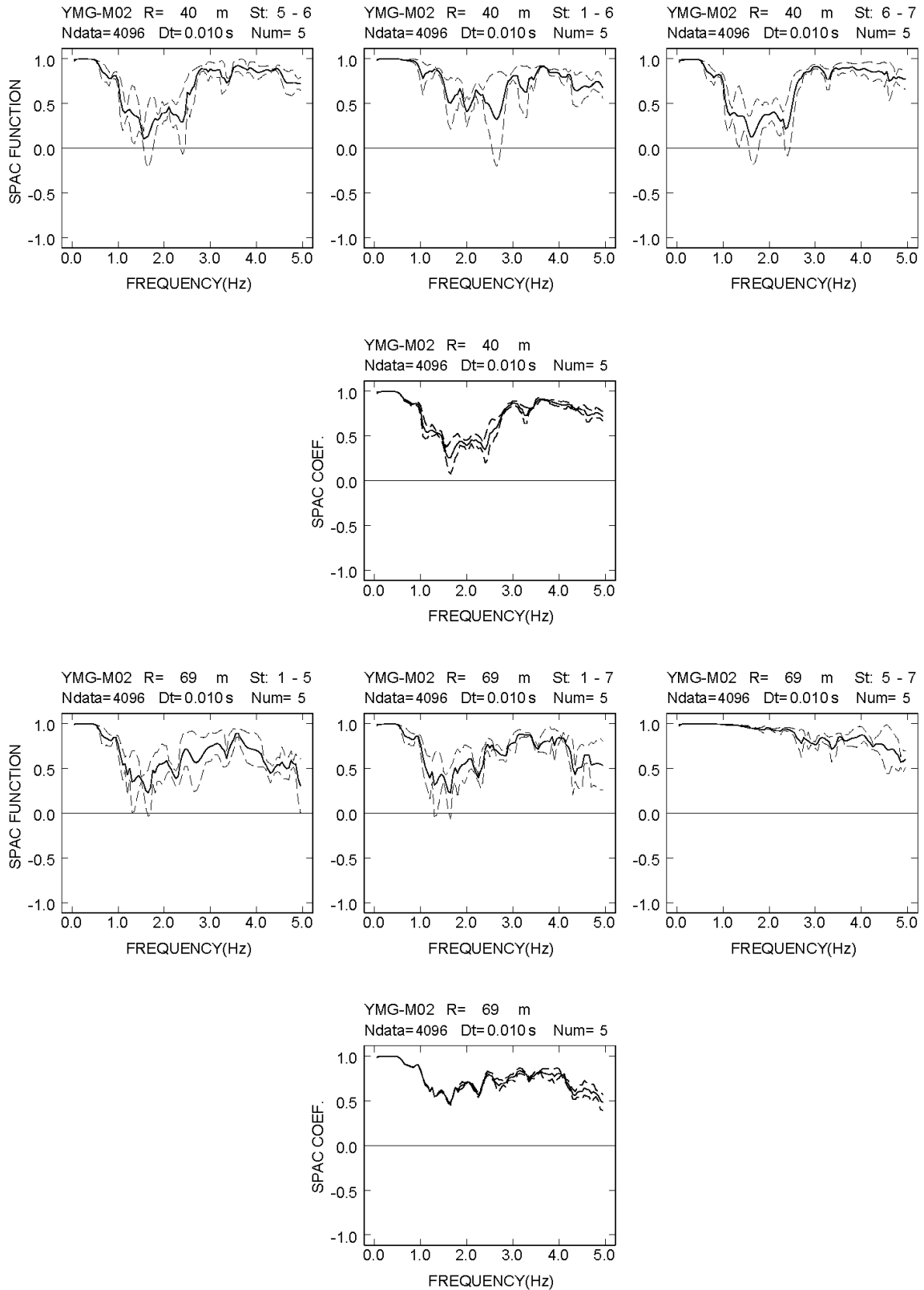
付図 2-1a-(27) 山下 L アレイにおける各地震計間隔での空間自己相関係数



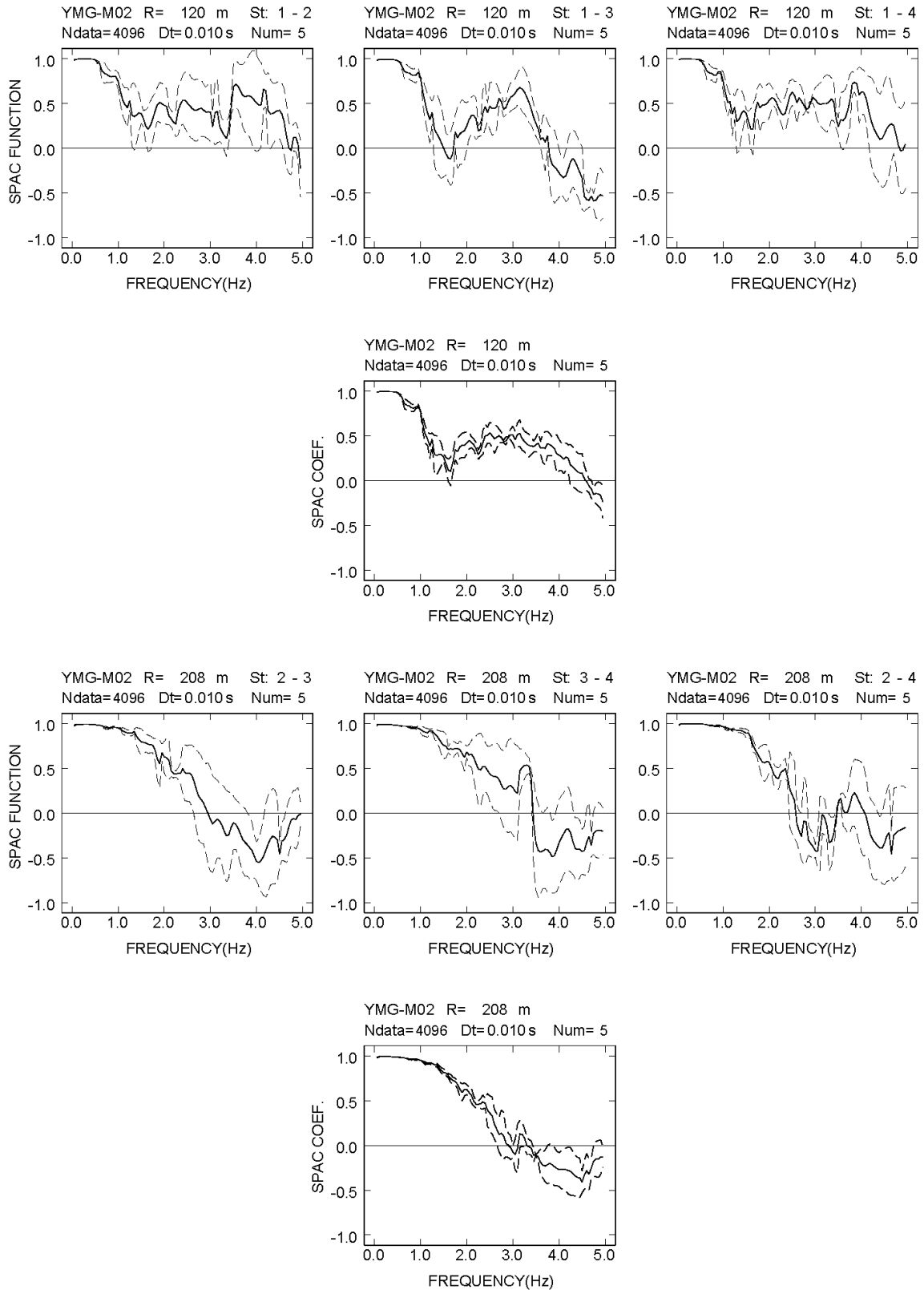
付図 2-2a-(1) 山下 M アレイにおける各地震計間隔での空間自己相関係数



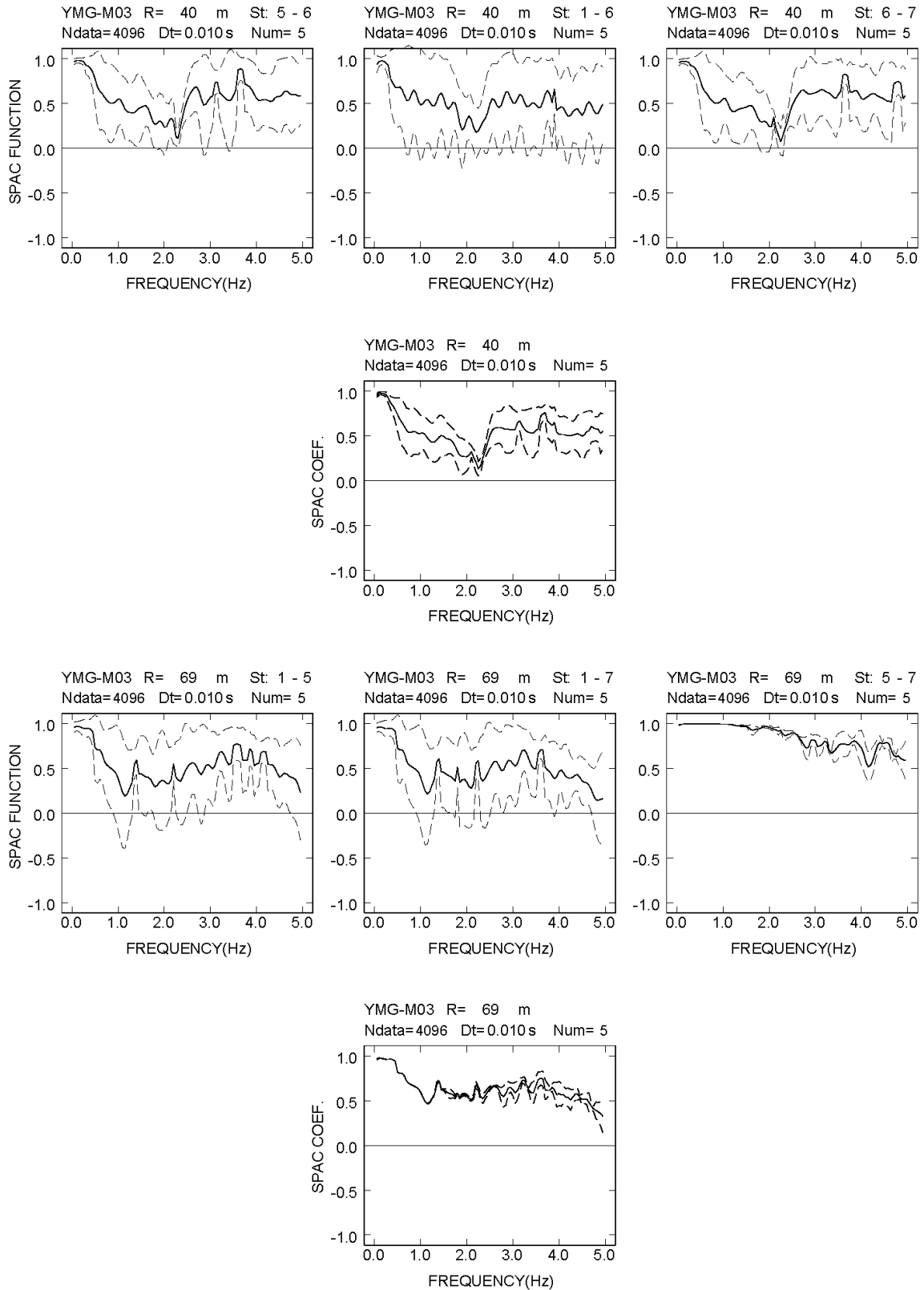
付図 2-2a-(2) 山下 M アレイにおける各地震計間隔での空間自己相関係数



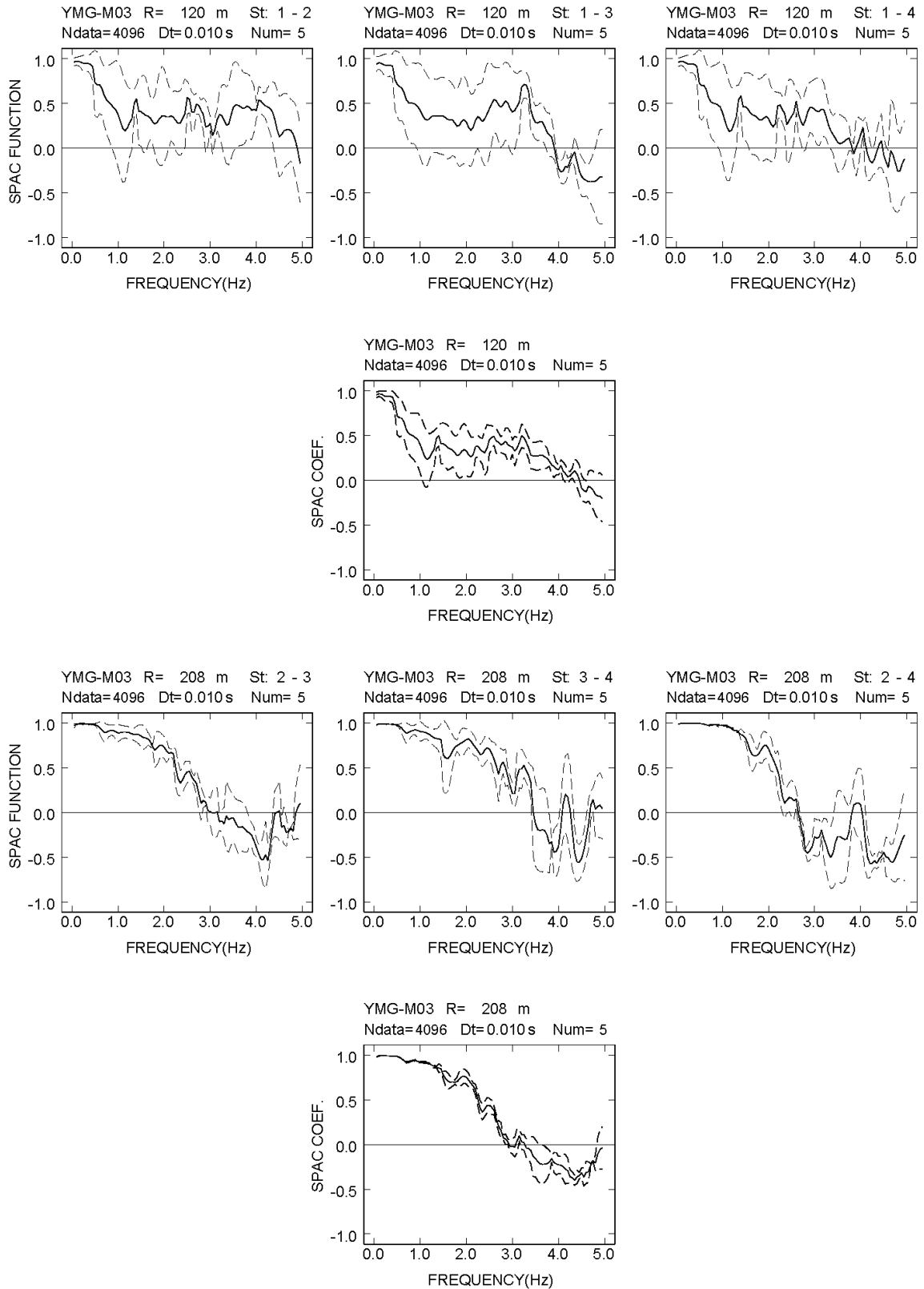
付図 2-2a-(3) 山下 M アレイにおける各地震計間隔での空間自己相関係数



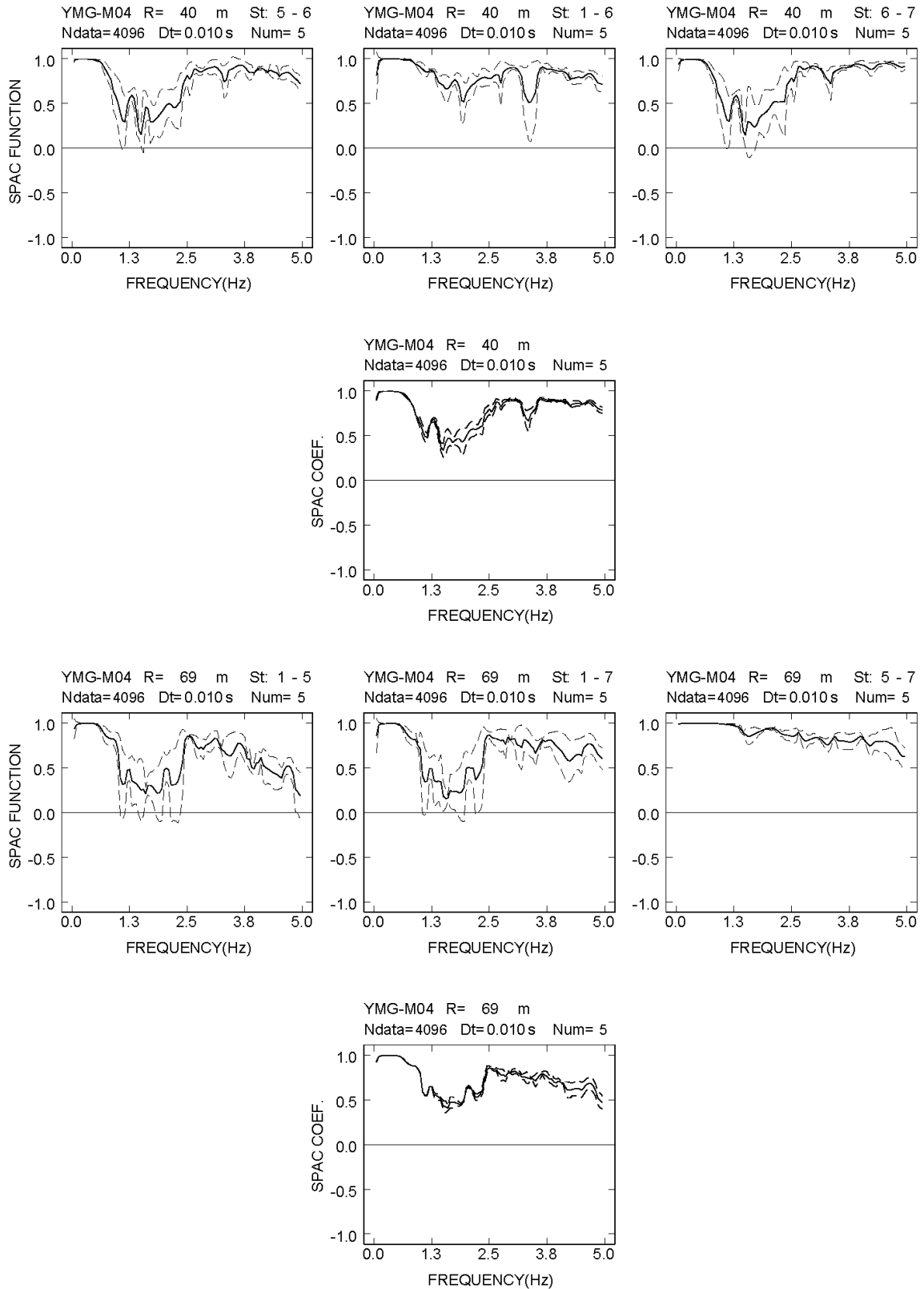
付図 2-2a-(4) 山下 M アレイにおける各地震計間隔での空間自己相関係数



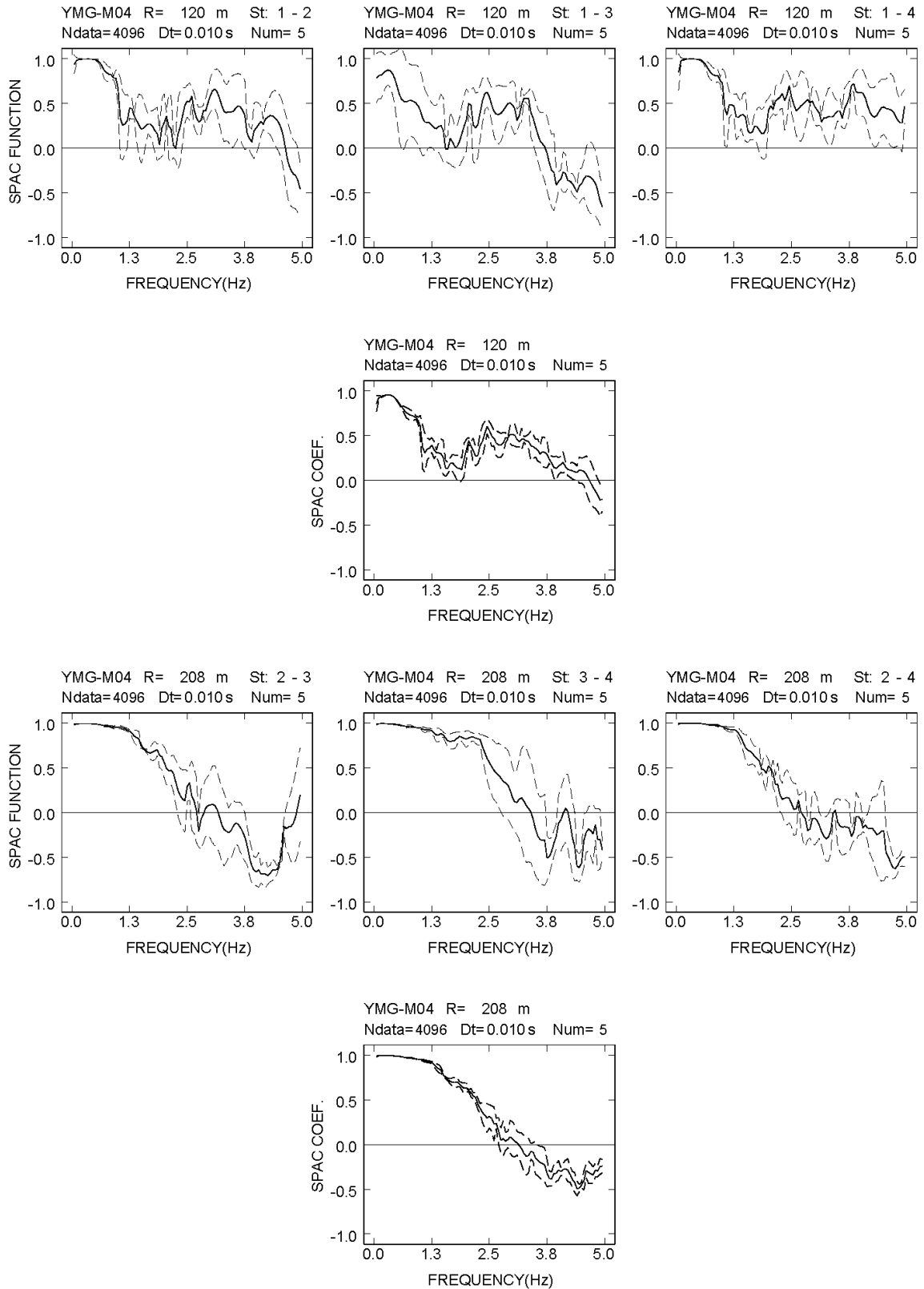
付図 2-2a-(5) 山下 M アレイにおける各地震計間隔での空間自己相関係数



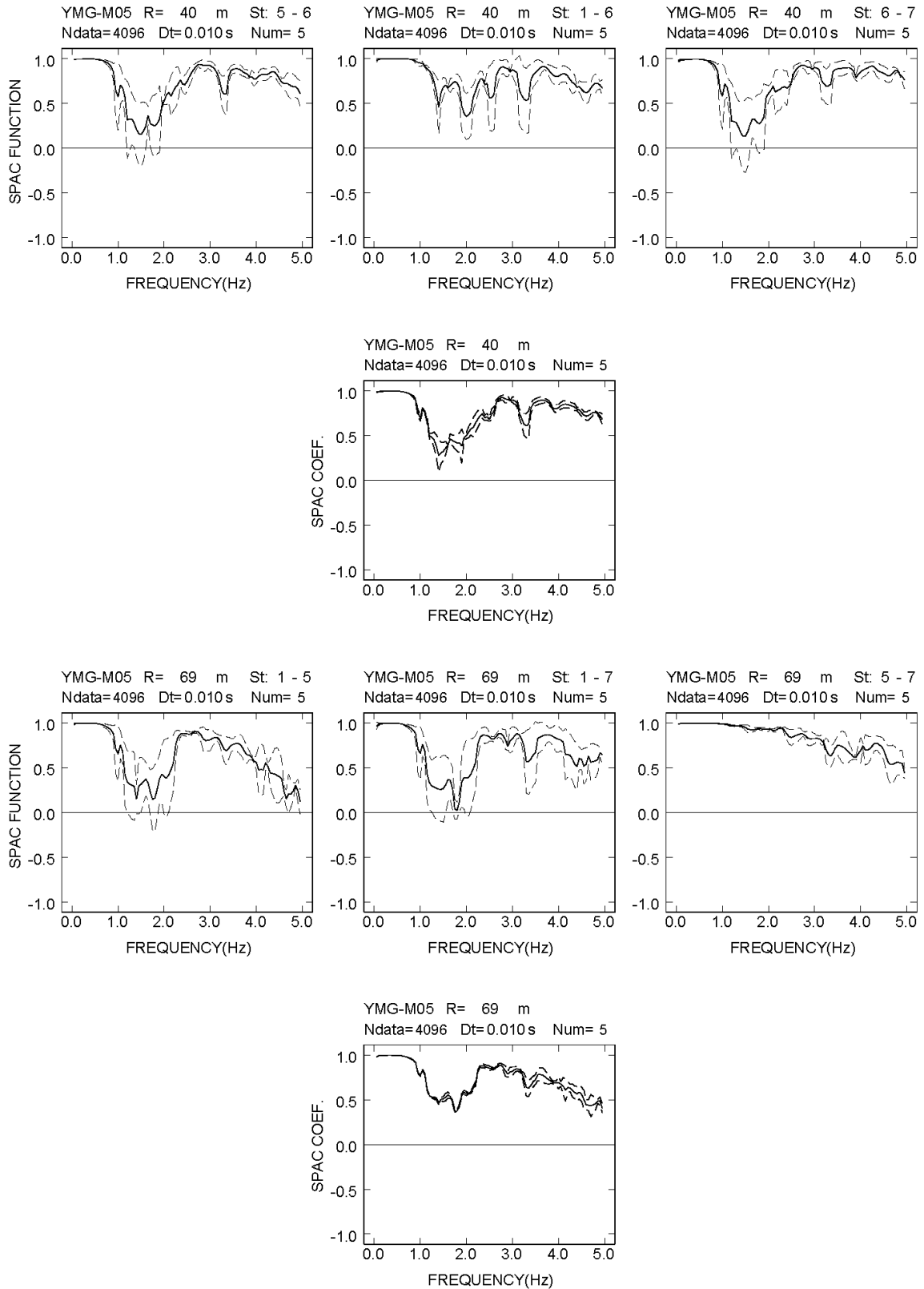
付図 2-2a-(6) 山下 M アレイにおける各地震計間隔での空間自己相関係数



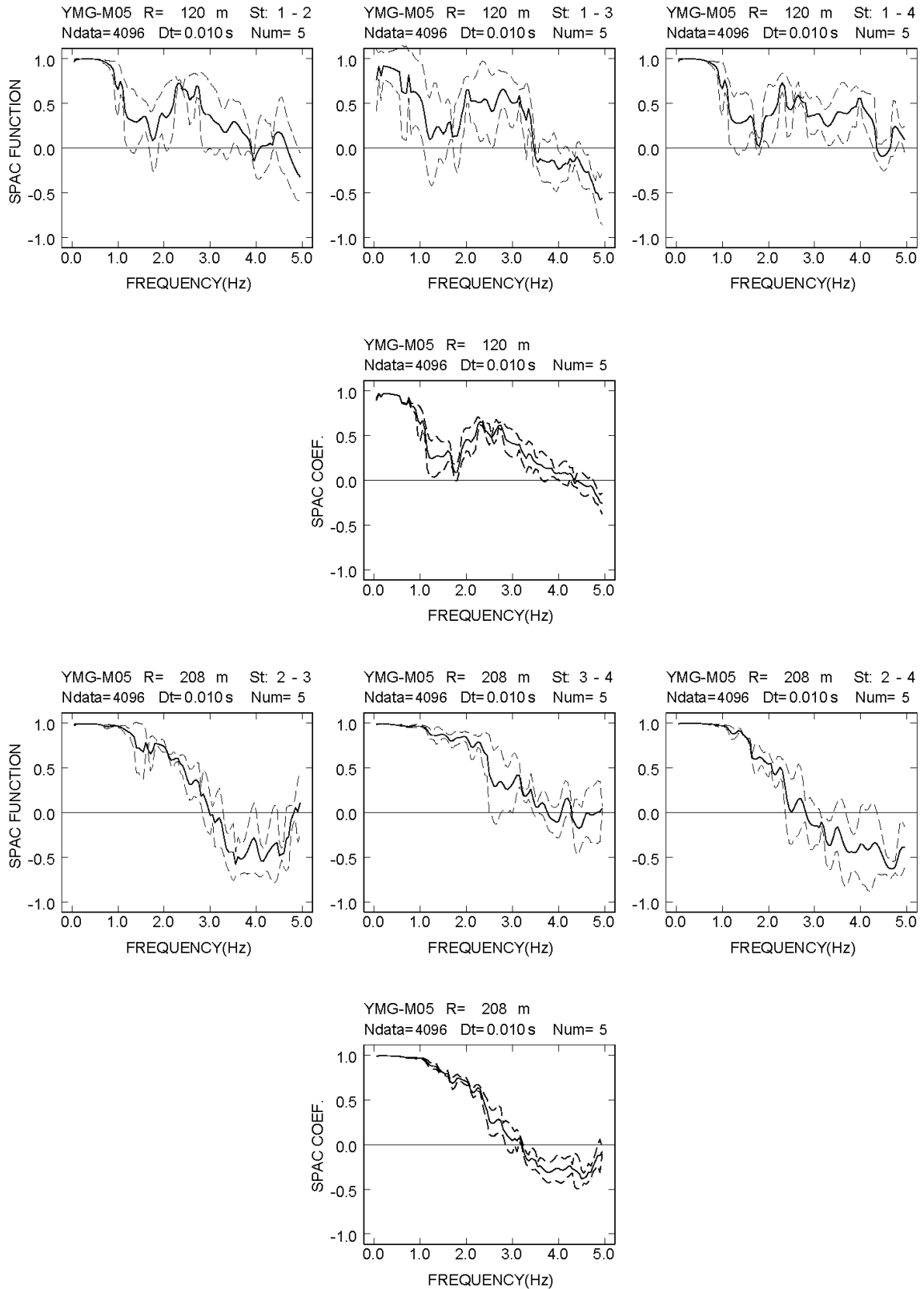
付図 2-2a-(7) 山下 M アレイにおける各地震計間隔での空間自己相関係数



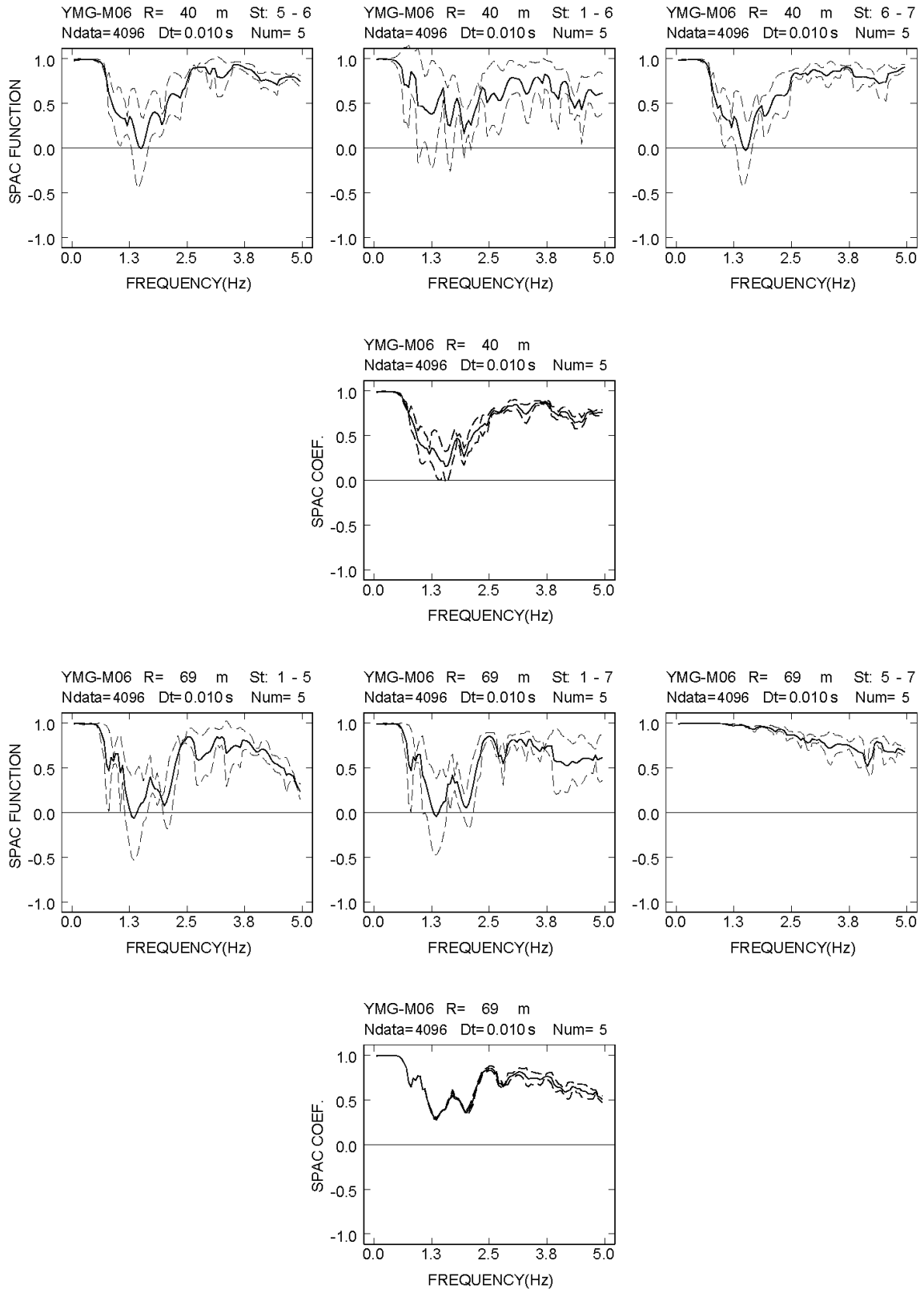
付図 2-2a-(8) 山下 M アレイにおける各地震計間隔での空間自己相関係数



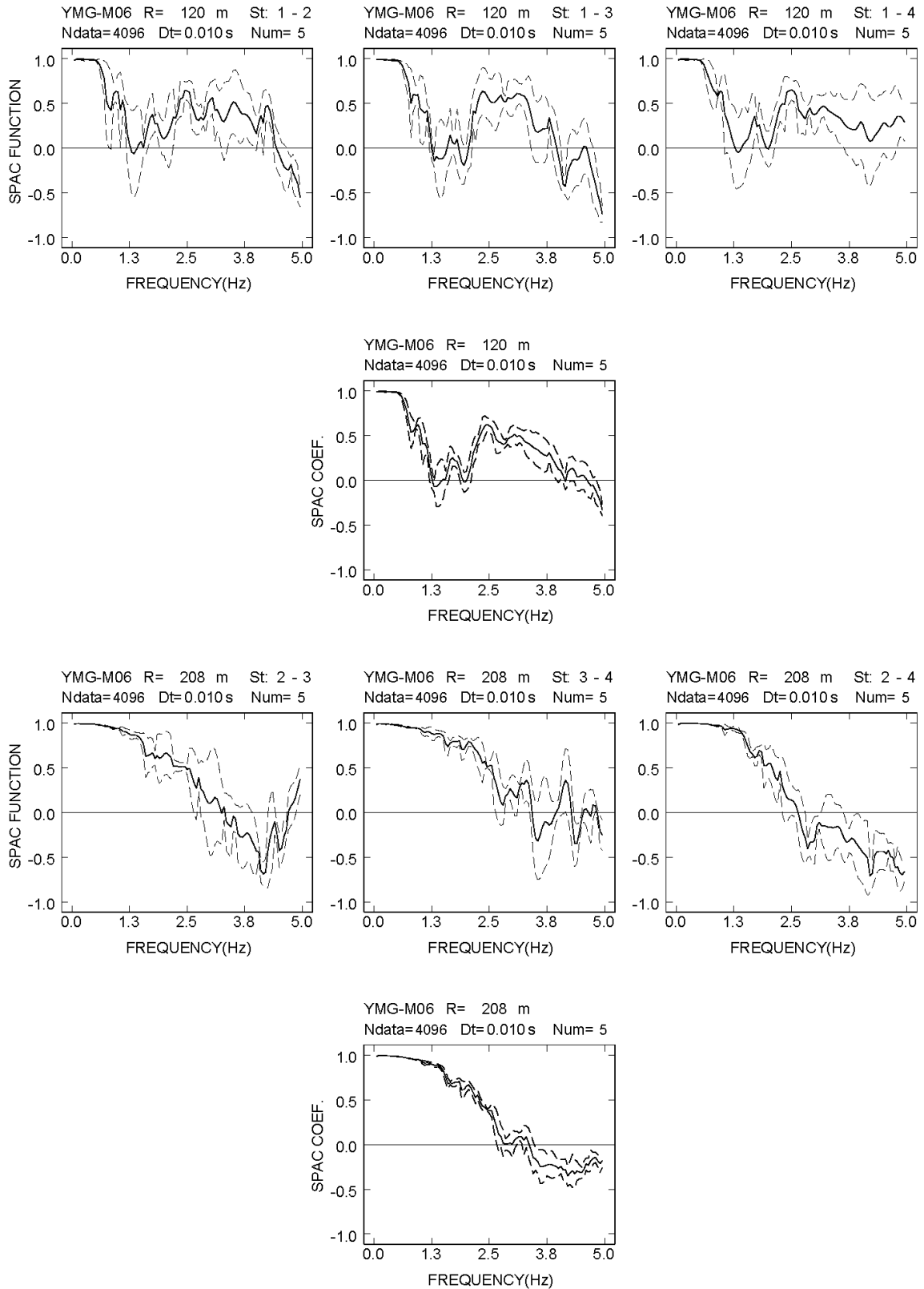
付図 2-2a-(9) 山下 M アレイにおける各地震計間隔での空間自己相関係数



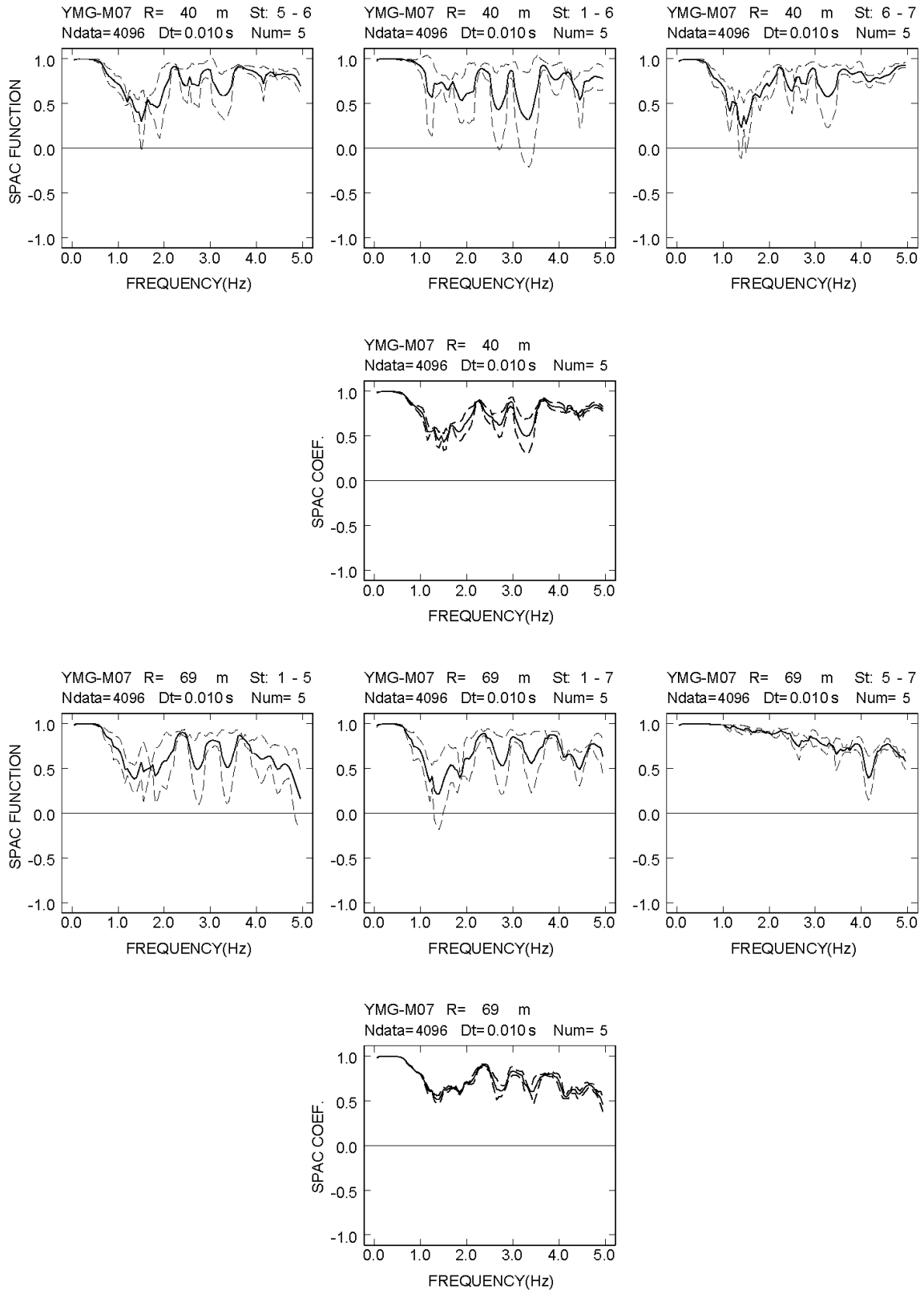
付図 2-2a-(10) 山下 M アレイにおける各地震計間隔での空間自己相関係数



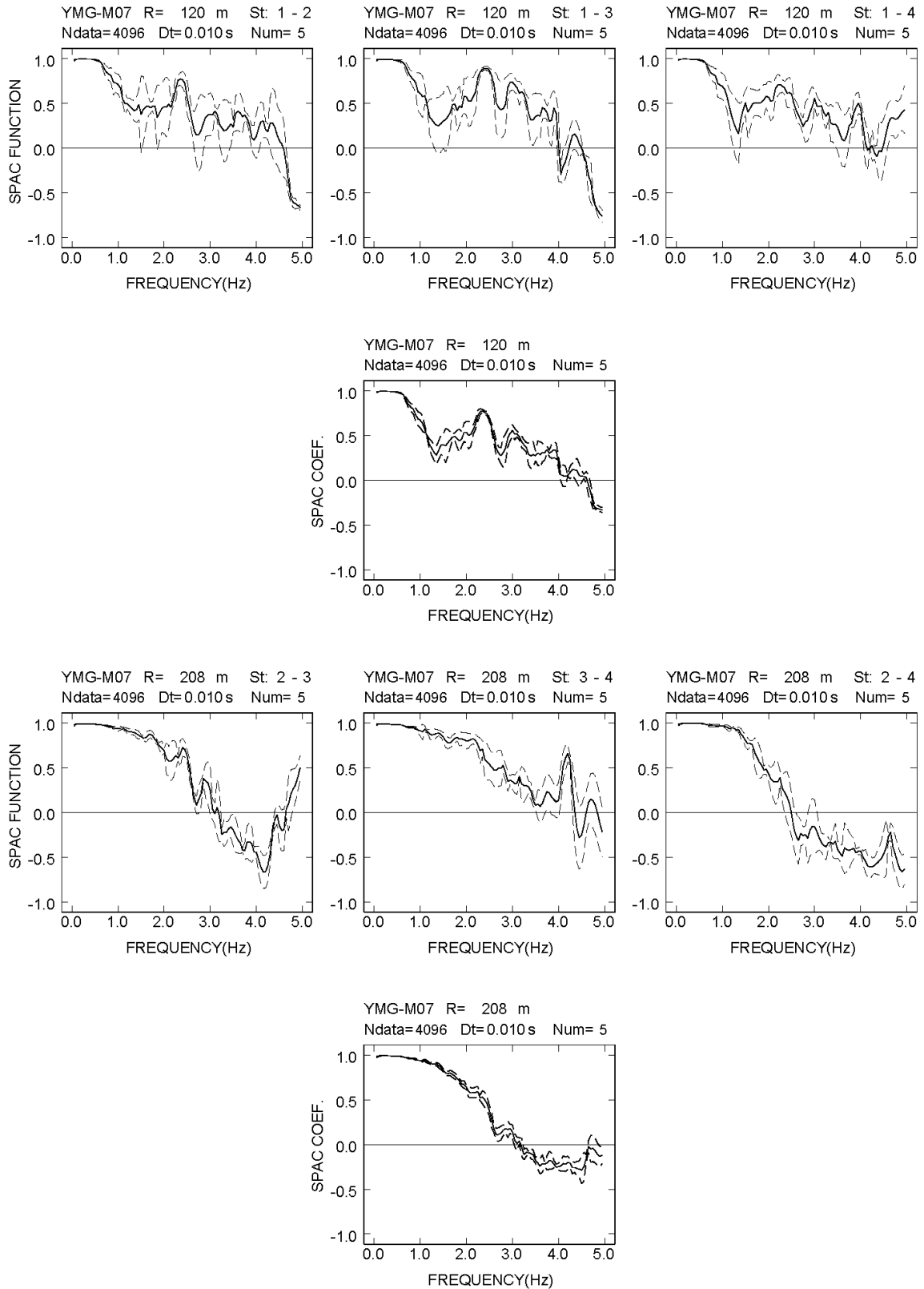
付図 2-2a-(11) 山下 M アレイにおける各地震計間隔での空間自己相関係数



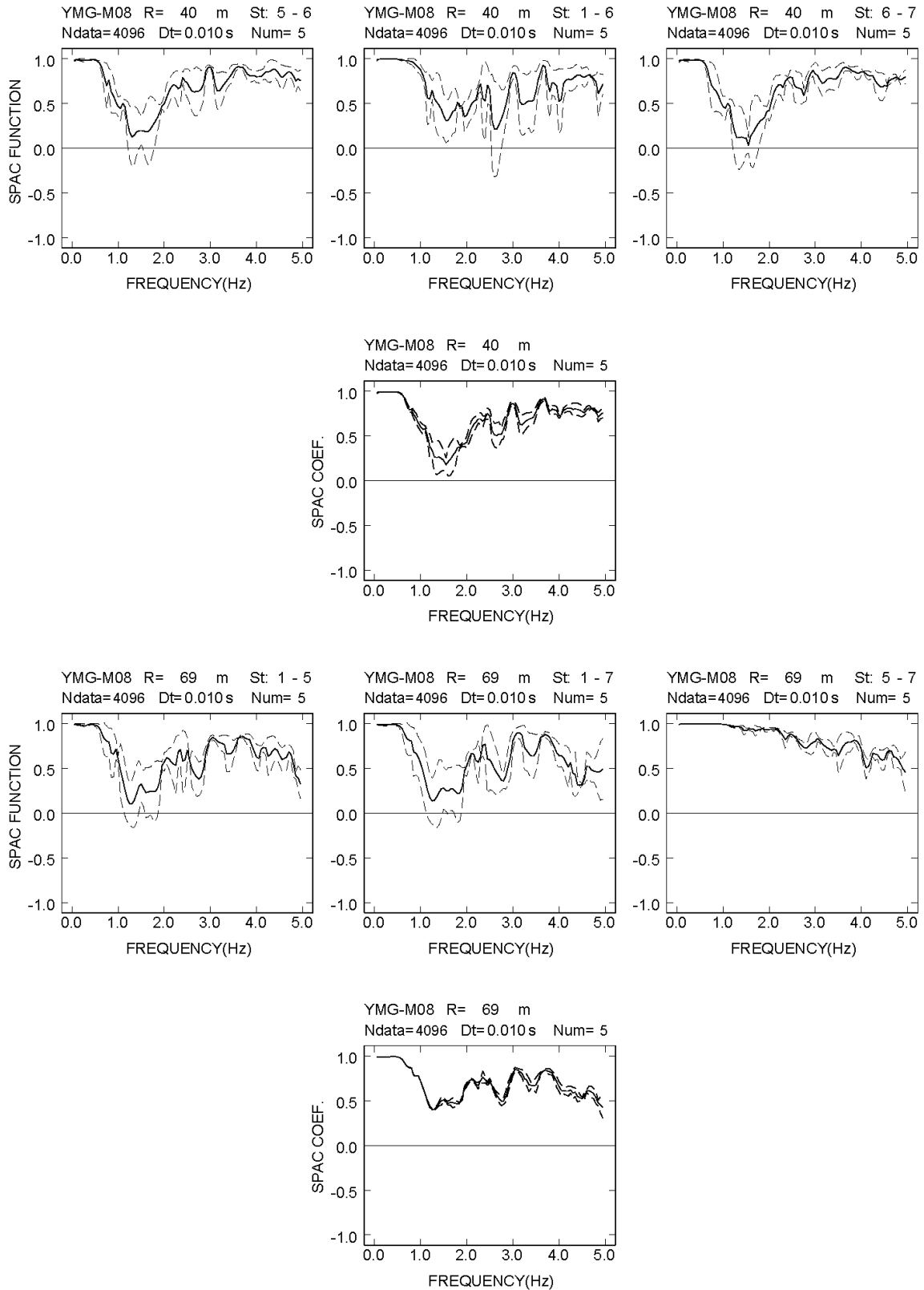
付図 2-2a-(12) 山下 M アレイにおける各地震計間隔での空間自己相関係数



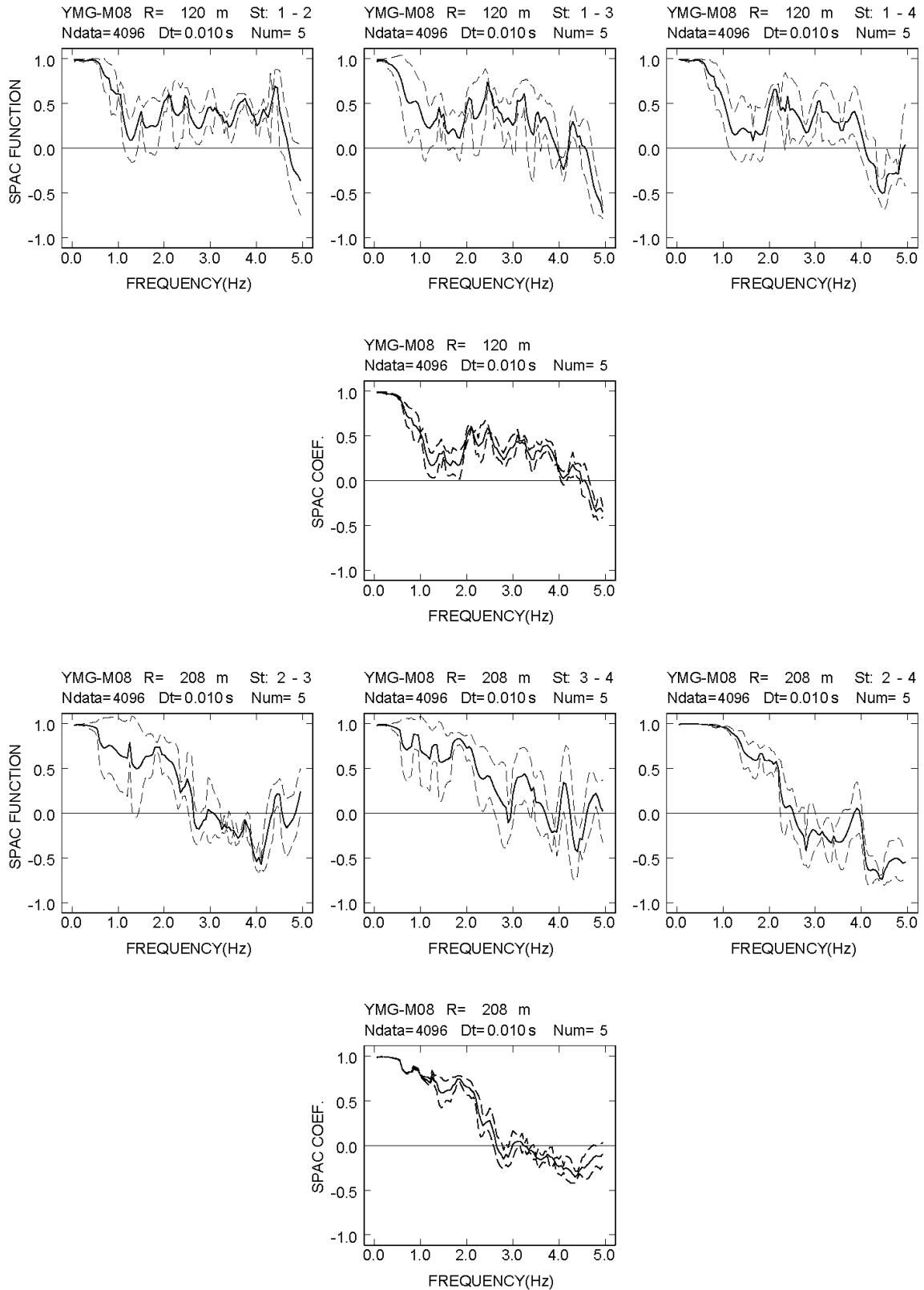
付図 2-2a-(13) 山下 M アレイにおける各地震計間隔での空間自己相関係数



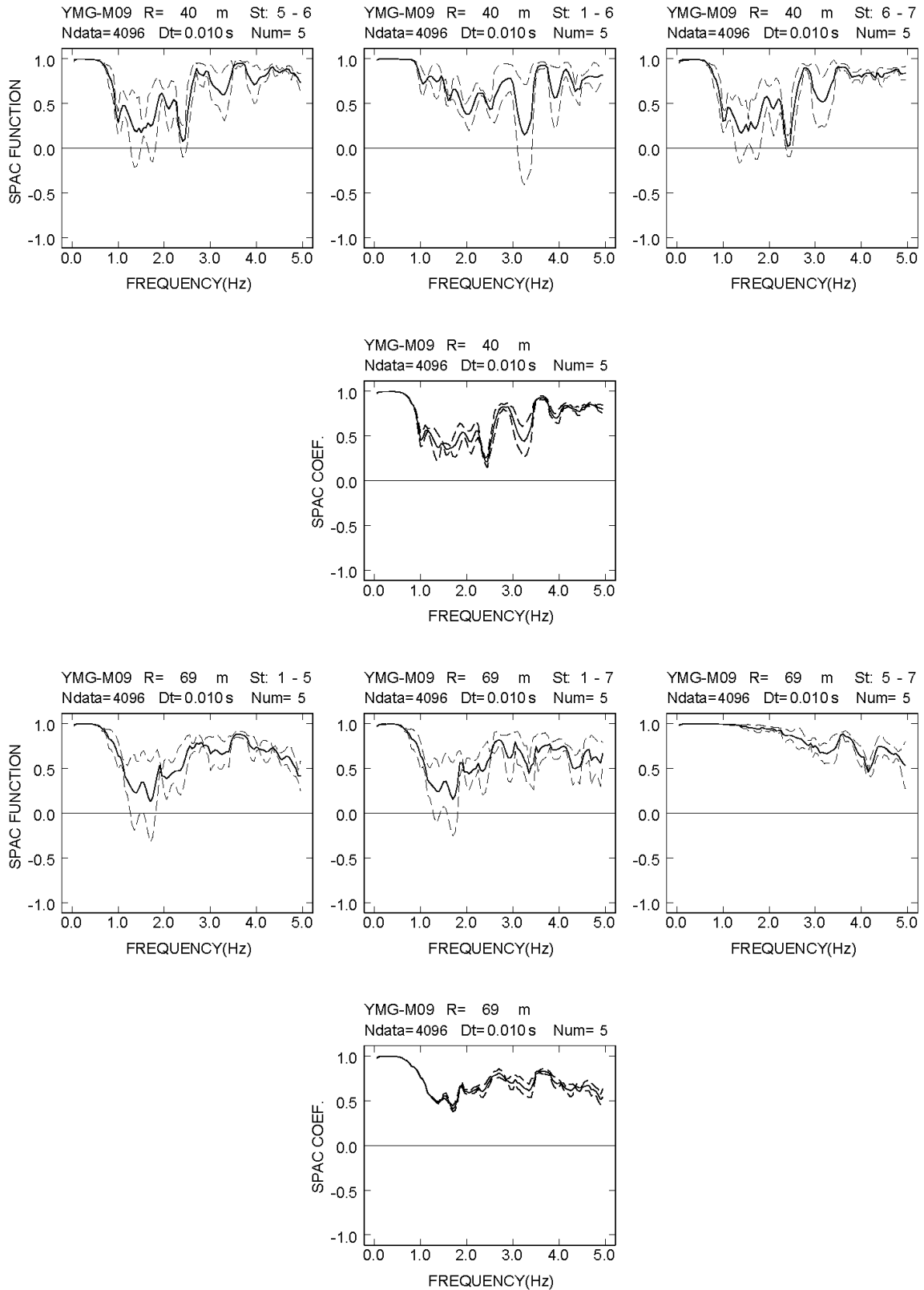
付図 2-2a-(14) 山下 M アレイにおける各地震計間隔での空間自己相関係数



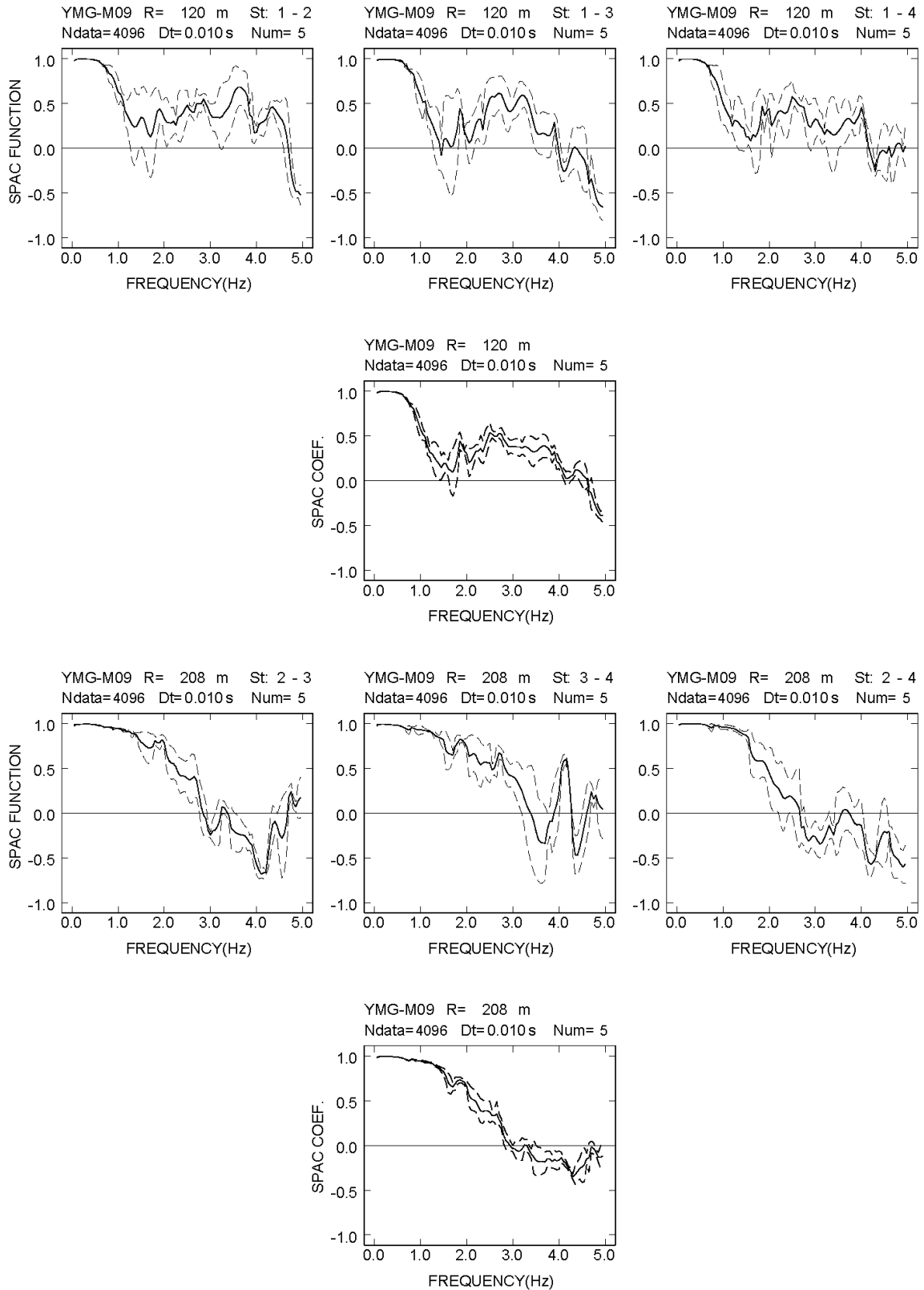
付図 2-2a-(15) 山下 M アレイにおける各地震計間隔での空間自己相関係数



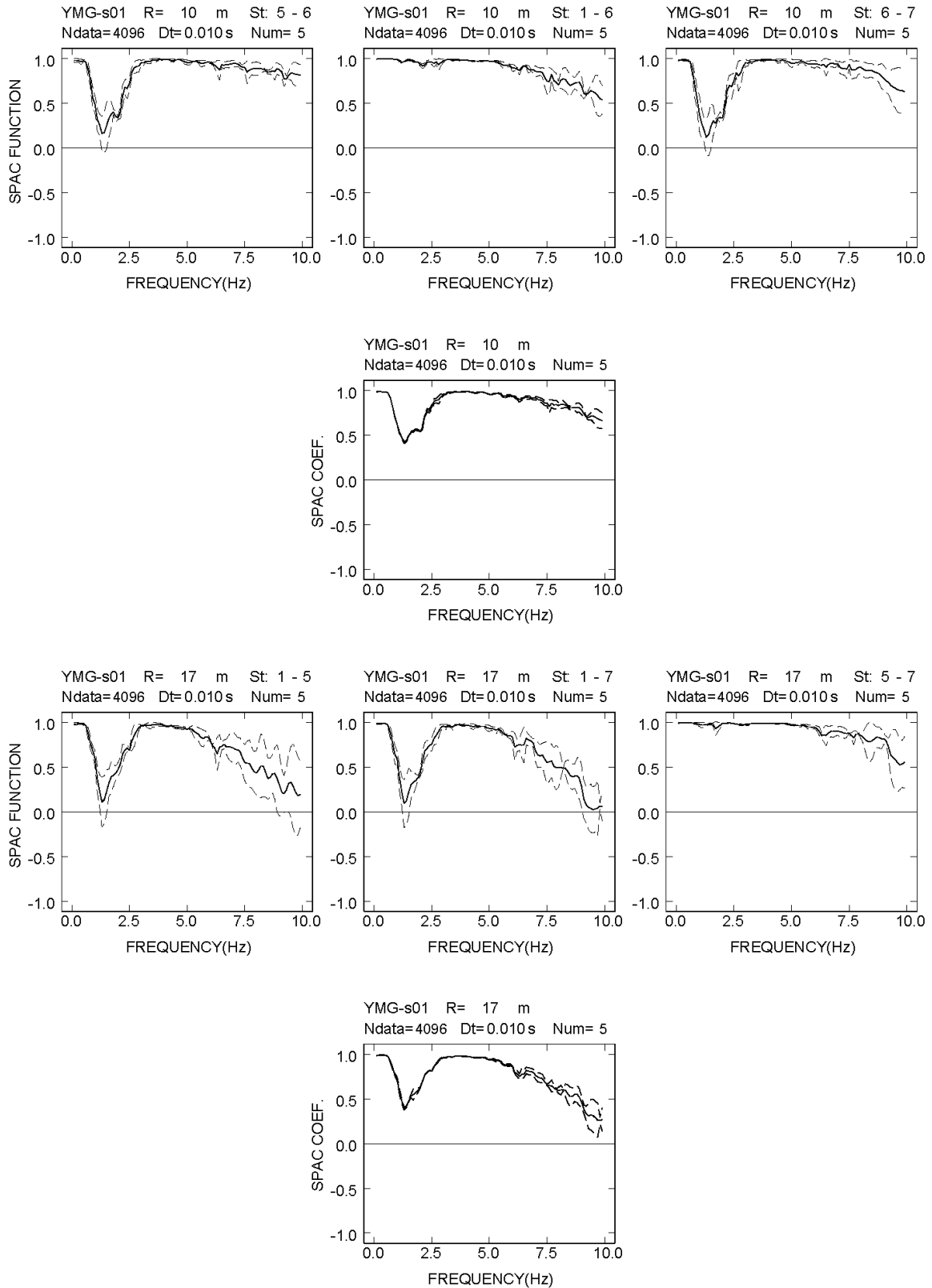
付図 2-2a-(16) 山下 M アレイにおける各地震計間隔での空間自己相関係数



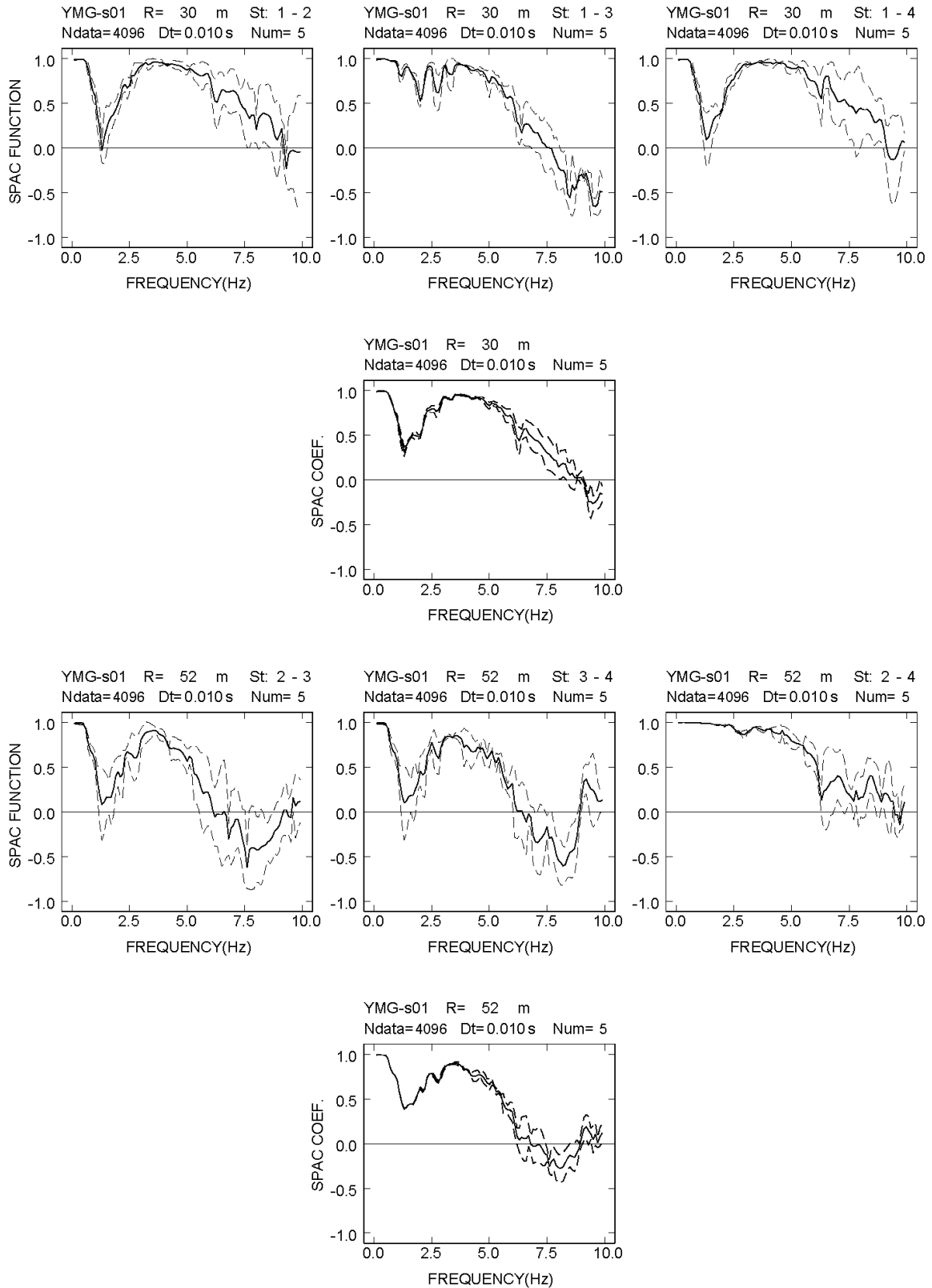
付図 2-2a-(17) 山下 M アレイにおける各地震計間隔での空間自己相関係数



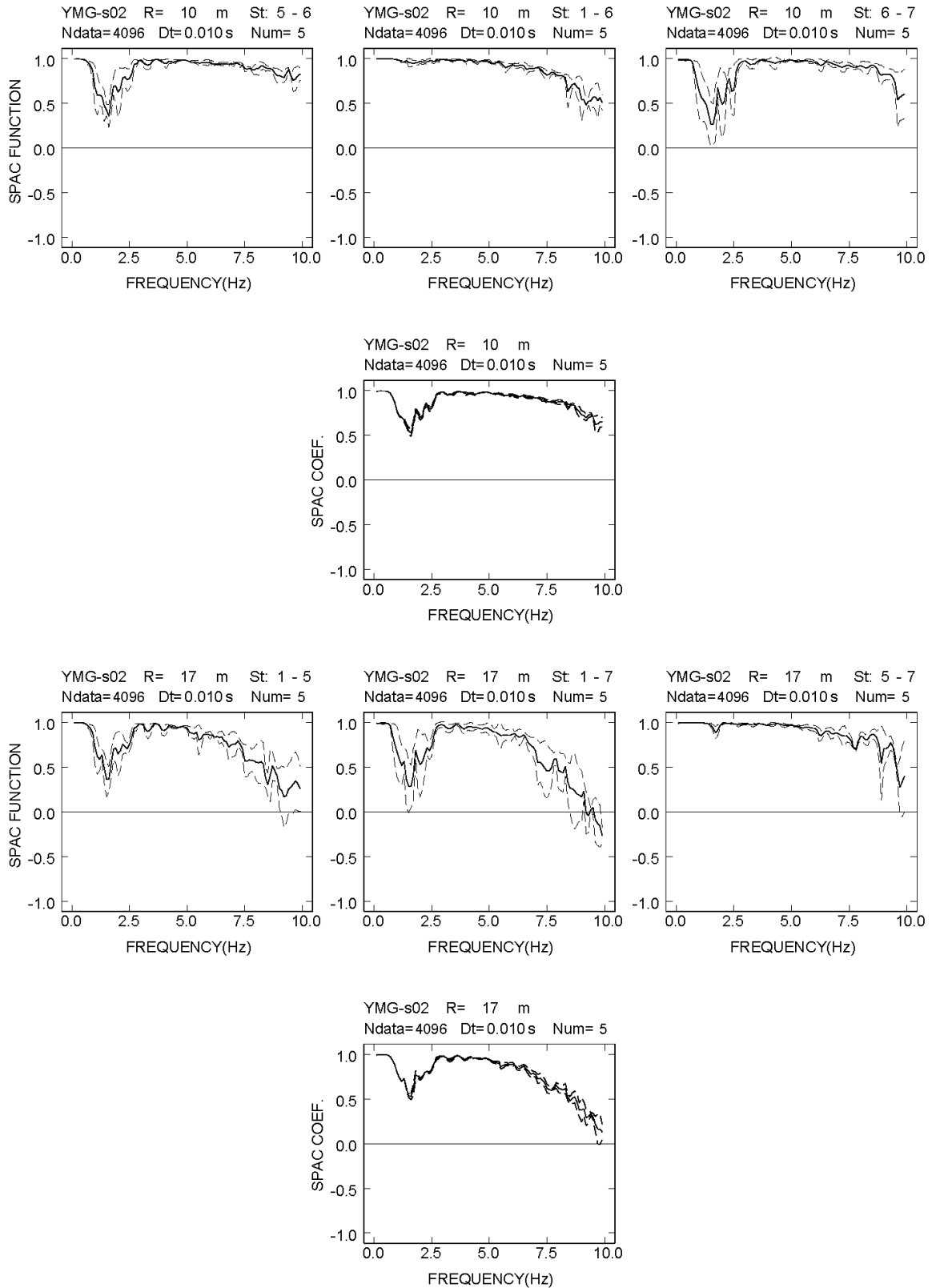
付図 2-2a-(18) 山下 M アレイにおける各地震計間隔での空間自己相関係数



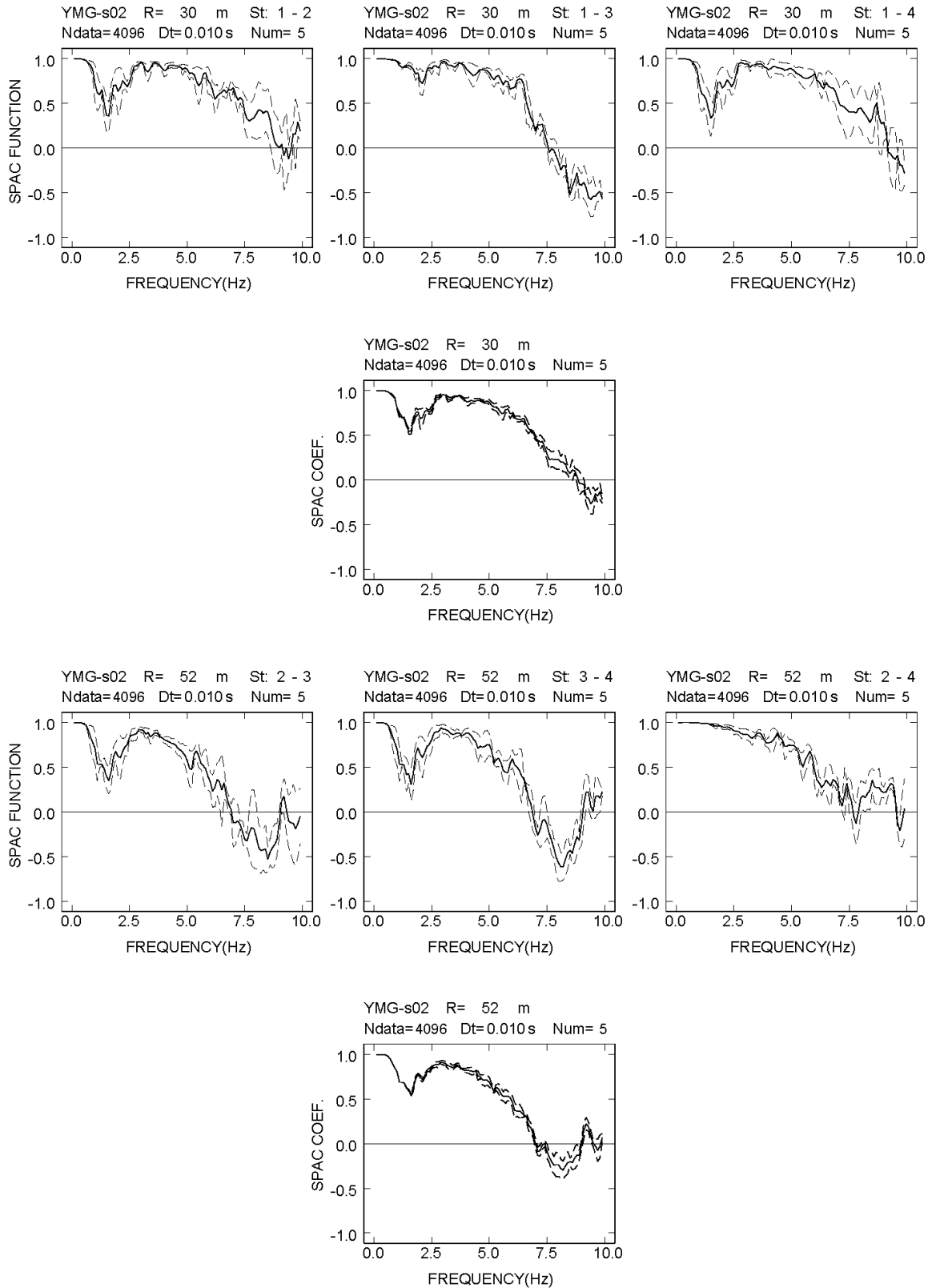
付図 2-3a-(1) 山下 S アレイにおける各地震計間隔での空間自己相関係数



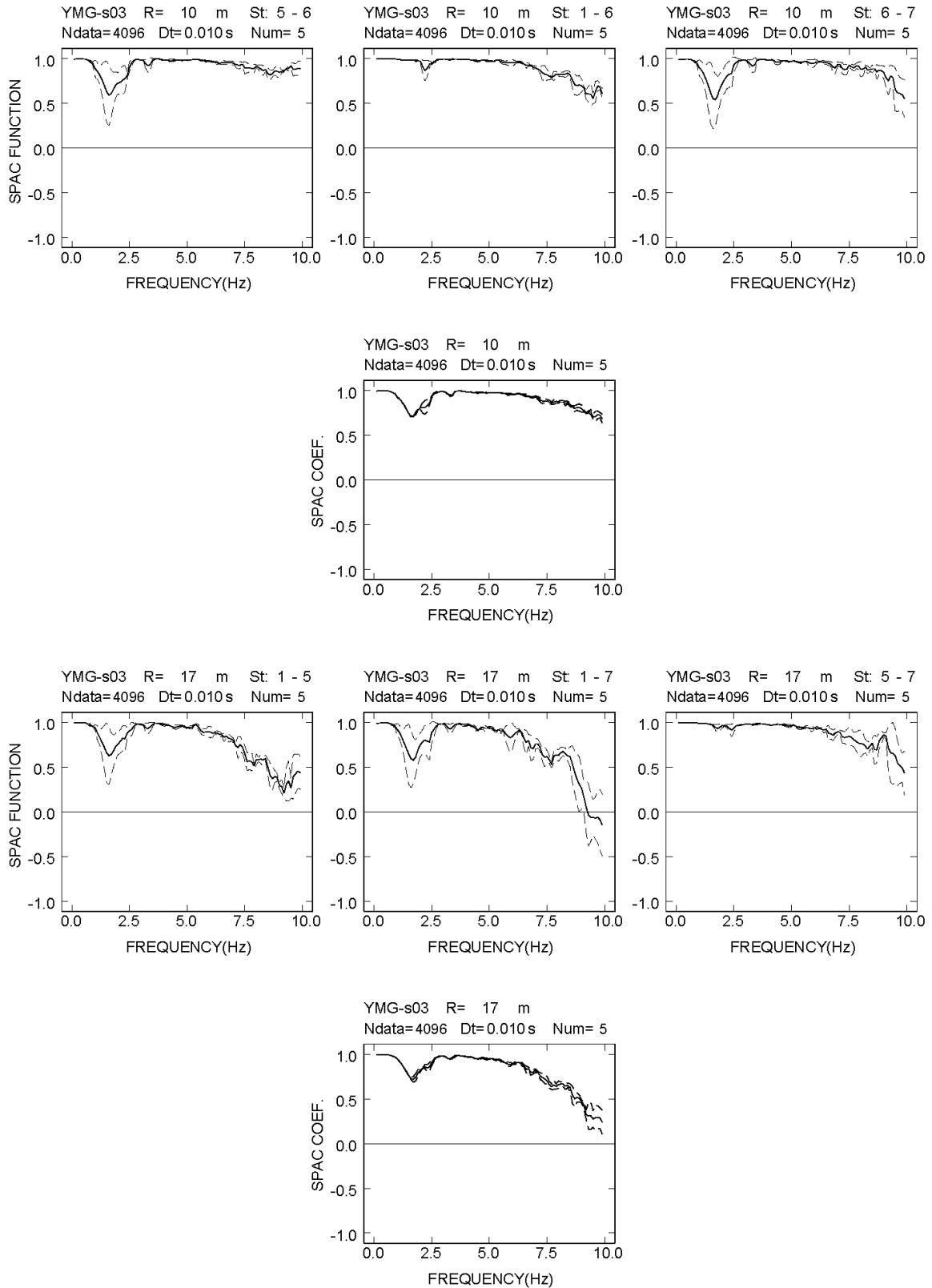
付図 2-3a-(2) 山下 S アレイにおける各地震計間隔での空間自己相関係数



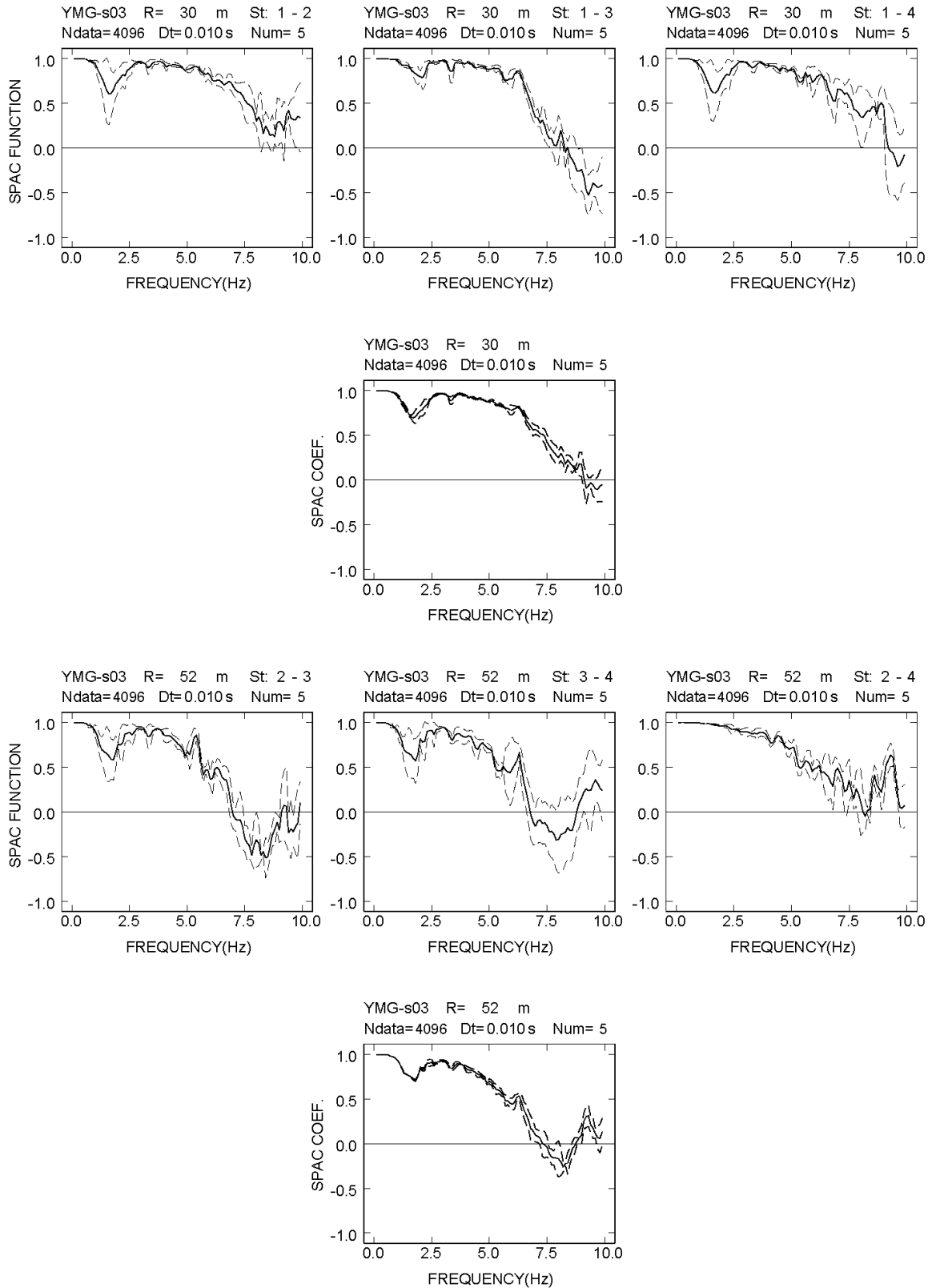
付図 2-3a-(3) 山下 S アレイにおける各地震計間隔での空間自己相関係数



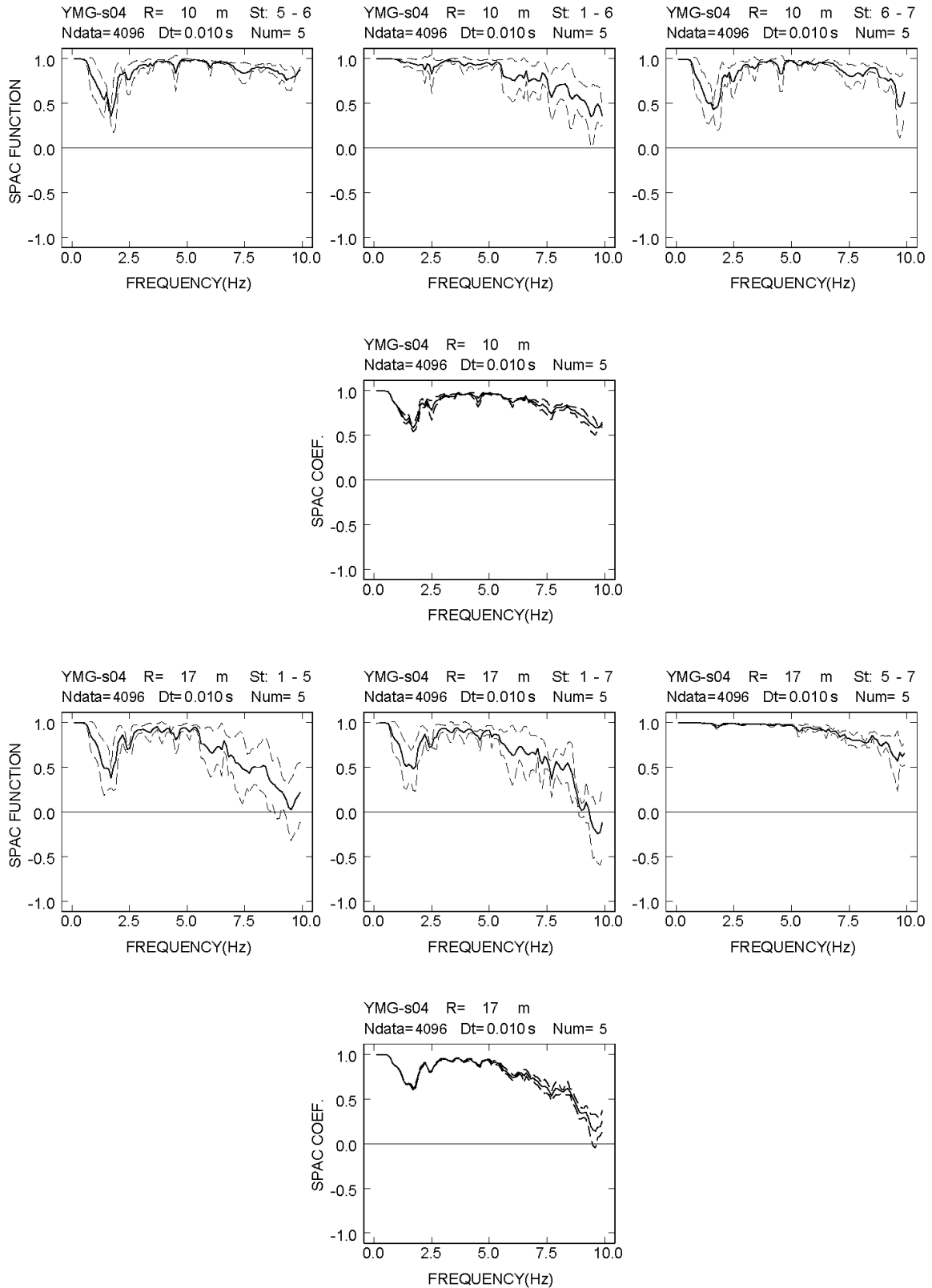
付図 2-3a-(4) 山下 S アレイにおける各地震計間隔での空間自己相関係数



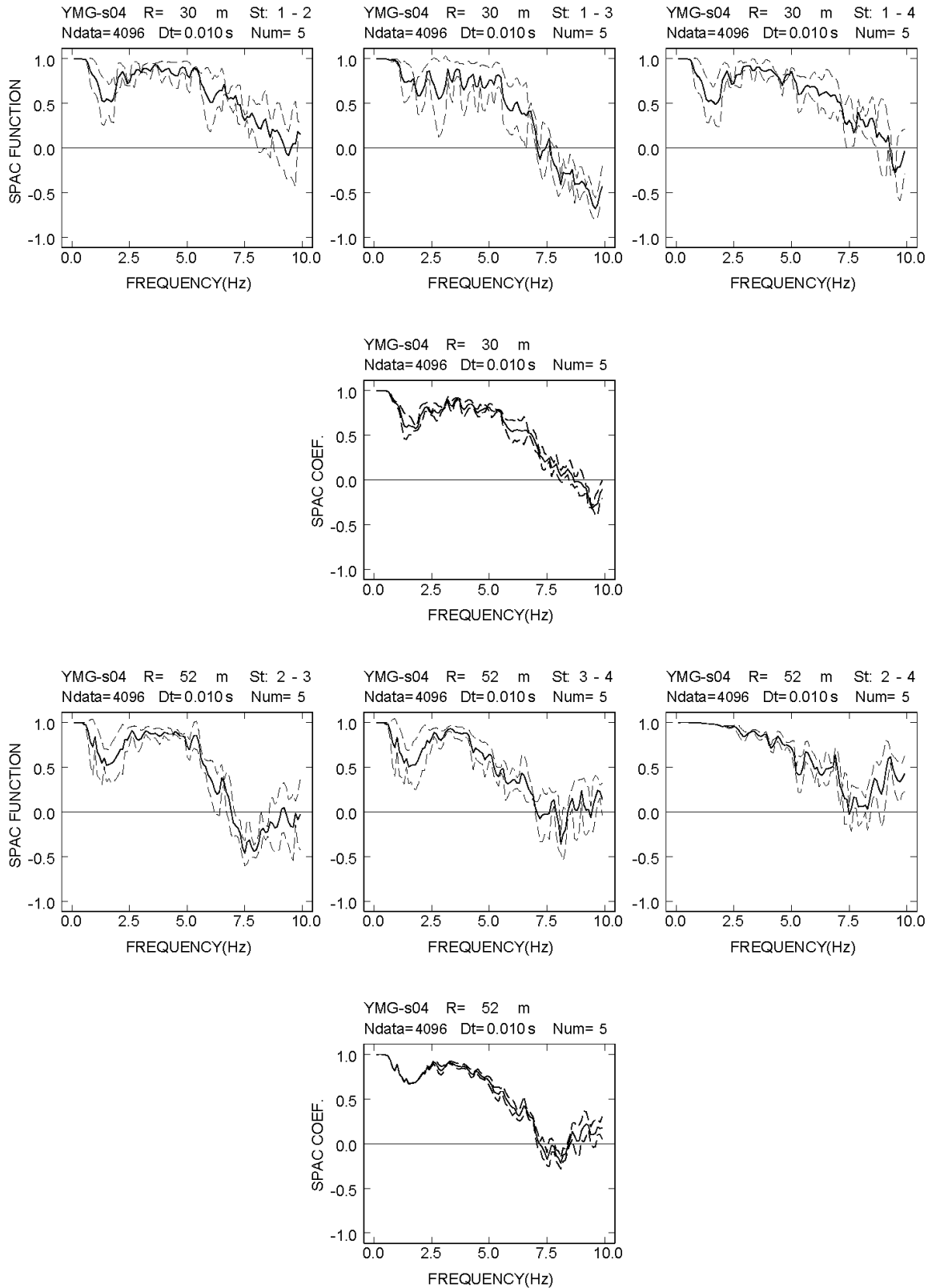
付図 2-3a-(5) 山下 S アレイにおける各地震計間隔での空間自己相関係数



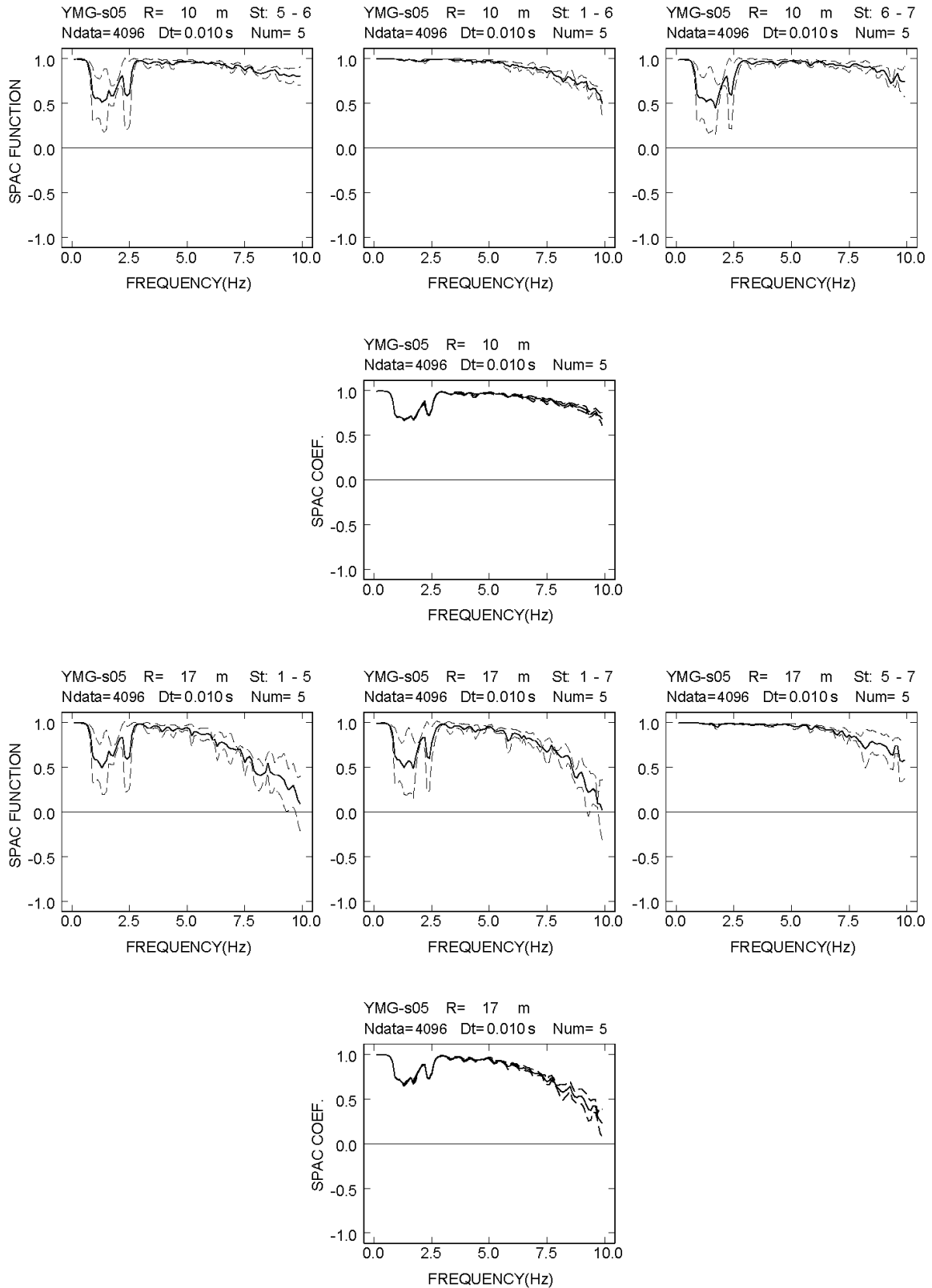
付図 2-3a-(6) 山下 S アレイにおける各地震計間隔での空間自己相関係数



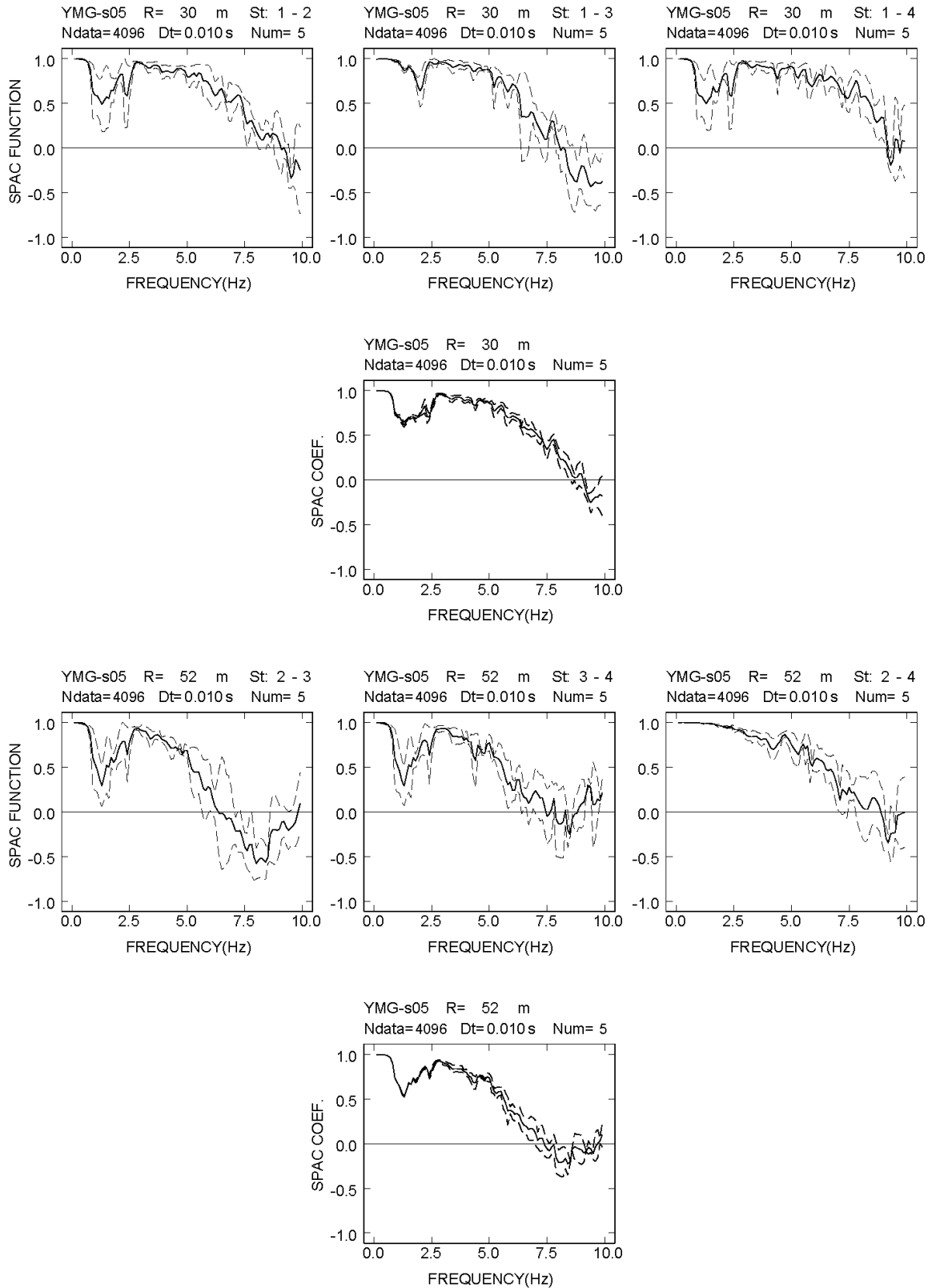
付図 2-3a-(7) 山下 S アレイにおける各地震計間隔での空間自己相関係数



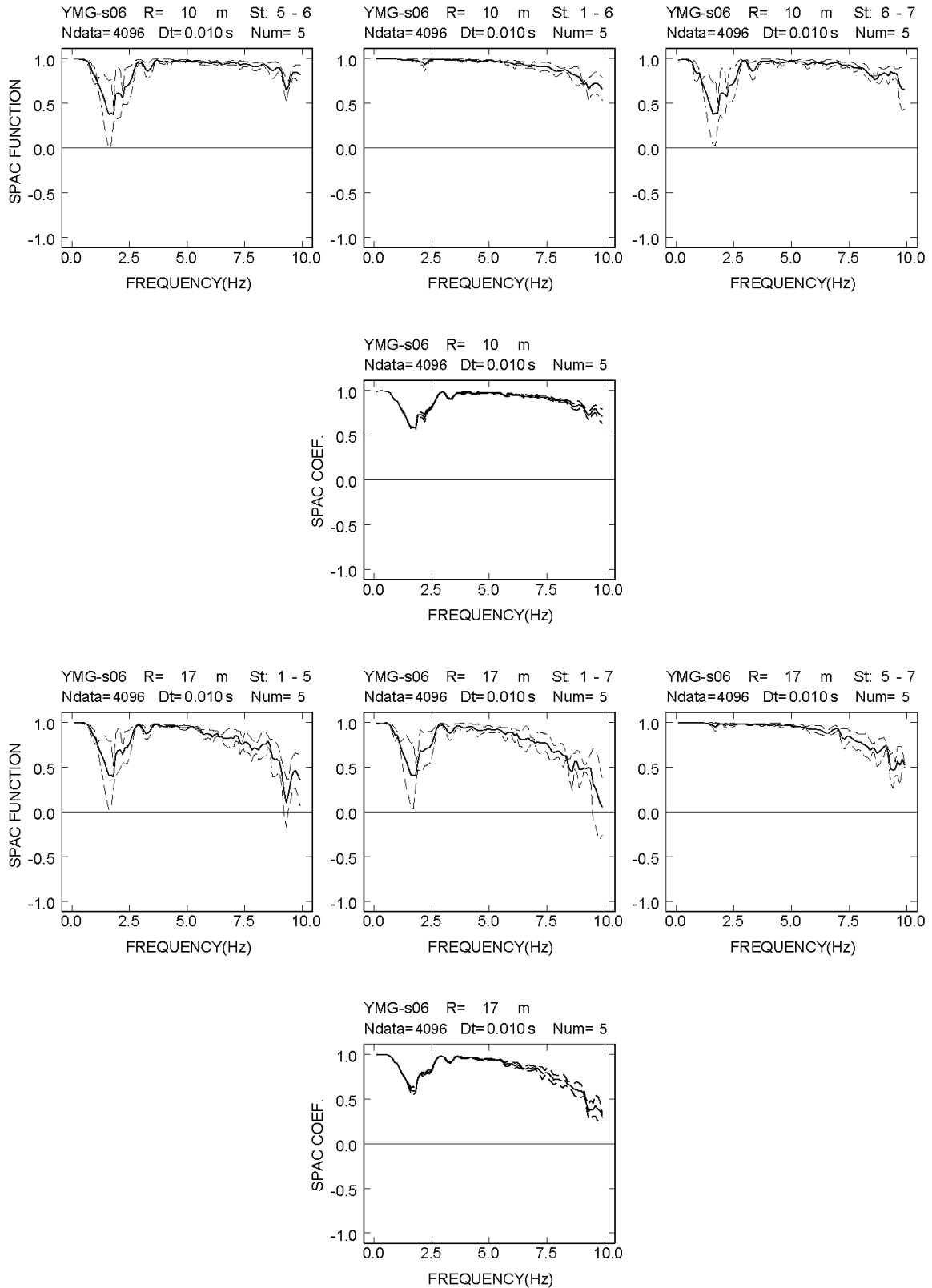
付図 2-3a-(8) 山下 S アレイにおける各地震計間隔での空間自己相関係数



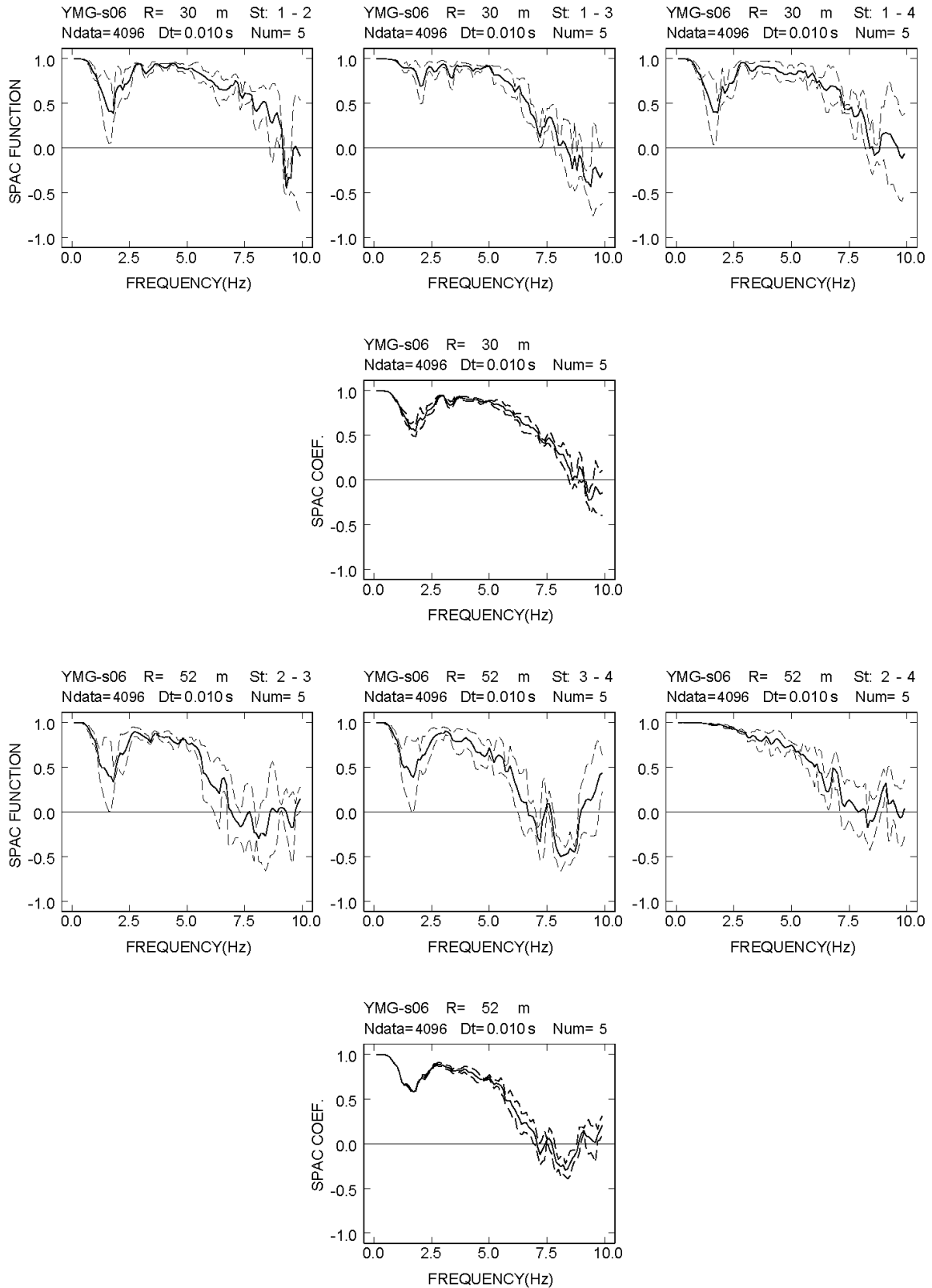
付図 2-3a-(9) 山下 S アレイにおける各地震計間隔での空間自己相関係数



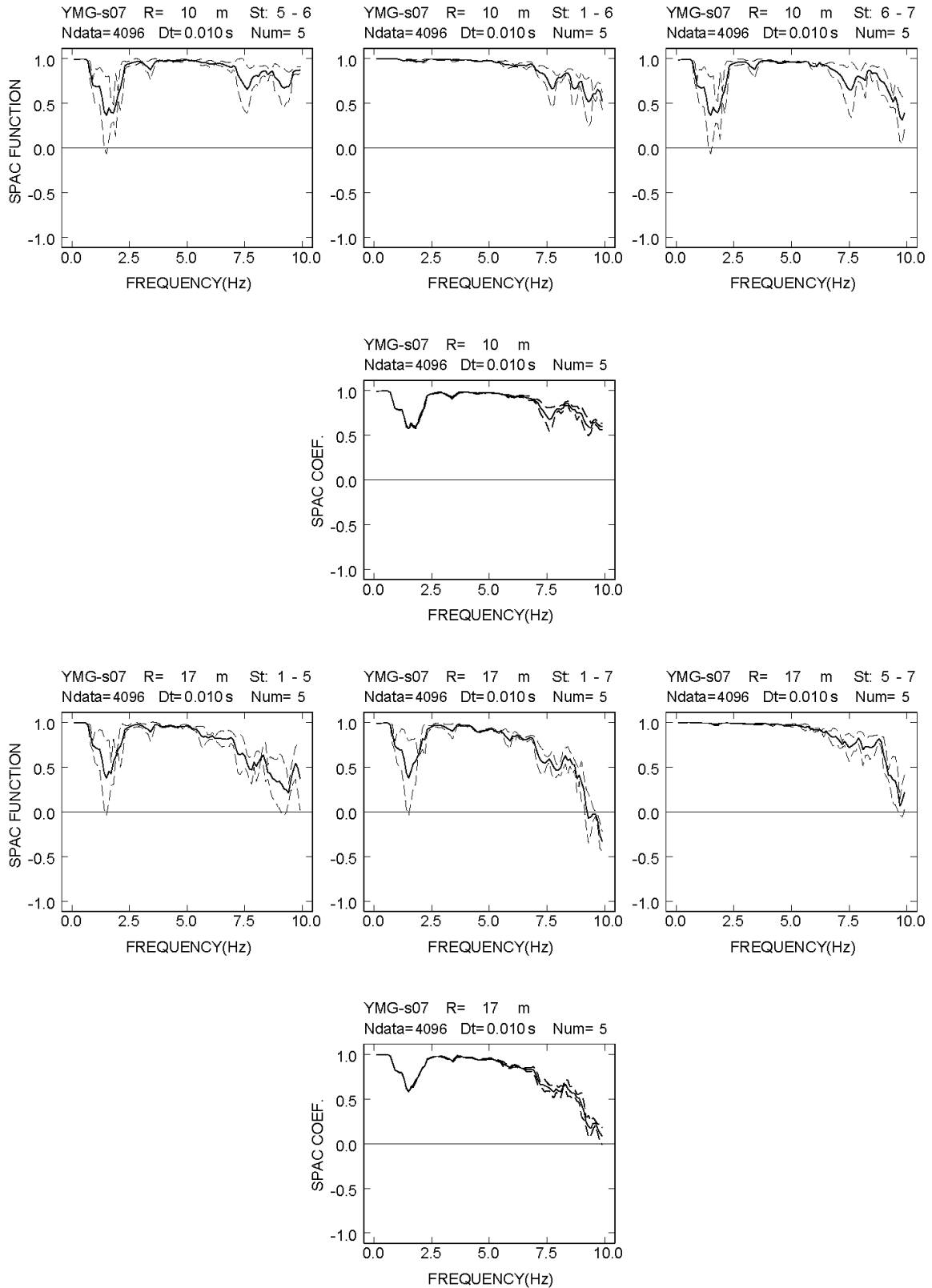
付図 2-3a-(10) 山下 S アレイにおける各地震計間隔での空間自己相関係数



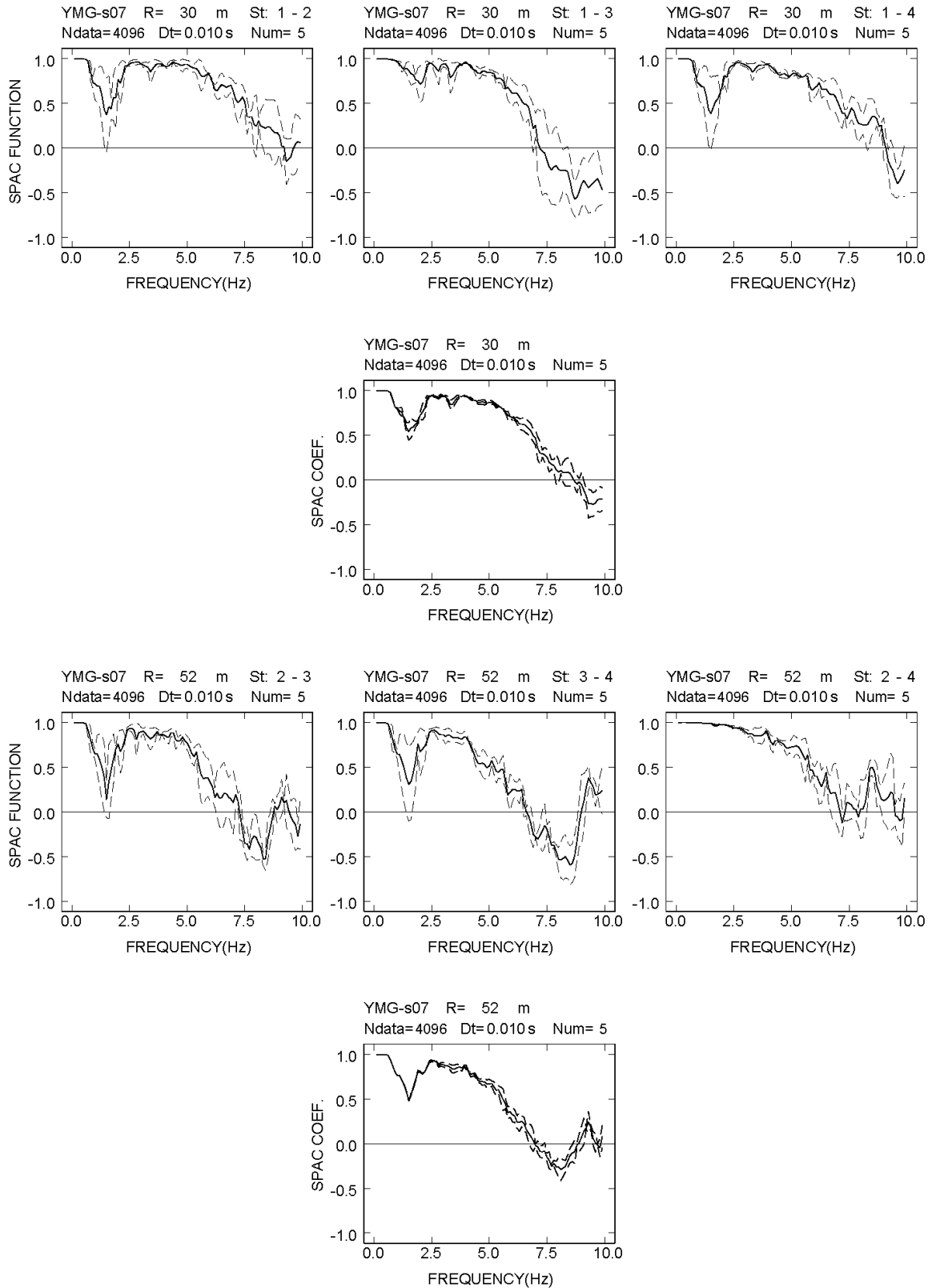
付図 2-3a-(11) 山下 S アレイにおける各地震計間隔での空間自己相関係数



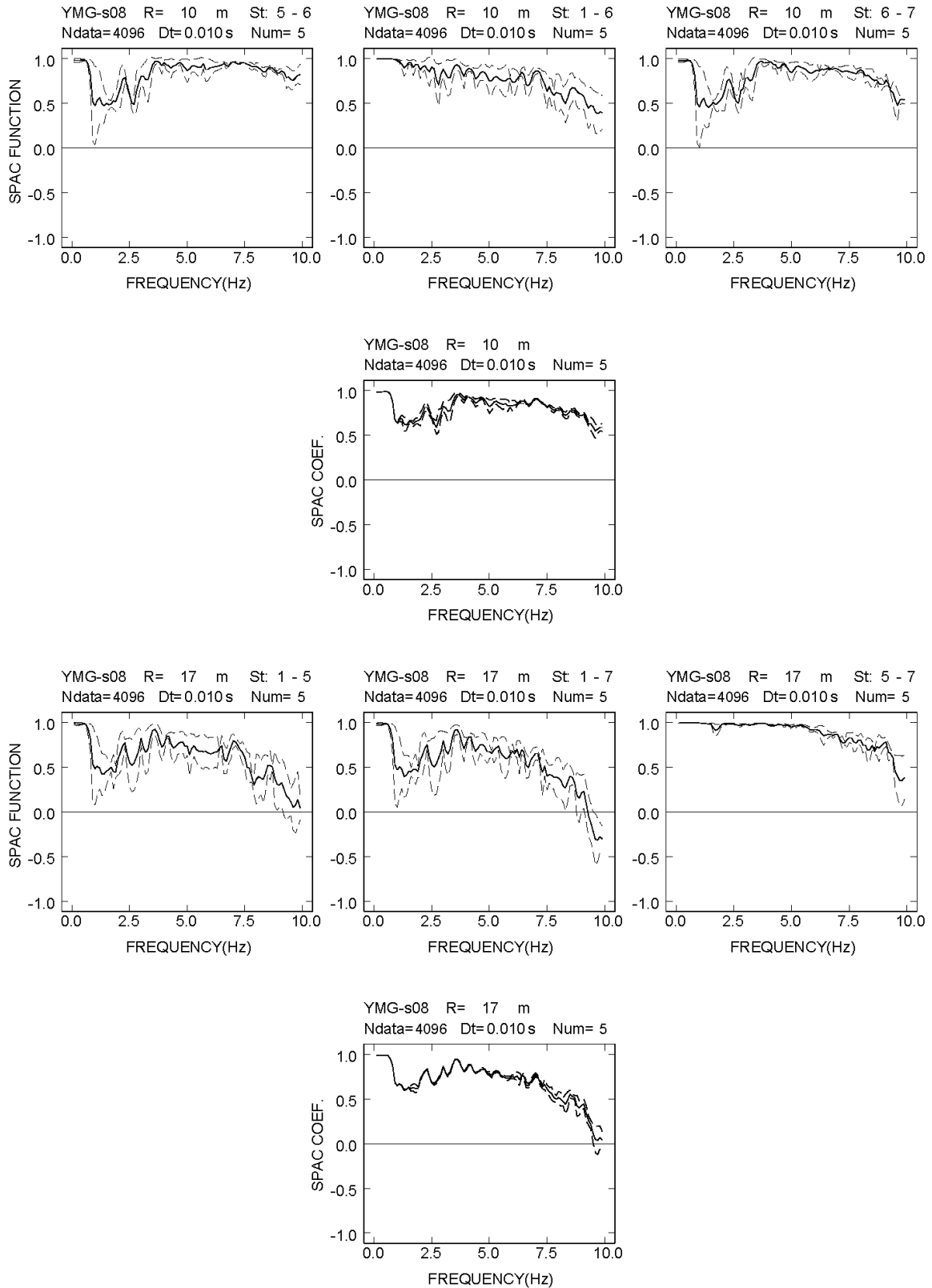
付図 2-3a-(12) 山下 S アレイにおける各地震計間隔での空間自己相関係数



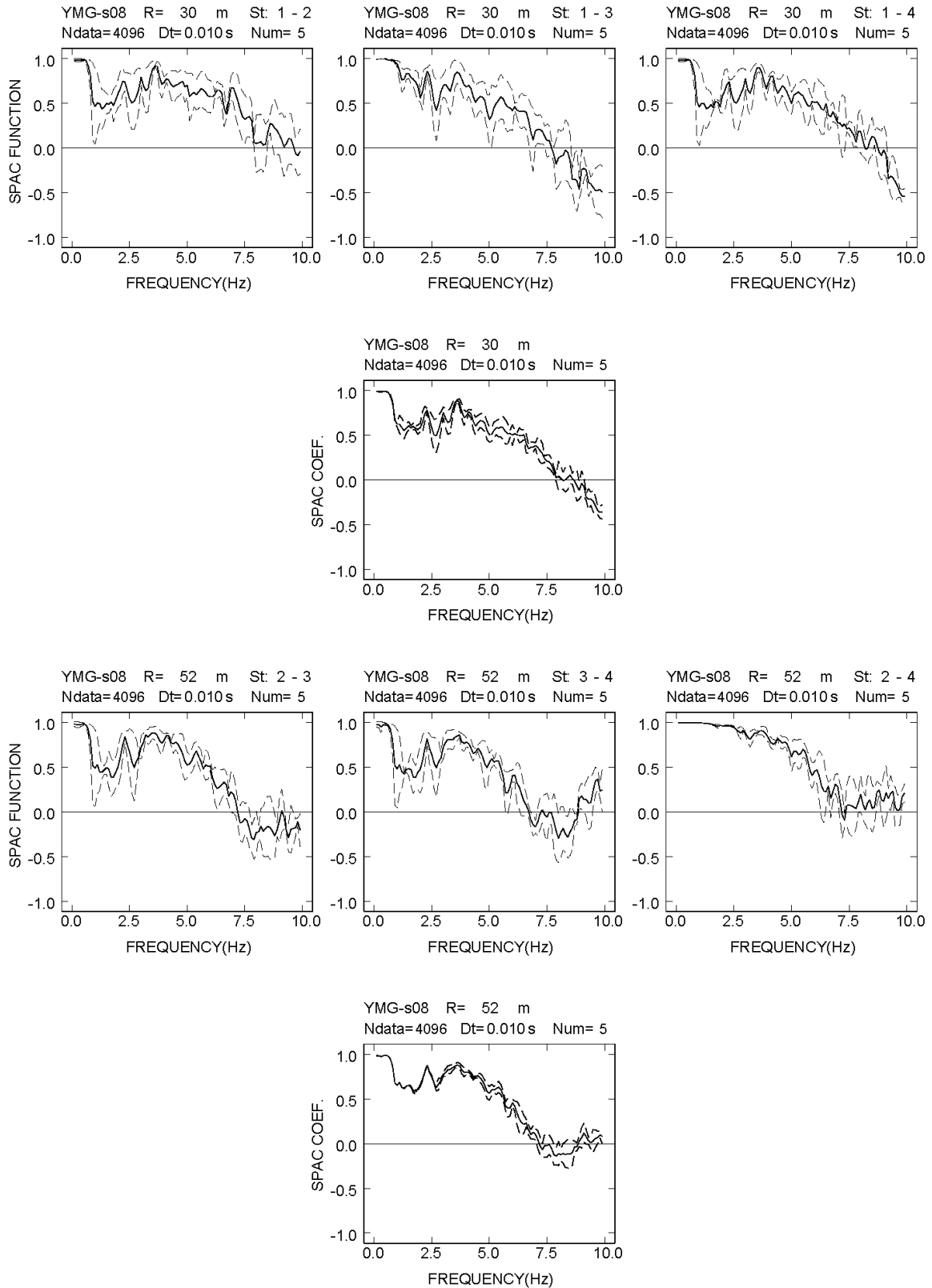
付図 2-3a-(13) 山下 S アレイにおける各地震計間隔での空間自己相関係数



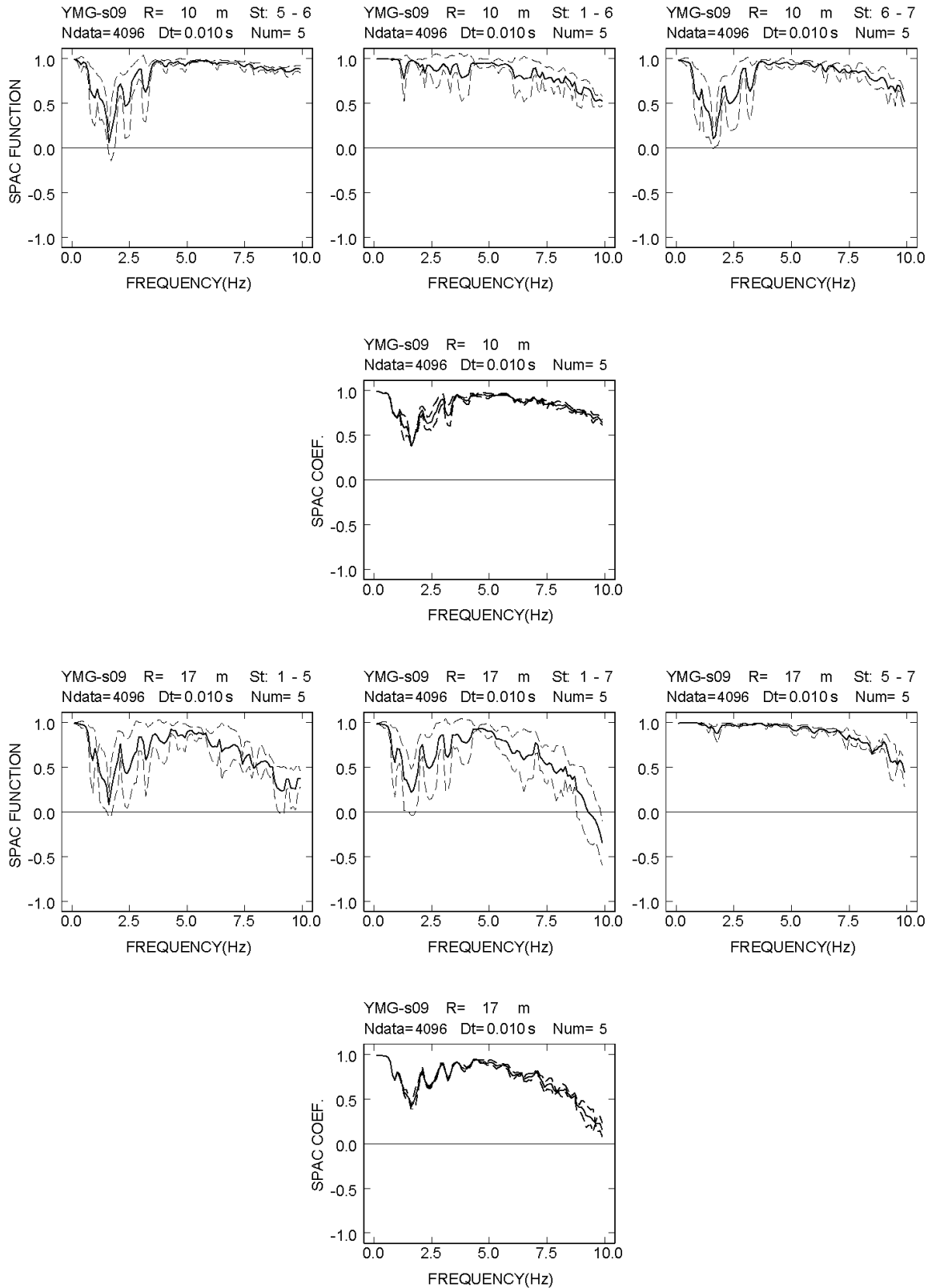
付図 2-3a-(14) 山下 S アレイにおける各地震計間隔での空間自己相関係数



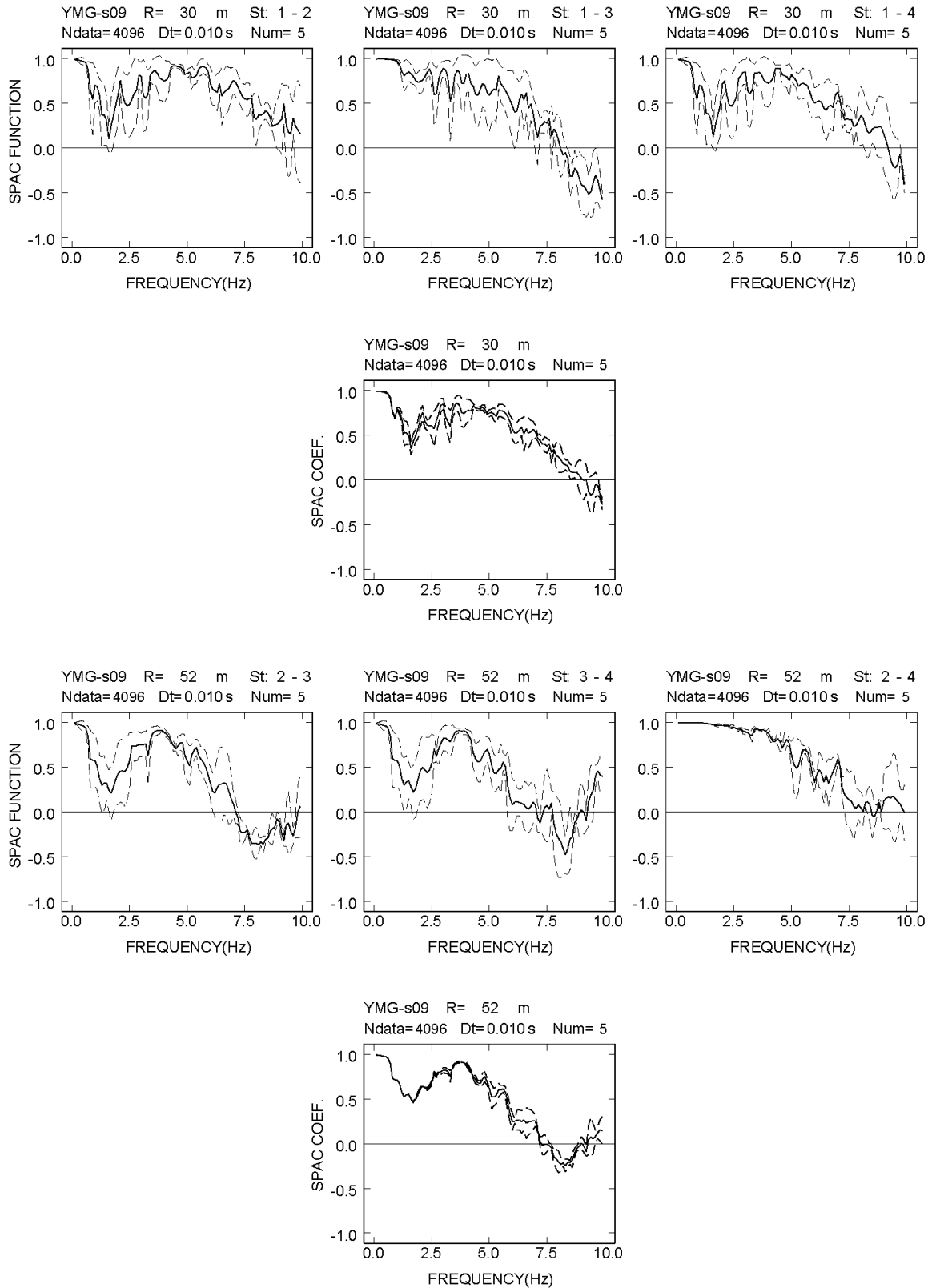
付図 2-3a-(15) 山下 S アレイにおける各地震計間隔での空間自己相関係数



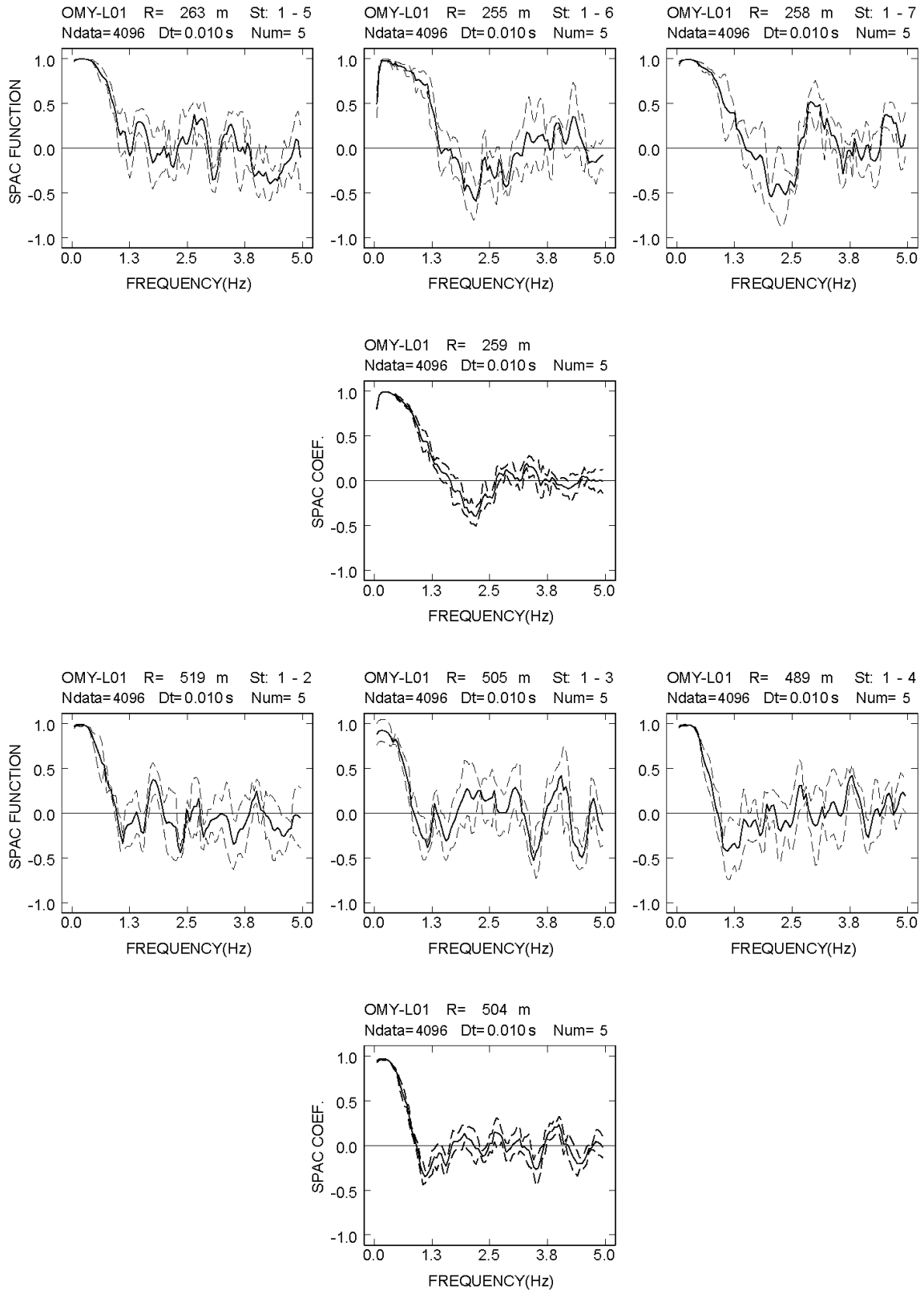
付図 2-3a-(16) 山下 S アレイにおける各地震計間隔での空間自己相関係数



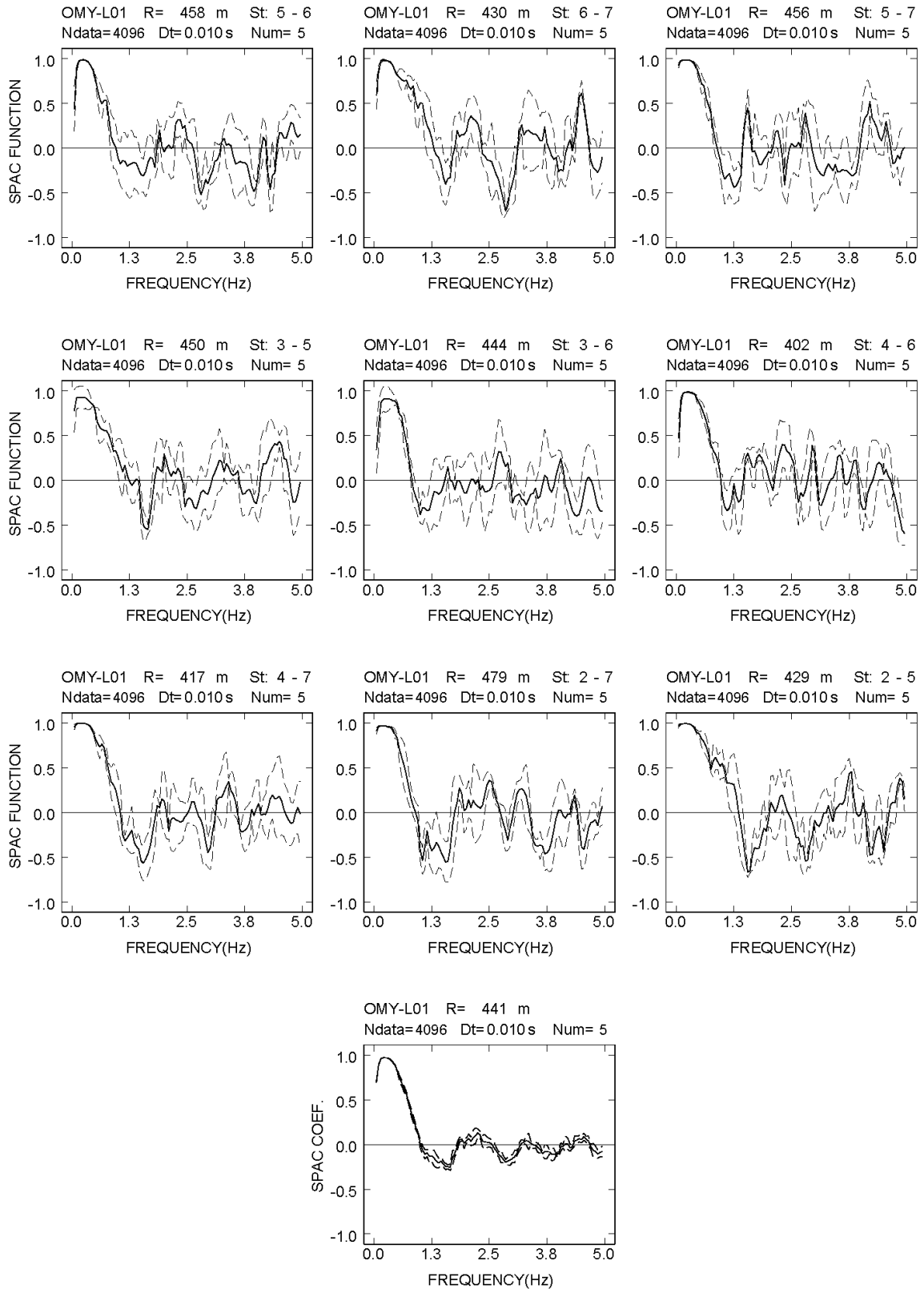
付図 2-3a-(17) 山下 S アレイにおける各地震計間隔での空間自己相関係数



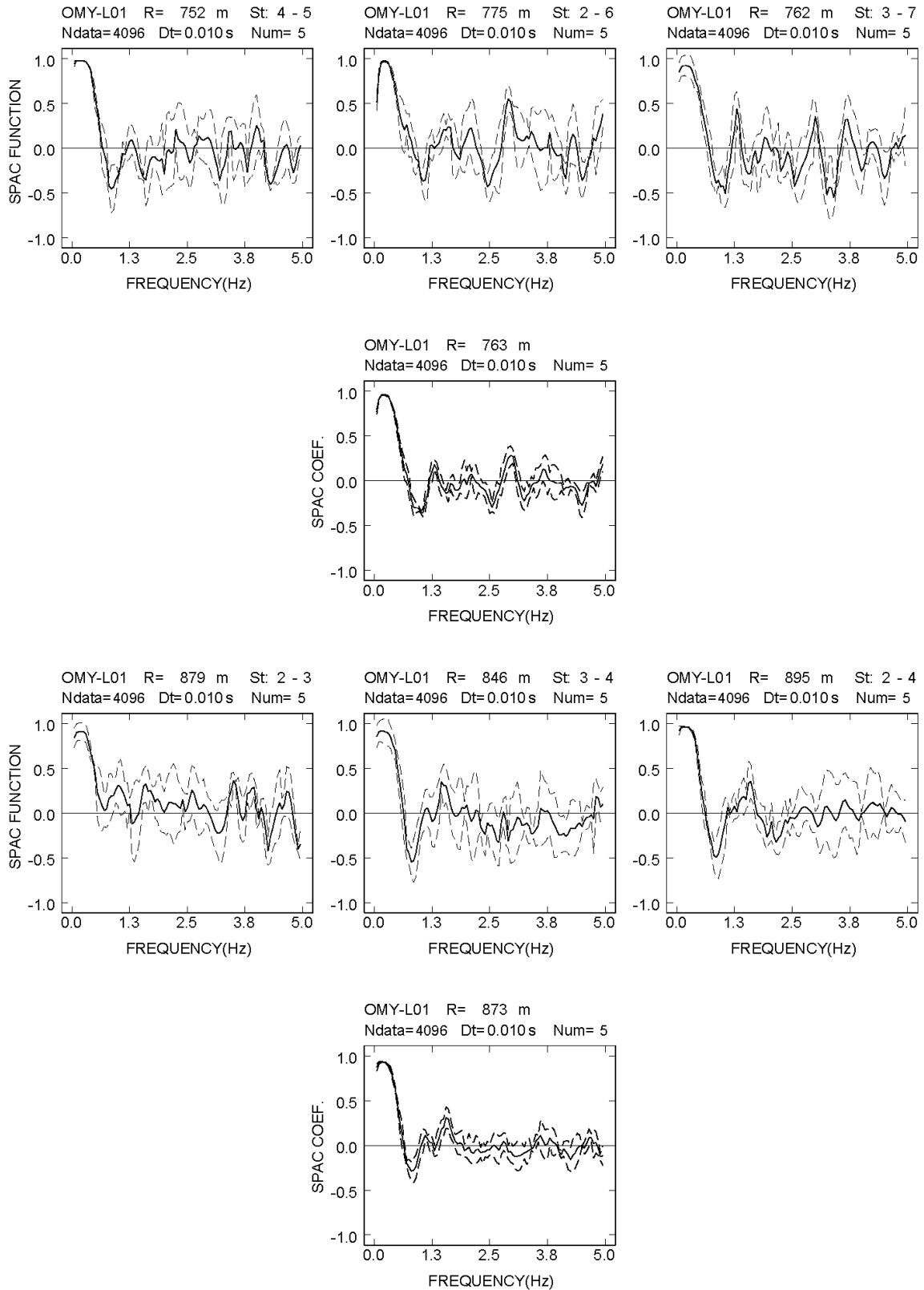
付図 2-3a-(18) 山下 S アレイにおける各地震計間隔での空間自己相関係数



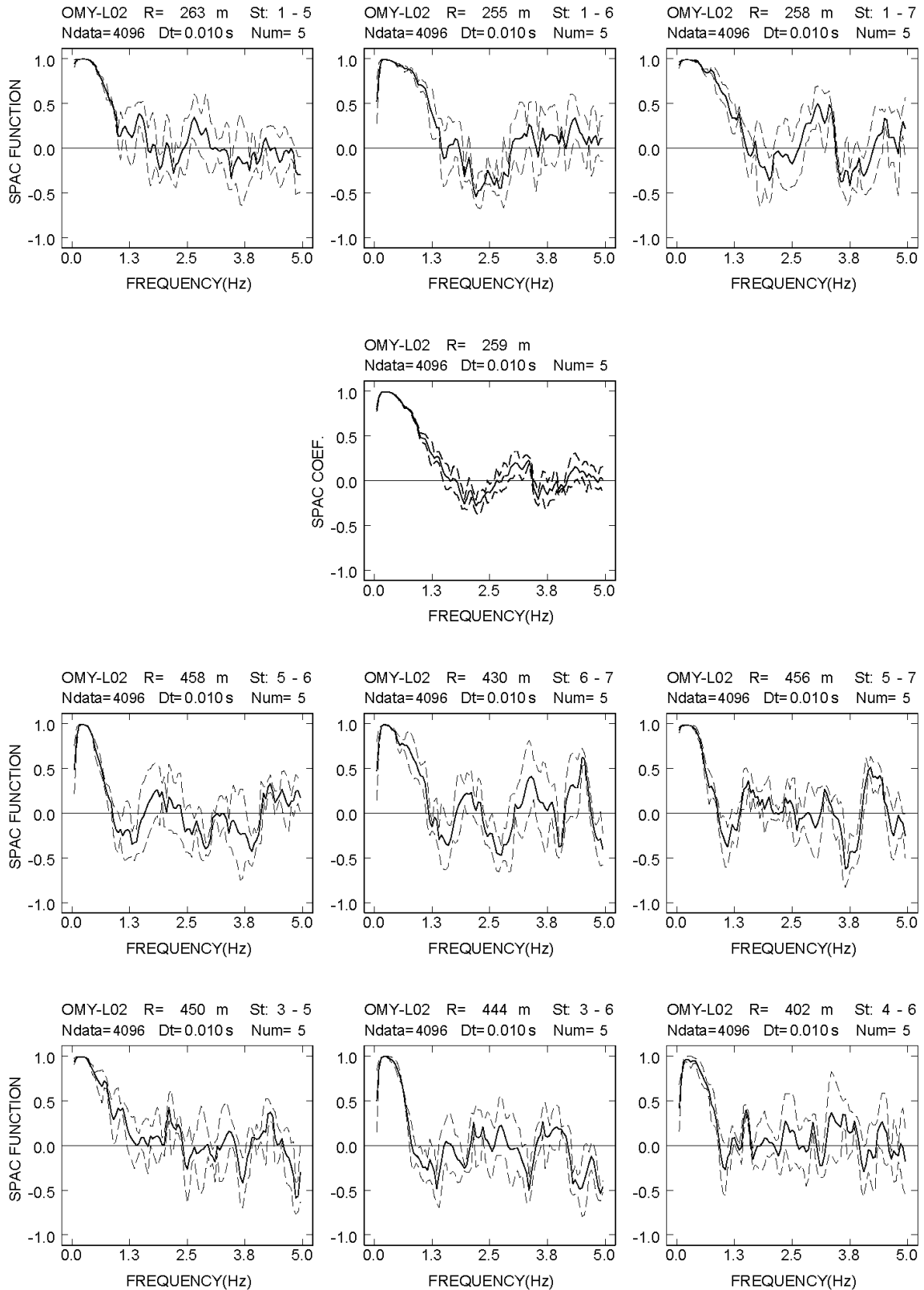
付図 2-4a-(1) 大宮 L アレイにおける各地震計間隔での空間自己相関係数



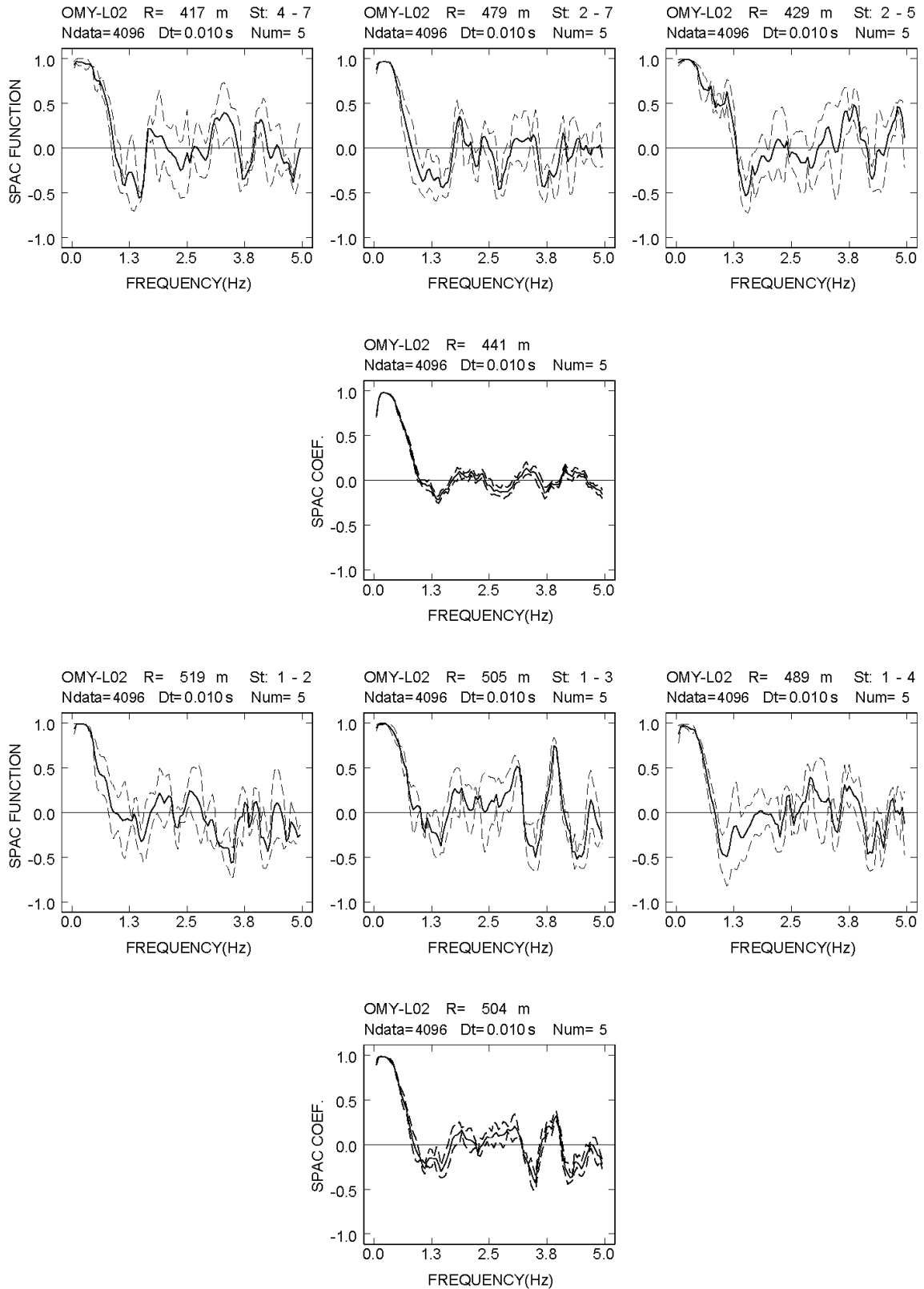
付図 2-4a-(2) 大宮 L アレイにおける各地震計間隔での空間自己相関係数



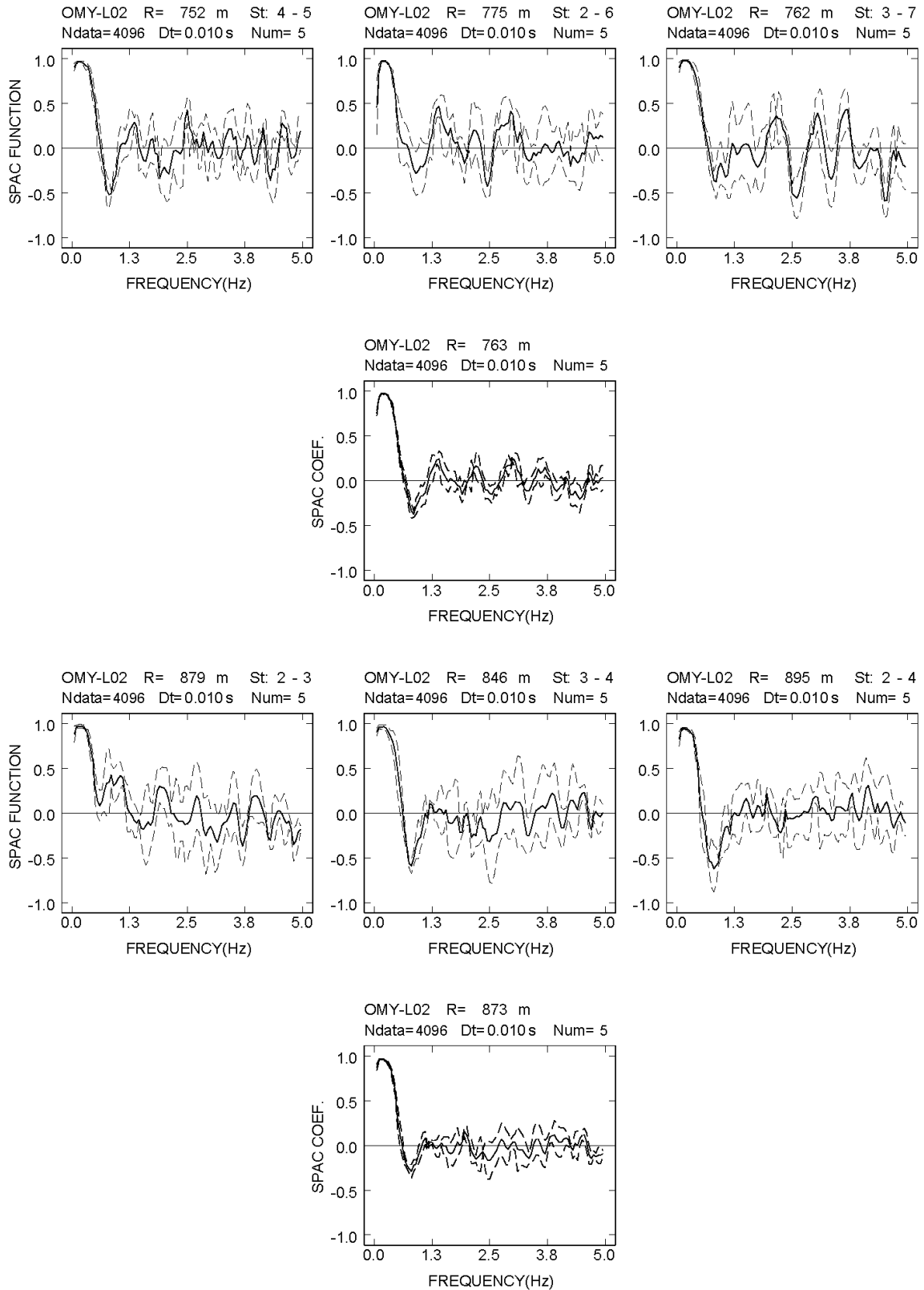
付図 2-4a-(3) 大宮 L アレイにおける各地震計間隔での空間自己相関係数



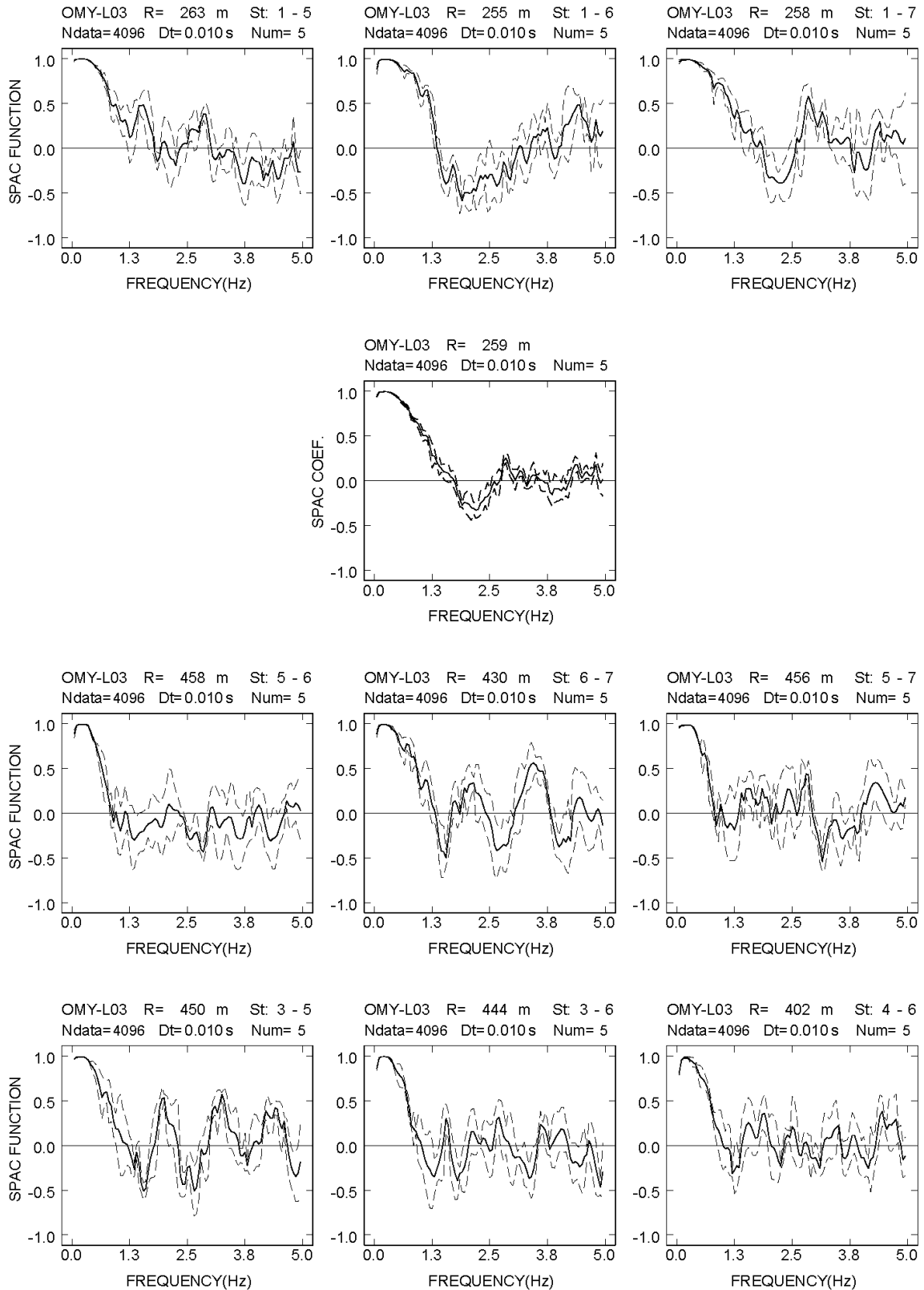
付図 2-4a-(4) 大宮 L アレイにおける各地震計間隔での空間自己相関係数



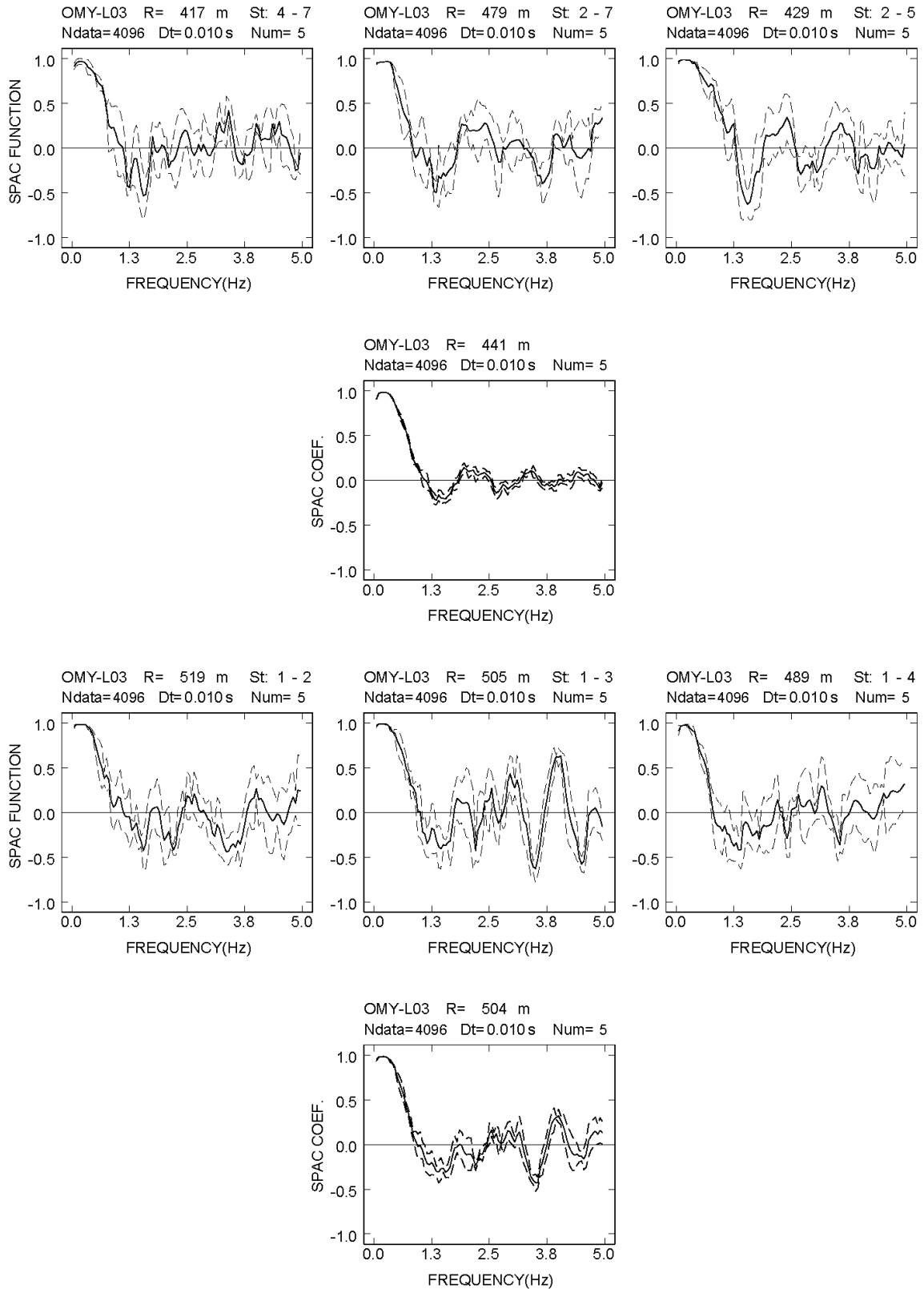
付図 2-4a-(5) 大宮 L アレイにおける各地震計間隔での空間自己相関係数



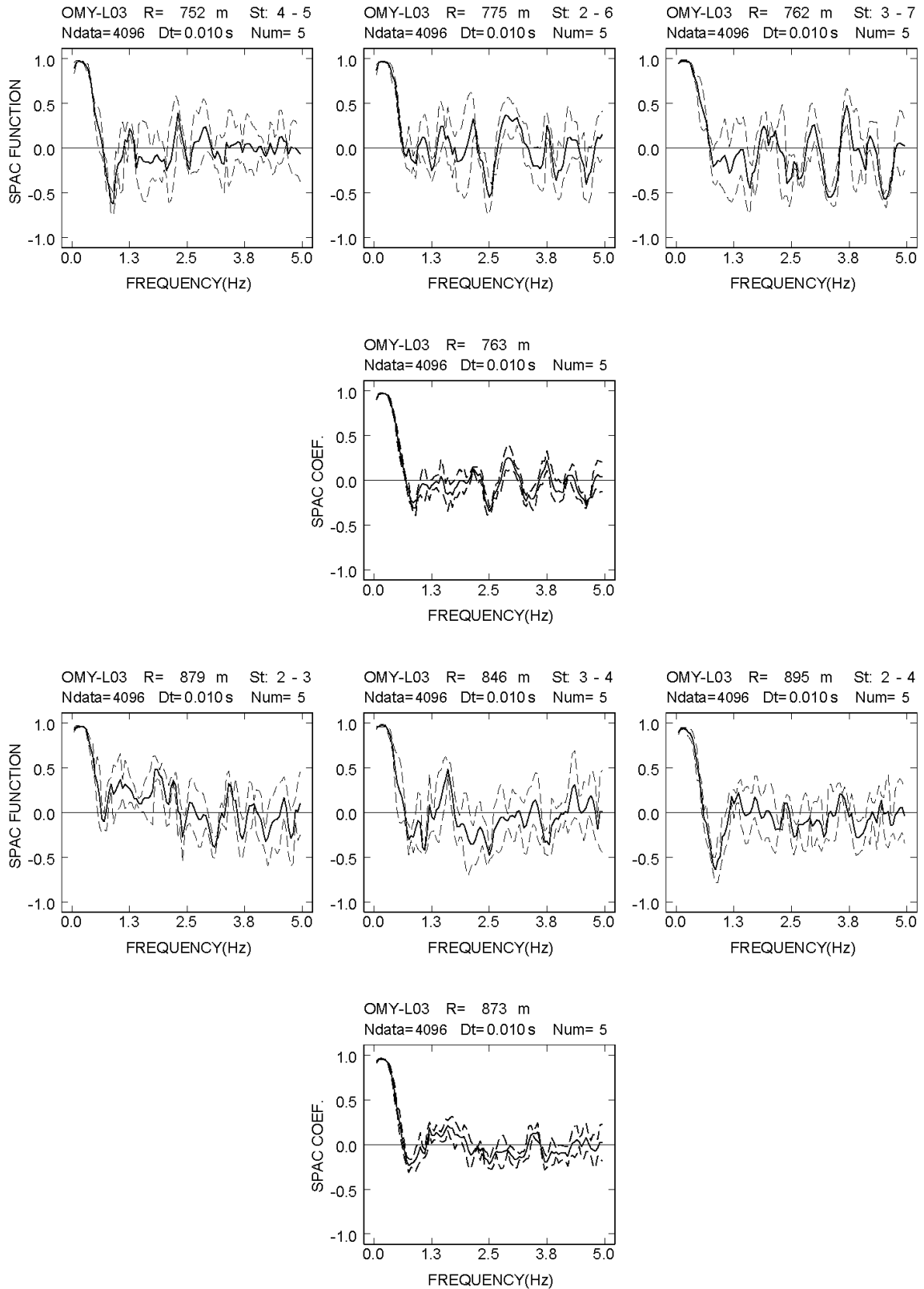
付図 2-4a-(6) 大宮 L アレイにおける各地震計間隔での空間自己相関係数



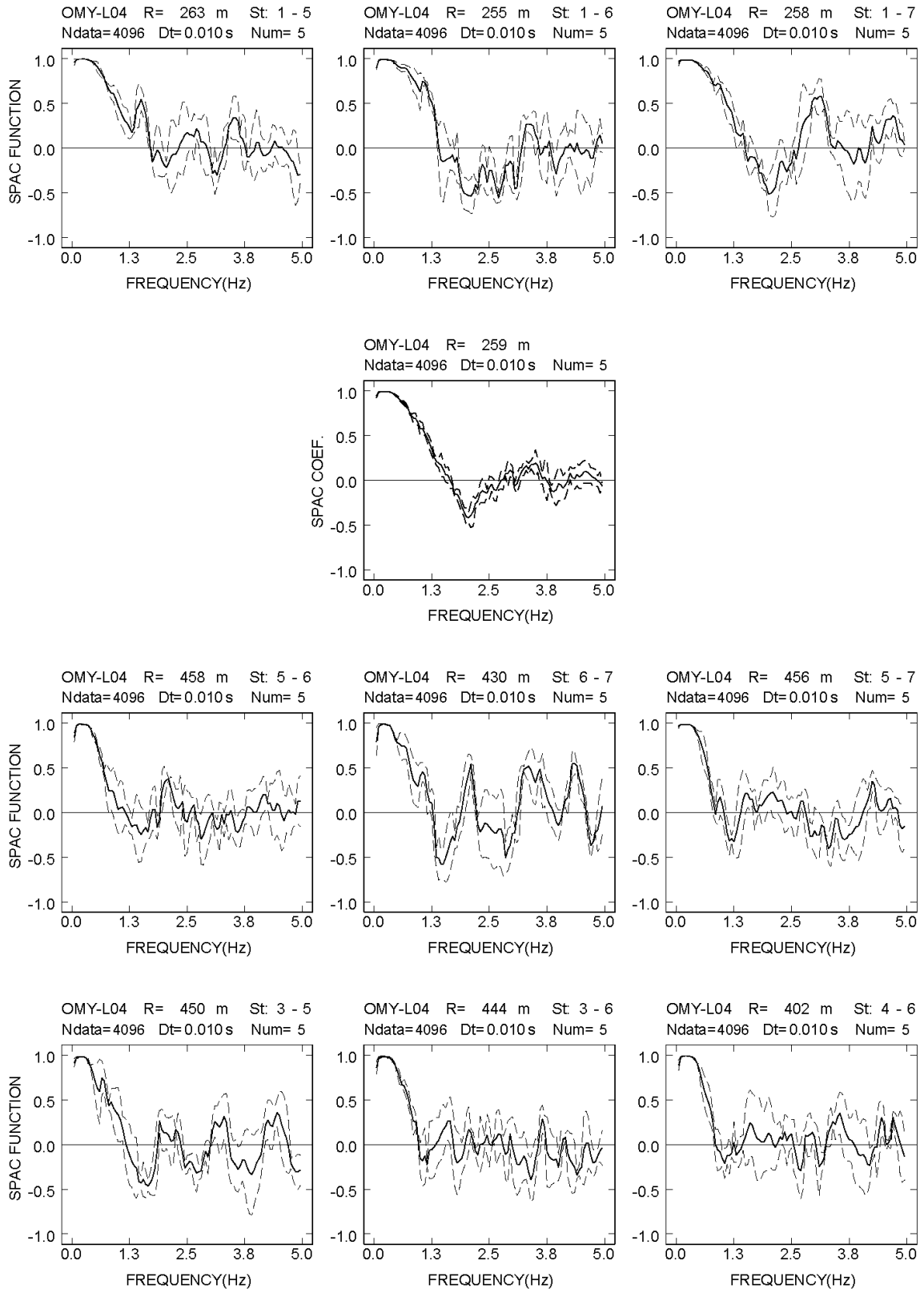
付図 2-4a-(7) 大宮 L アレイにおける各地震計間隔での空間自己相関係数



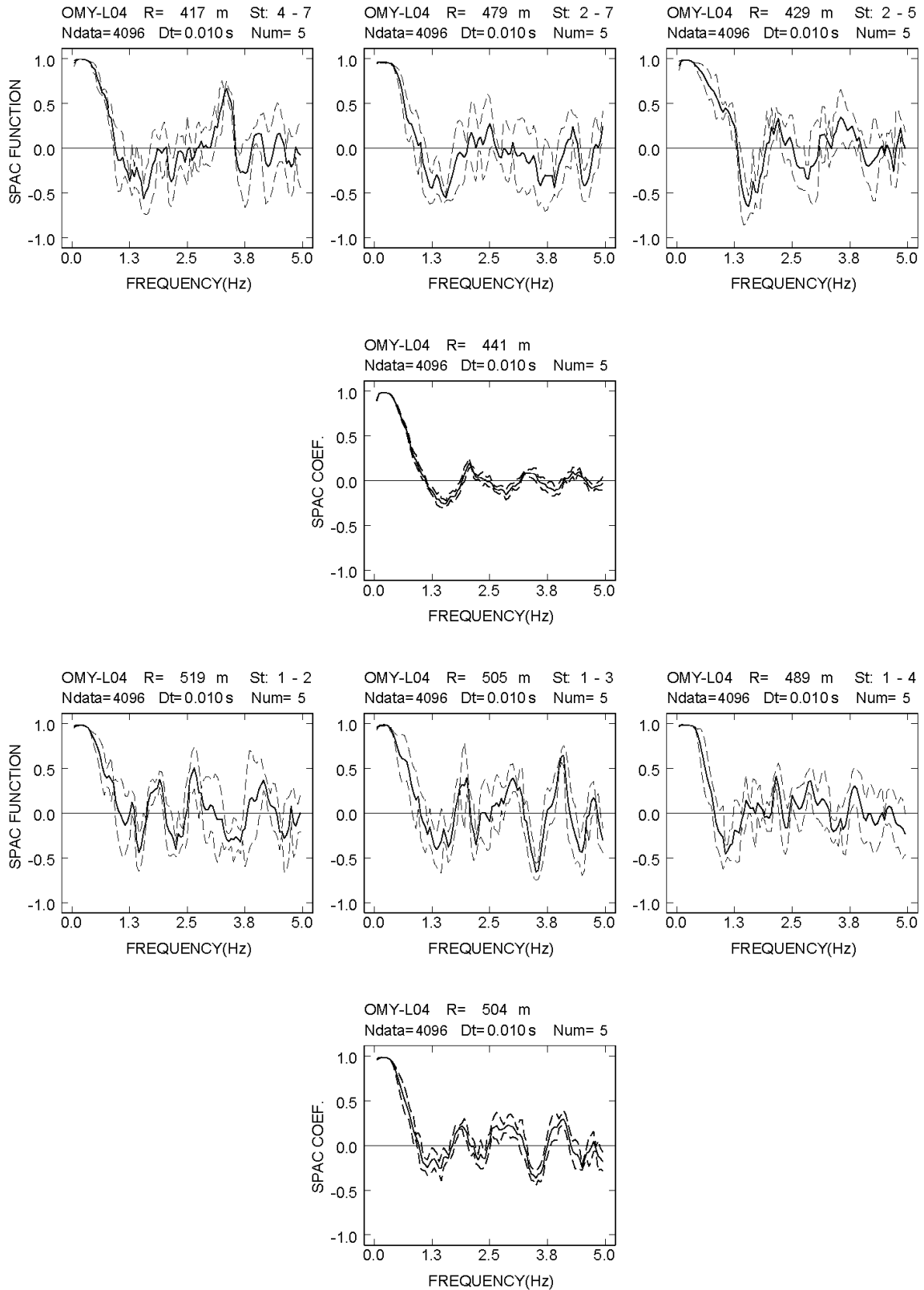
付図 2-4a-(8) 大宮 L アレイにおける各地震計間隔での空間自己相関係数



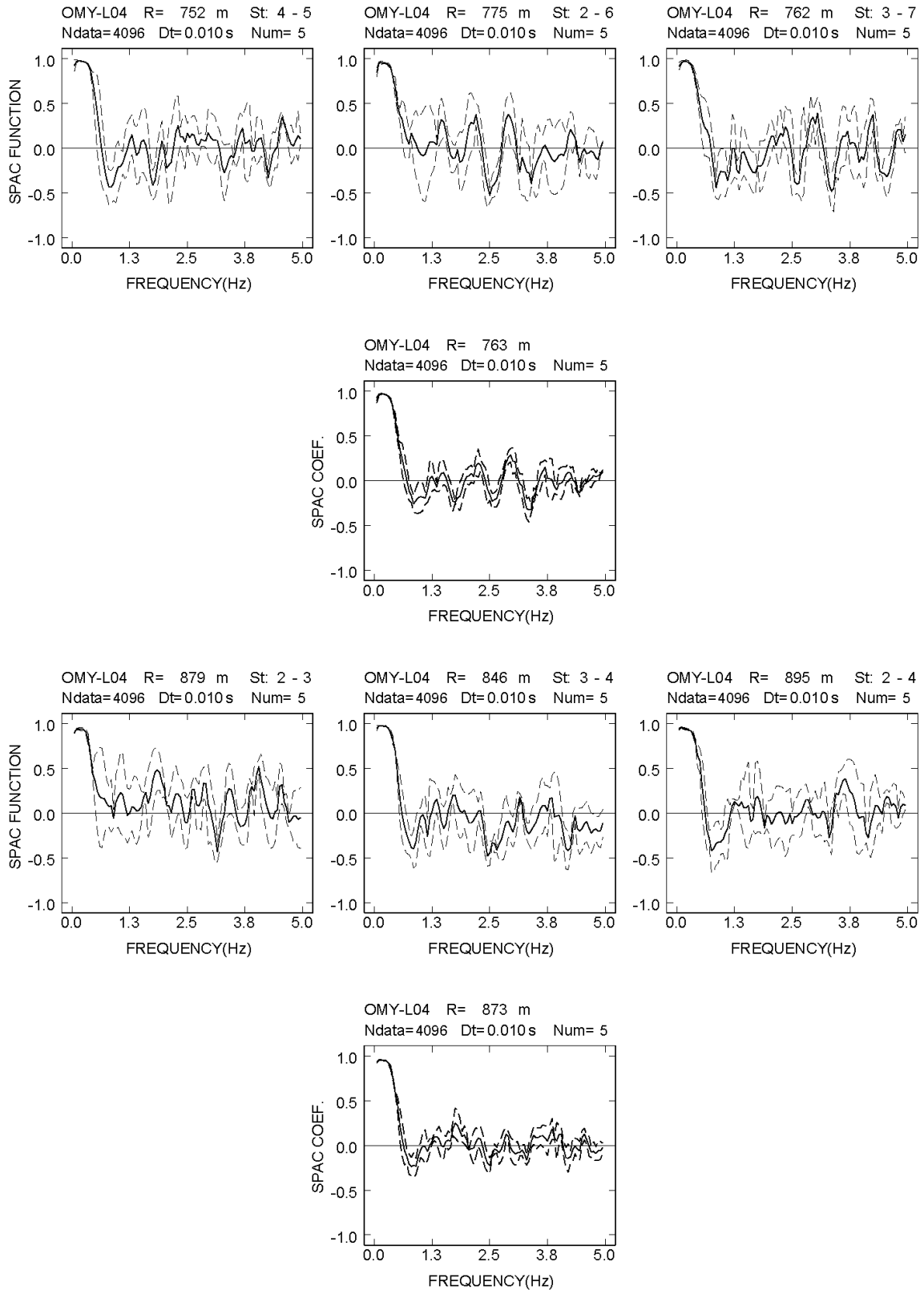
付図 2-4a-(9) 大宮 L アレイにおける各地震計間隔での空間自己相関係数



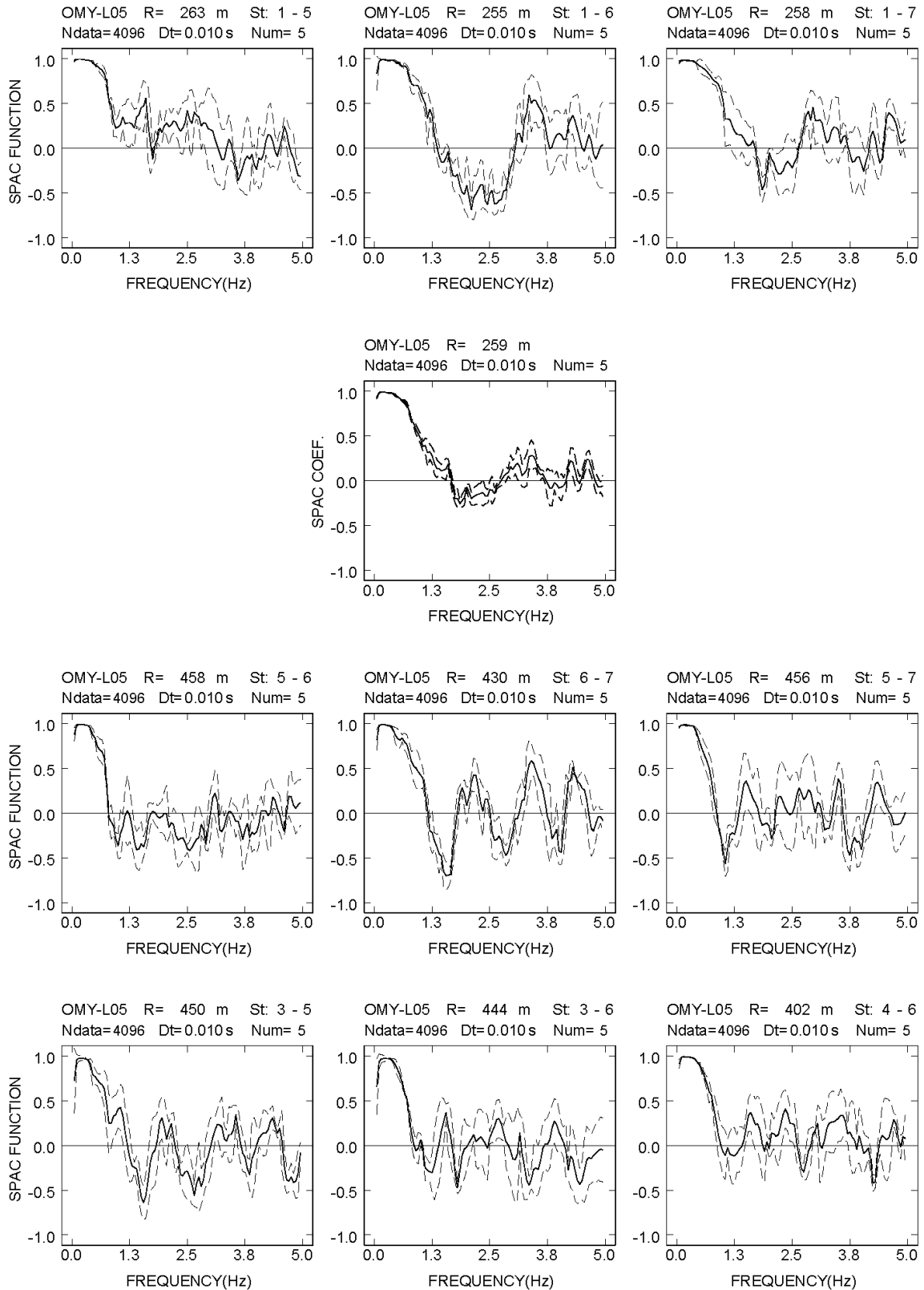
付図 2-4a-(10) 大宮 L アレイにおける各地震計間隔での空間自己相関係数



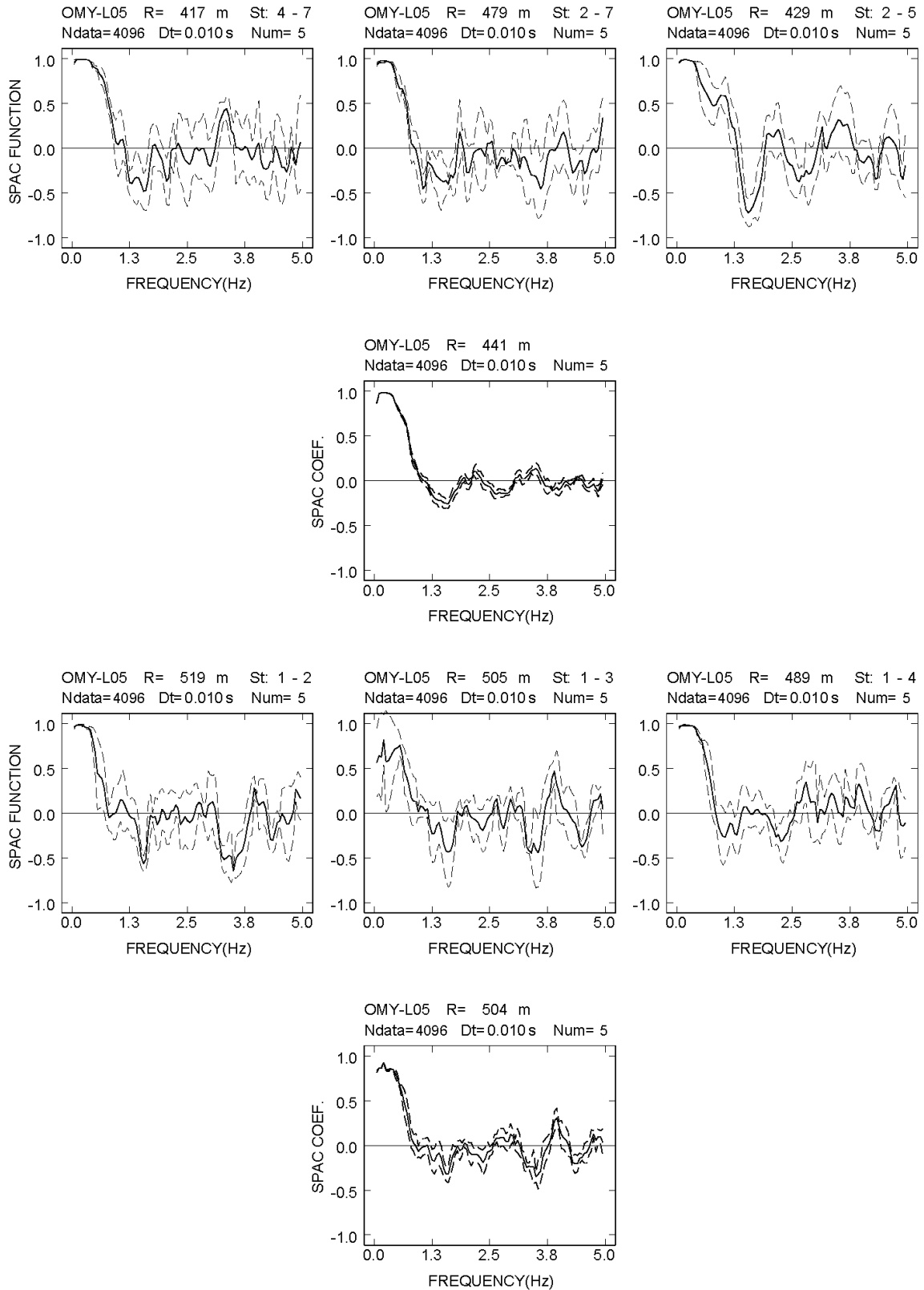
付図 2-4a-(11) 大宮 L アレイにおける各地震計間隔での空間自己相関係数



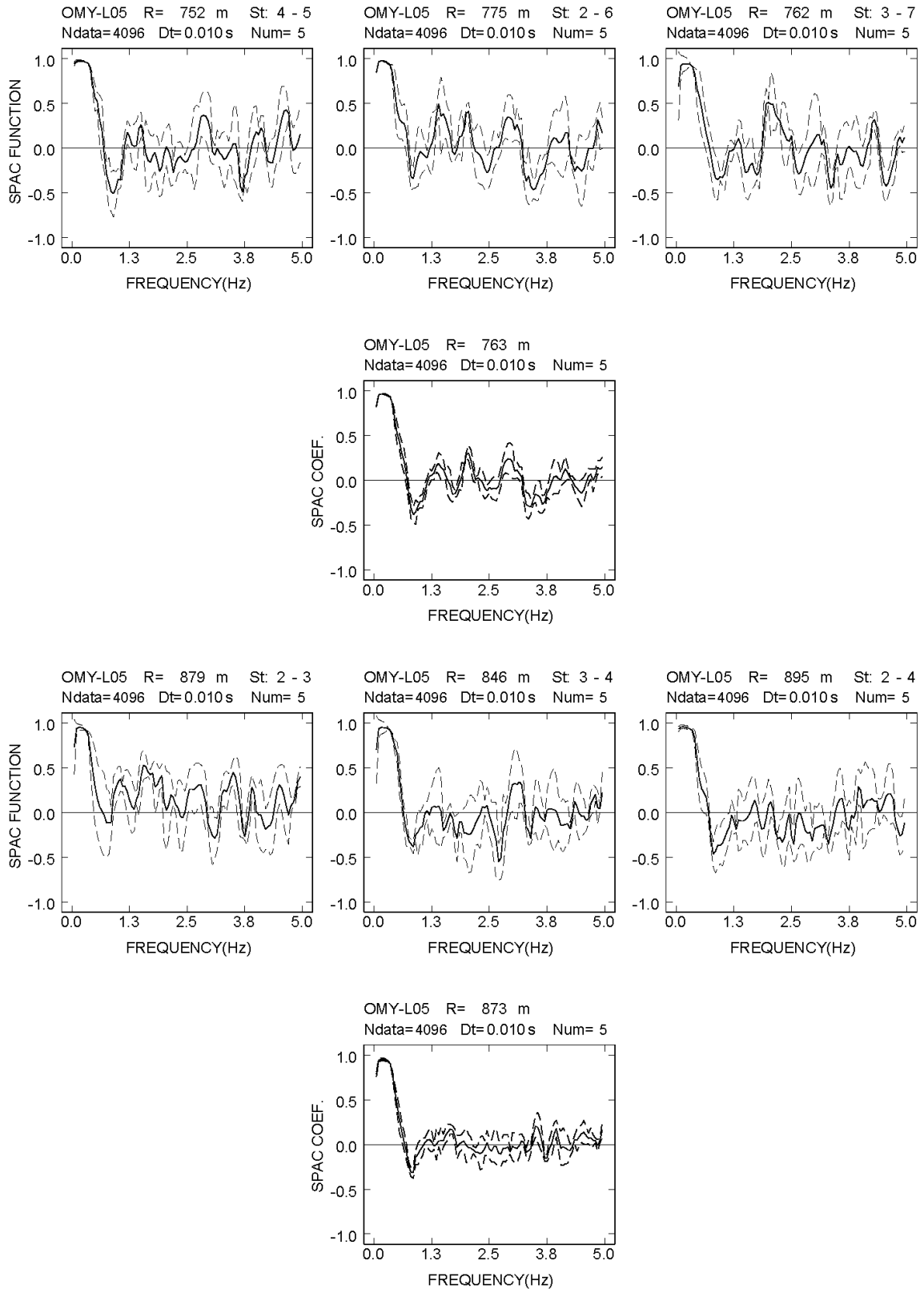
付図 2-4a-(12) 大宮 L アレイにおける各地震計間隔での空間自己相関係数



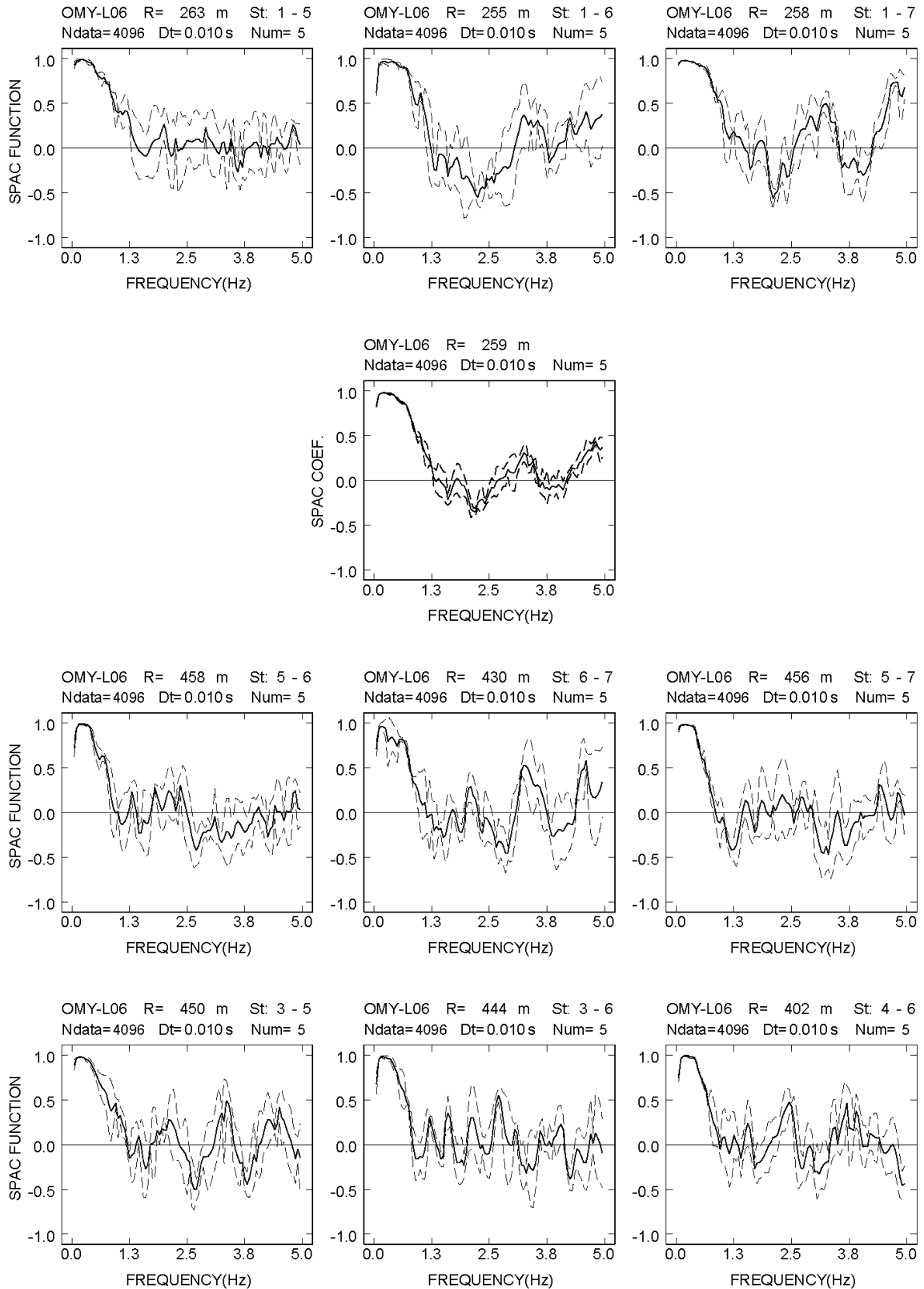
付図 2-4a-(13) 大宮 L アレイにおける各地震計間隔での空間自己相関係数



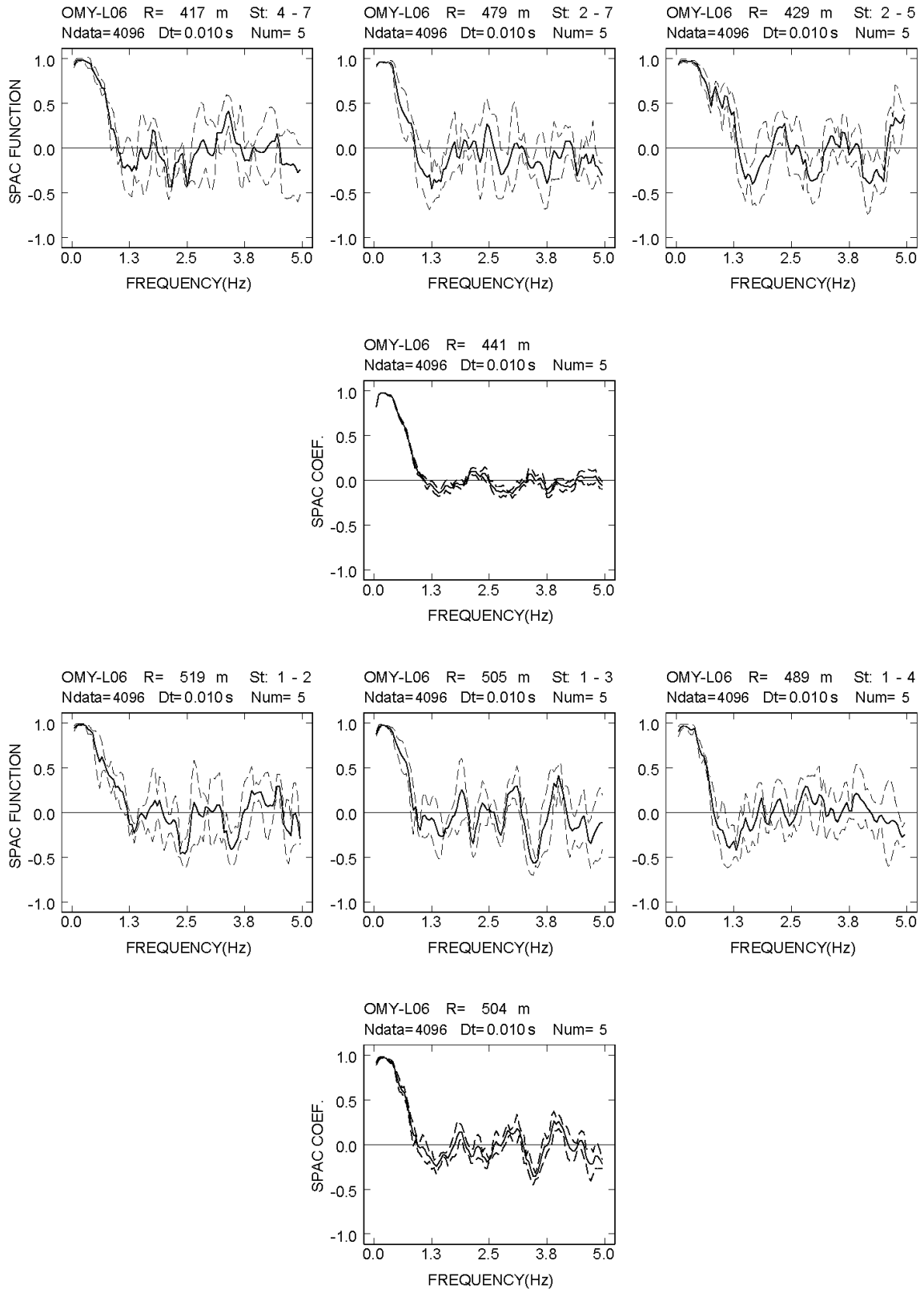
付図 2-4a-(14) 大宮 L アレイにおける各地震計間隔での空間自己相関係数



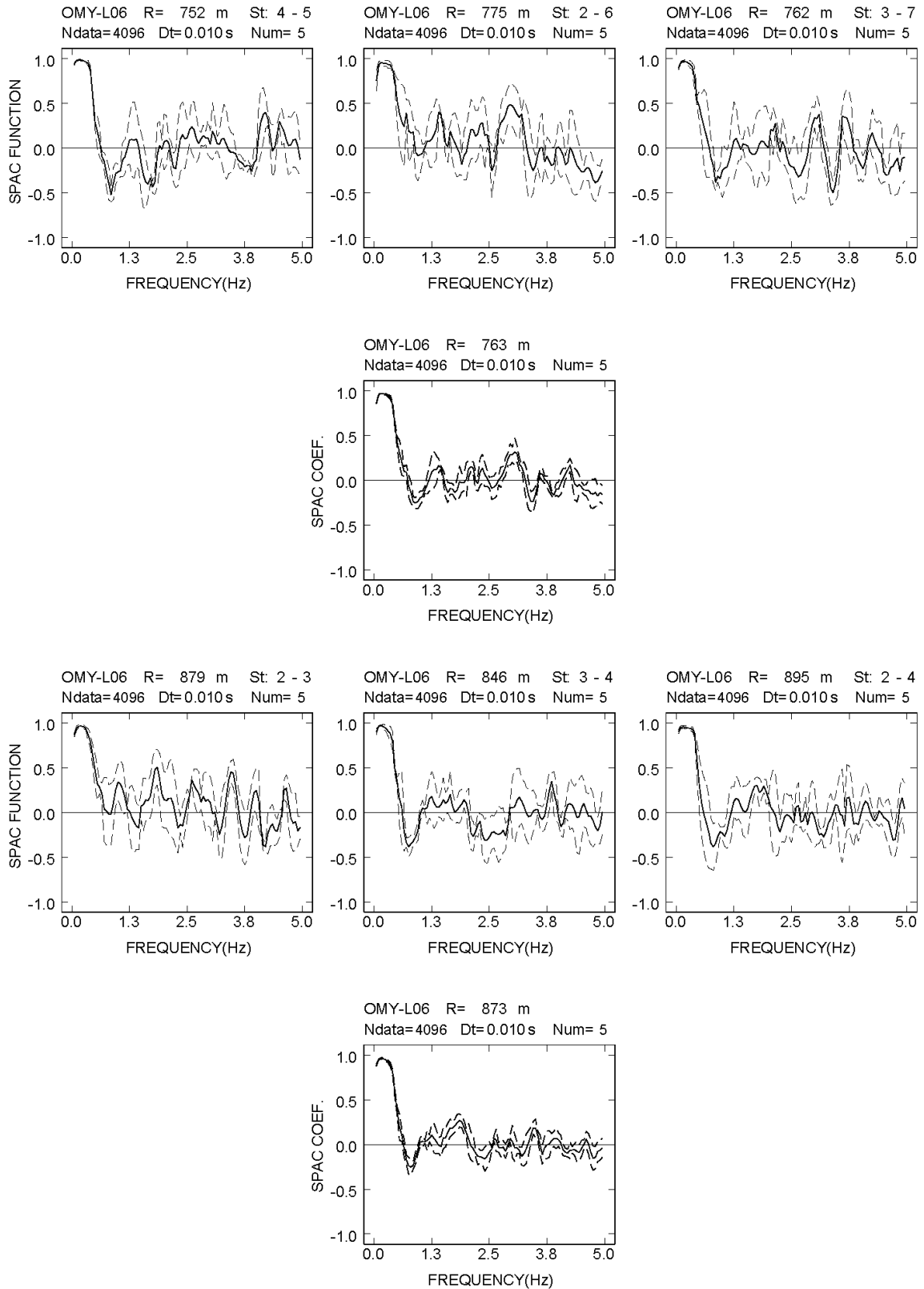
付図 2-4a-(15) 大宮 L アレイにおける各地震計間隔での空間自己相関係数



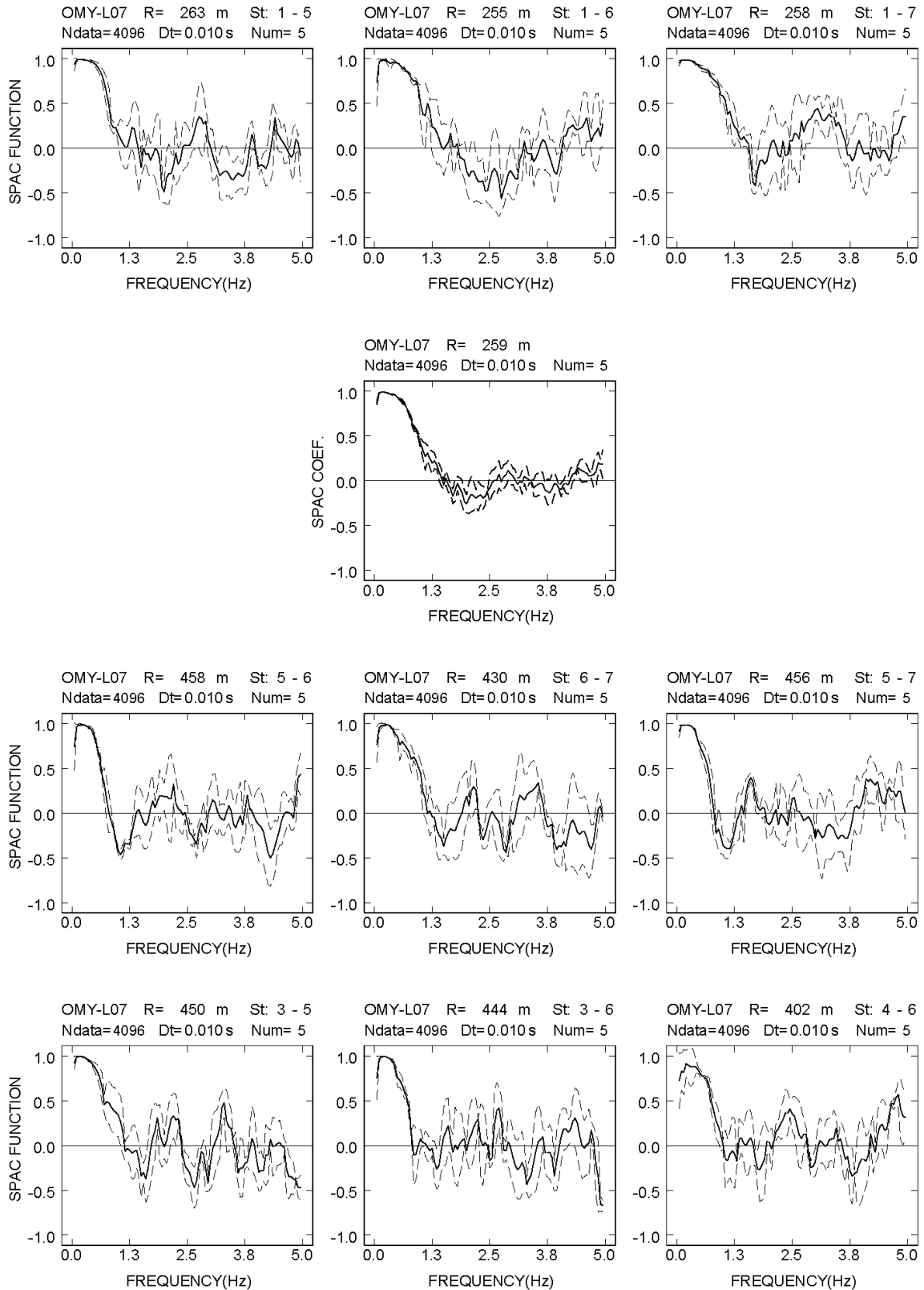
付図 2-4a-(16) 大宮 L アレイにおける各地震計間隔での空間自己相関係数



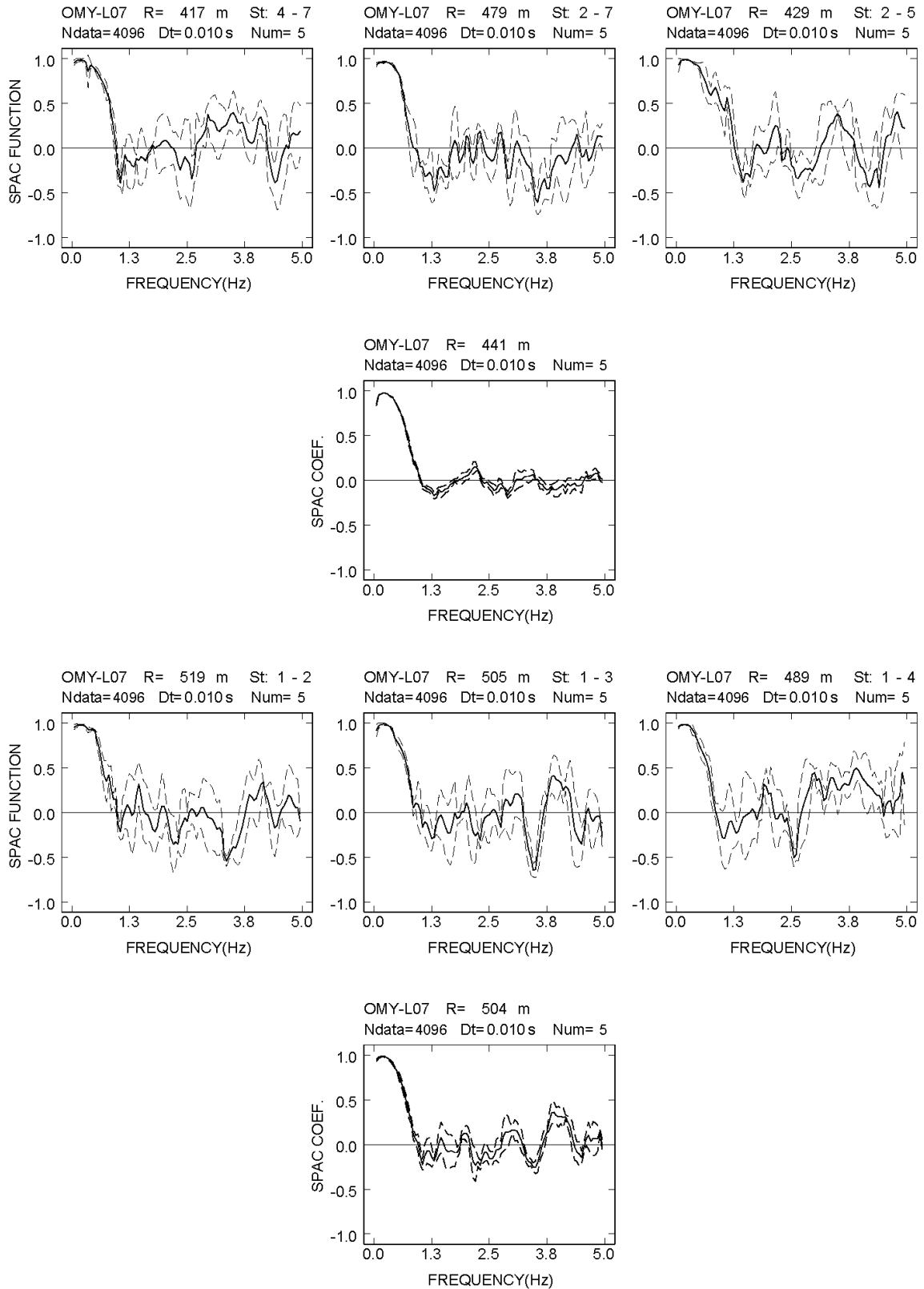
付図 2-4a-(17) 大宮 L アレイにおける各地震計間隔での空間自己相関係数



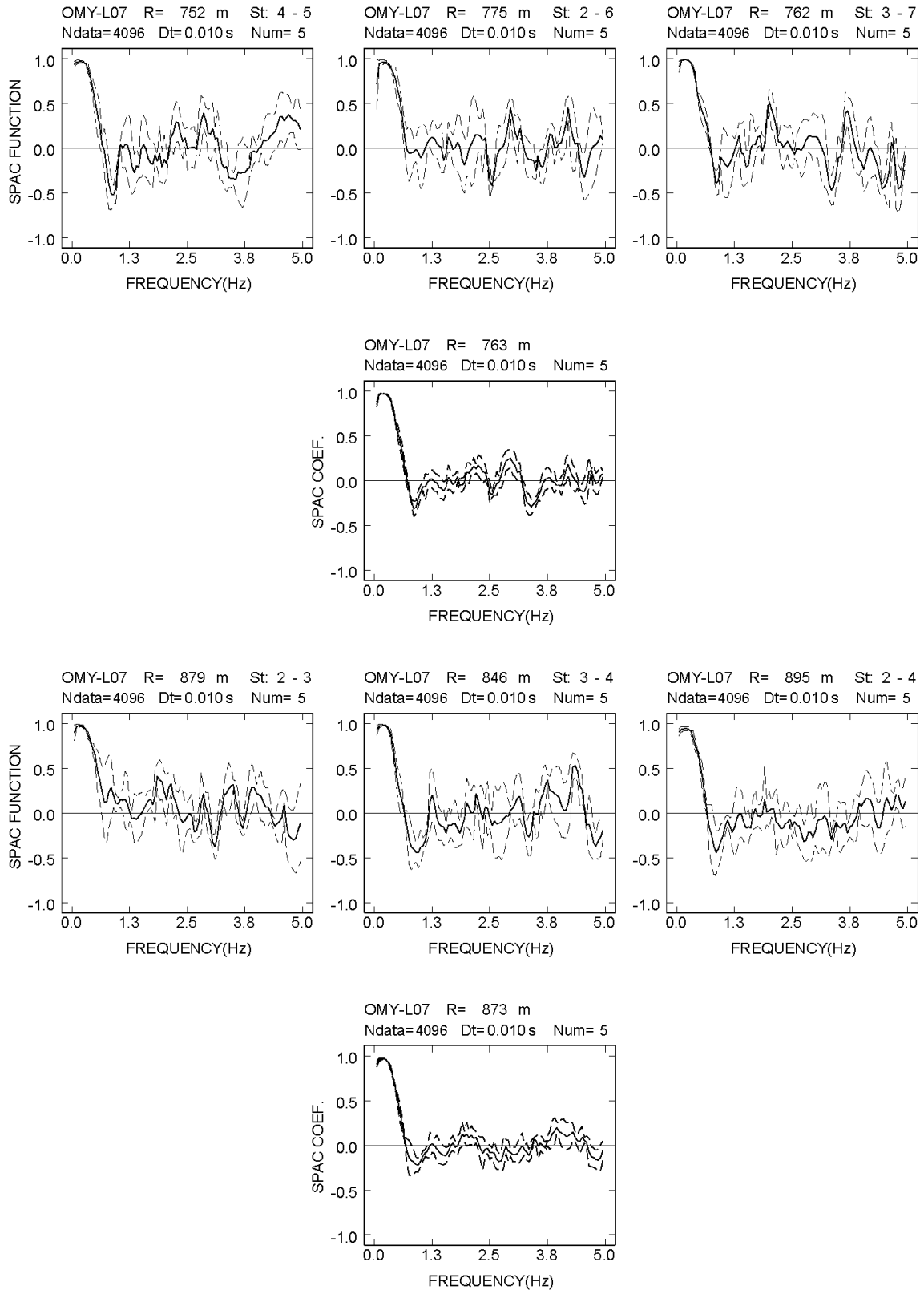
付図 2-4a-(18) 大宮 L アレイにおける各地震計間隔での空間自己相関係数



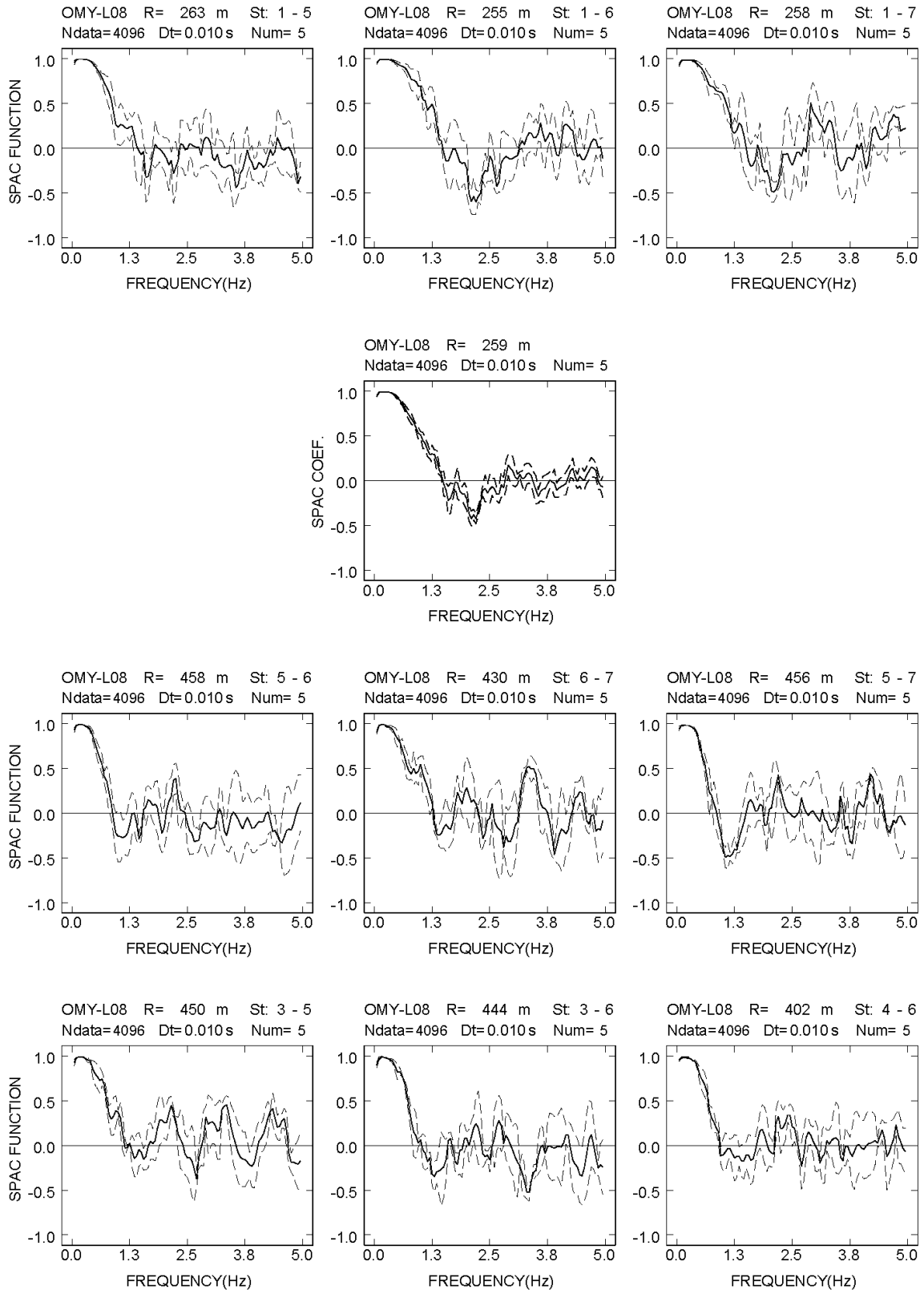
付図 2-4a-(19) 大宮 L アレイにおける各地震計間隔での空間自己相関係数



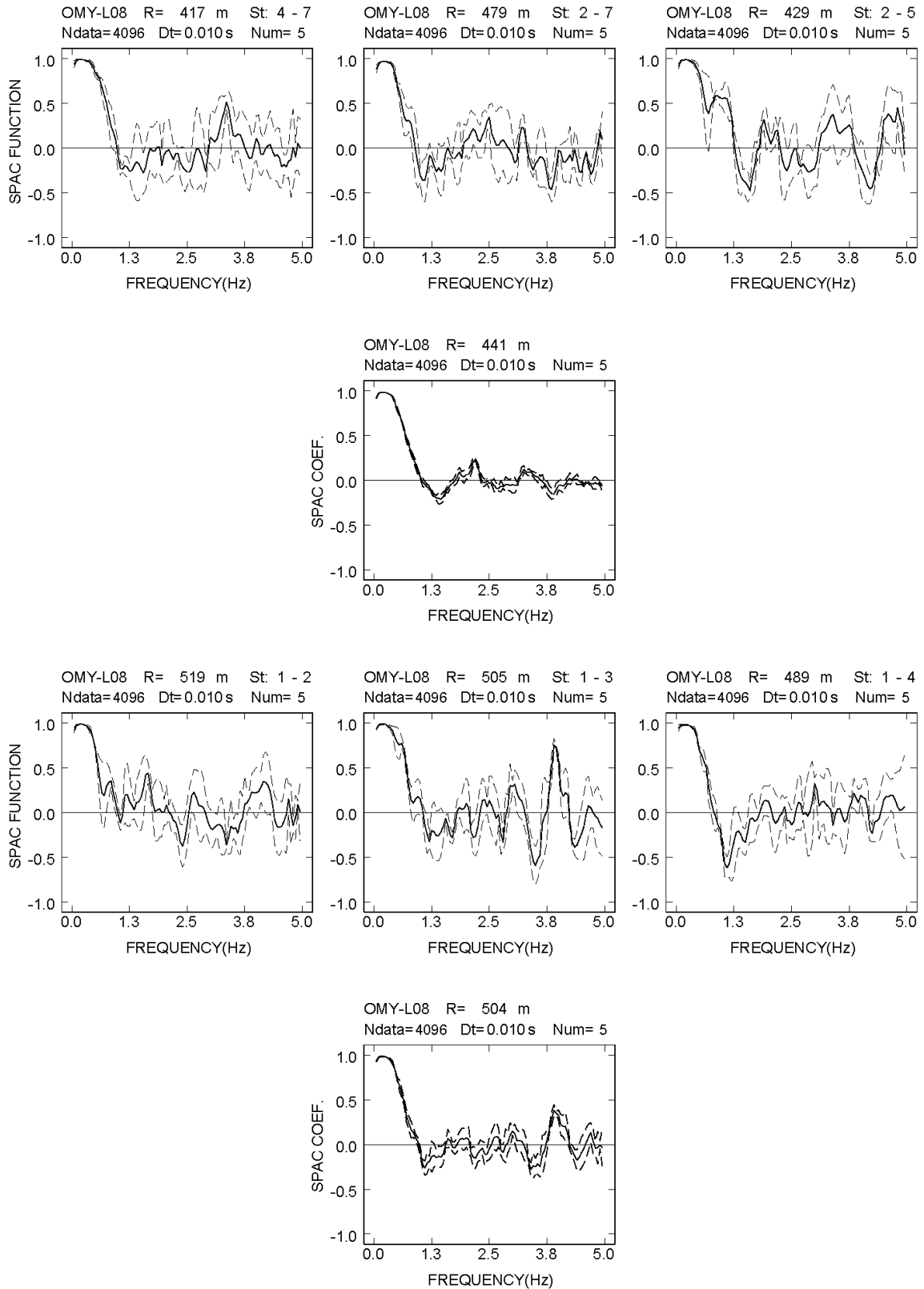
付図 2-4a-(20) 大宮 L アレイにおける各地震計間隔での空間自己相関係数



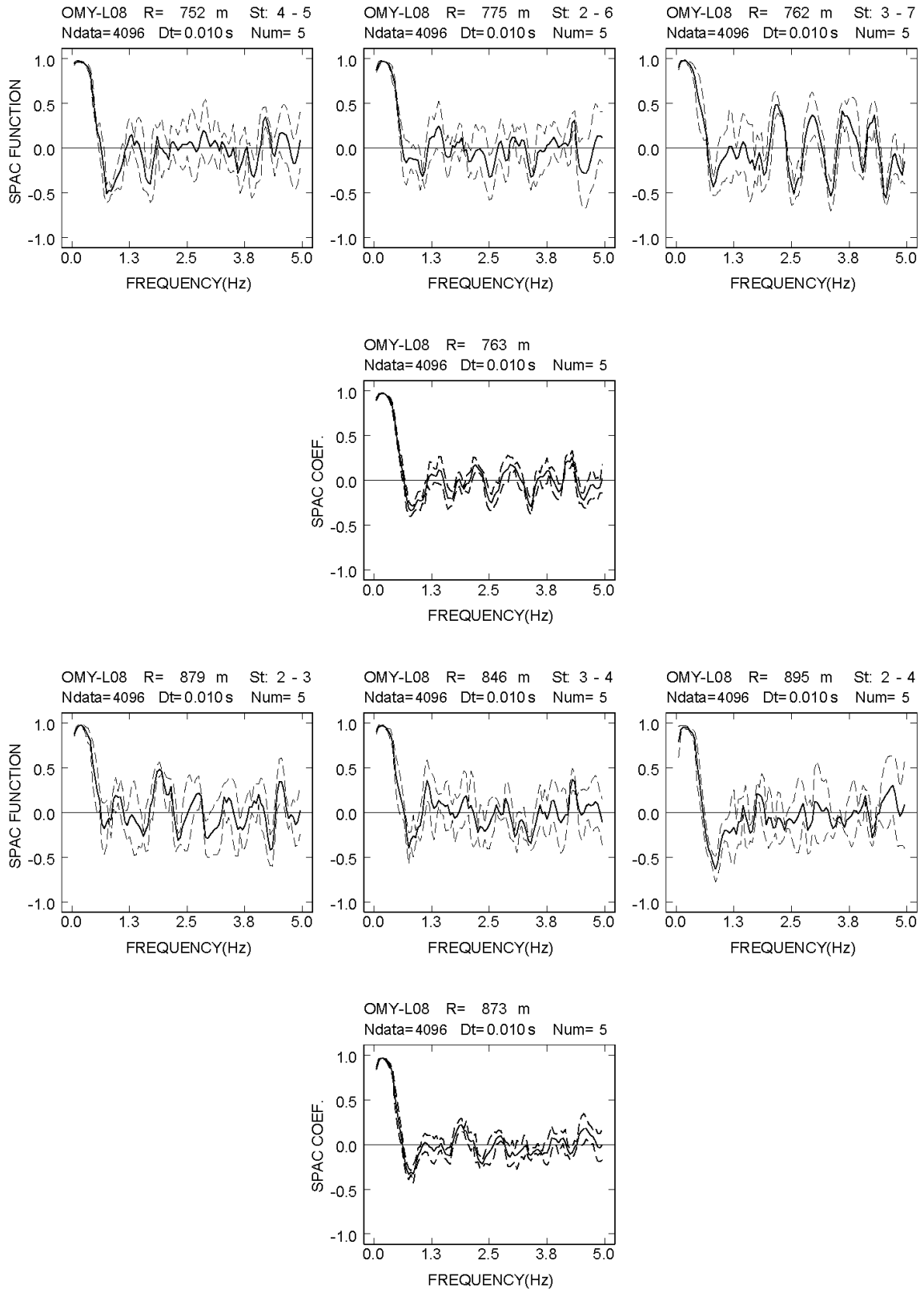
付図 2-4a-(21) 大宮 L アレイにおける各地震計間隔での空間自己相関係数



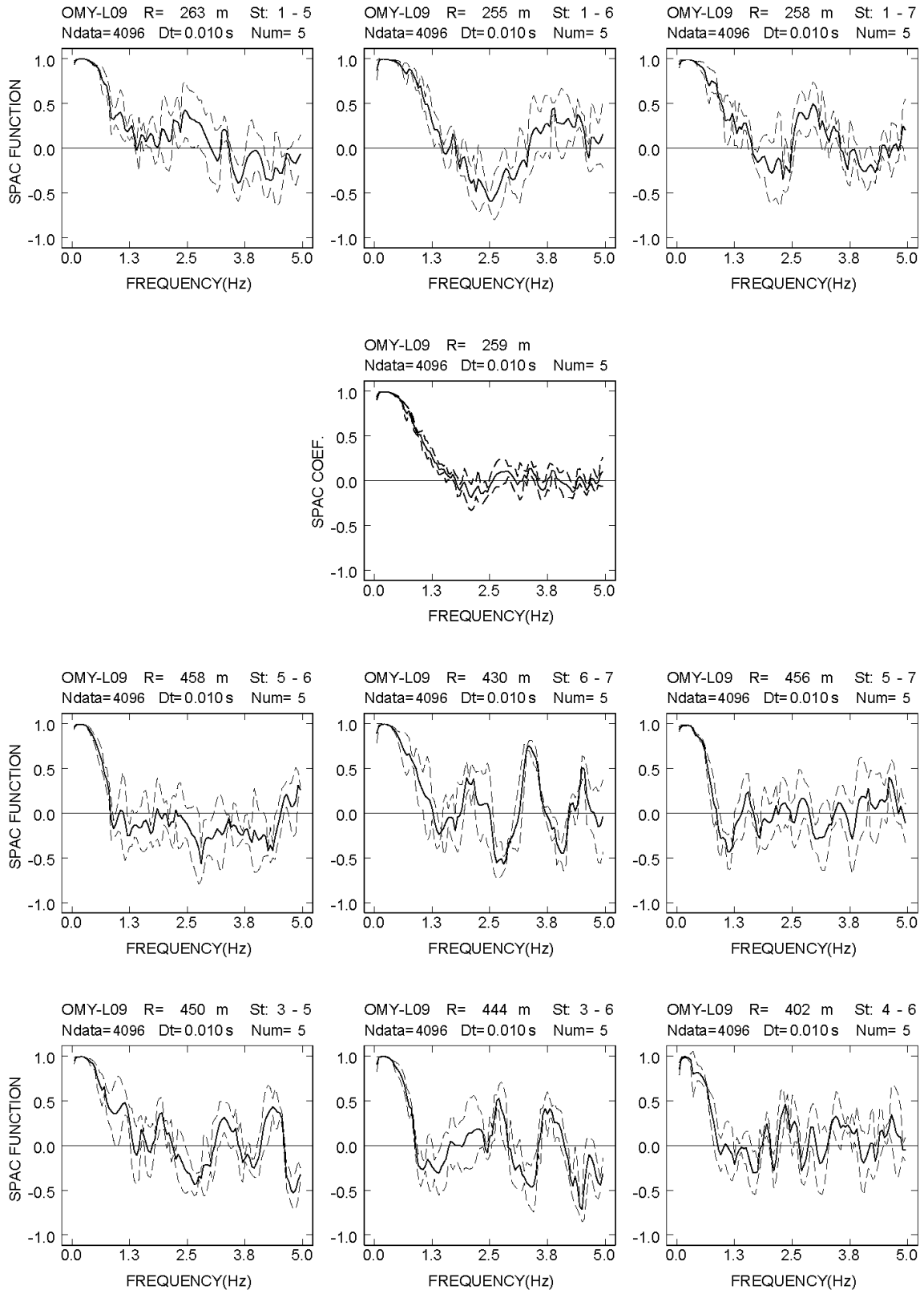
付図 2-4a-(22) 大宮 L アレイにおける各地震計間隔での空間自己相関係数



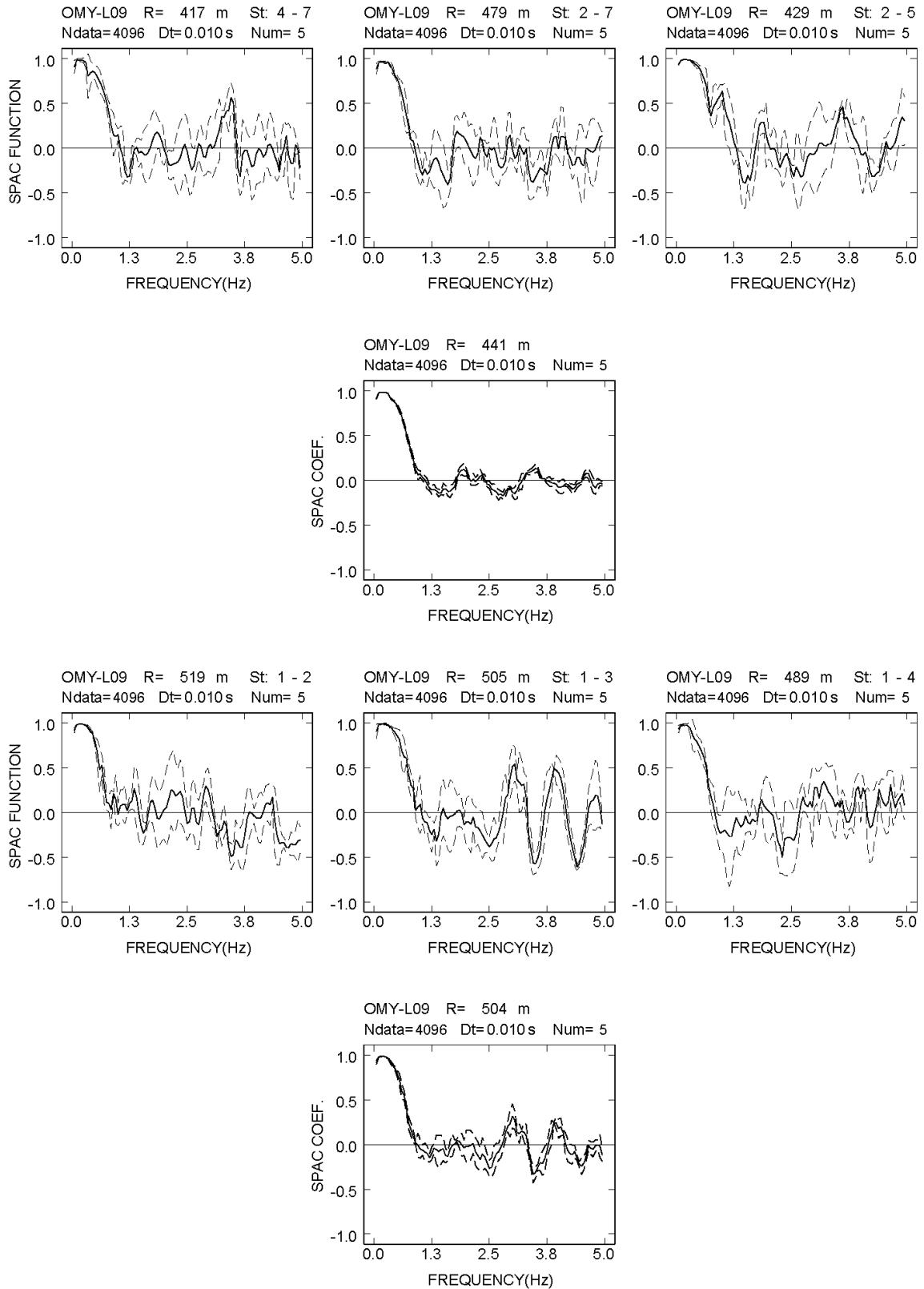
付図 2-4a-(23) 大宮 L アレイにおける各地震計間隔での空間自己相関係数



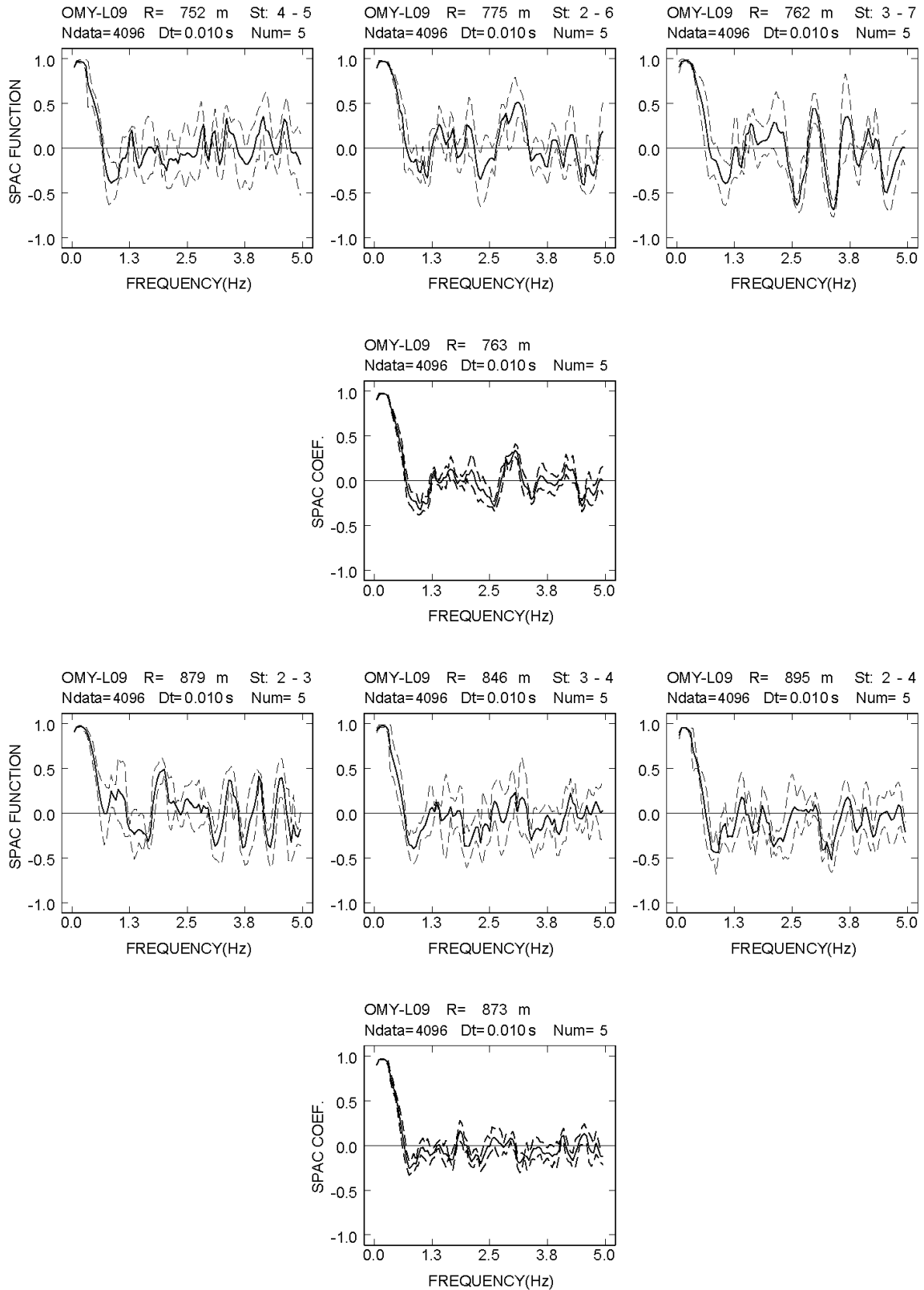
付図 2-4a-(24) 大宮 L アレイにおける各地震計間隔での空間自己相関係数



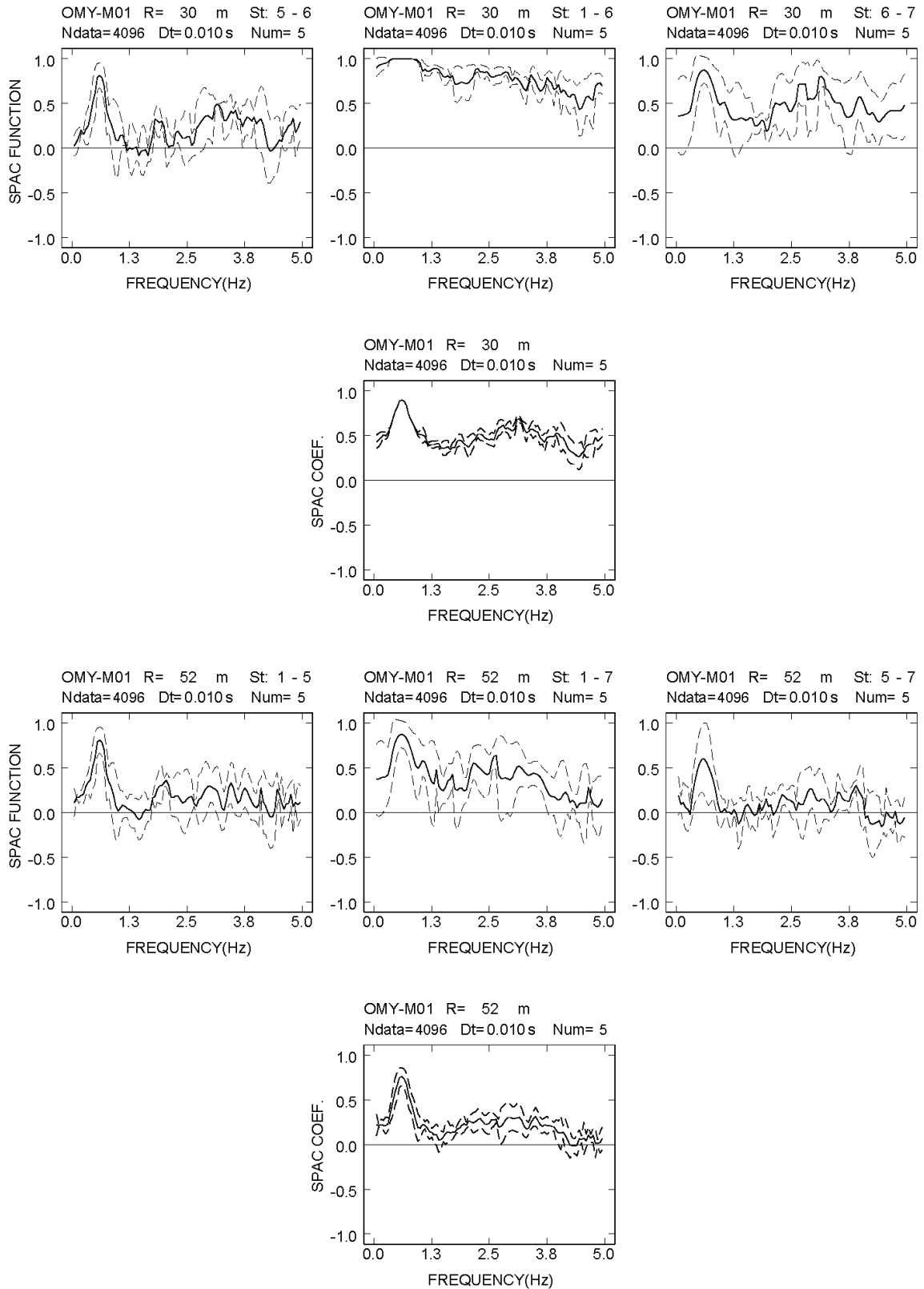
付図 2-4a-(25) 大宮 L アレイにおける各地震計間隔での空間自己相関係数



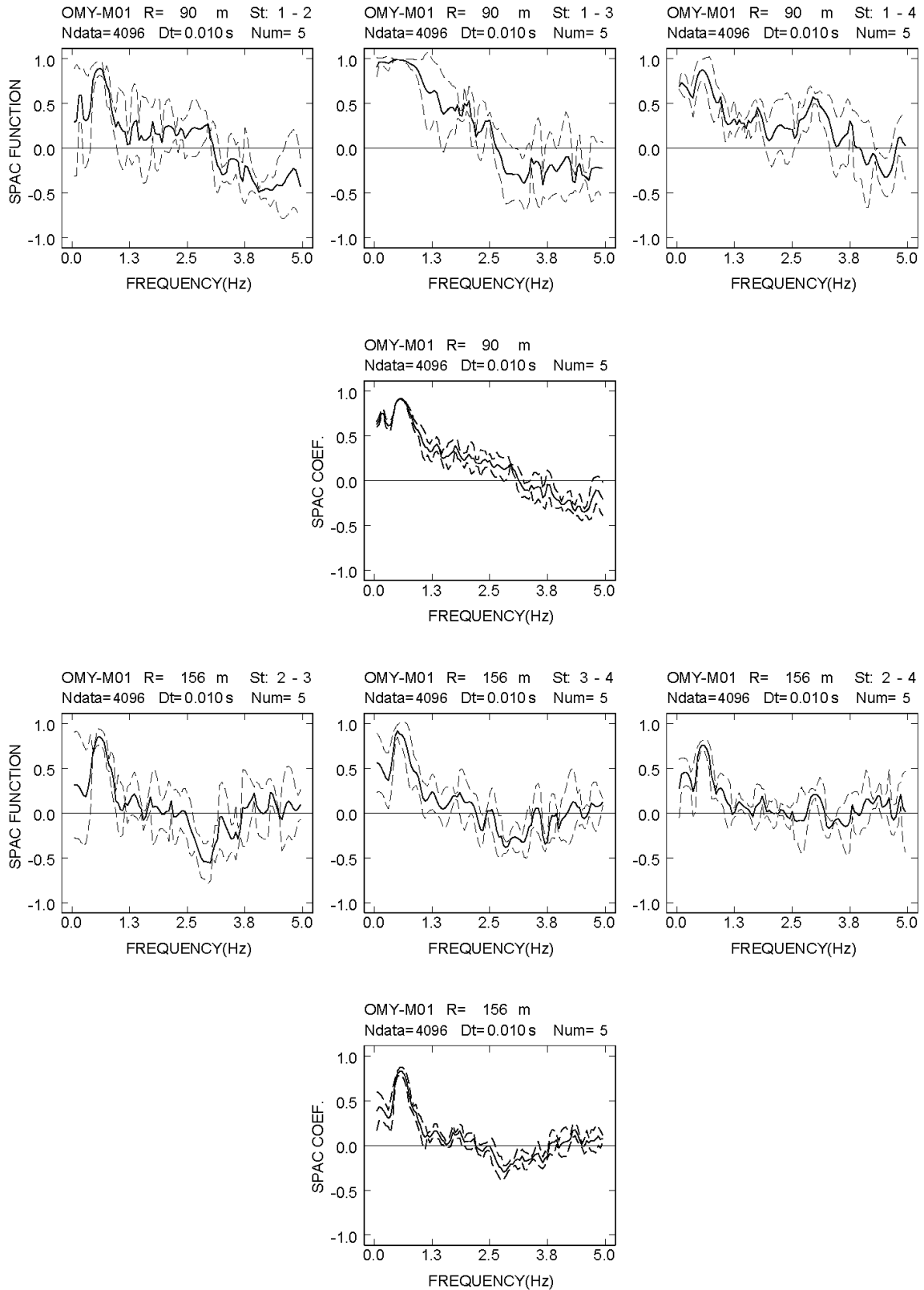
付図 2-4a-(26) 大宮 L アレイにおける各地震計間隔での空間自己相関係数



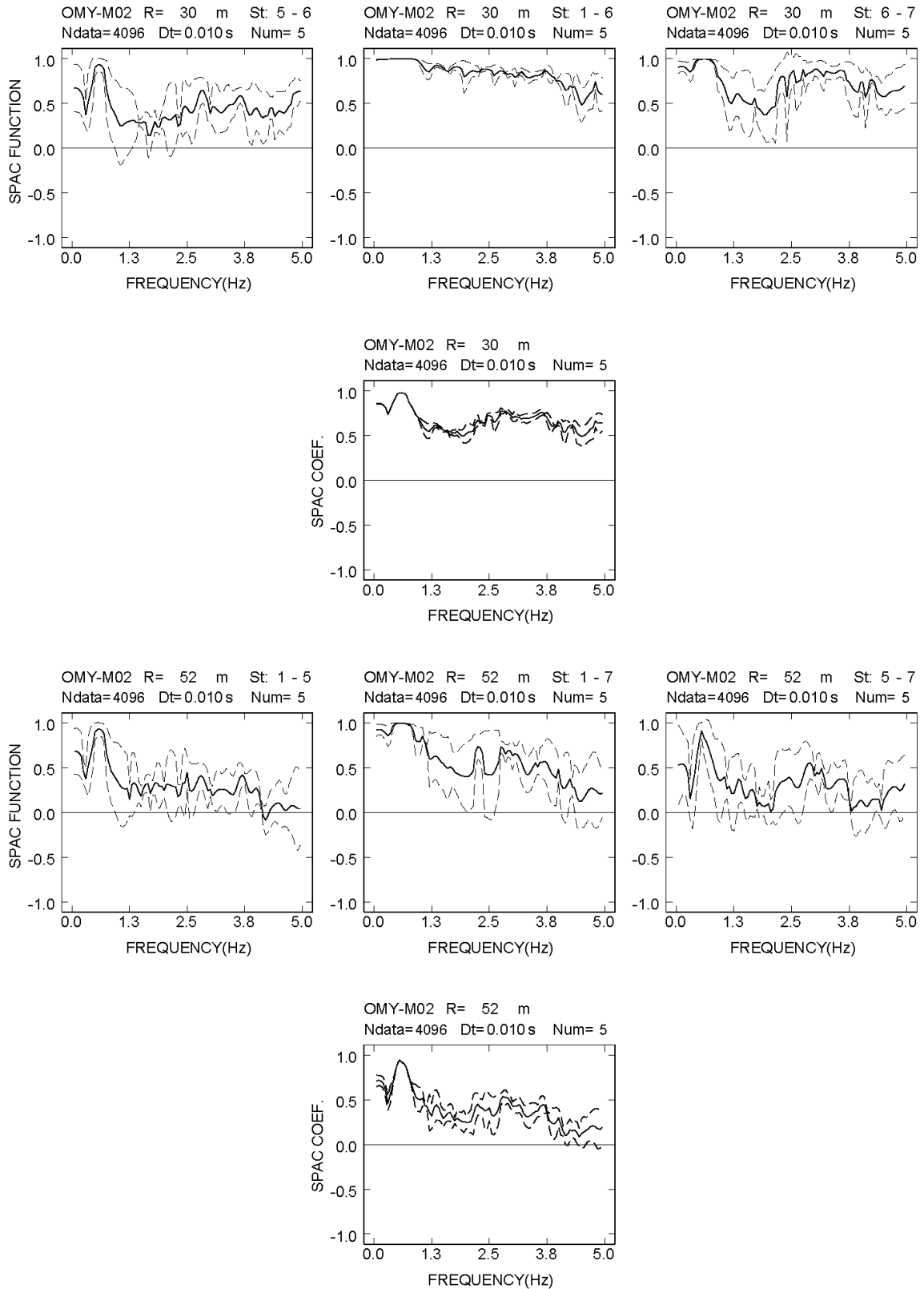
付図 2-4a-(27) 大宮 L アレイにおける各地震計間隔での空間自己相関係数



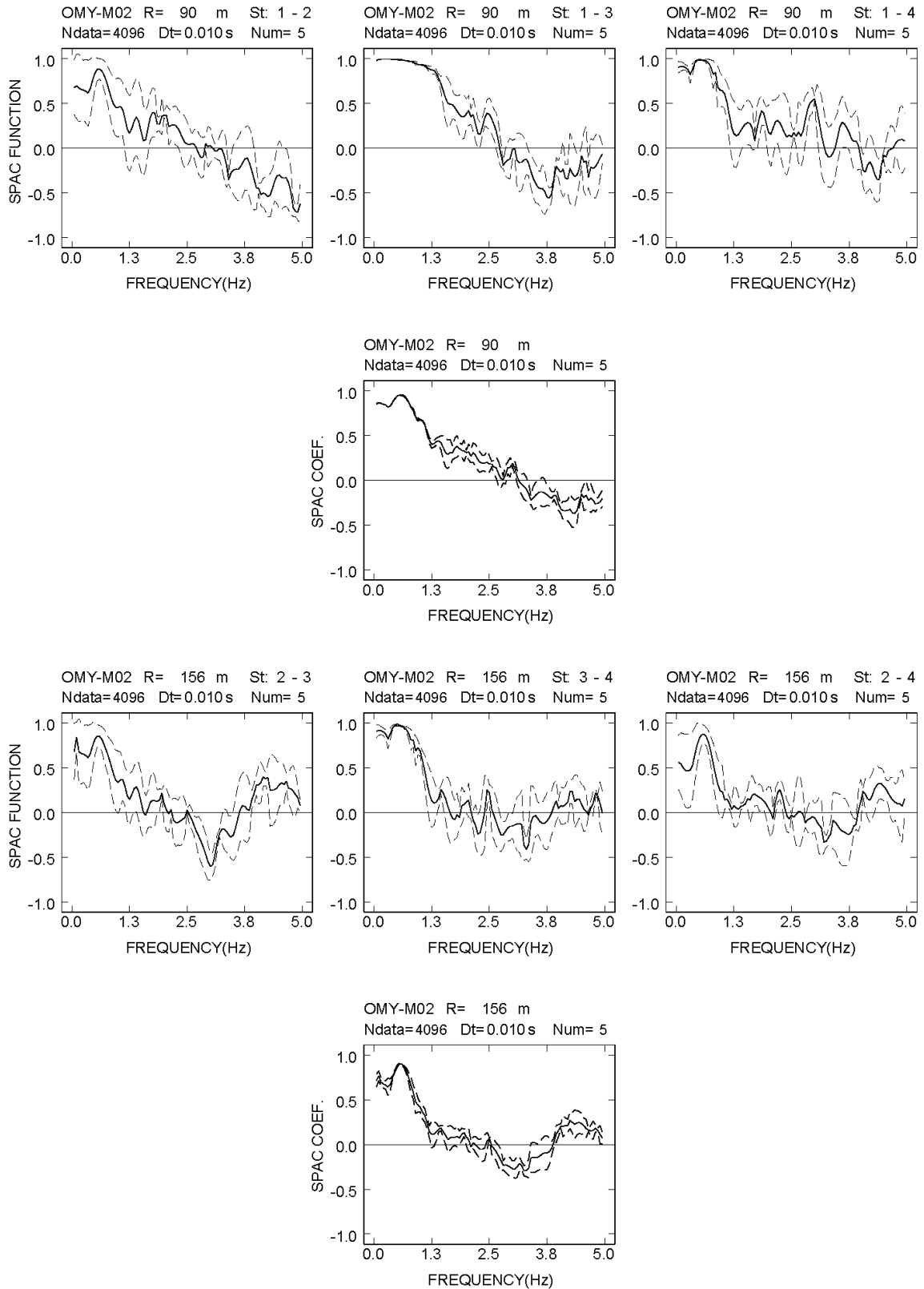
付図 2-5a-(1) 大宮 M アレイにおける各地震計間隔での空間自己相関係数



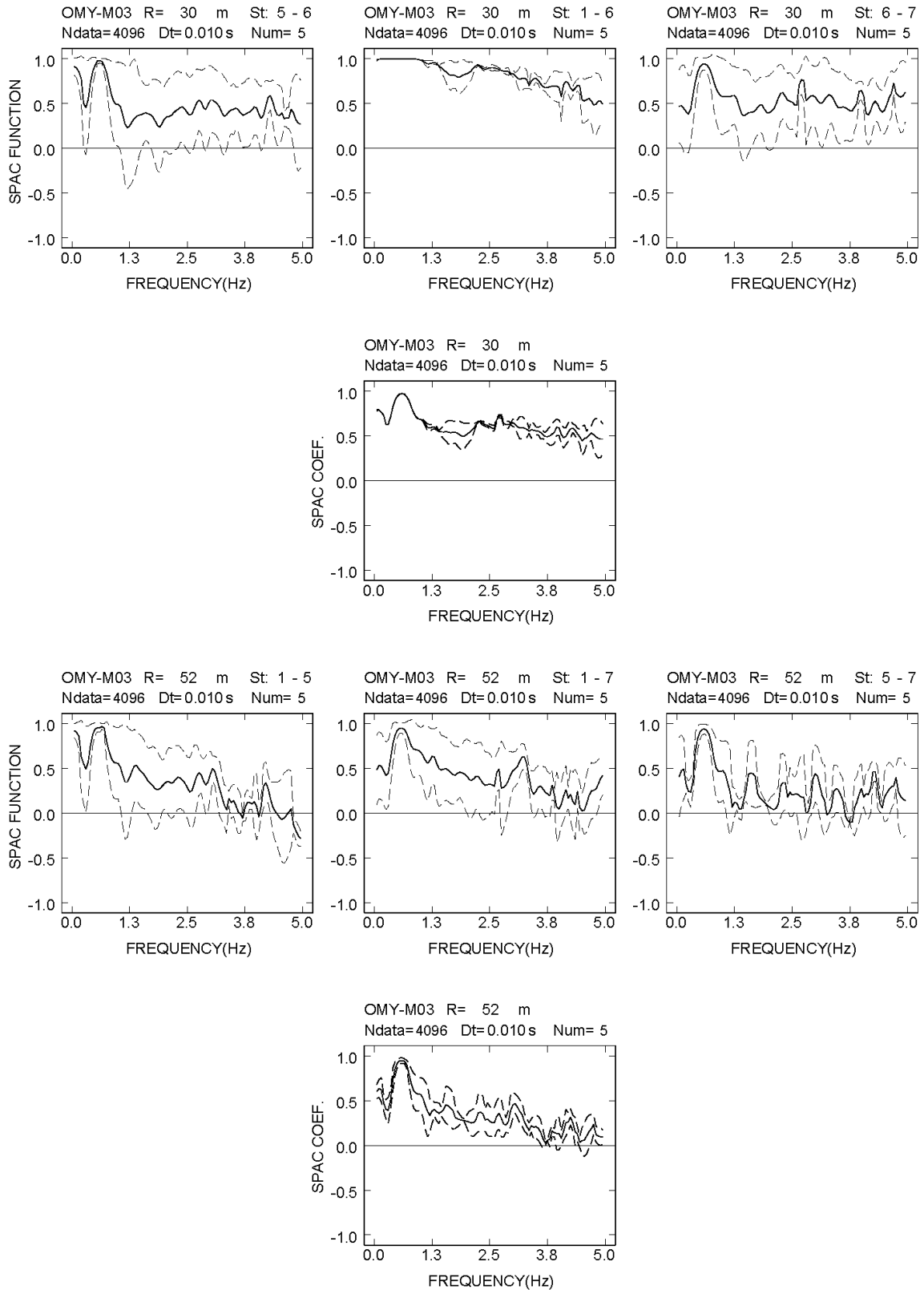
付図 2-5a-(2) 大宮 M アレイにおける各地震計間隔での空間自己相関係数



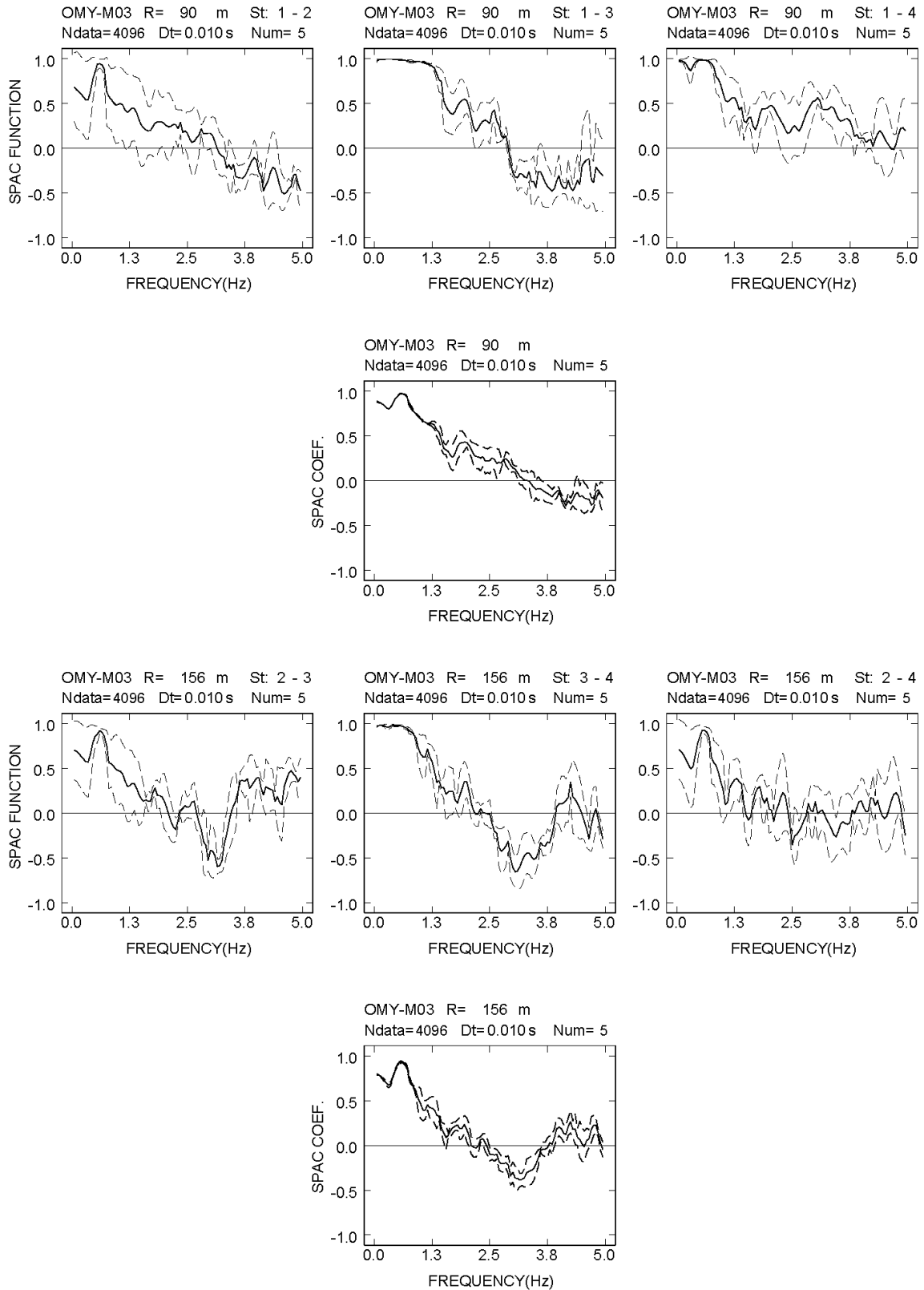
付図 2-5a-(3) 大宮 M アレイにおける各地震計間隔での空間自己相関係数



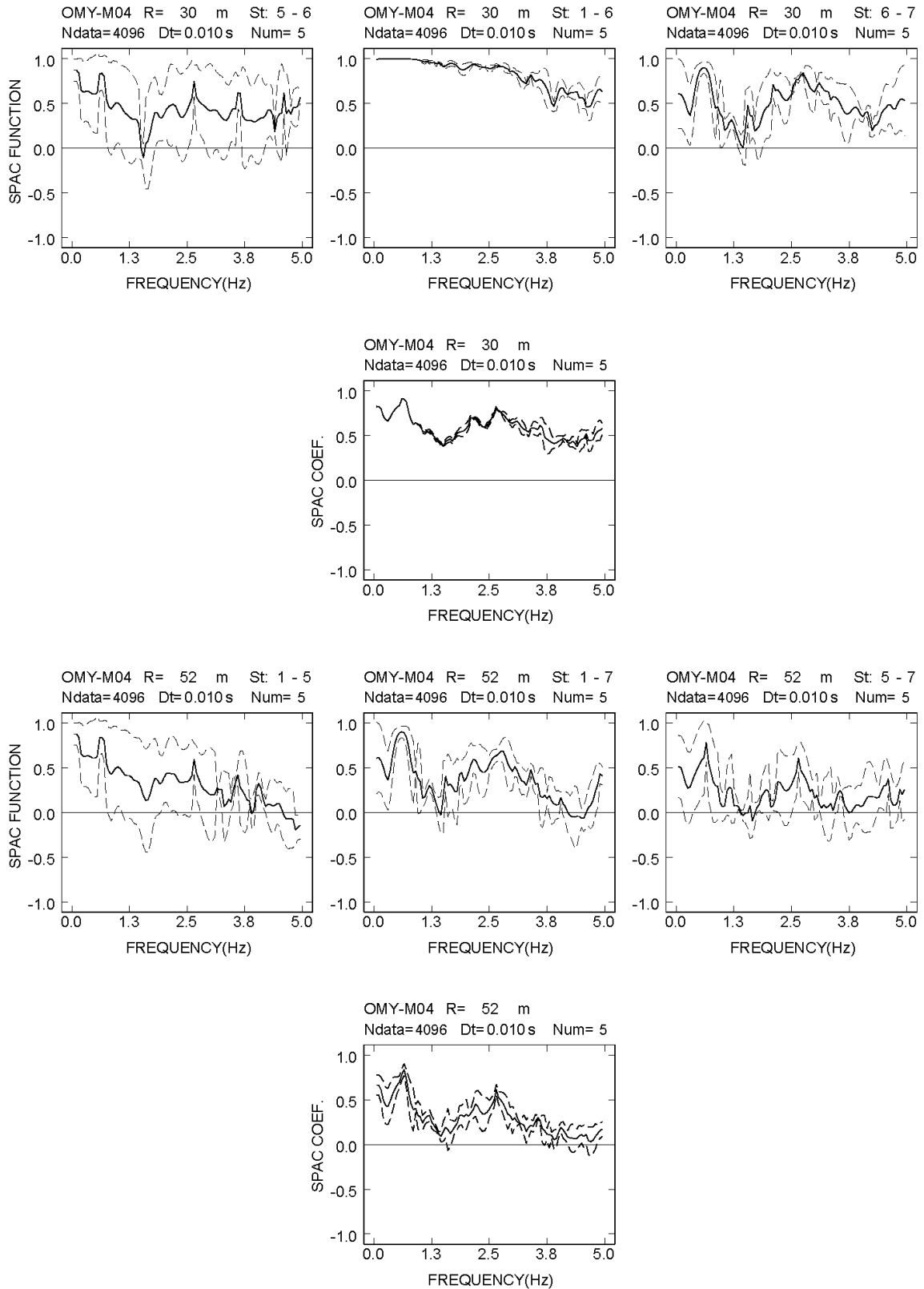
付図 2-5a-(4) 大宮 M アレイにおける各地震計間隔での空間自己相関係数



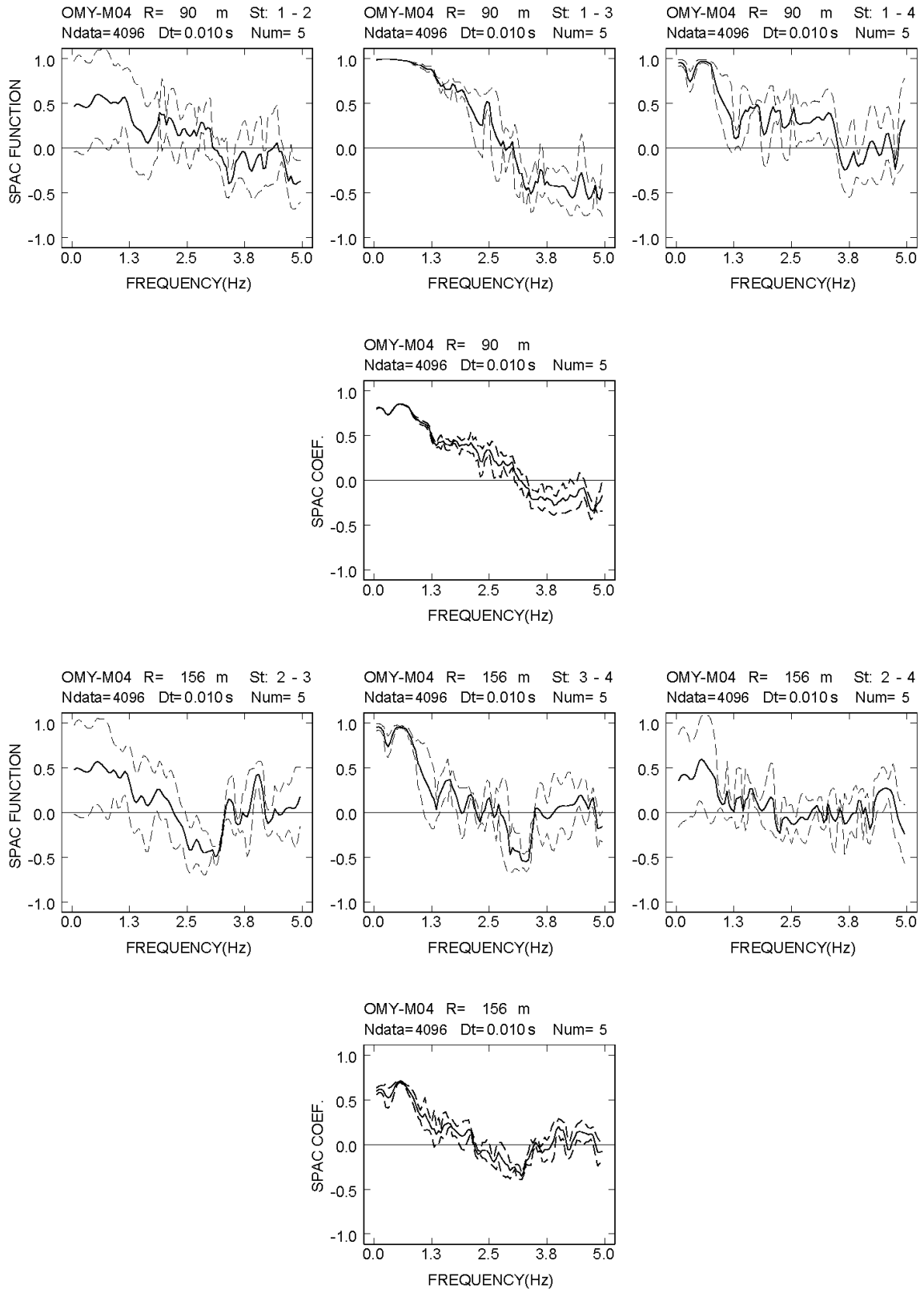
付図 2-5a-(5) 大宮 M アレイにおける各地震計間隔での空間自己相関係数



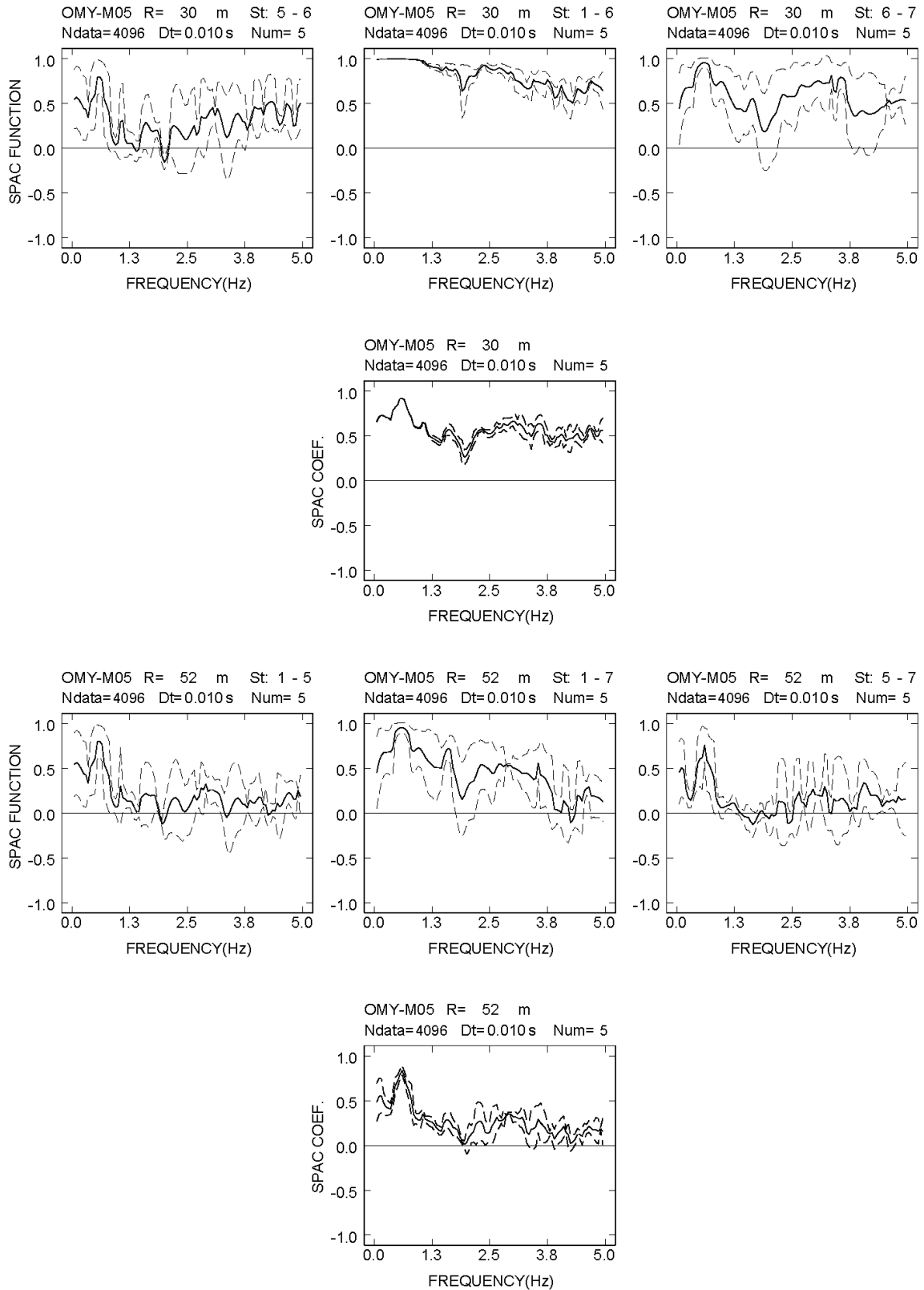
付図 2-5a-(6) 大宮 M アレイにおける各地震計間隔での空間自己相関係数



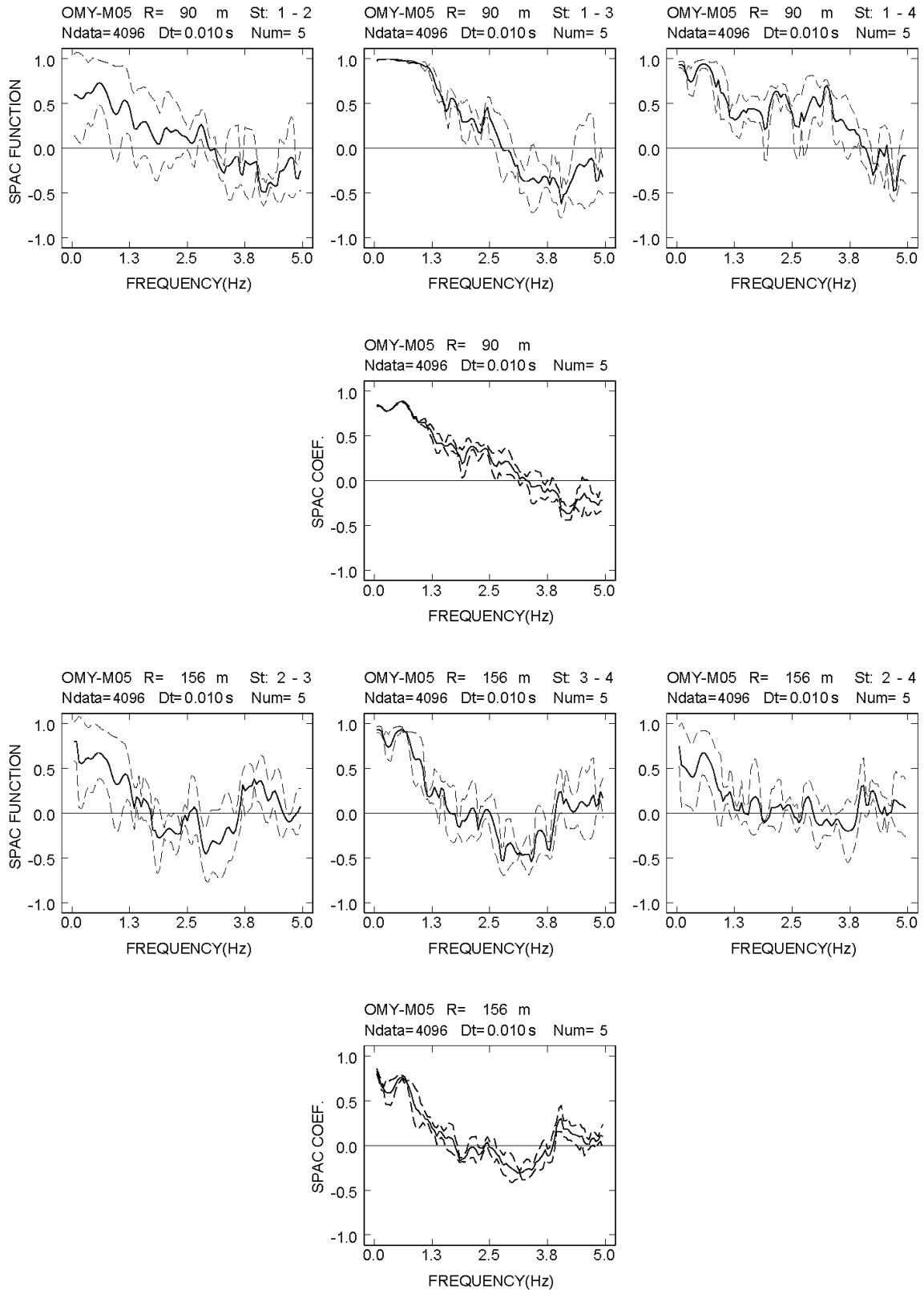
付図 2-5a-(7) 大宮 M アレイにおける各地震計間隔での空間自己相関係数



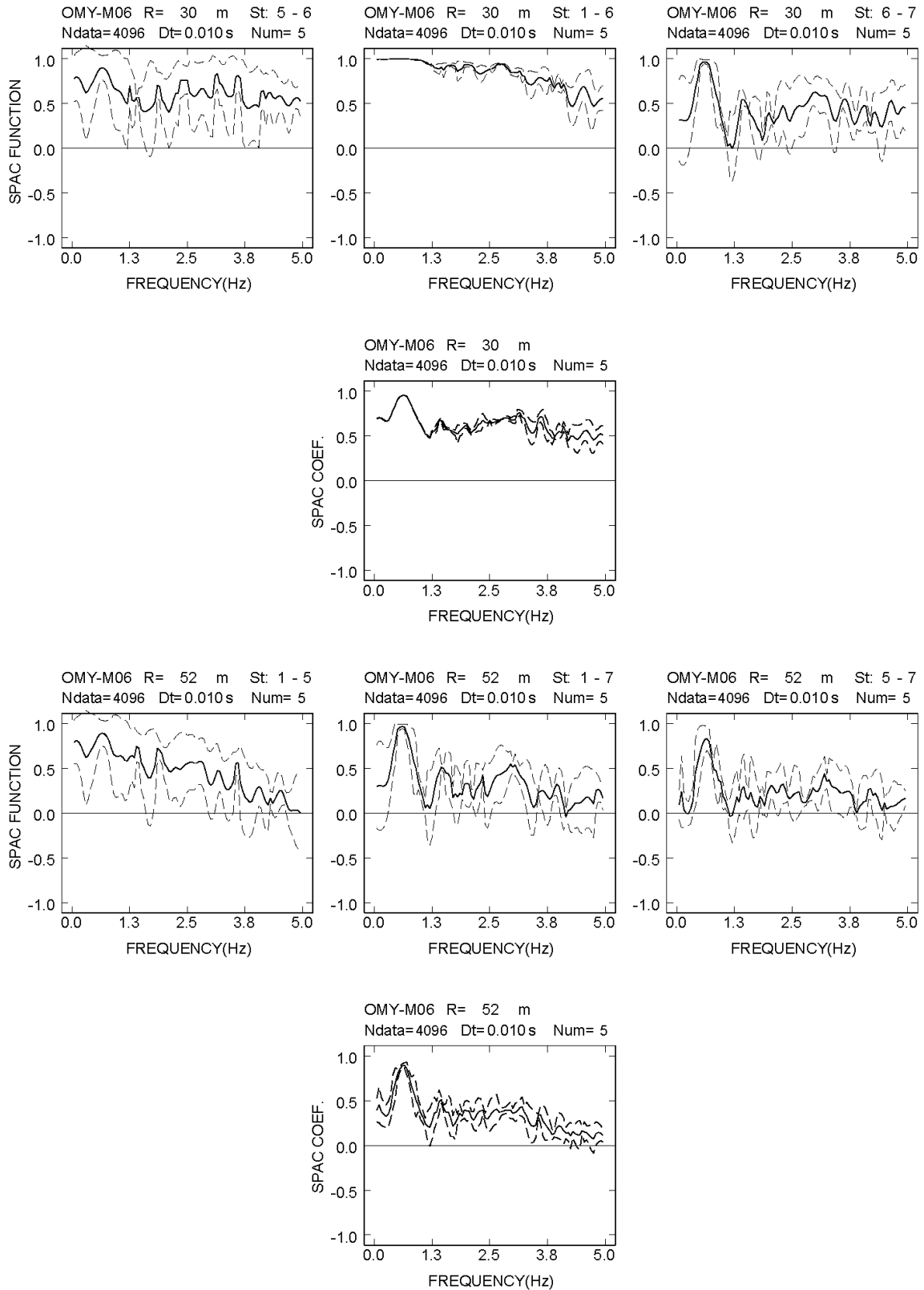
付図 2-5a-(8) 大宮 M アレイにおける各地震計間隔での空間自己相関係数



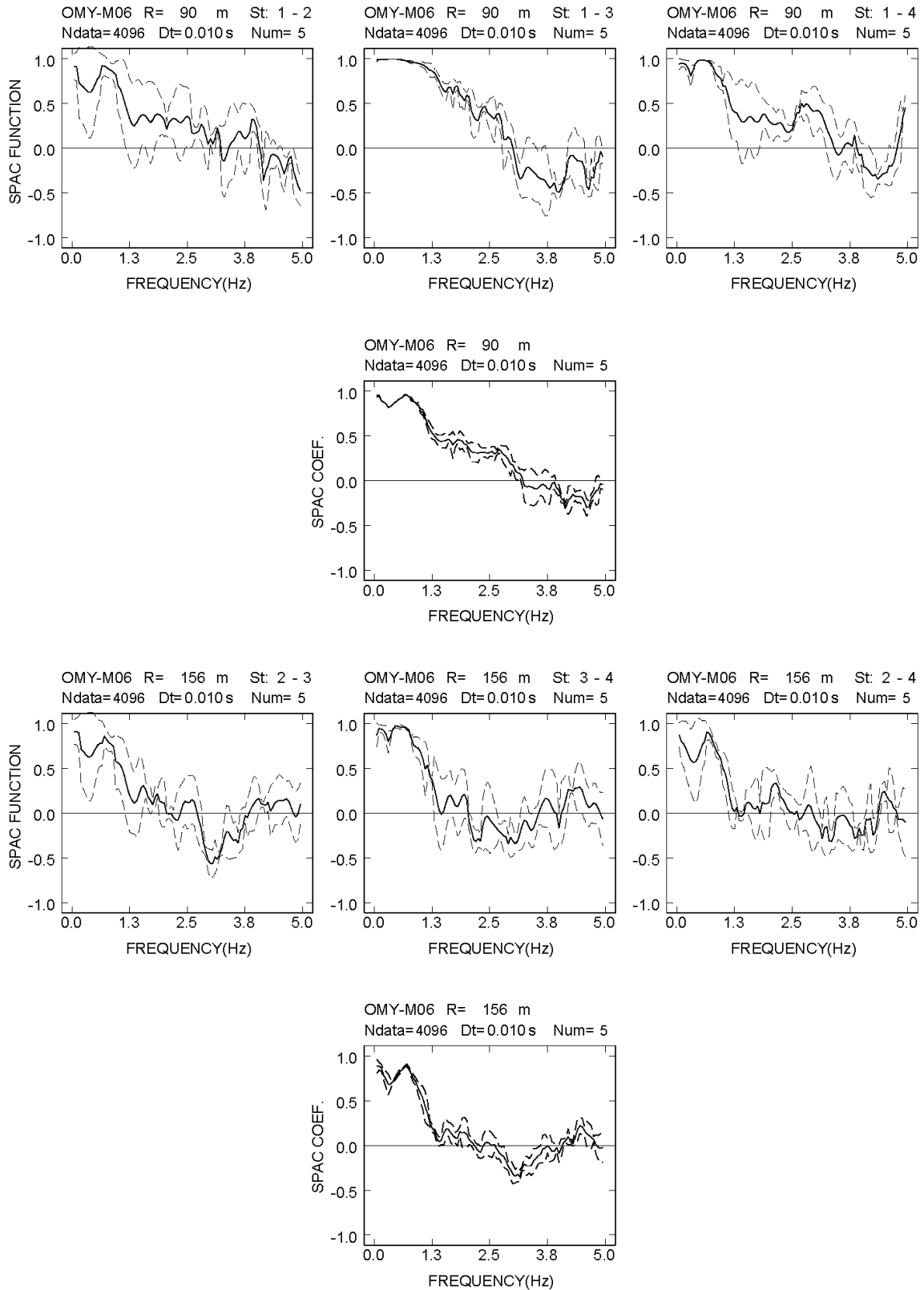
付図 2-5a-(9) 大宮 M アレイにおける各地震計間隔での空間自己相関係数



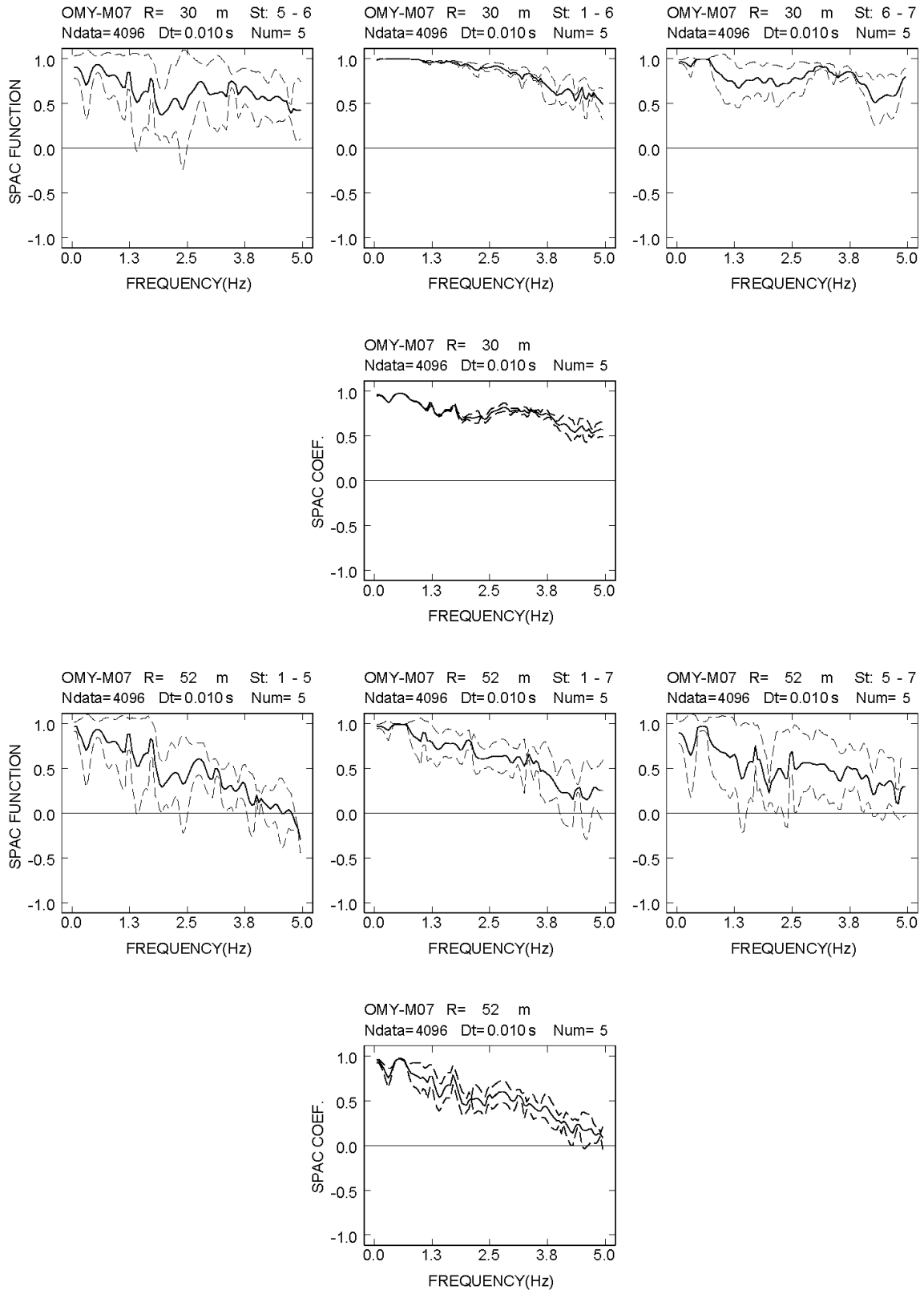
付図 2-5a-(10) 大宮 M アレイにおける各地震計間隔での空間自己相関係数



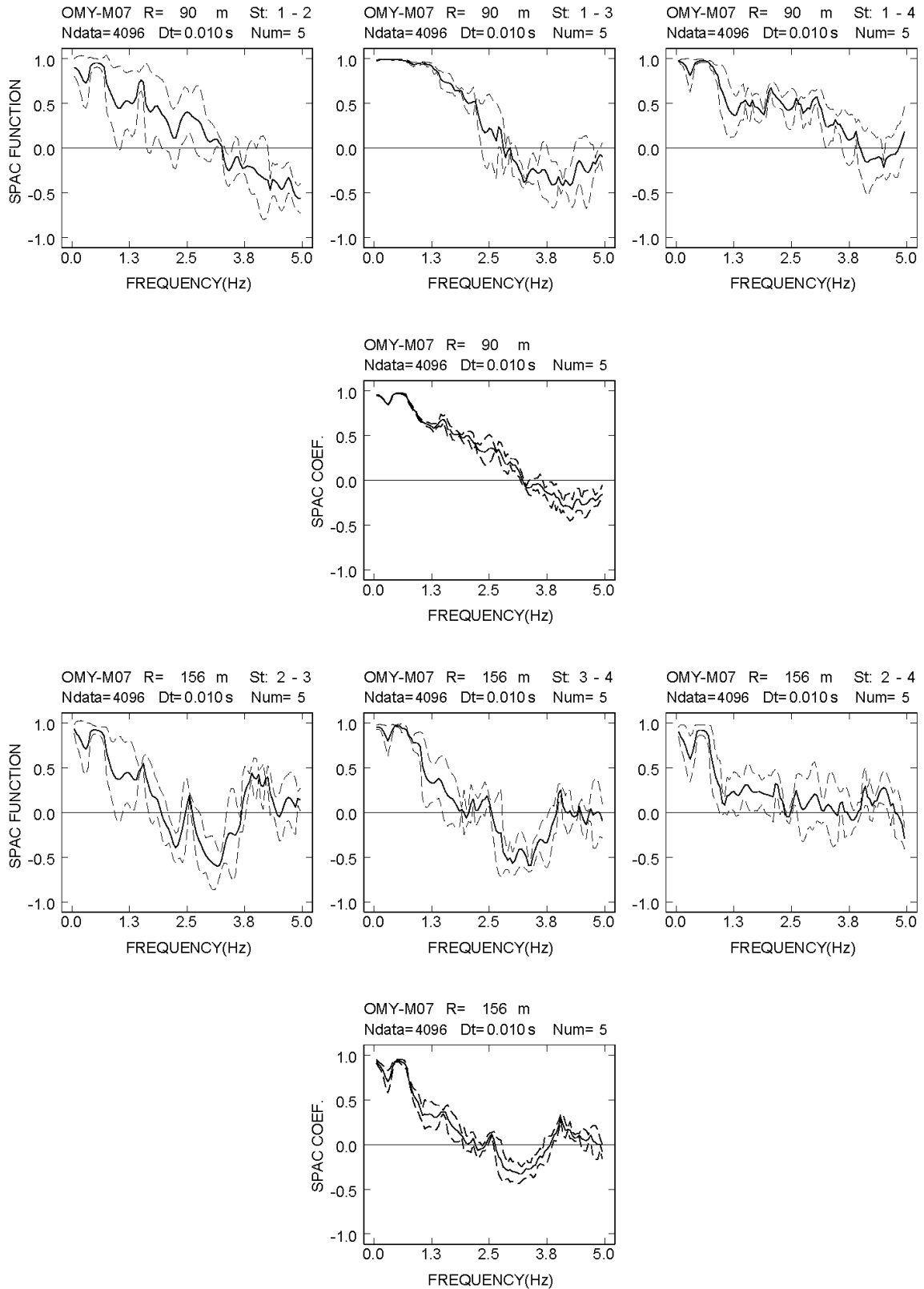
付図 2-5a-(11) 大宮 M アレイにおける各地震計間隔での空間自己相関係数



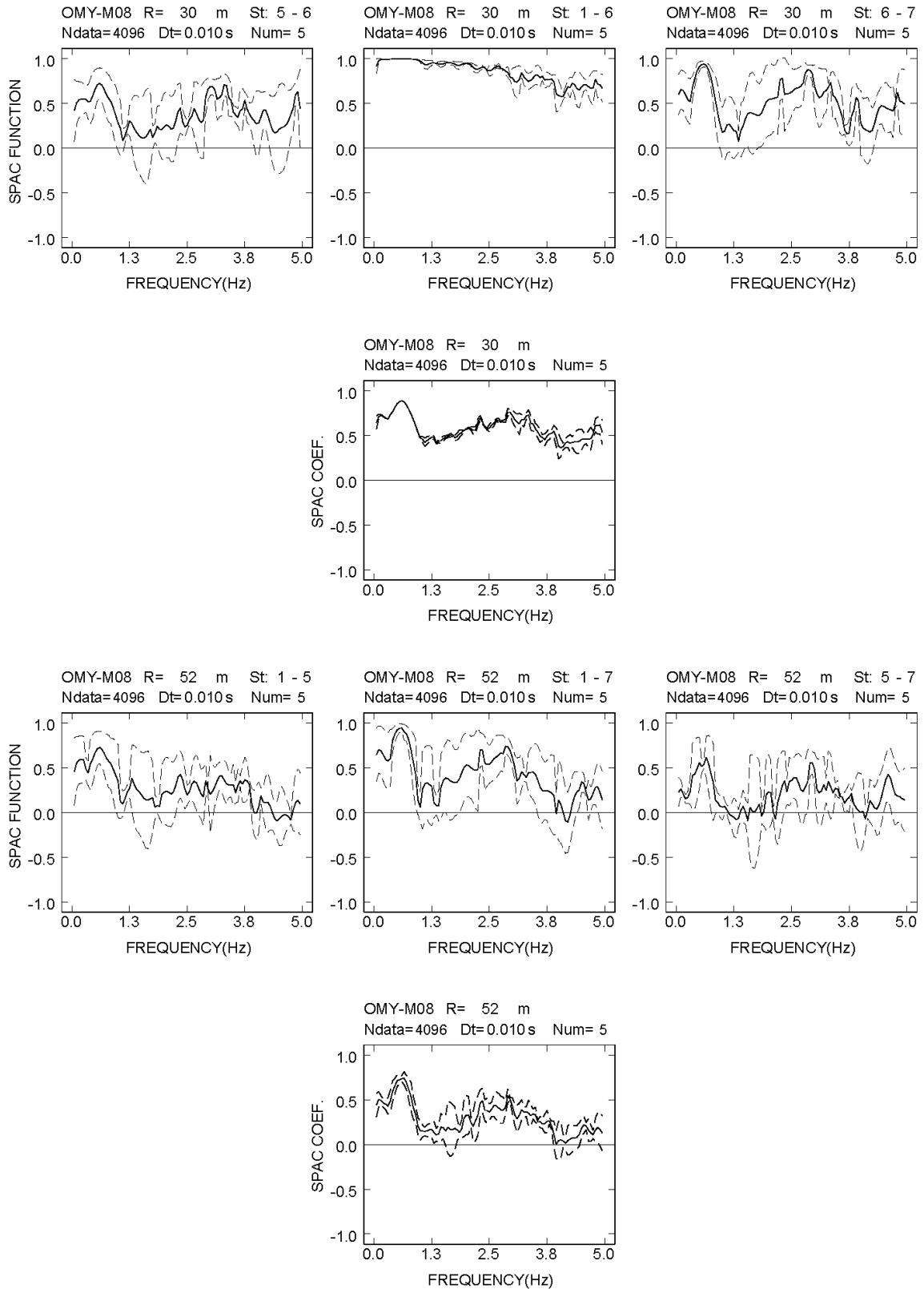
付図 2-5a-(12) 大宮 M アレイにおける各地震計間隔での空間自己相関係数



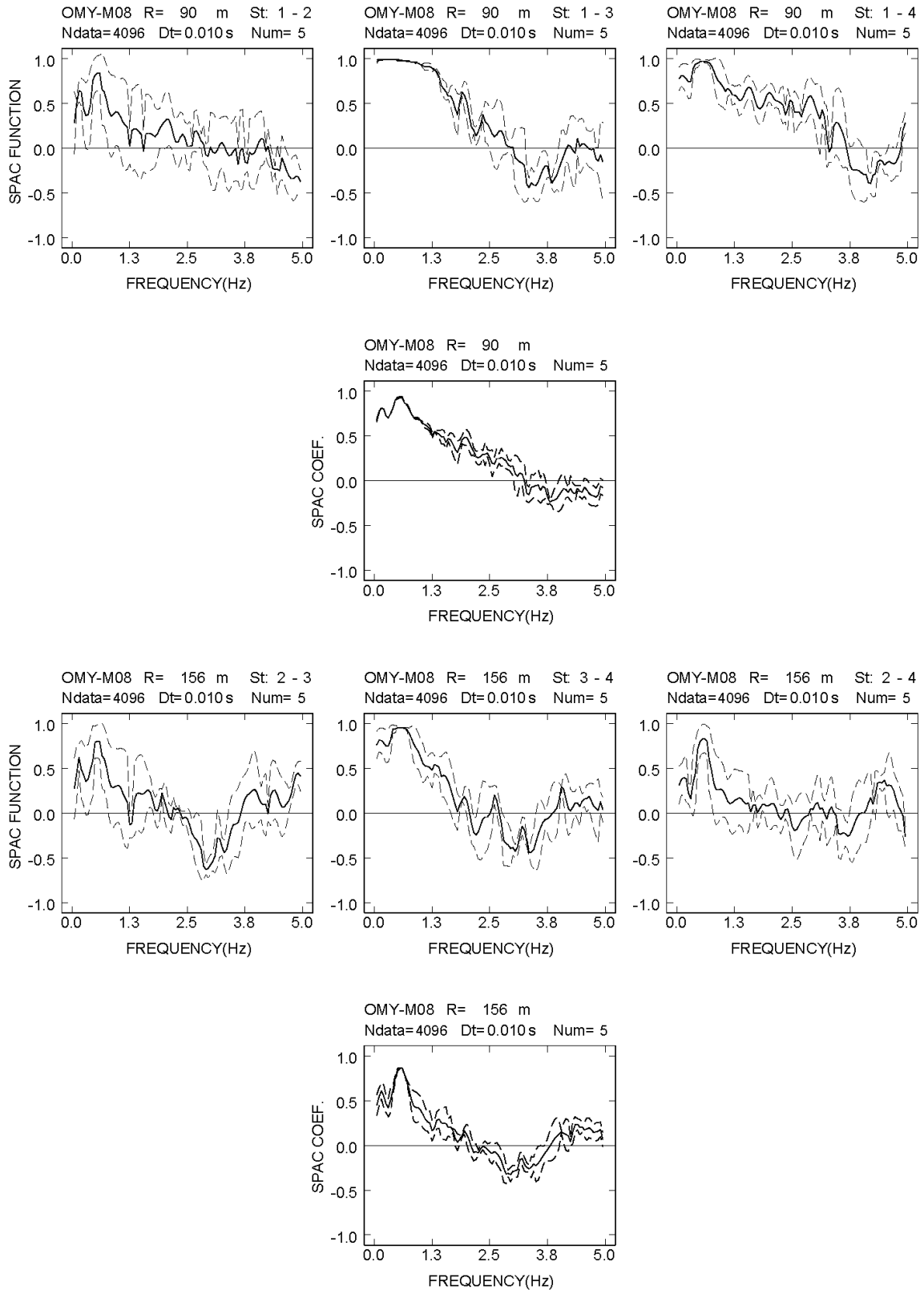
付図 2-5a-(13) 大宮 M アレイにおける各地震計間隔での空間自己相関係数



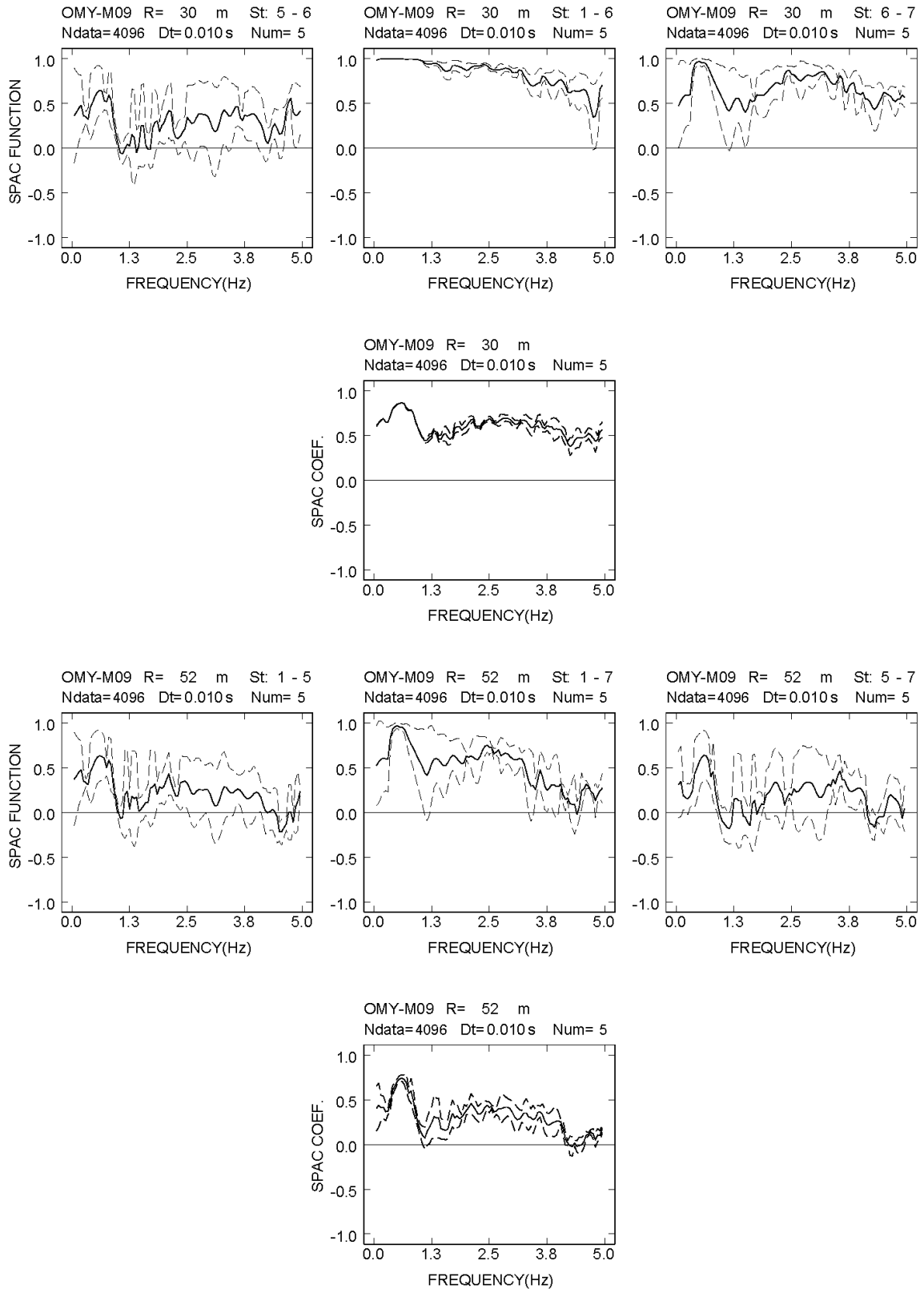
付図 2-5a-(14) 大宮 M アレイにおける各地震計間隔での空間自己相関係数



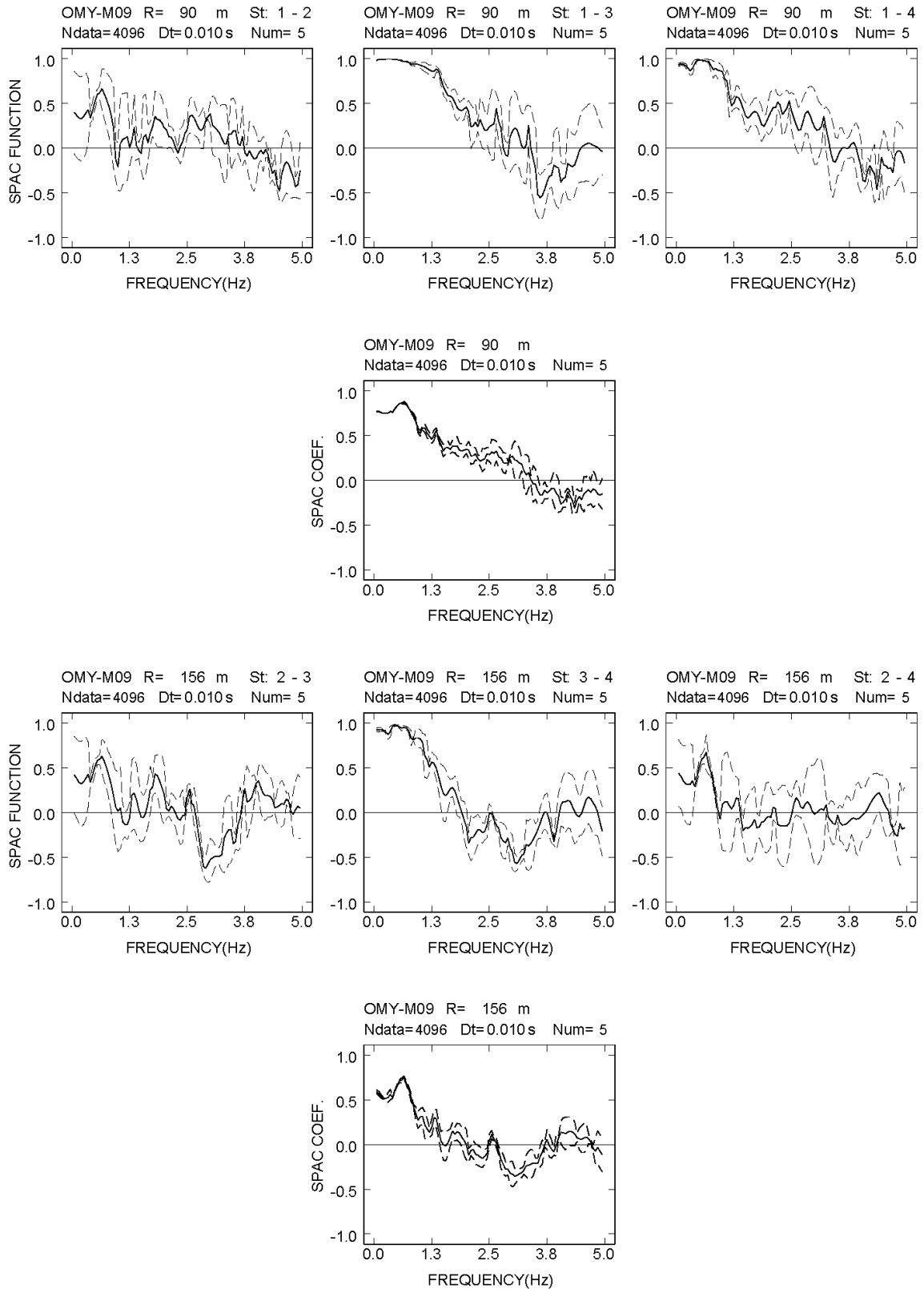
付図 2-5a-(15) 大宮 M アレイにおける各地震計間隔での空間自己相関係数



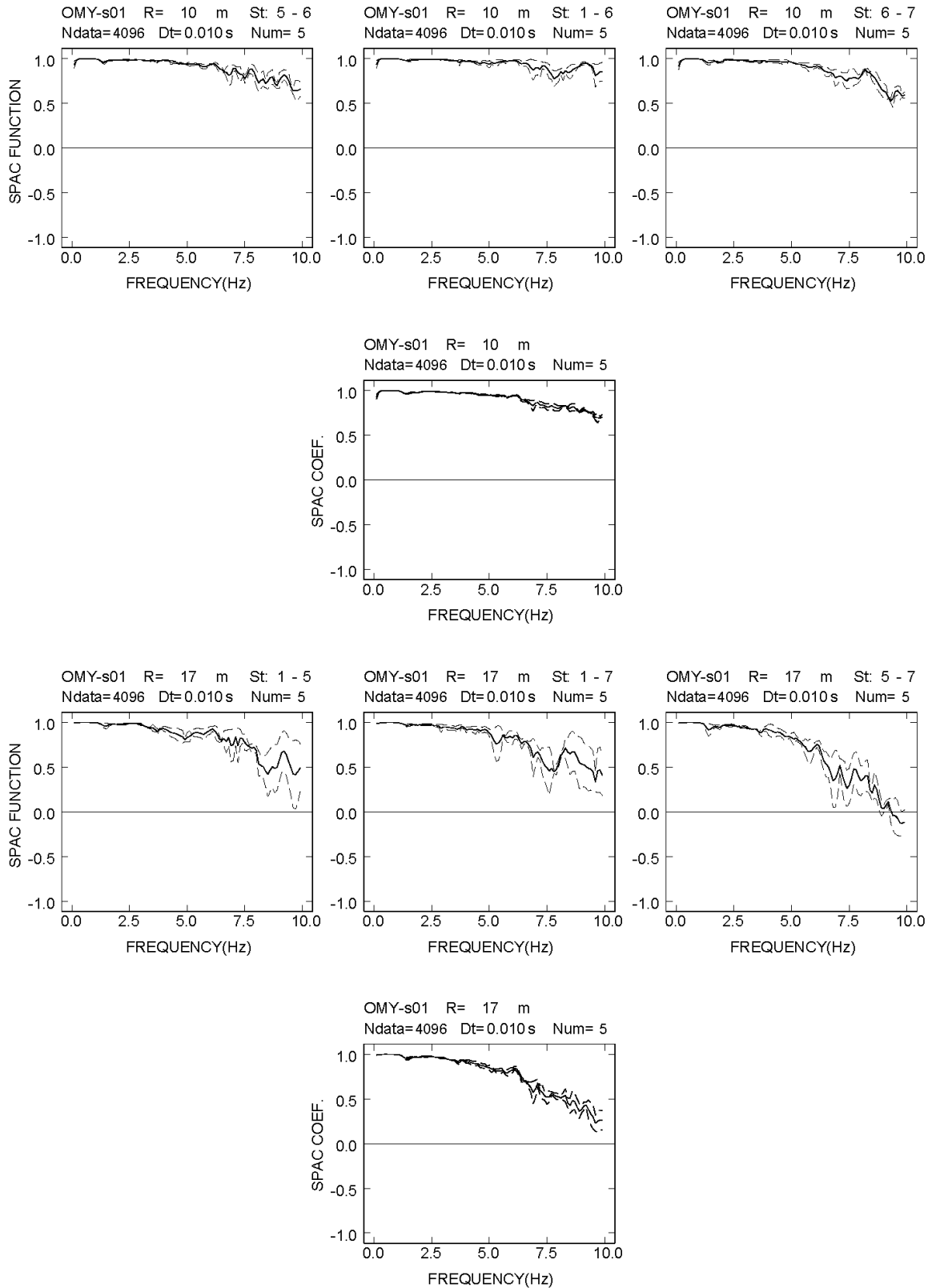
付図 2-5a-(16) 大宮 M アレイにおける各地震計間隔での空間自己相関係数



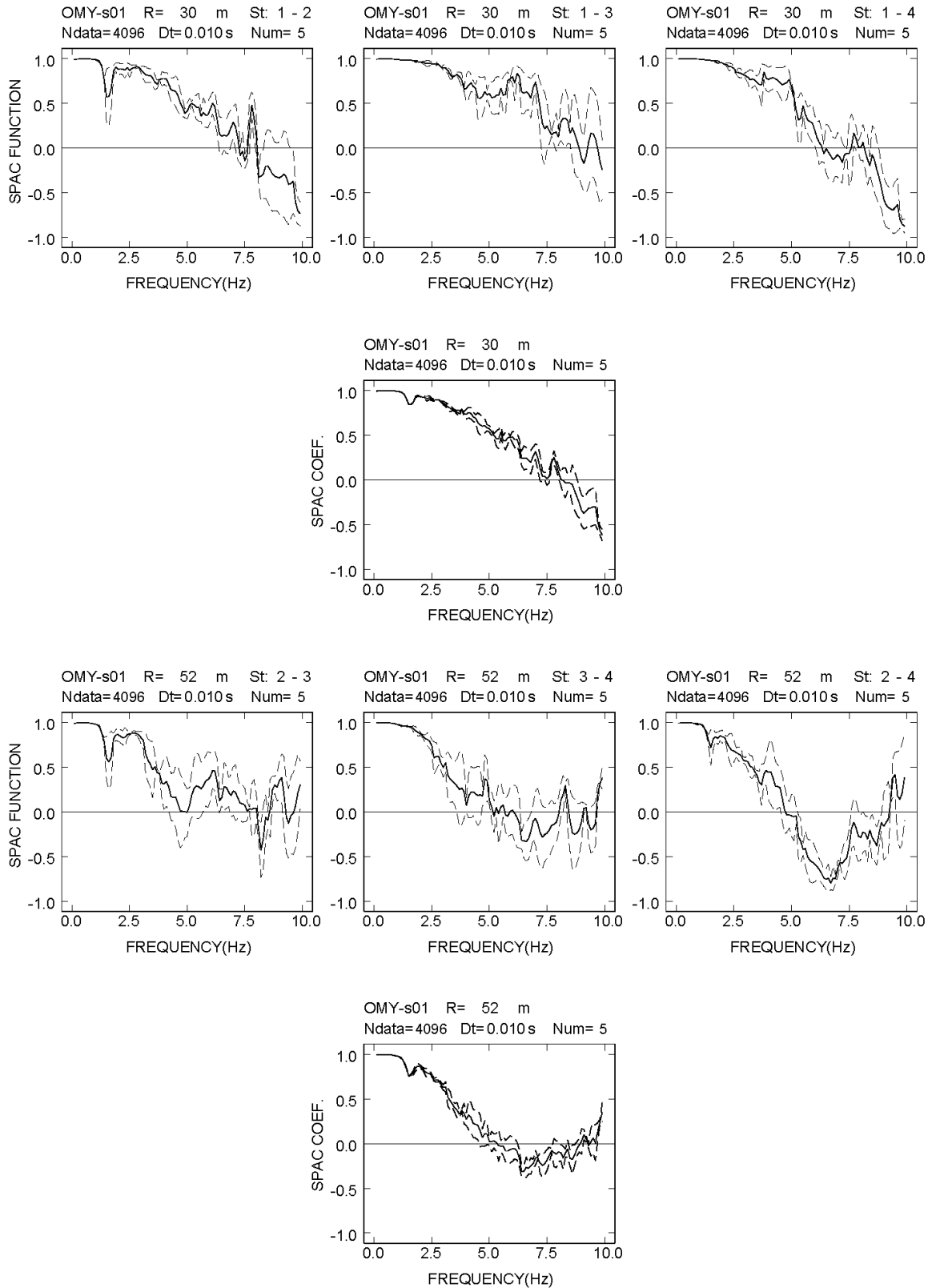
付図 2-5a-(17) 大宮 M アレイにおける各地震計間隔での空間自己相関係数



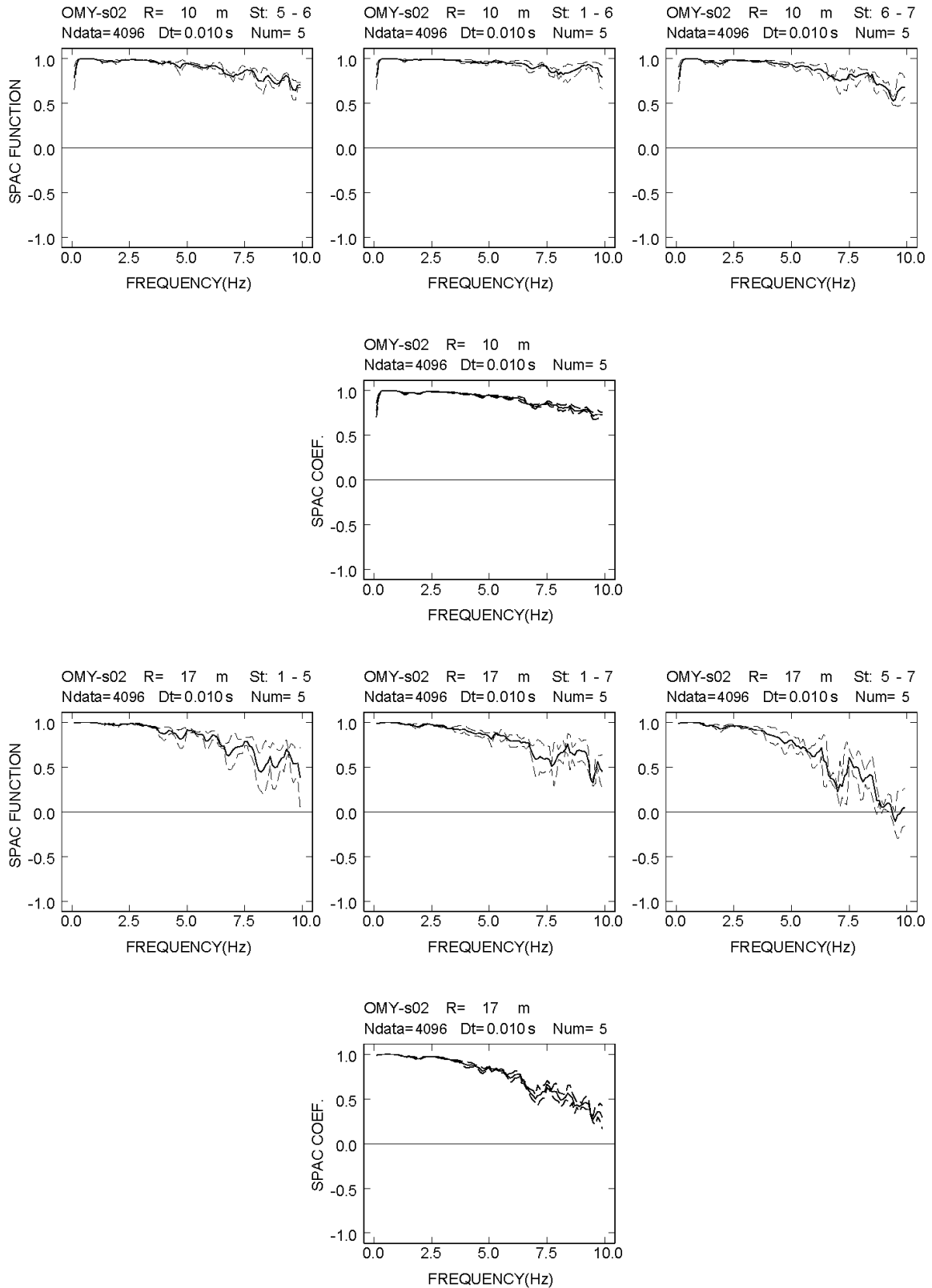
付図 2-5a-(18) 大宮 M アレイにおける各地震計間隔での空間自己相関係数



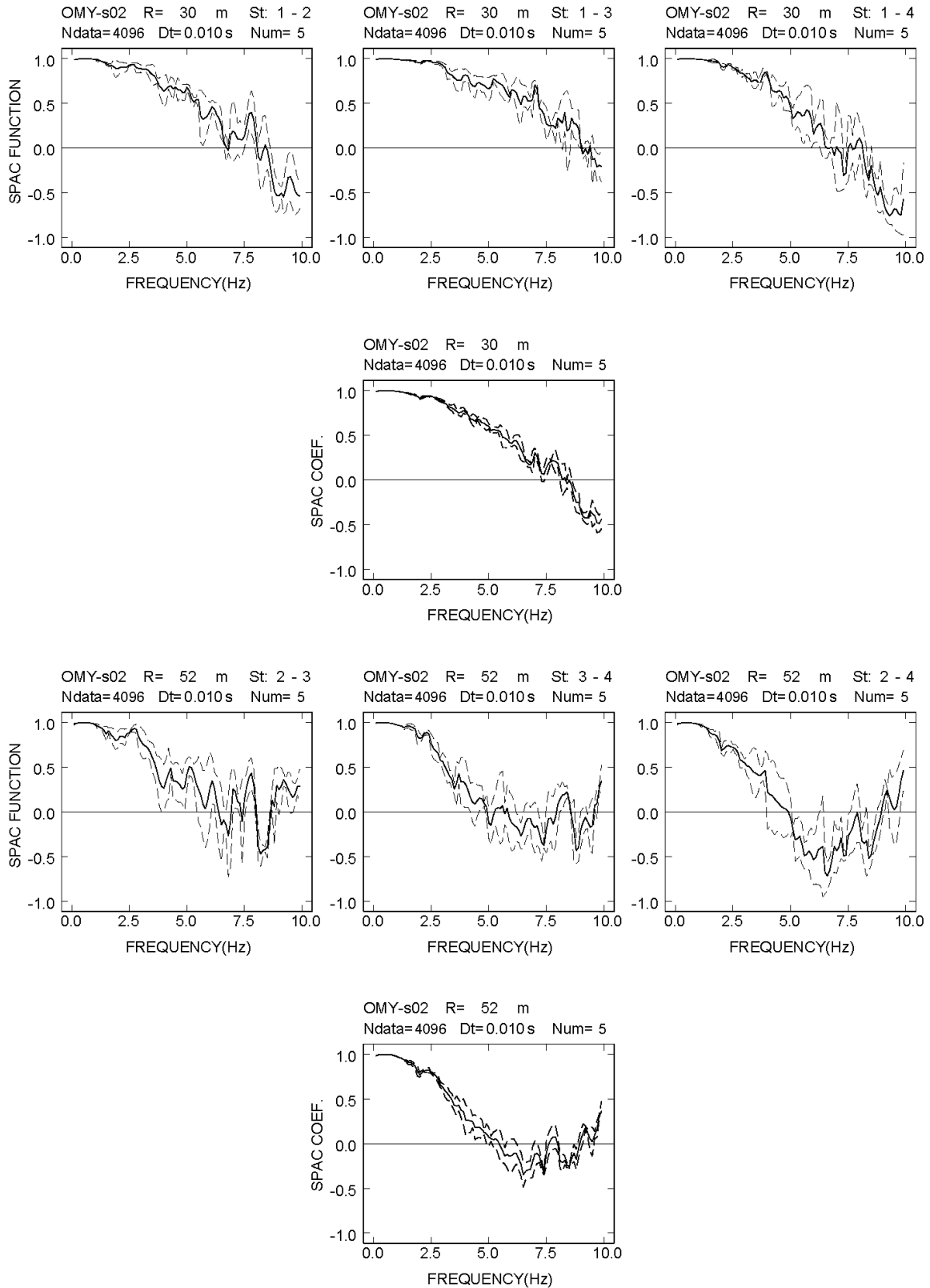
付図 2-6a-(1) 大宮 S アレイにおける各地震計間隔での空間自己相関係数



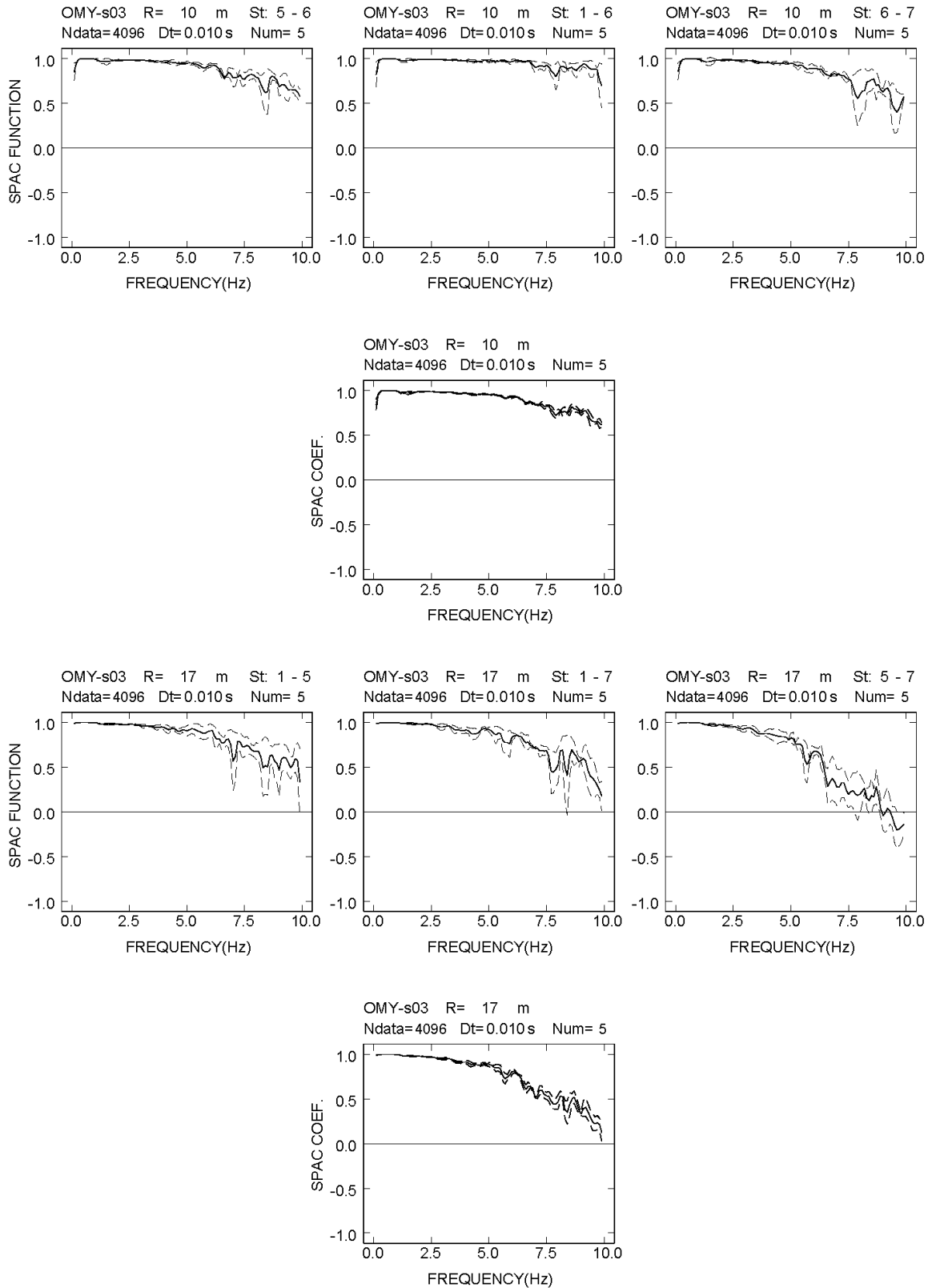
付図 2-6a-(2) 大宮 S アレイにおける各地震計間隔での空間自己相関係数



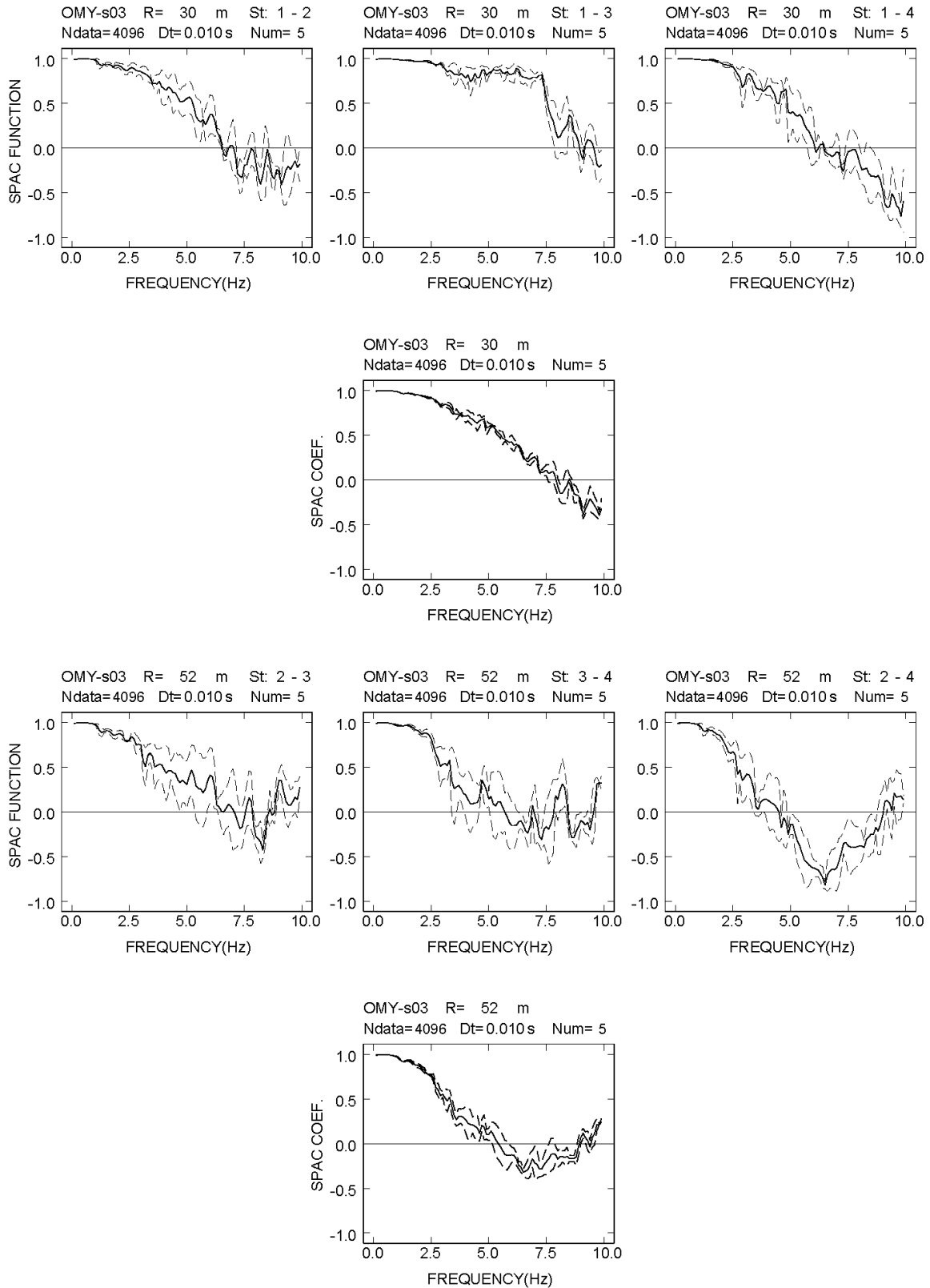
付図 2-6a-(3) 大宮 S アレイにおける各地震計間隔での空間自己相関係数



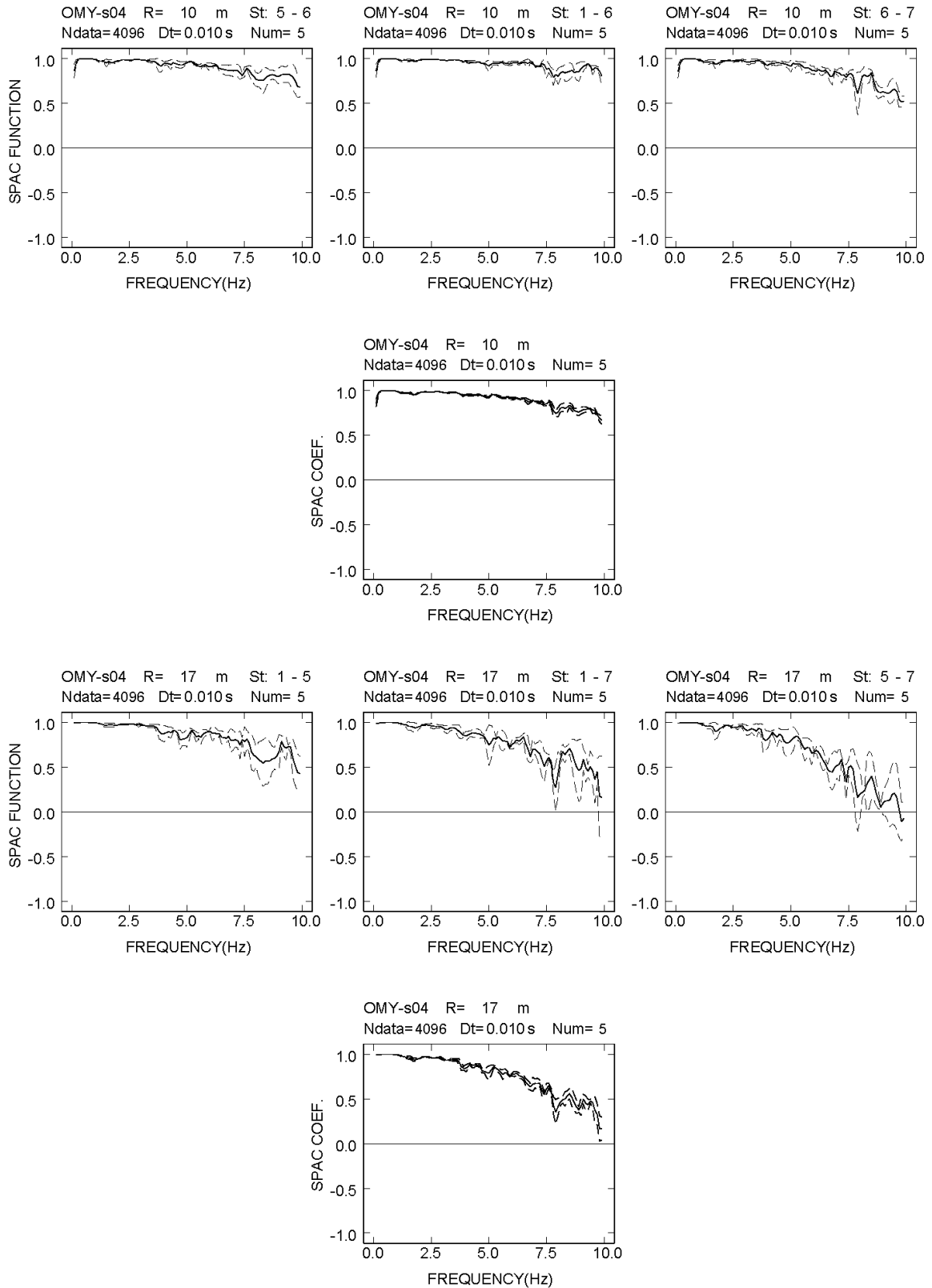
付図 2-6a-(4) 大宮 S アレイにおける各地震計間隔での空間自己相関係数



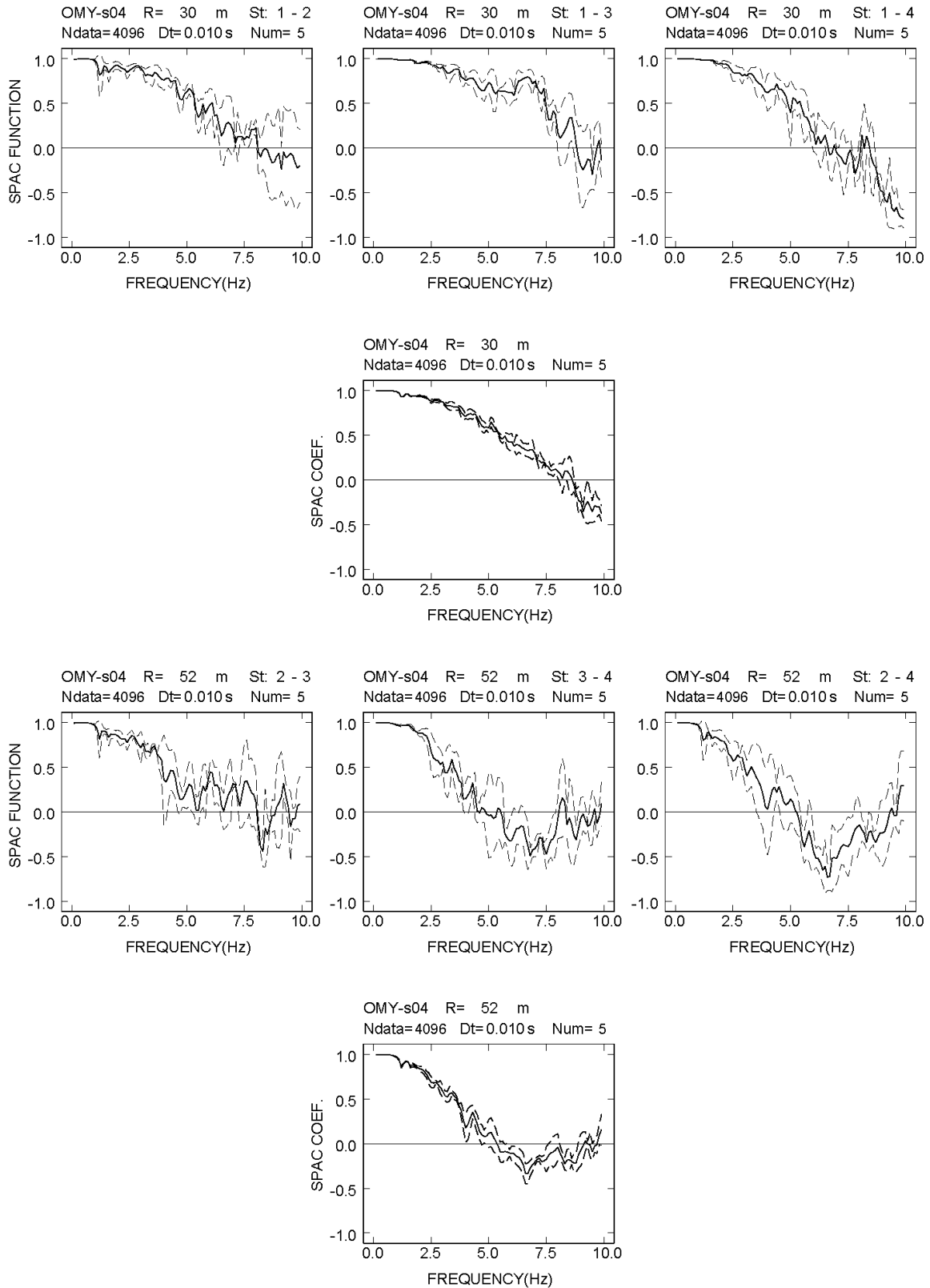
付図 2-6a-(5) 大宮 S アレイにおける各地震計間隔での空間自己相関係数



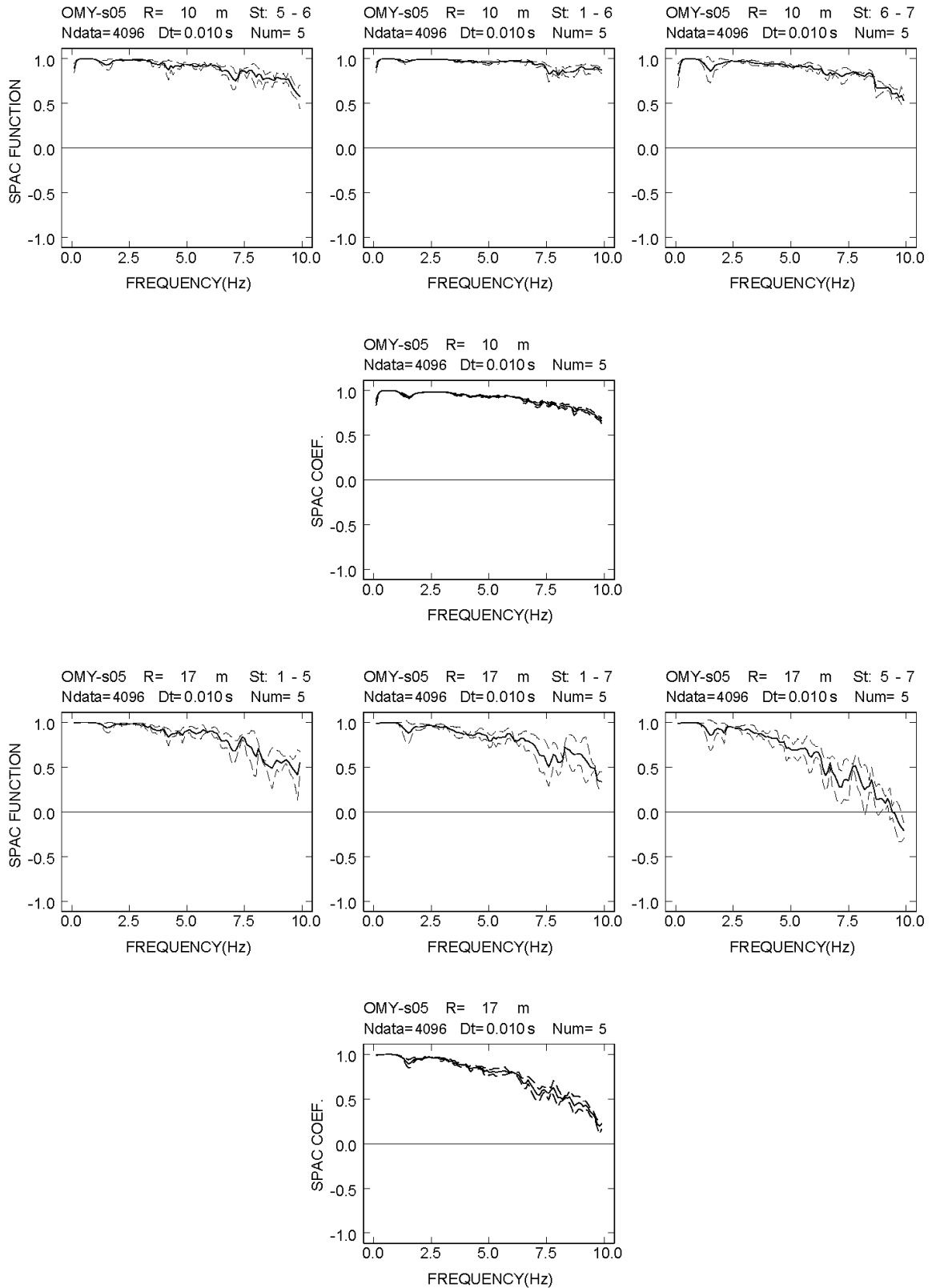
付図 2-6a-(6) 大宮 S アレイにおける各地震計間隔での空間自己相関係数



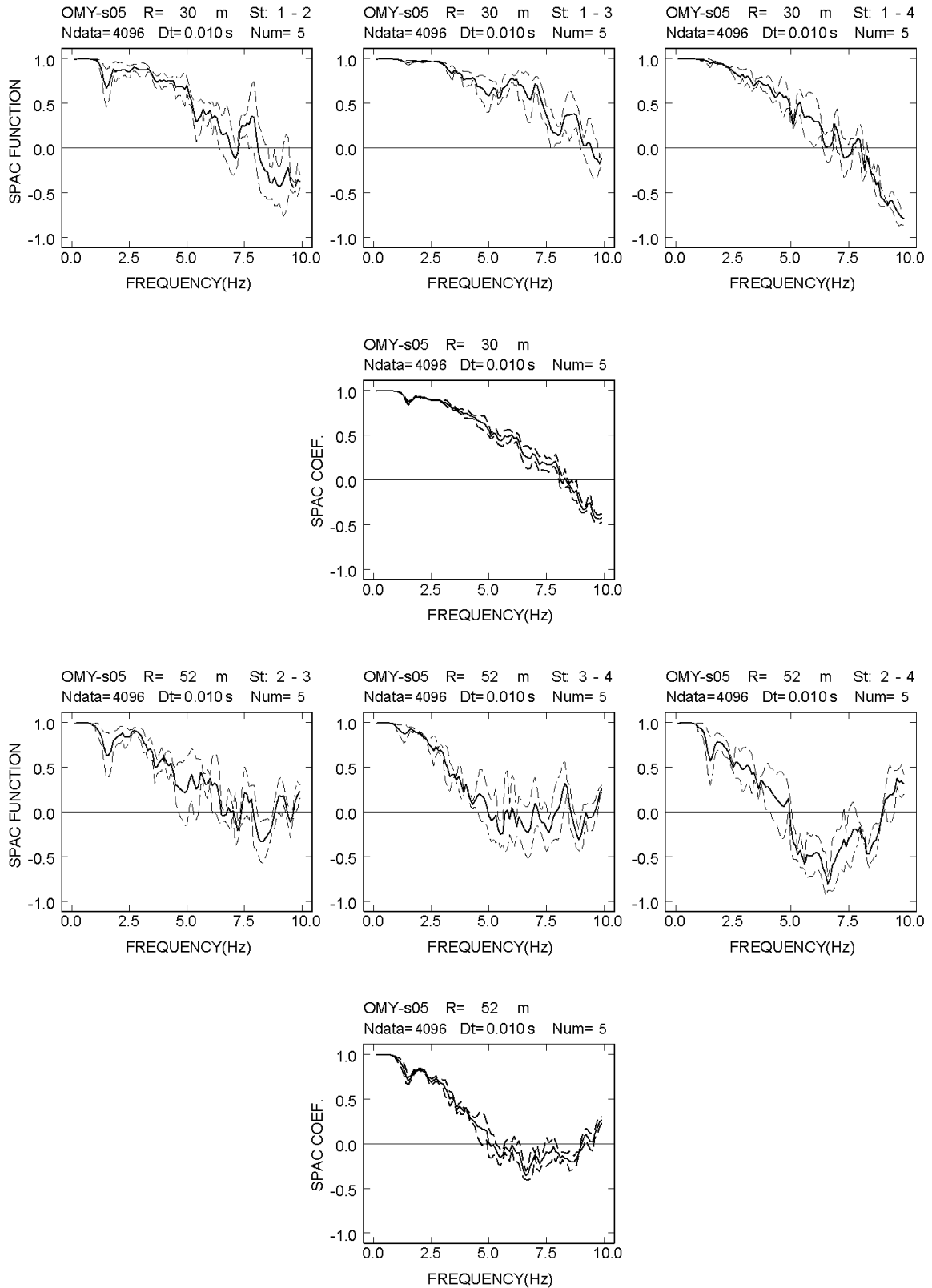
付図 2-6a-(7) 大宮 S アレイにおける各地震計間隔での空間自己相関係数



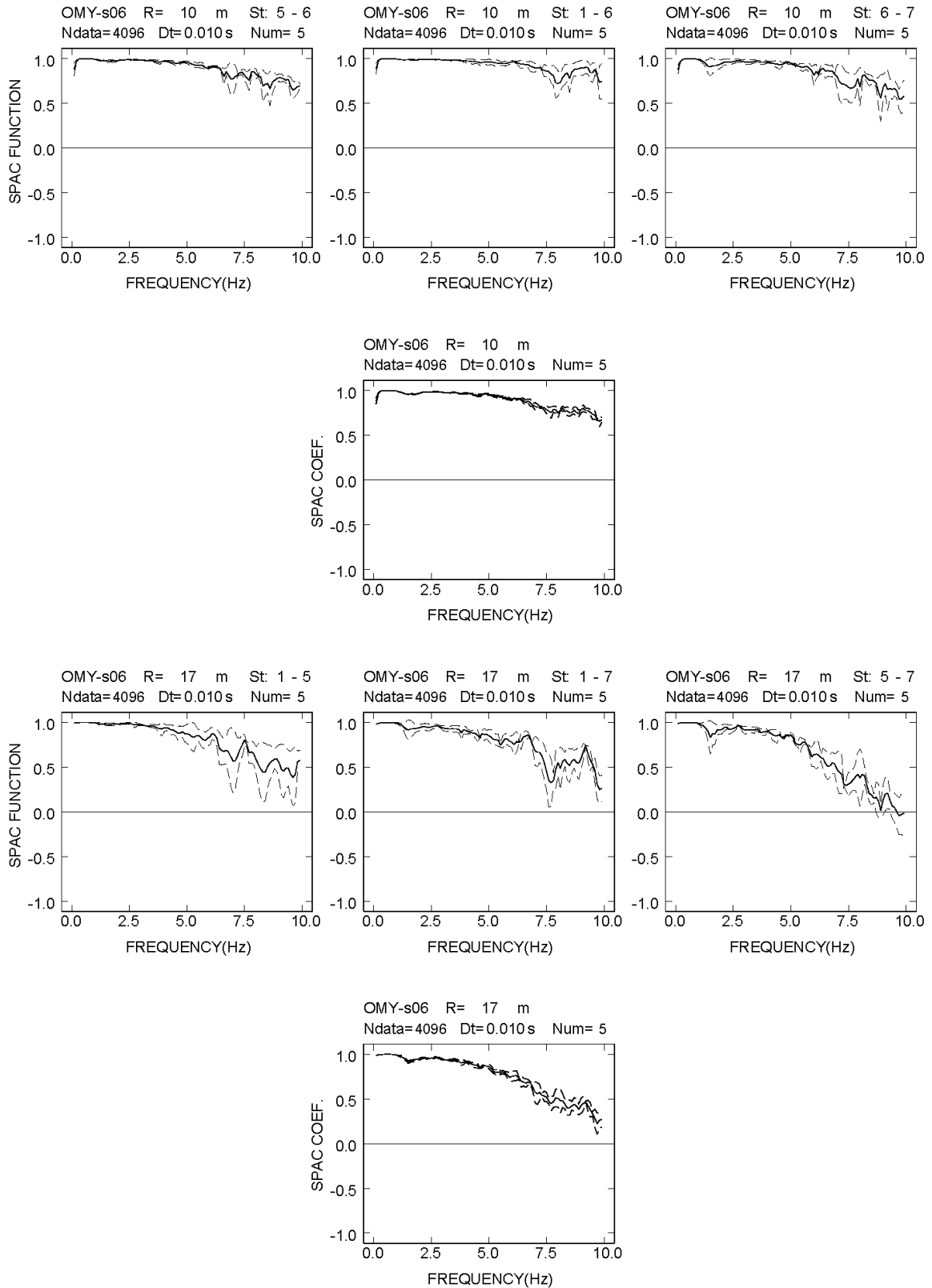
付図 2-6a-(8) 大宮 S アレイにおける各地震計間隔での空間自己相関係数



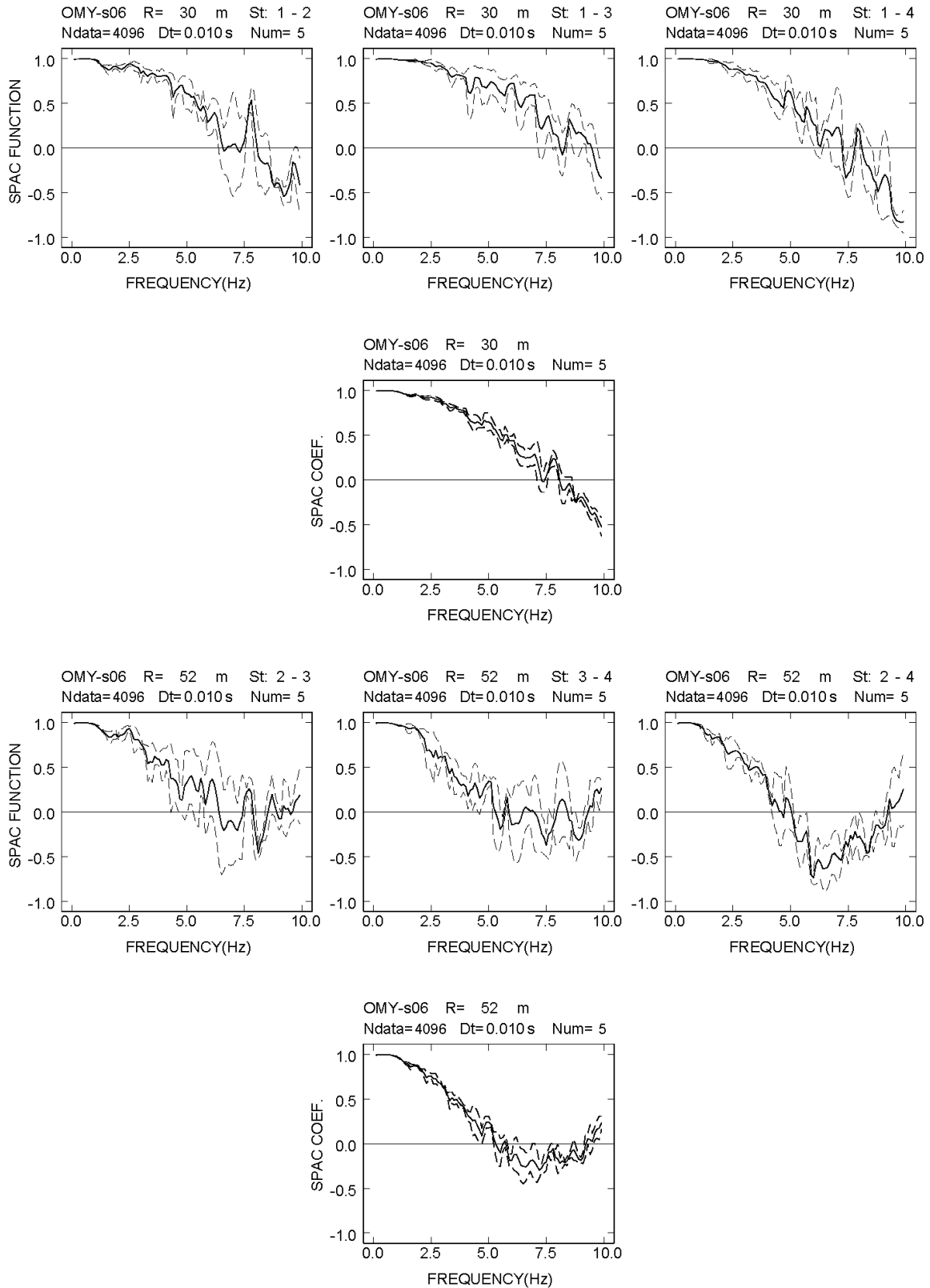
付図 2-6a-(9) 大宮 S アレイにおける各地震計間隔での空間自己相関係数



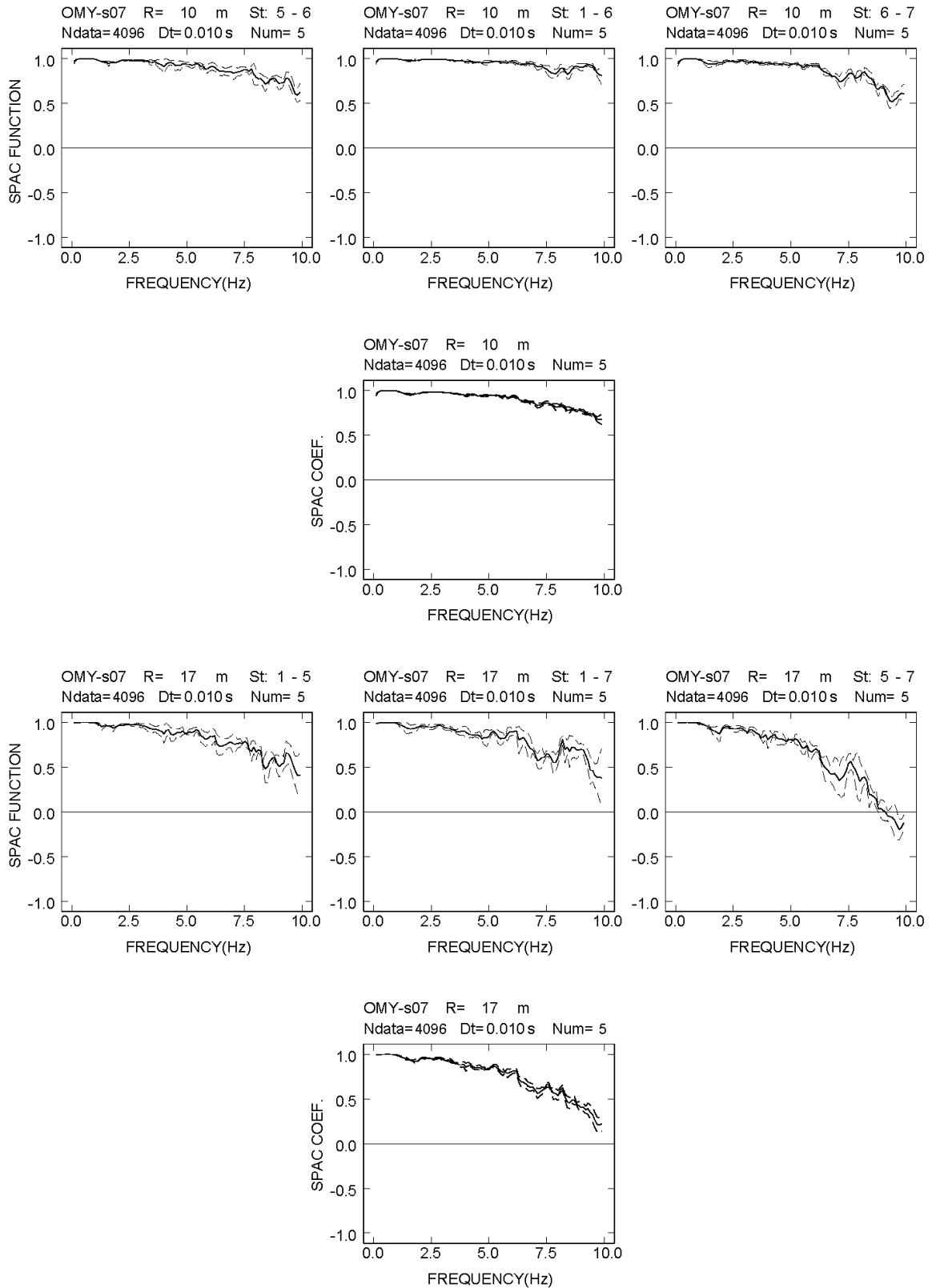
付図 2-6a-(10) 大宮 S アレイにおける各地震計間隔での空間自己相関係数



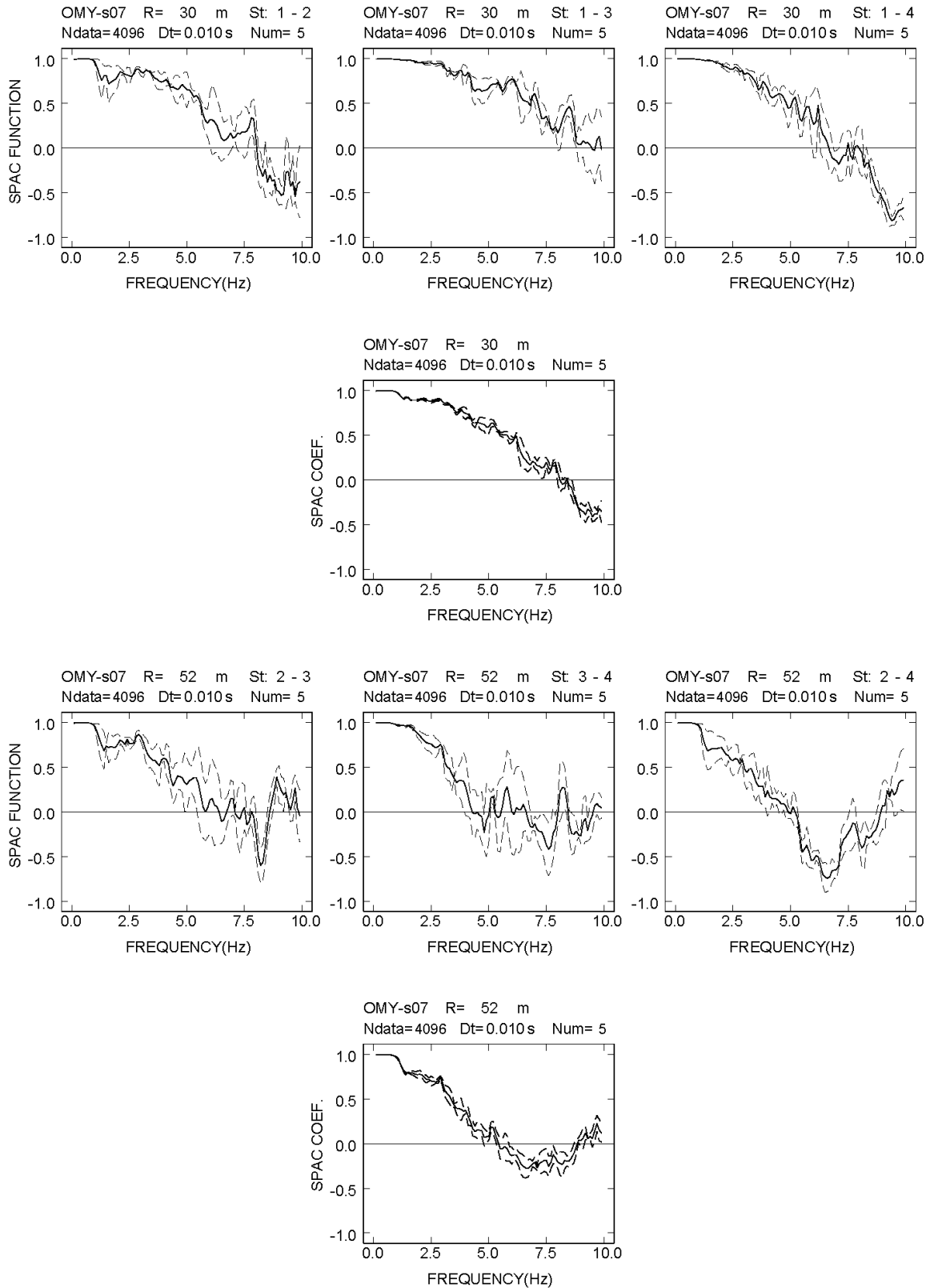
付図 2-6a-(11) 大宮 S アレイにおける各地震計間隔での空間自己相関係数



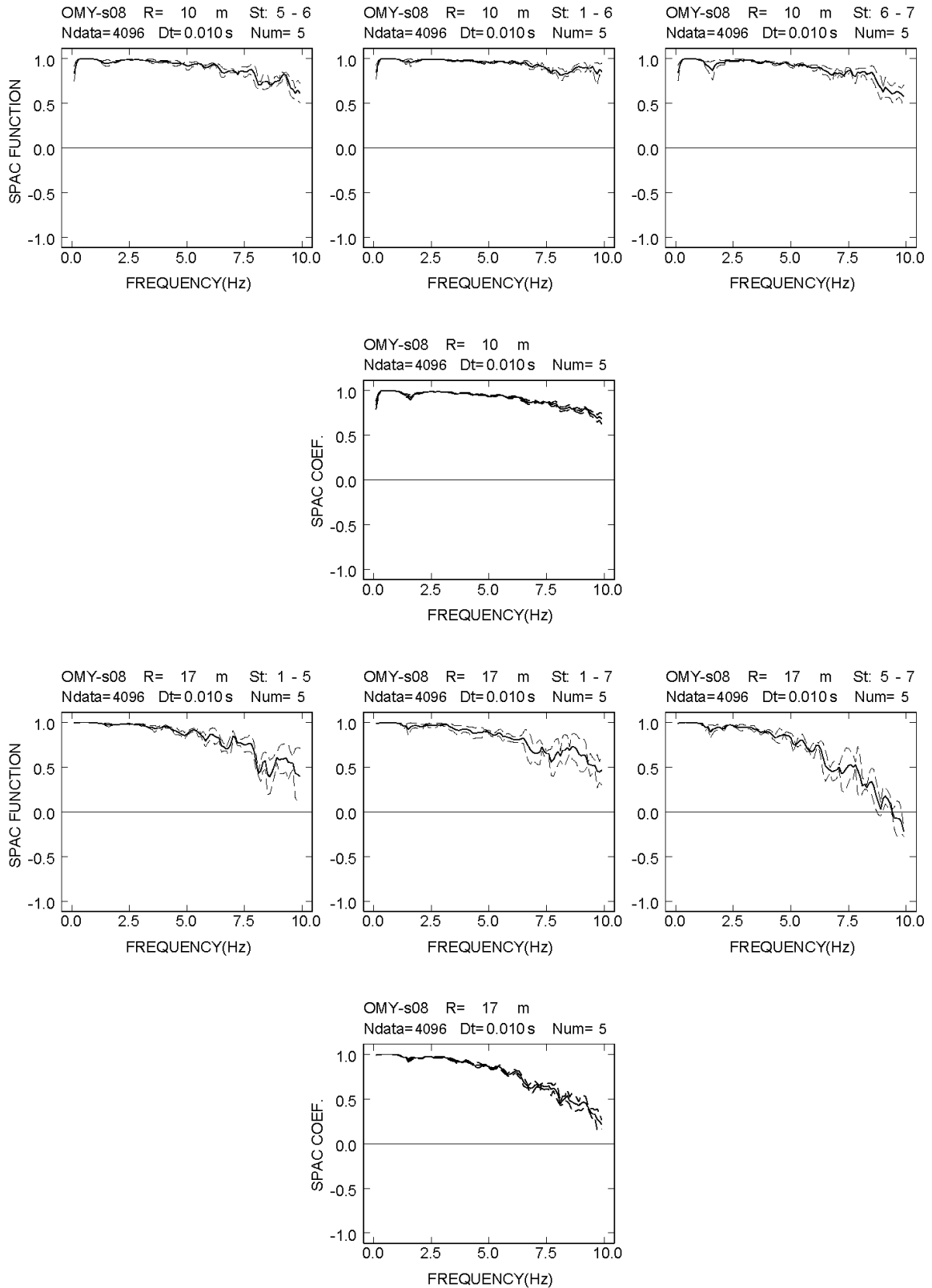
付図 2-6a-(12) 大宮 S アレイにおける各地震計間隔での空間自己相関係数



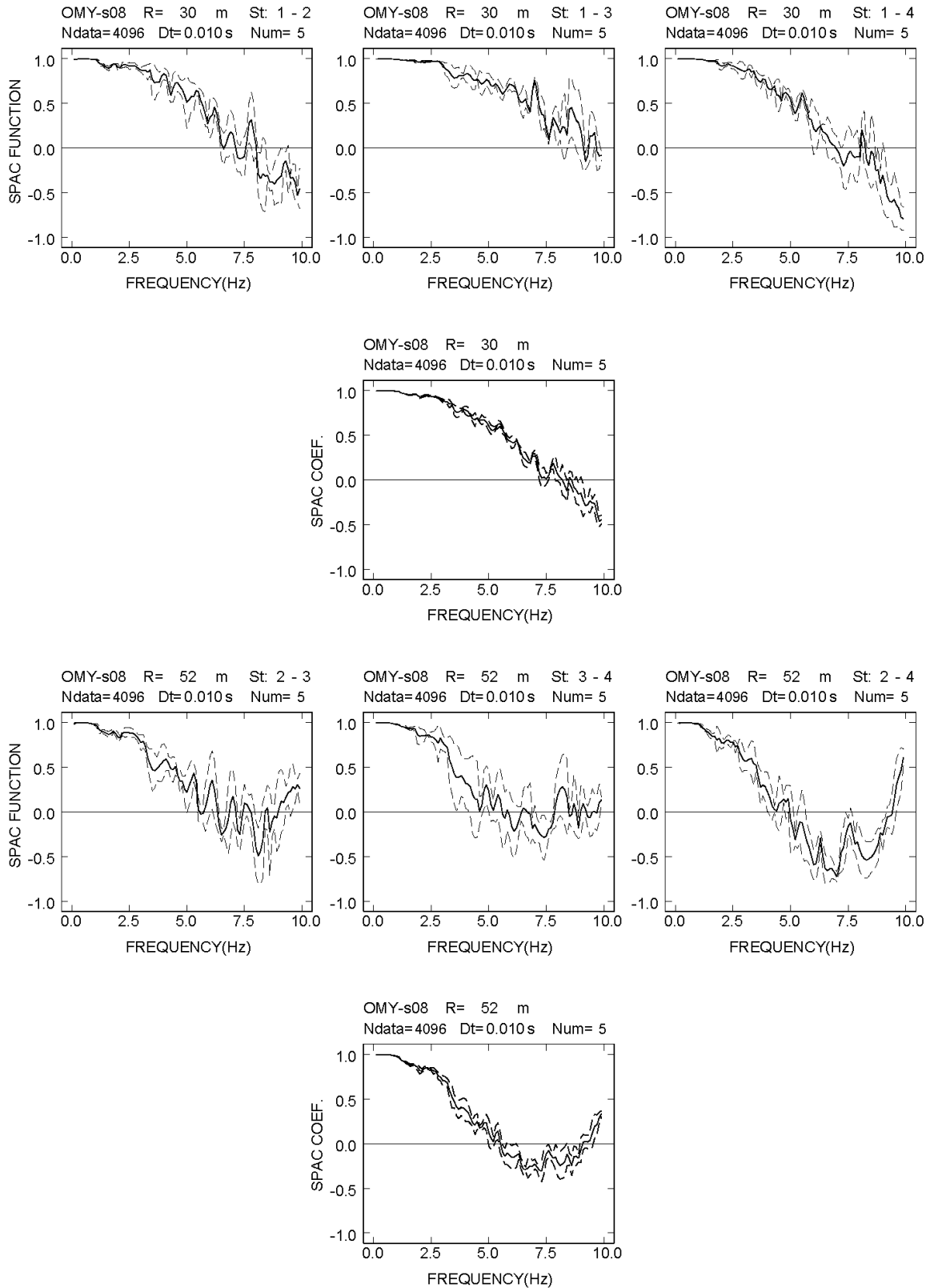
付図 2-6a-(13) 大宮 S アレイにおける各地震計間隔での空間自己相関係数



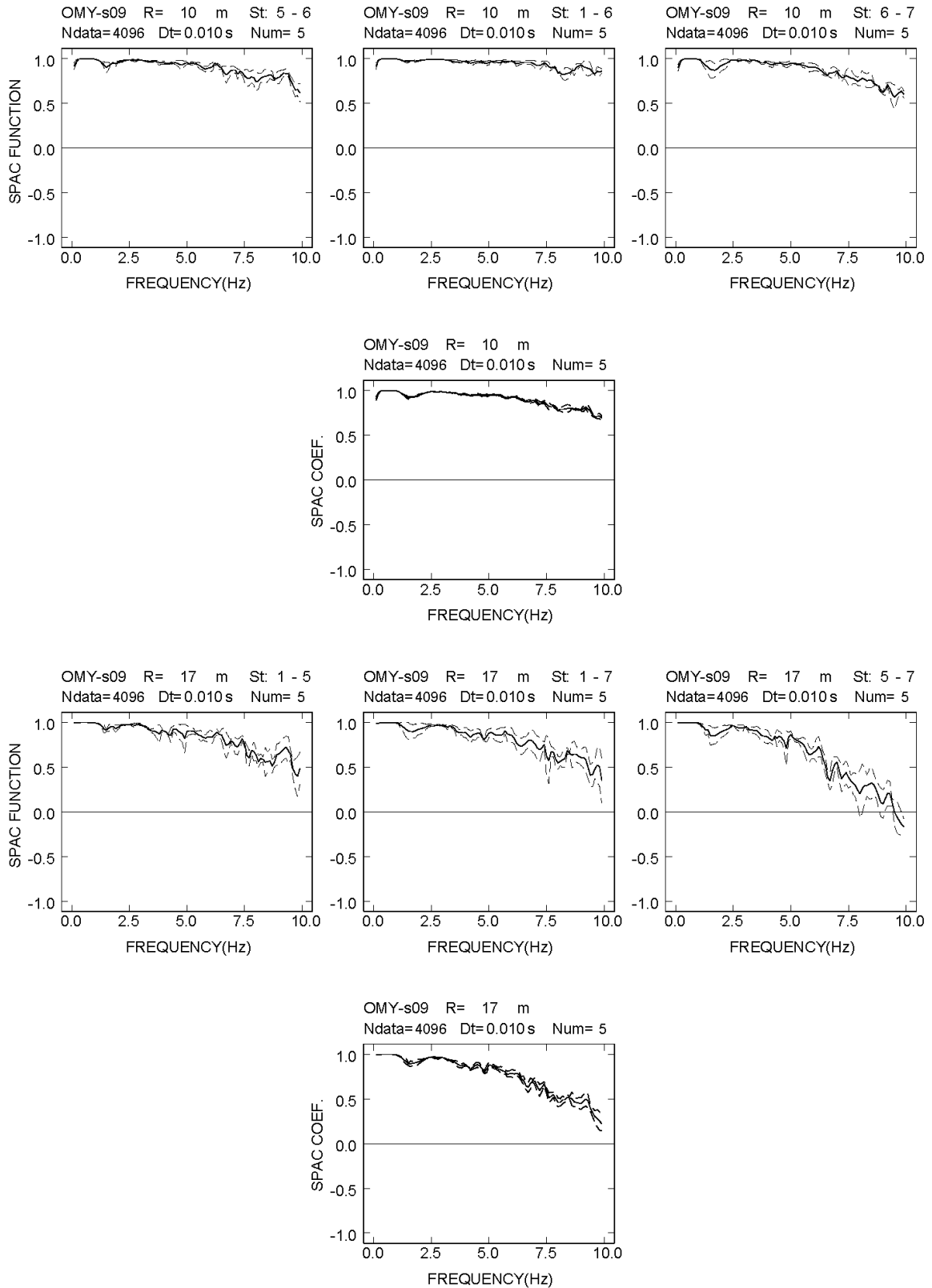
付図 2-6a-(14) 大宮 S アレイにおける各地震計間隔での空間自己相関係数



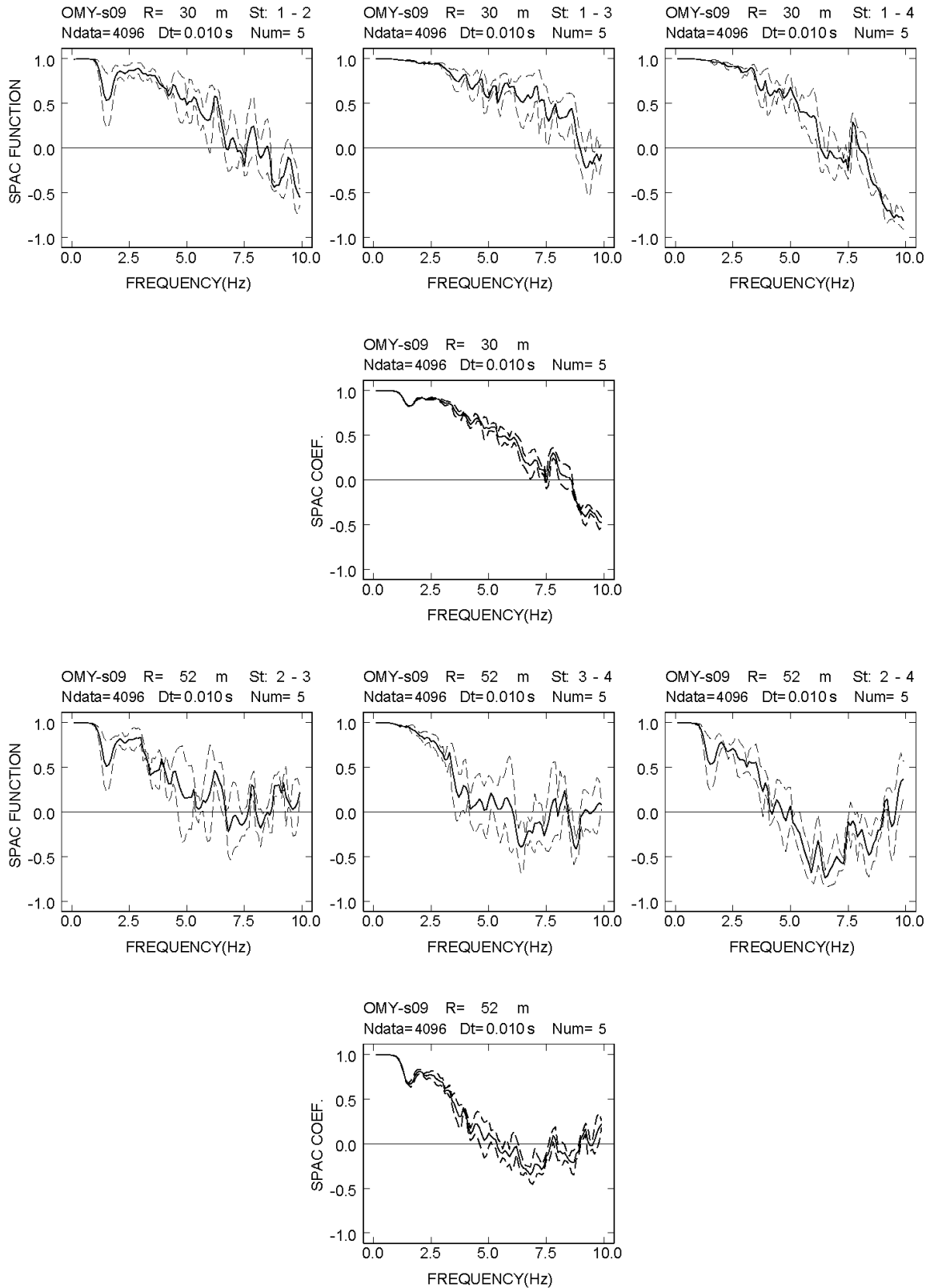
付図 2-6a-(15) 大宮 S アレイにおける各地震計間隔での空間自己相関係数



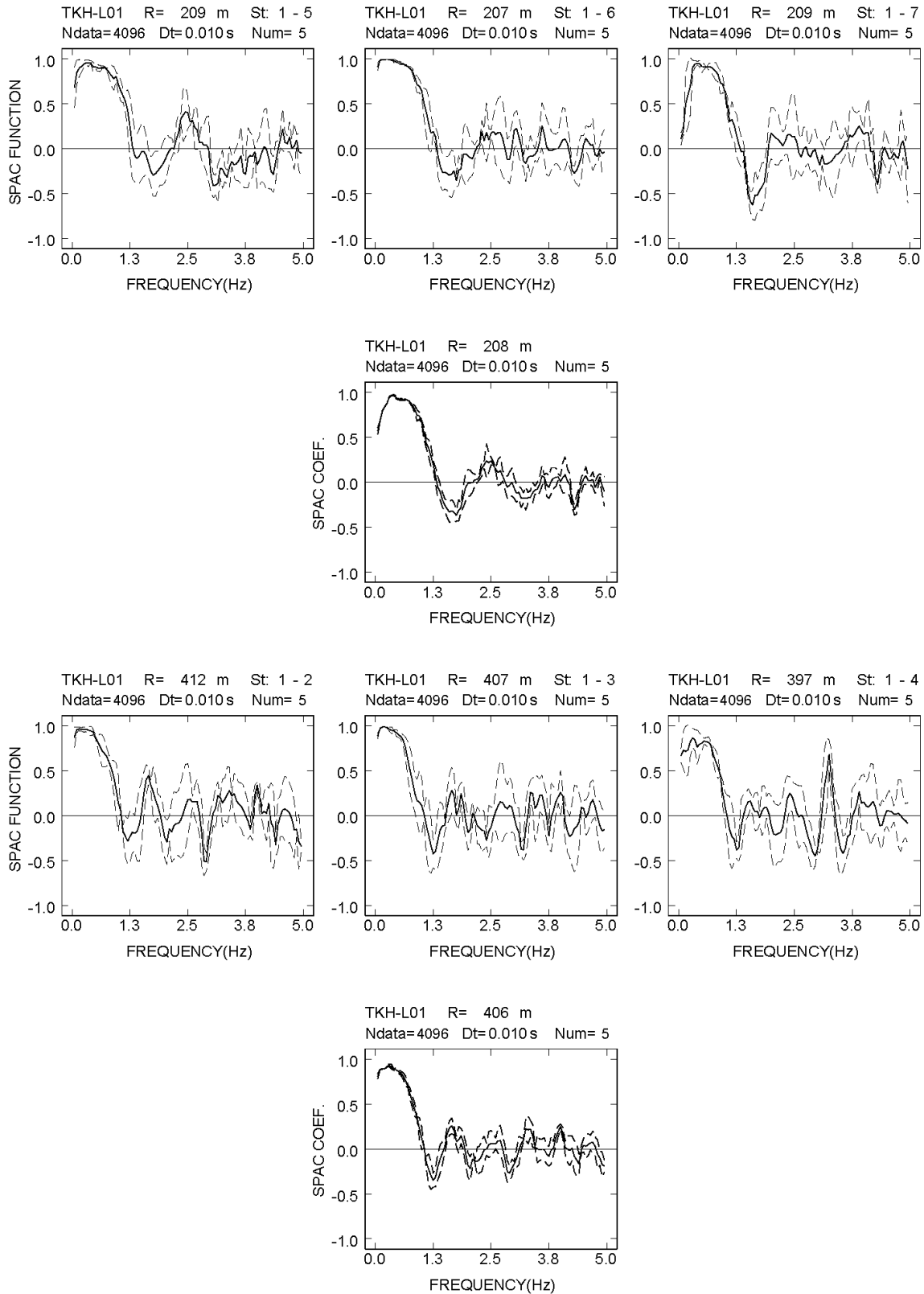
付図 2-6a-(16) 大宮 S アレイにおける各地震計間隔での空間自己相関係数



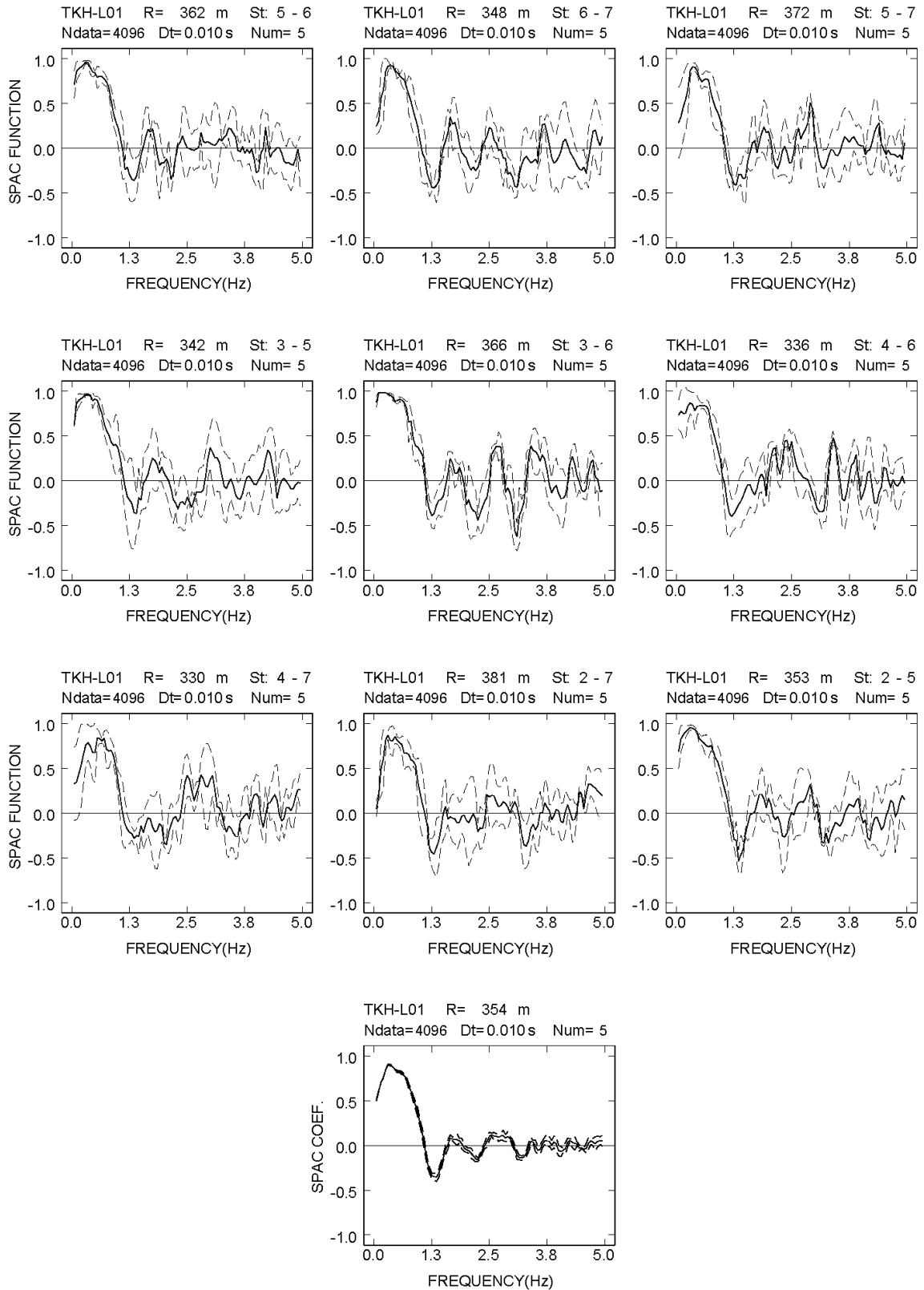
付図 2-6a-(17) 大宮 S アレイにおける各地震計間隔での空間自己相関係数



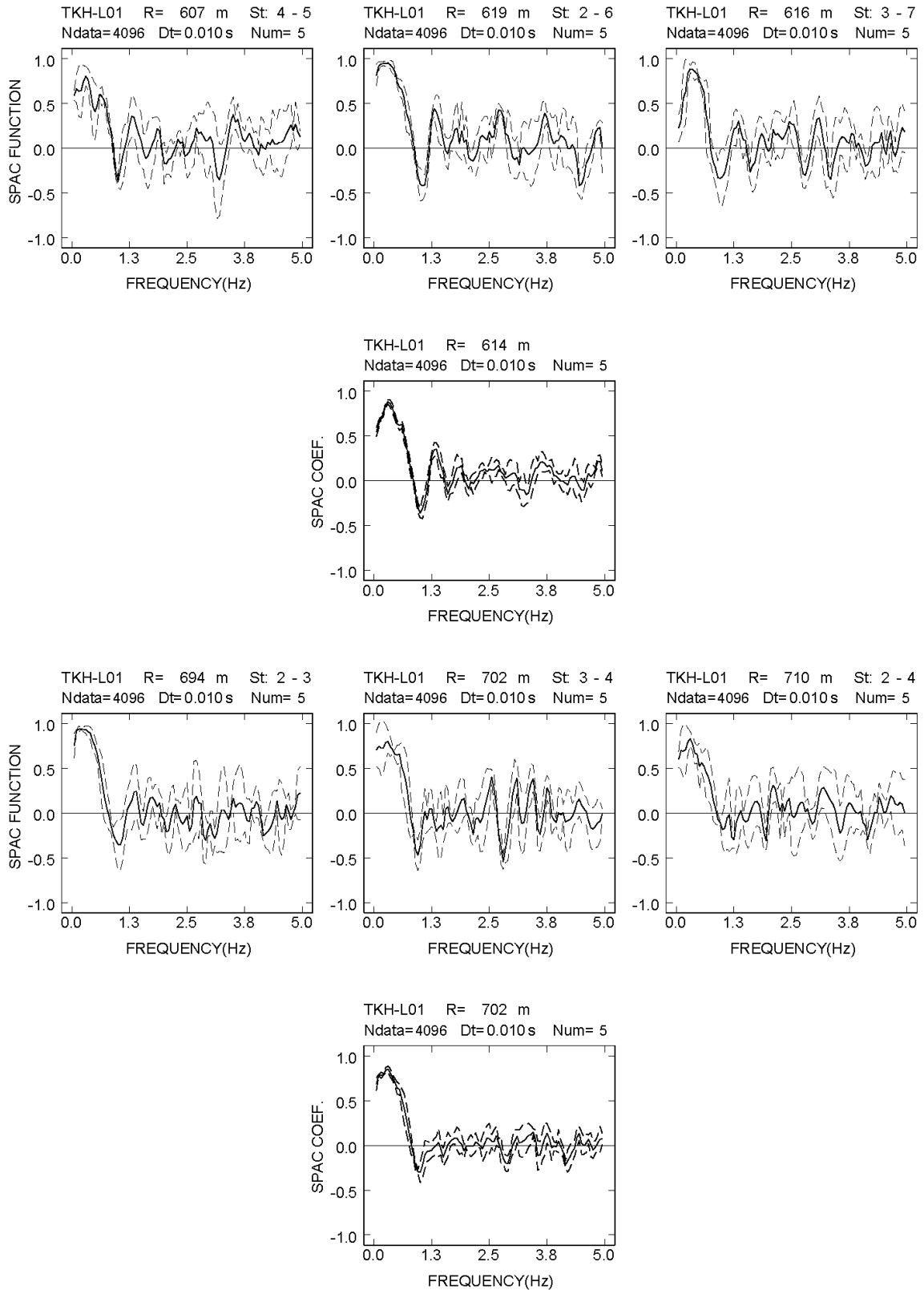
付図 2-6a-(18) 大宮 S アレイにおける各地震計間隔での空間自己相関係数



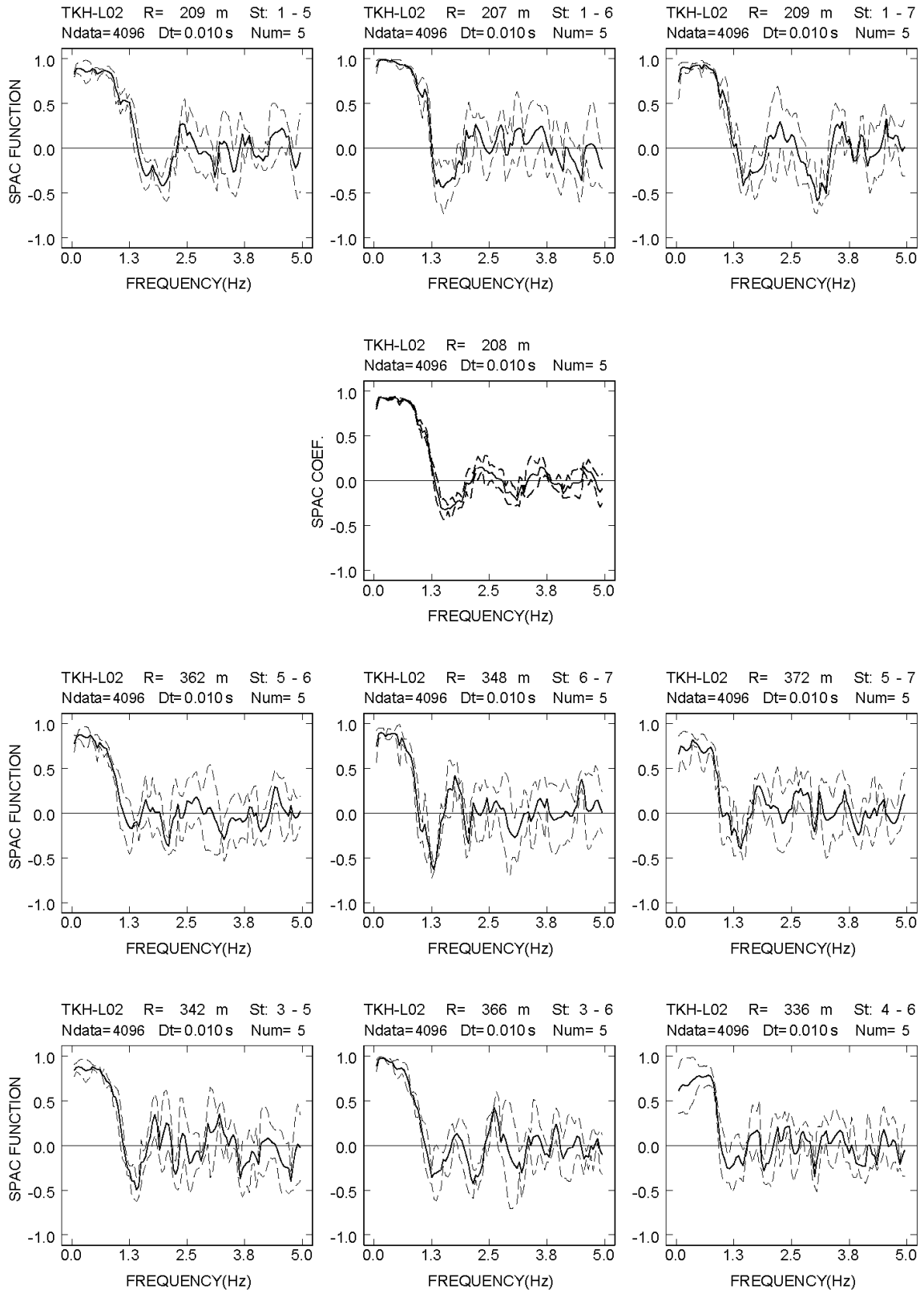
付図 2-7a-(1) 高萩 L アレイにおける各地震計間隔での空間自己相関係数



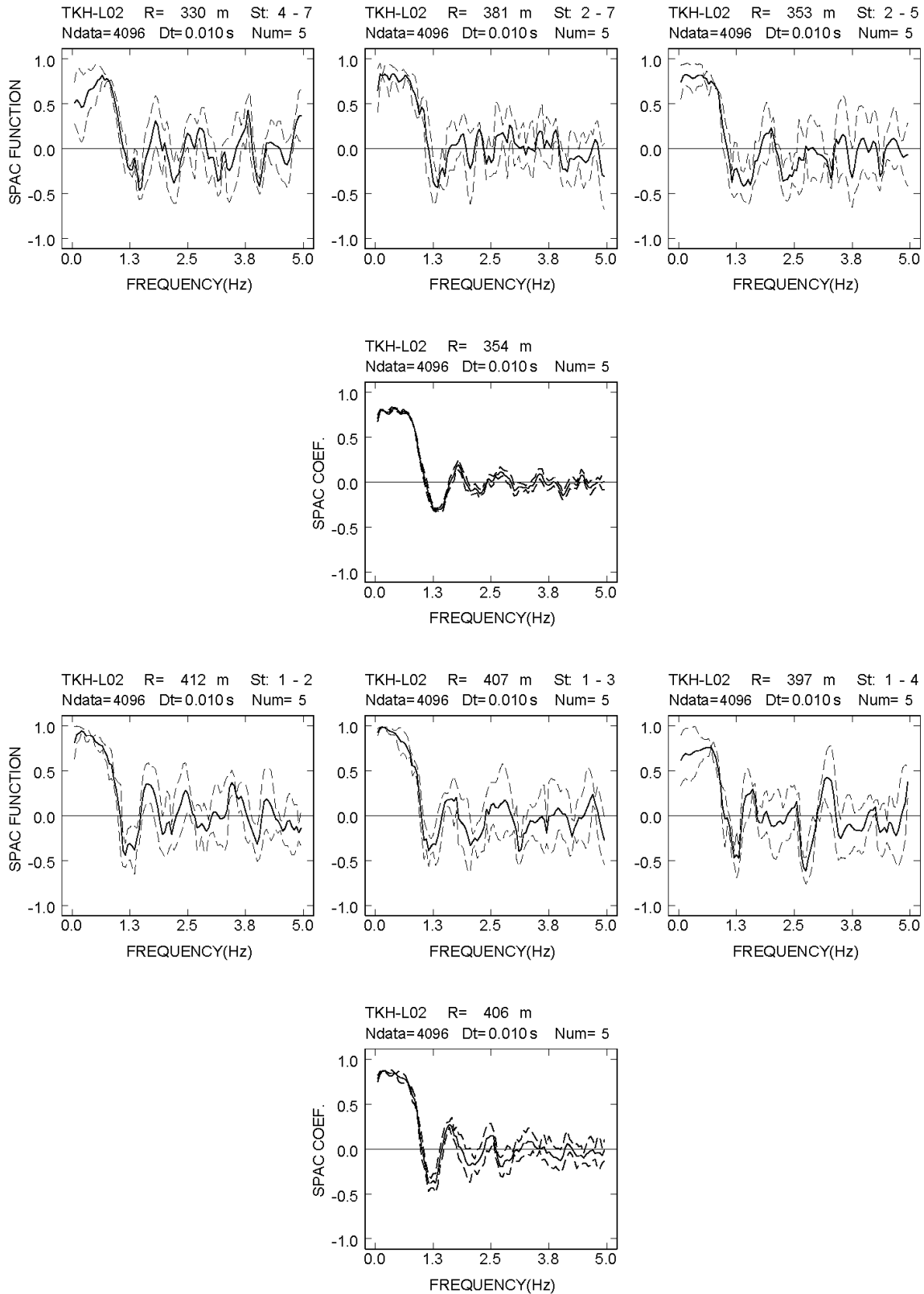
付図 2-7a-(2) 高萩 L アレイにおける各地震計間隔での空間自己相関係数



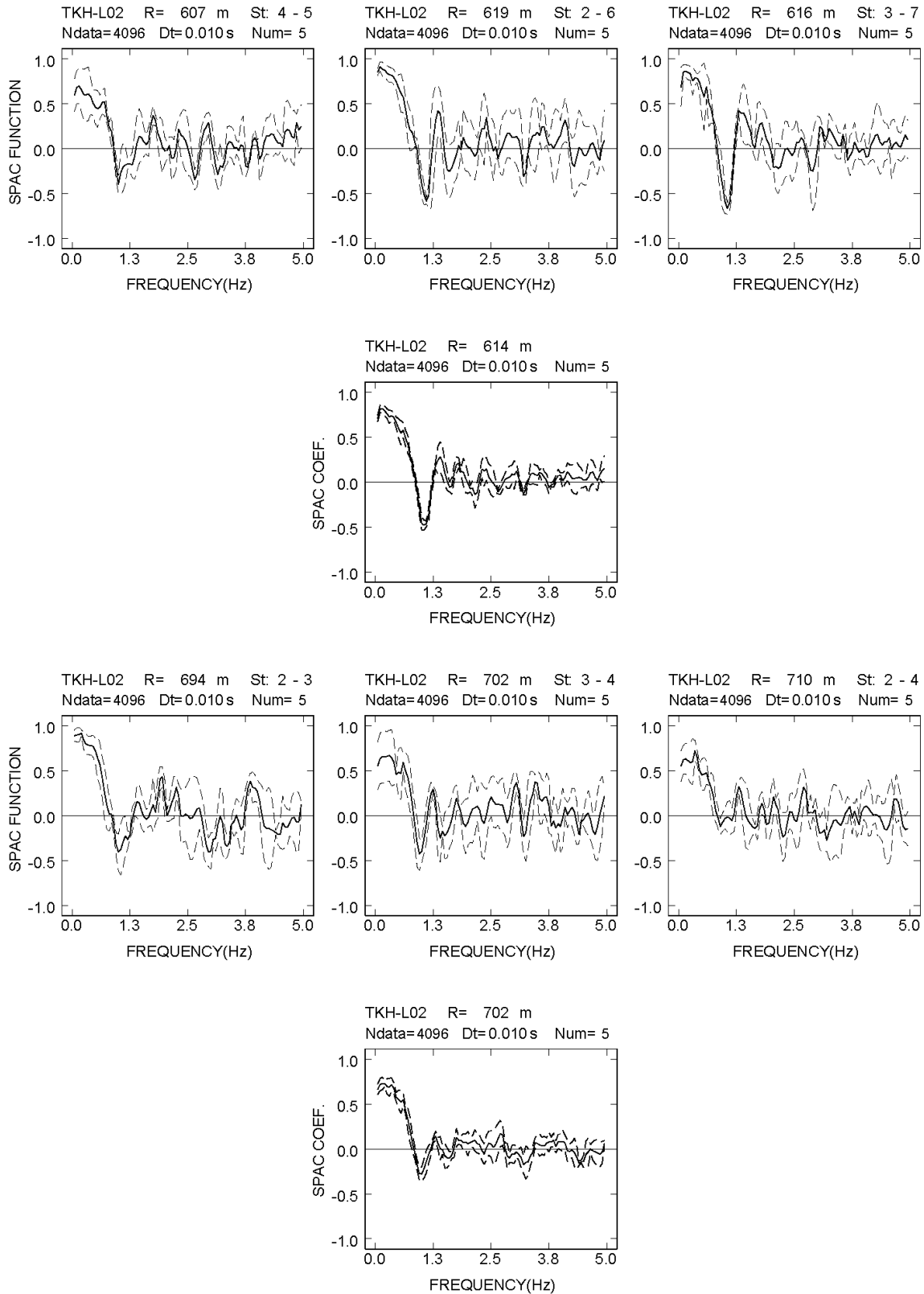
付図 2-7a-(3) 高萩 L アレイにおける各地震計間隔での空間自己相関係数



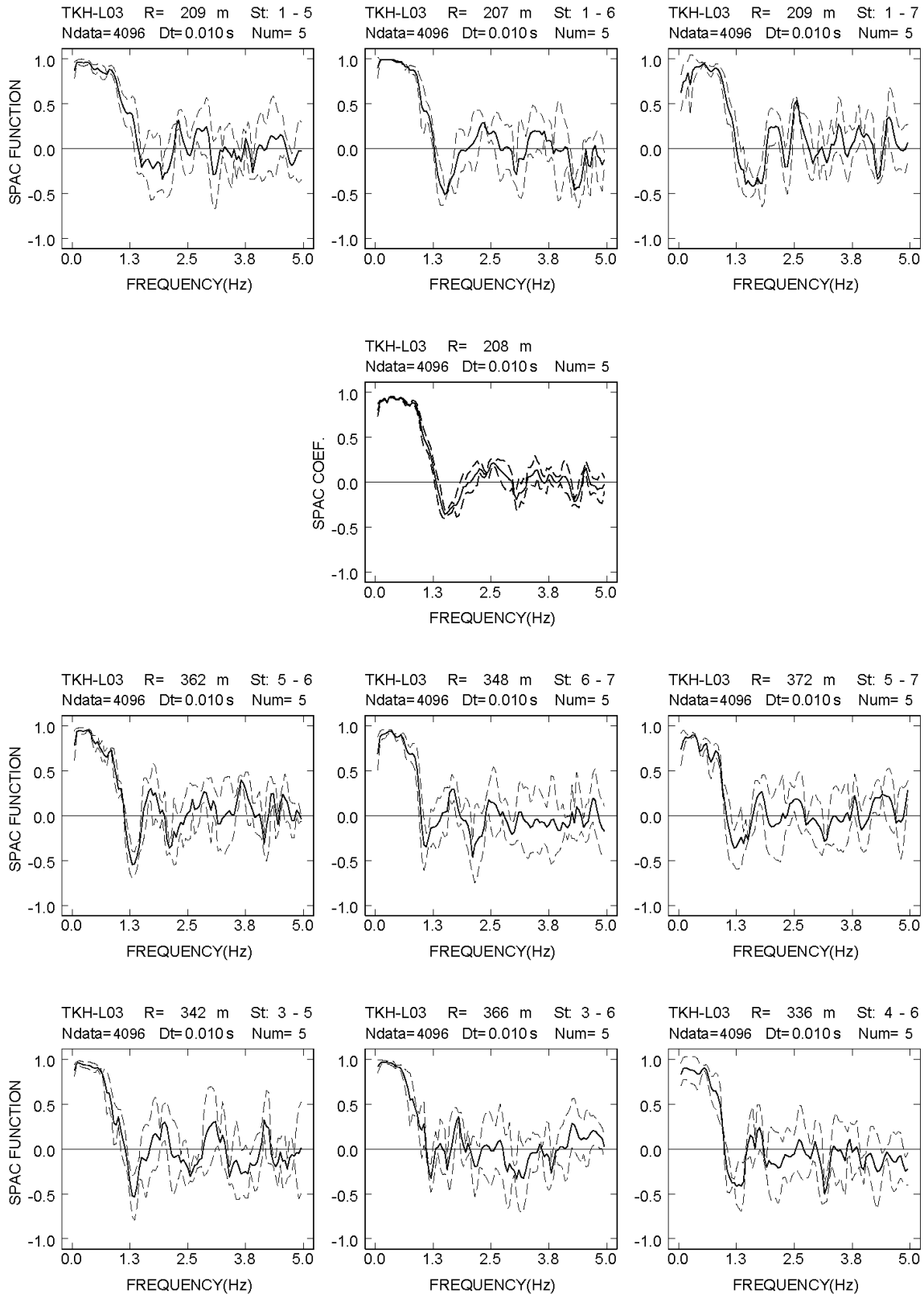
付図 2-7a-(4) 高萩 L アレイにおける各地震計間隔での空間自己相関係数



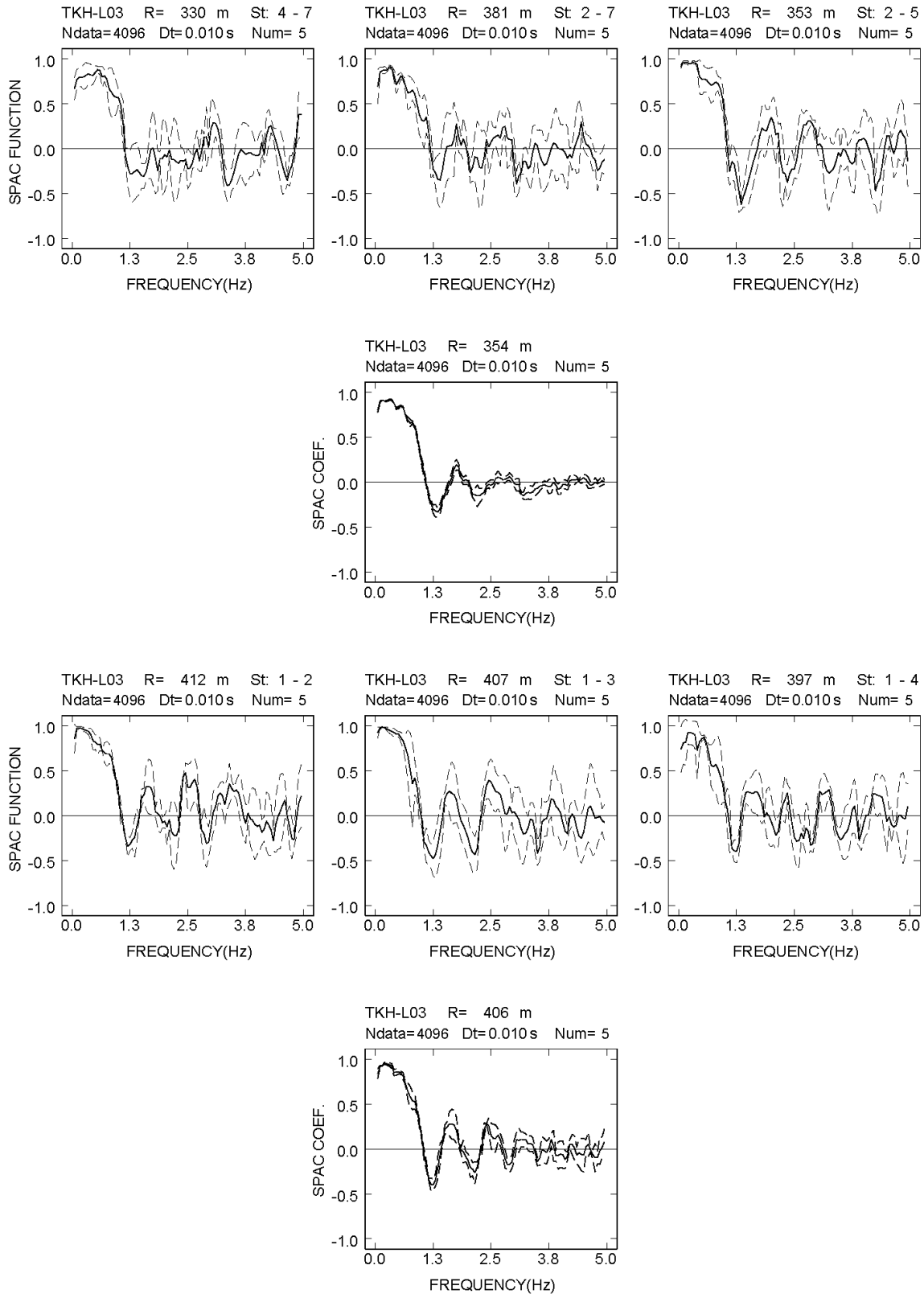
付図 2-7a-(5) 高萩 L アレイにおける各地震計間隔での空間自己相関係数



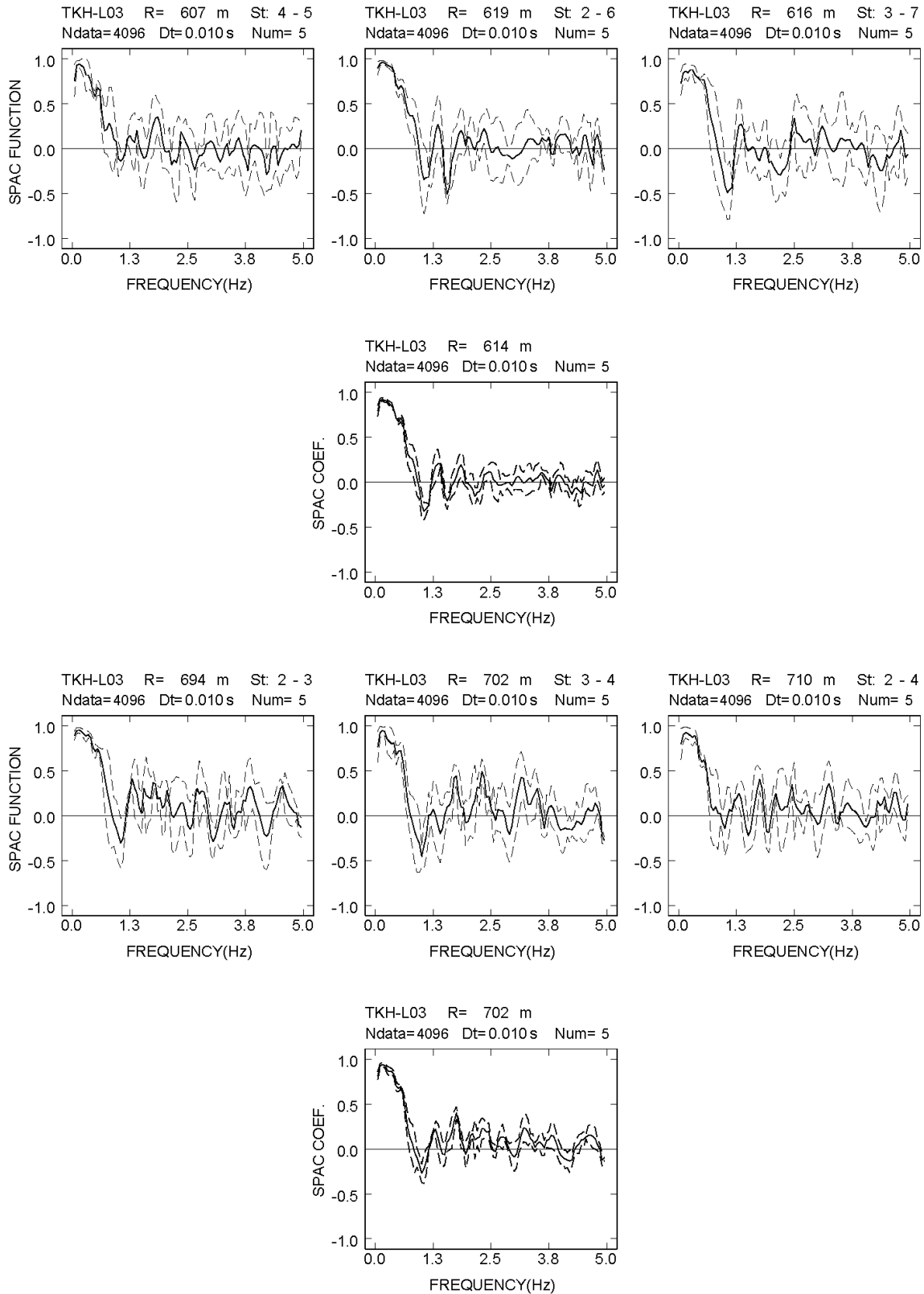
付図 2-7a-(6) 高萩 L アレイにおける各地震計間隔での空間自己相関係数



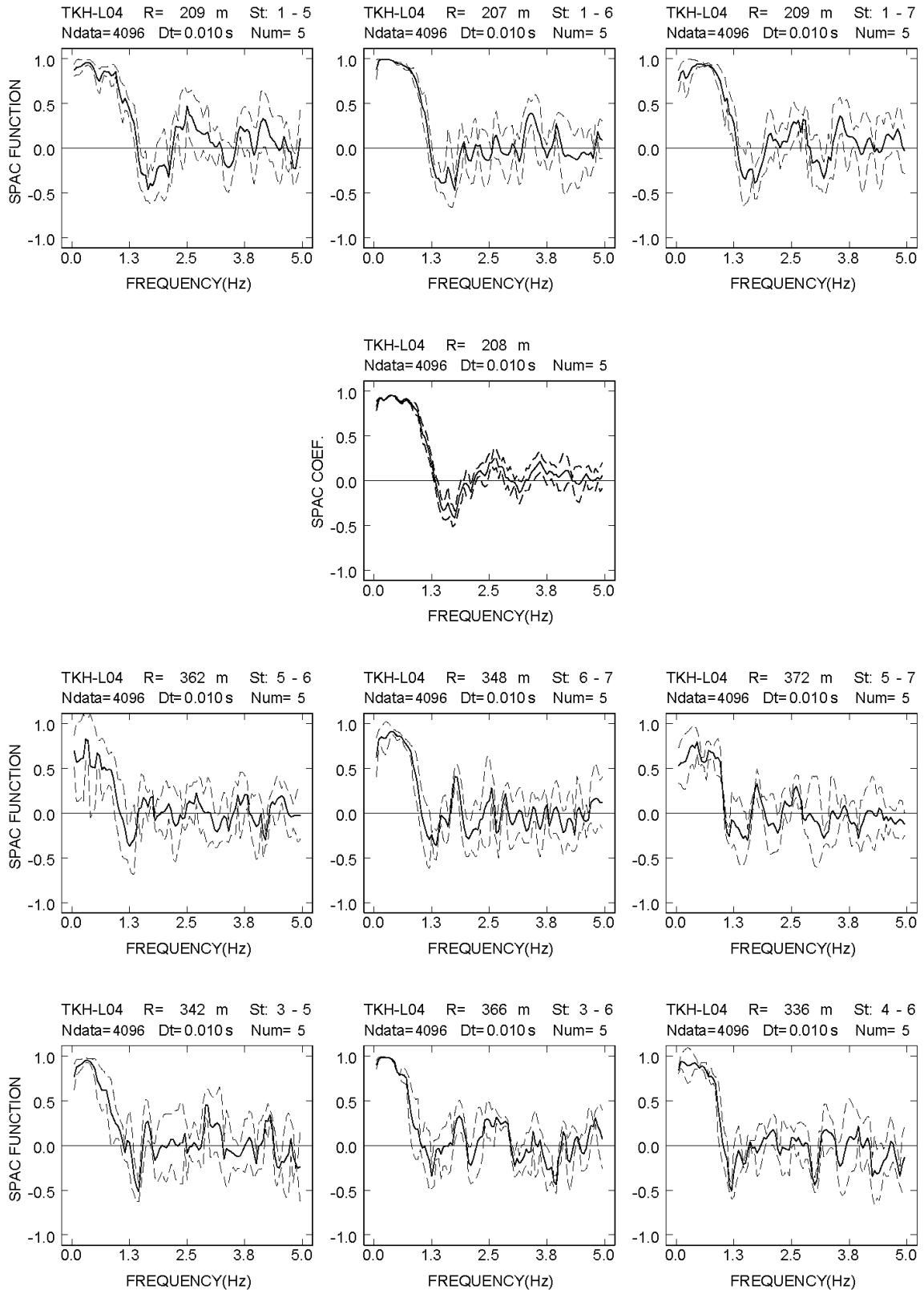
付図 2-7a-(7) 高萩 L アレイにおける各地震計間隔での空間自己相関係数



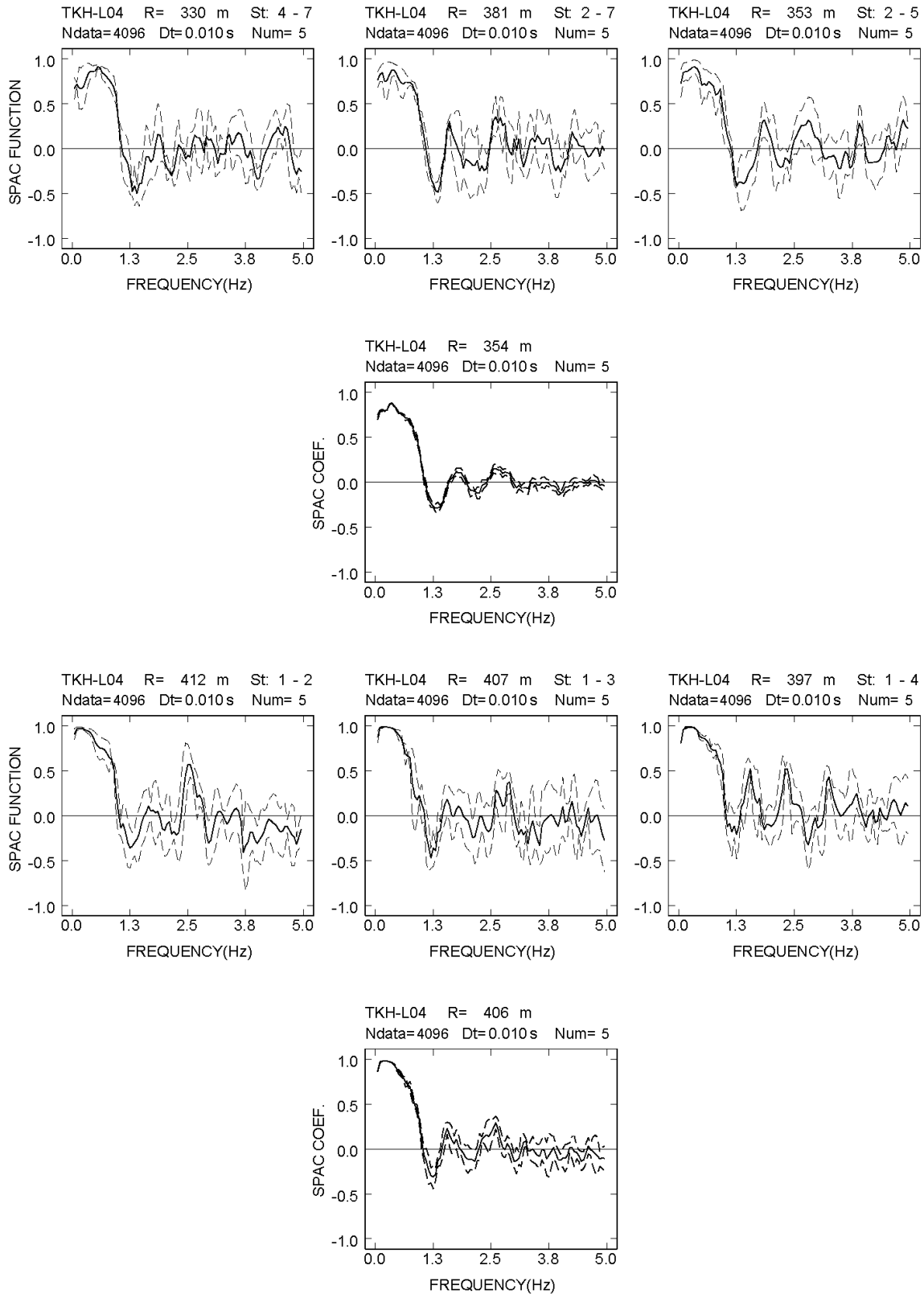
付図 2-7a-(8) 高萩 L アレイにおける各地震計間隔での空間自己相関係数



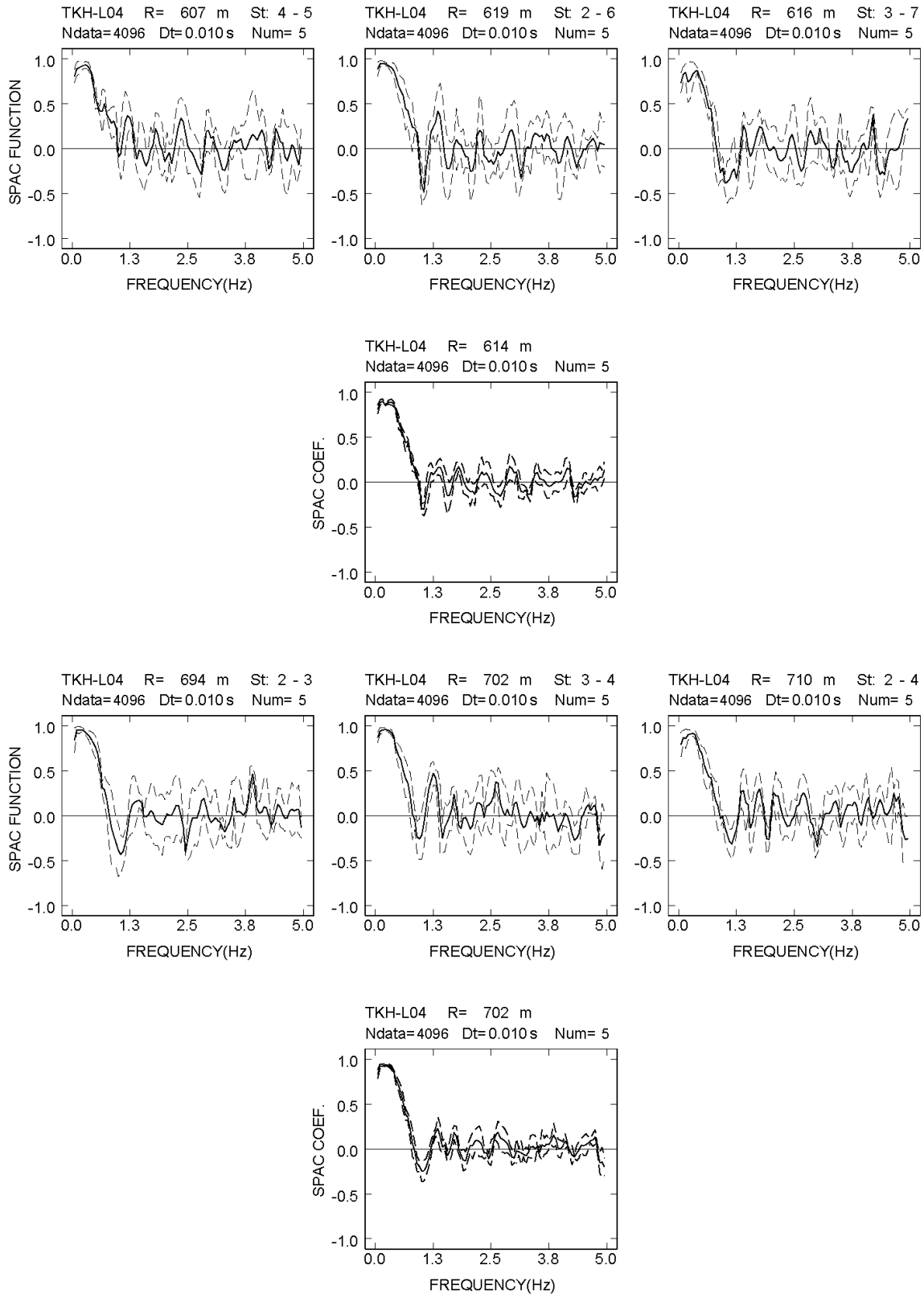
付図 2-7a-(9) 高萩 L アレイにおける各地震計間隔での空間自己相関係数



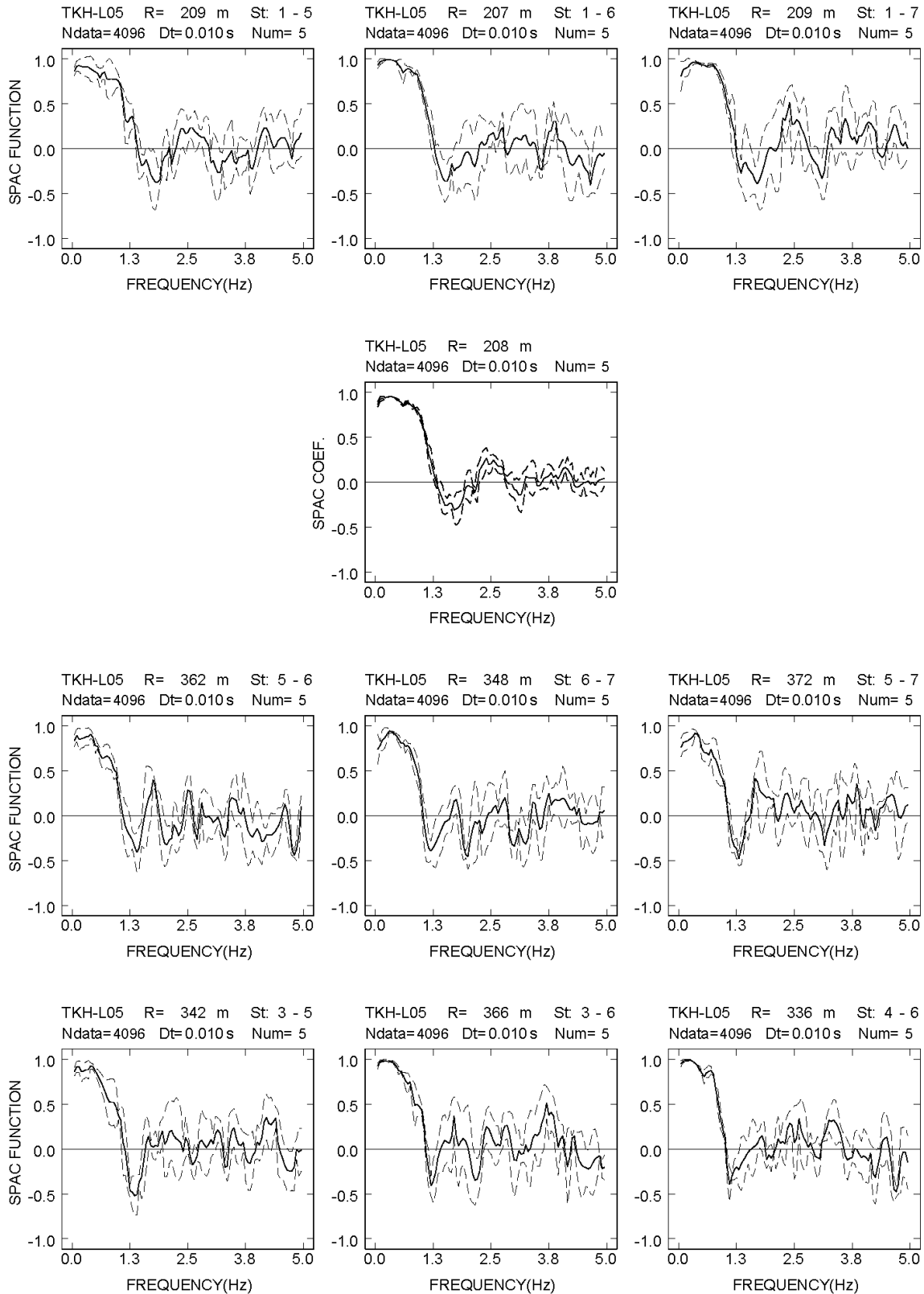
付図 2-7a-(10) 高萩 L アレイにおける各地震計間隔での空間自己相関係数



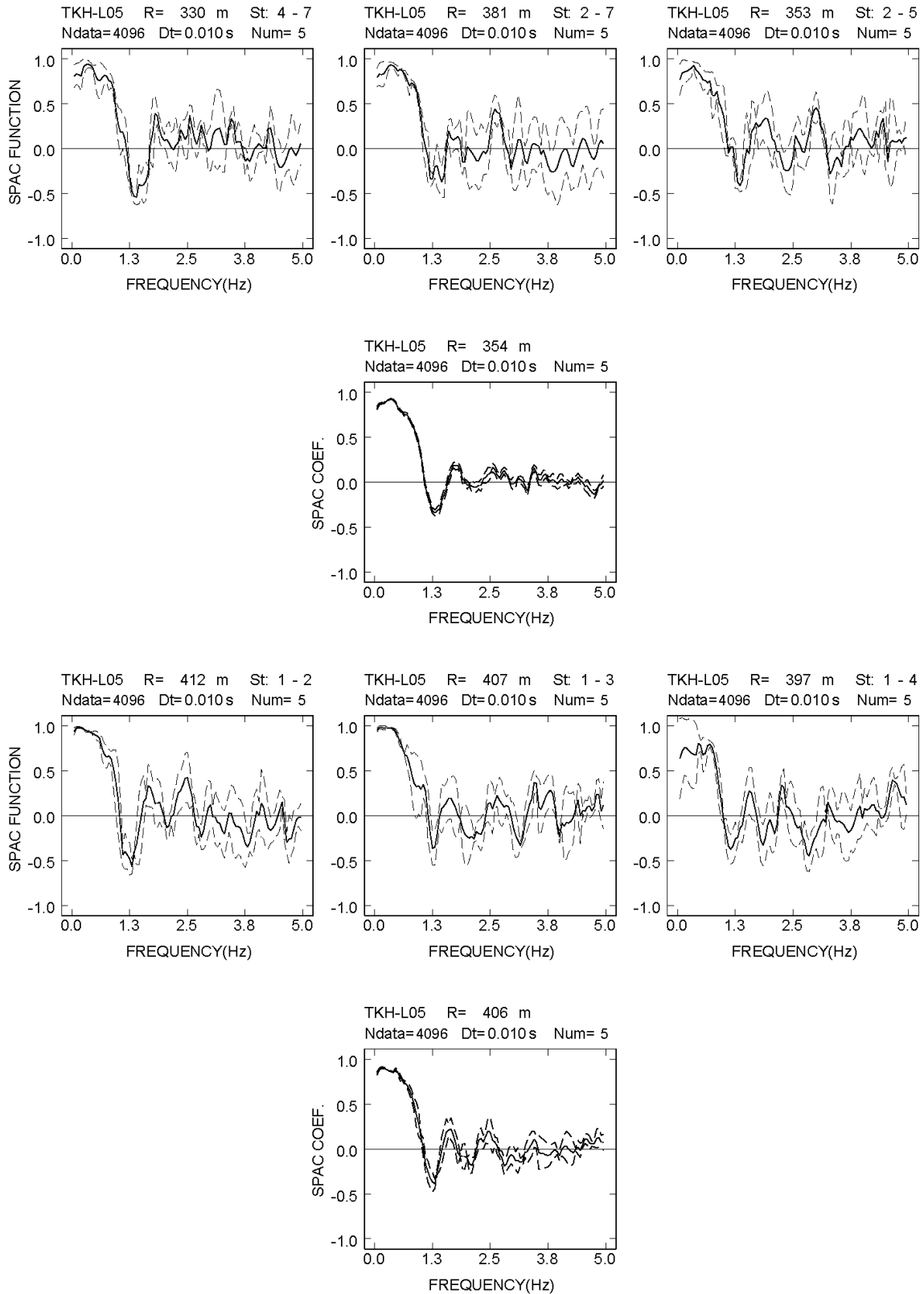
付図 2-7a-(11) 高萩 L アレイにおける各地震計間隔での空間自己相関係数



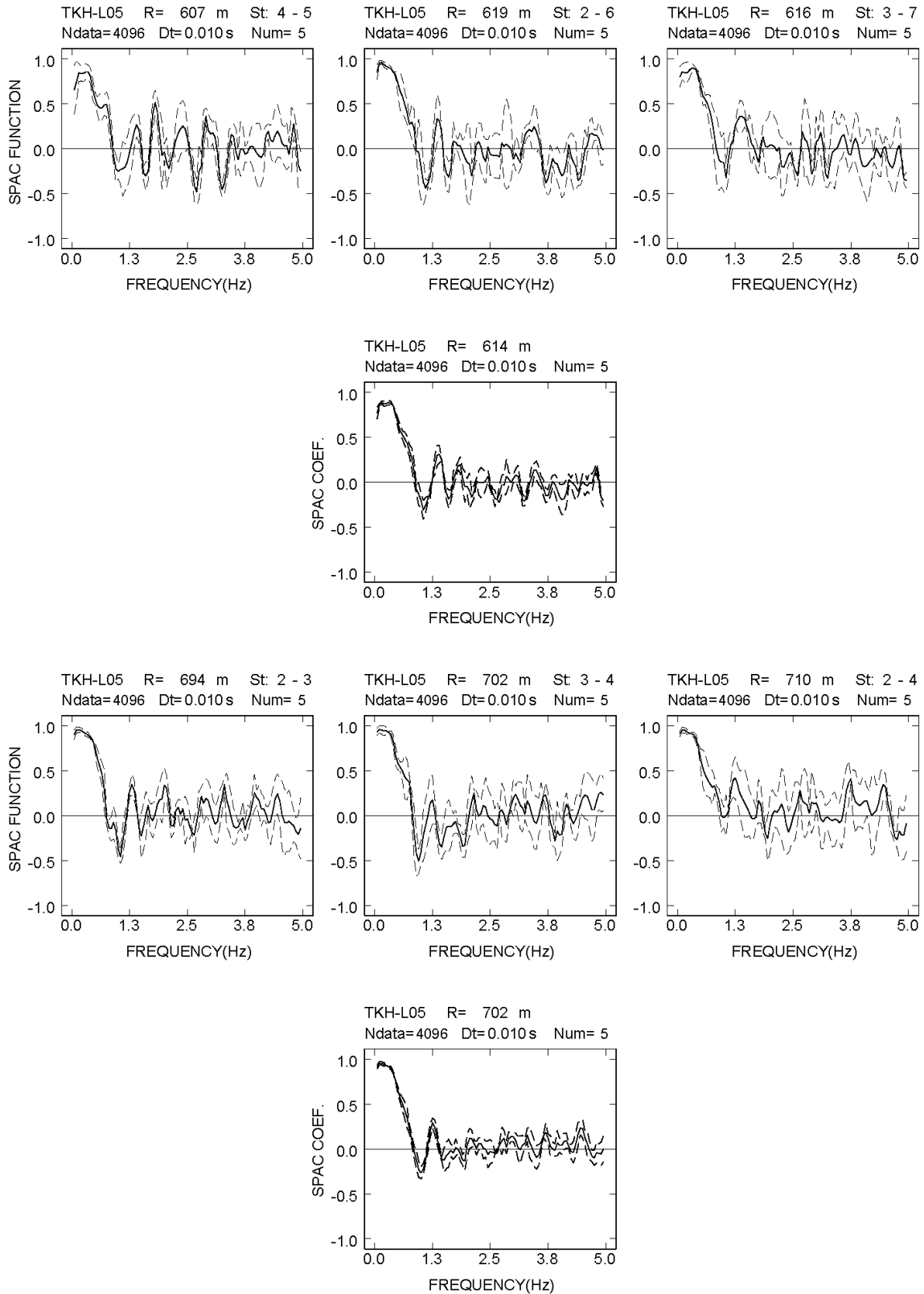
付図 2-7a-(12) 高萩 L アレイにおける各地震計間隔での空間自己相関係数



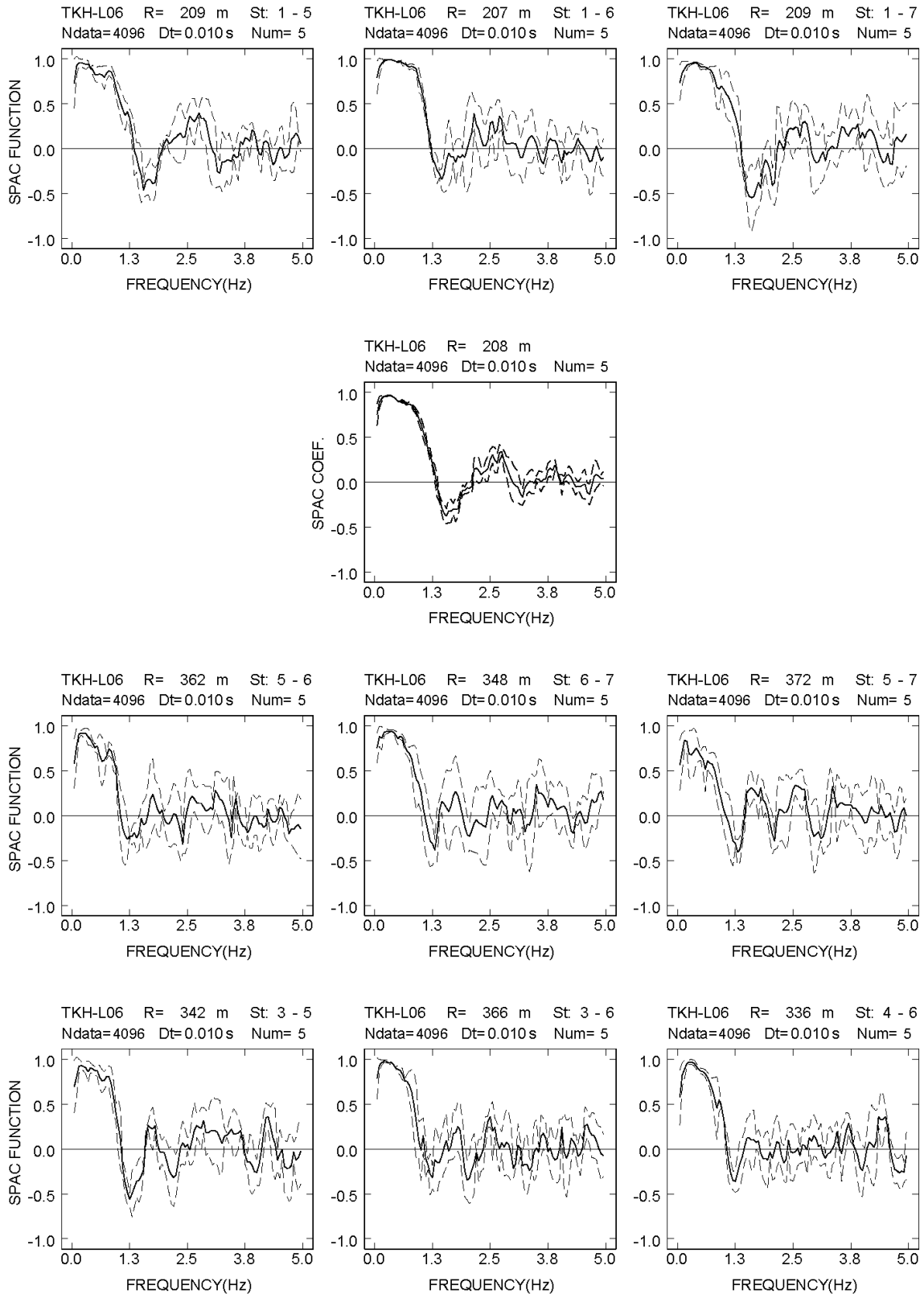
付図 2-7a-(13) 高萩 L アレイにおける各地震計間隔での空間自己相関係数



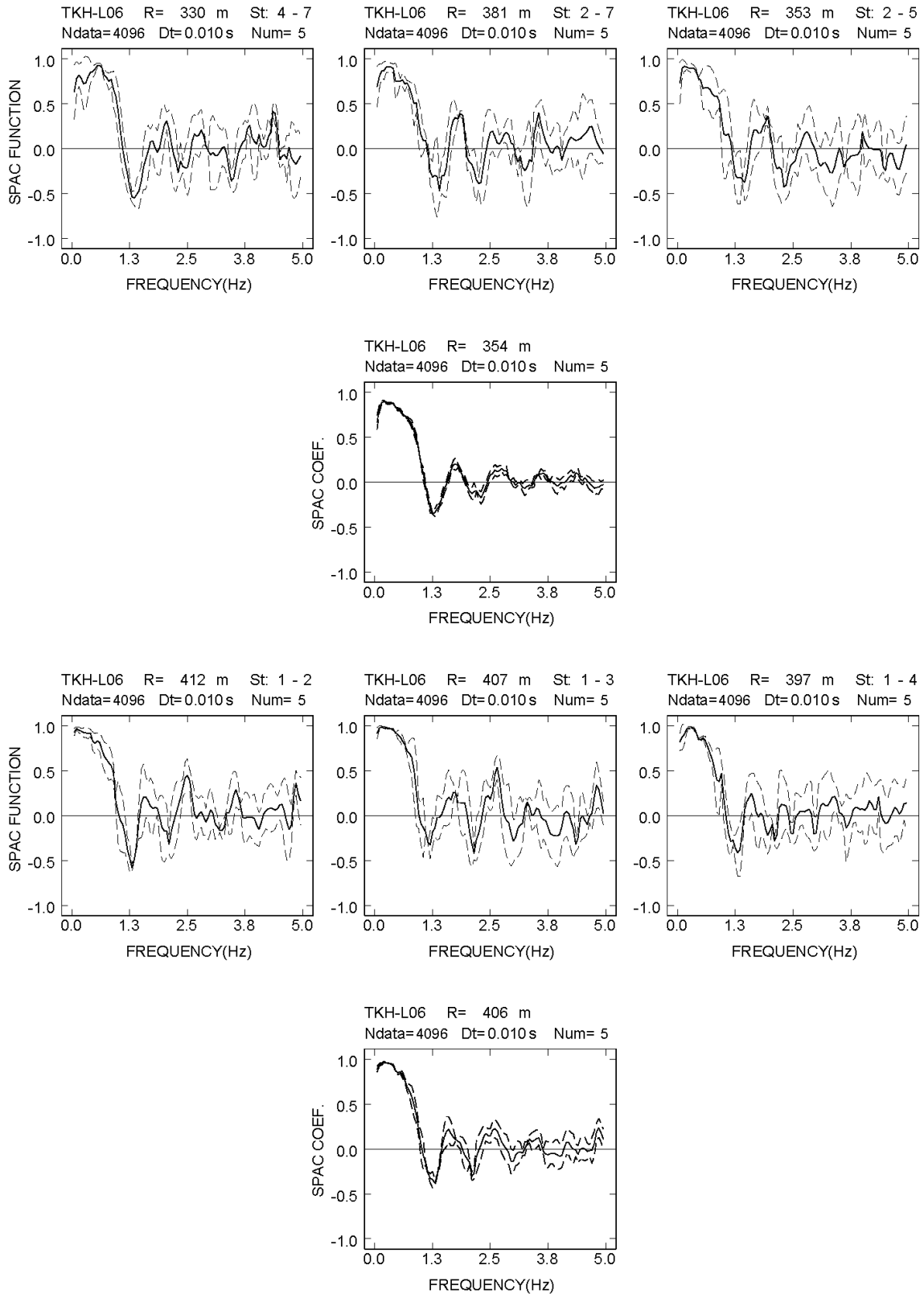
付図 2-7a-(14) 高萩 L アレイにおける各地震計間隔での空間自己相関係数



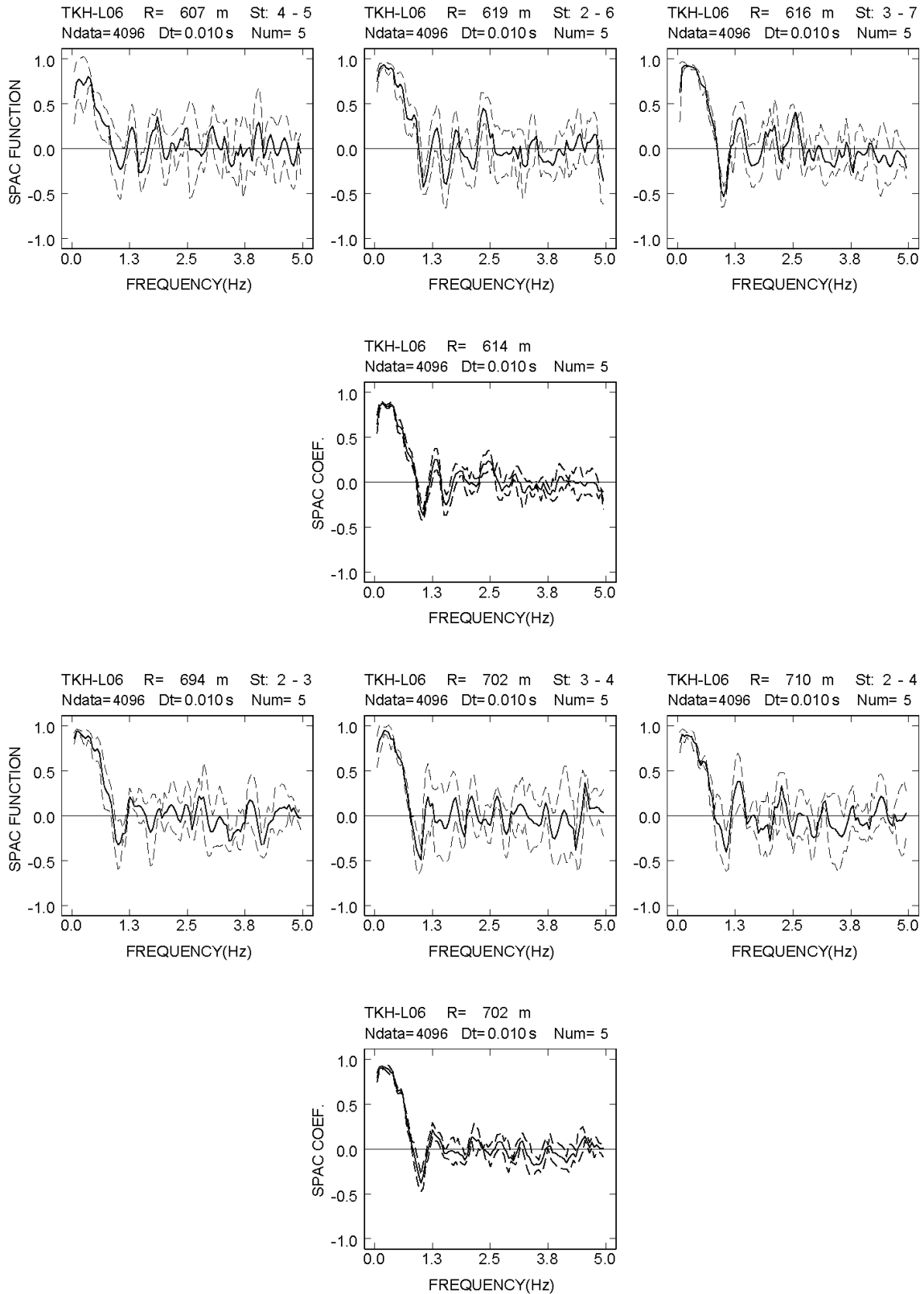
付図 2-7a-(15) 高萩 L アレイにおける各地震計間隔での空間自己相関係数



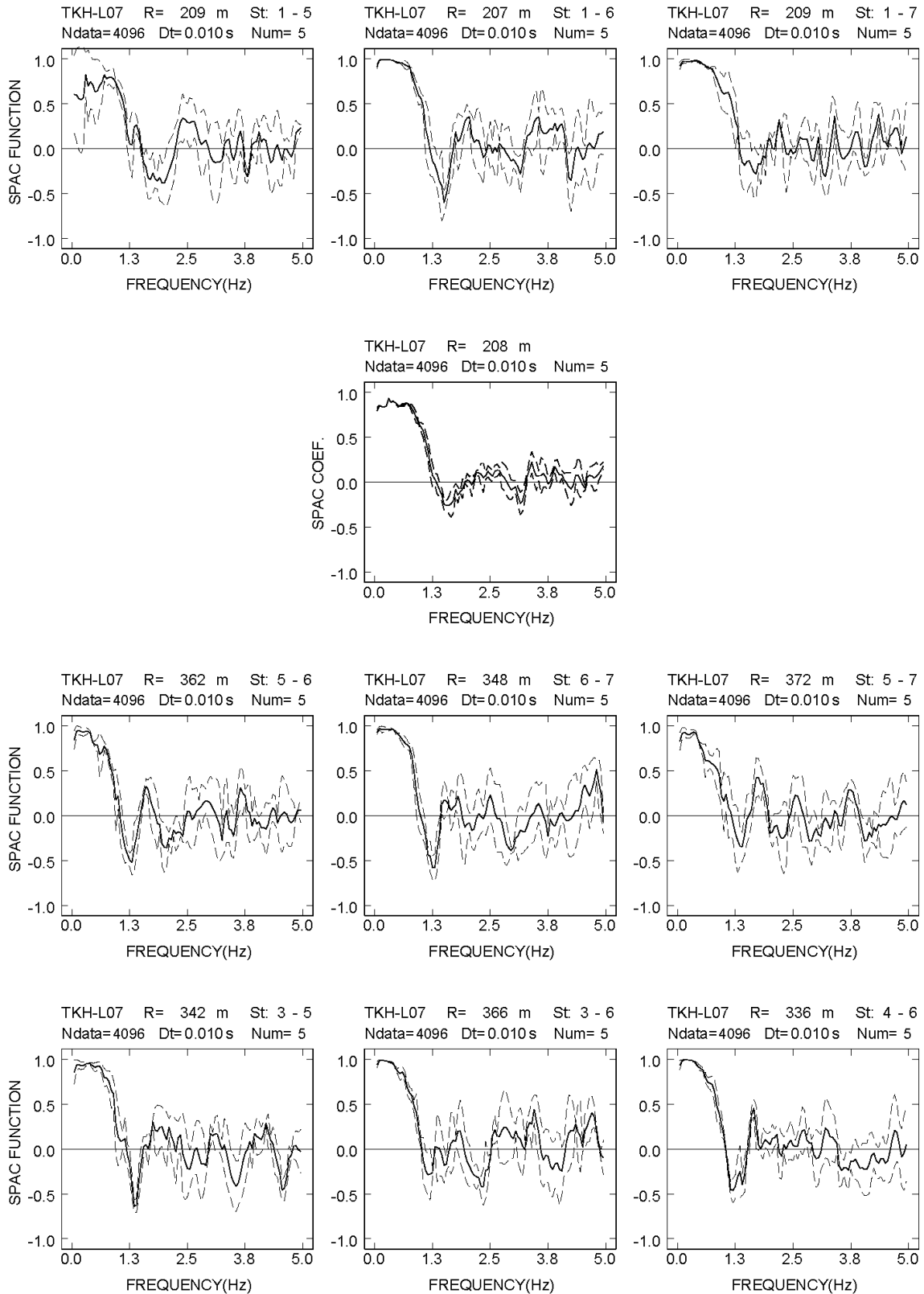
付図 2-7a-(16) 高萩 L アレイにおける各地震計間隔での空間自己相関係数



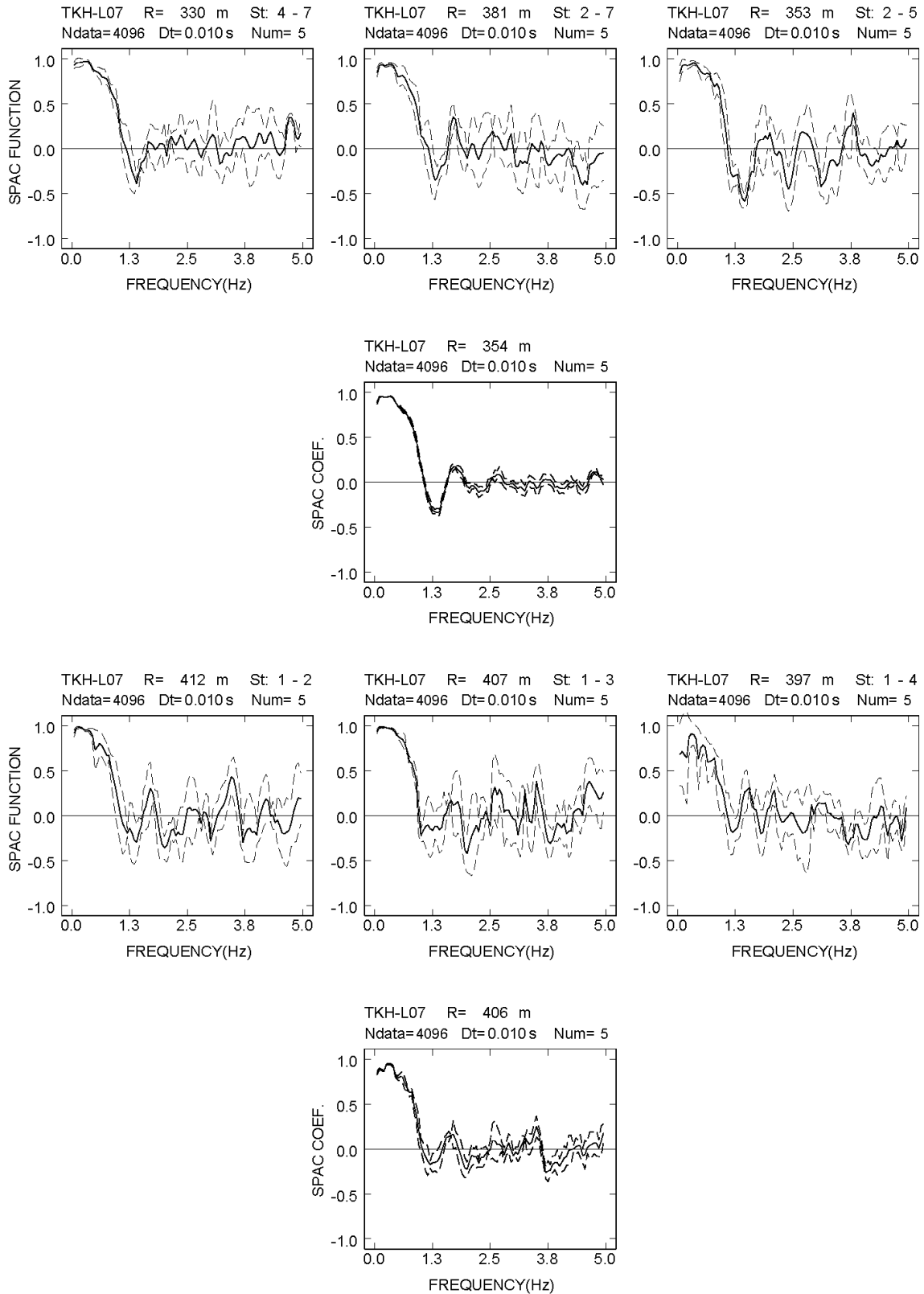
付図 2-7a-(17) 高萩 L アレイにおける各地震計間隔での空間自己相関係数



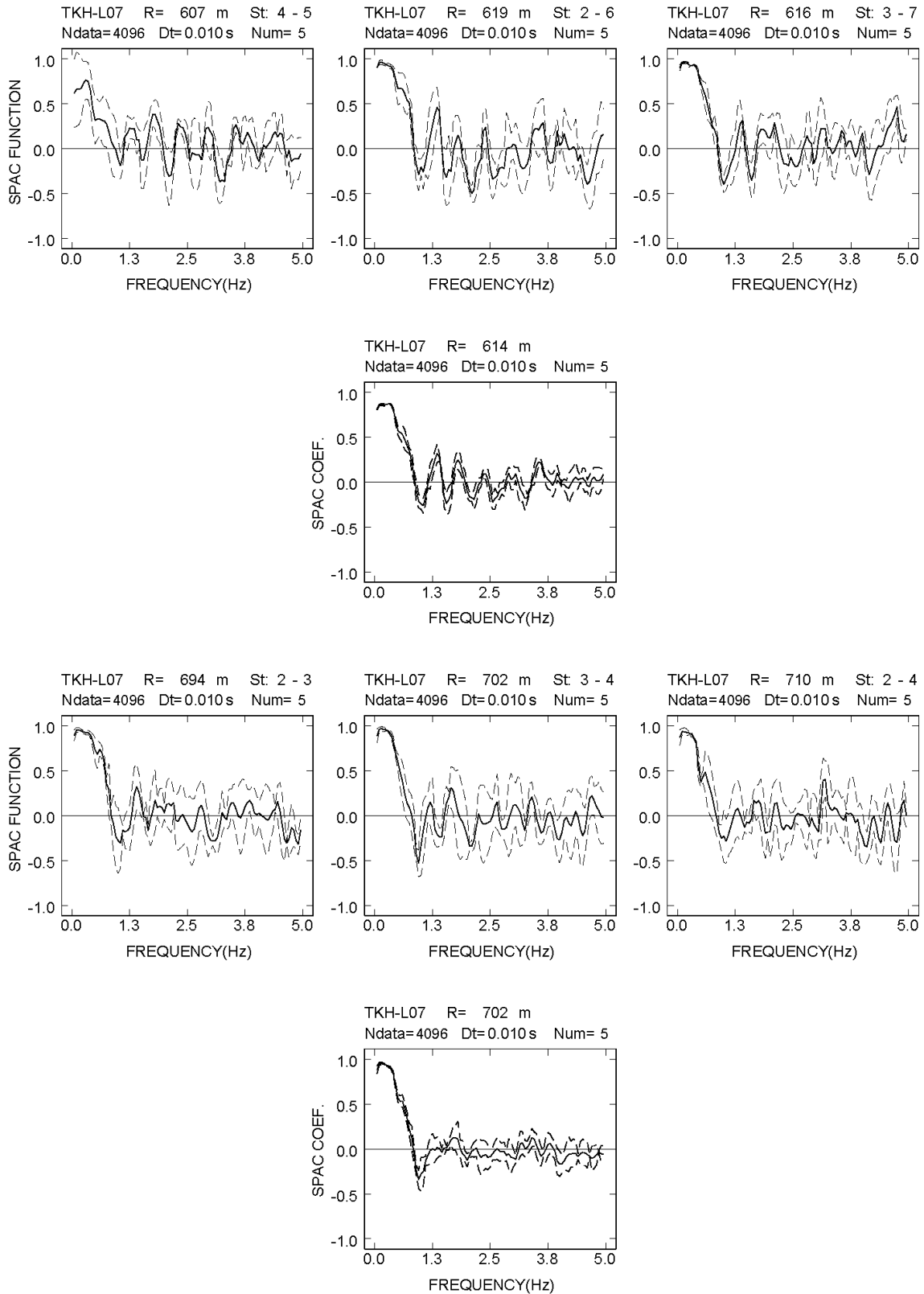
付図 2-7a-(18) 高萩 L アレイにおける各地震計間隔での空間自己相関係数



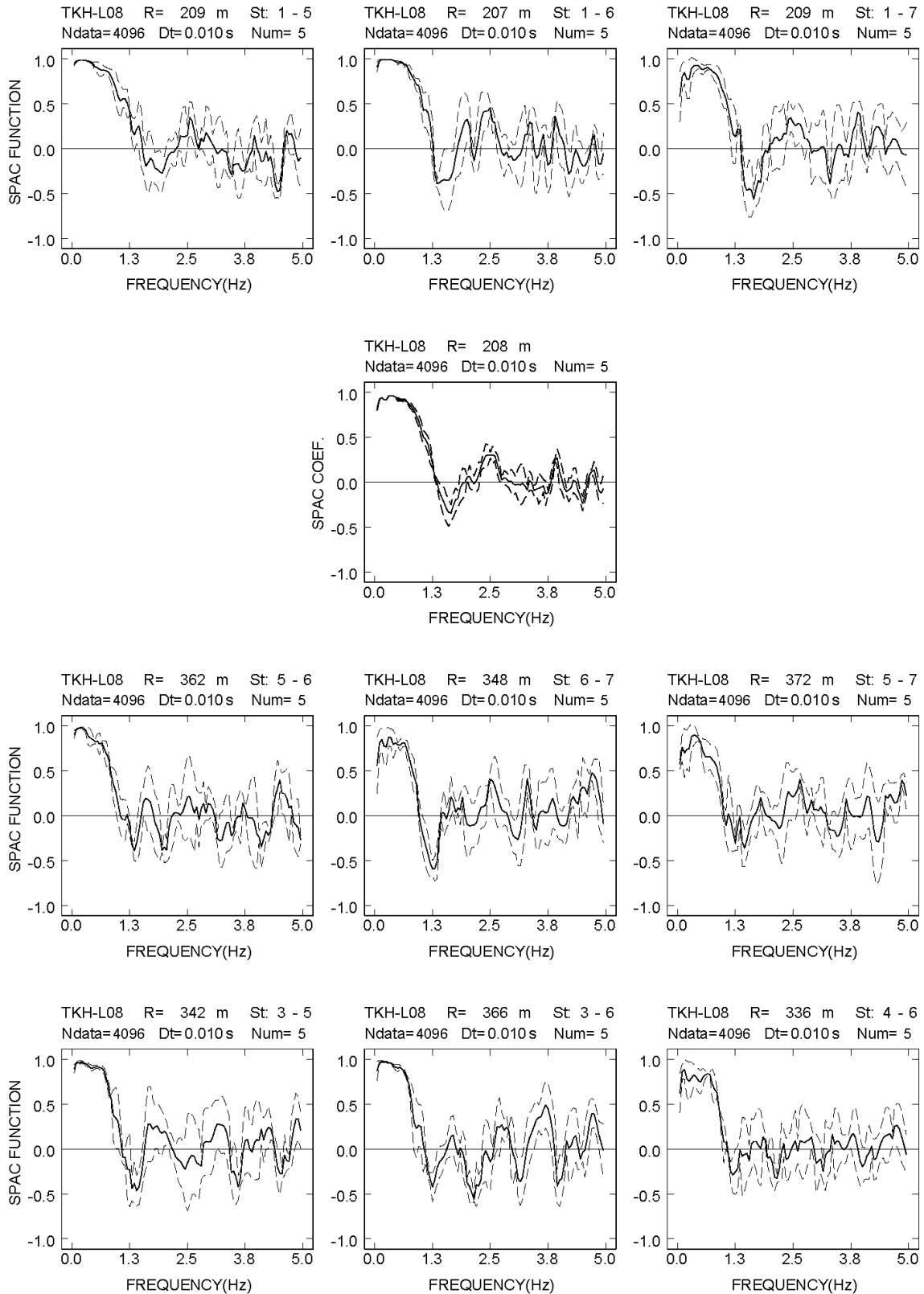
付図 2-7a-(19) 高萩 L アレイにおける各地震計間隔での空間自己相関係数



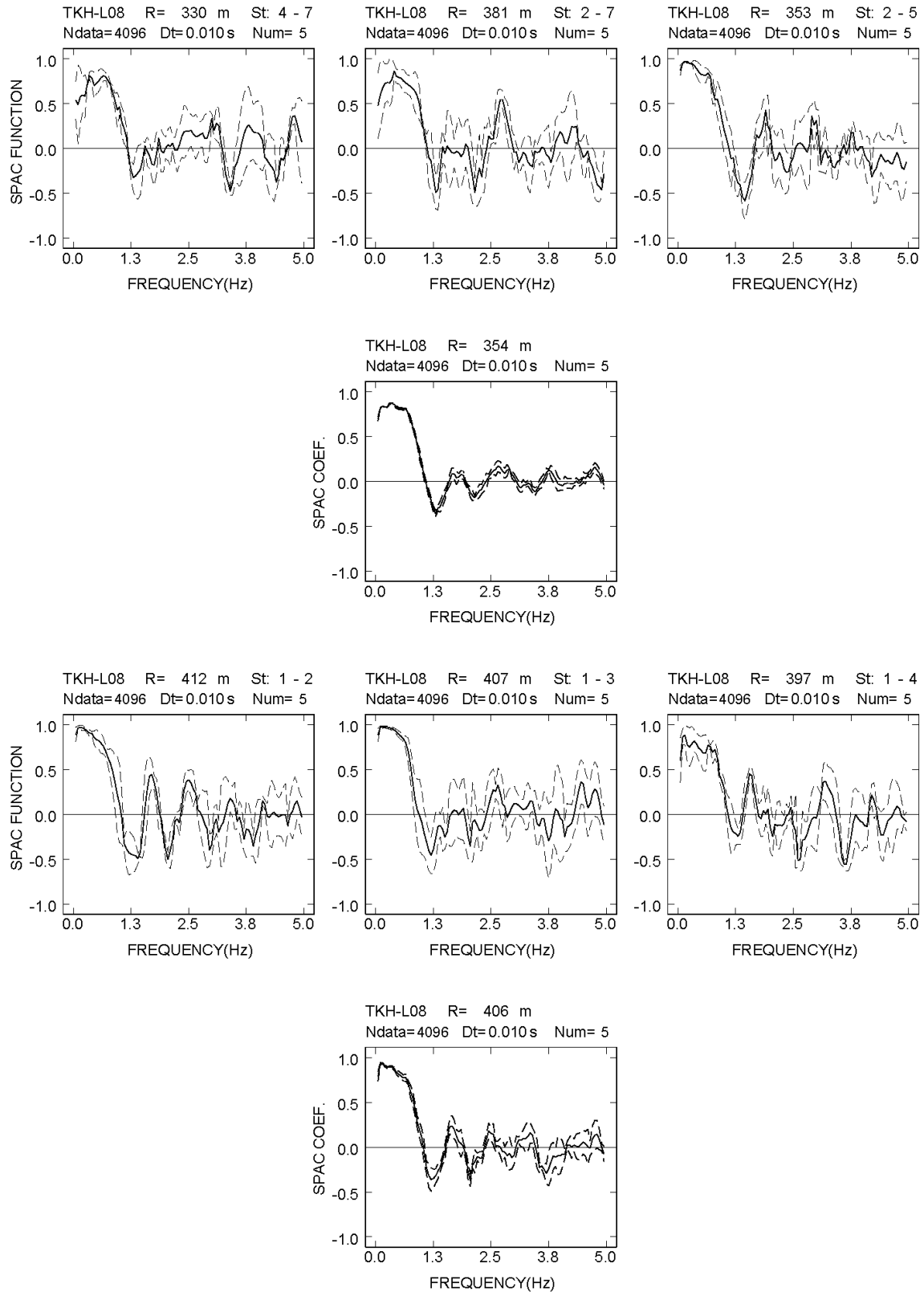
付図 2-7a-(20) 高萩 L アレイにおける各地震計間隔での空間自己相関係数



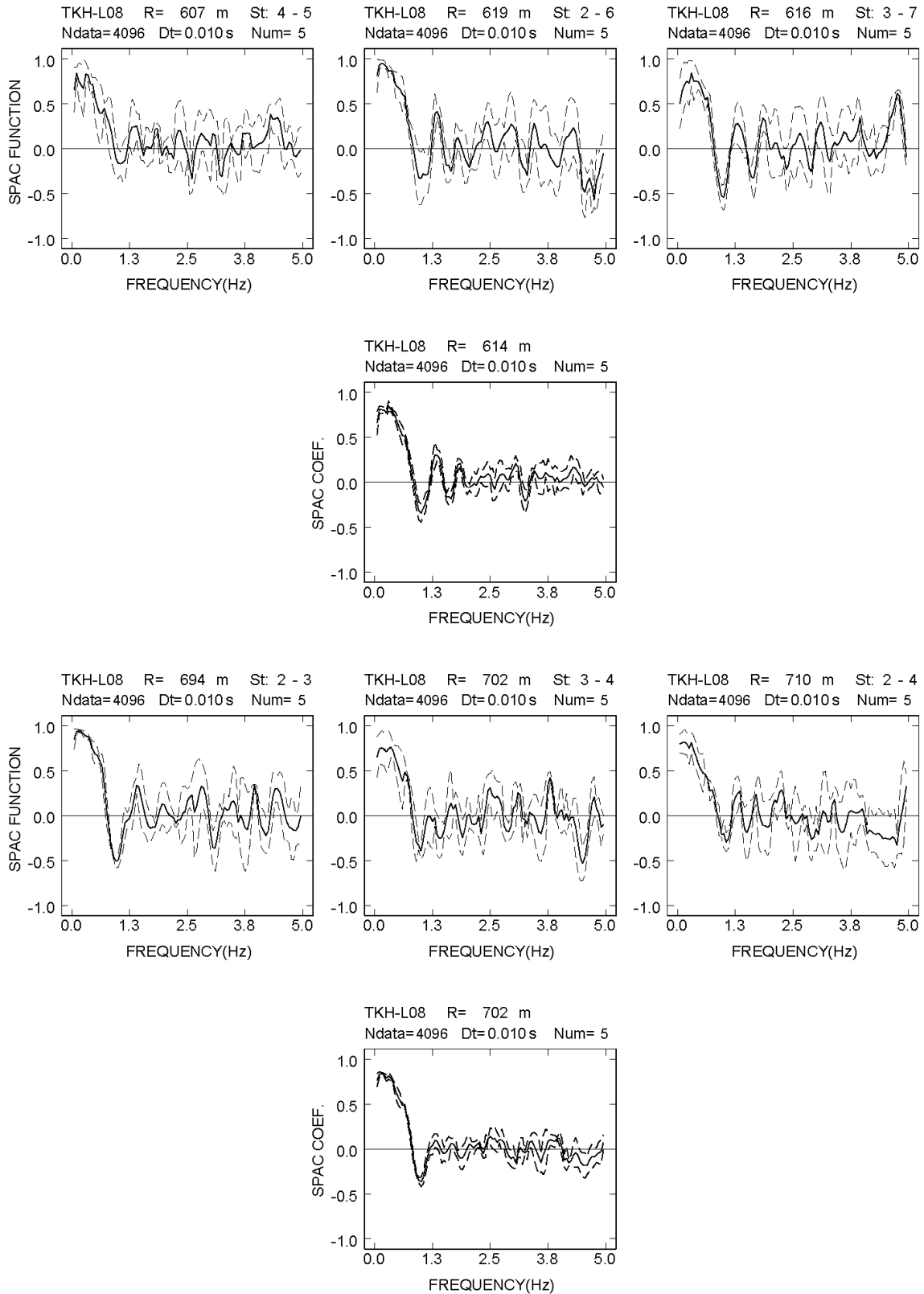
付図 2-7a-(21) 高萩 L アレイにおける各地震計間隔での空間自己相関係数



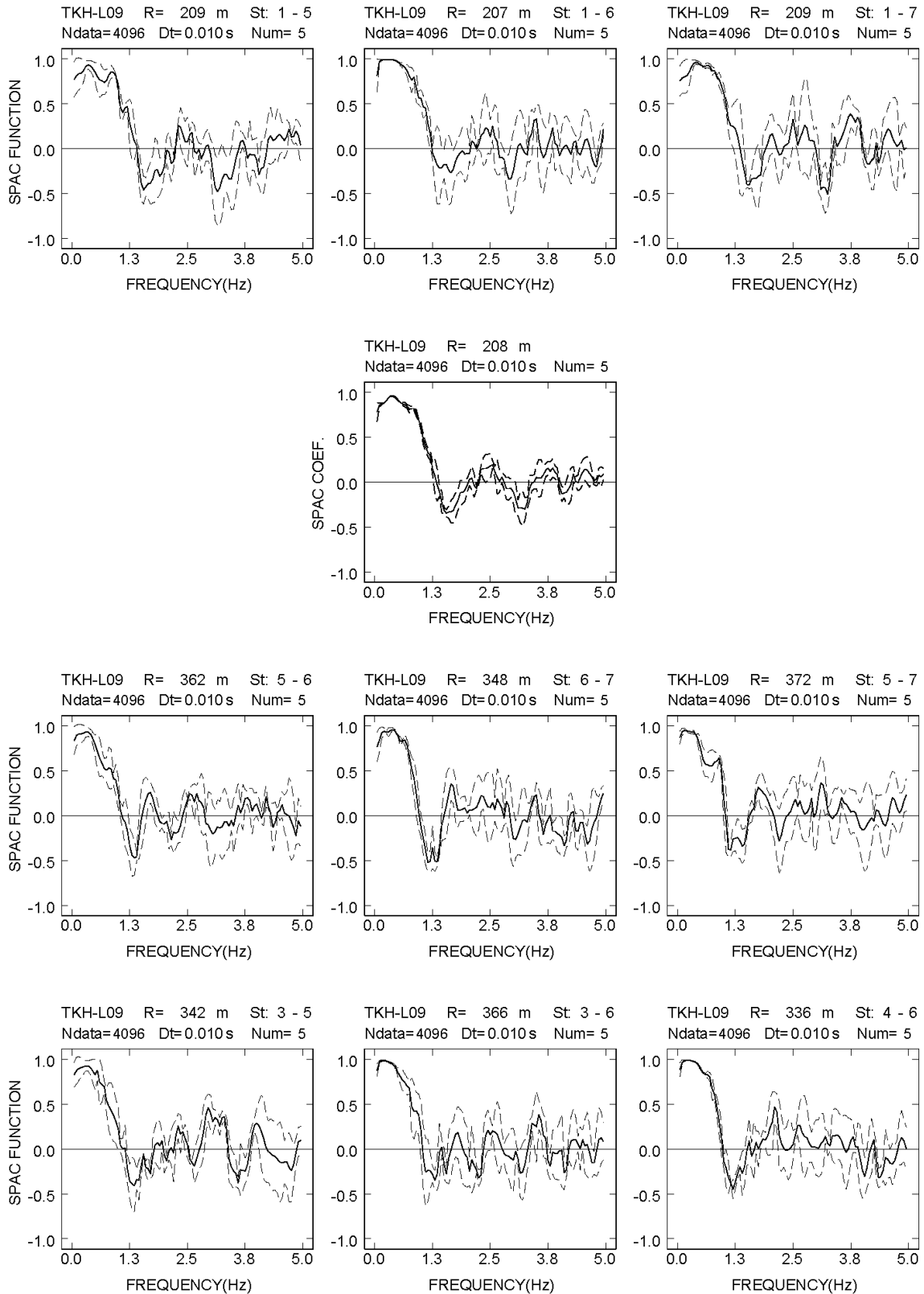
付図 2-7a-(22) 高萩 L アレイにおける各地震計間隔での空間自己相関係数



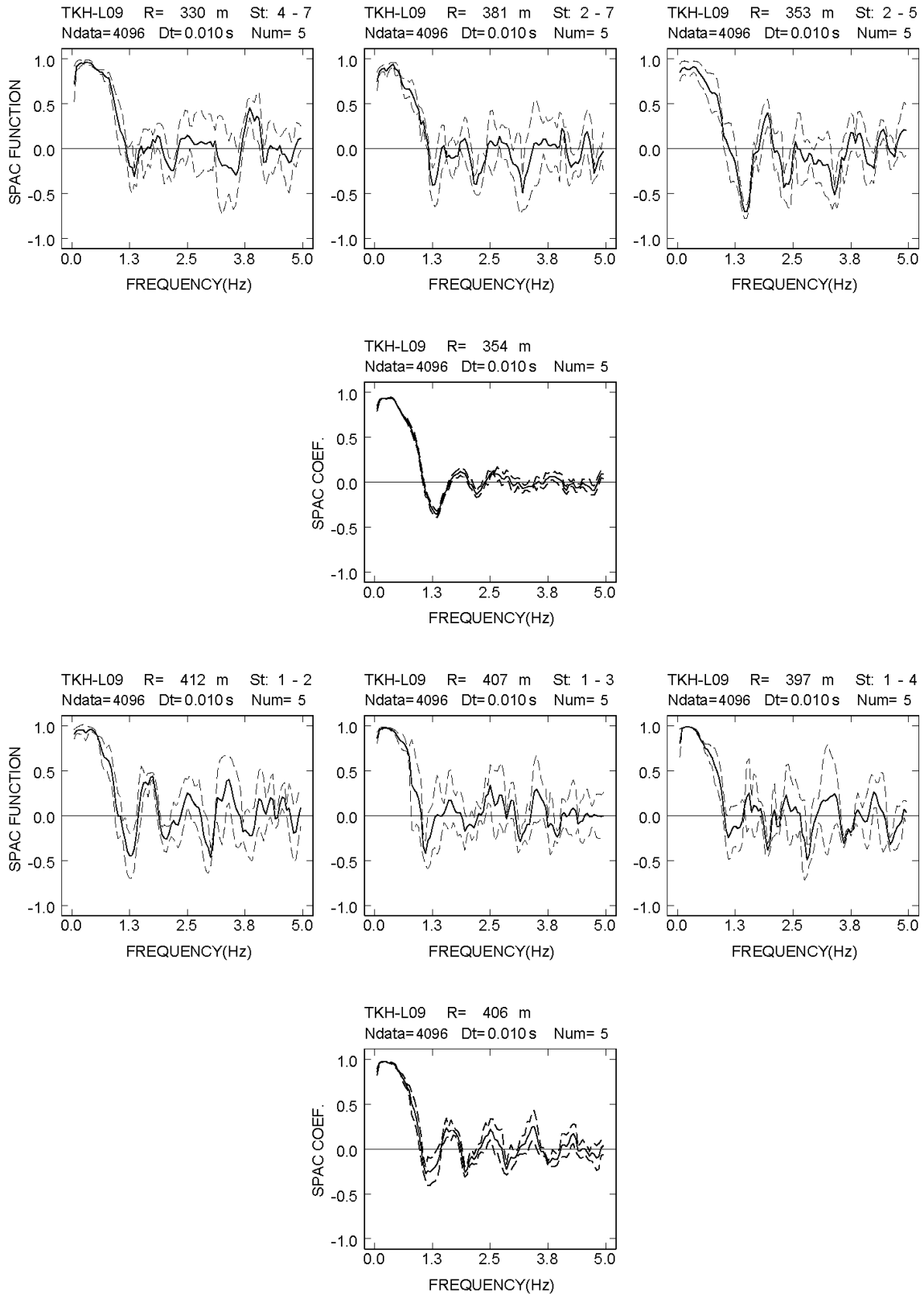
付図 2-7a-(23) 高萩 L アレイにおける各地震計間隔での空間自己相関係数



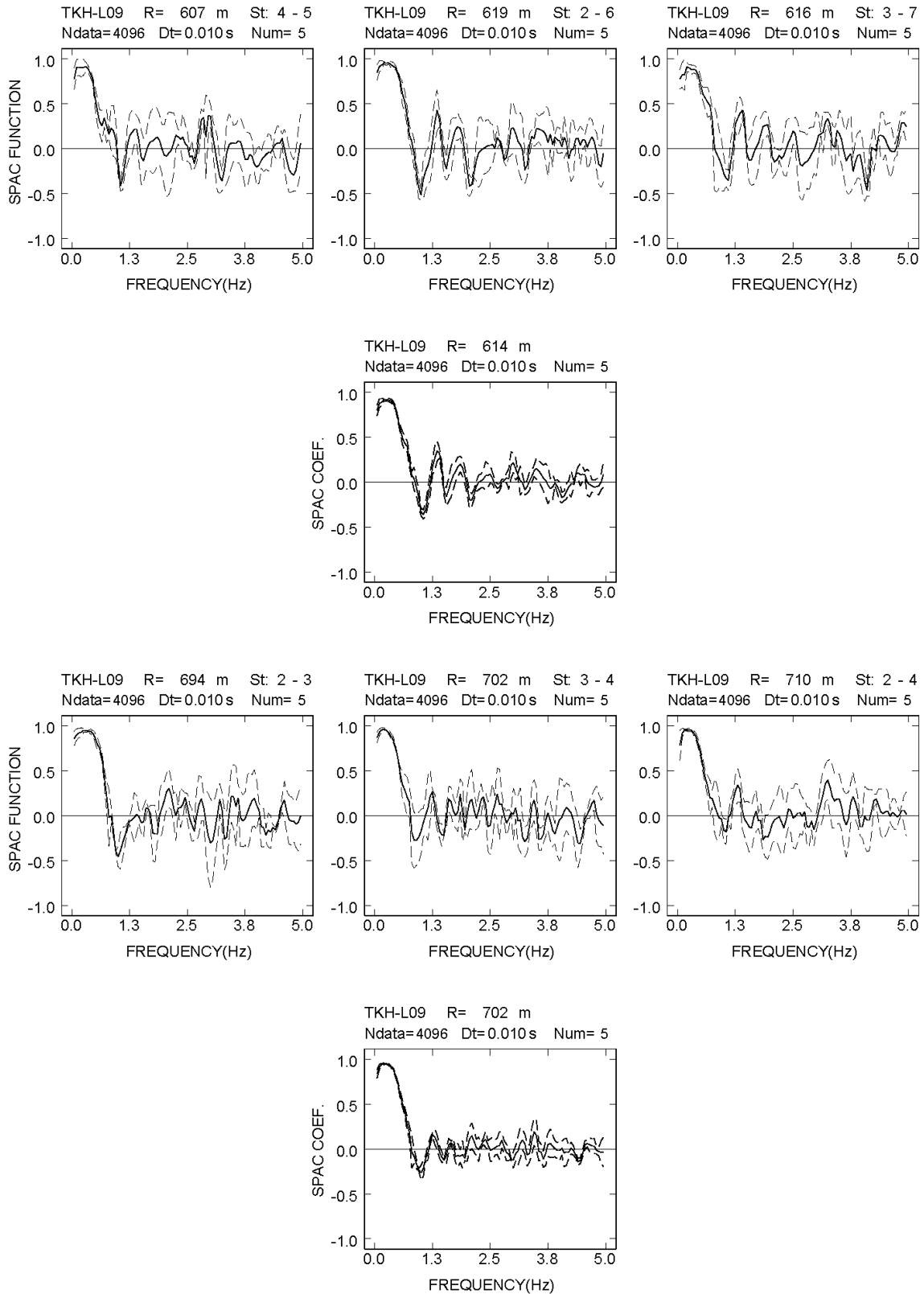
付図 2-7a-(24) 高萩 L アレイにおける各地震計間隔での空間自己相関係数



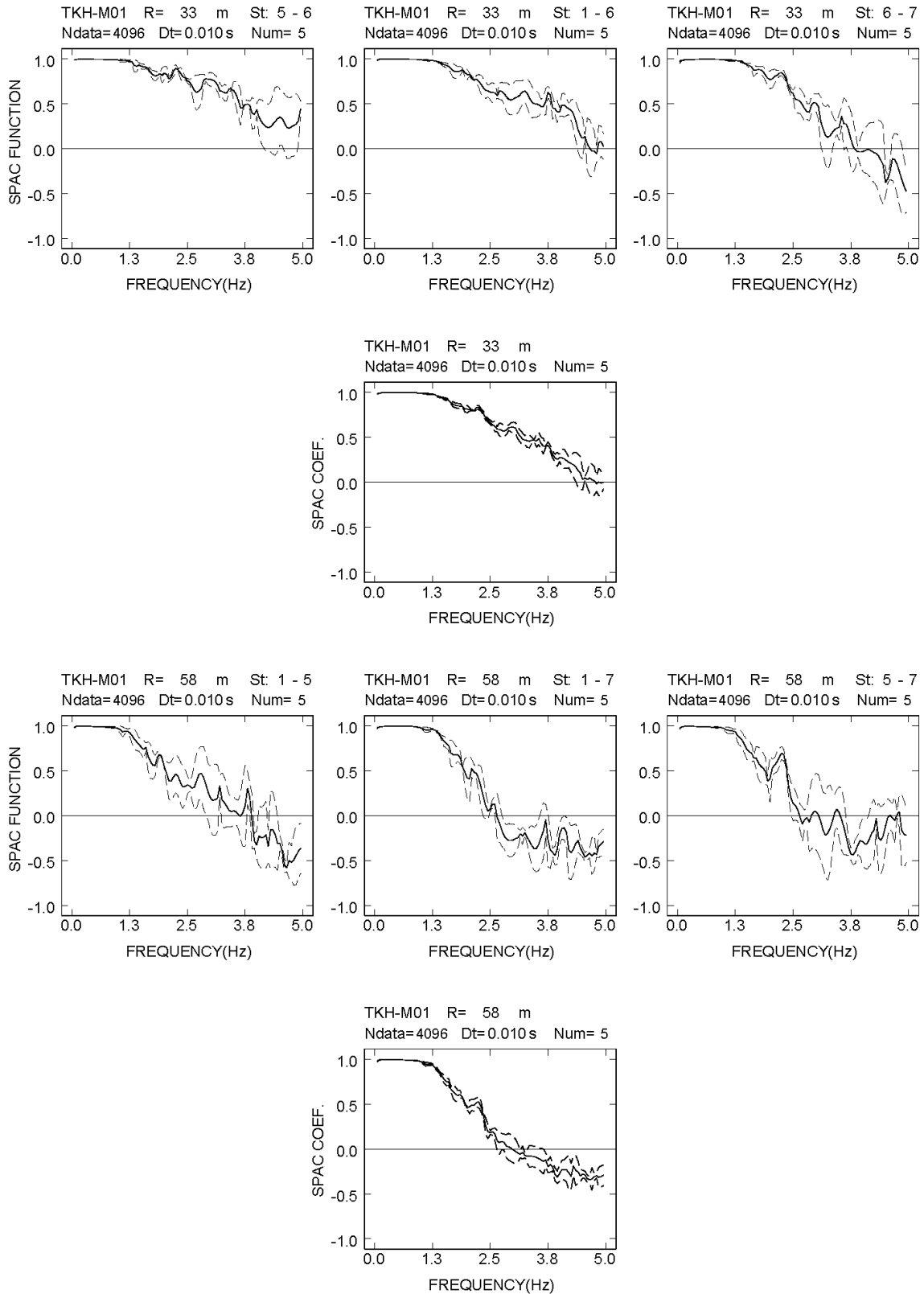
付図 2-7a-(25) 高萩 L アレイにおける各地震計間隔での空間自己相関係数



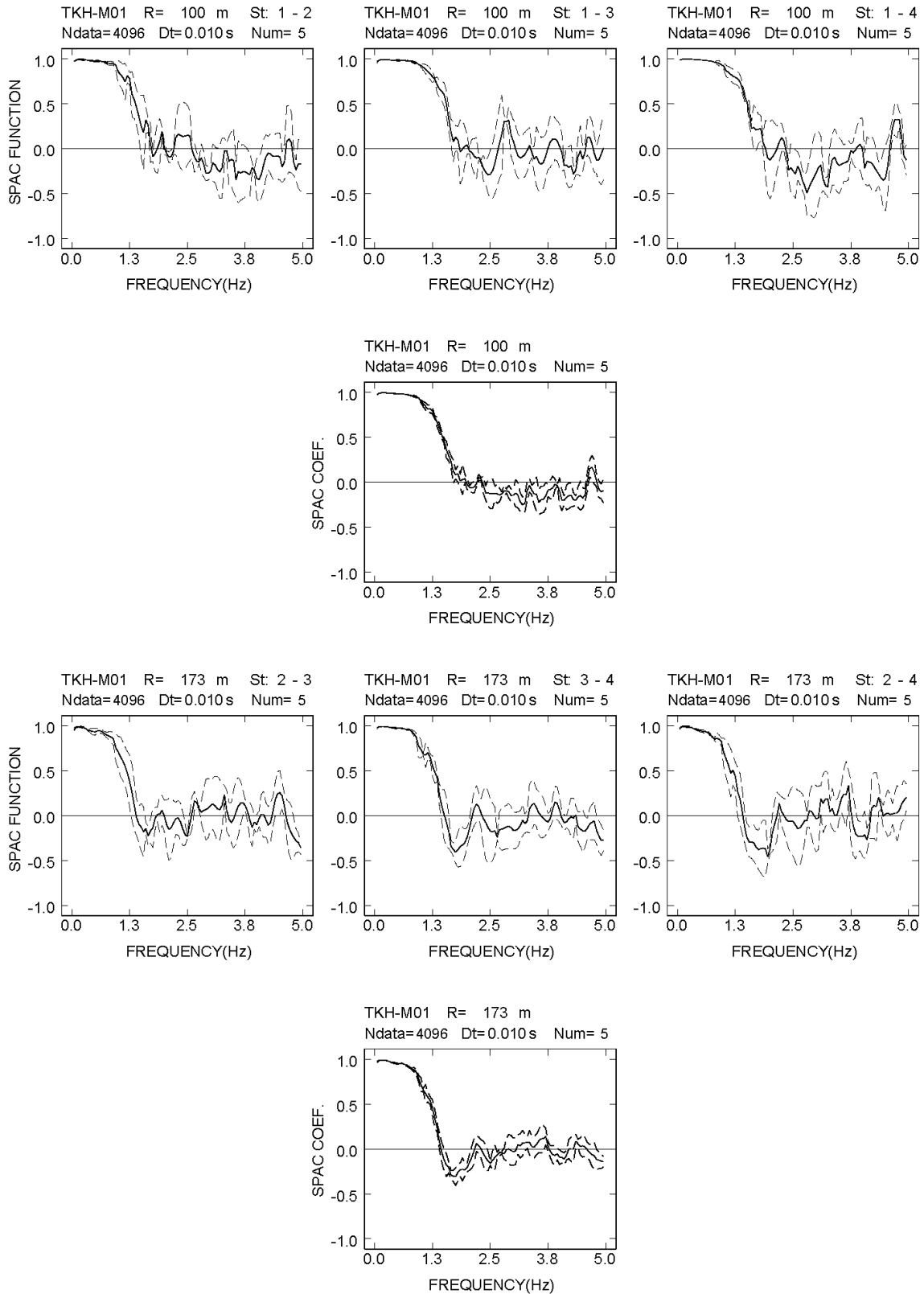
付図 2-7a-(26) 高萩 L アレイにおける各地震計間隔での空間自己相関係数



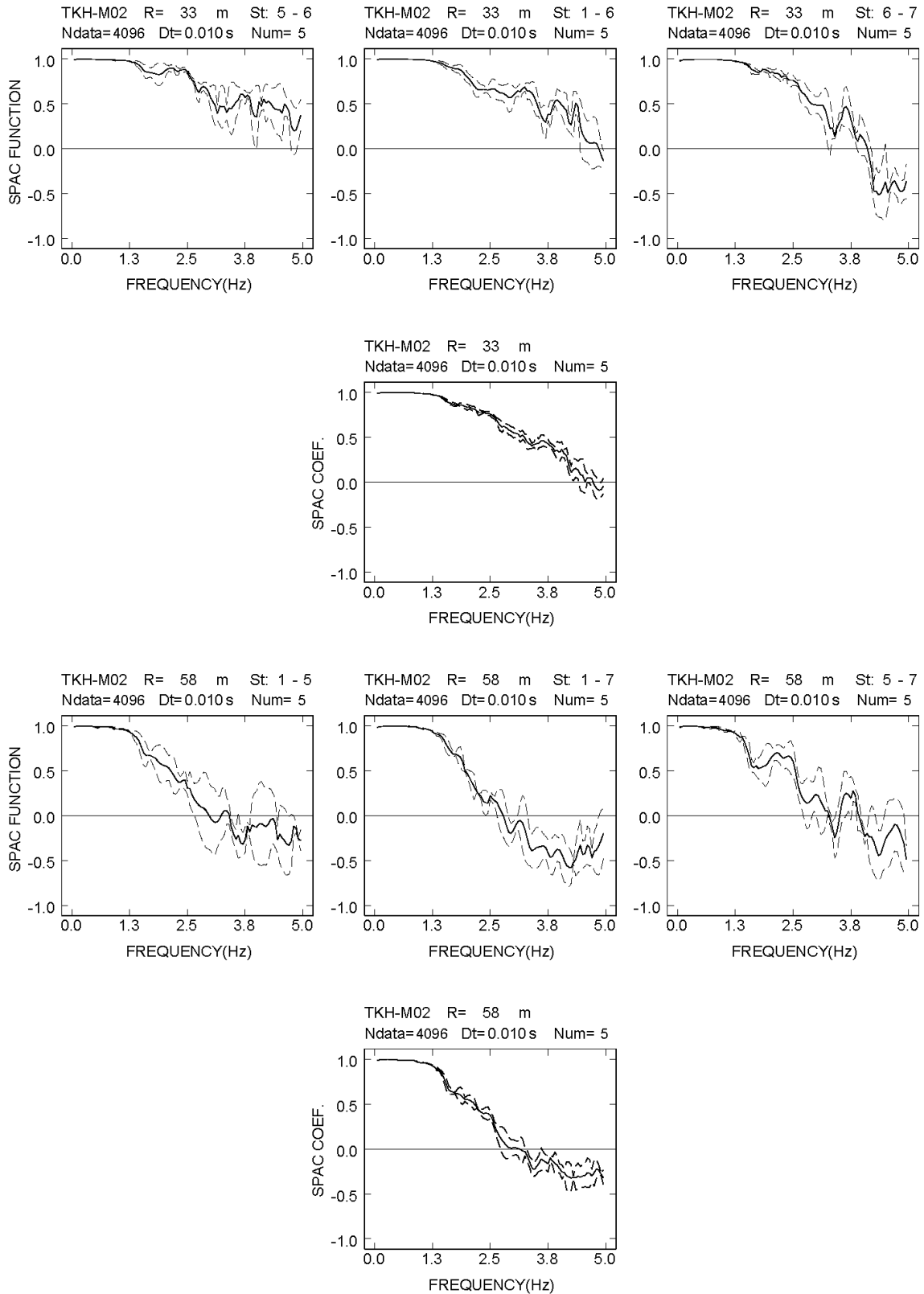
付図 2-7a-(27) 高萩 L アレイにおける各地震計間隔での空間自己相関係数



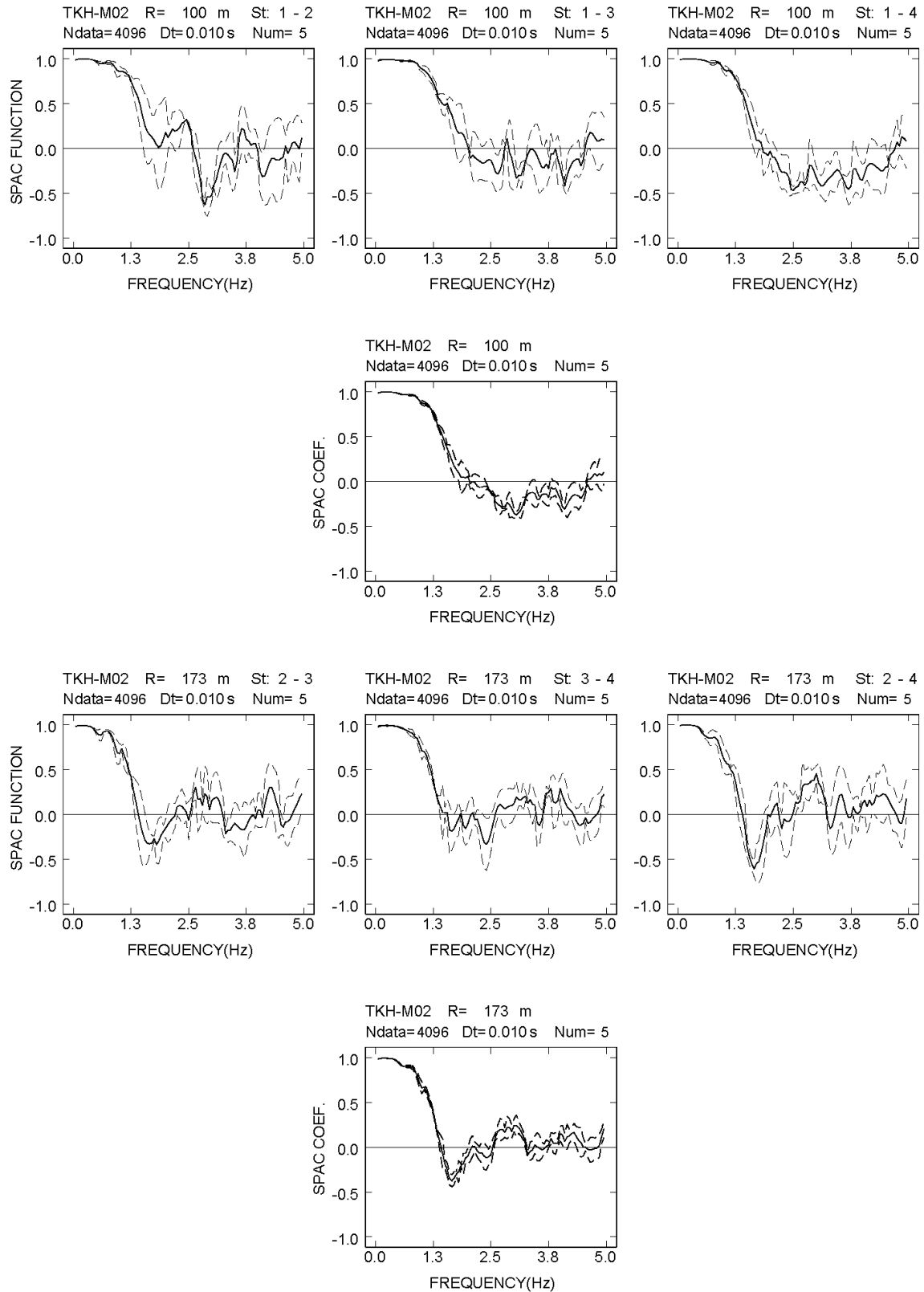
付図 2-8a-(1) 高萩 M アレイにおける各地震計間隔での空間自己相関係数



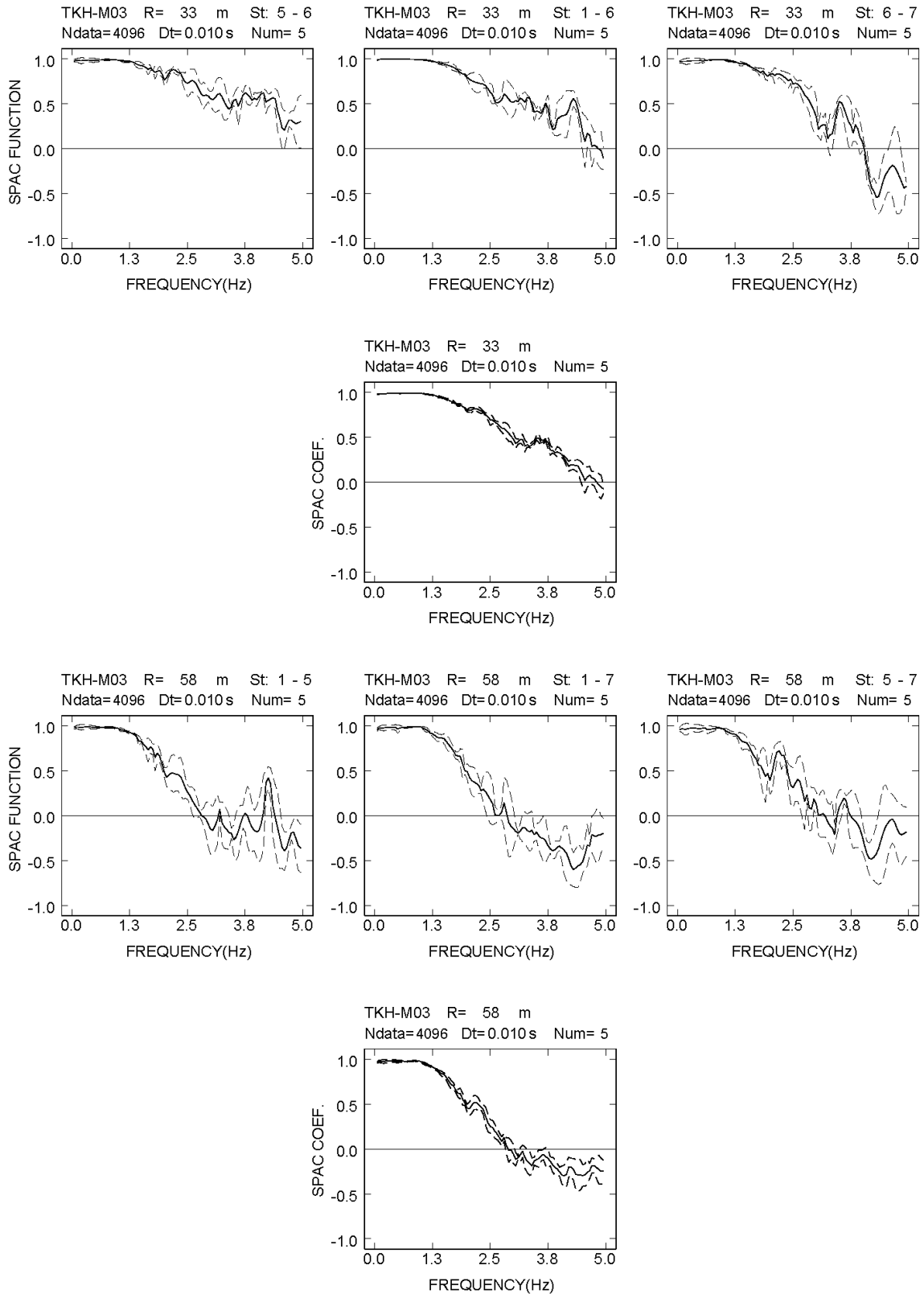
付図 2-8a-(2) 高萩 M アレイにおける各地震計間隔での空間自己相関係数



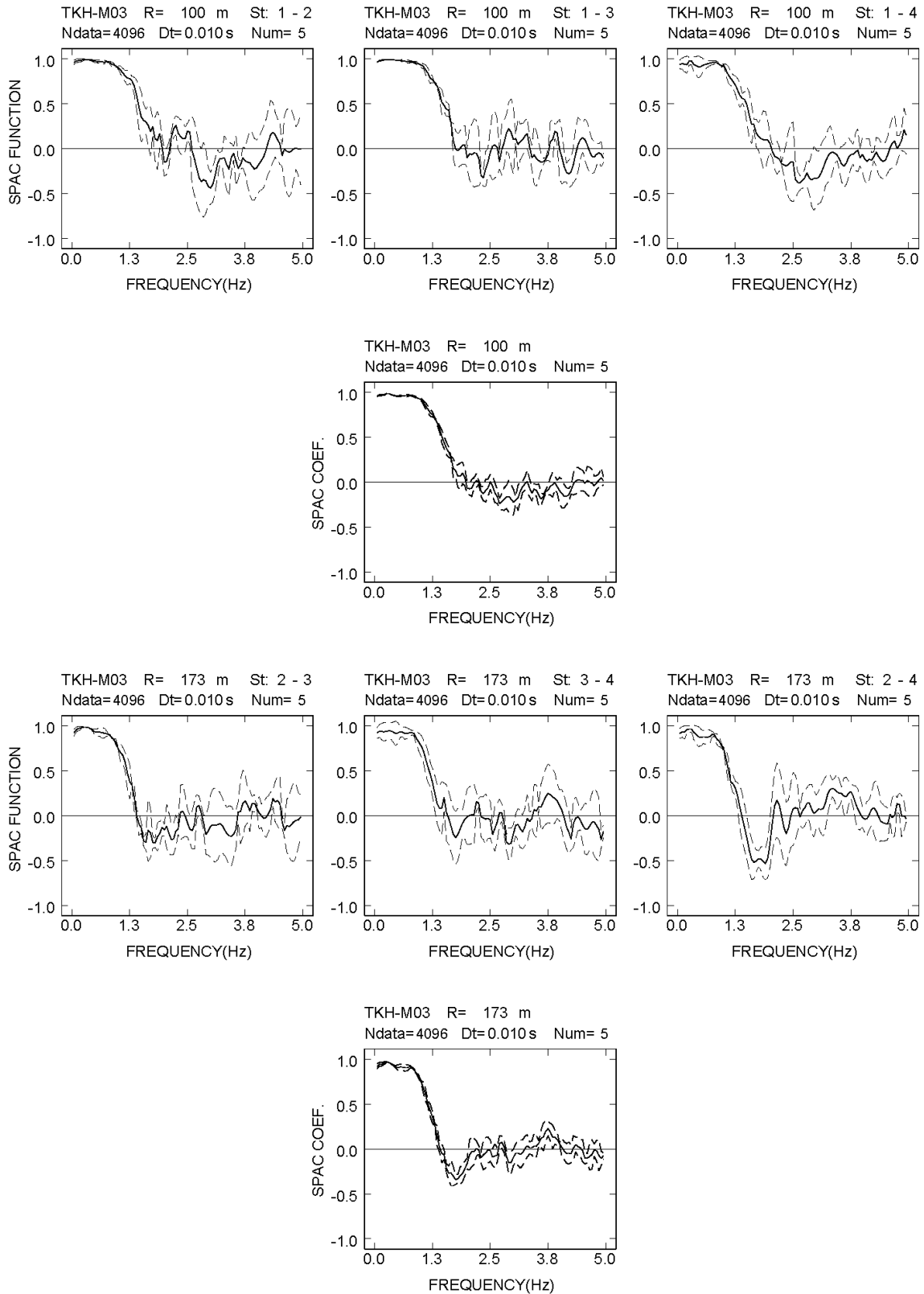
付図 2-8a-(3) 高萩 M アレイにおける各地震計間隔での空間自己相関係数



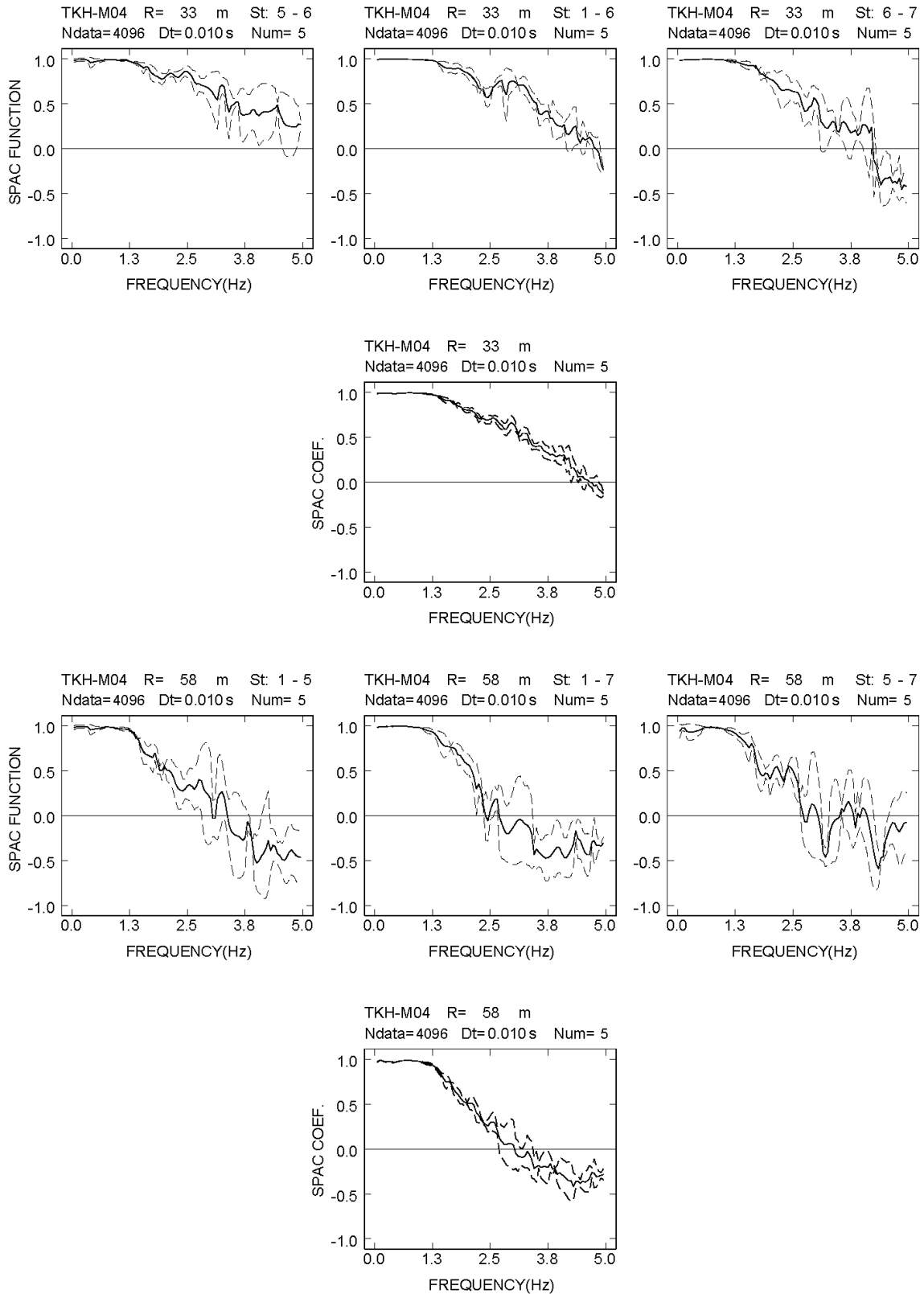
付図 2-8a-(4) 高萩 M アレイにおける各地震計間隔での空間自己相関係数



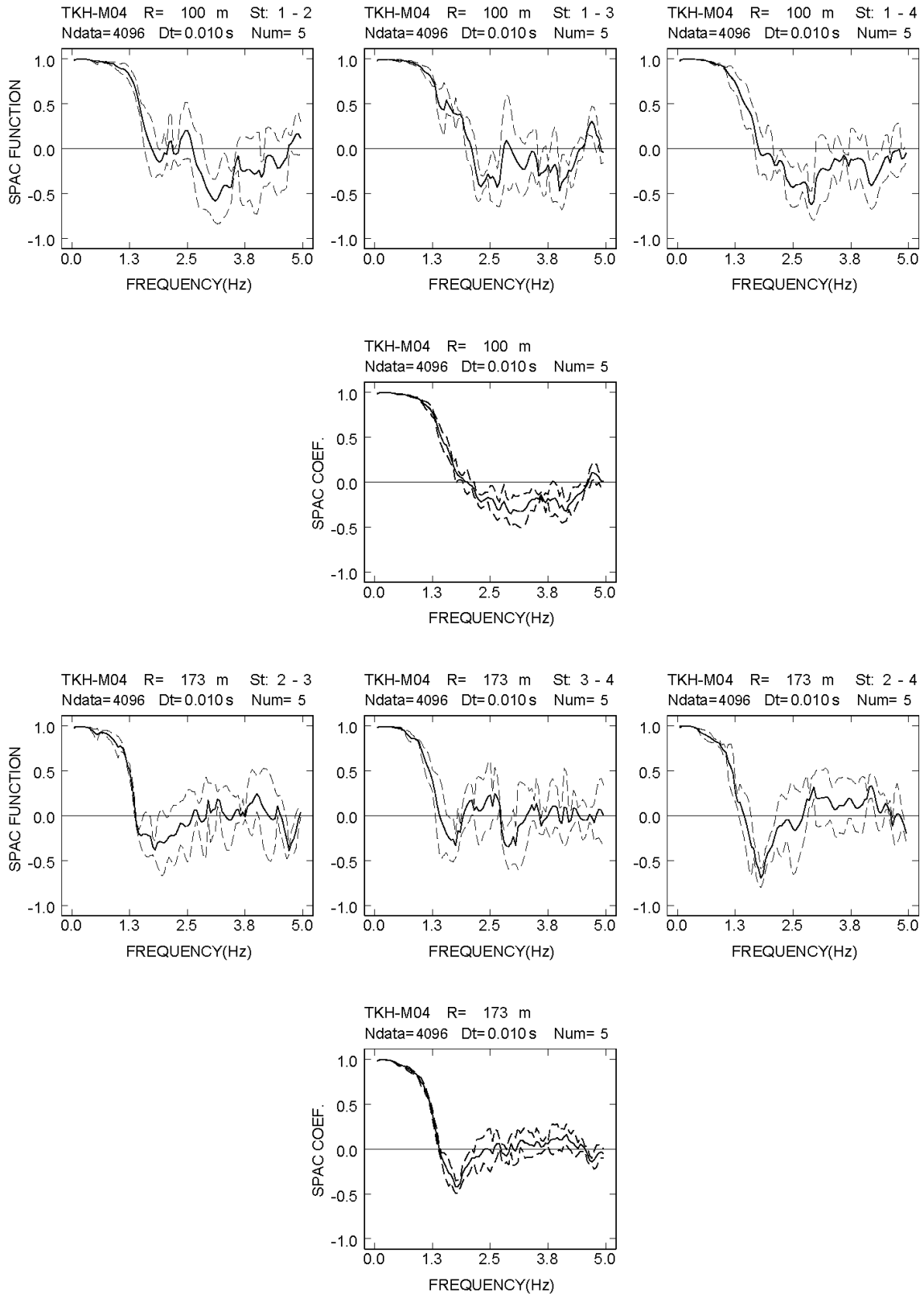
付図 2-8a-(5) 高萩 M アレイにおける各地震計間隔での空間自己相関係数



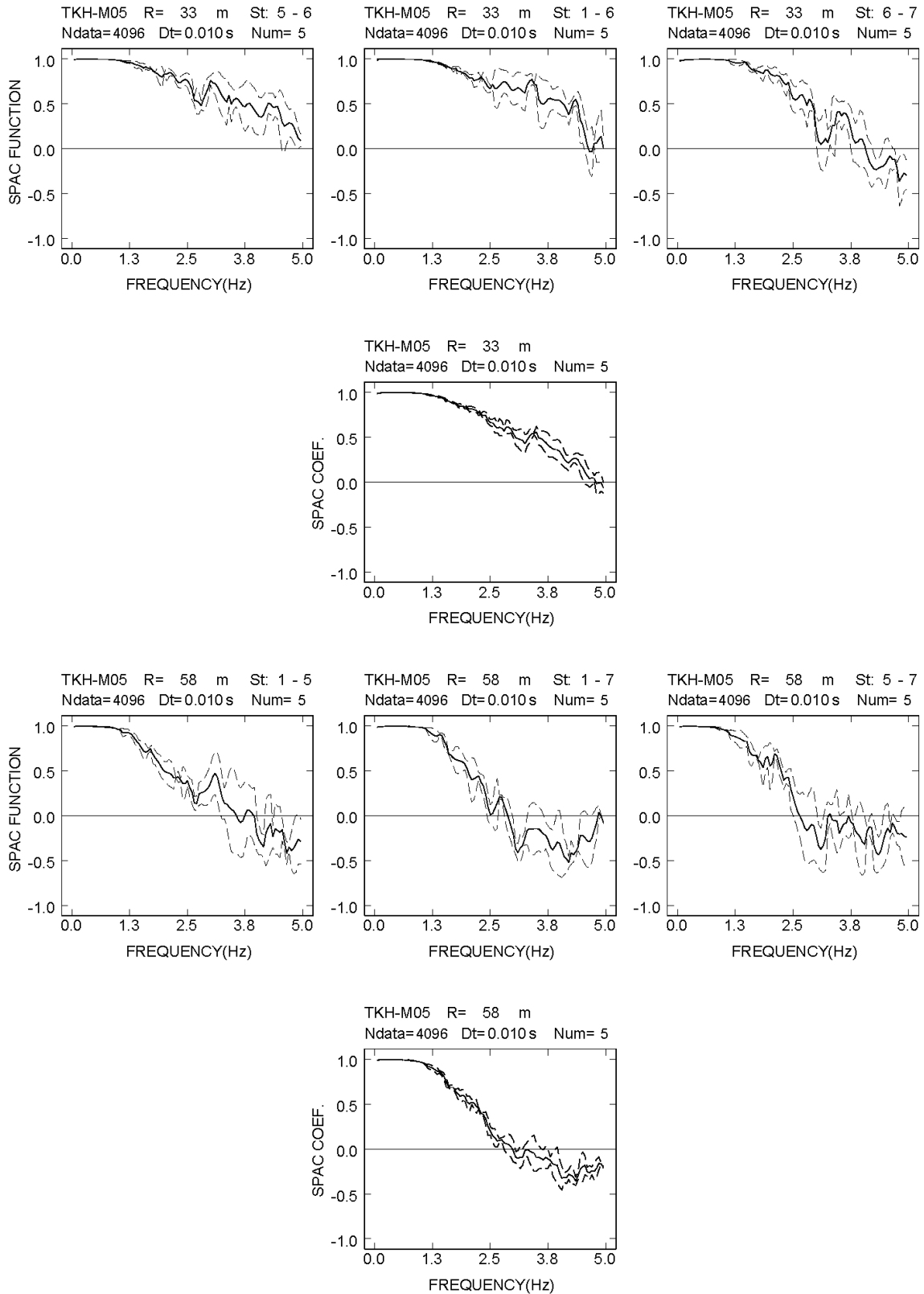
付図 2-8a-(6) 高萩 M アレイにおける各地震計間隔での空間自己相関係数



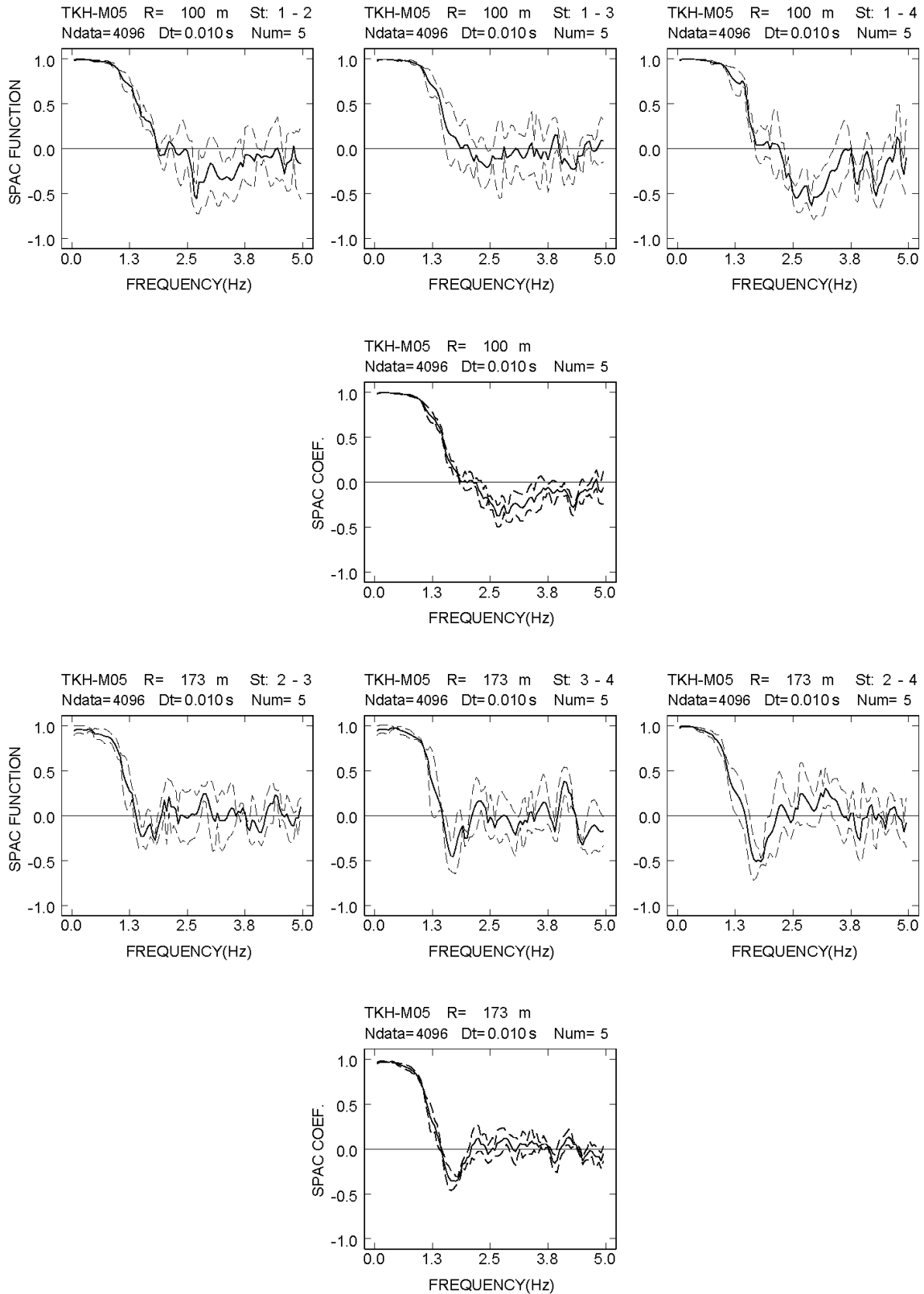
付図 2-8a-(7) 高萩 M アレイにおける各地震計間隔での空間自己相関係数



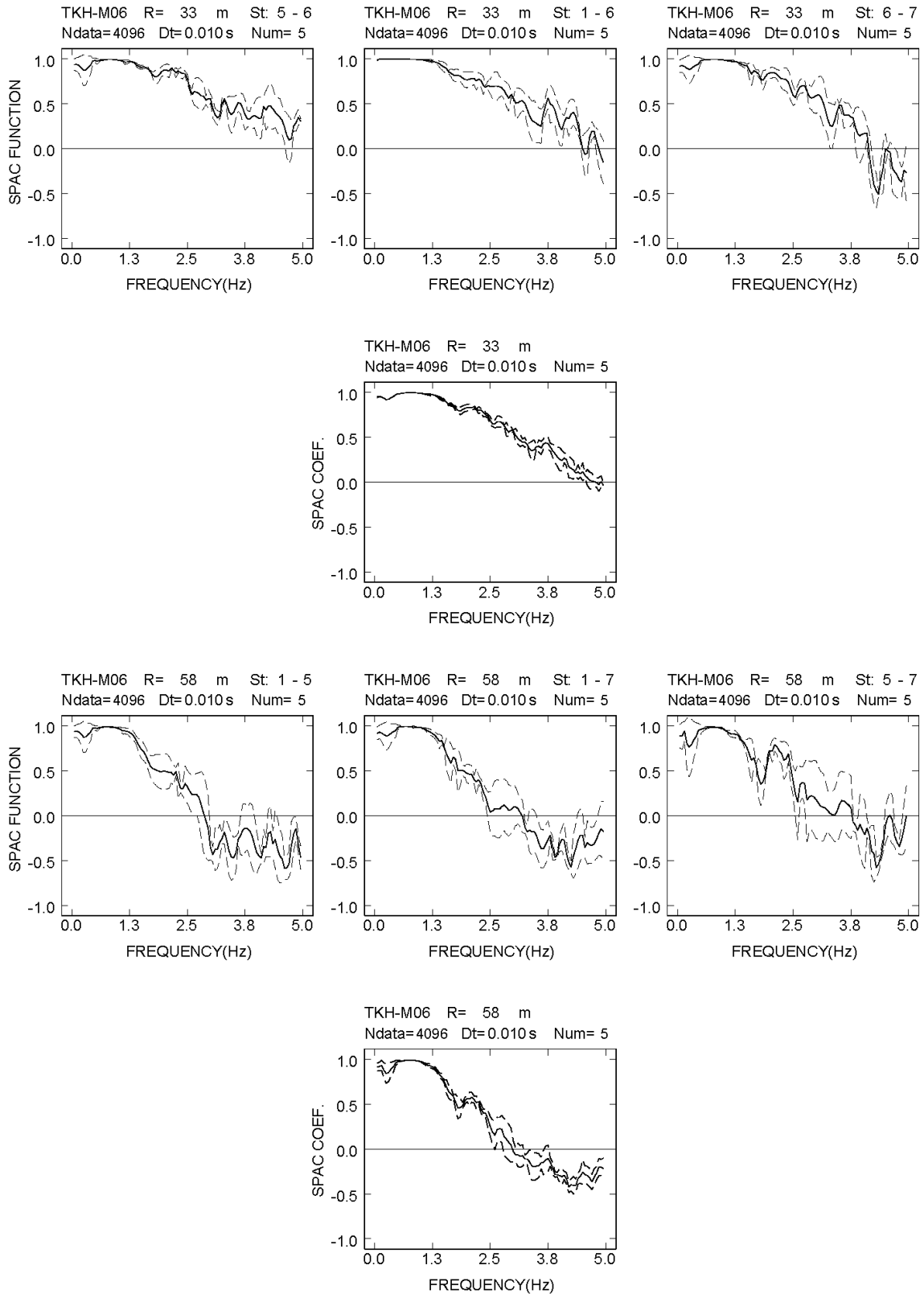
付図 2-8a-(8) 高萩 M アレイにおける各地震計間隔での空間自己相関係数



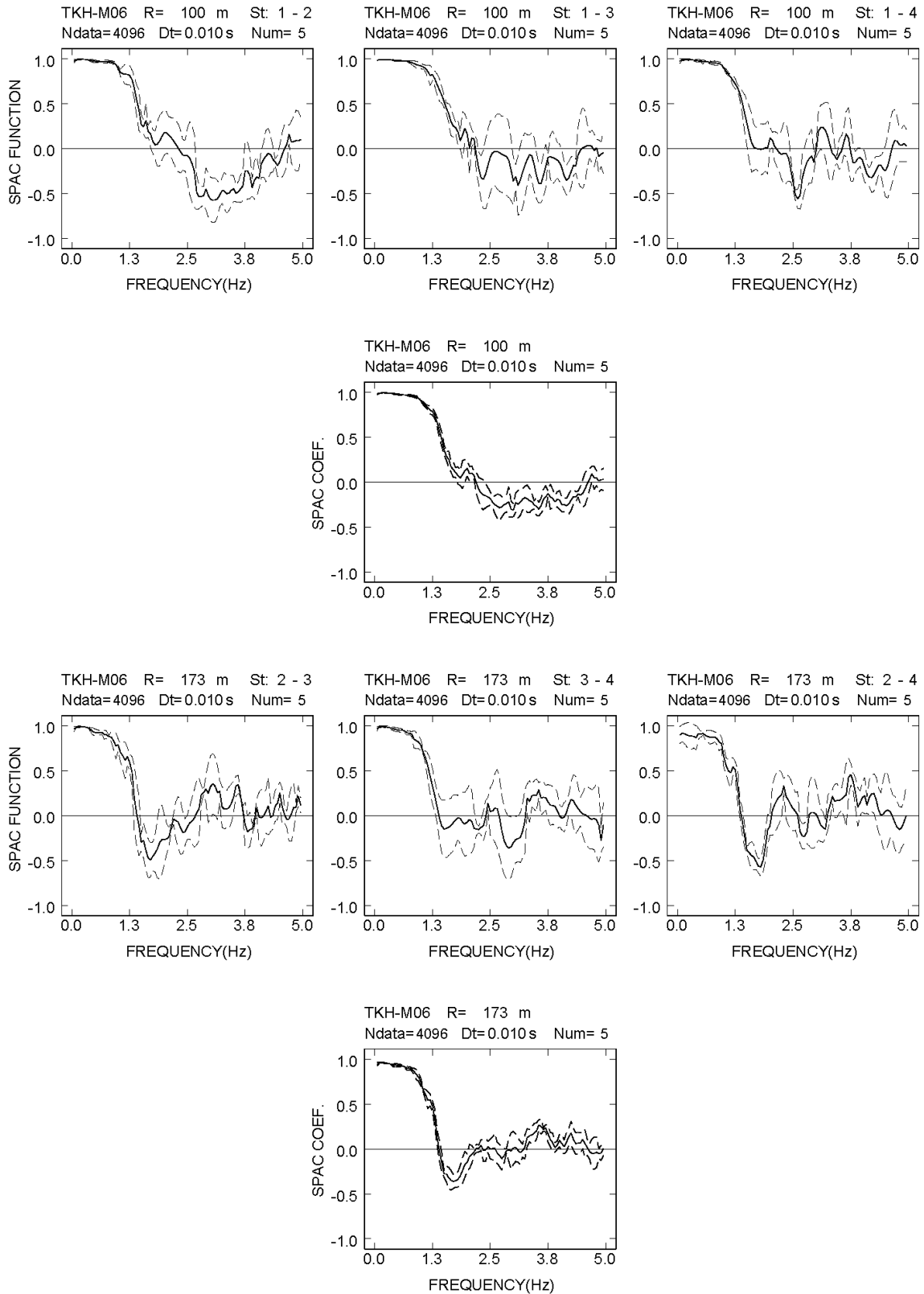
付図 2-8a-(9) 高萩 M アレイにおける各地震計間隔での空間自己相関係数



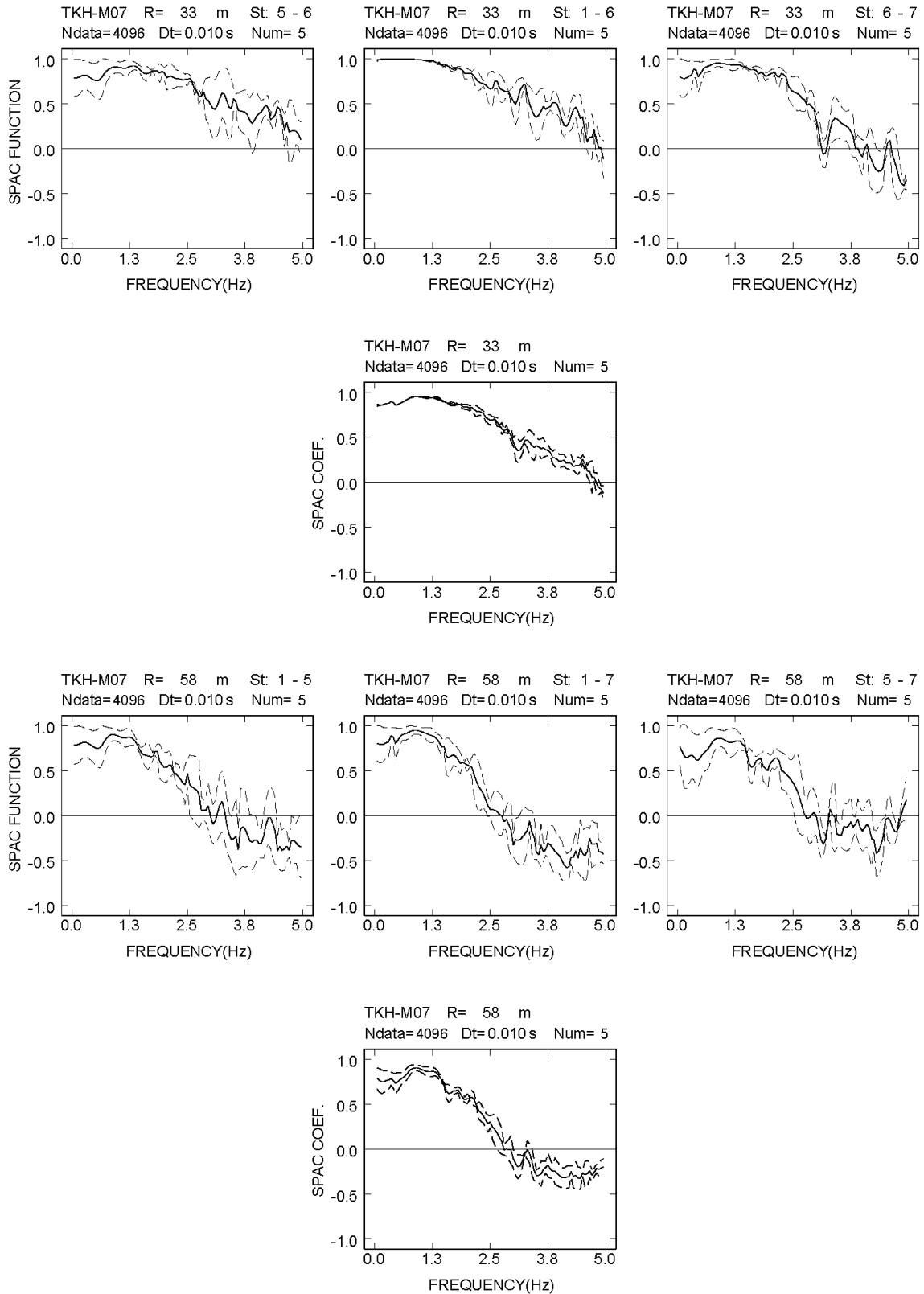
付図 2-8a-(10) 高萩 M アレイにおける各地震計間隔での空間自己相関係数



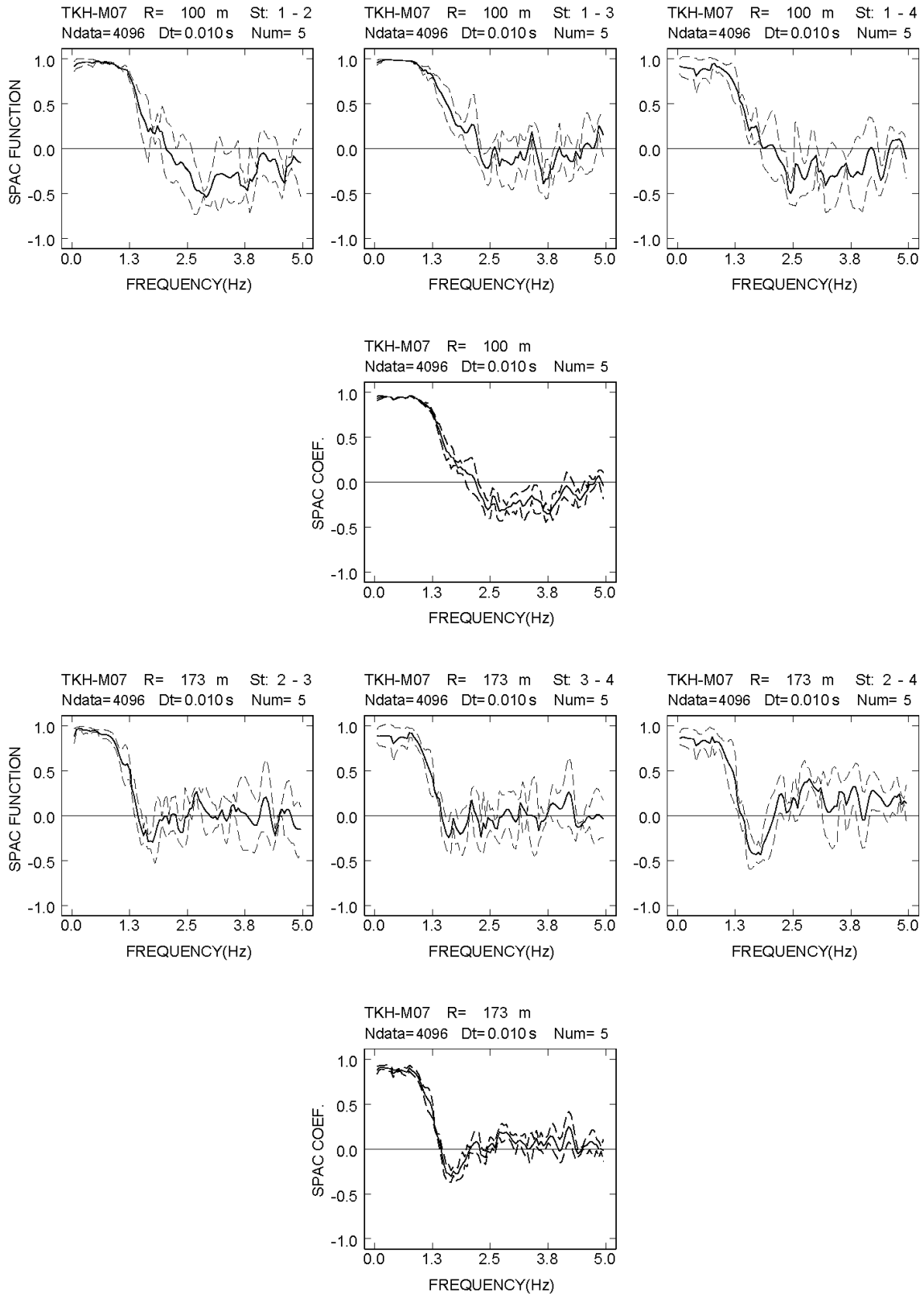
付図 2-8a-(11) 高萩 M アレイにおける各地震計間隔での空間自己相関係数



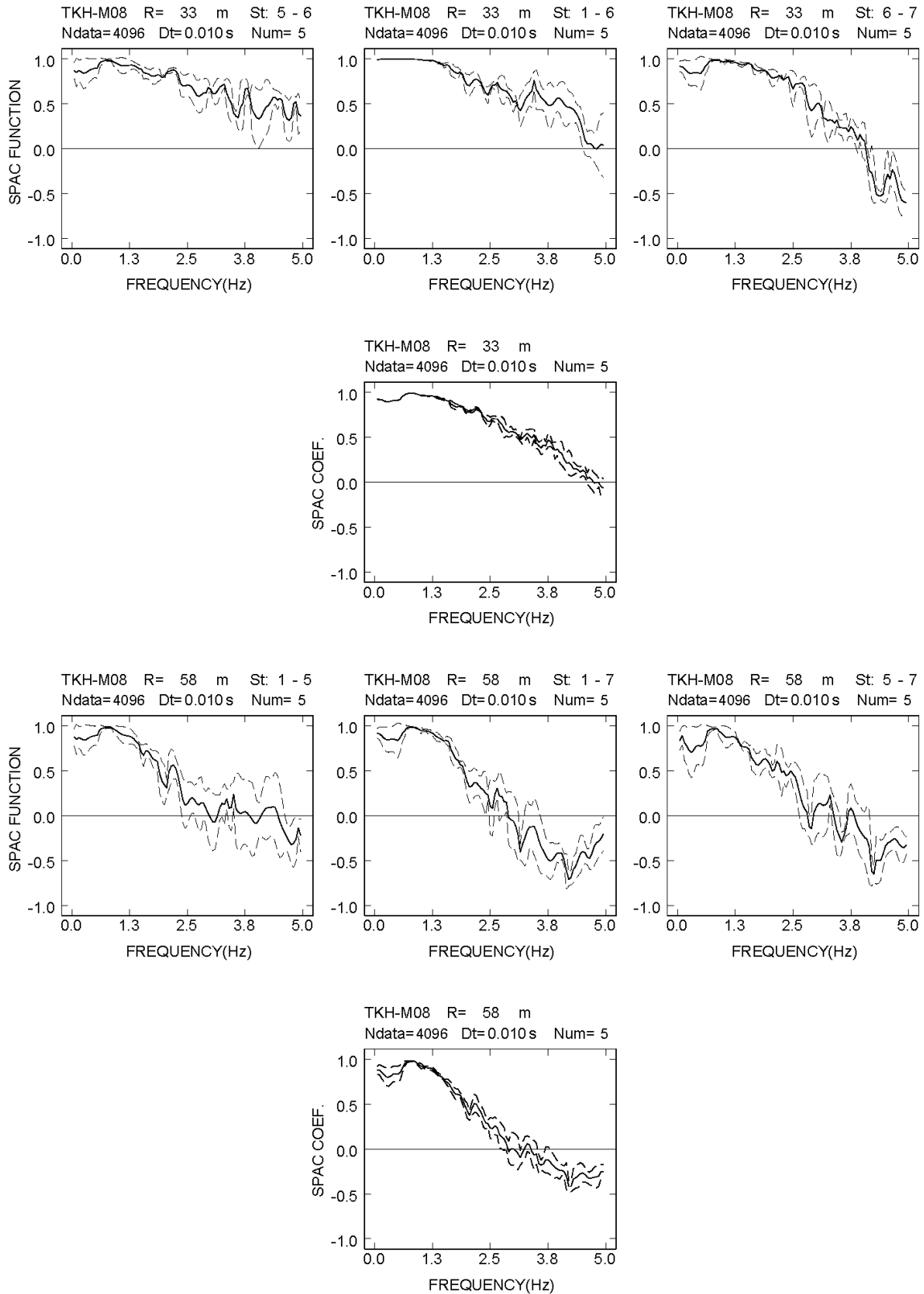
付図 2-8a-(12) 高萩 M アレイにおける各地震計間隔での空間自己相関係数



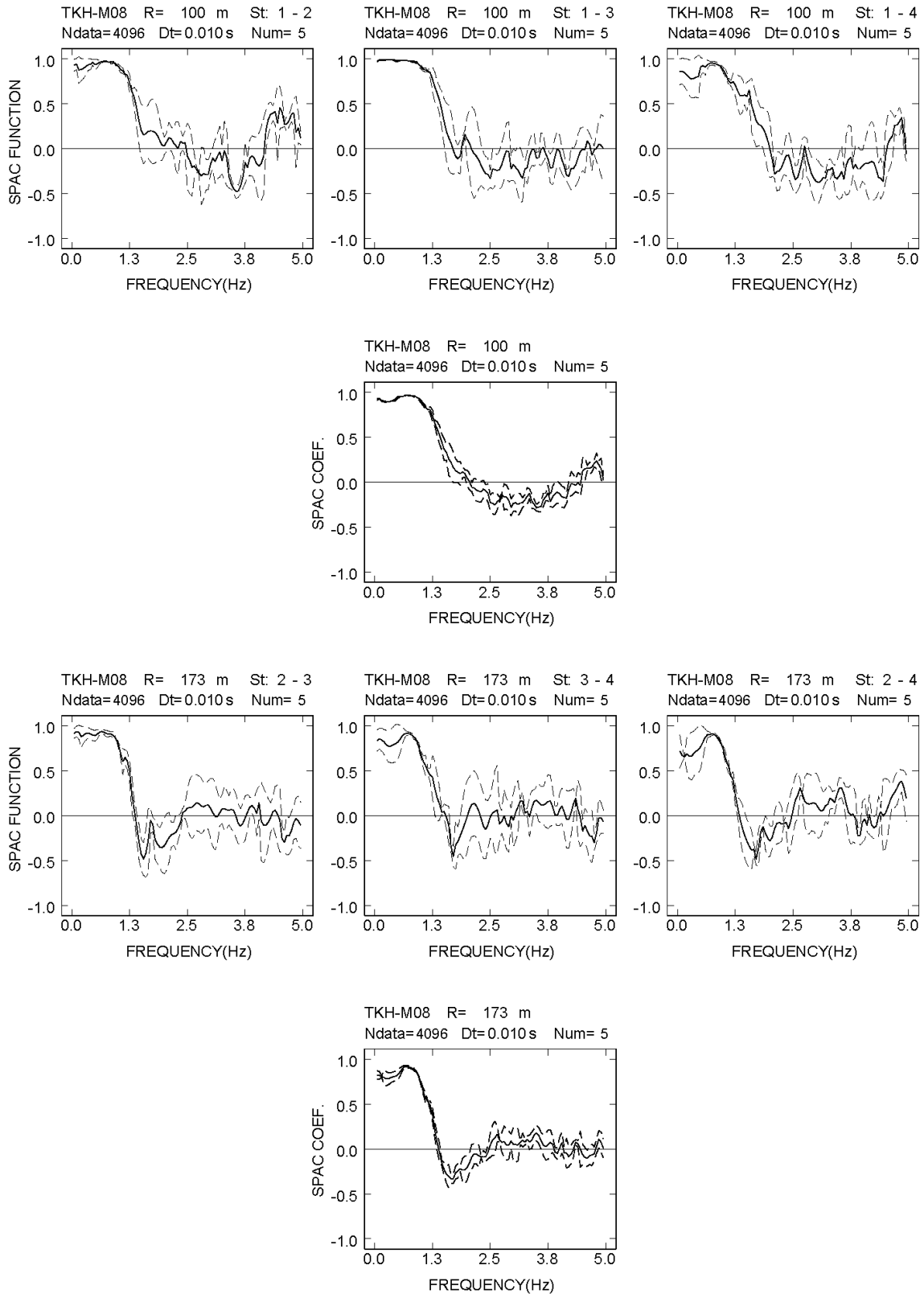
付図 2-8a-(13) 高萩 M アレイにおける各地震計間隔での空間自己相関係数



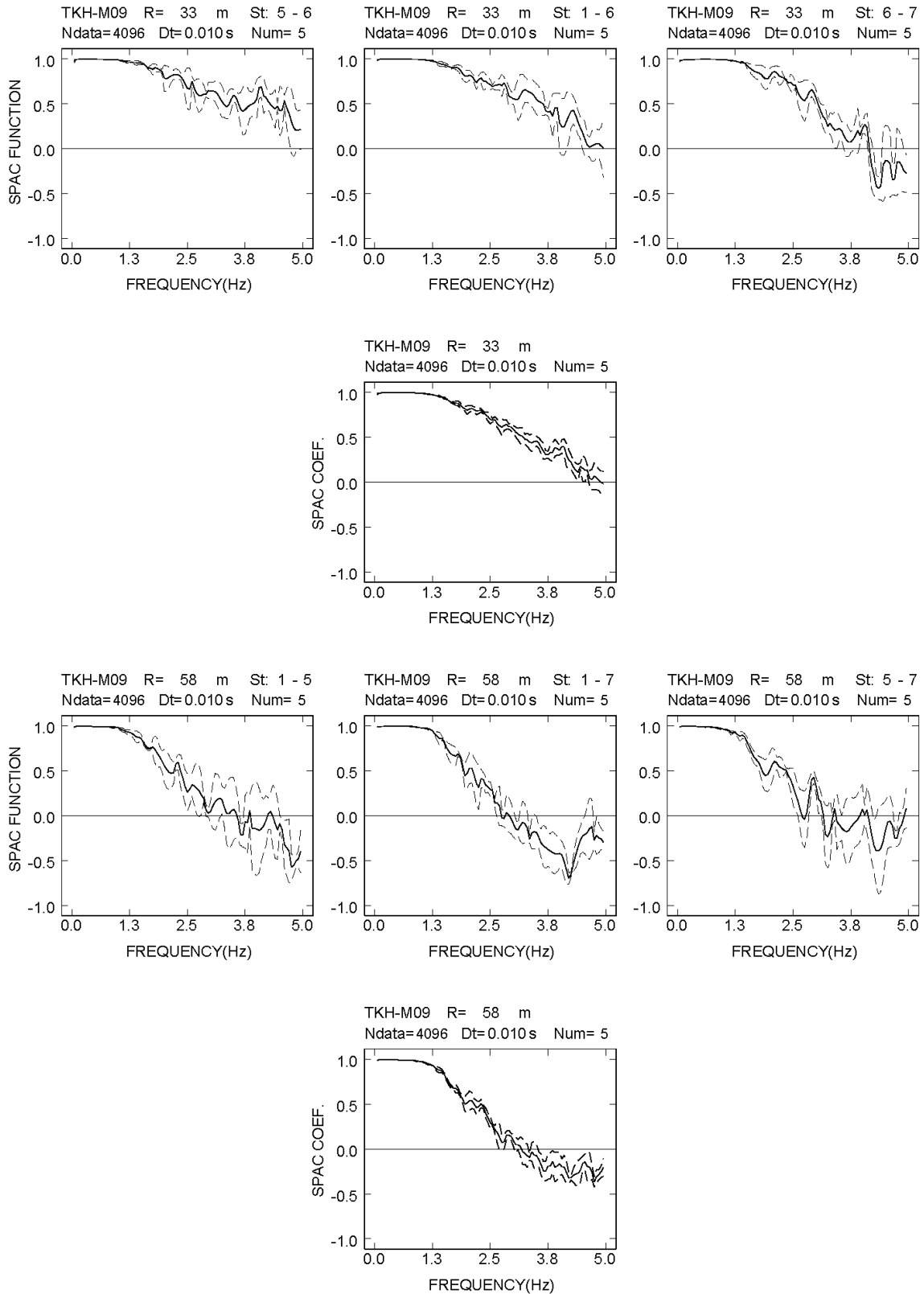
付図 2-8a-(14) 高萩 M アレイにおける各地震計間隔での空間自己相関係数



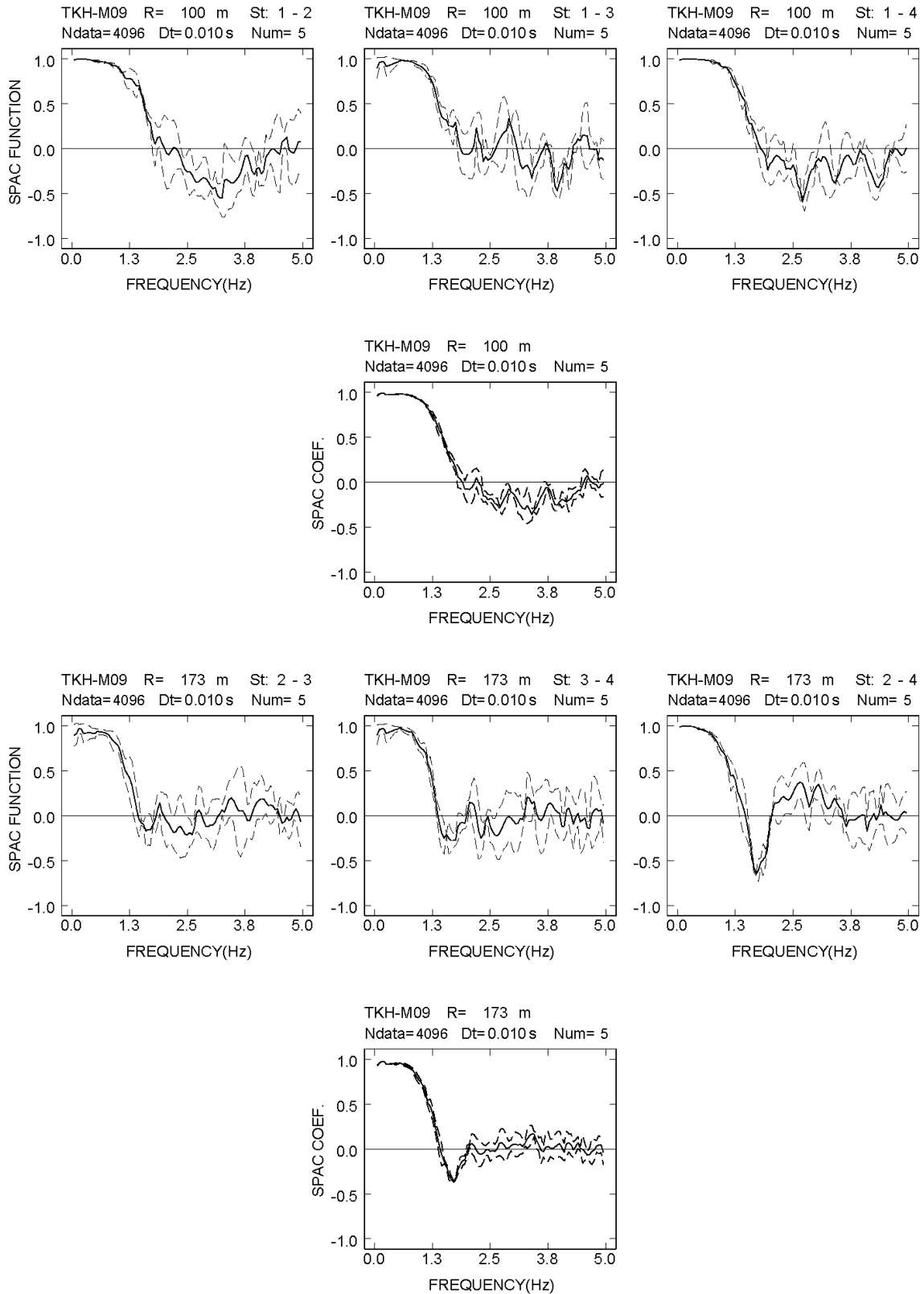
付図 2-8a-(15) 高萩 M アレイにおける各地震計間隔での空間自己相関係数



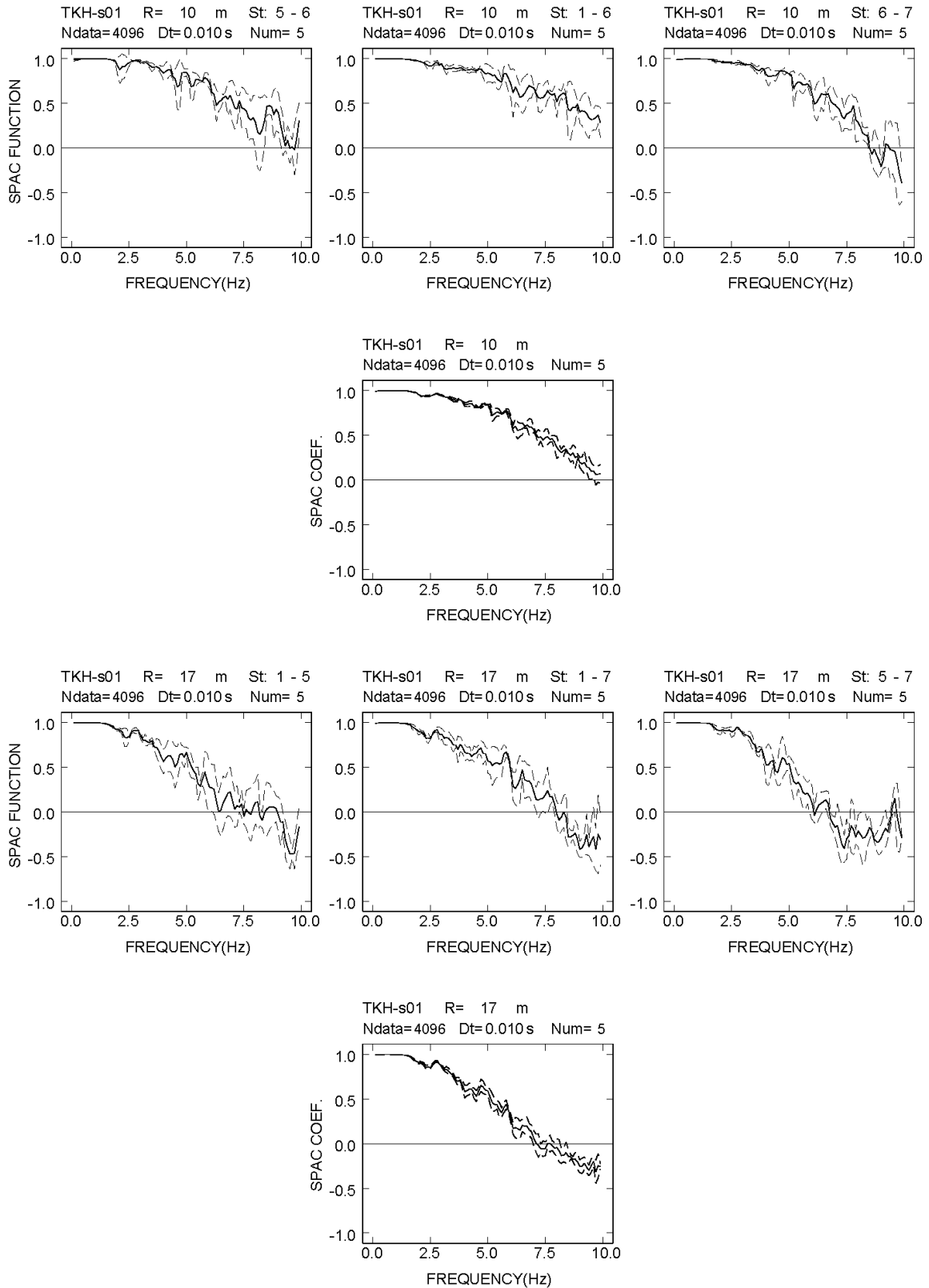
付図 2-8a-(16) 高萩 M アレイにおける各地震計間隔での空間自己相関係数



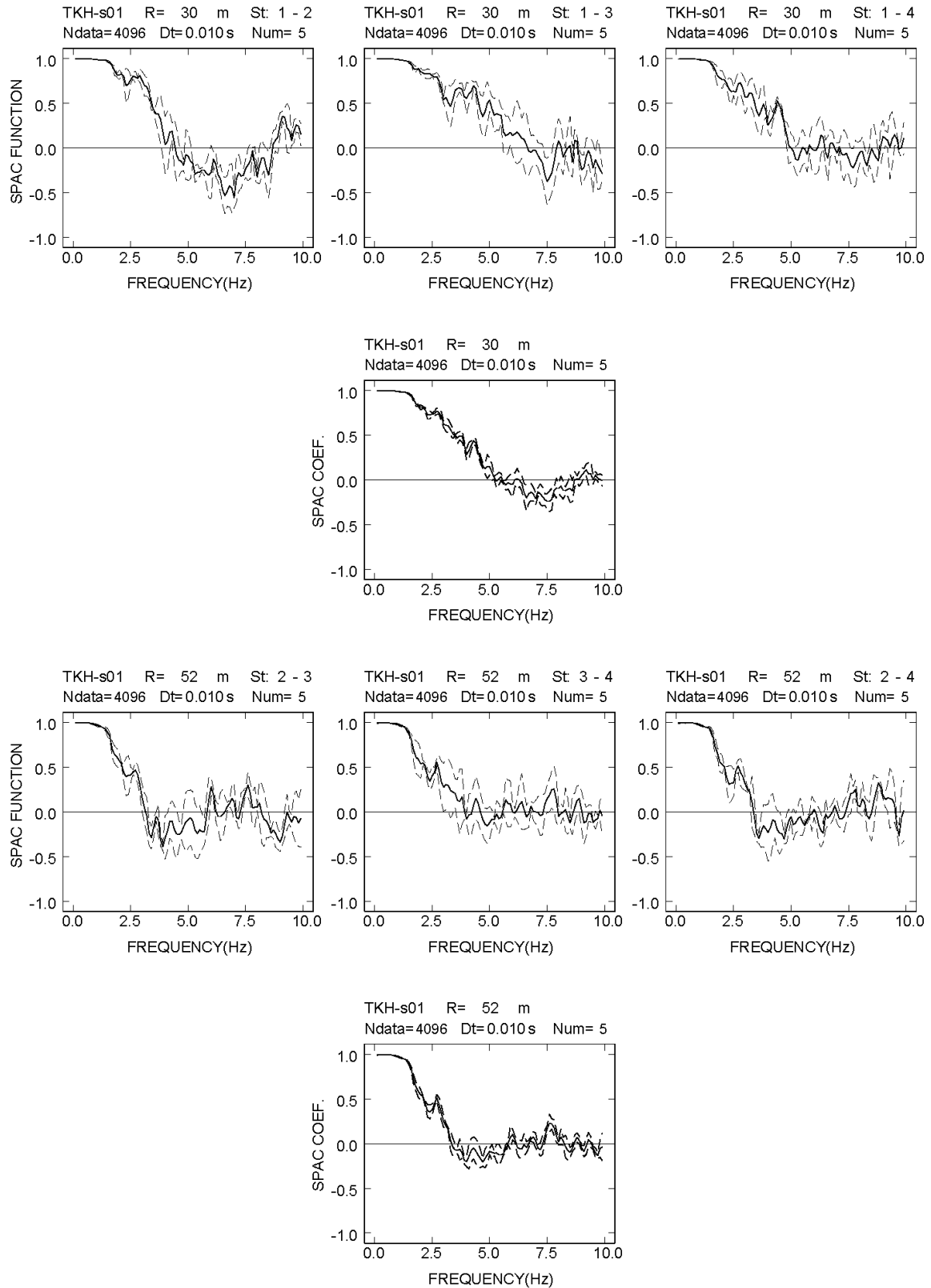
付図 2-8a-(17) 高萩 M アレイにおける各地震計間隔での空間自己相関係数



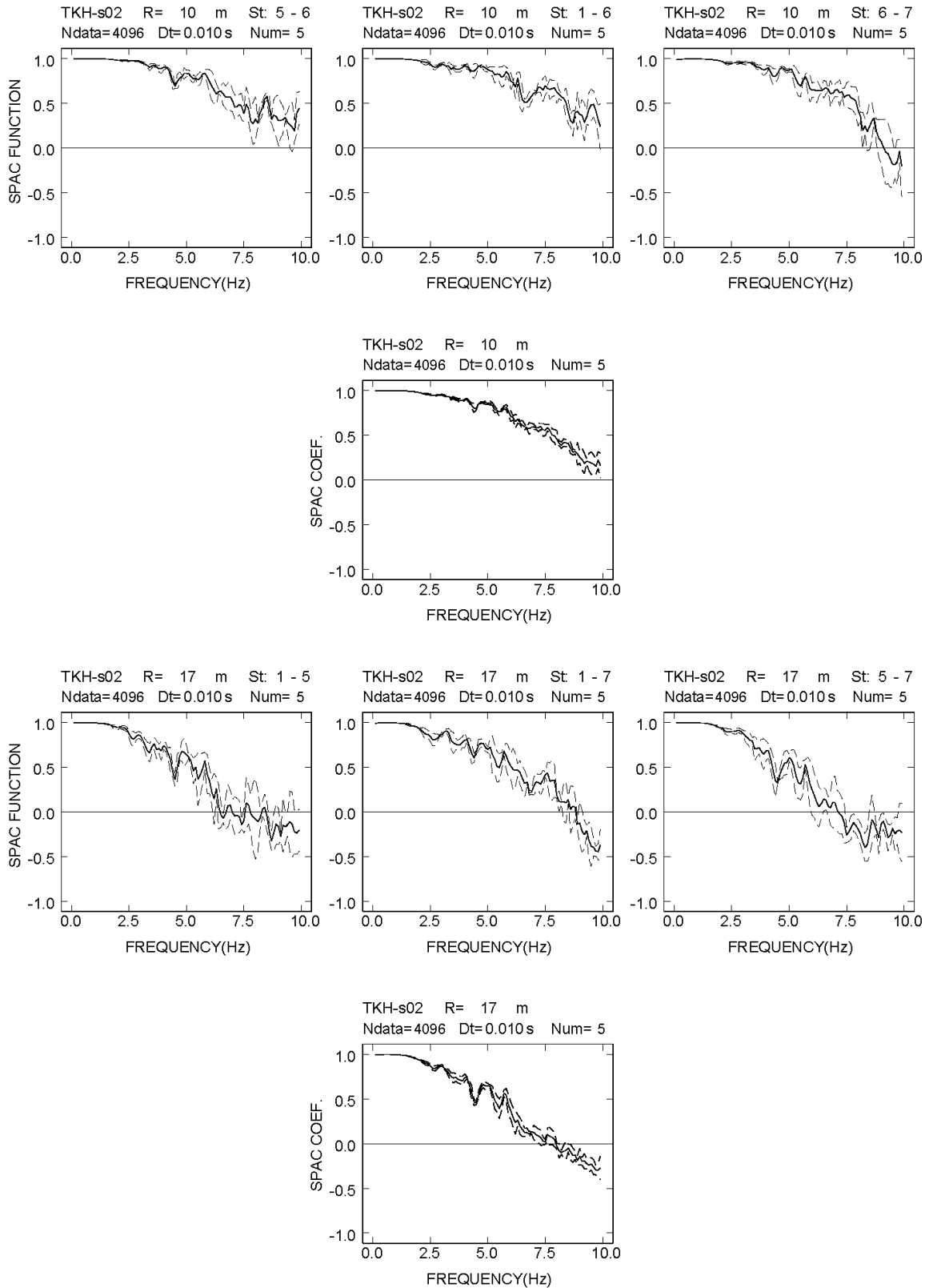
付図 2-8a-(18) 高萩 M アレイにおける各地震計間隔での空間自己相関係数



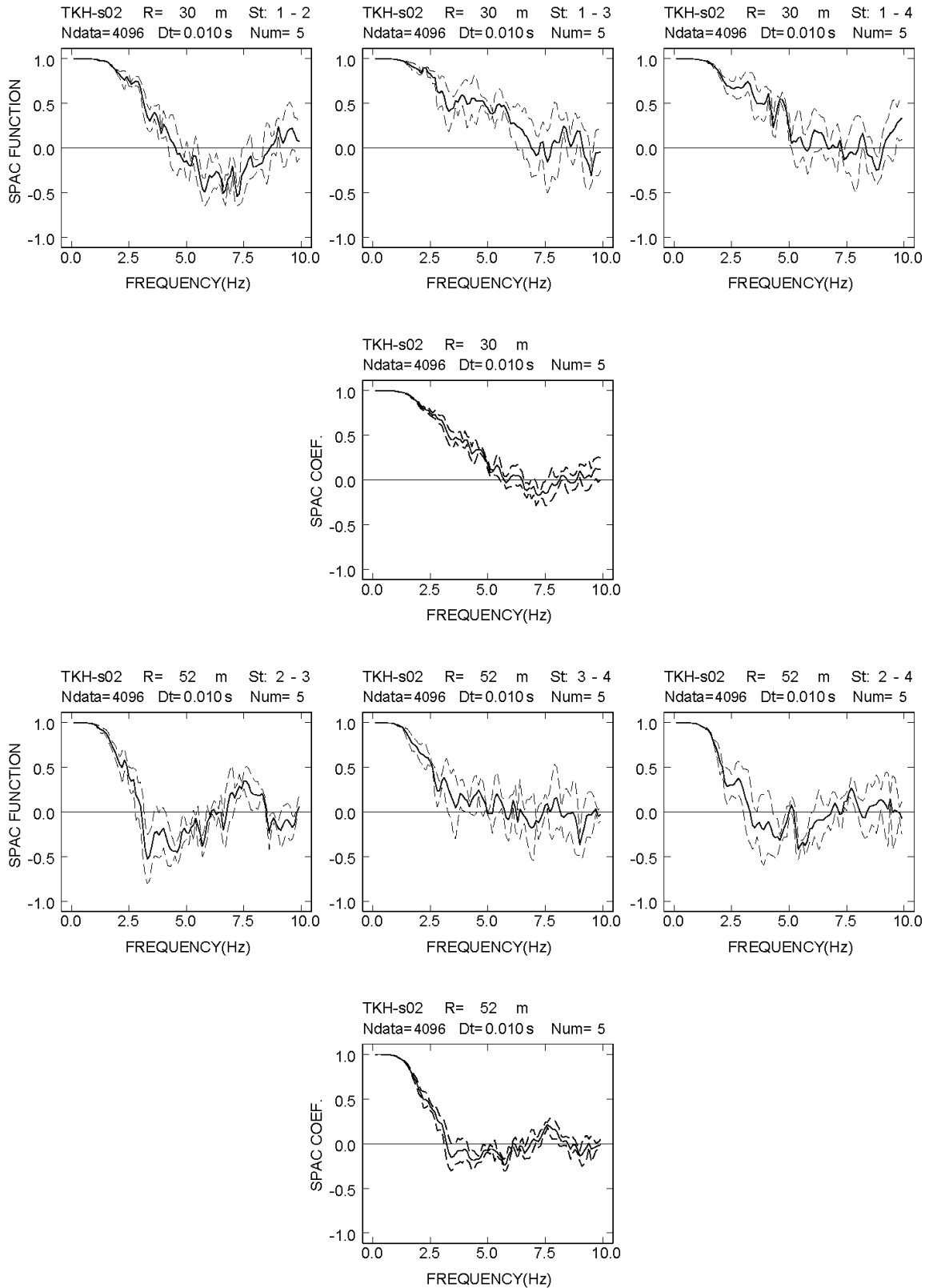
付図 2-9a-(1) 高萩 S アレイにおける各地震計間隔での空間自己相関係数



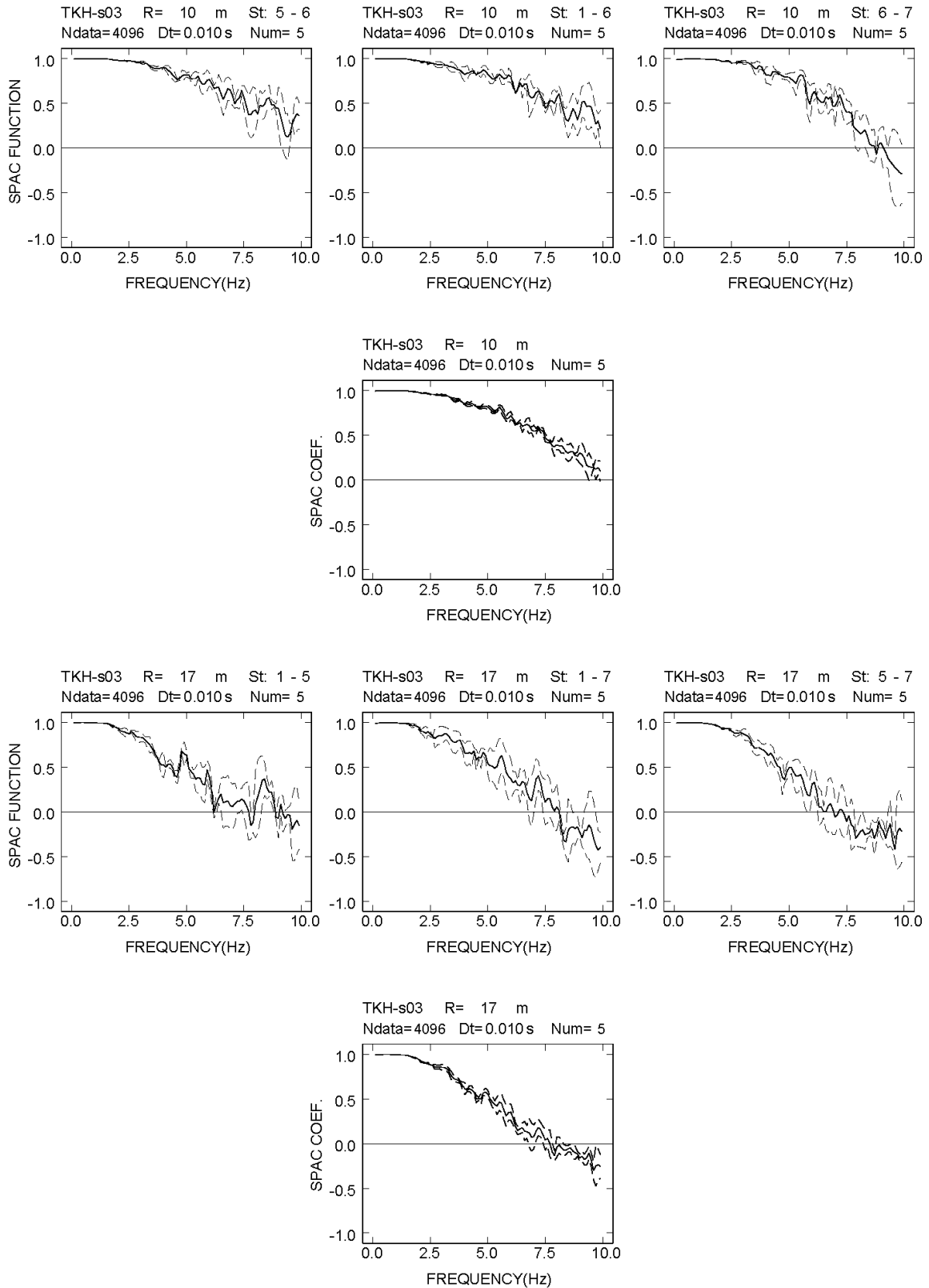
付図 2-9a-(2) 高萩 S アレイにおける各地震計間隔での空間自己相関係数



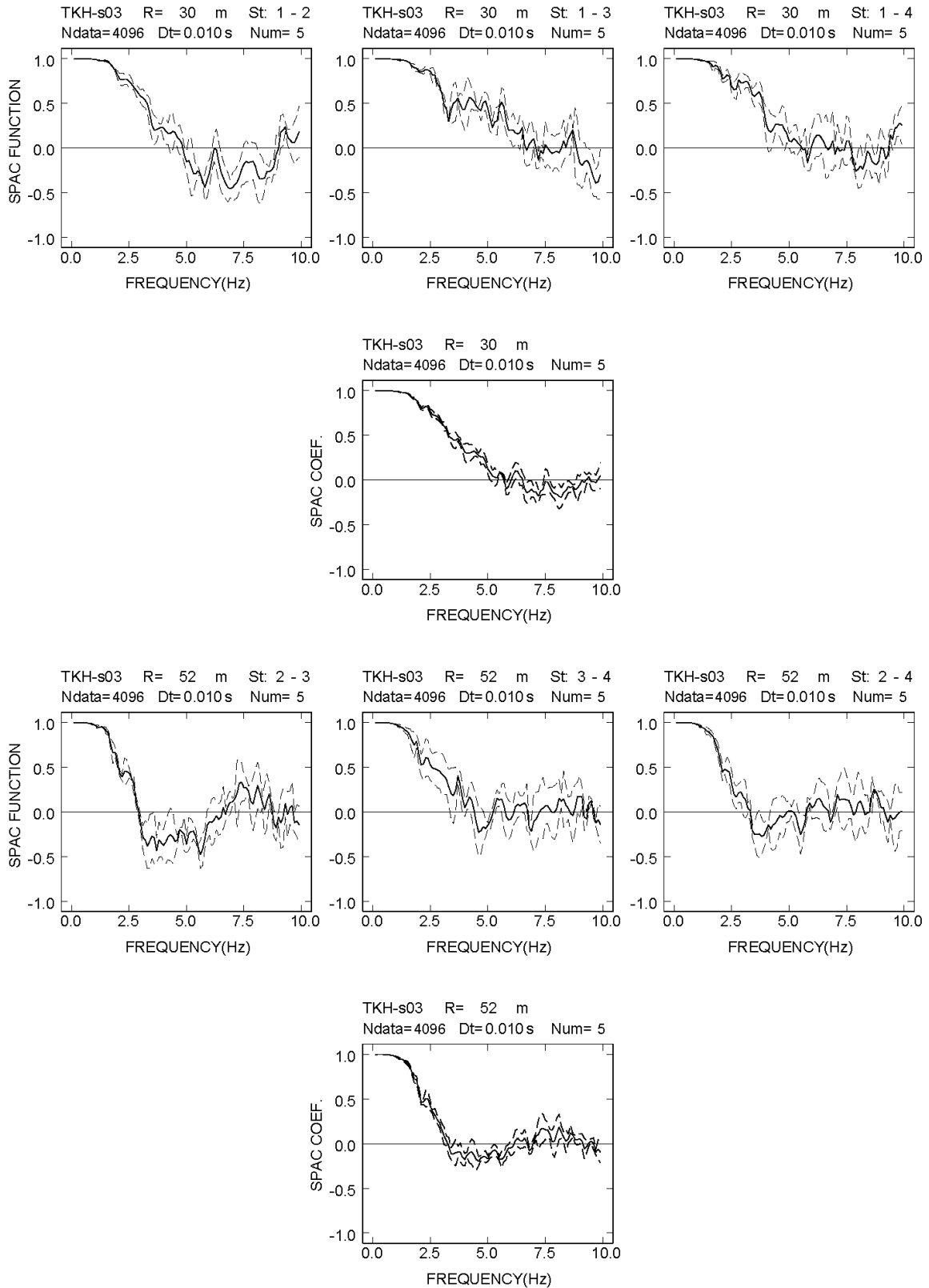
付図 2-9a-(3) 高萩 S アレイにおける各地震計間隔での空間自己相関係数



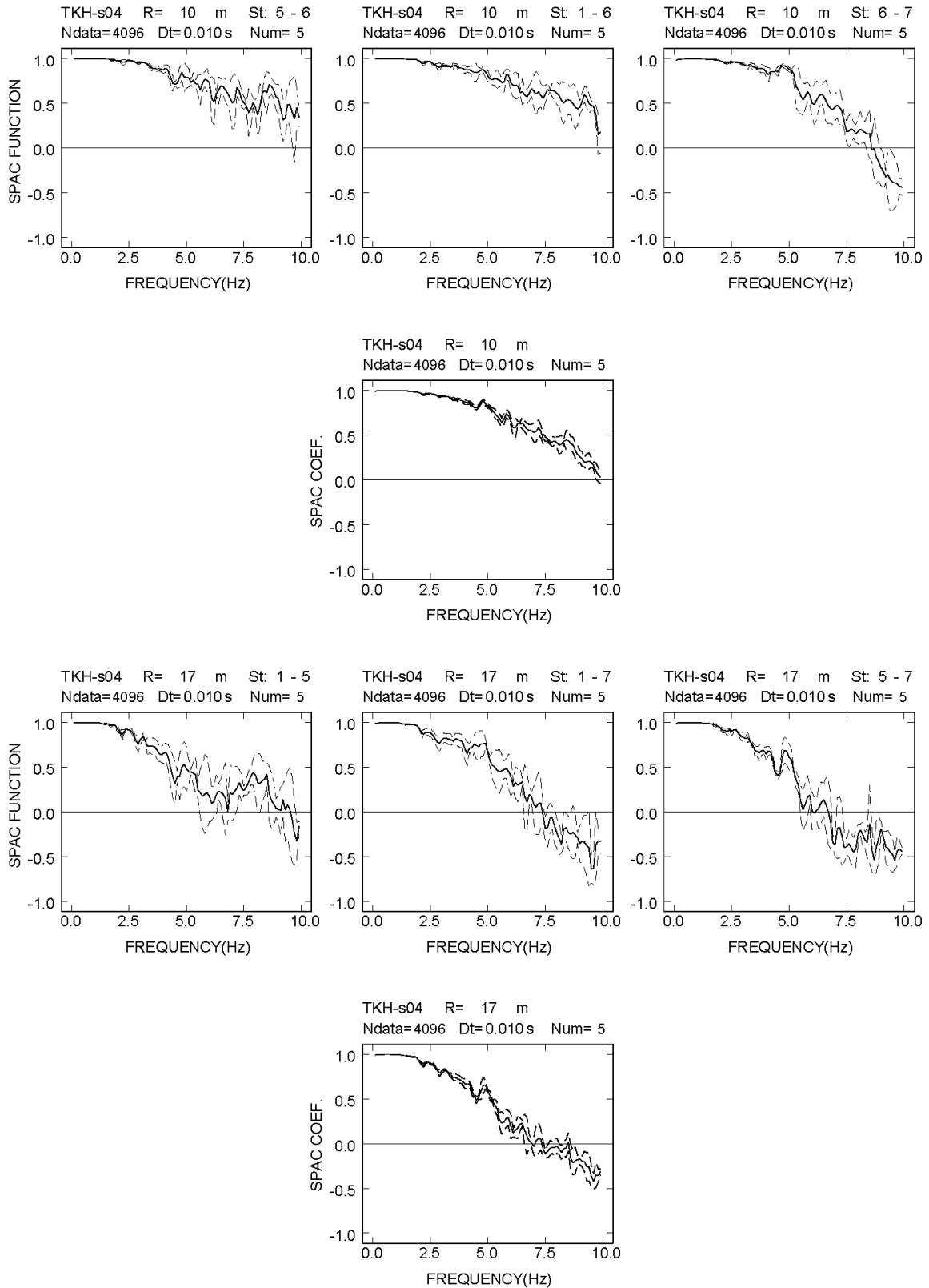
付図 2-9a-(4) 高萩 S アレイにおける各地震計間隔での空間自己相関係数



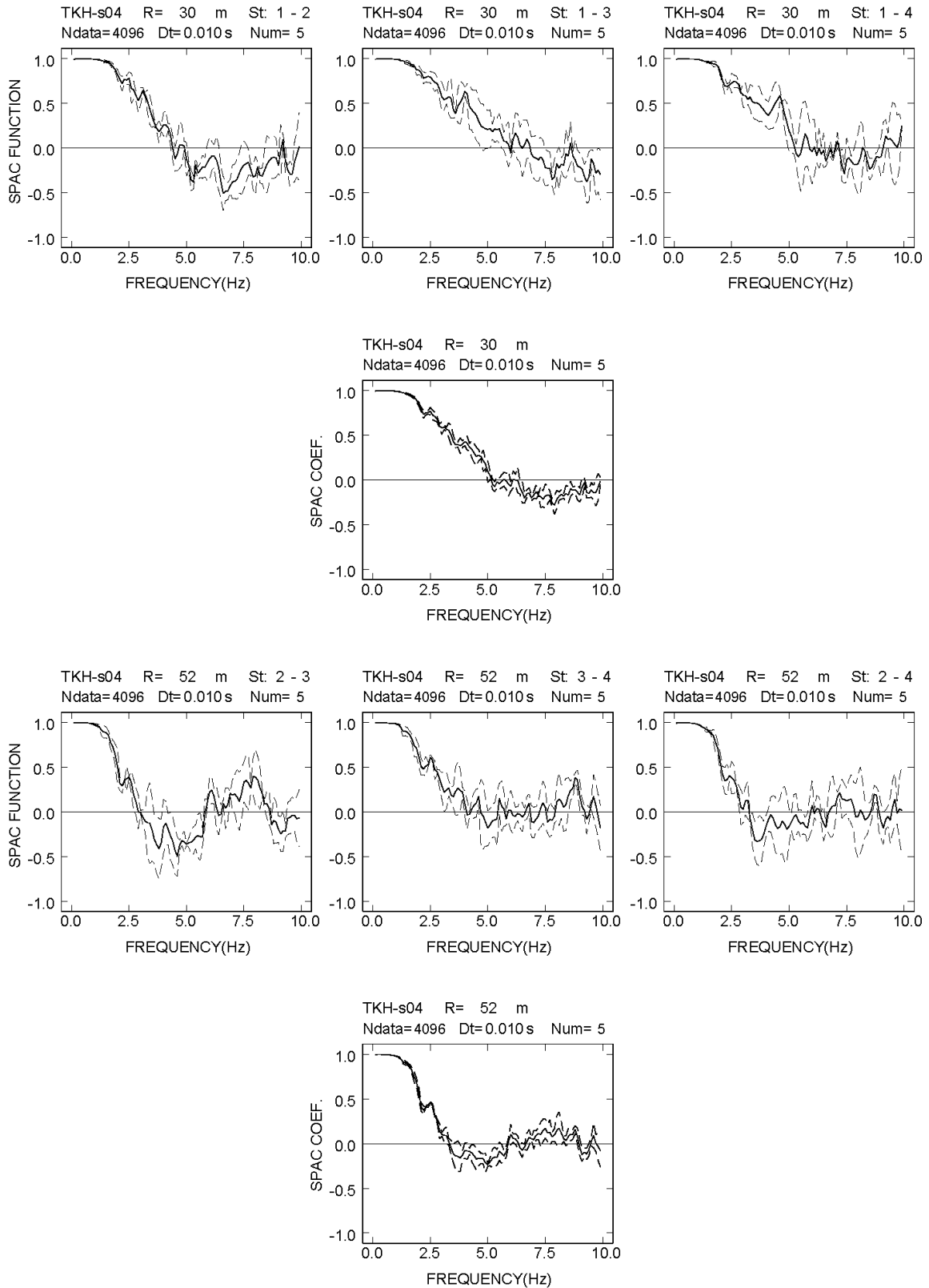
付図 2-9a-(5) 高萩 S アレイにおける各地震計間隔での空間自己相関係数



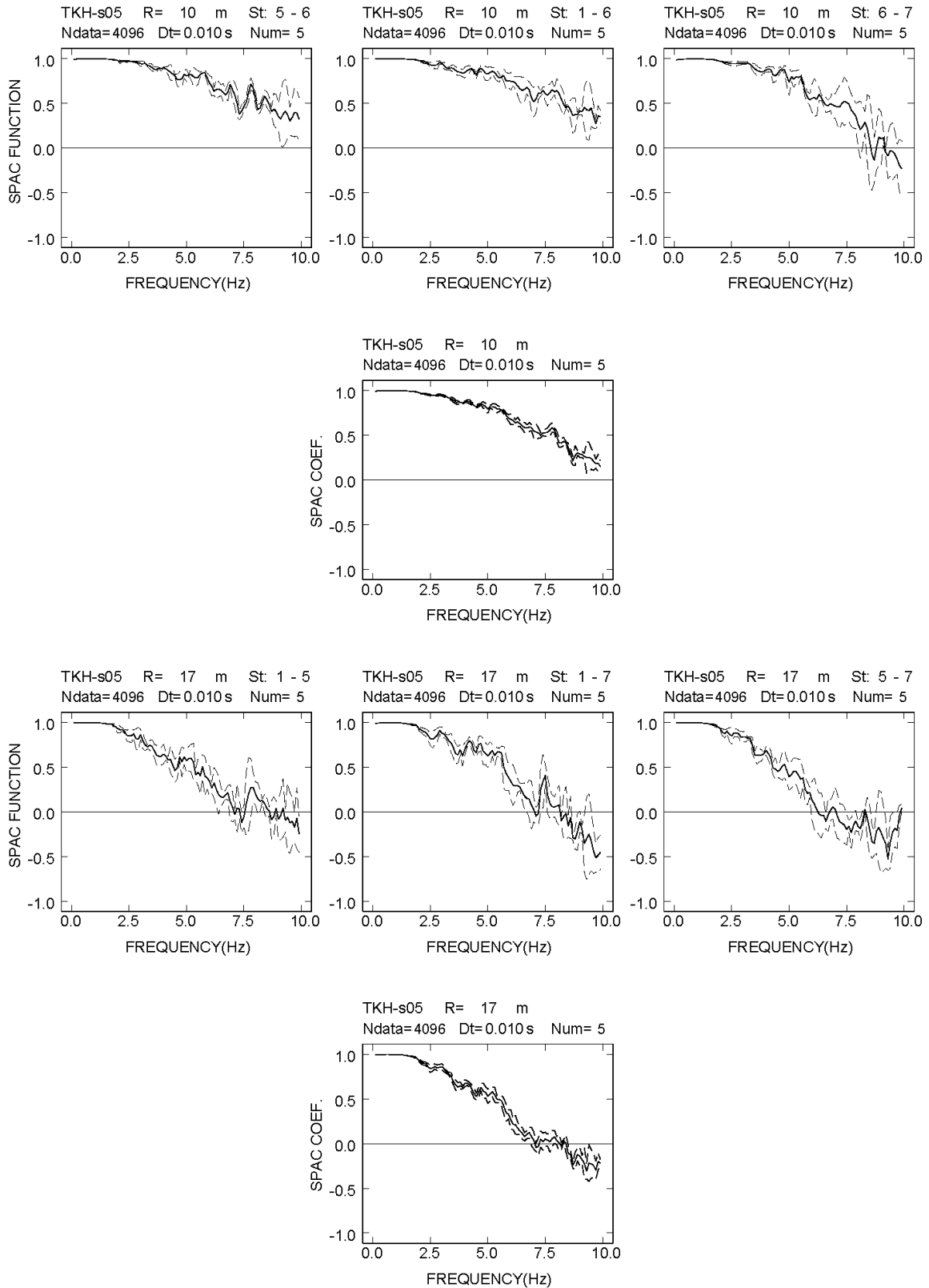
付図 2-9a-(6) 高萩 S アレイにおける各地震計間隔での空間自己相関係数



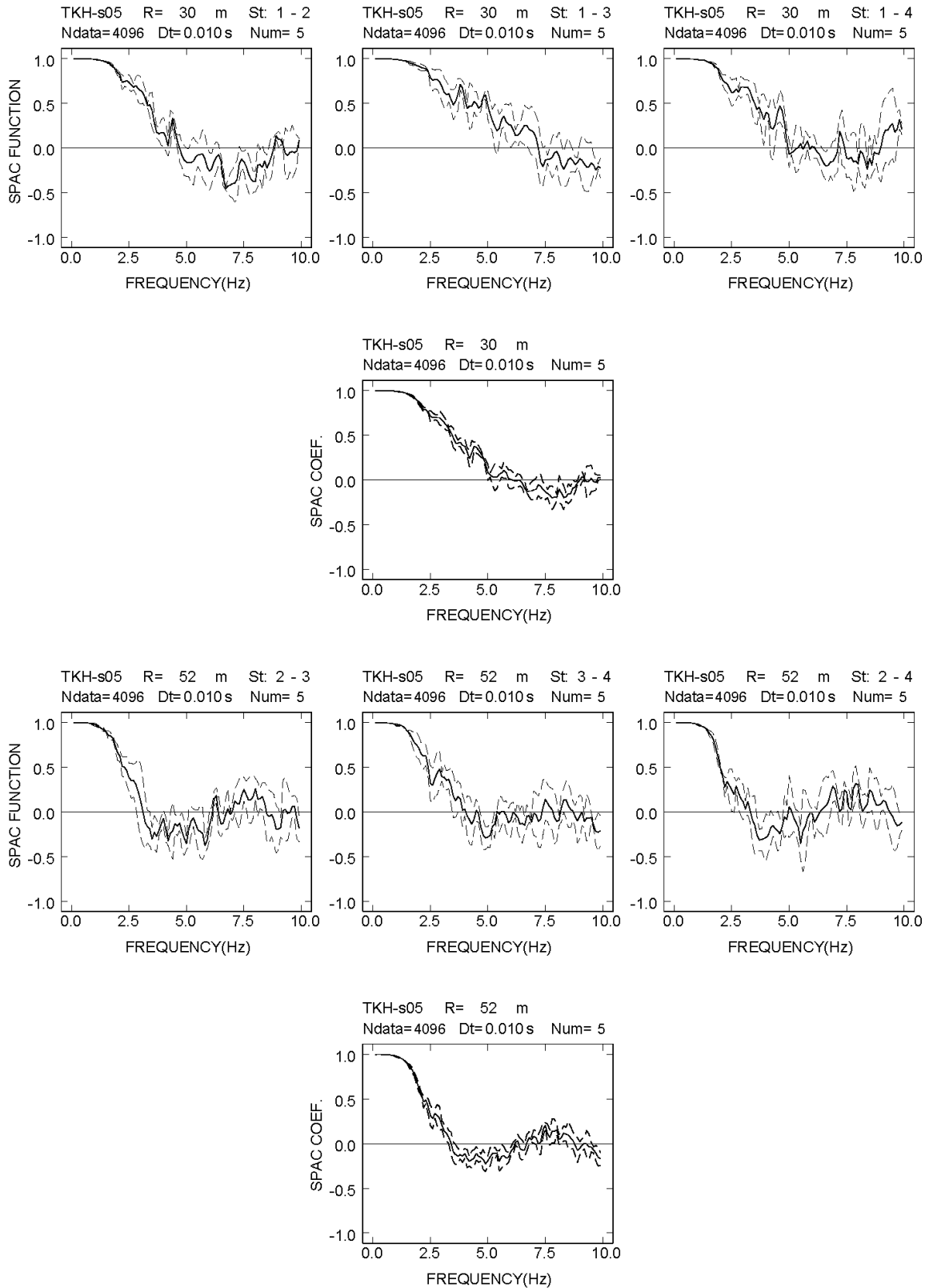
付図 2-9a-(7) 高萩 S アレイにおける各地震計間隔での空間自己相関係数



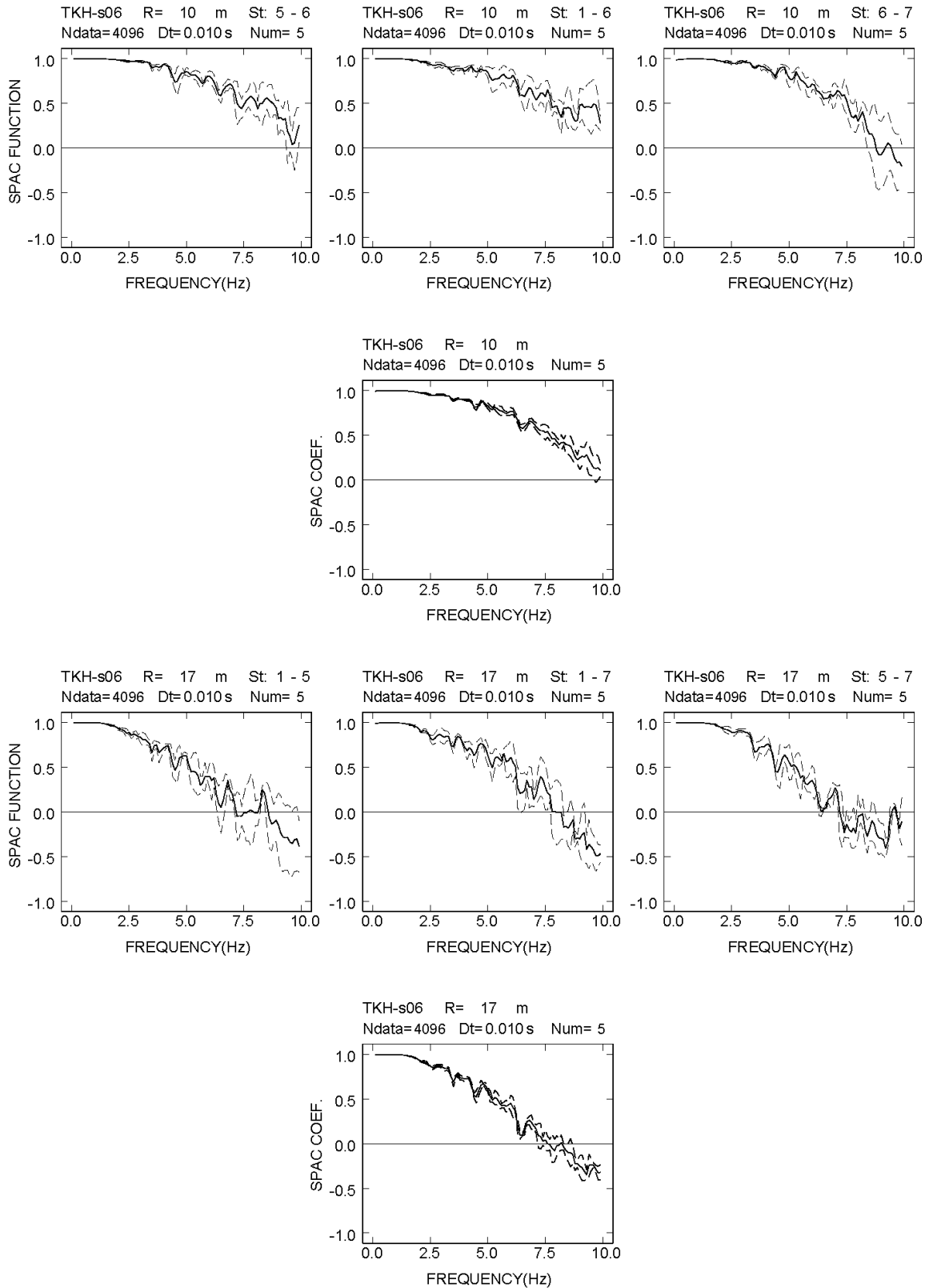
付図 2-9a-(8) 高萩 S アレイにおける各地震計間隔での空間自己相関係数



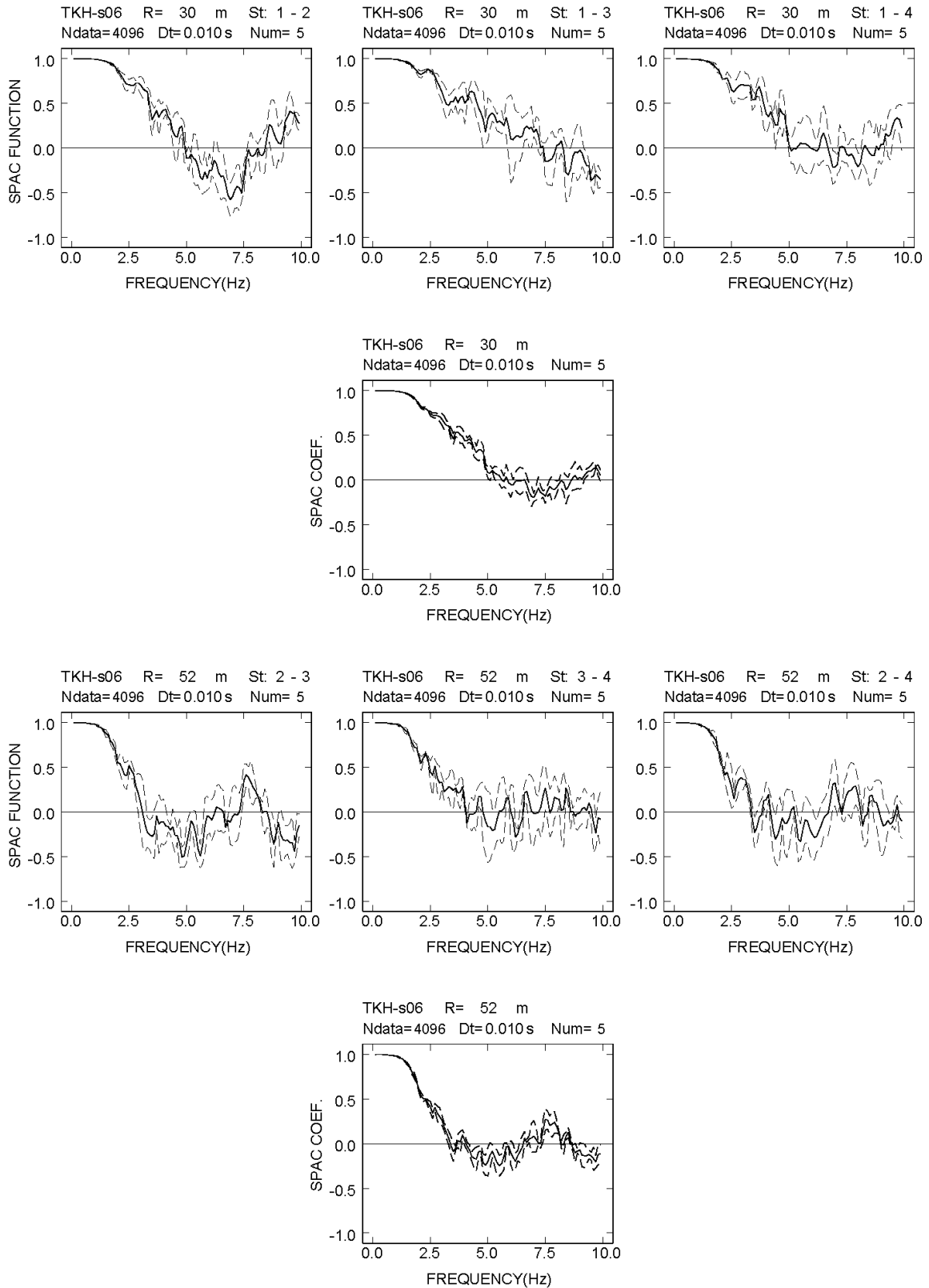
付図 2-9a-(9) 高萩 S アレイにおける各地震計間隔での空間自己相関係数



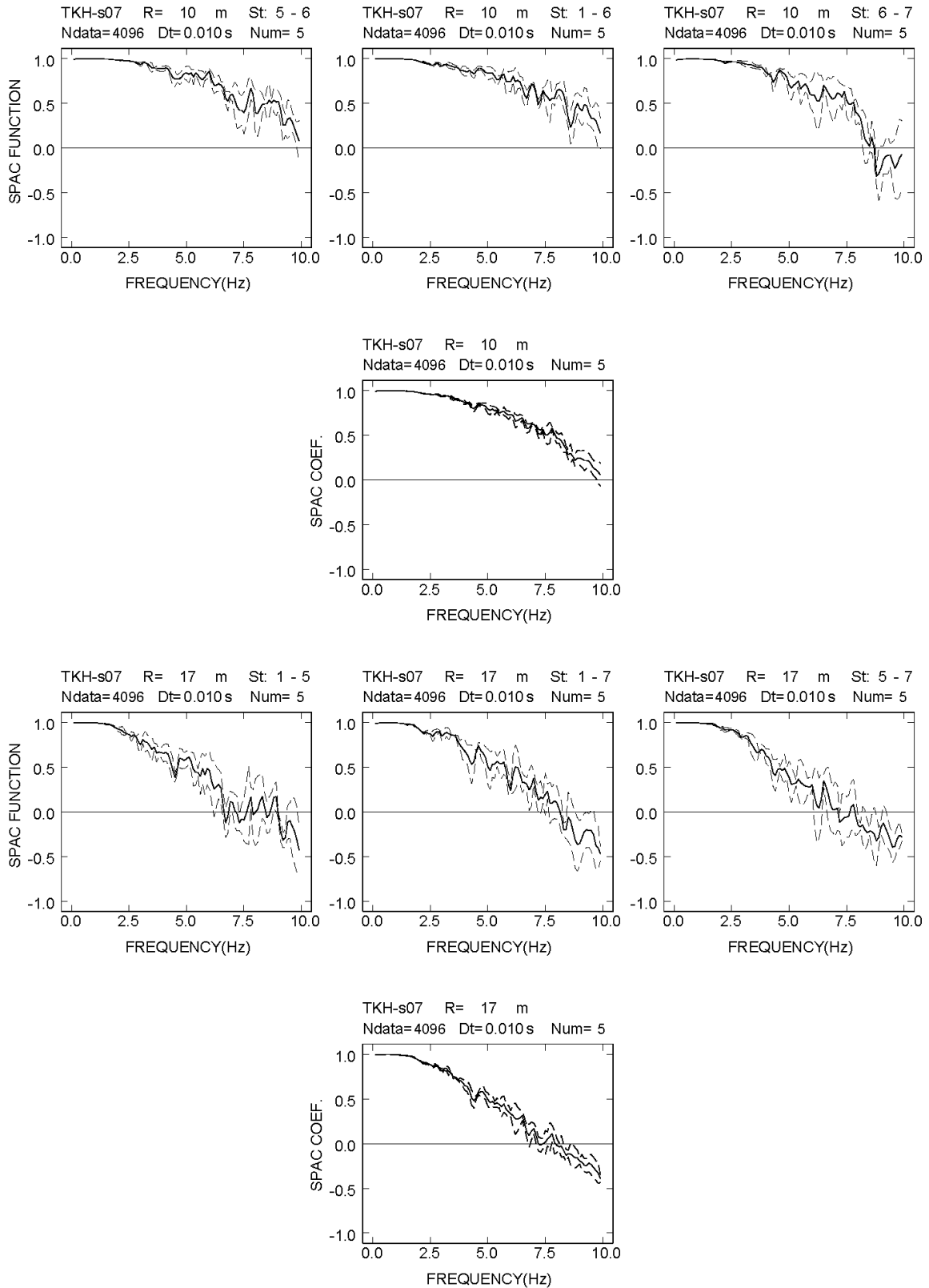
付図 2-9a-(10) 高萩 S アレイにおける各地震計間隔での空間自己相関係数



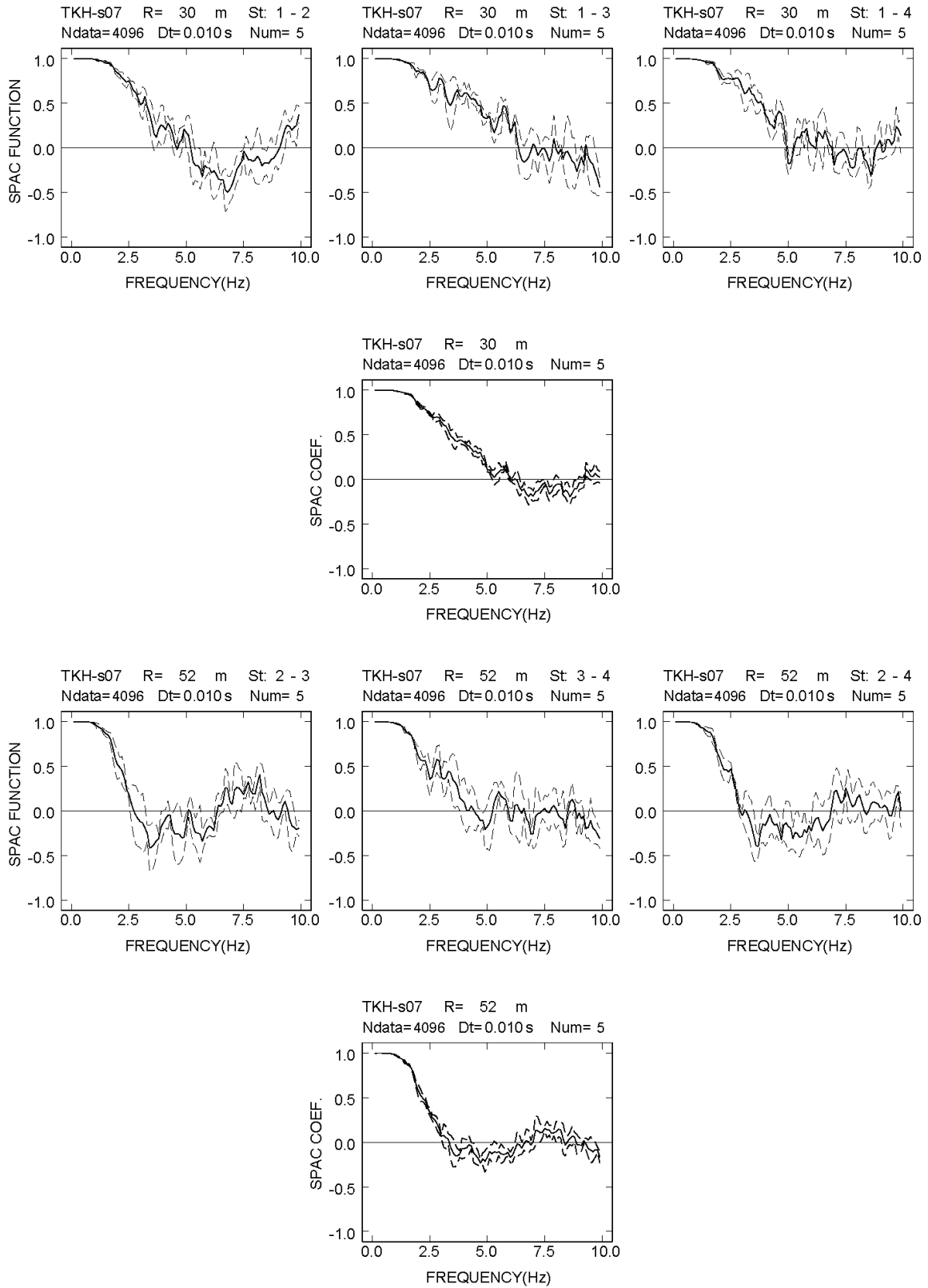
付図 2-9a-(11) 高萩 S アレイにおける各地震計間隔での空間自己相関係数



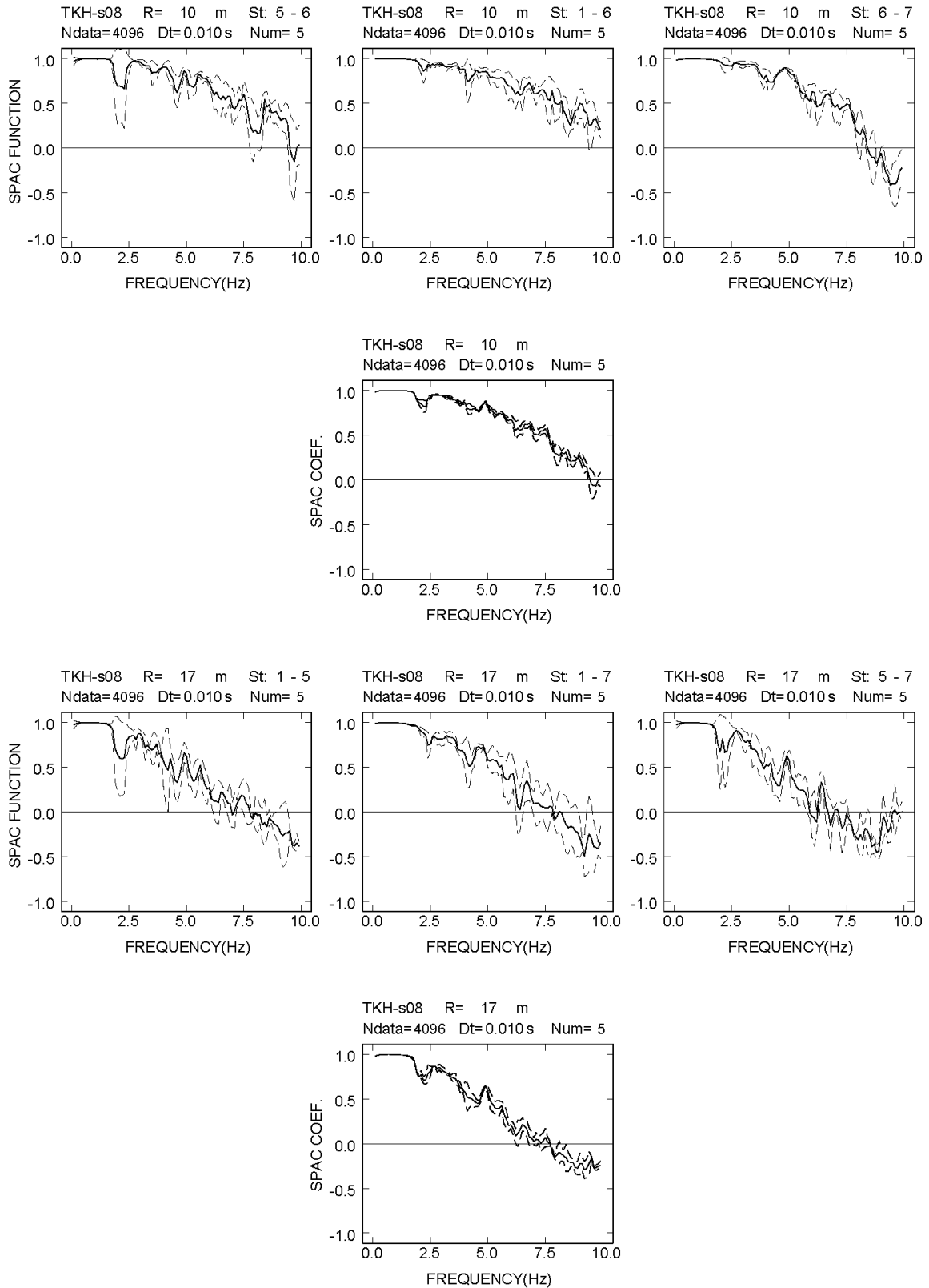
付図 2-9a-(12) 高萩 S アレイにおける各地震計間隔での空間自己相関係数



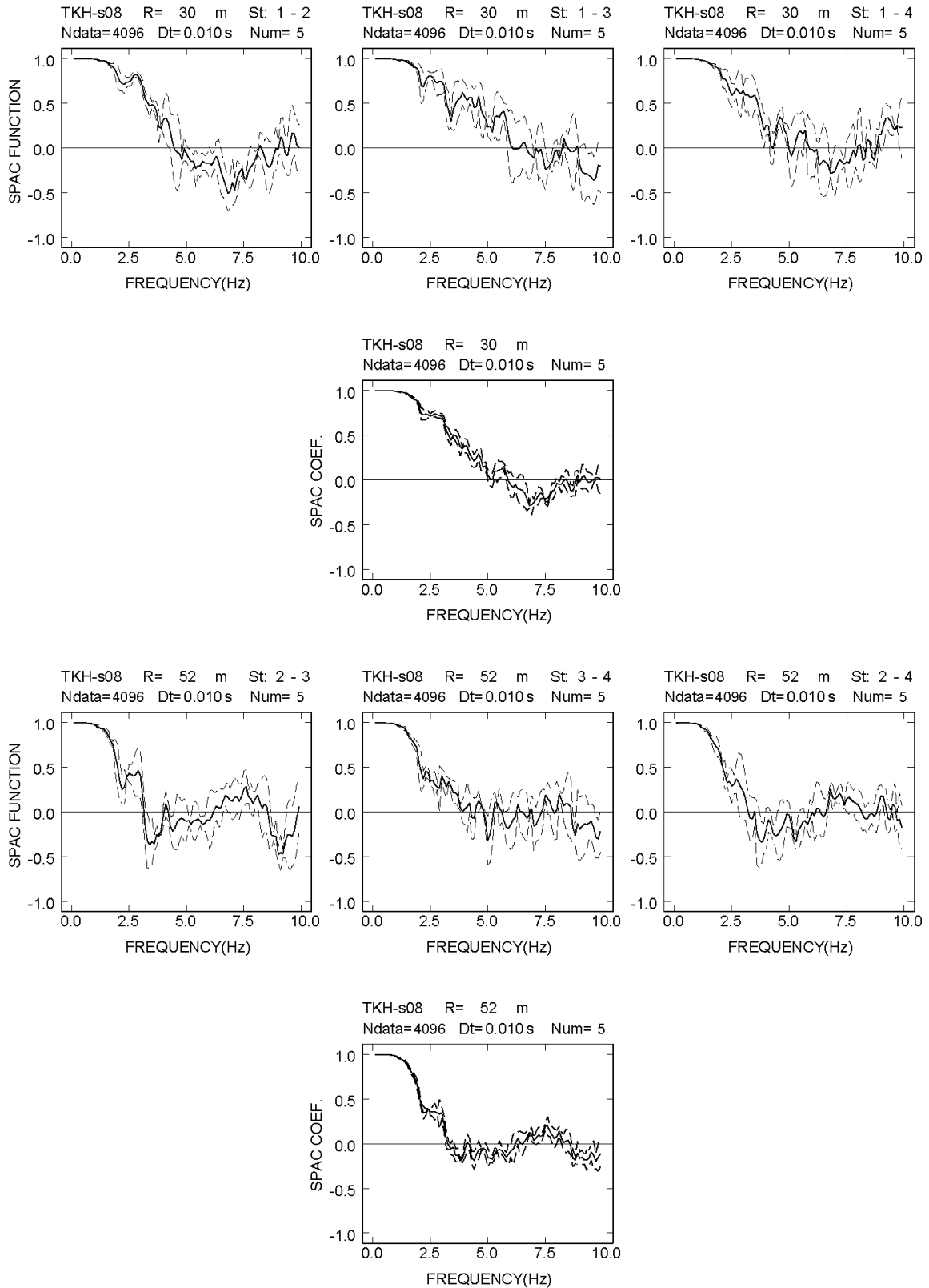
付図 2-9a-(13) 高萩 S アレイにおける各地震計間隔での空間自己相関係数



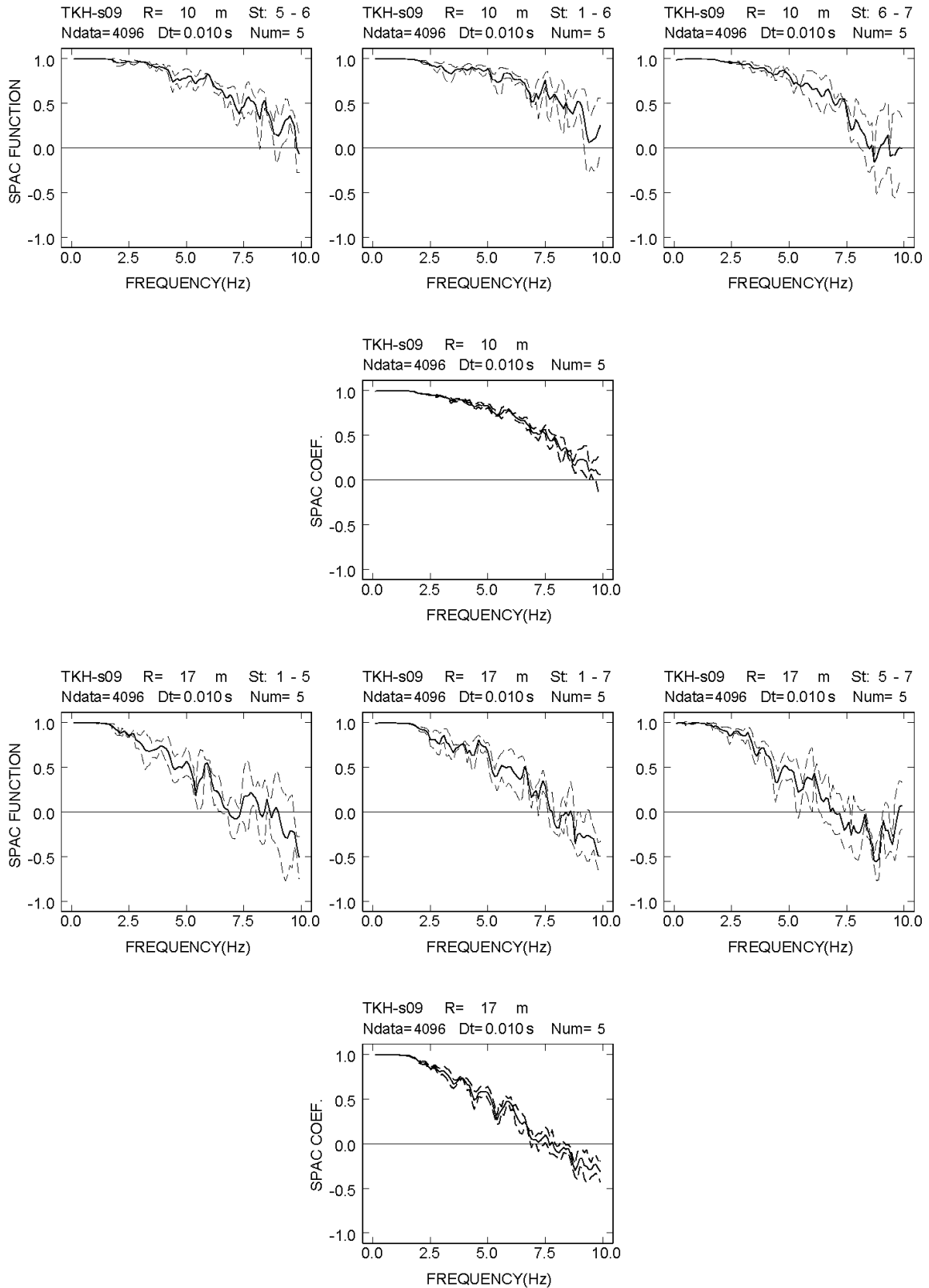
付図 2-9a-(14) 高萩 S アレイにおける各地震計間隔での空間自己相関係数



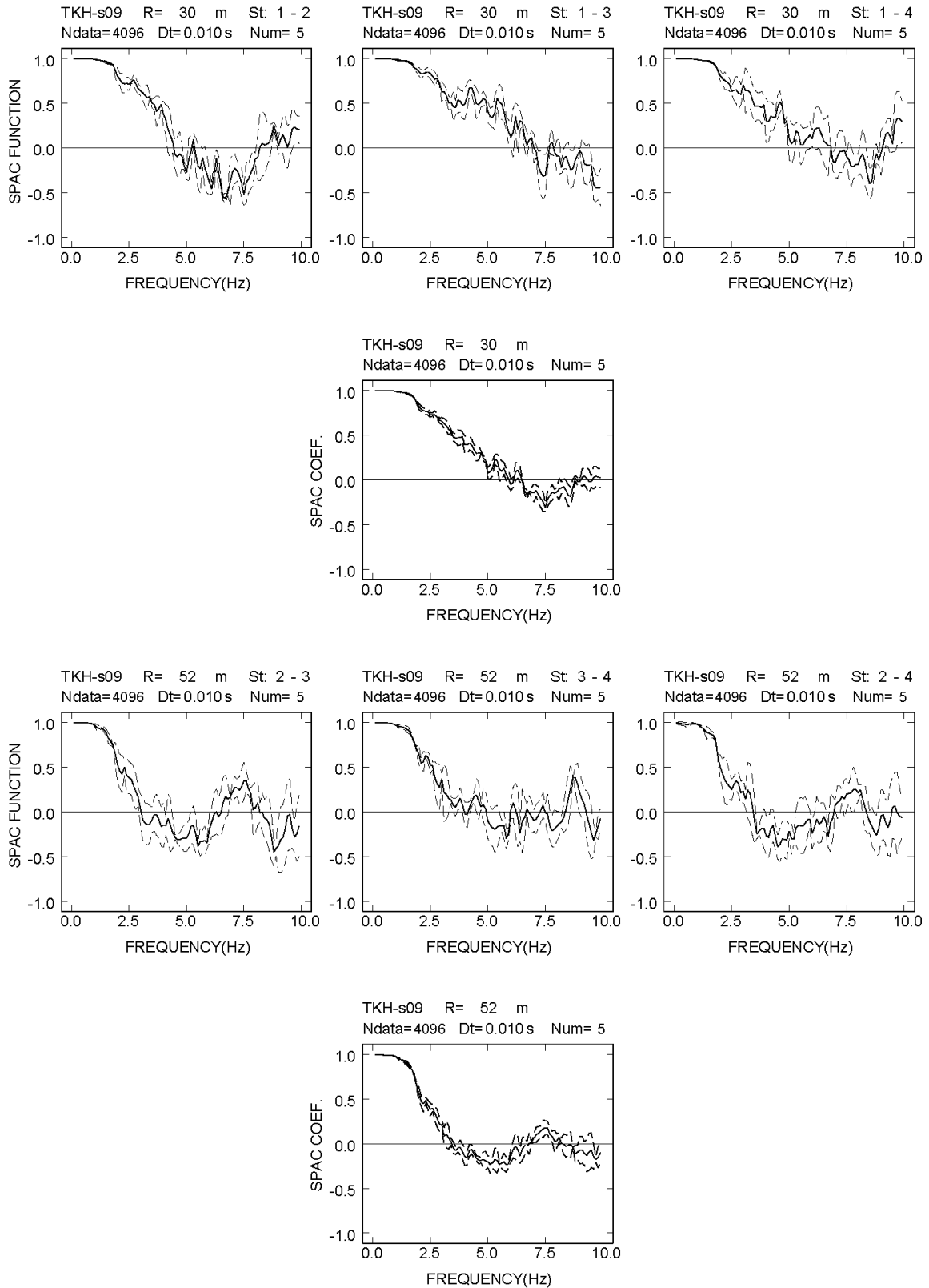
付図 2-9a-(15) 高萩 S アレイにおける各地震計間隔での空間自己相関係数



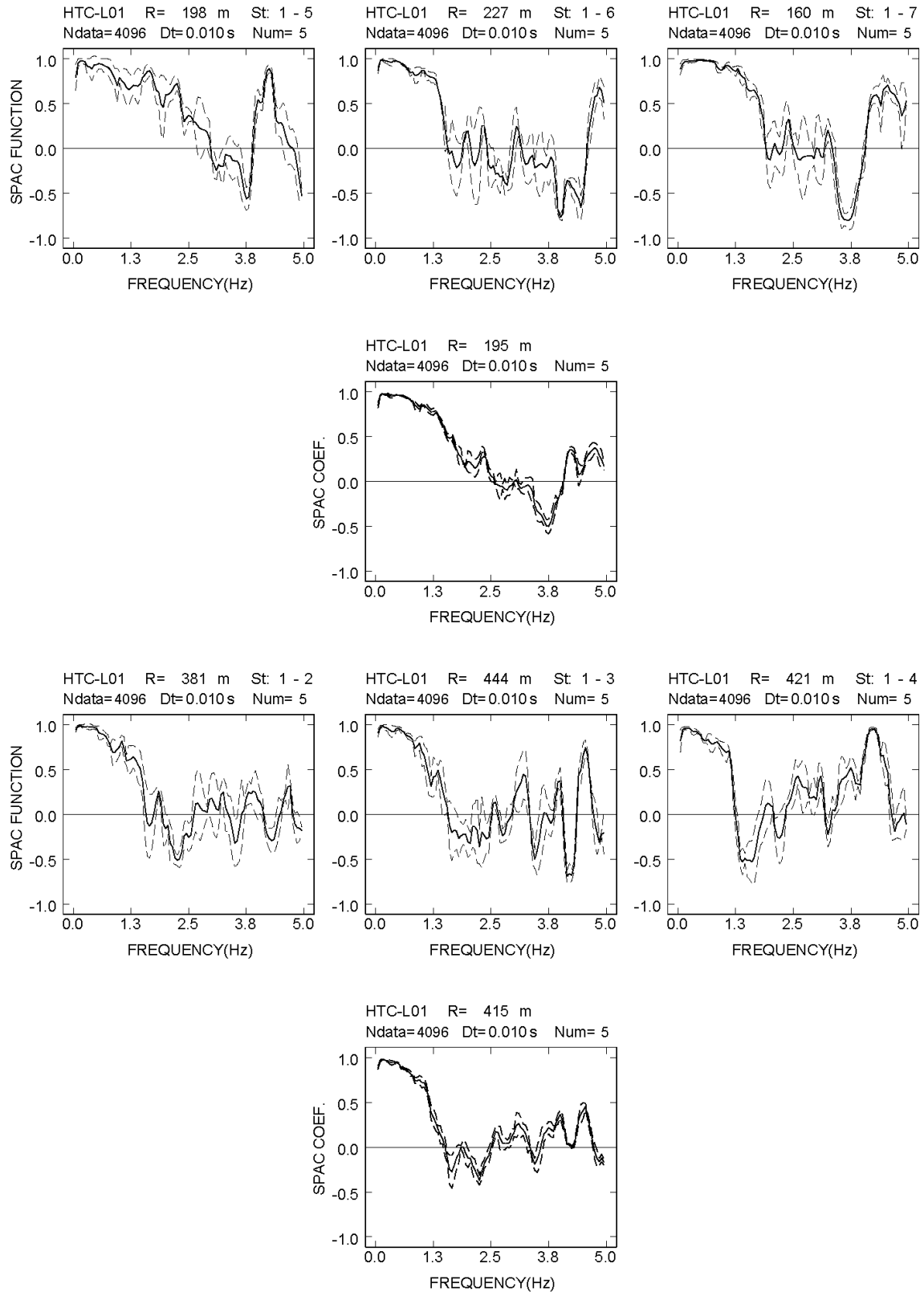
付図 2-9a-(16) 高萩 S アレイにおける各地震計間隔での空間自己相関係数



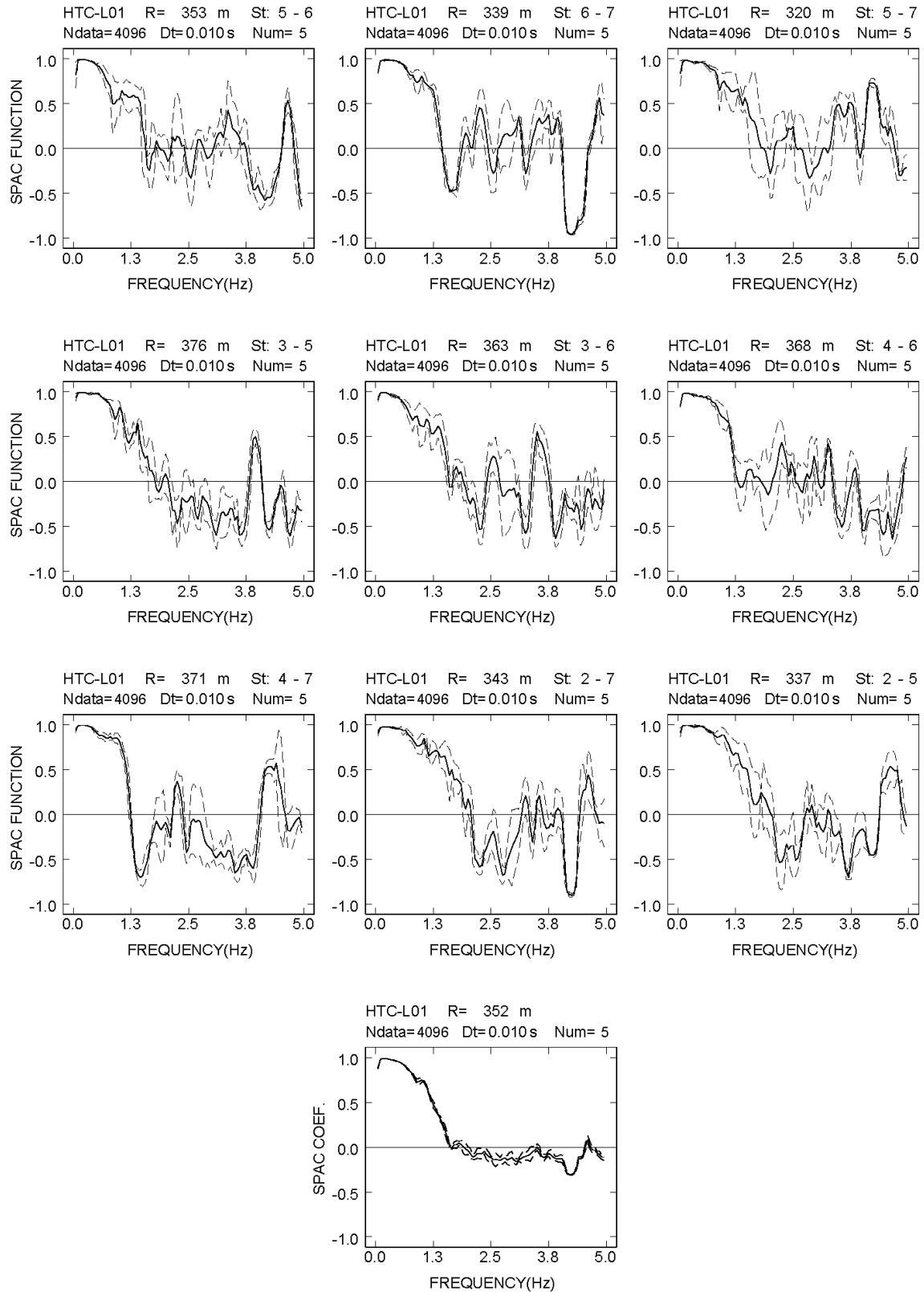
付図 2-9a-(17) 高萩 S アレイにおける各地震計間隔での空間自己相関係数



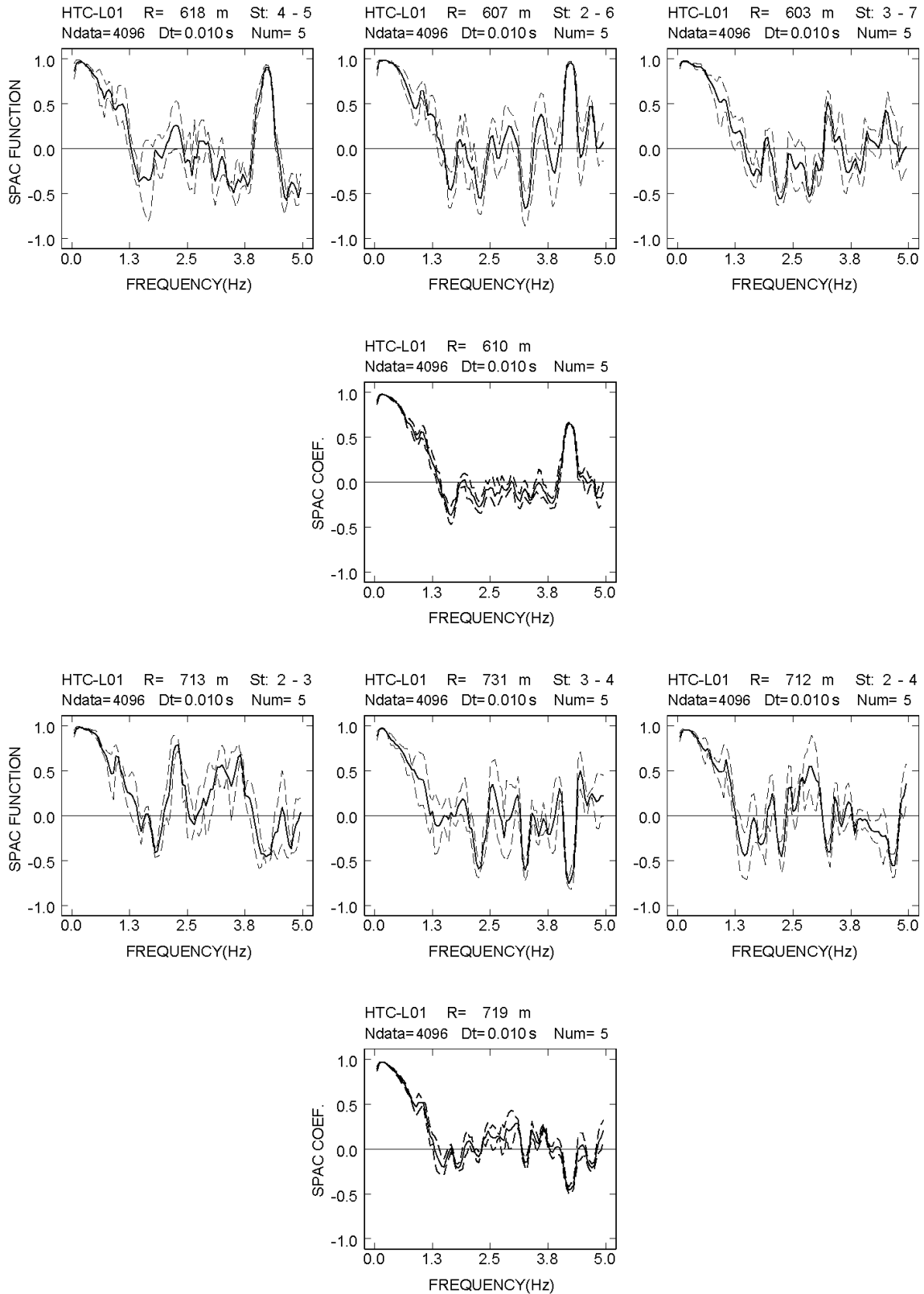
付図 2-9a-(18) 高萩 S アレイにおける各地震計間隔での空間自己相関係数



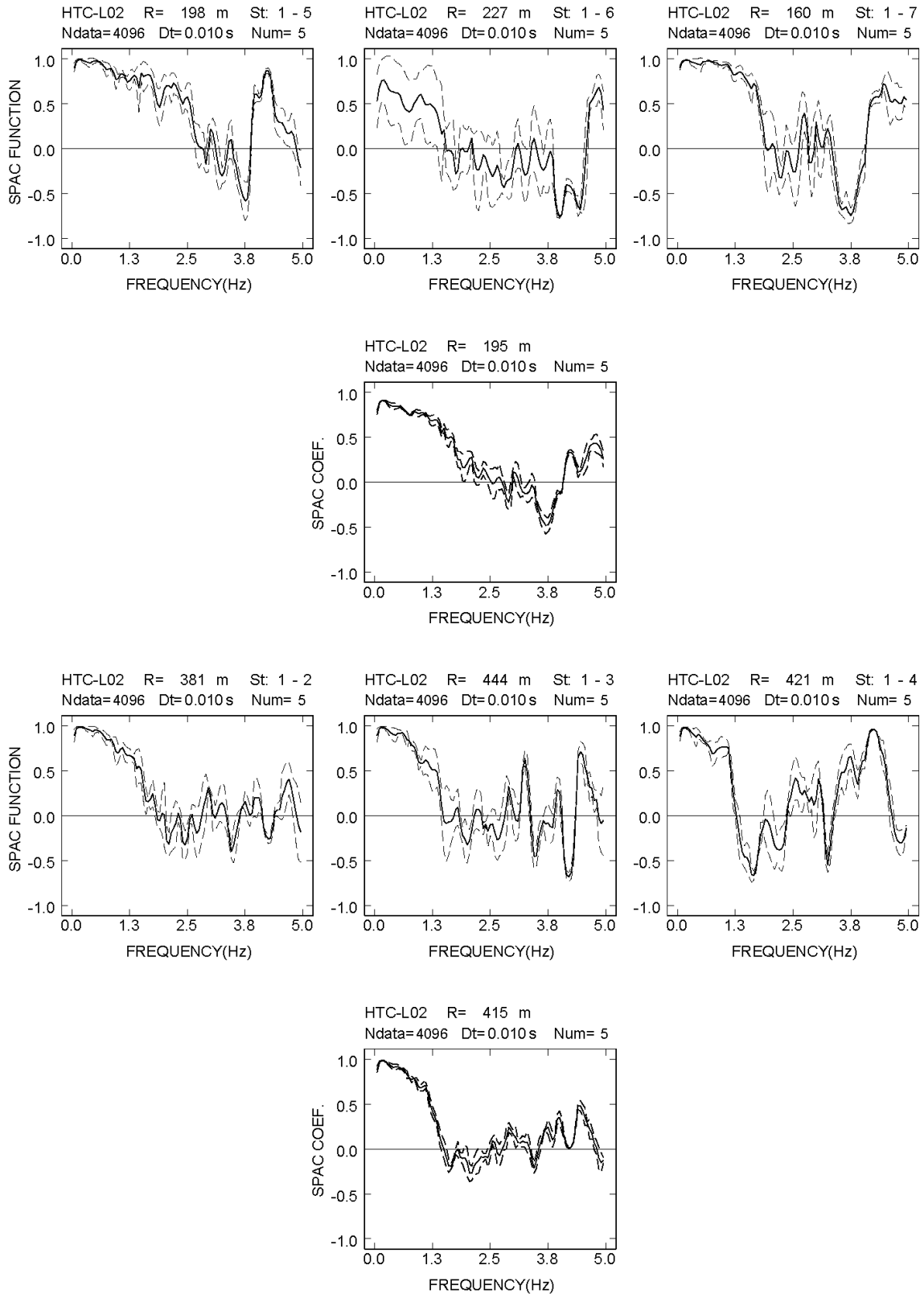
付図 2-10a-(1) 日立 L アレイにおける各地震計間隔での空間自己相関係数



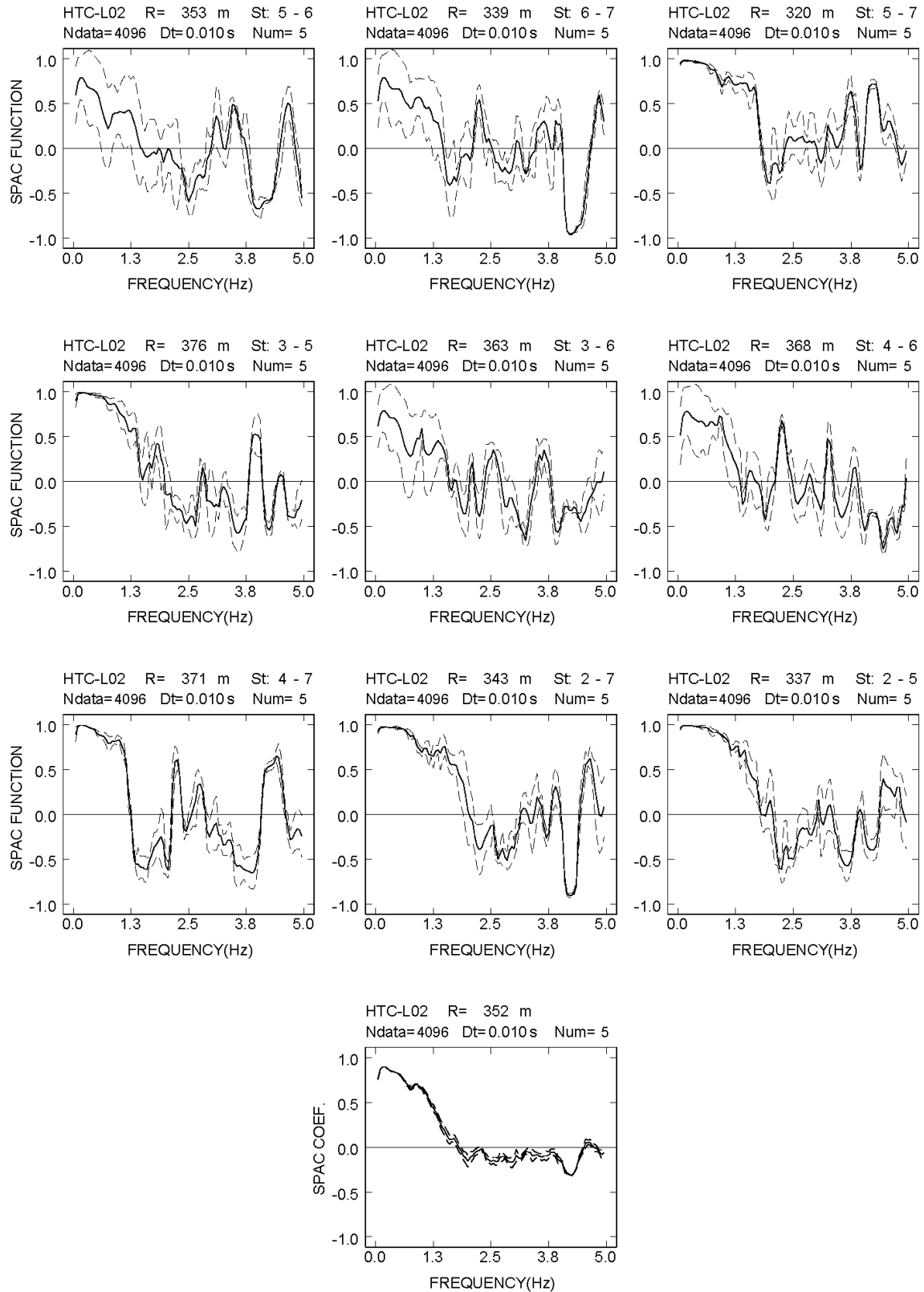
付図 2-10a-(2) 日立 L アレイにおける各地震計間隔での空間自己相関係数



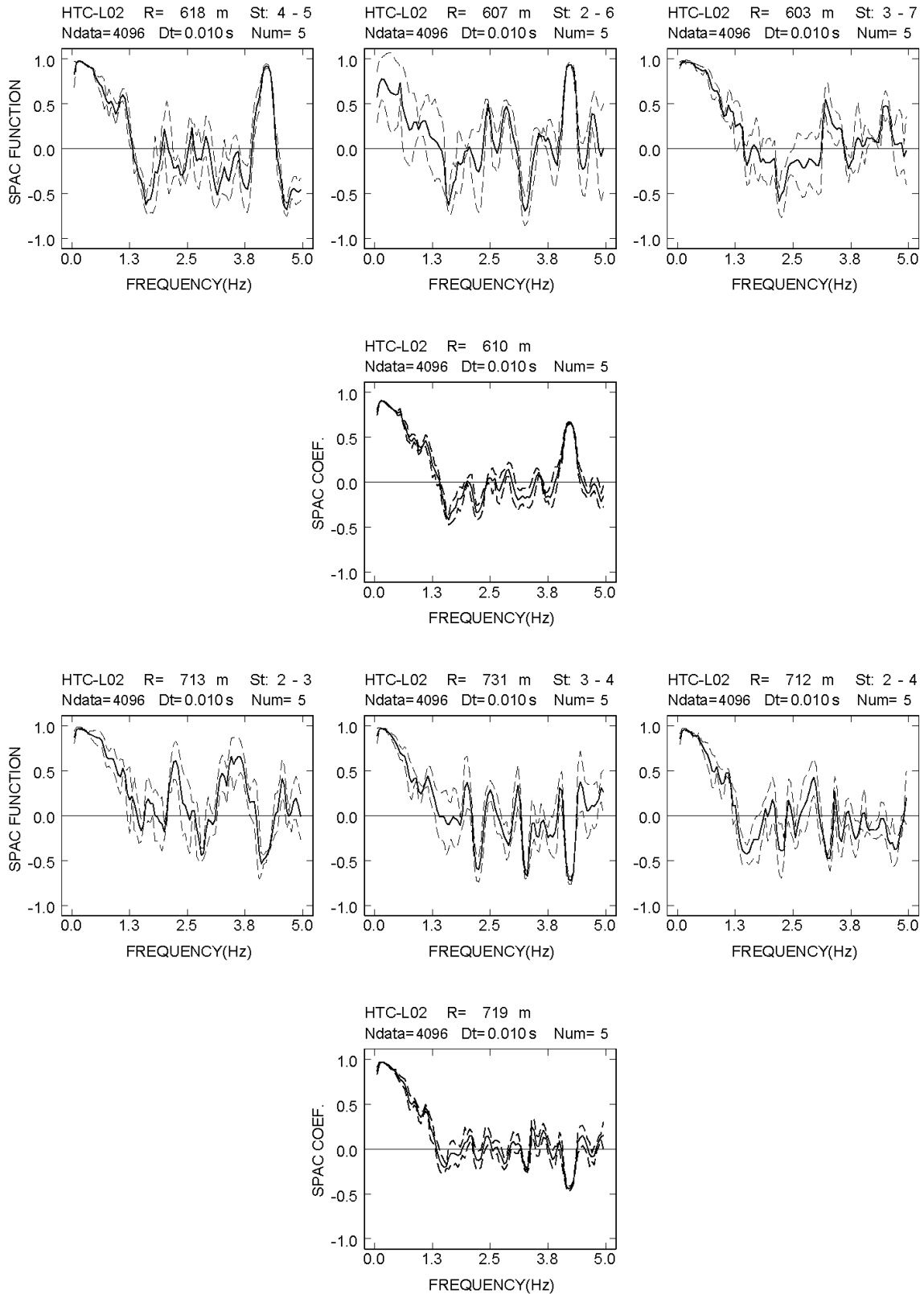
付図 2-10a-(3) 日立 L アレイにおける各地震計間隔での空間自己相関係数



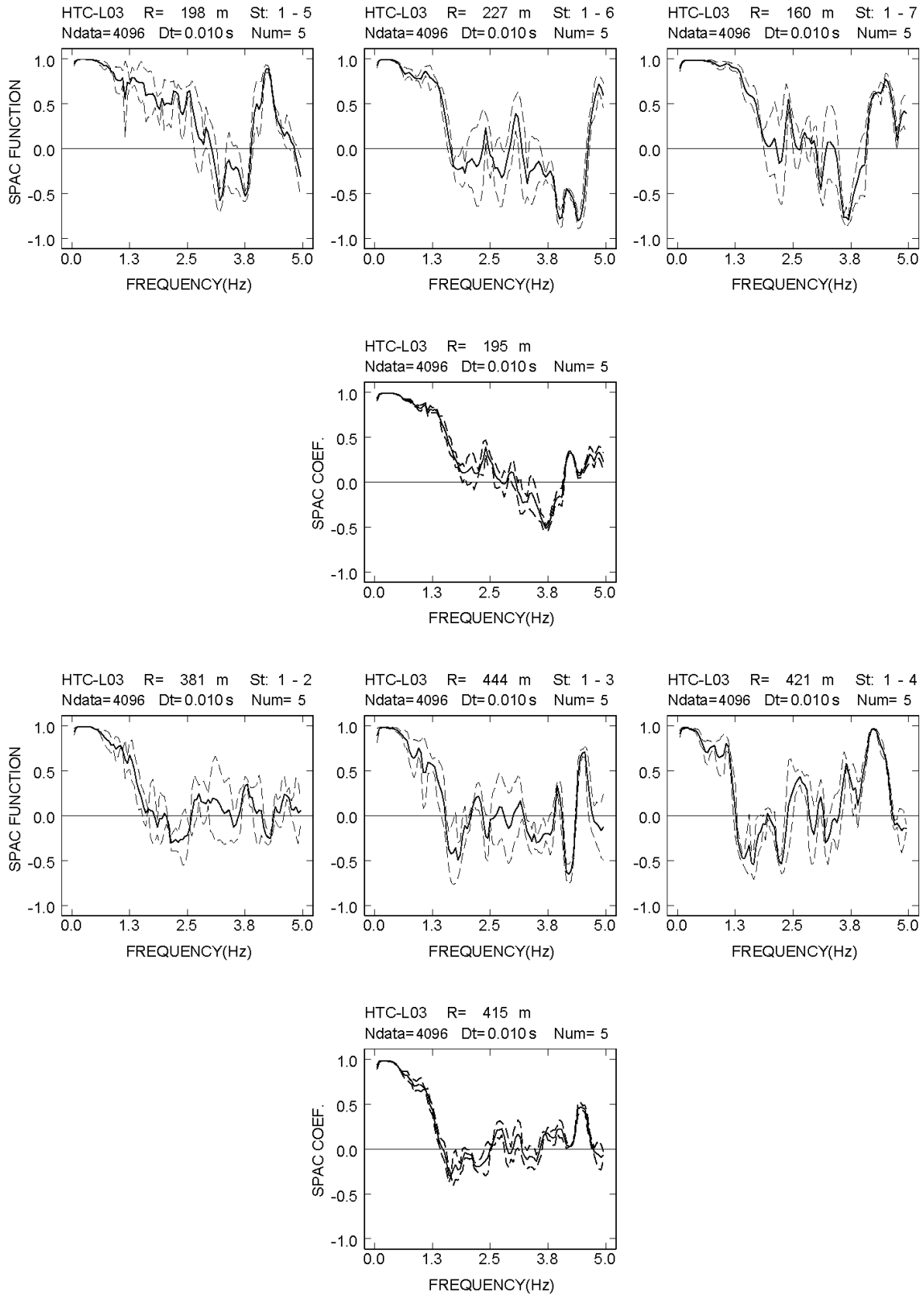
付図 2-10a-(4) 日立 L アレイにおける各地震計間隔での空間自己相関係数



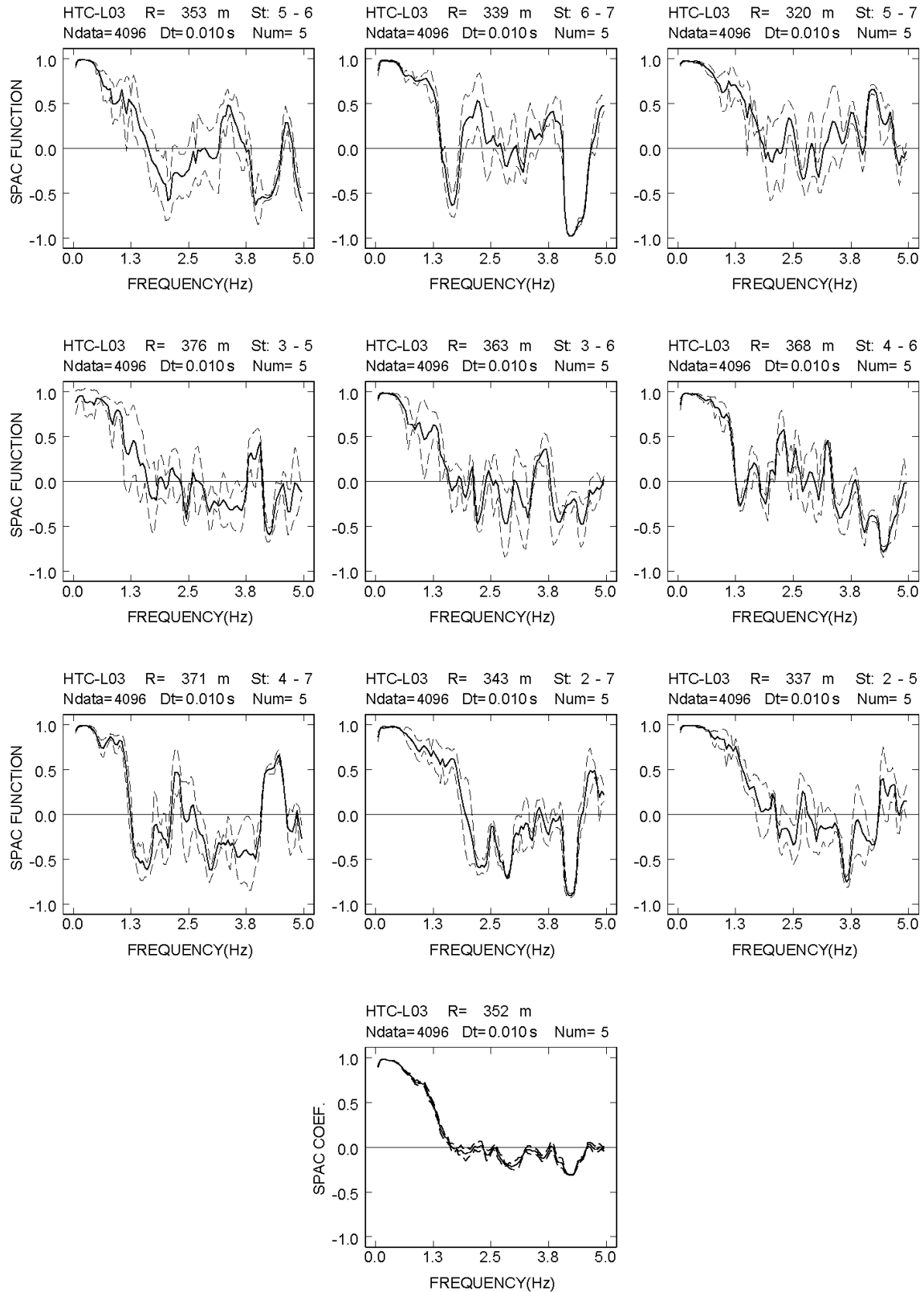
付図 2-10a-(5) 日立 L アレイにおける各地震計間隔での空間自己相関係数



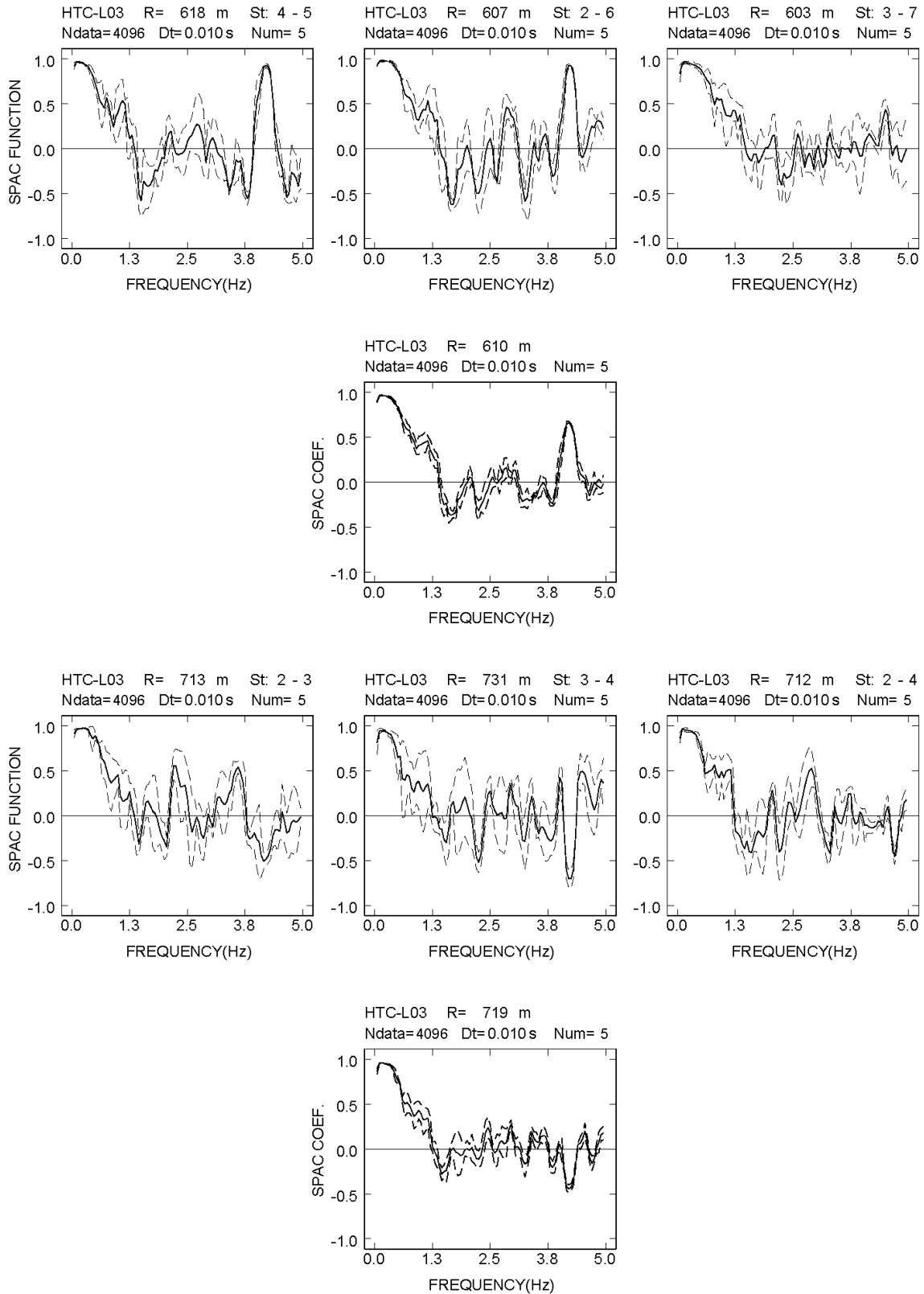
付図 2-10a-(6) 日立 L アレイにおける各地震計間隔での空間自己相関係数



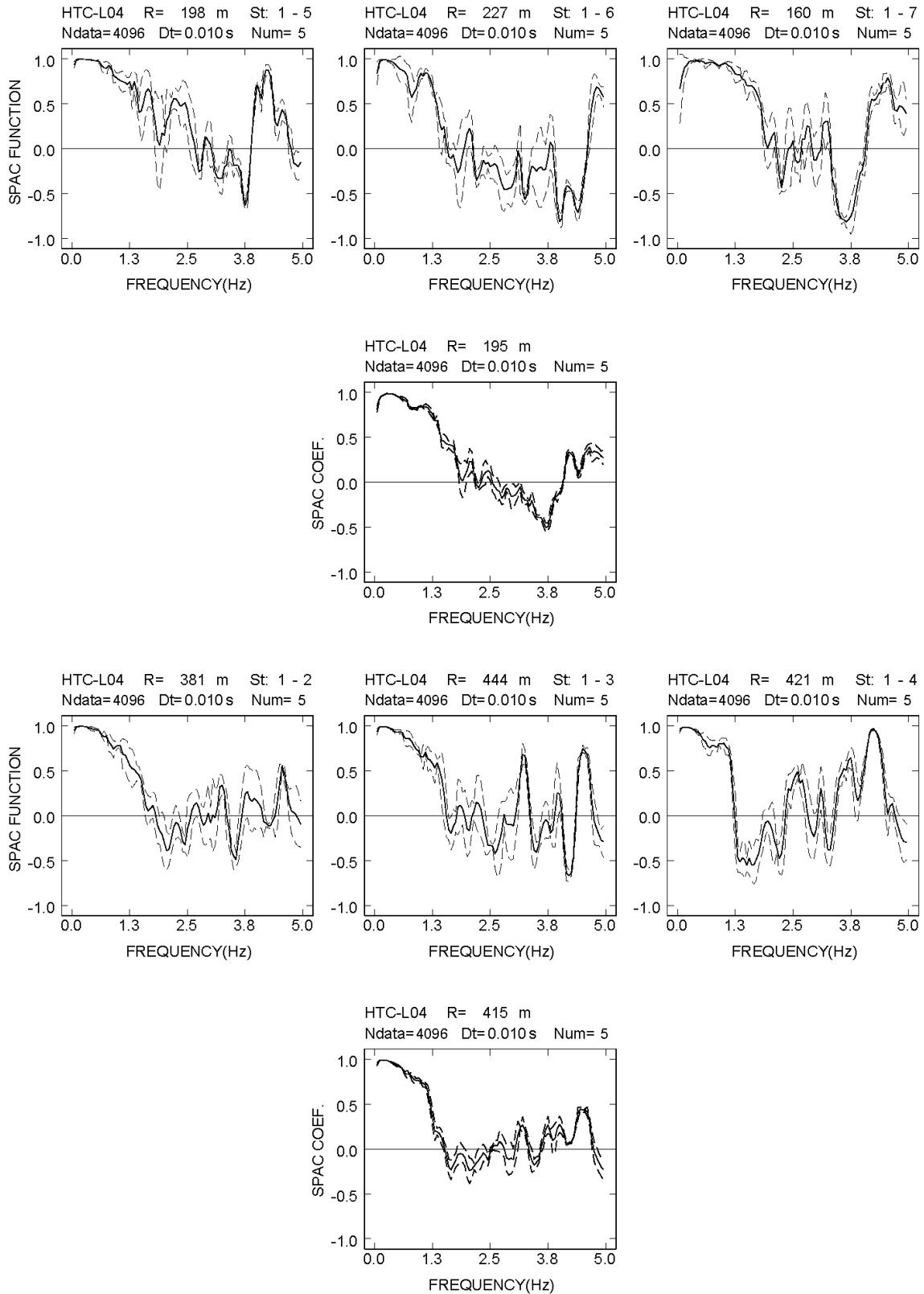
付図 2-10a-(7) 日立 L アレイにおける各地震計間隔での空間自己相関係数



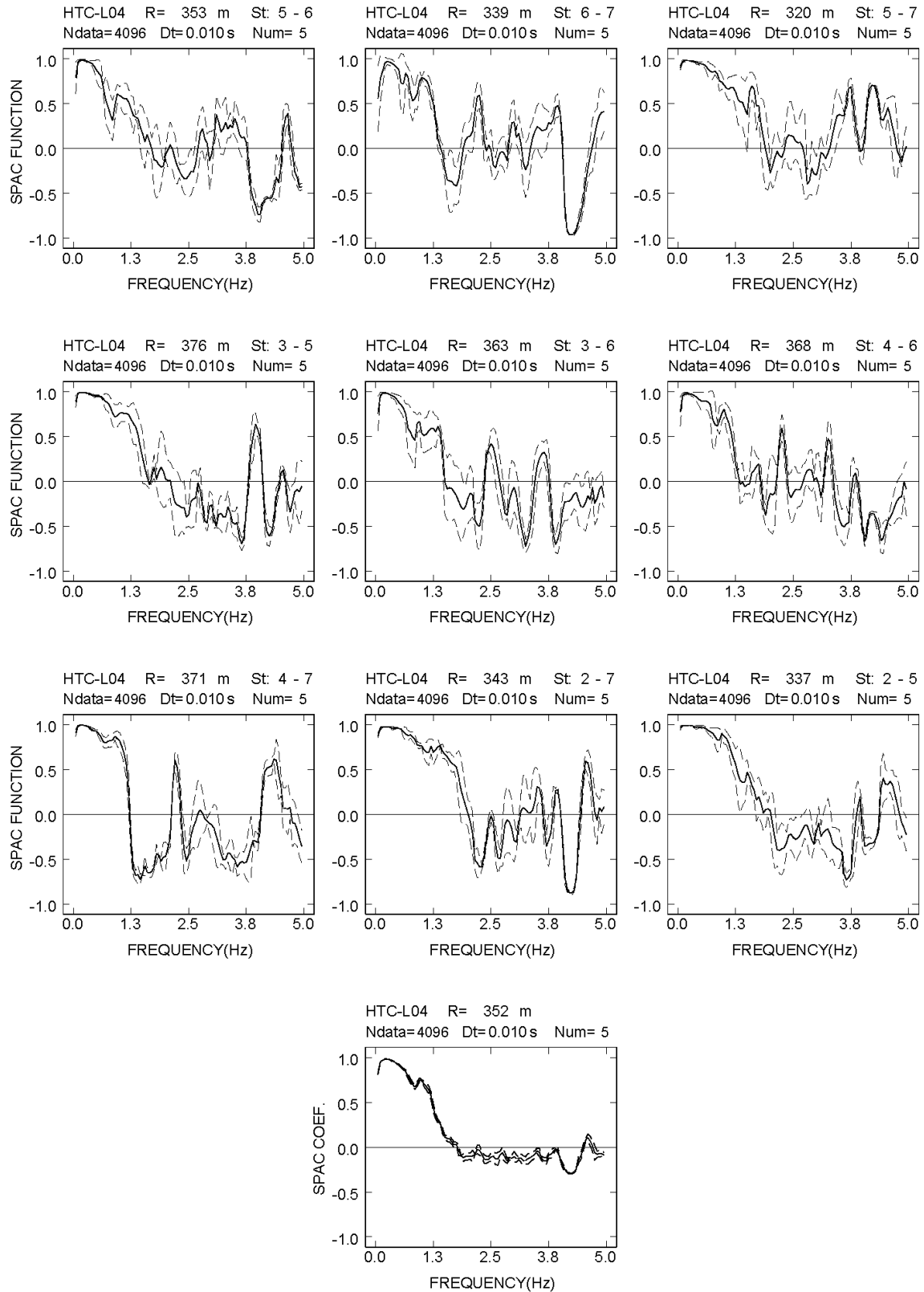
付図 2-10a-(8) 日立 L アレイにおける各地震計間隔での空間自己相関係数



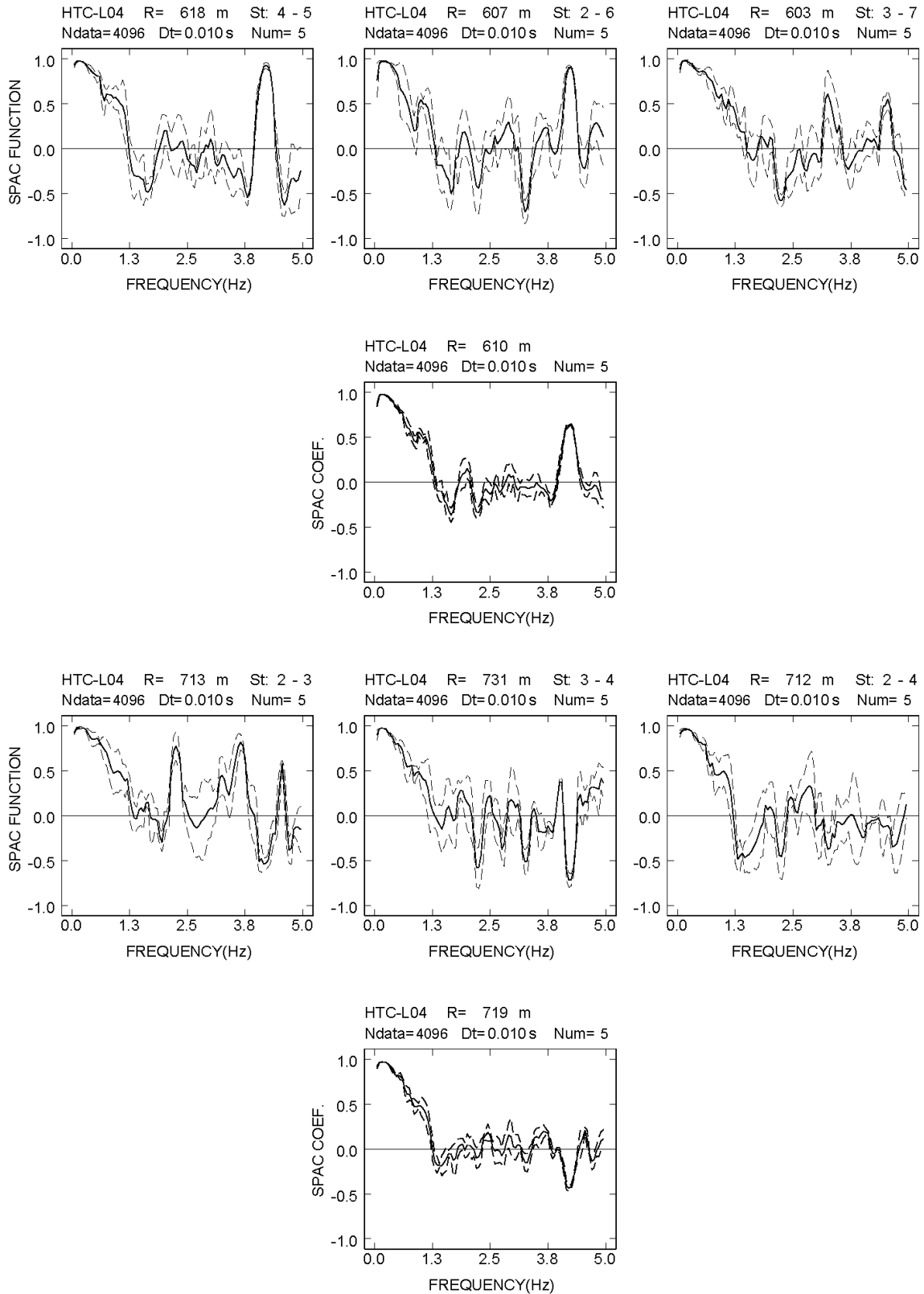
付図 2-10a-(9) 日立 L アレイにおける各地震計間隔での空間自己相関係数



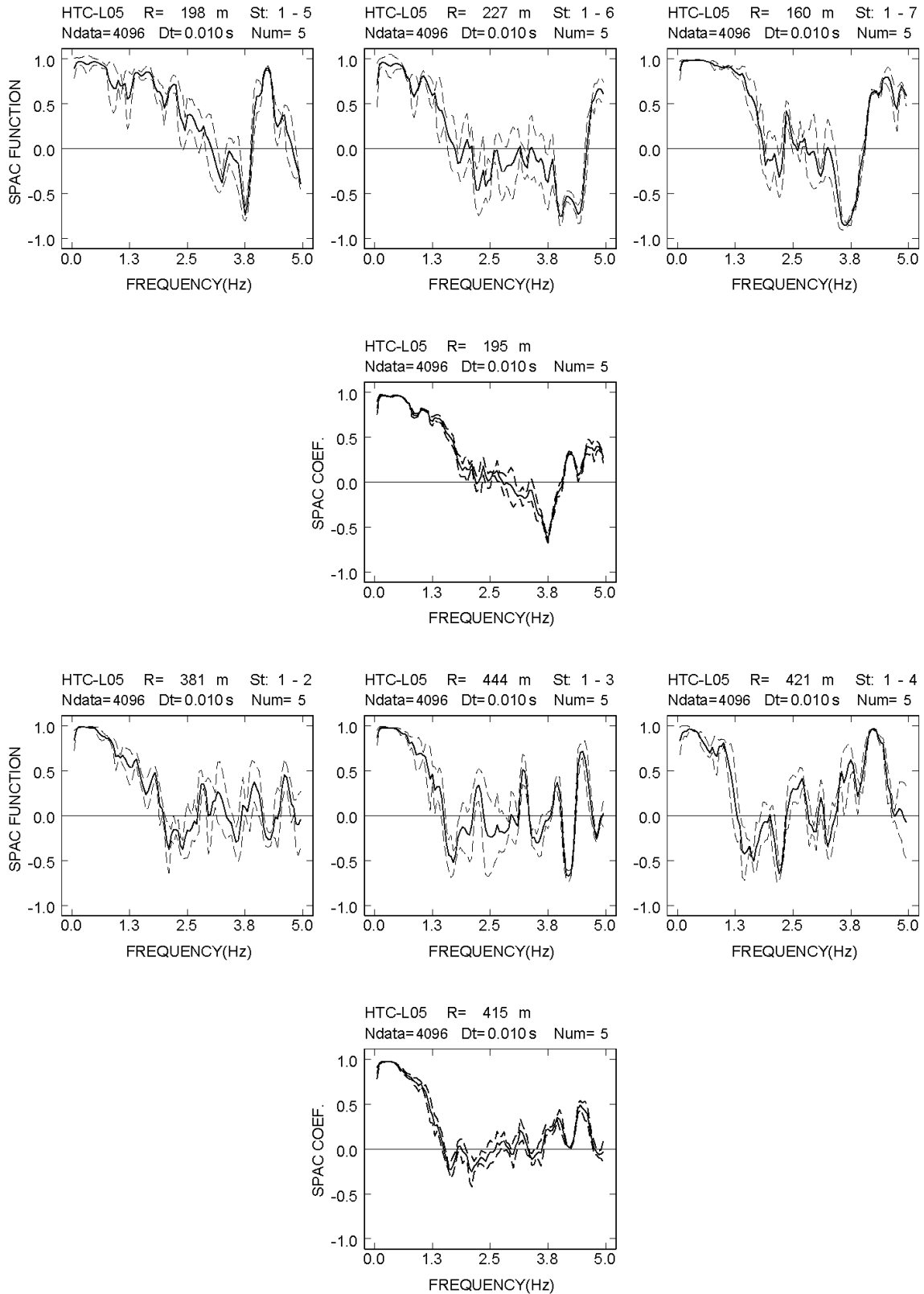
付図 2-10a-(10) 日立 L アレイにおける各地震計間隔での空間自己相関係数



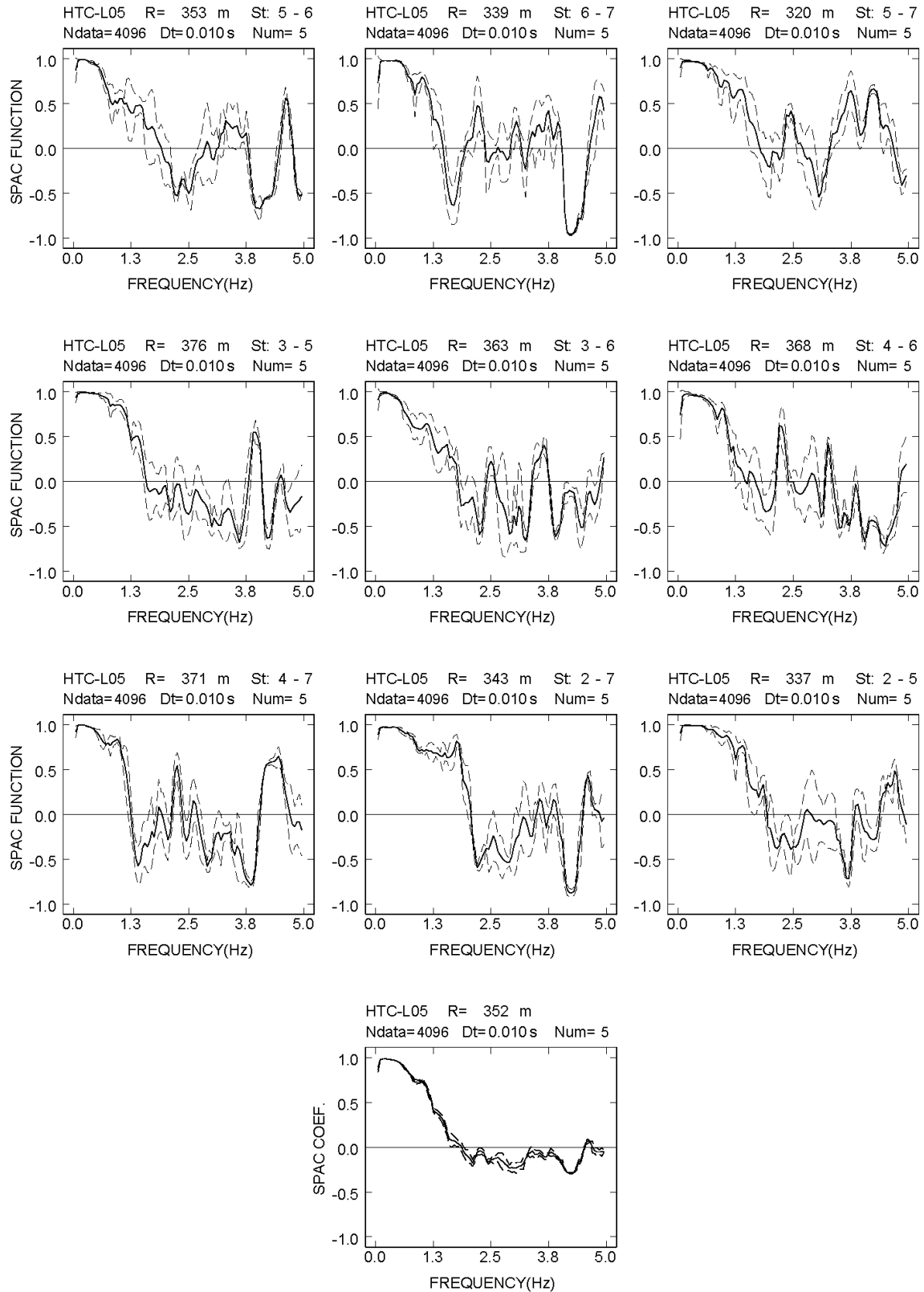
付図 2-10a-(11) 日立 L アレイにおける各地震計間隔での空間自己相関係数



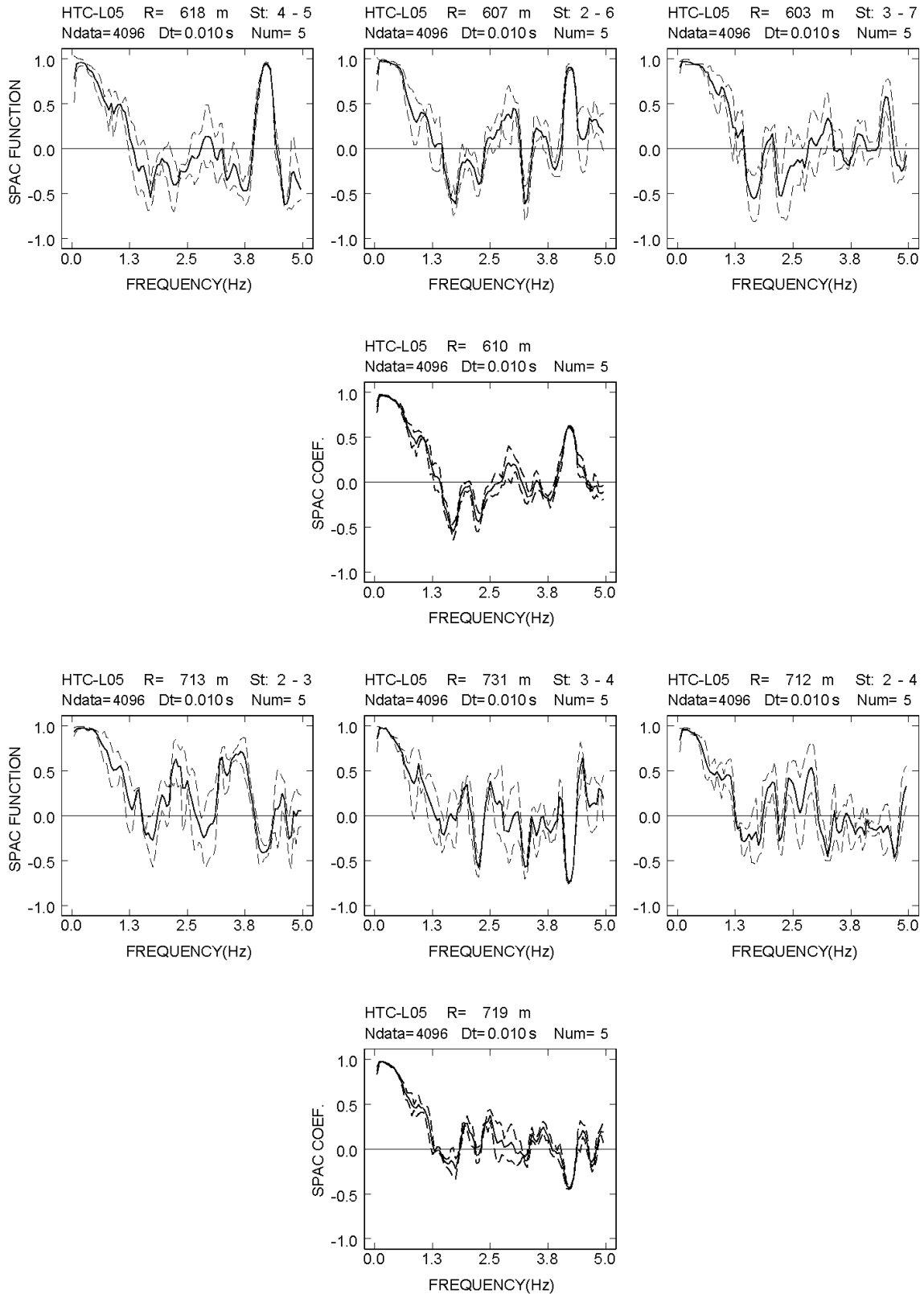
付図 2-10a-(12) 日立 L アレイにおける各地震計間隔での空間自己相関係数



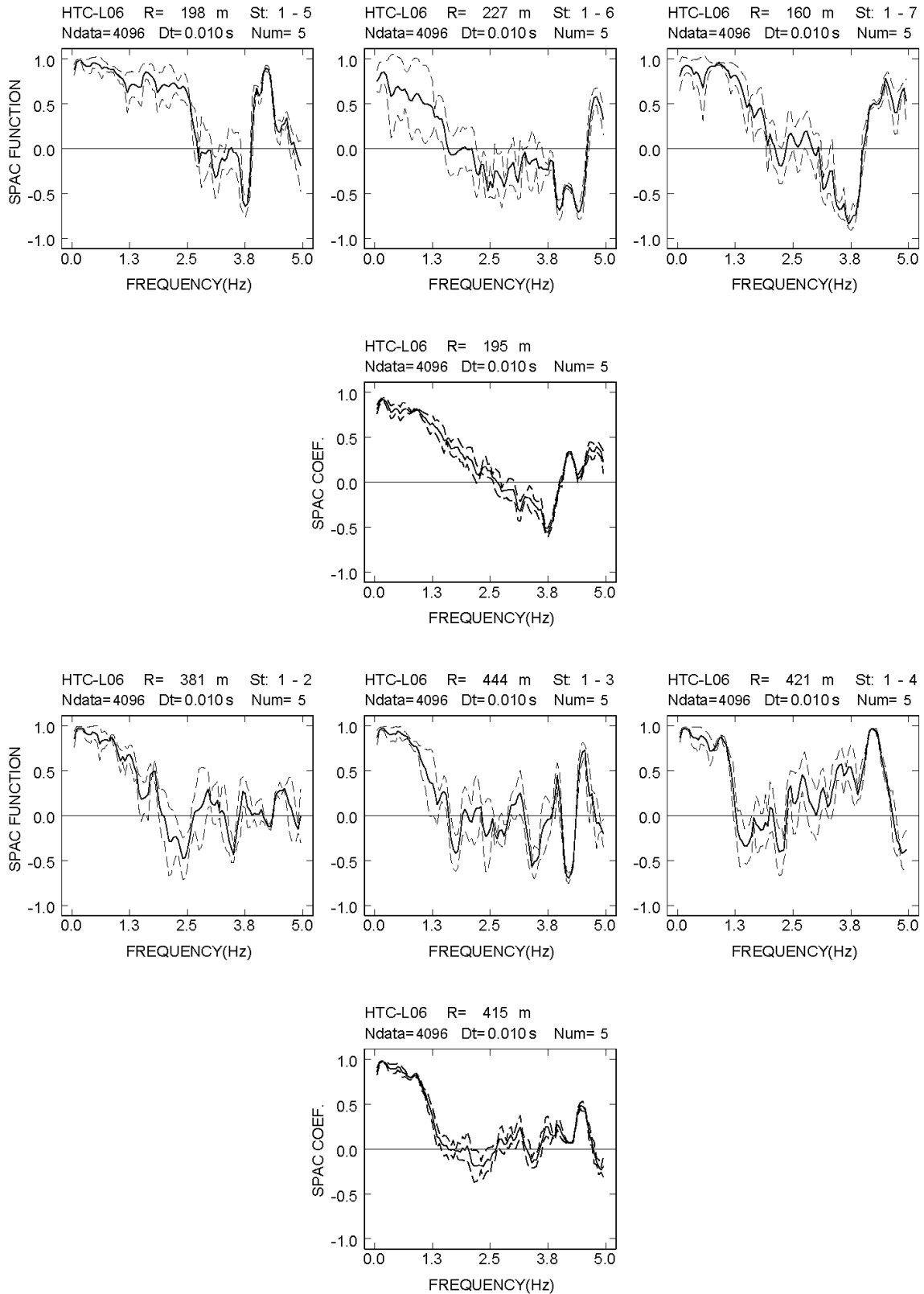
付図 2-10a-(13) 日立 L アレイにおける各地震計間隔での空間自己相関係数



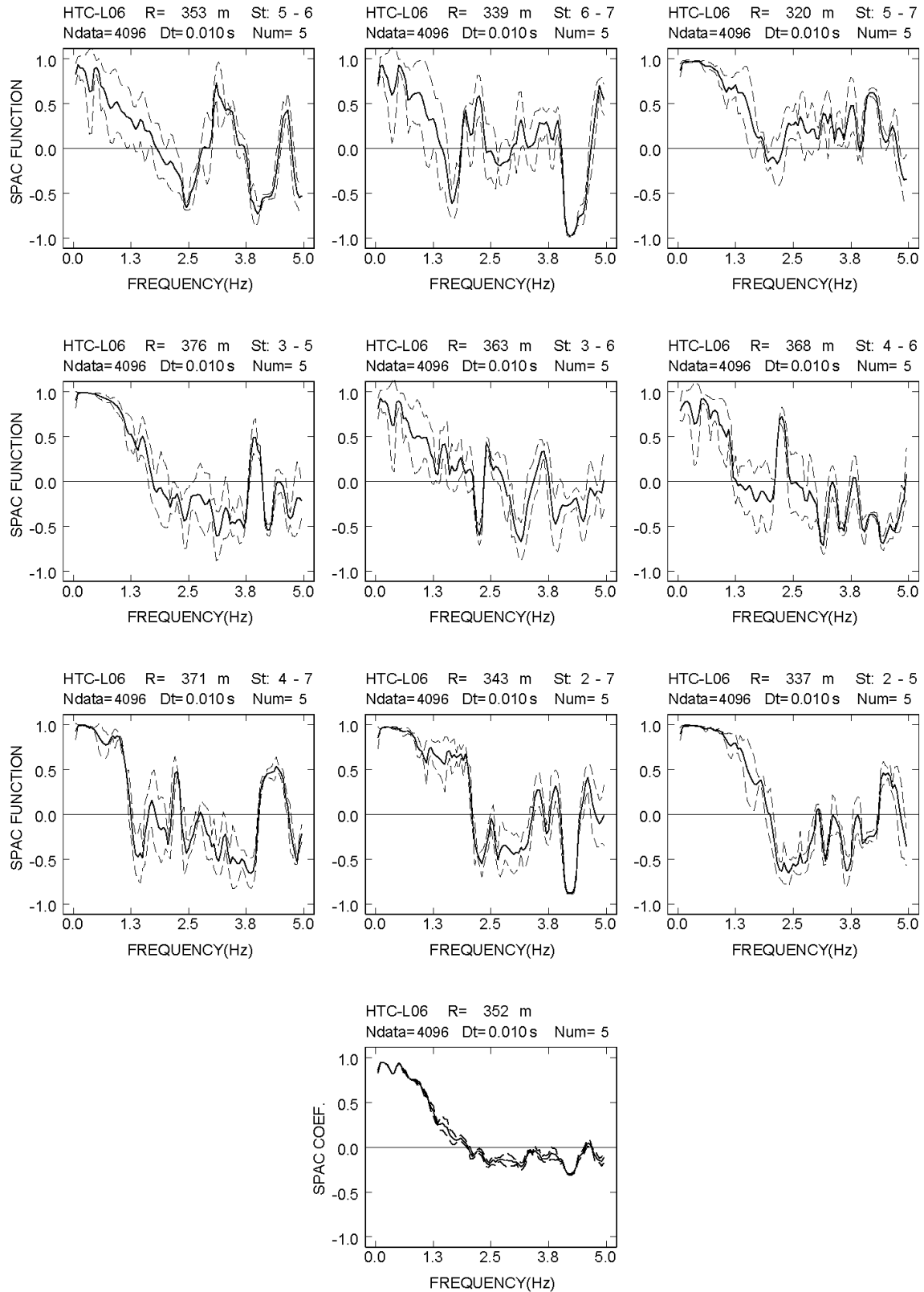
付図 2-10a-(14) 日立 L アレイにおける各地震計間隔での空間自己相関係数



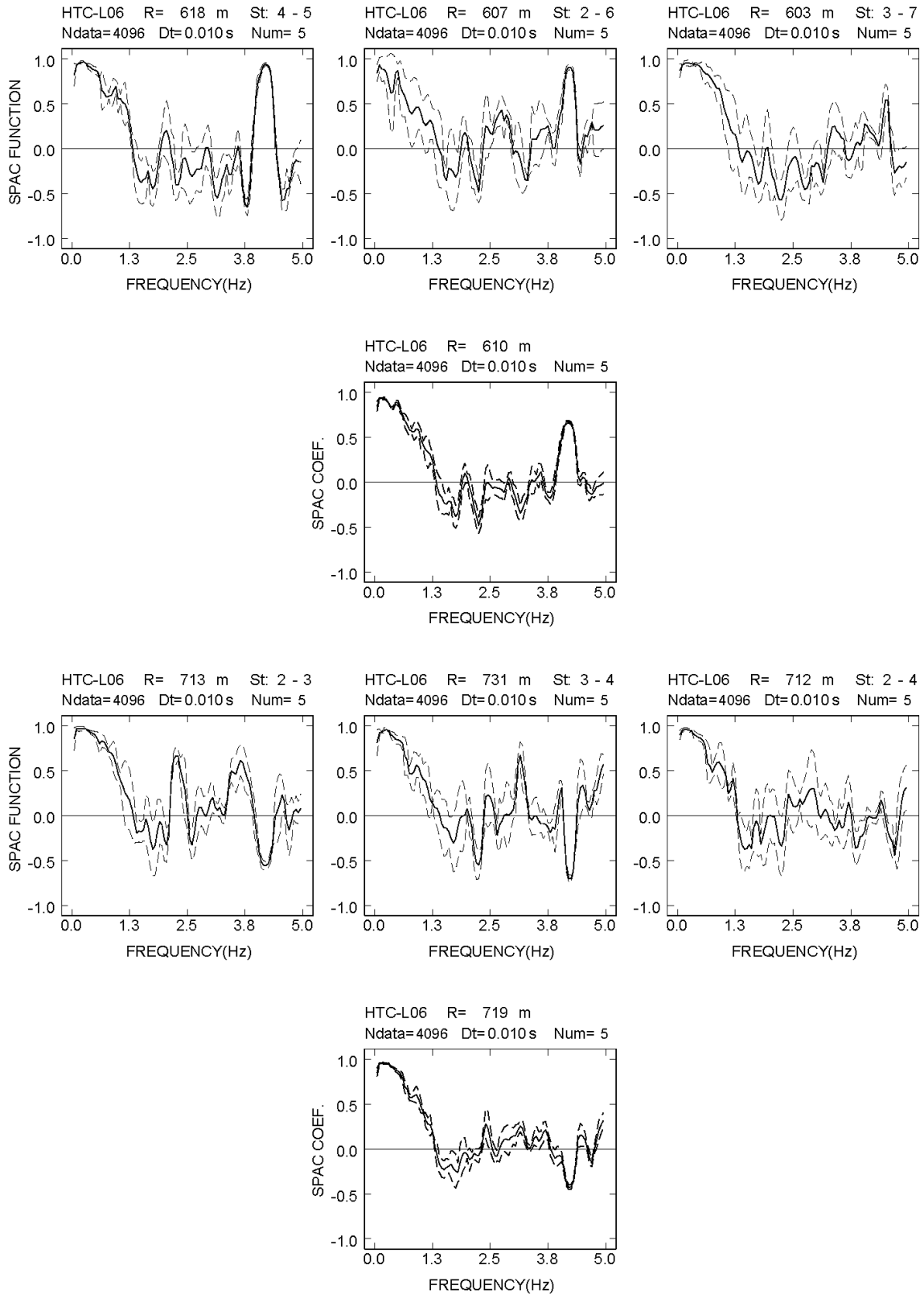
付図 2-10a-(15) 日立 L アレイにおける各地震計間隔での空間自己相関係数



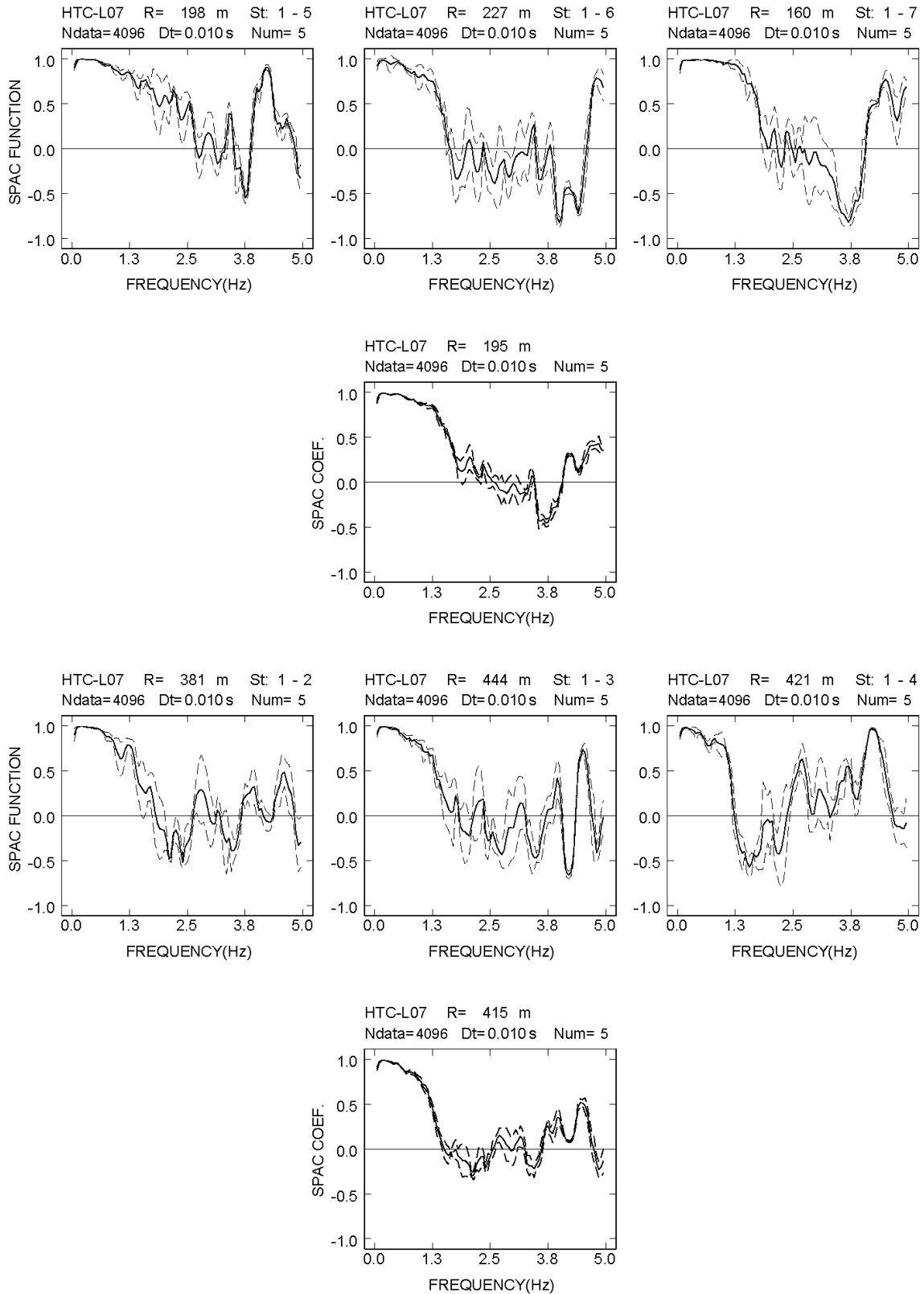
付図 2-10a-(16) 日立 L アレイにおける各地震計間隔での空間自己相関係数



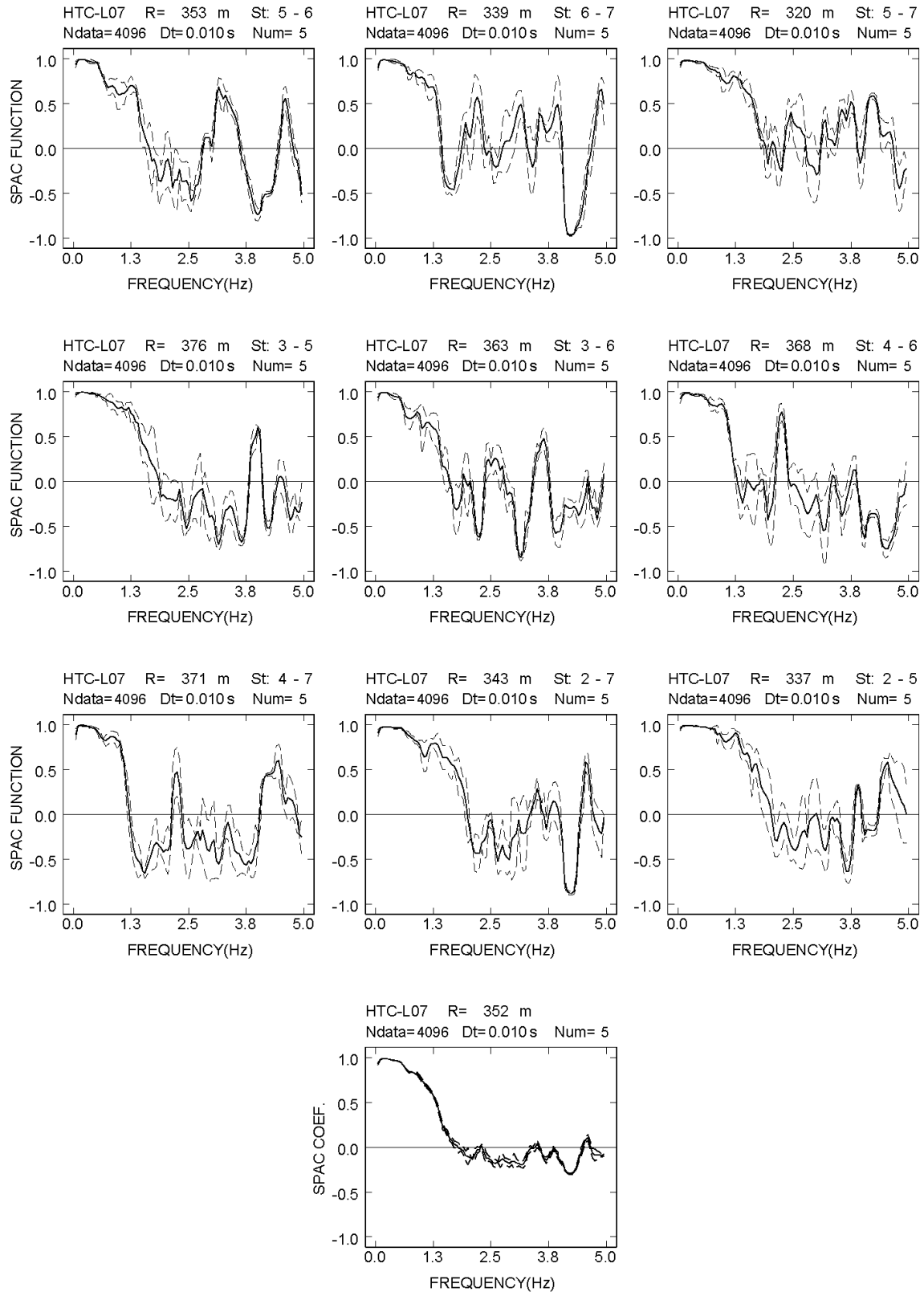
付図 2-10a-(17) 日立 L アレイにおける各地震計間隔での空間自己相関係数



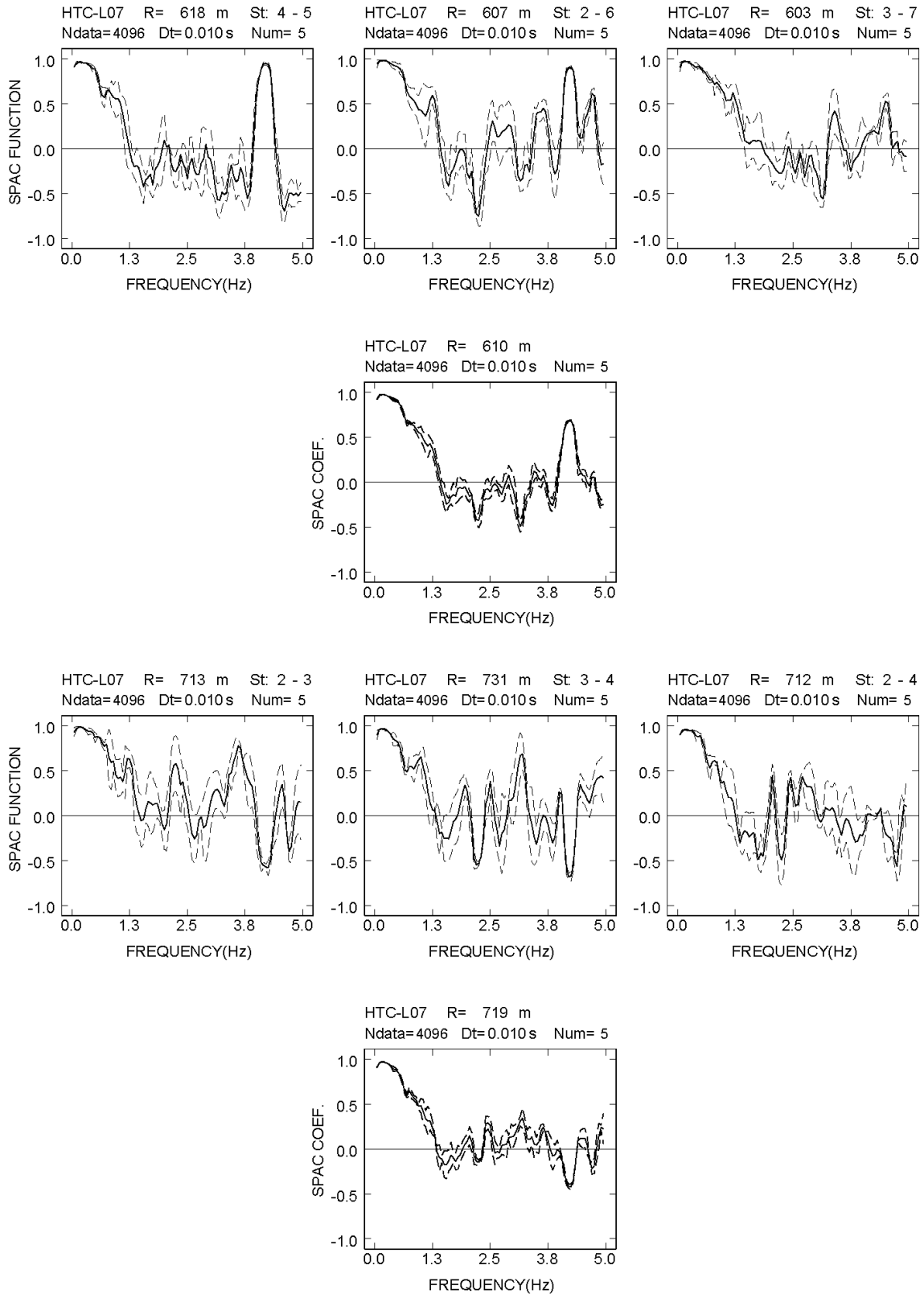
付図 2-10a-(18) 日立 L アレイにおける各地震計間隔での空間自己相関係数



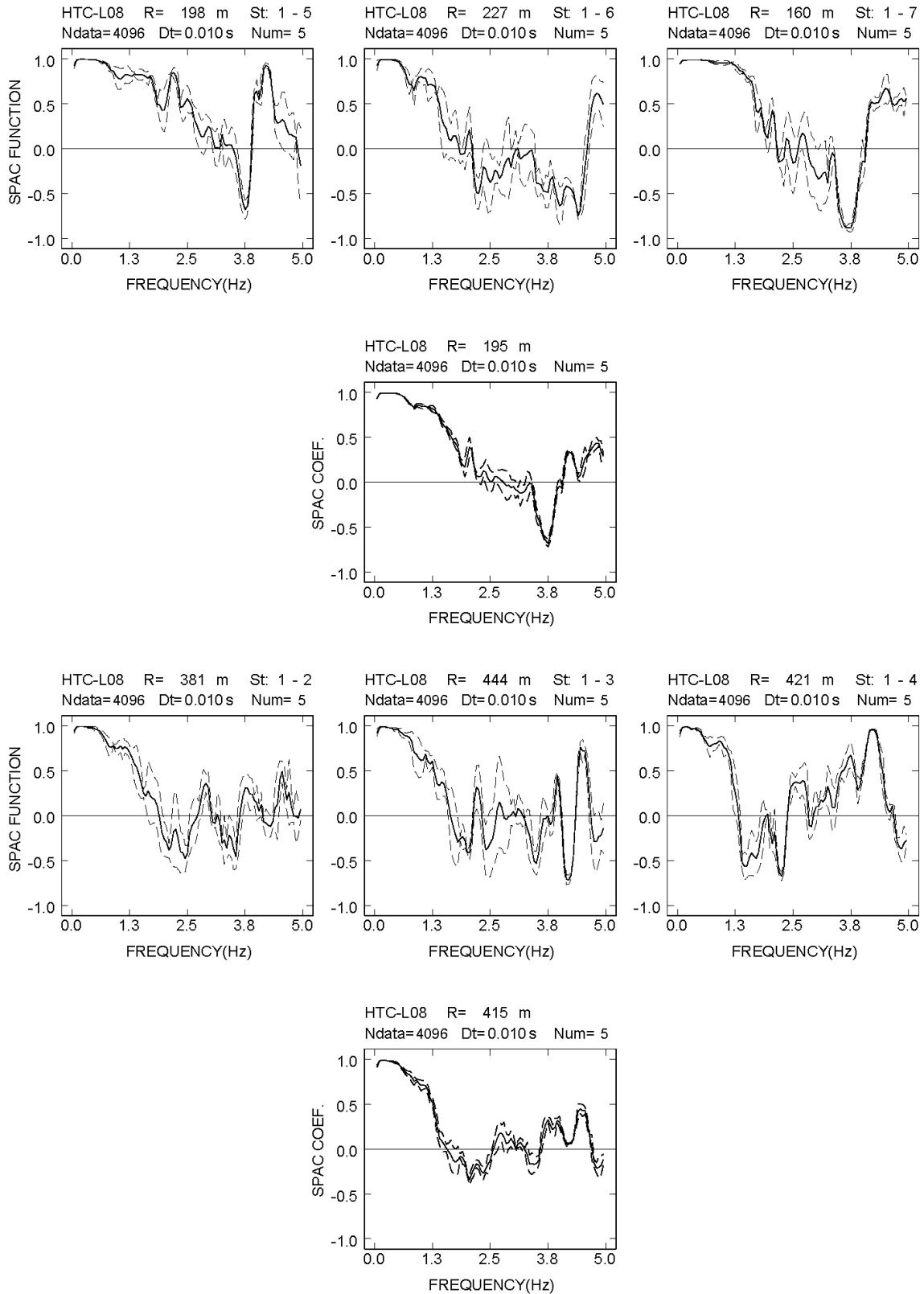
付図 2-10a-(19) 日立 L アレイにおける各地震計間隔での空間自己相関係数



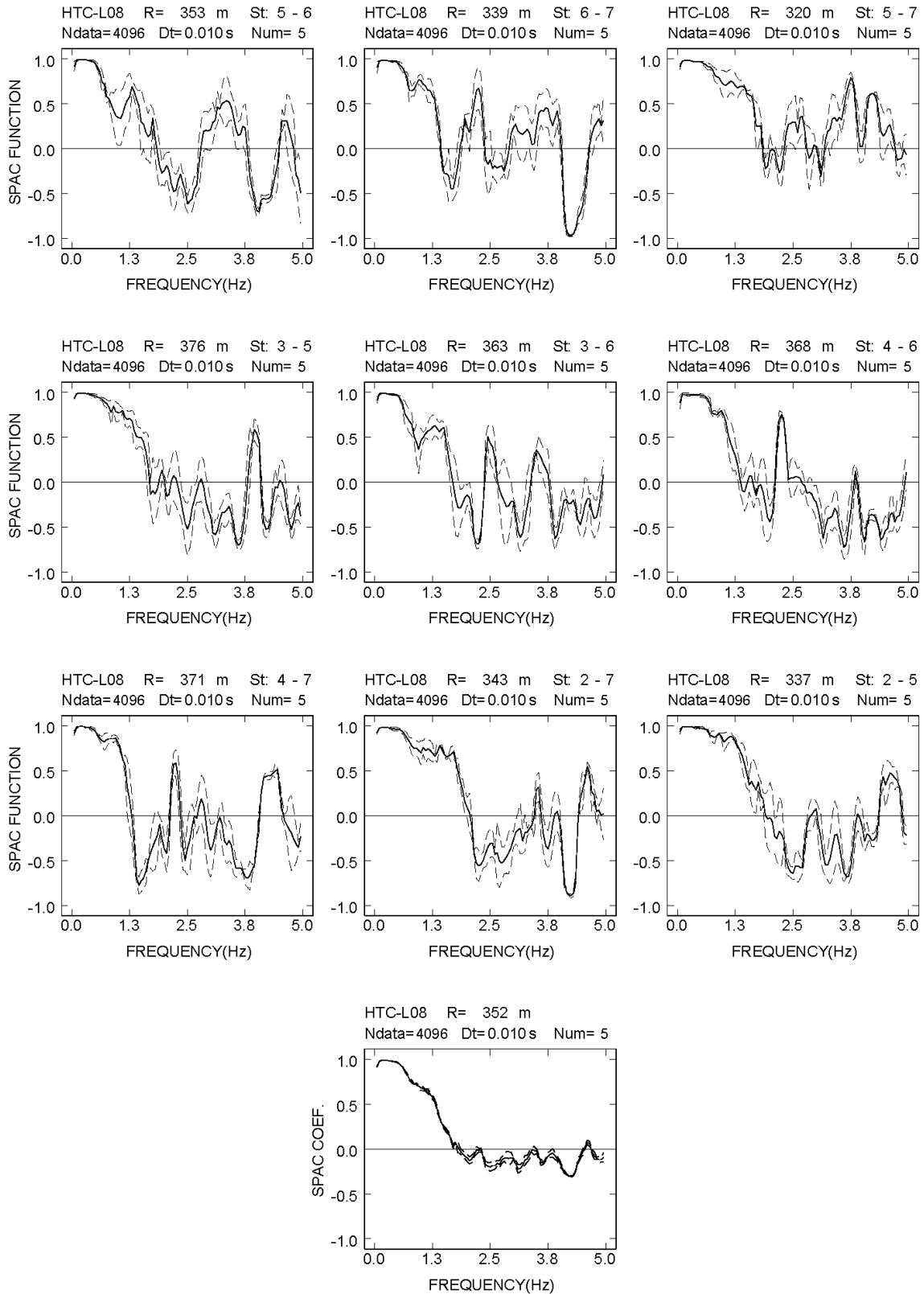
付図 2-10a-(20) 日立 L アレイにおける各地震計間隔での空間自己相関係数



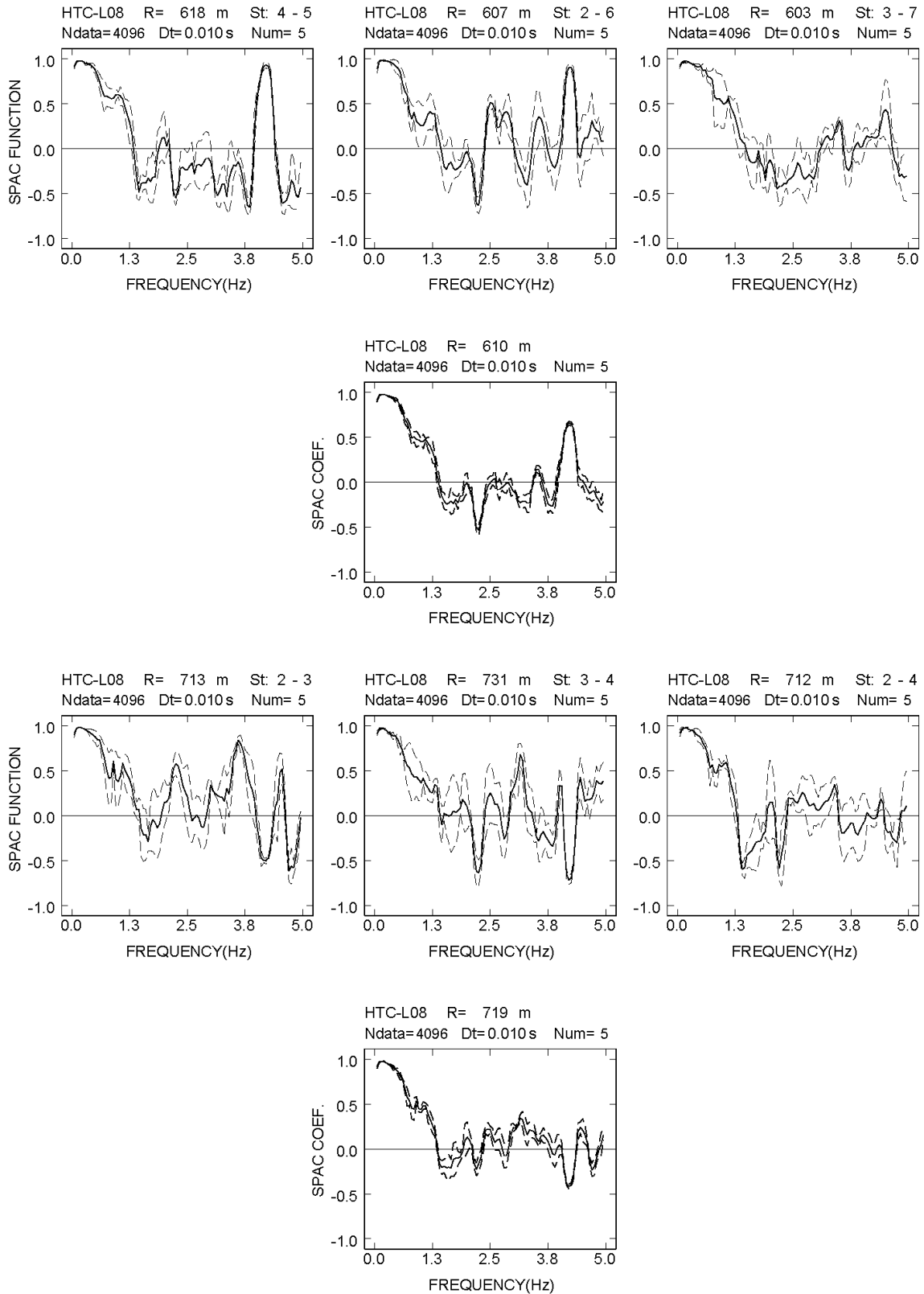
付図 2-10a-(21) 日立 L アレイにおける各地震計間隔での空間自己相関係数



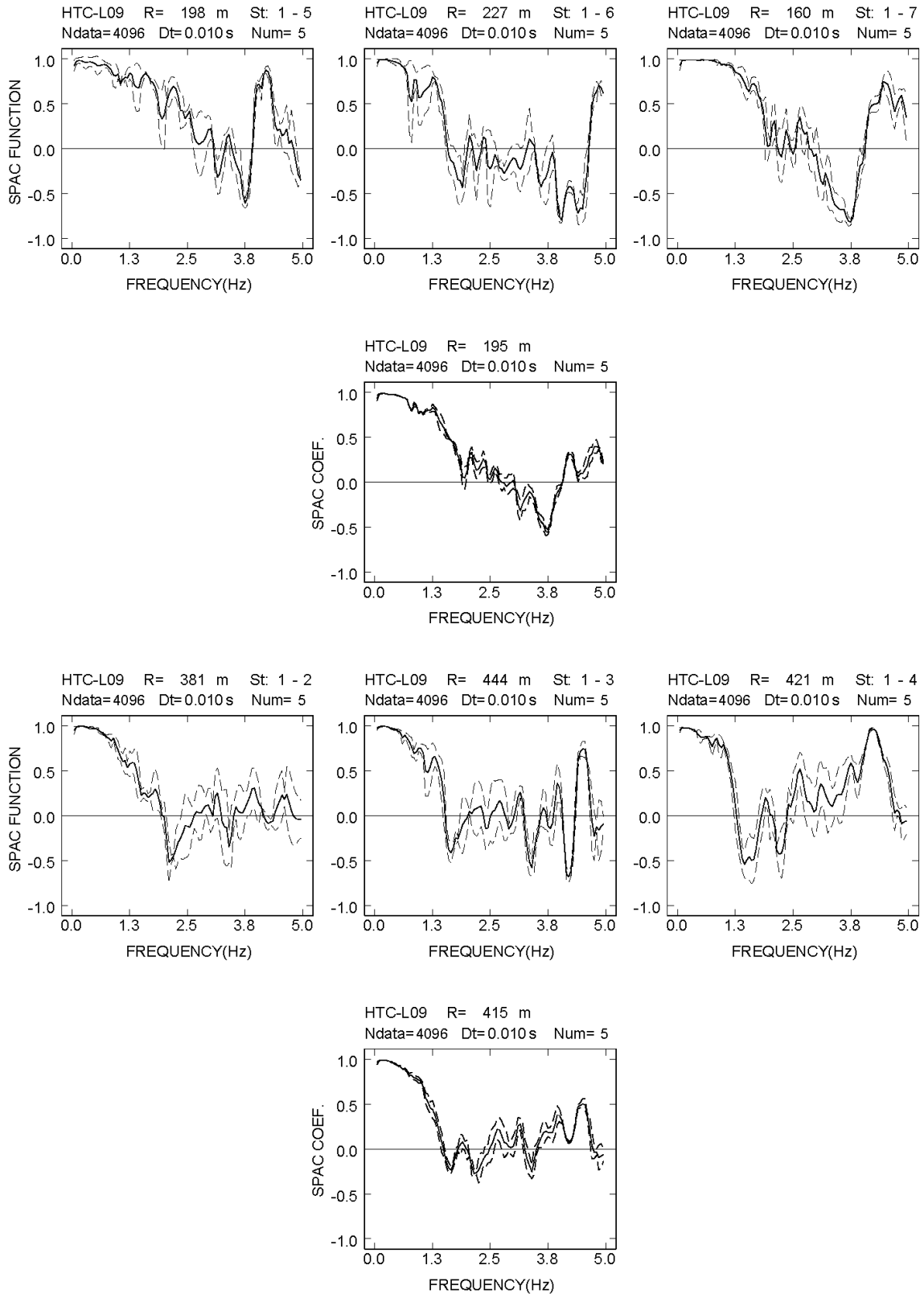
付図 2-10a-(22) 日立 L アレイにおける各地震計間隔での空間自己相関係数



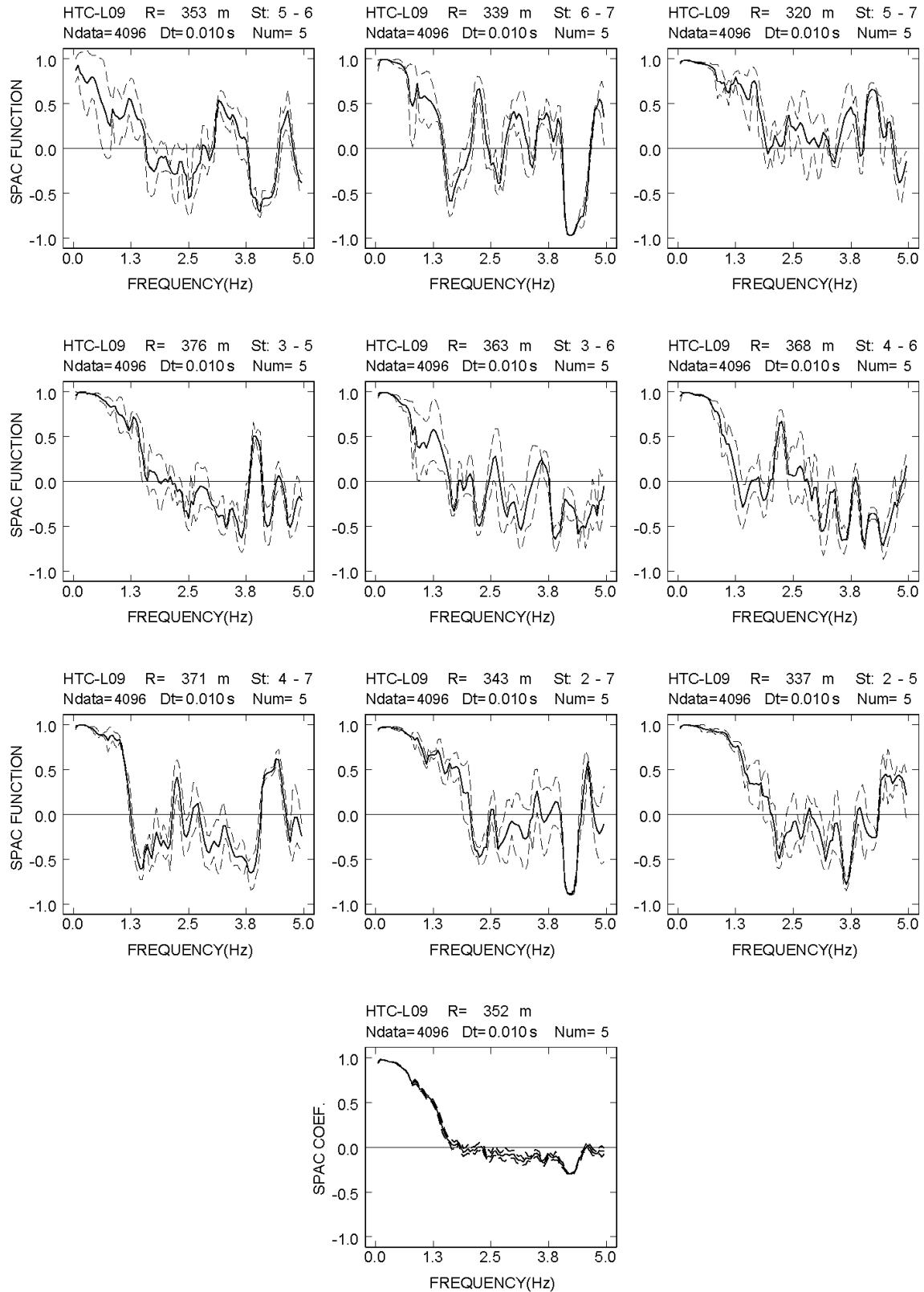
付図 2-10a-(23) 日立 L アレイにおける各地震計間隔での空間自己相関係数



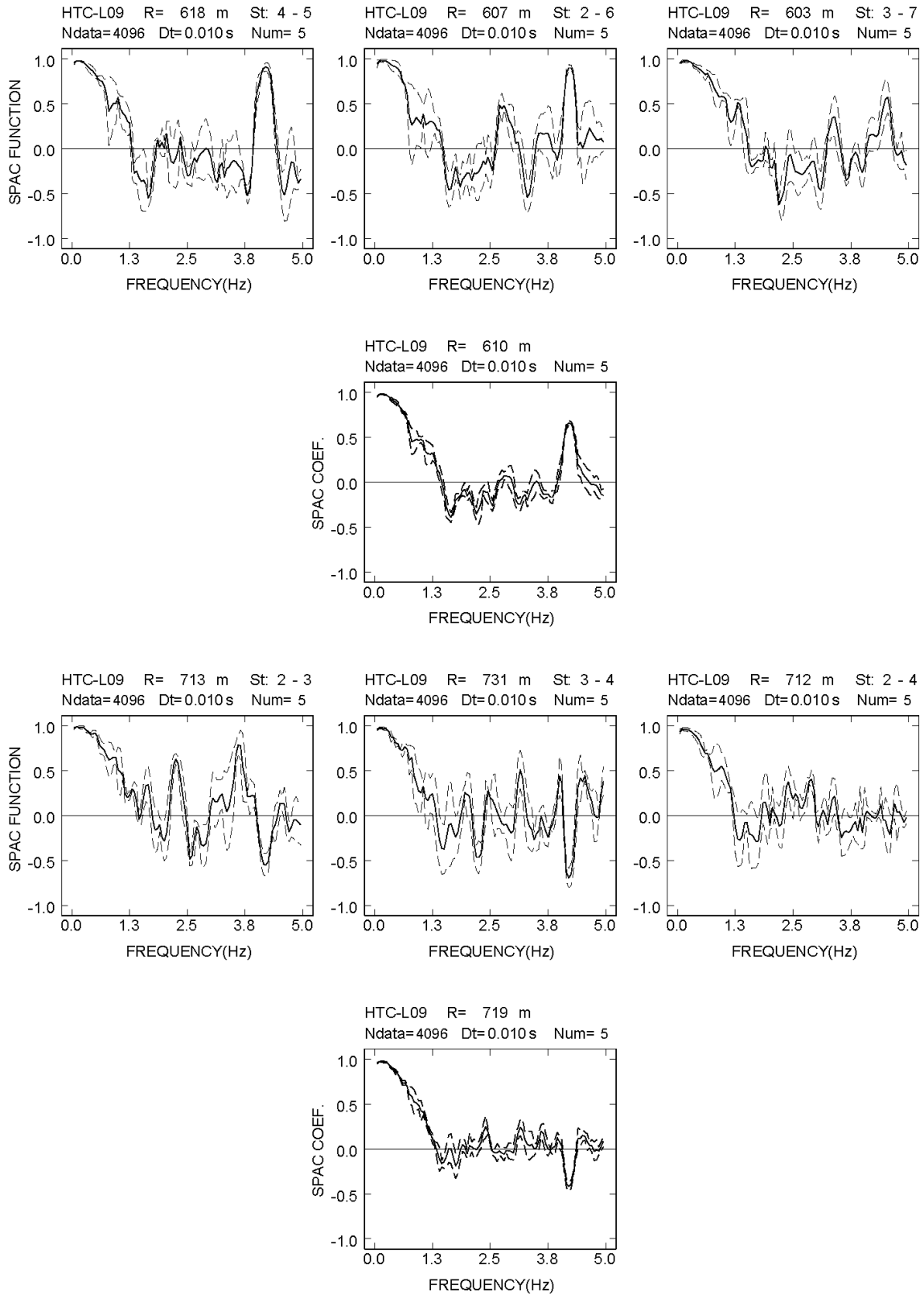
付図 2-10a-(24) 日立 L アレイにおける各地震計間隔での空間自己相関係数



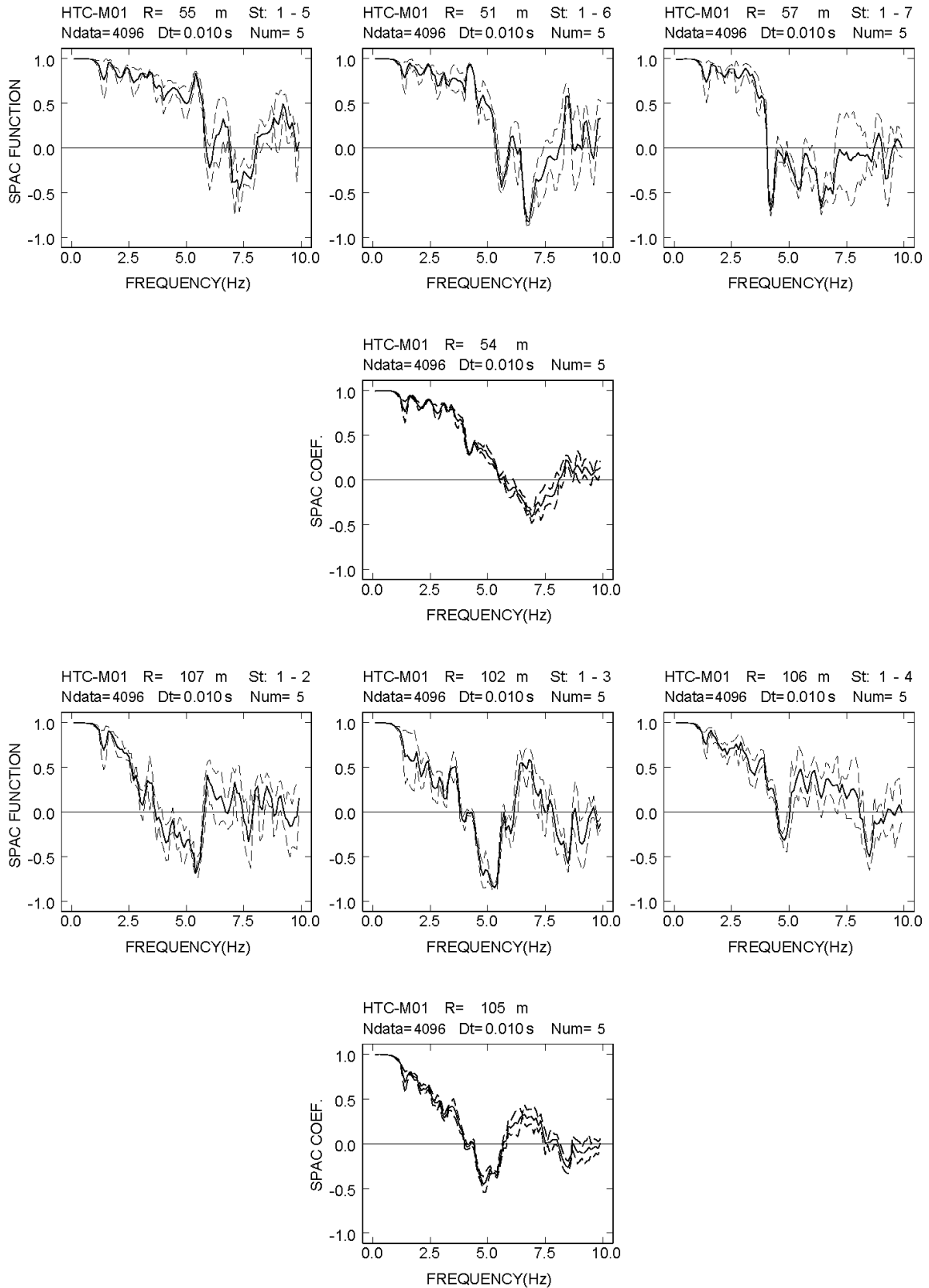
付図 2-10a-(25) 日立 L アレイにおける各地震計間隔での空間自己相関係数



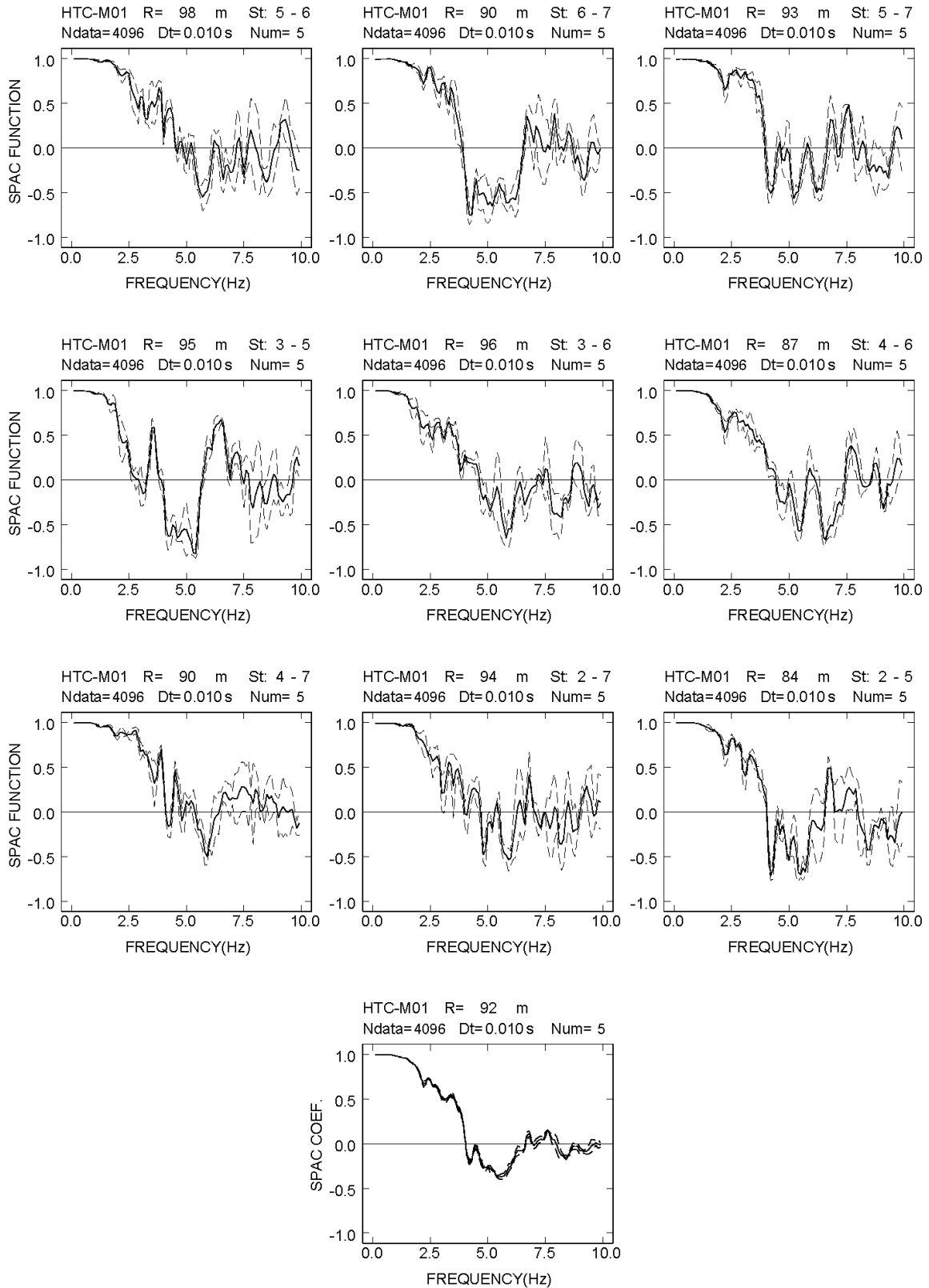
付図 2-10a-(26) 日立 L アレイにおける各地震計間隔での空間自己相関係数



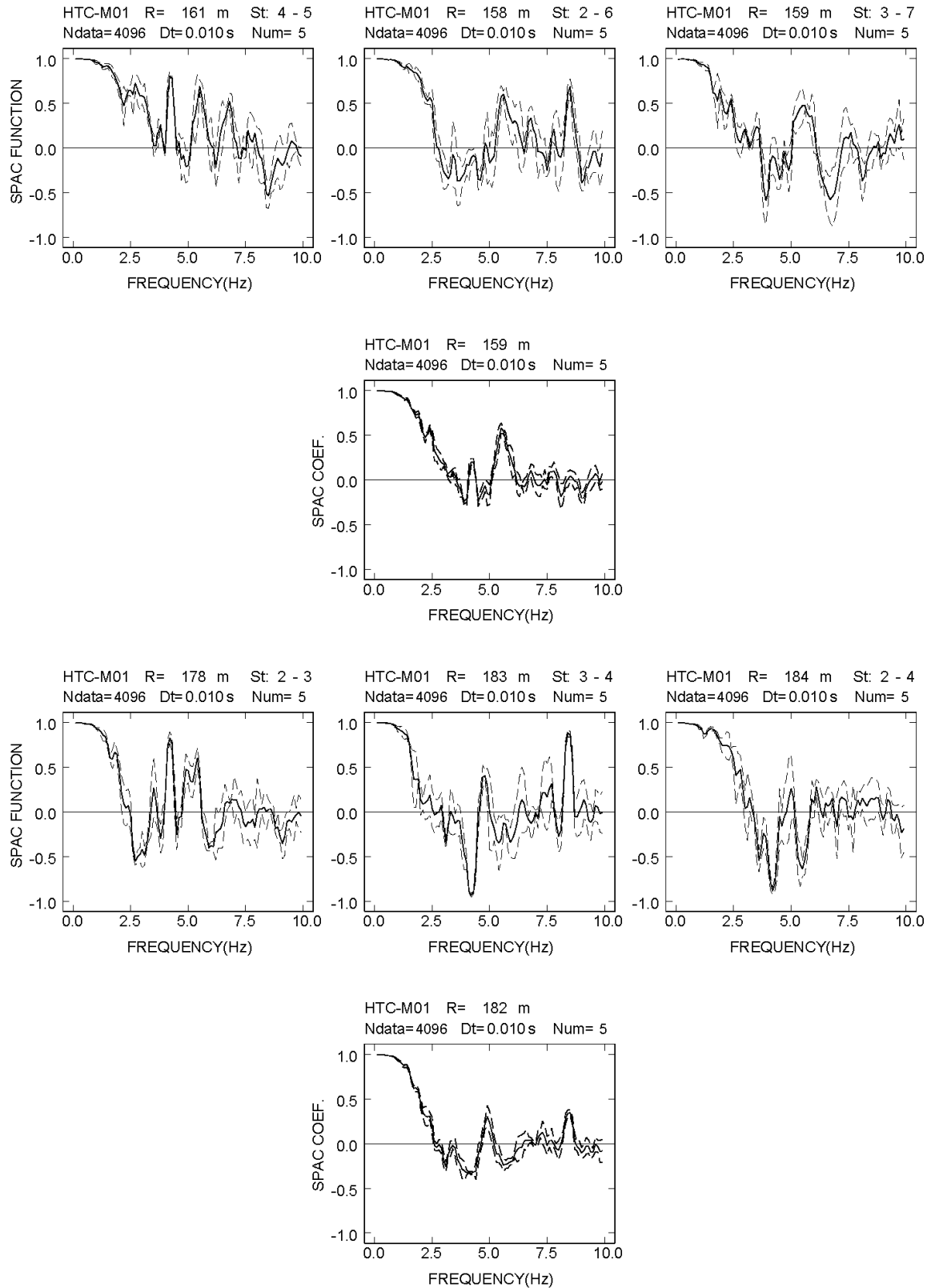
付図 2-10a-(27) 日立 L アレイにおける各地震計間隔での空間自己相関係数



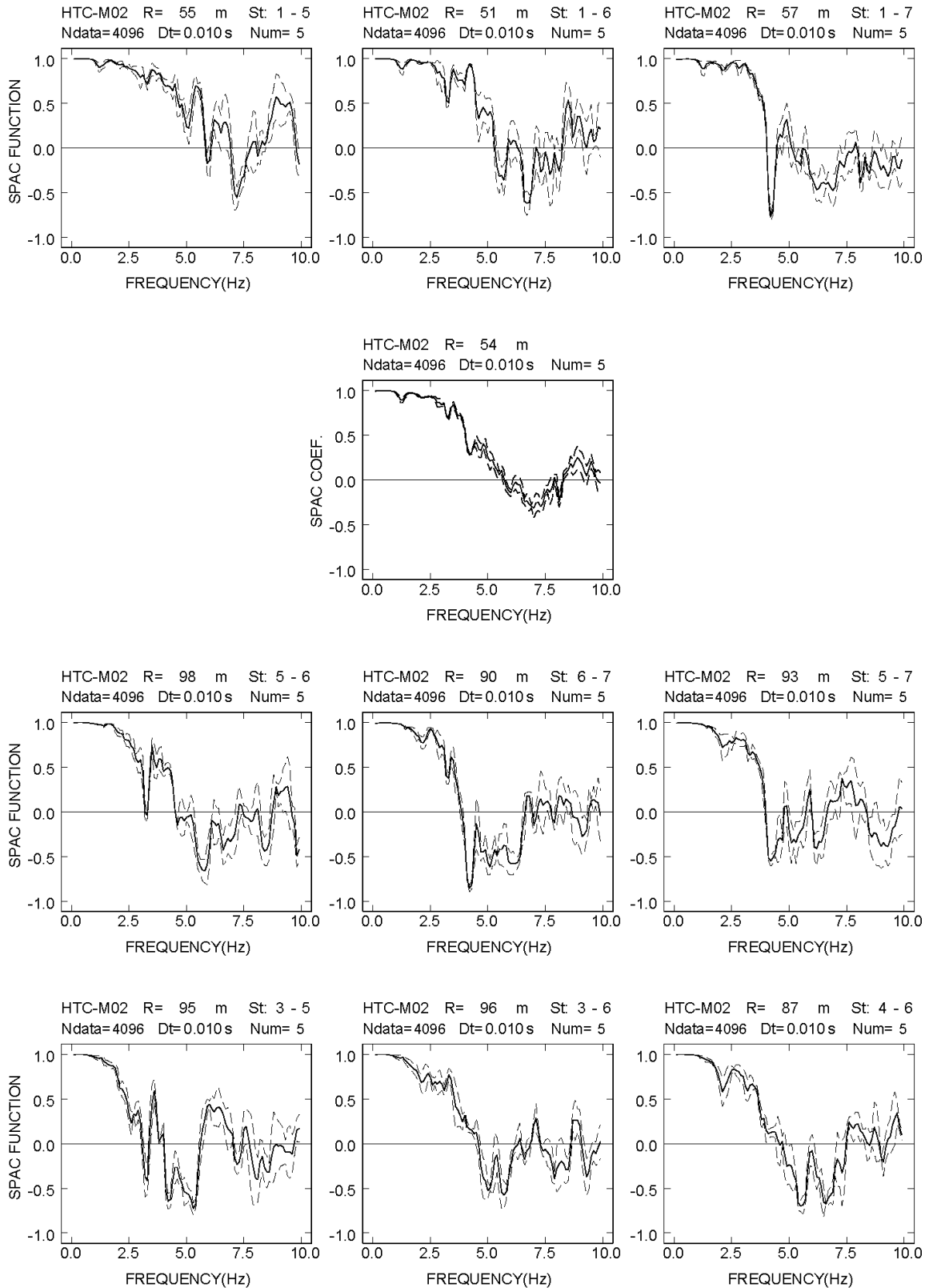
付図 2-11a-(1) 日立 M アレイにおける各地震計間隔での空間自己相関係数



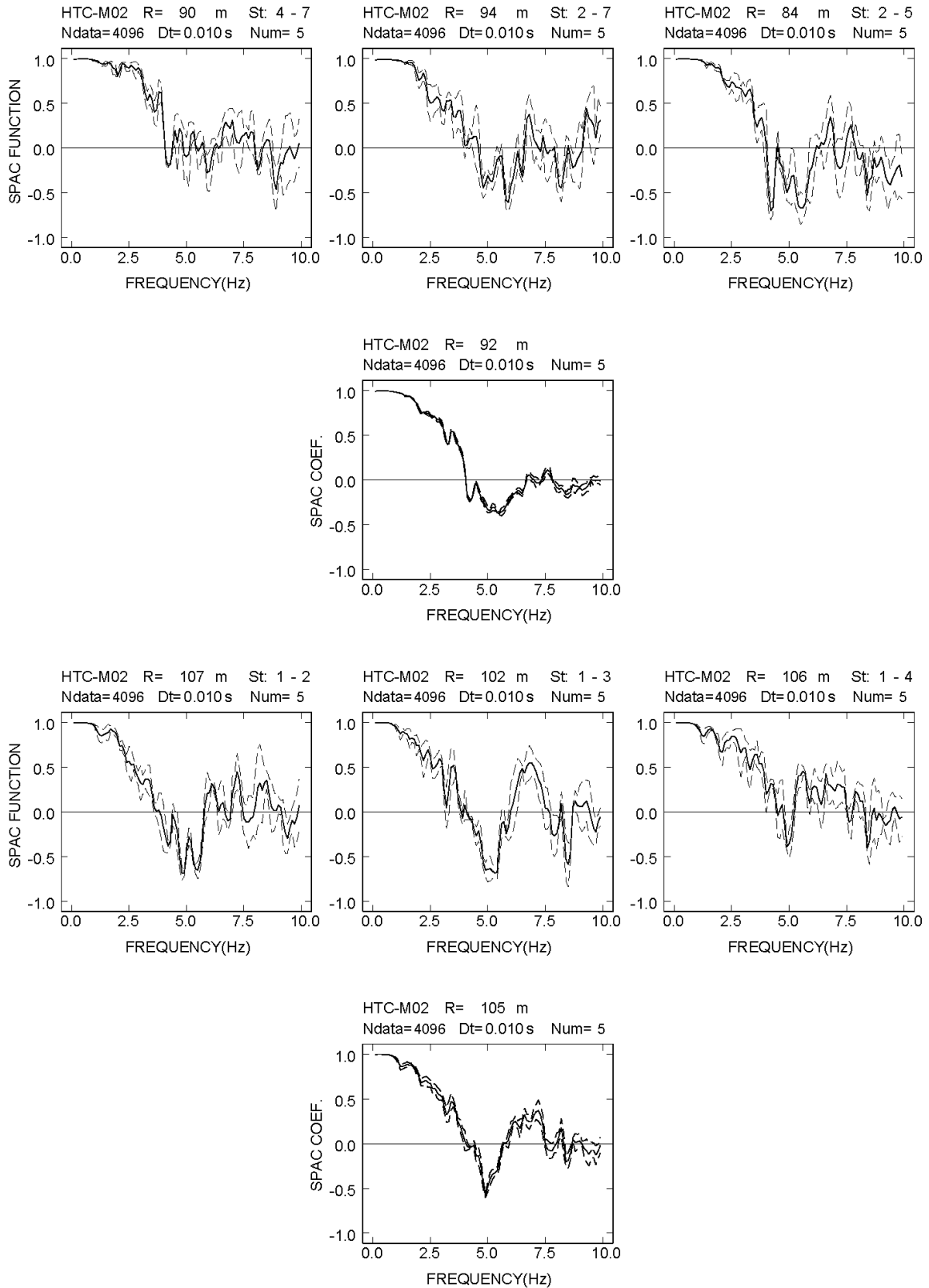
付図 2-11a-(2) 日立 M アレイにおける各地震計間隔での空間自己相関係数



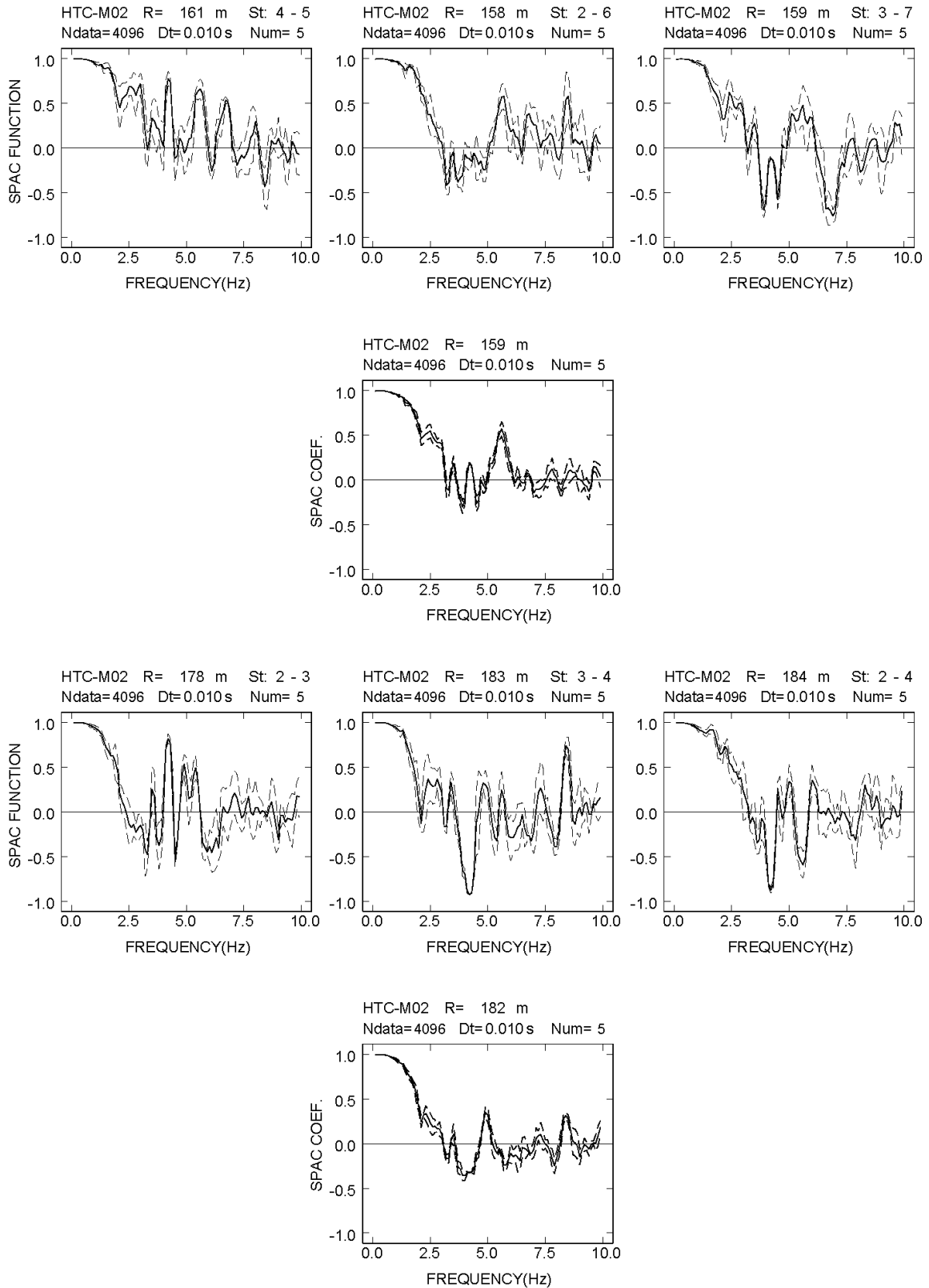
付図 2-11a-(3) 日立 M アレイにおける各地震計間隔での空間自己相関係数



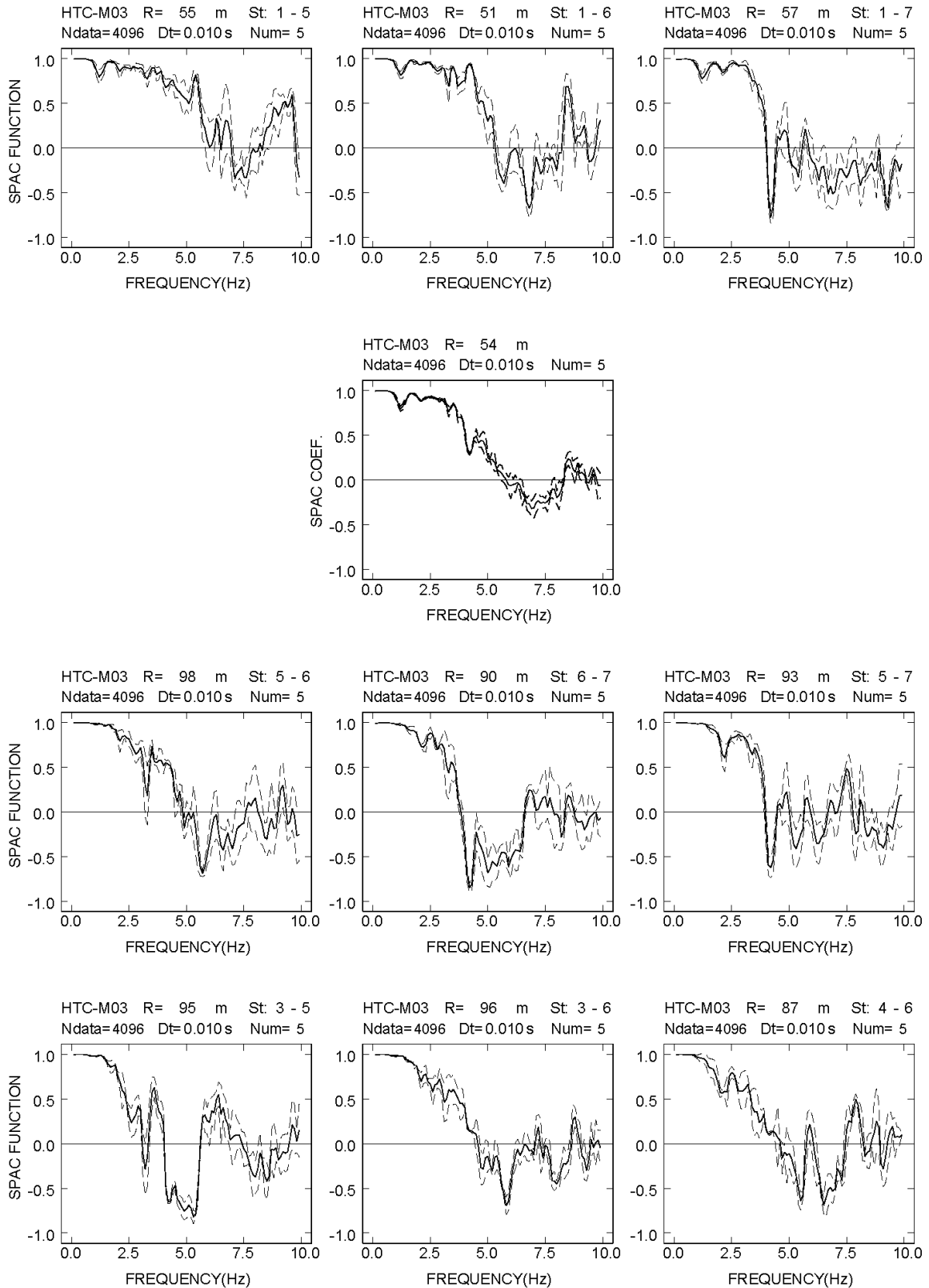
付図 2-11a-(4) 日立 M アレイにおける各地震計間隔での空間自己相関係数



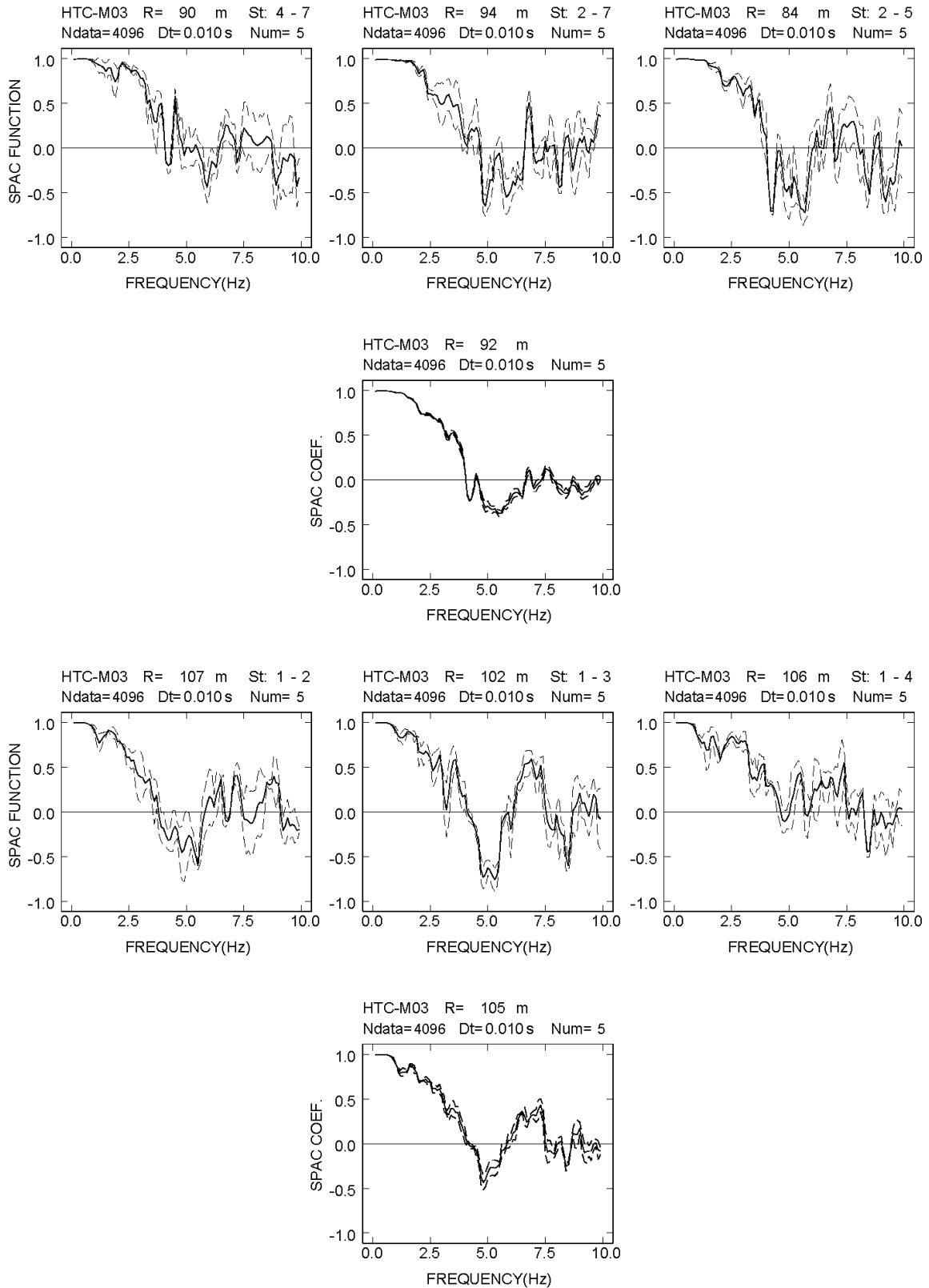
付図 2-11a-(5) 日立 M アレイにおける各地震計間隔での空間自己相関係数



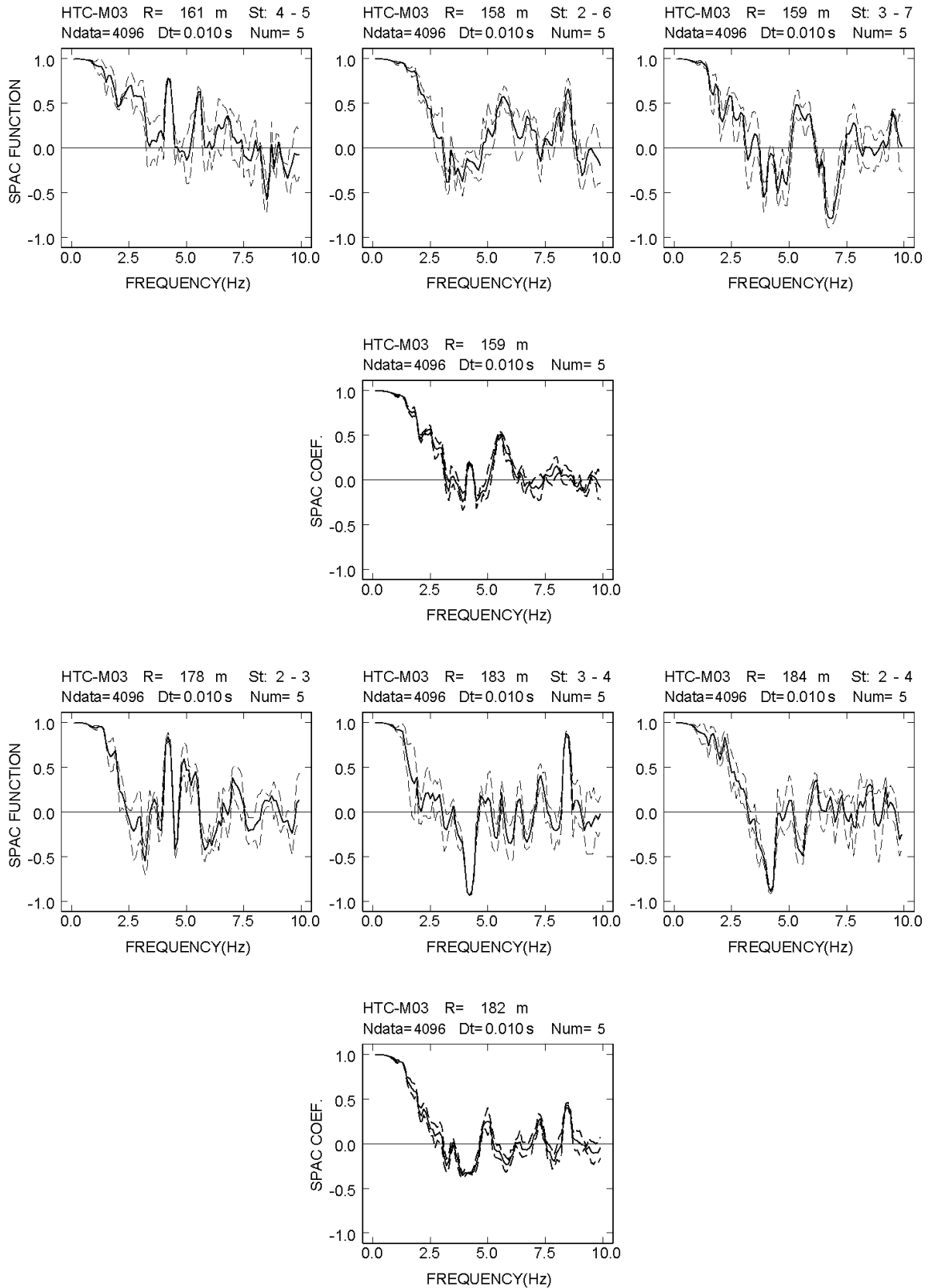
付図 2-11a-(6) 日立 M アレイにおける各地震計間隔での空間自己相関係数



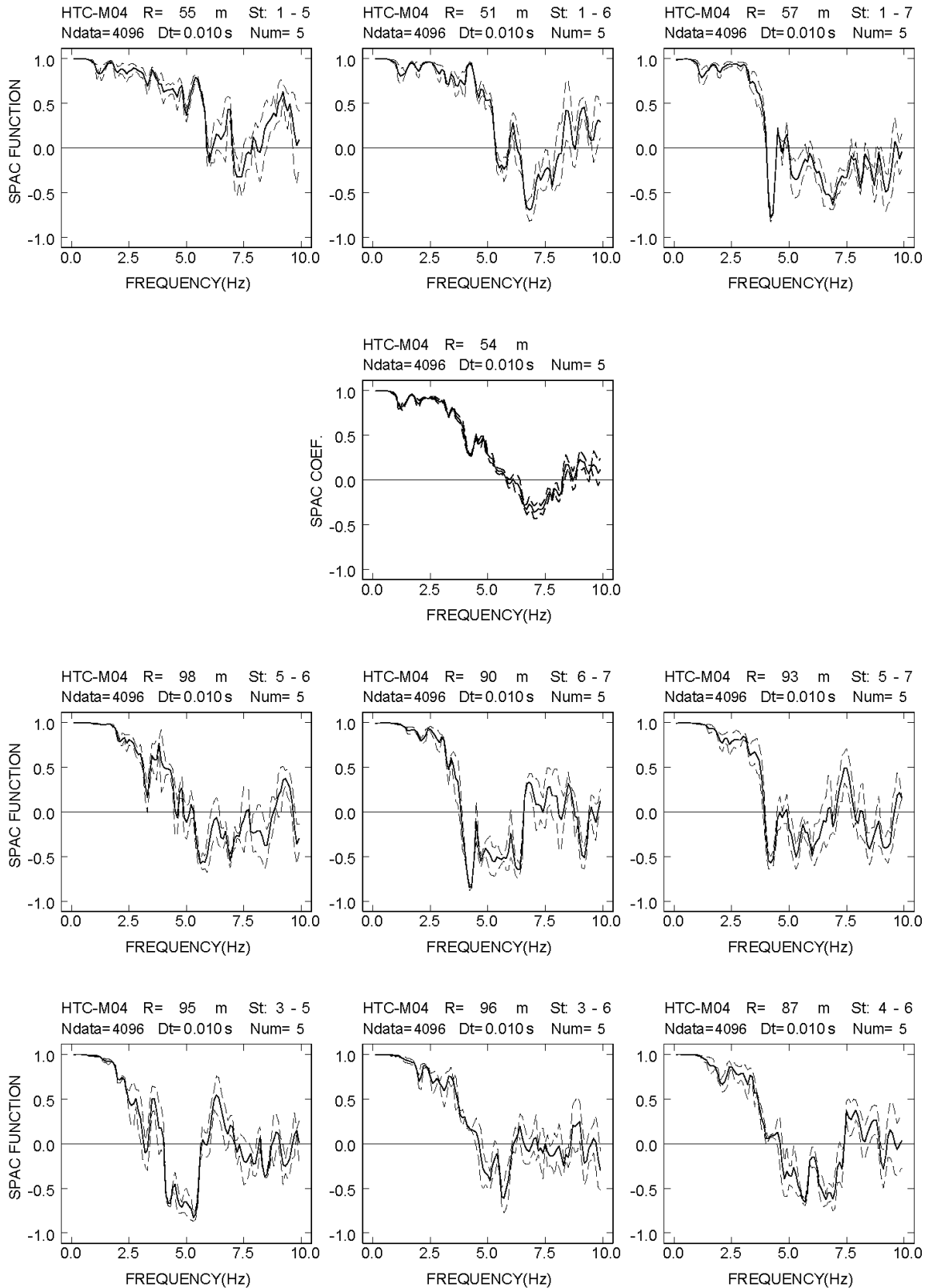
付図 2-11a-(7) 日立 M アレイにおける各地震計間隔での空間自己相関係数



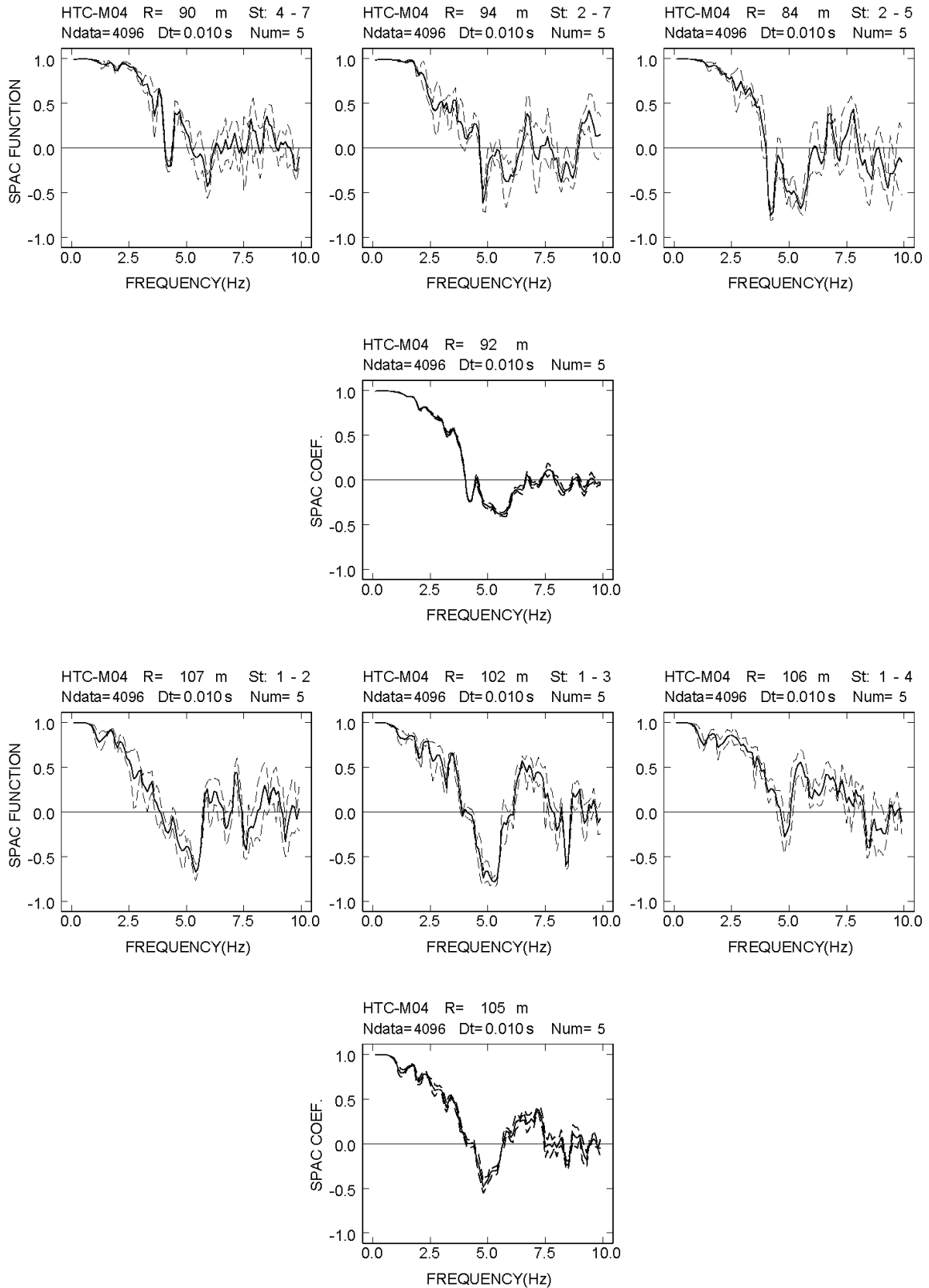
付図 2-11a-(8) 日立 M アレイにおける各地震計間隔での空間自己相関係数



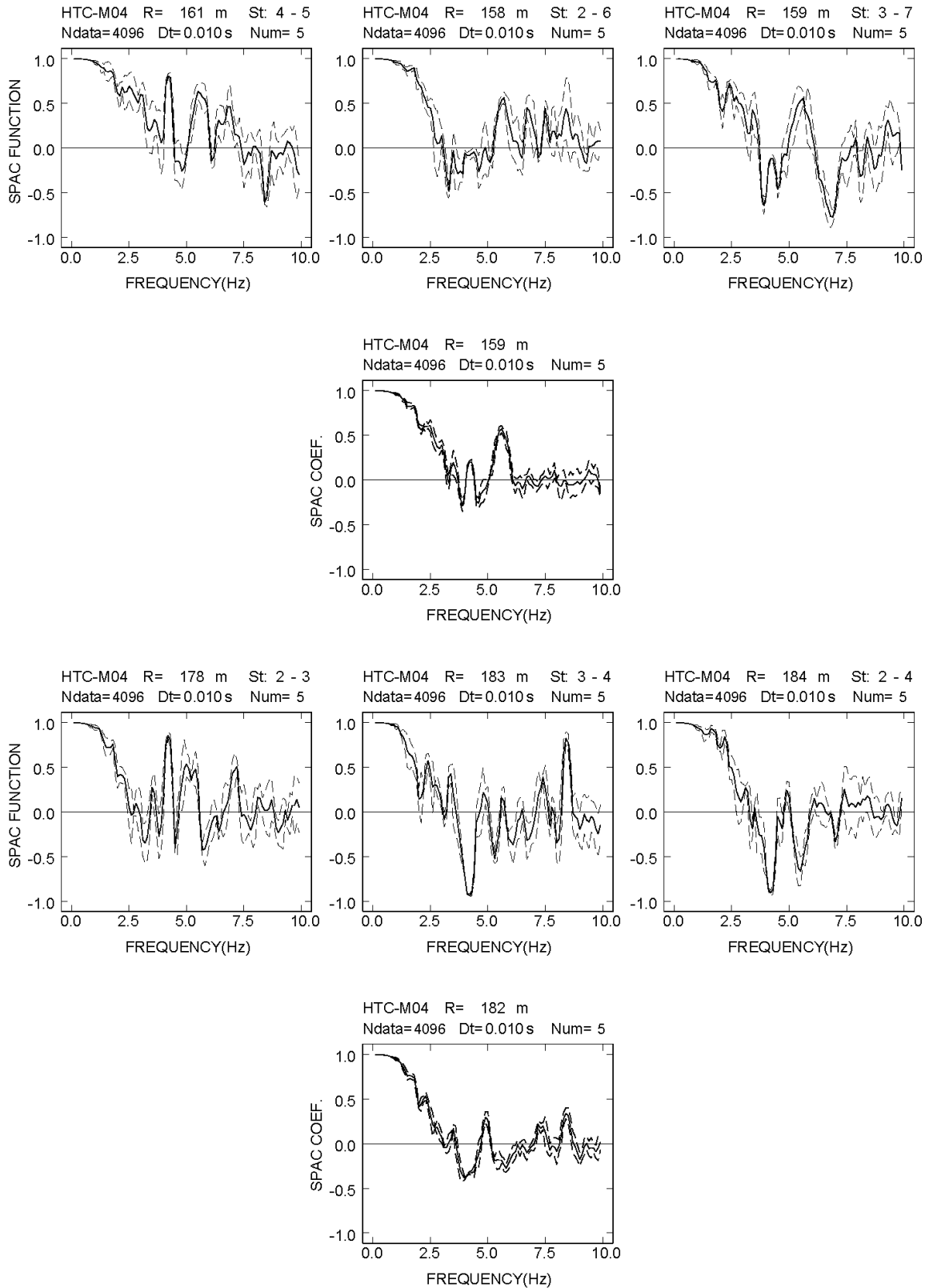
付図 2-11a-(9) 日立 M アレイにおける各地震計間隔での空間自己相関係数



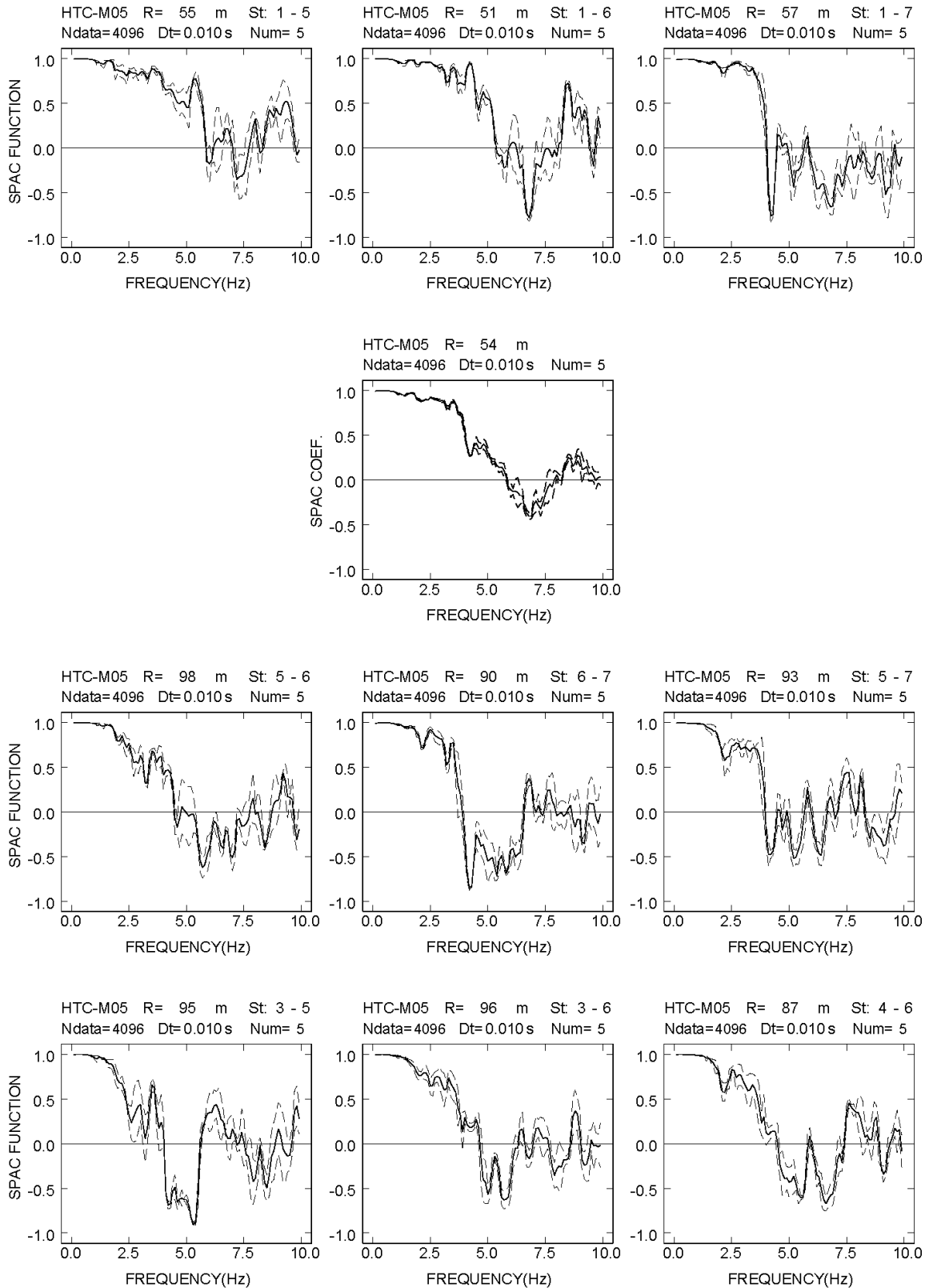
付図 2-11a-(10) 日立 M アレイにおける各地震計間隔での空間自己相関係数



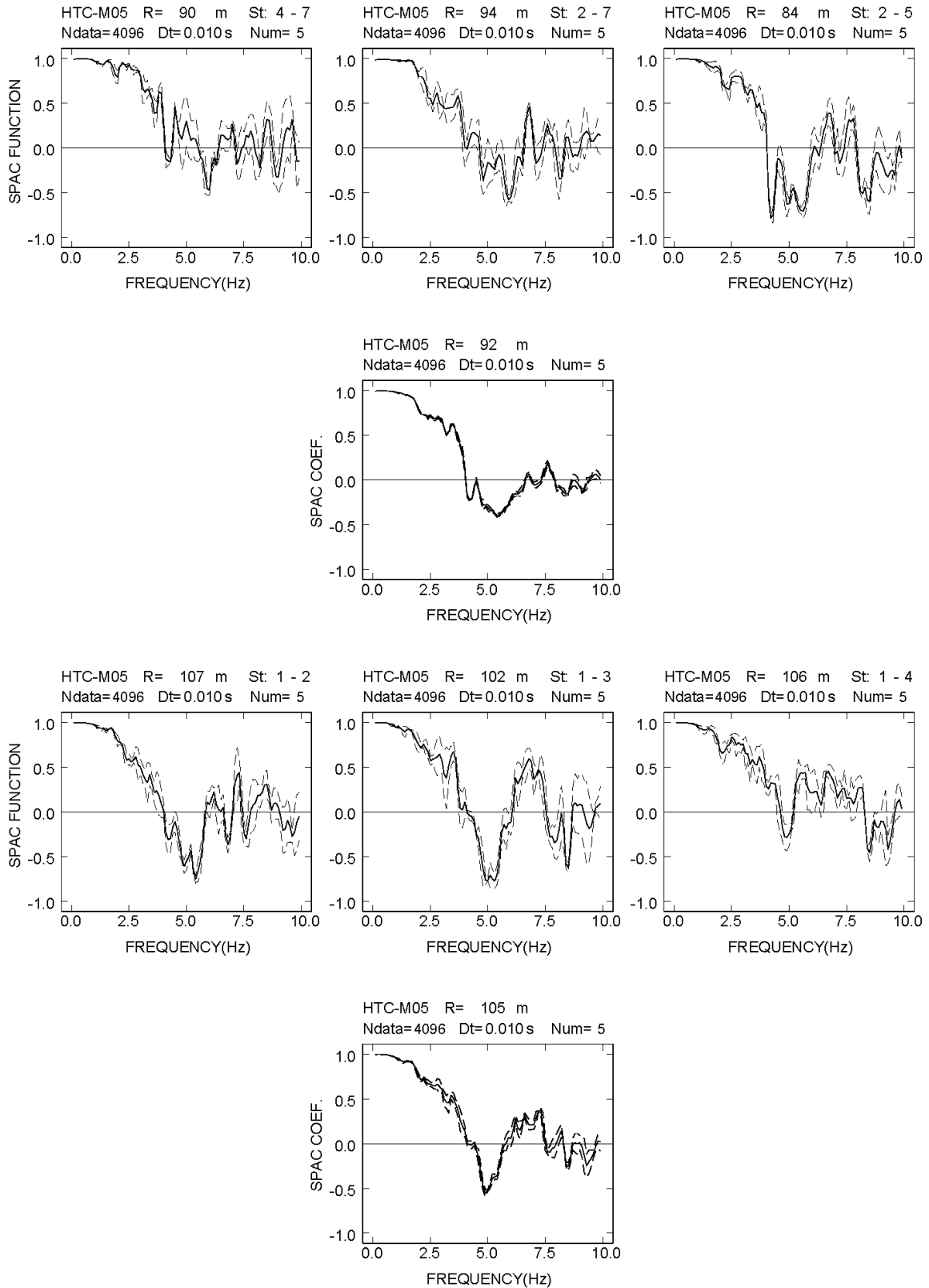
付図 2-11a-(11) 日立 M アレイにおける各地震計間隔での空間自己相関係数



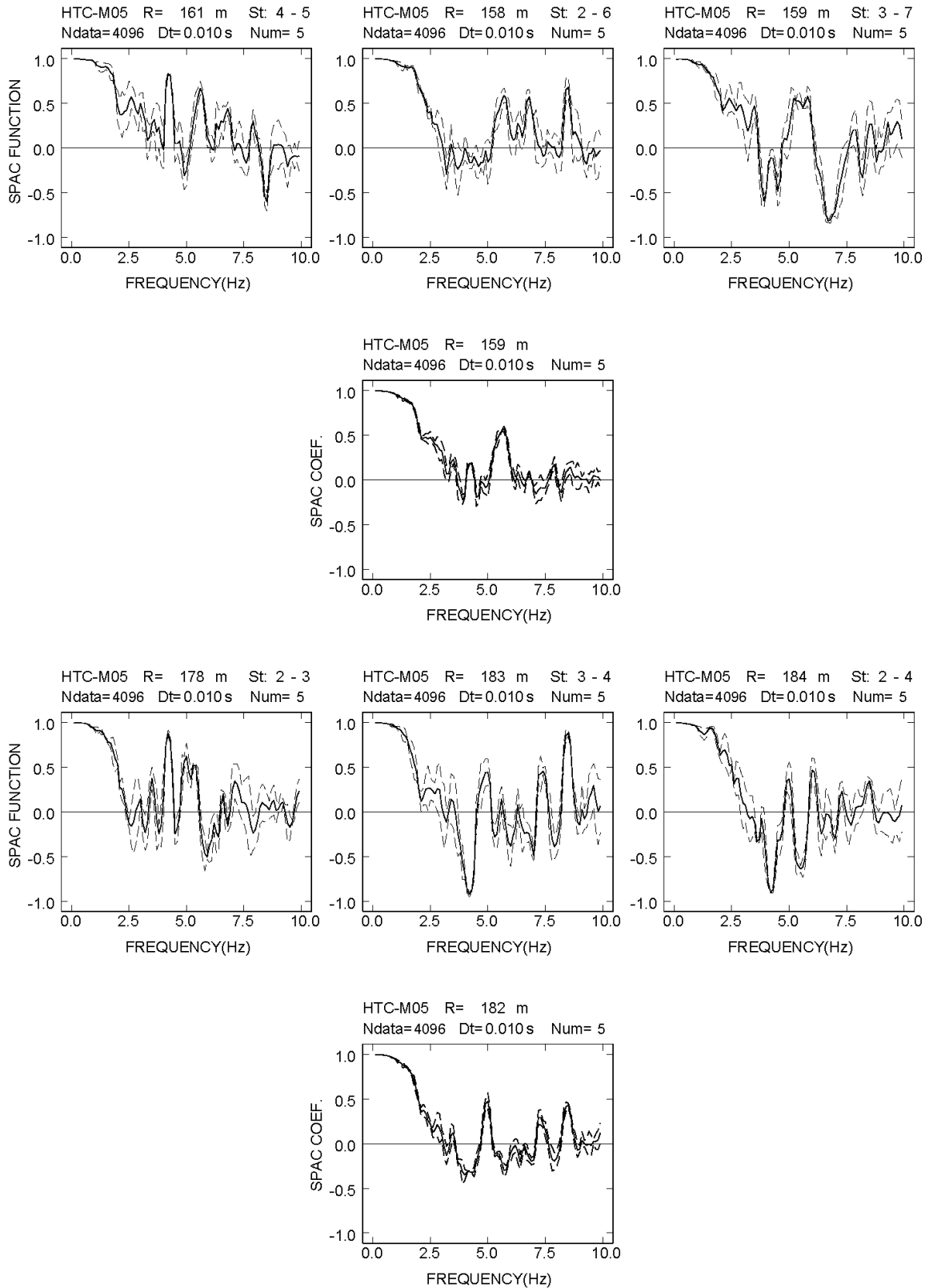
付図 2-11a-(12) 日立 M アレイにおける各地震計間隔での空間自己相関係数



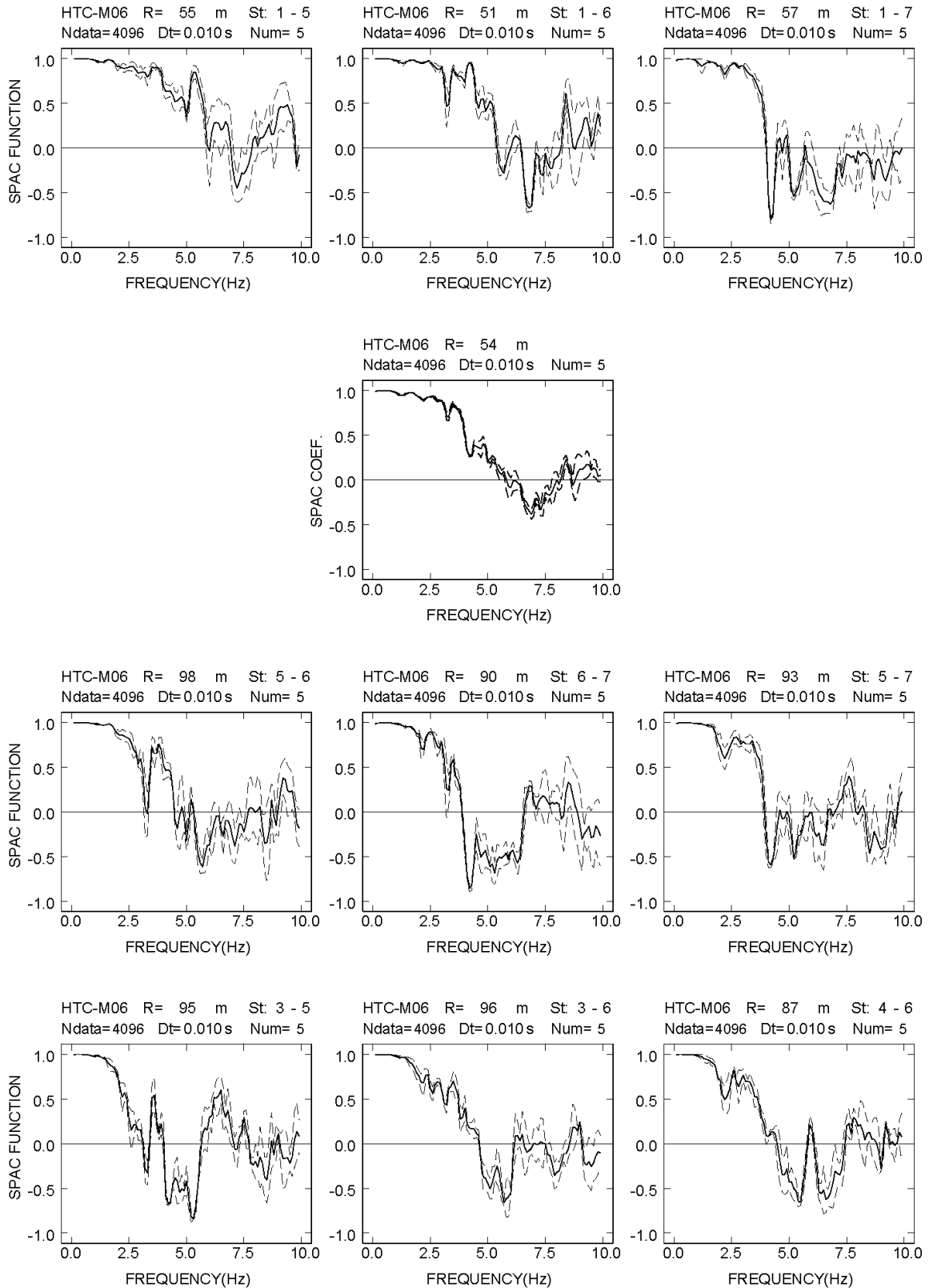
付図 2-11a-(13) 日立 M アレイにおける各地震計間隔での空間自己相関係数



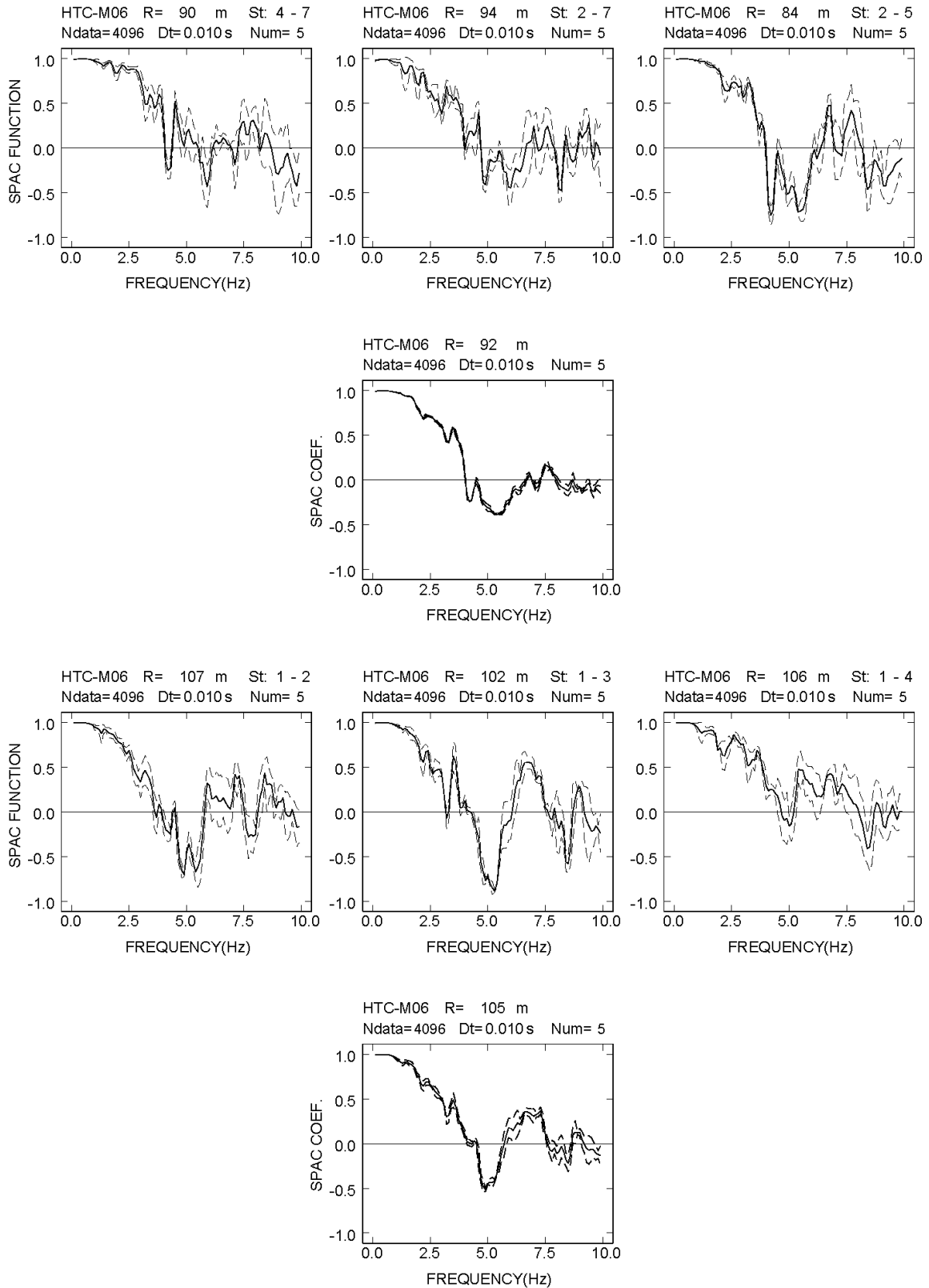
付図 2-11a-(14) 日立 M アレイにおける各地震計間隔での空間自己相関係数



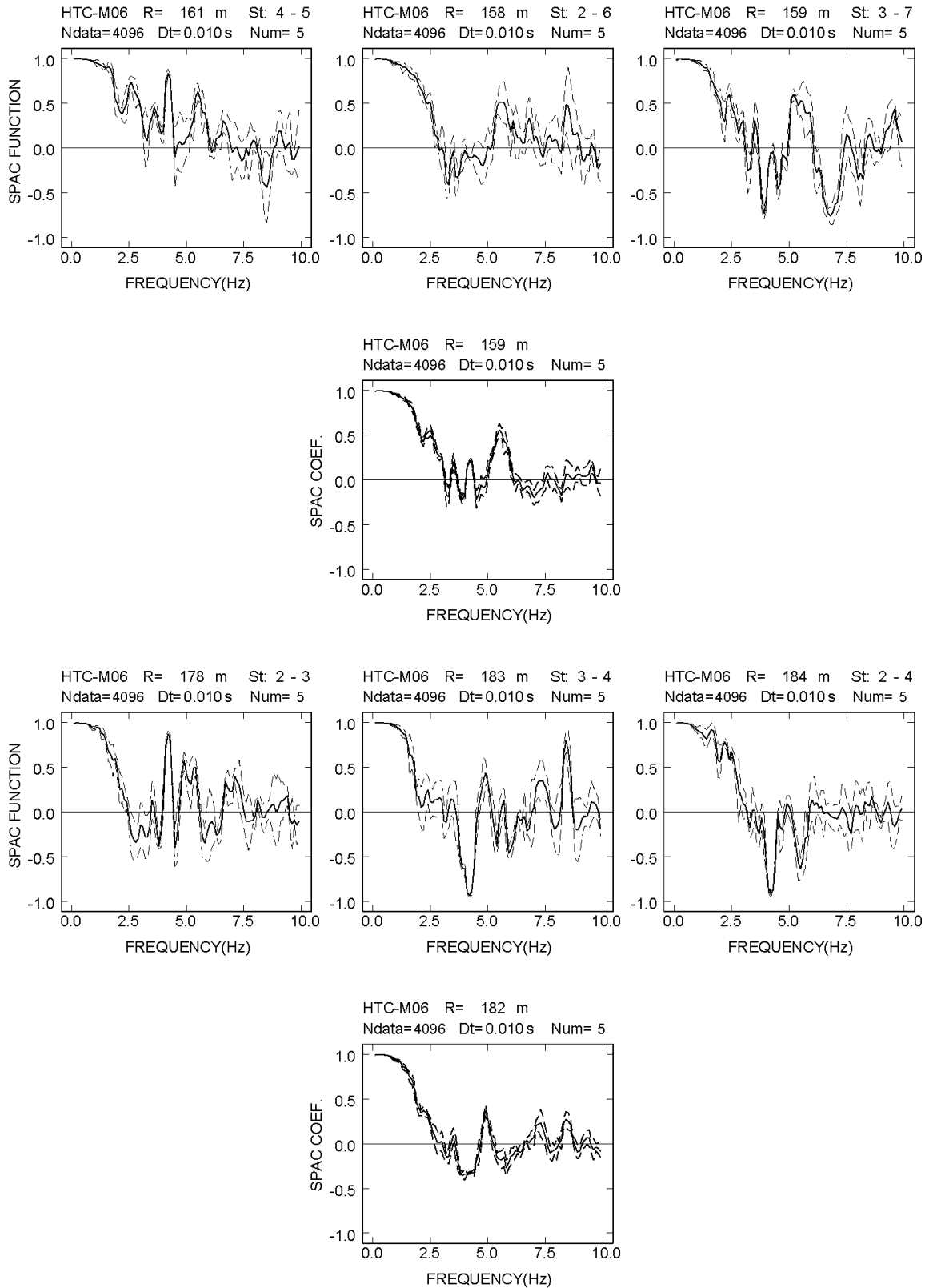
付図 2-11a-(15) 日立 M アレイにおける各地震計間隔での空間自己相関係数



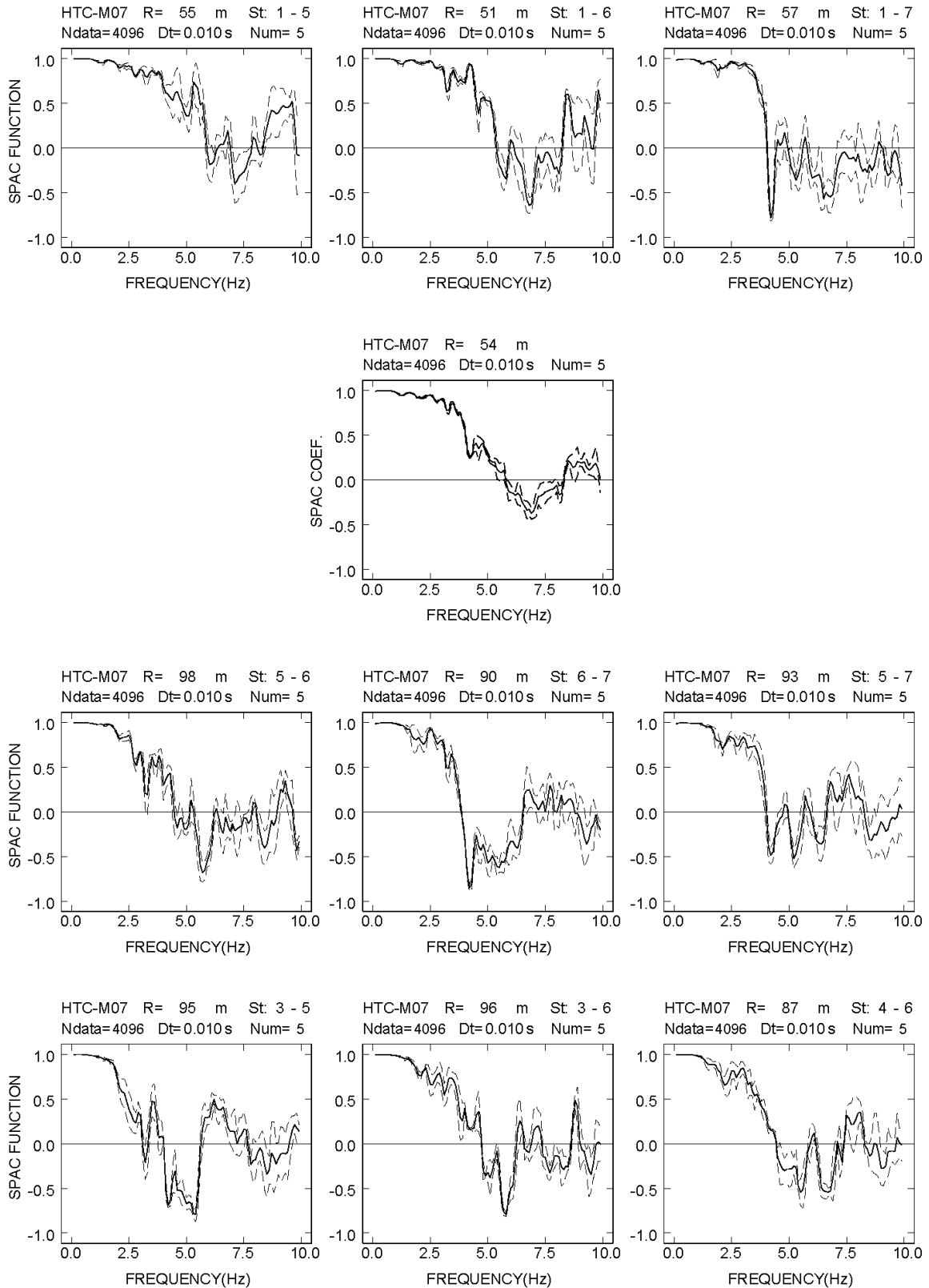
付図 2-11a-(16) 日立 M アレイにおける各地震計間隔での空間自己相関係数



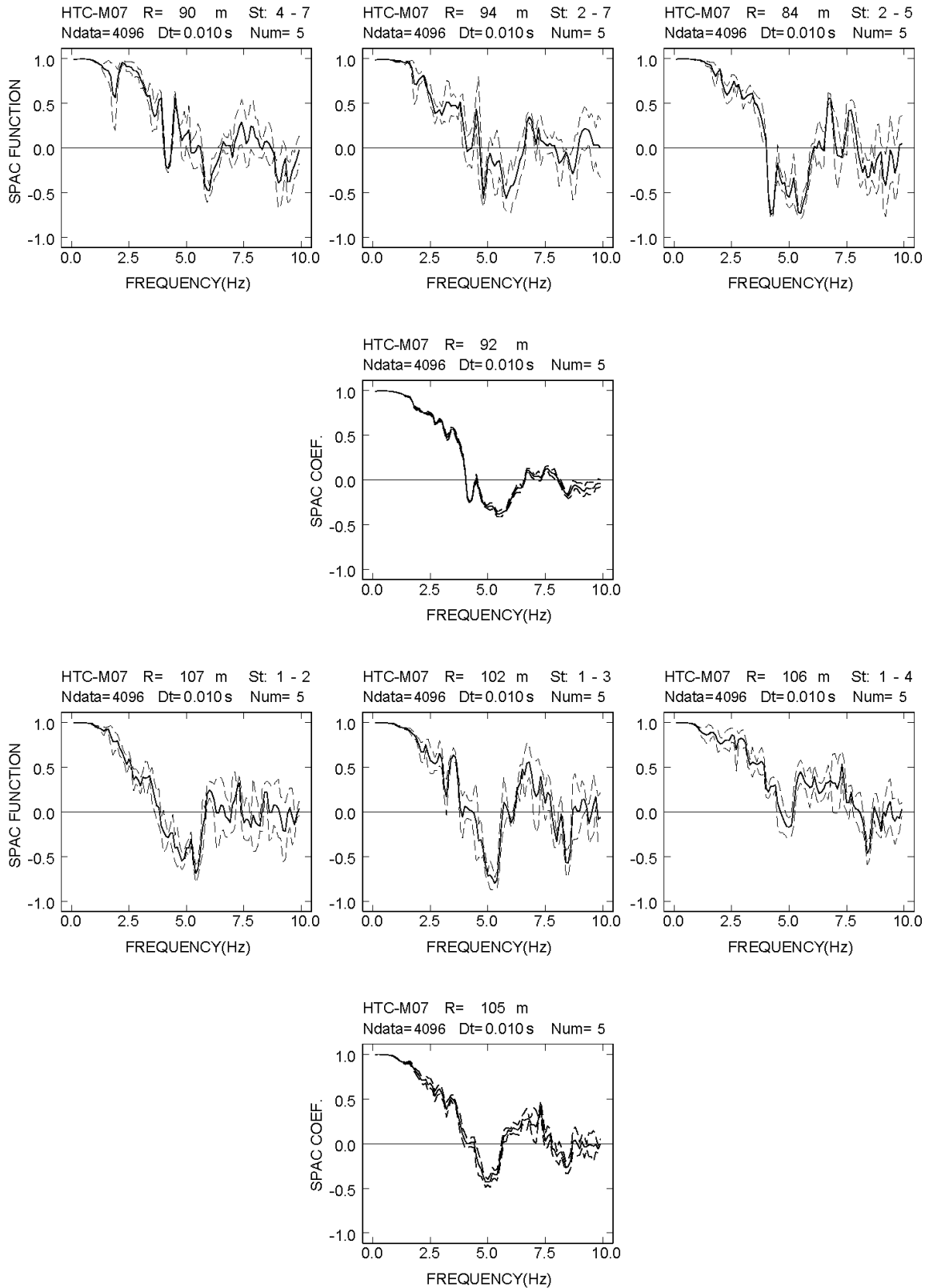
付図 2-11a-(17) 日立 M アレイにおける各地震計間隔での空間自己相関係数



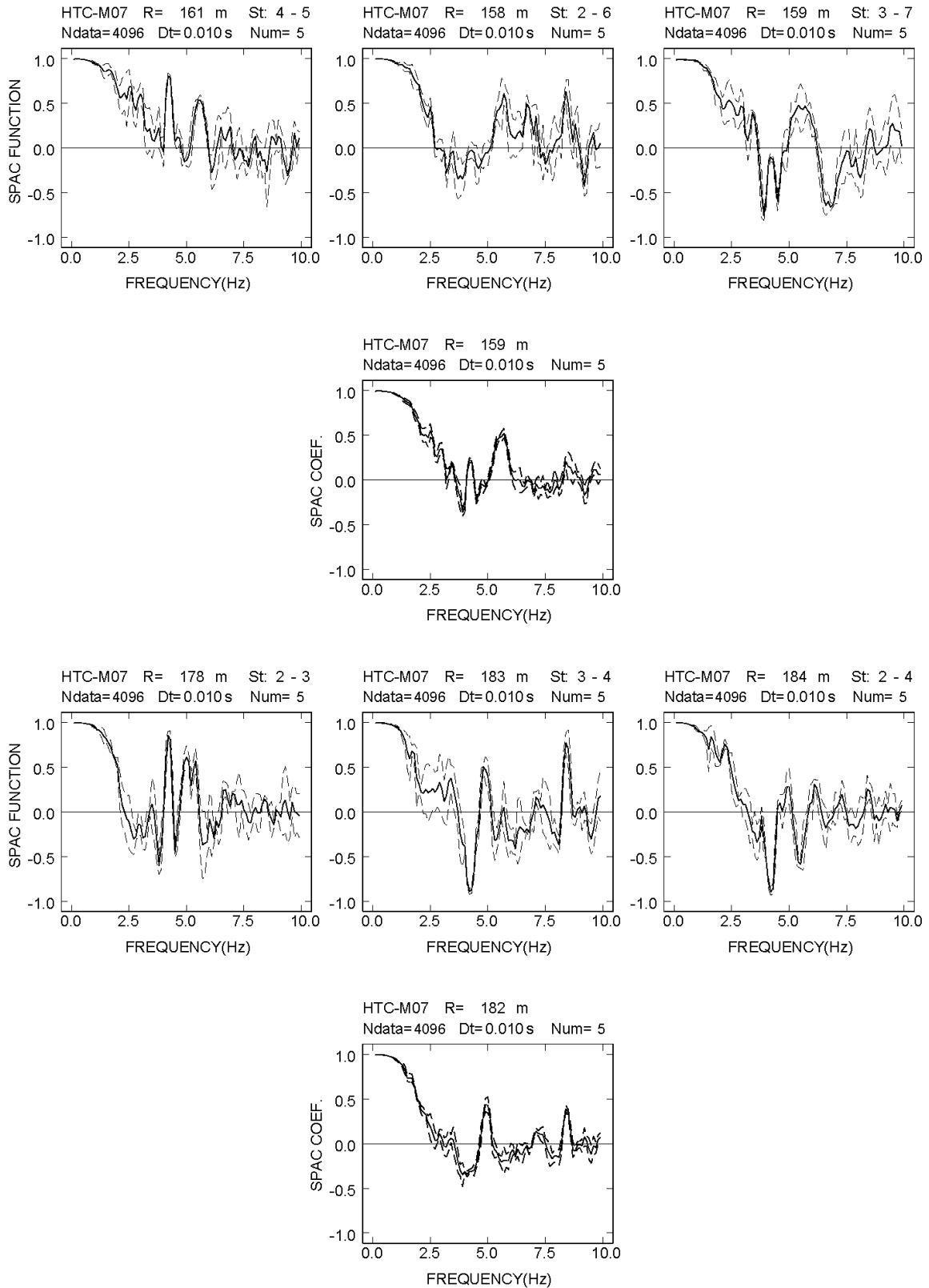
付図 2-11a-(18) 日立 M アレイにおける各地震計間隔での空間自己相関係数



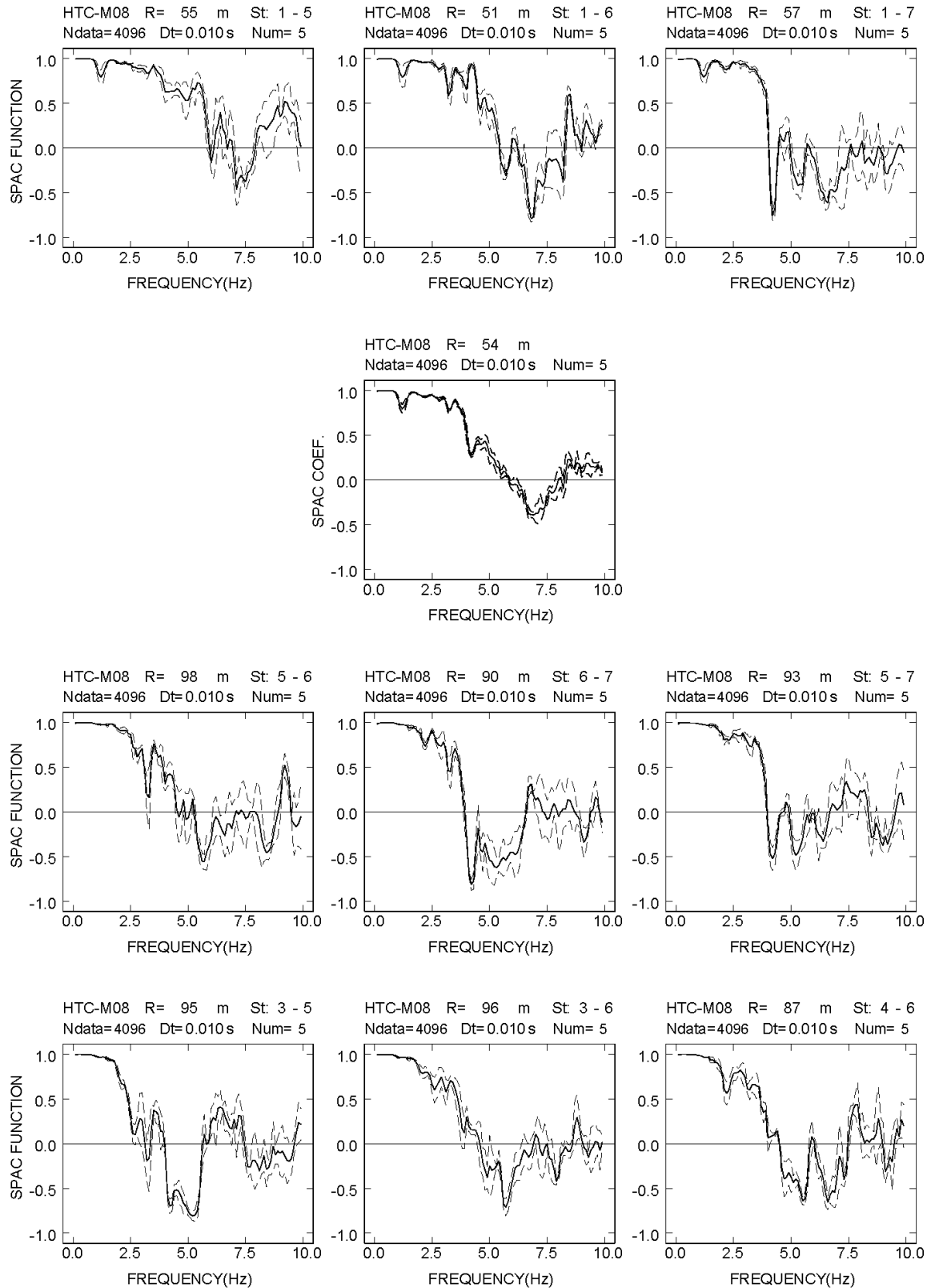
付図 2-11a-(19) 日立 M アレイにおける各地震計間隔での空間自己相関係数



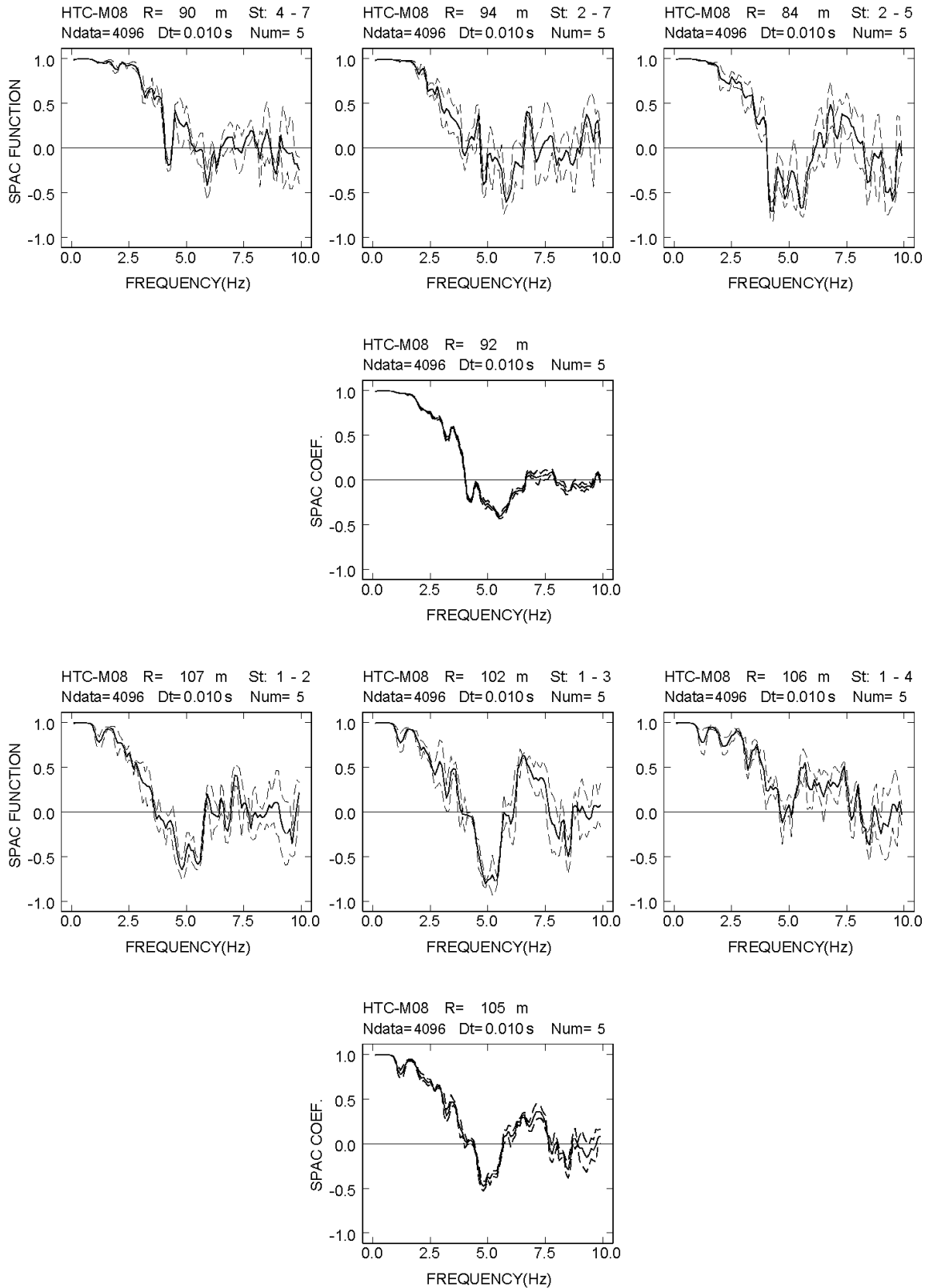
付図 2-11a-(20) 日立 M アレイにおける各地震計間隔での空間自己相関係数



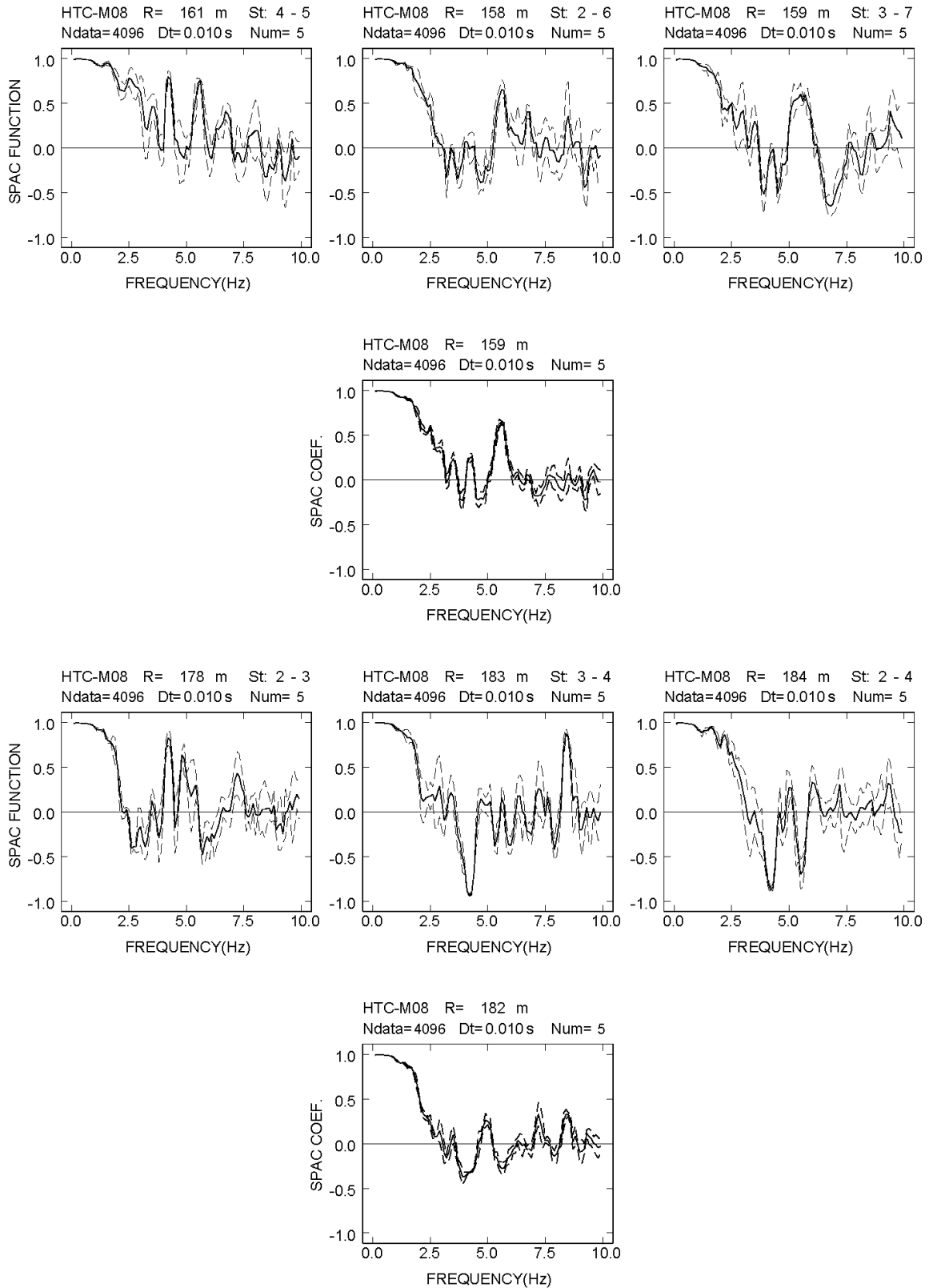
付図 2-11a-(21) 日立 M アレイにおける各地震計間隔での空間自己相関係数



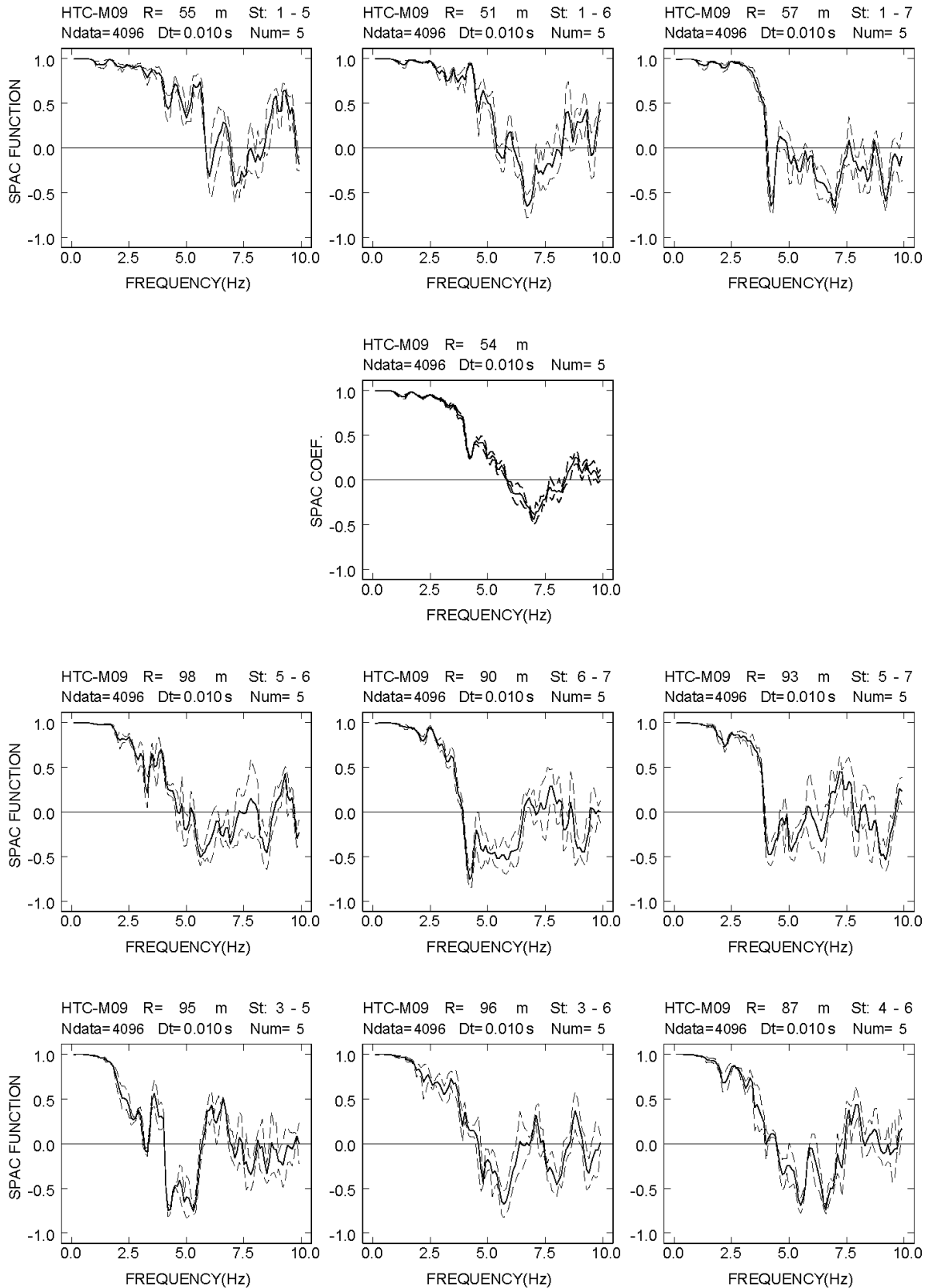
付図 2-11a-(22) 日立 M アレイにおける各地震計間隔での空間自己相関係数



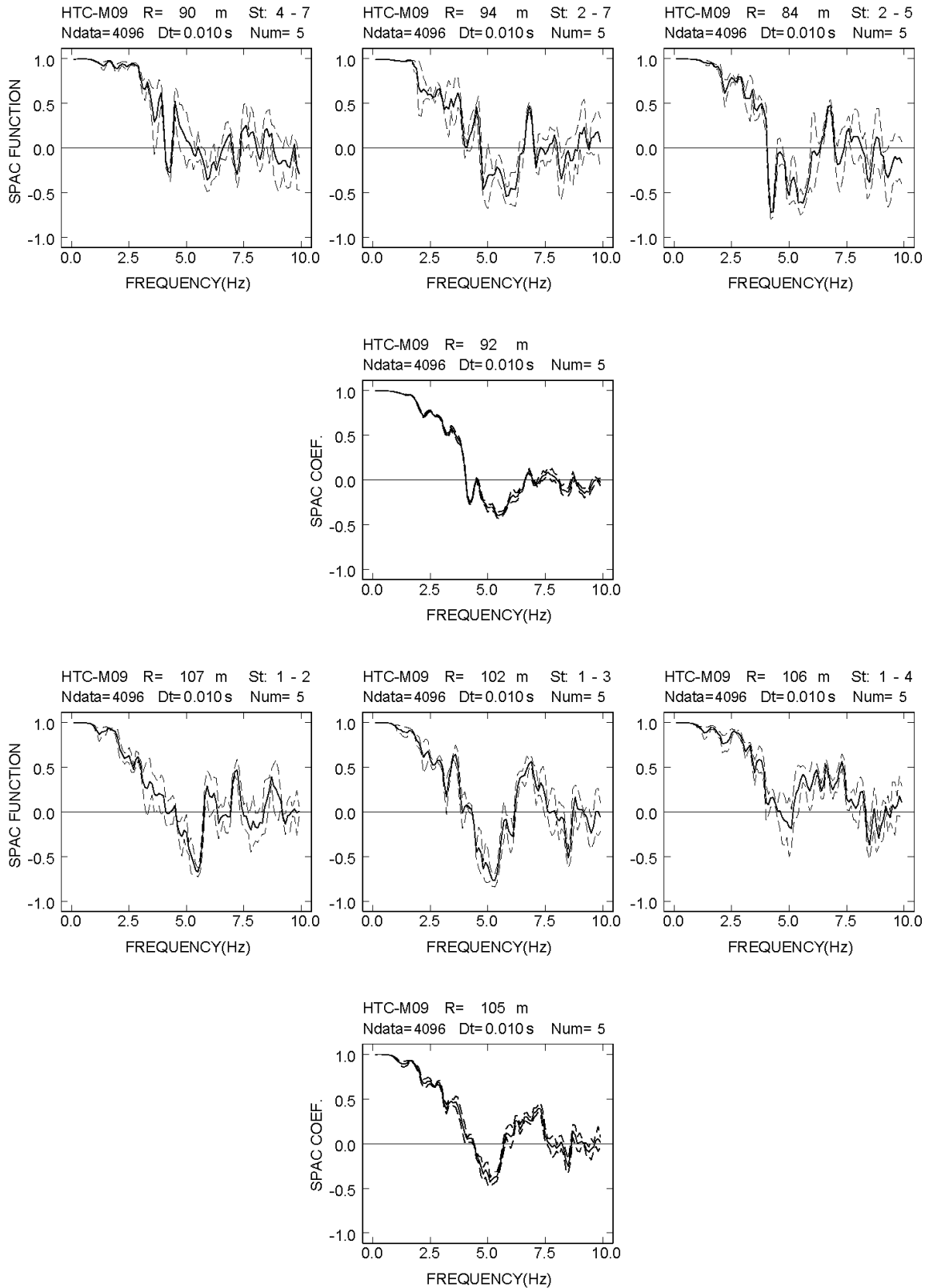
付図 2-11a-(23) 日立 M アレイにおける各地震計間隔での空間自己相関係数



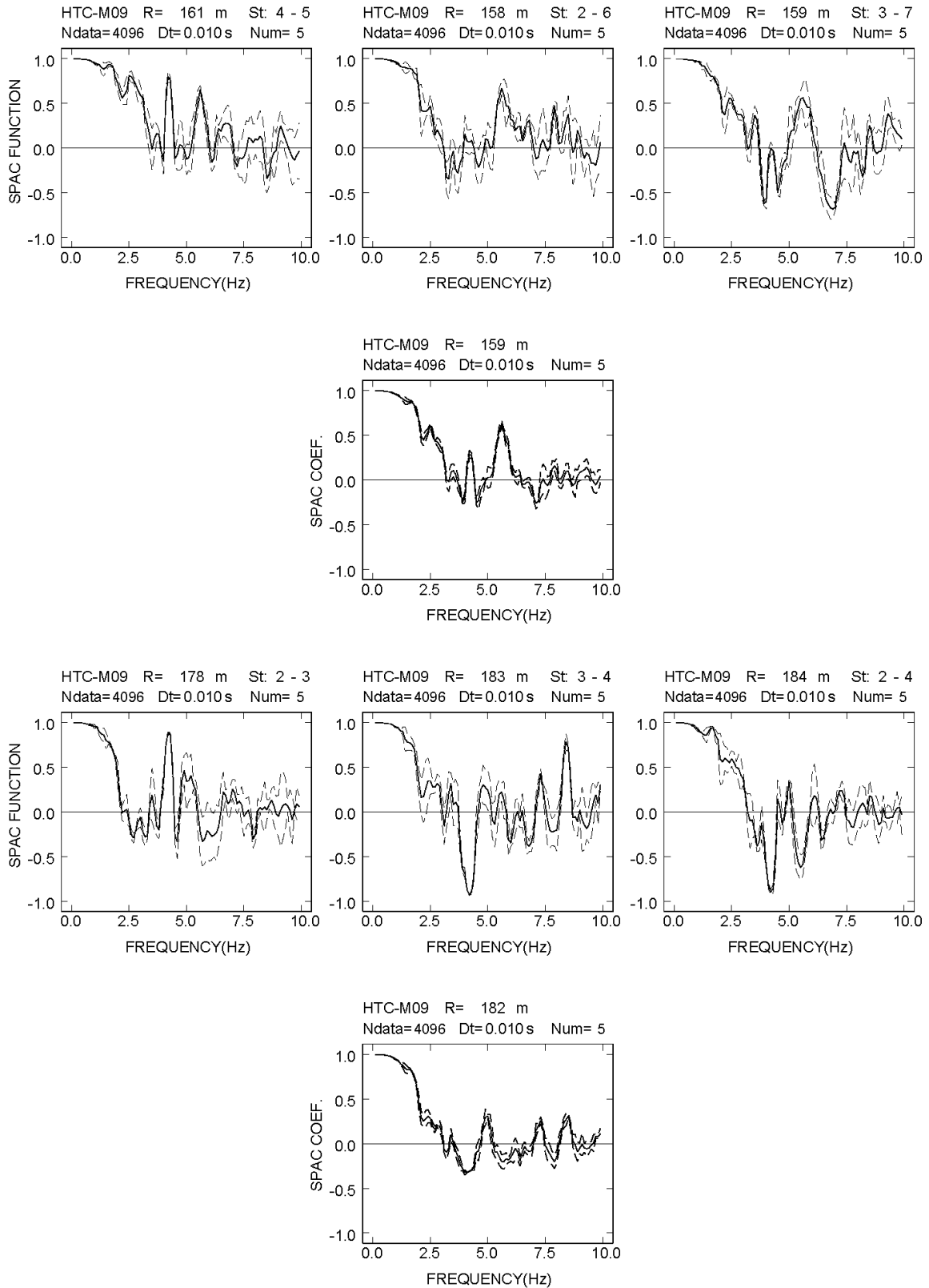
付図 2-11a-(24) 日立 M アレイにおける各地震計間隔での空間自己相関係数



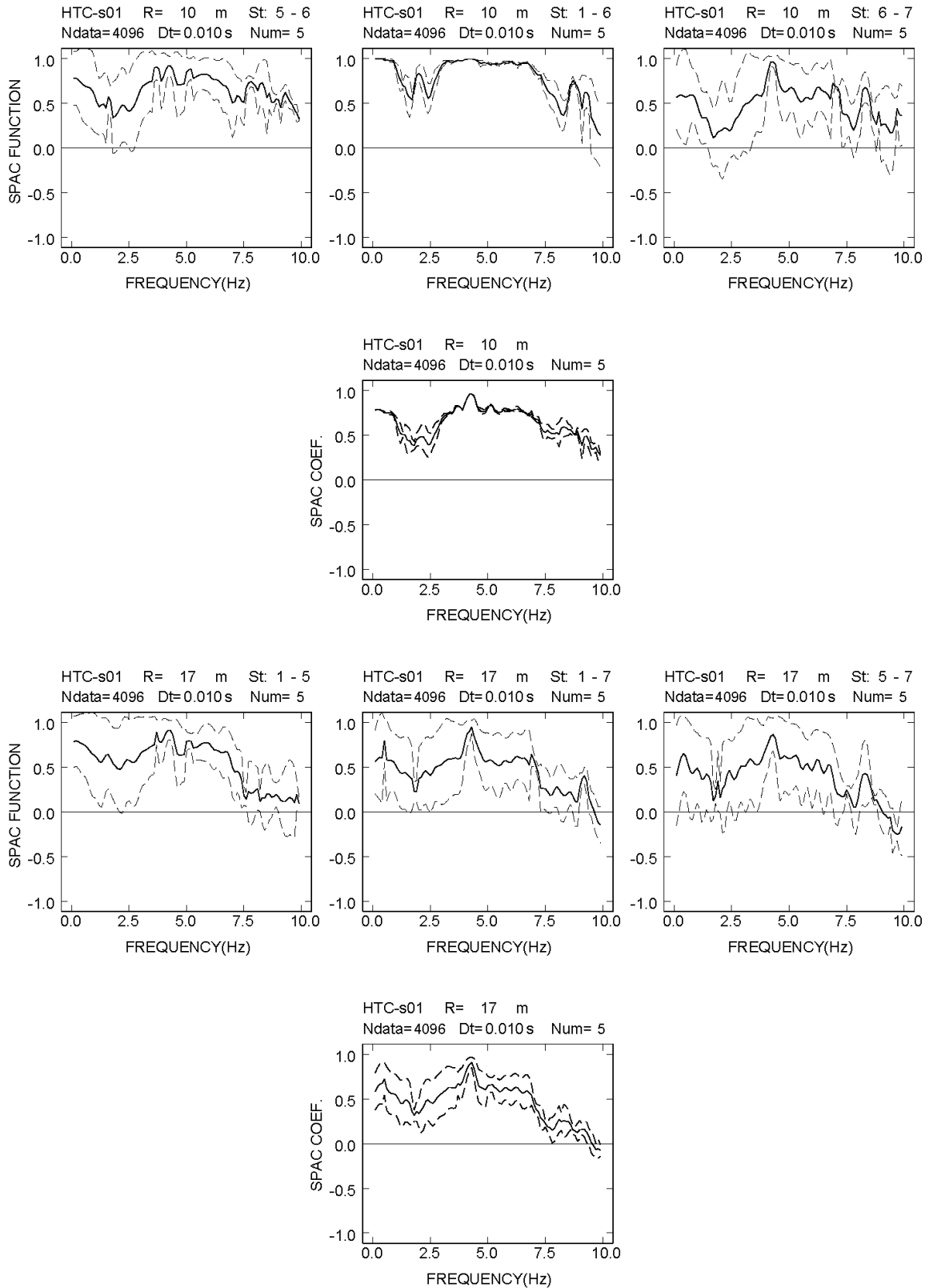
付図 2-11a-(25) 日立 M アレイにおける各地震計間隔での空間自己相関係数



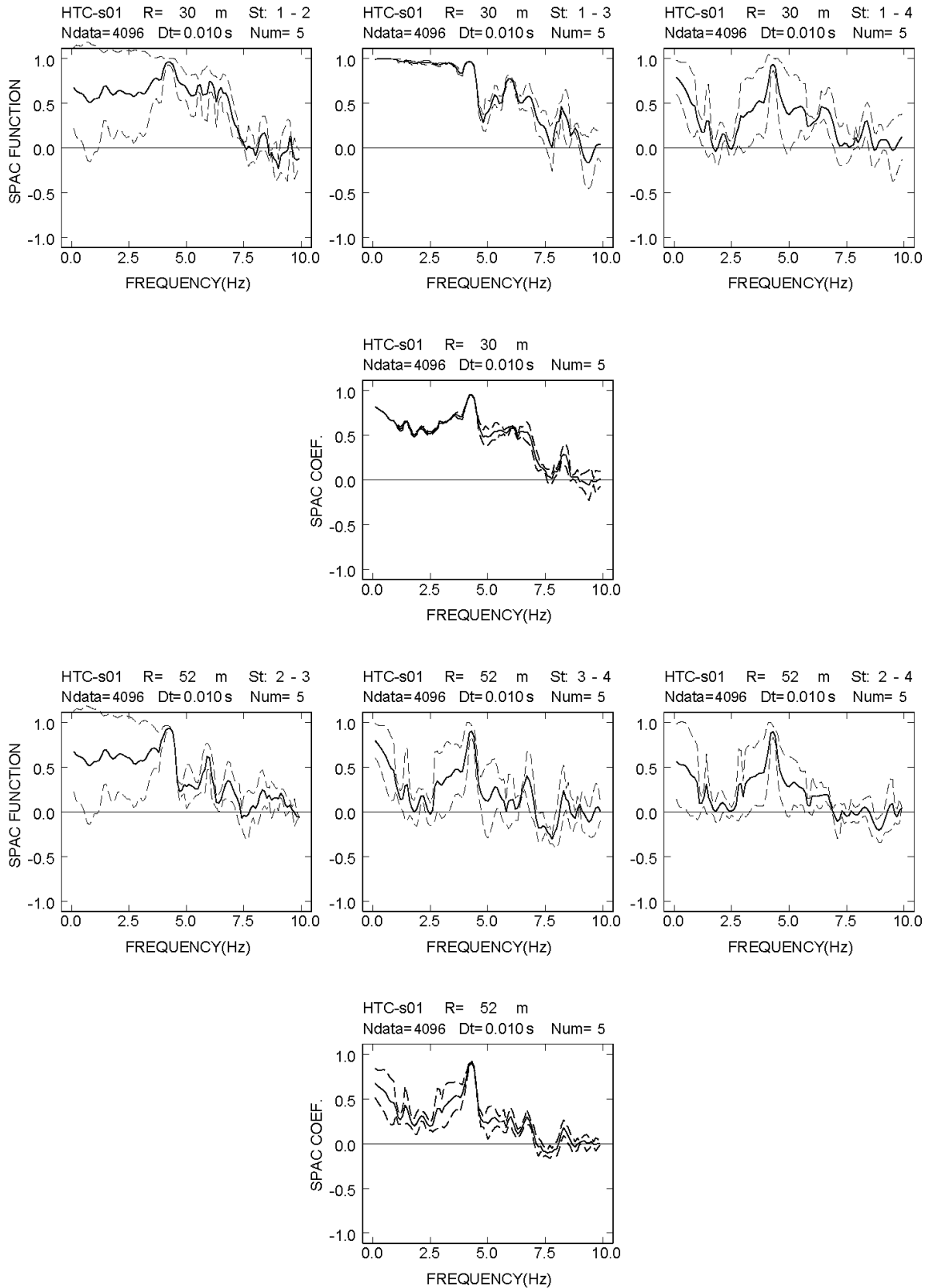
付図 2-11a-(26) 日立 M アレイにおける各地震計間隔での空間自己相関係数



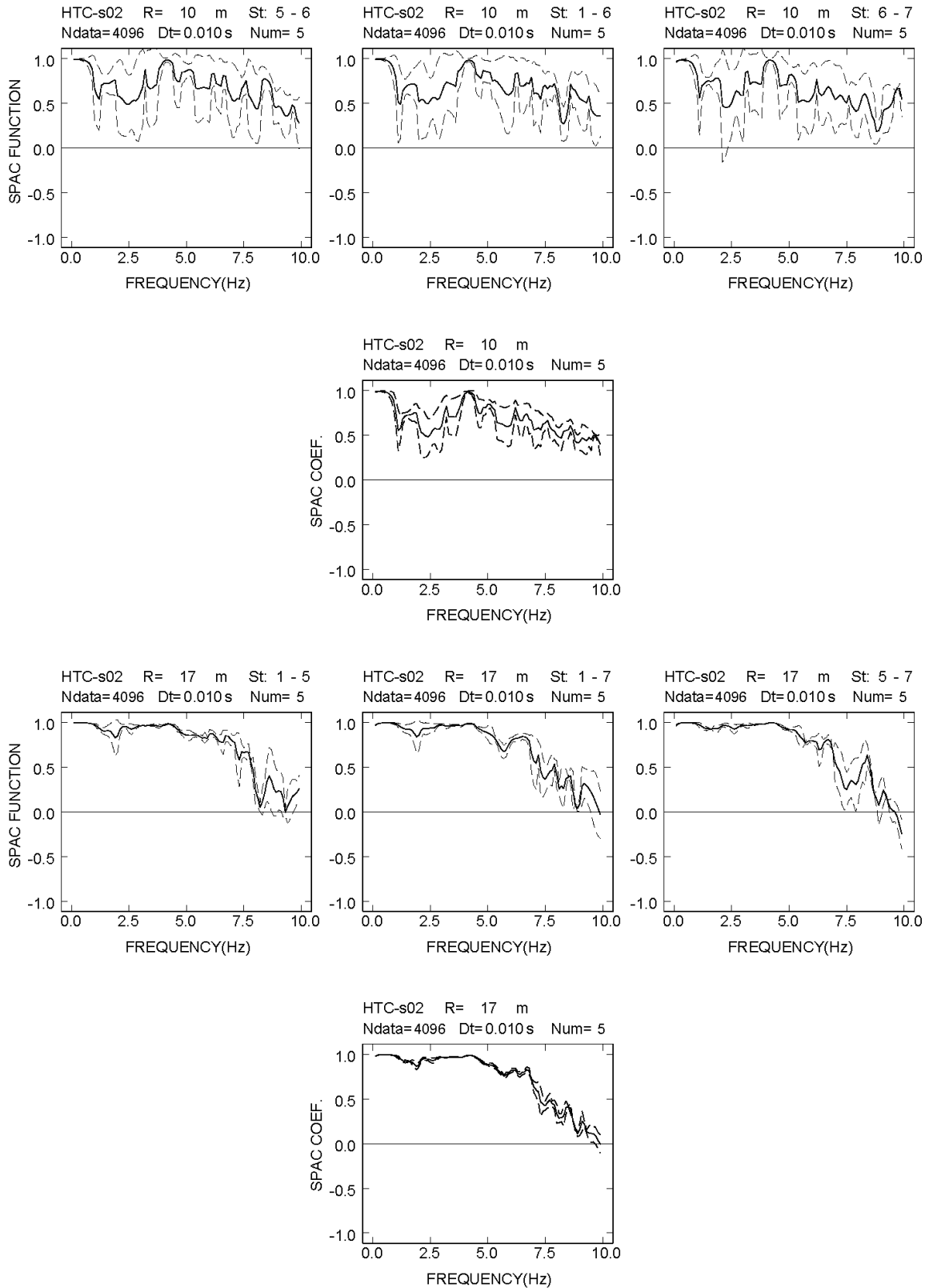
付図 2-11a-(27) 日立 M アレイにおける各地震計間隔での空間自己相関係数



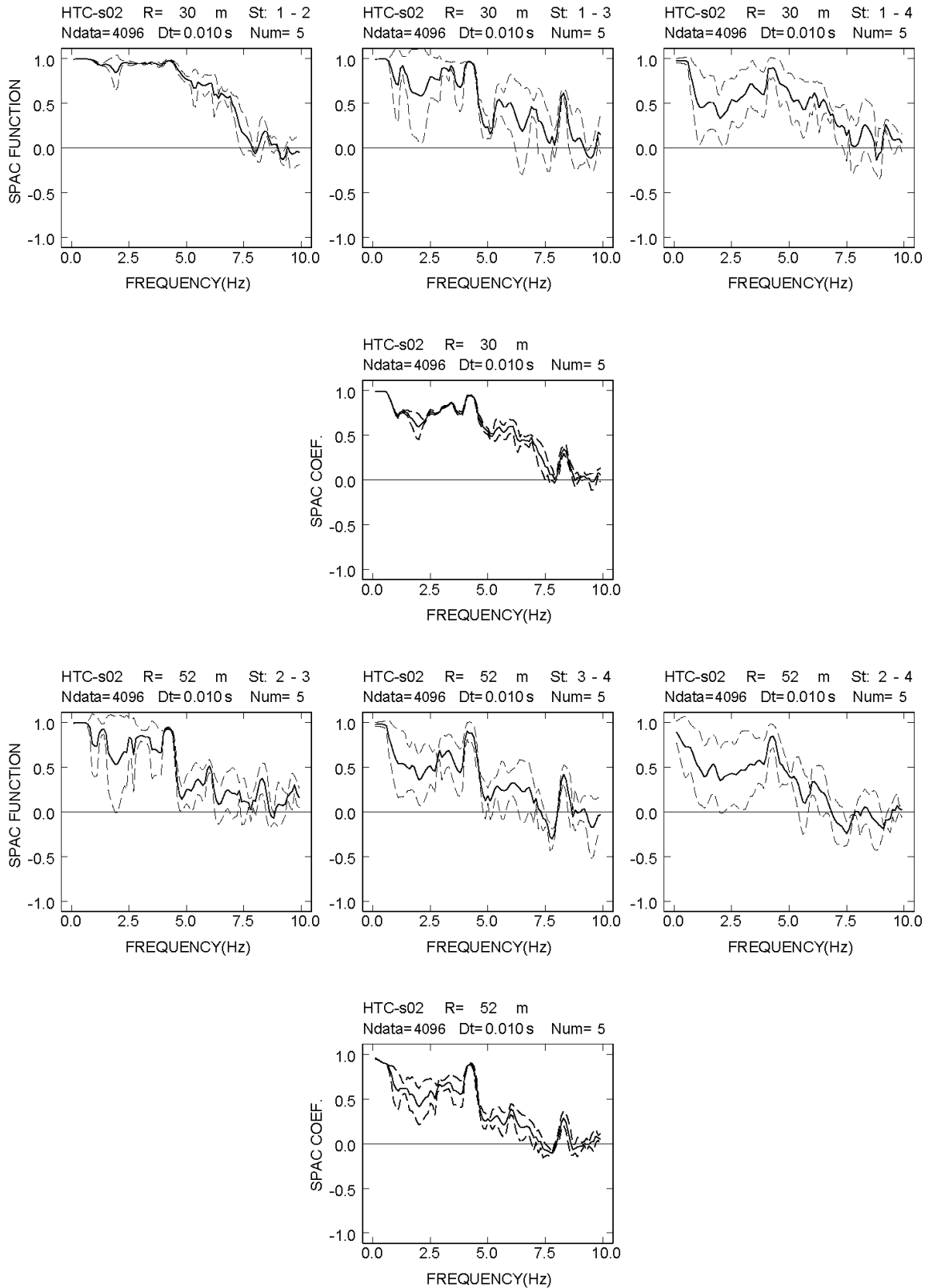
付図 2-12a-(1) 日立 S アレイにおける各地震計間隔での空間自己相関係数



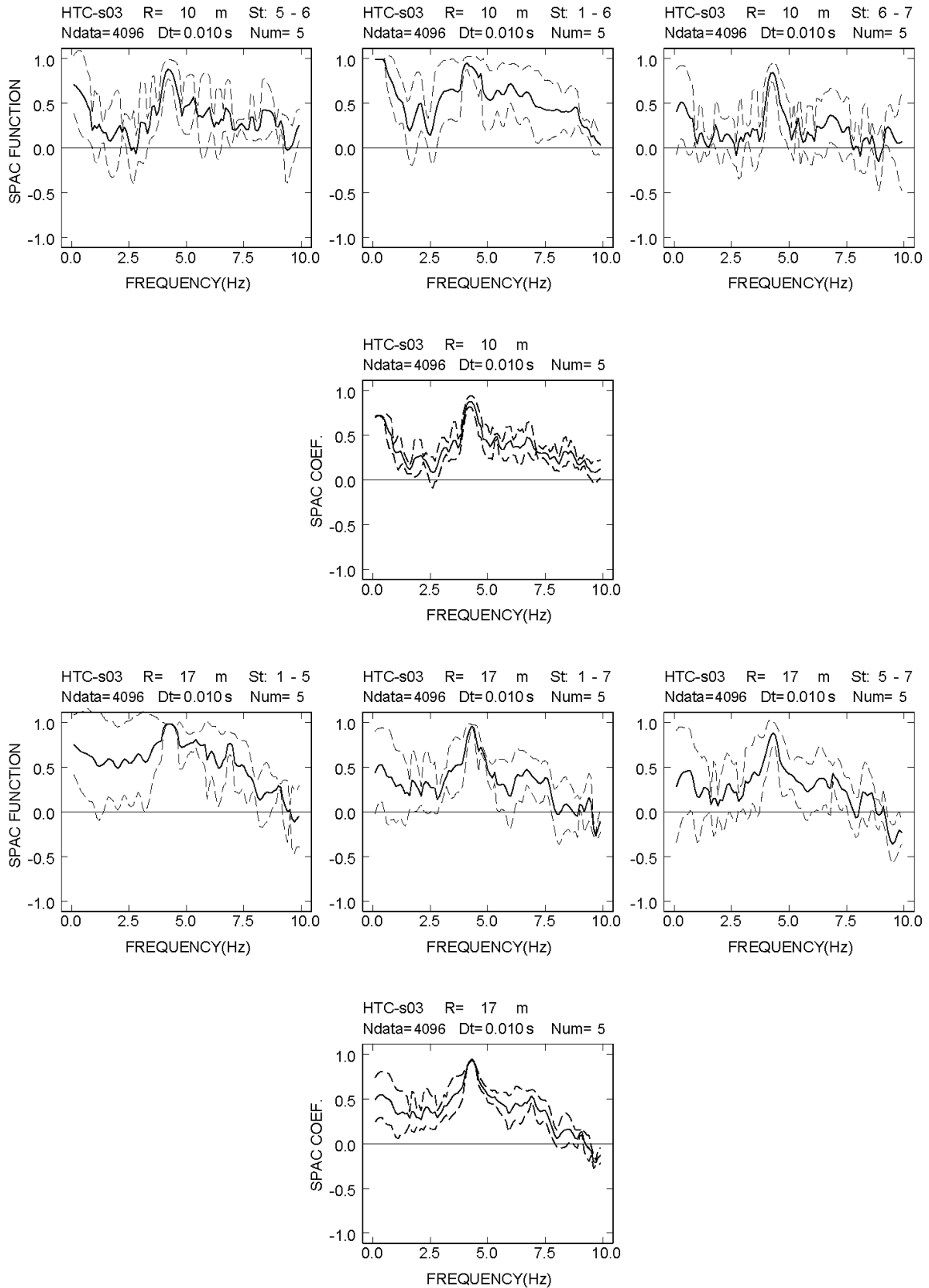
付図 2-12a-(2) 日立 S アレイにおける各地震計間隔での空間自己相関係数



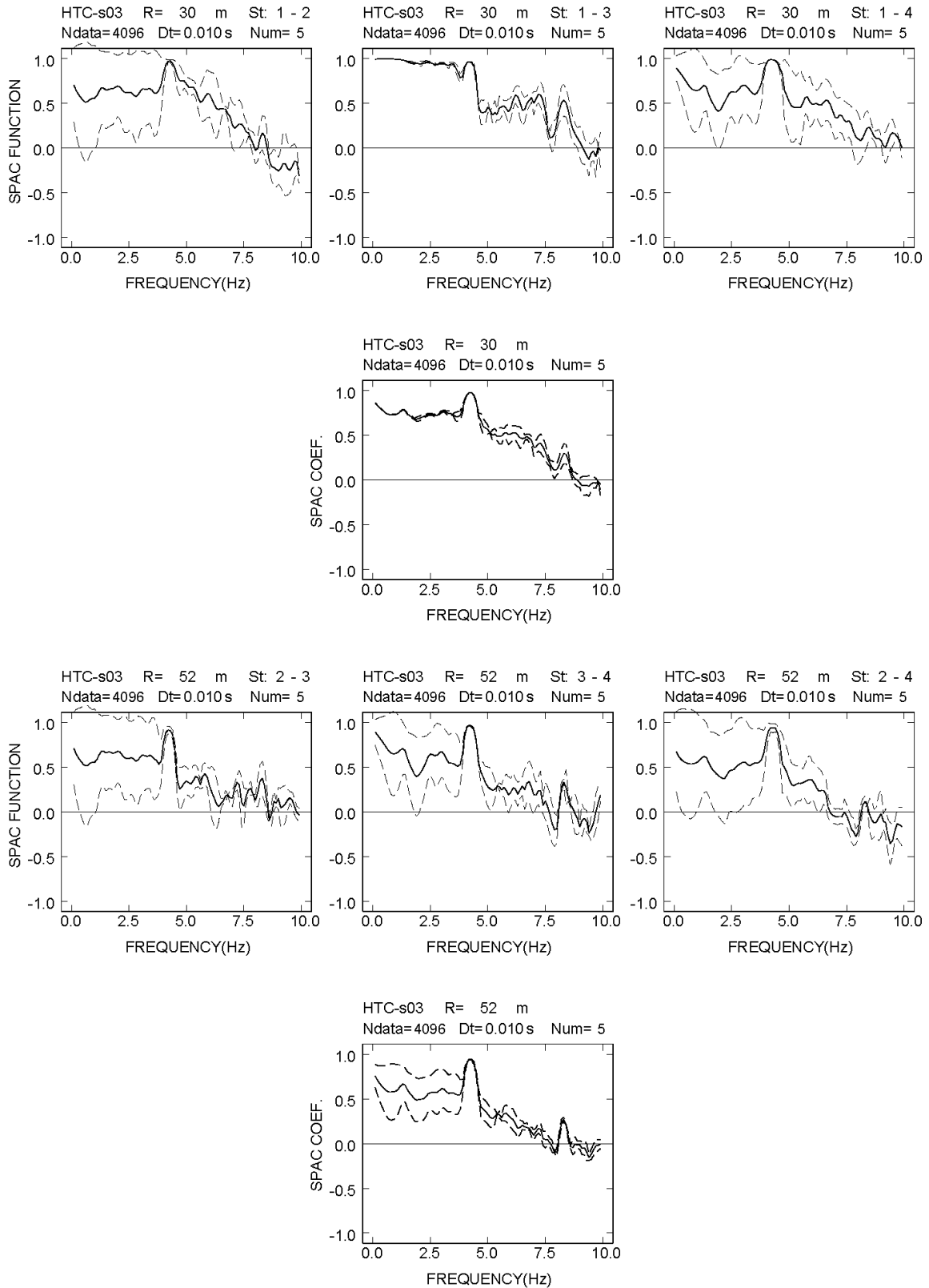
付図 2-12a-(3) 日立 S アレイにおける各地震計間隔での空間自己相関係数



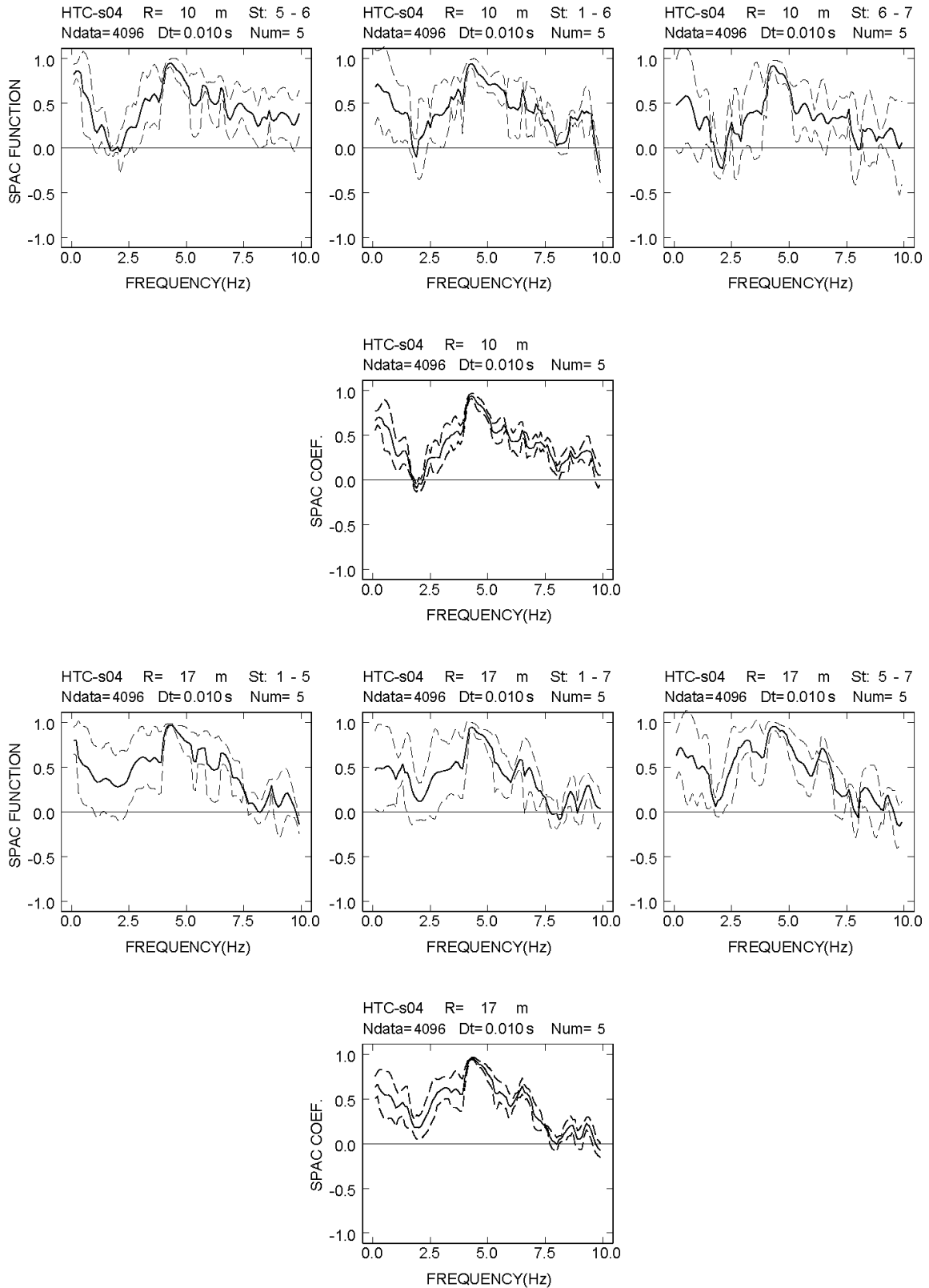
付図 2-12a-(4) 日立 S アレイにおける各地震計間隔での空間自己相関係数



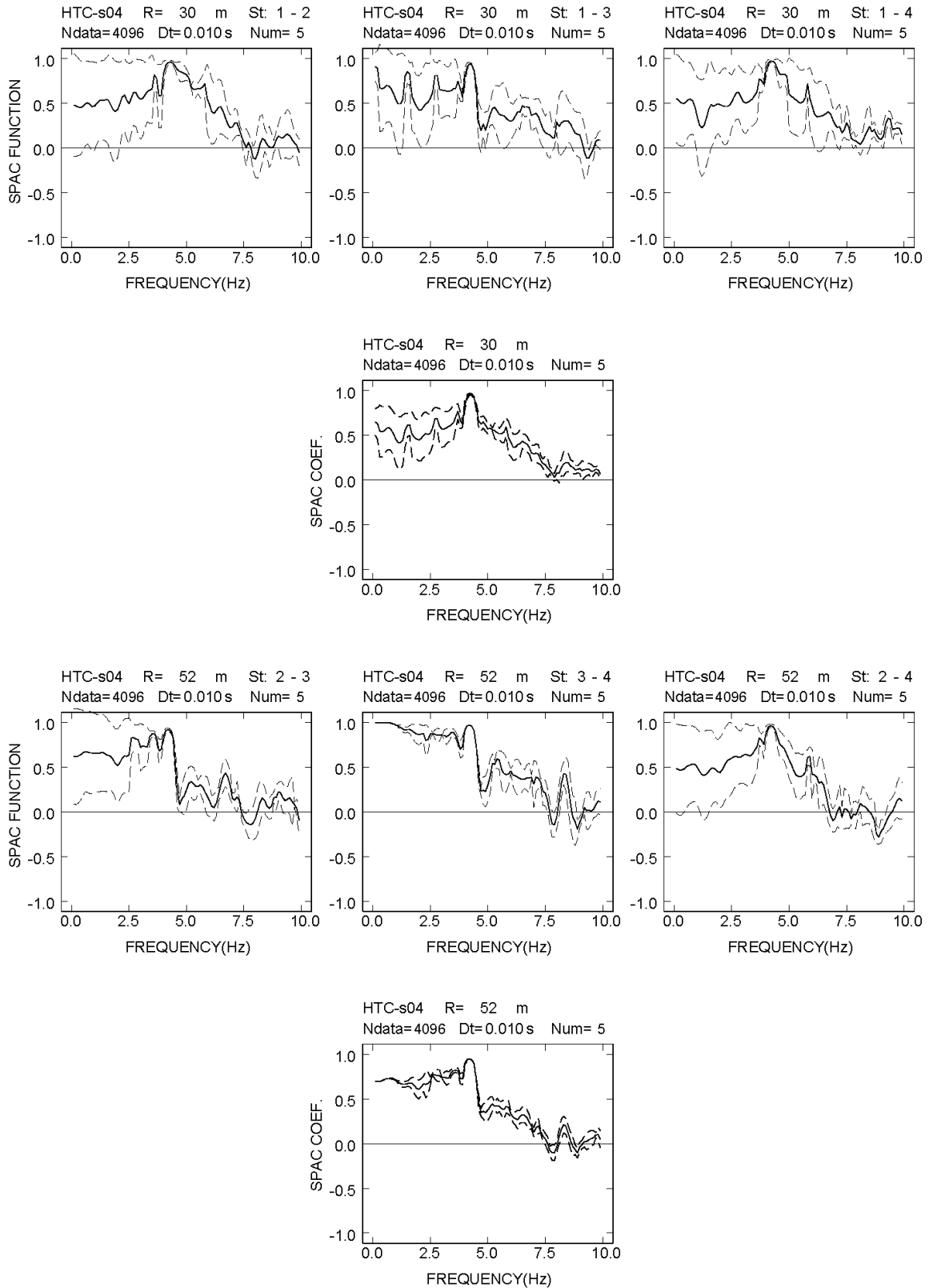
付図 2-12a-(5) 日立 S アレイにおける各地震計間隔での空間自己相関係数



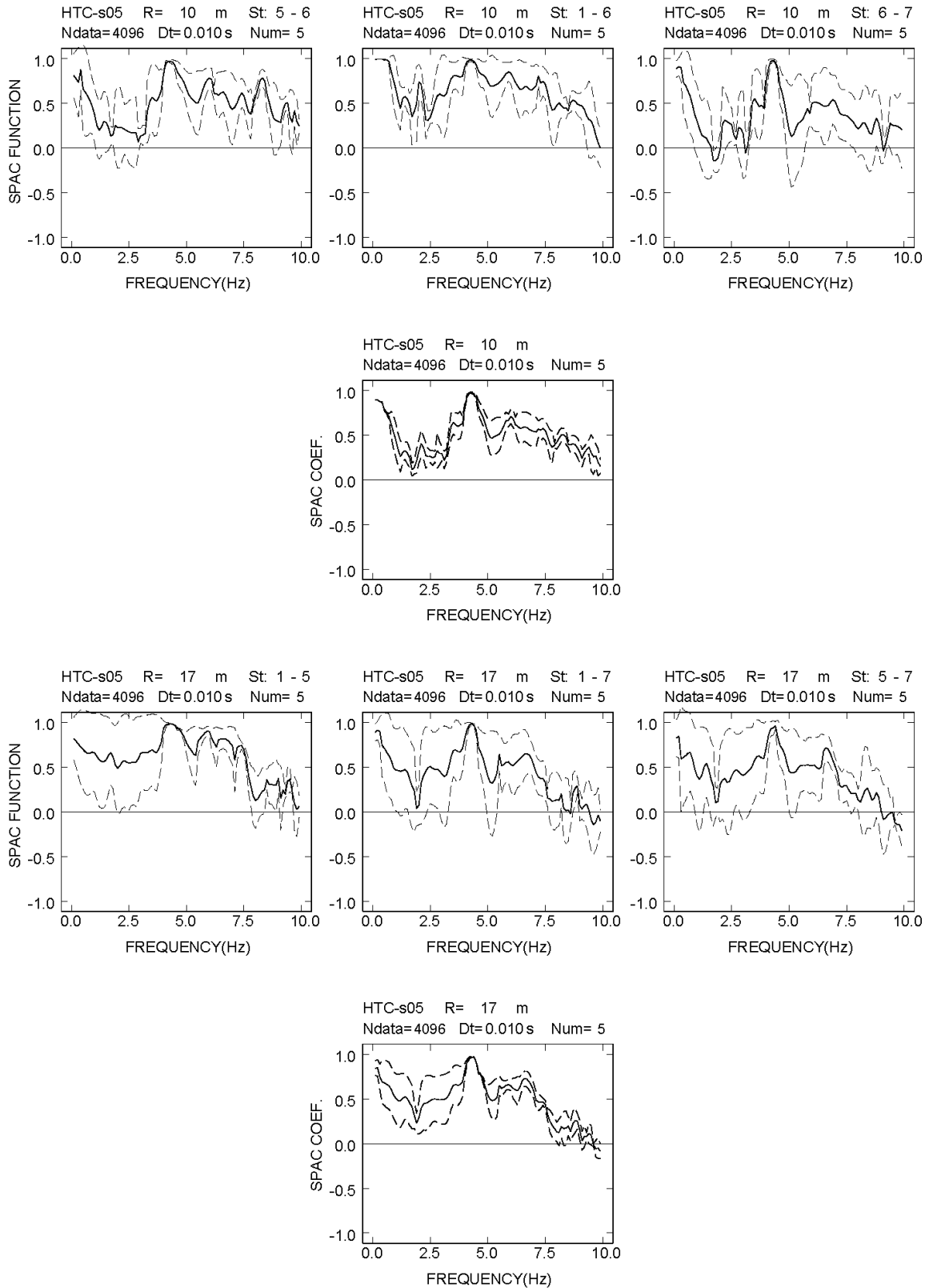
付図 2-12a-(6) 日立 S アレイにおける各地震計間隔での空間自己相関係数



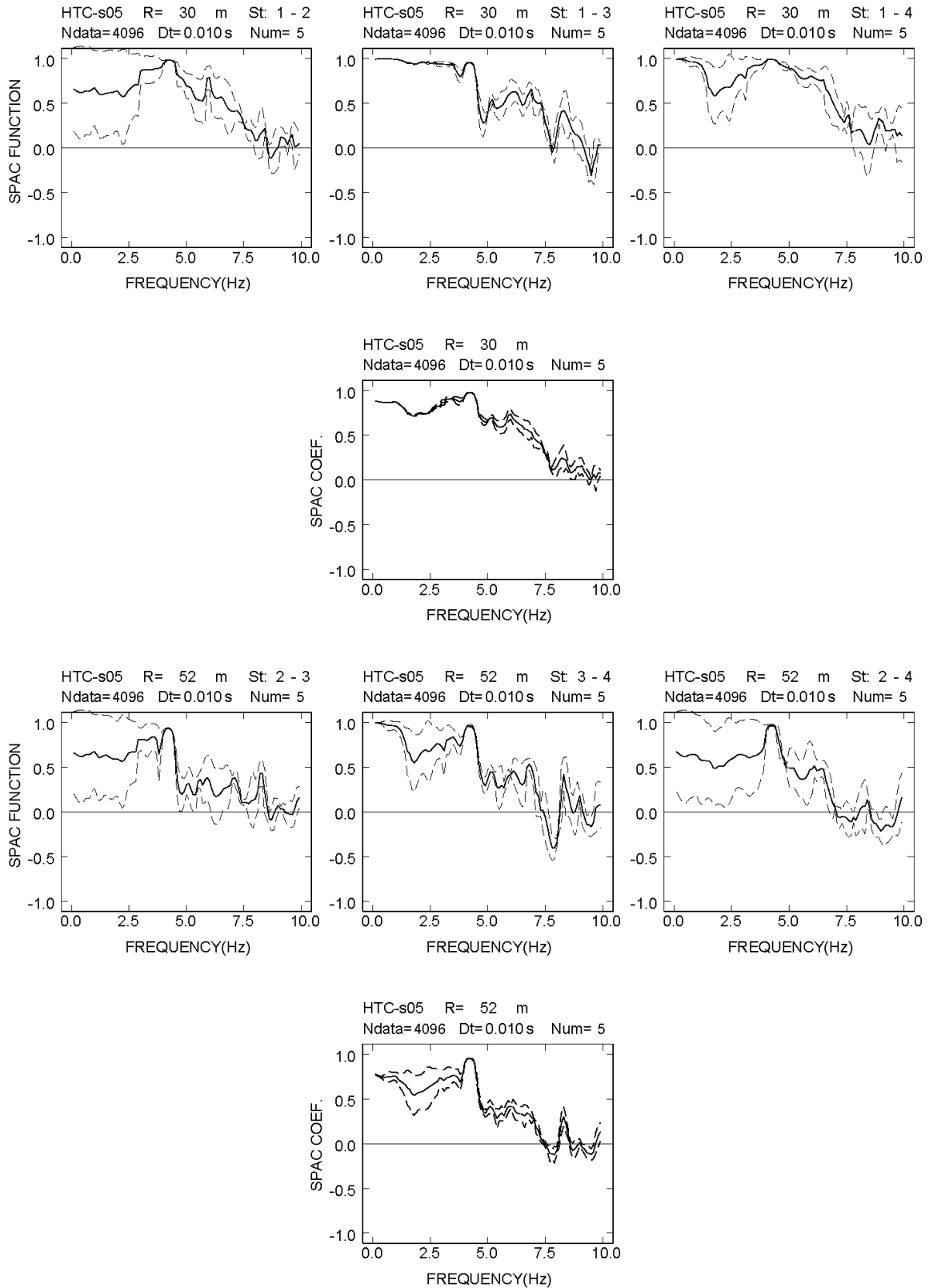
付図 2-12a-(7) 日立 S アレイにおける各地震計間隔での空間自己相関係数



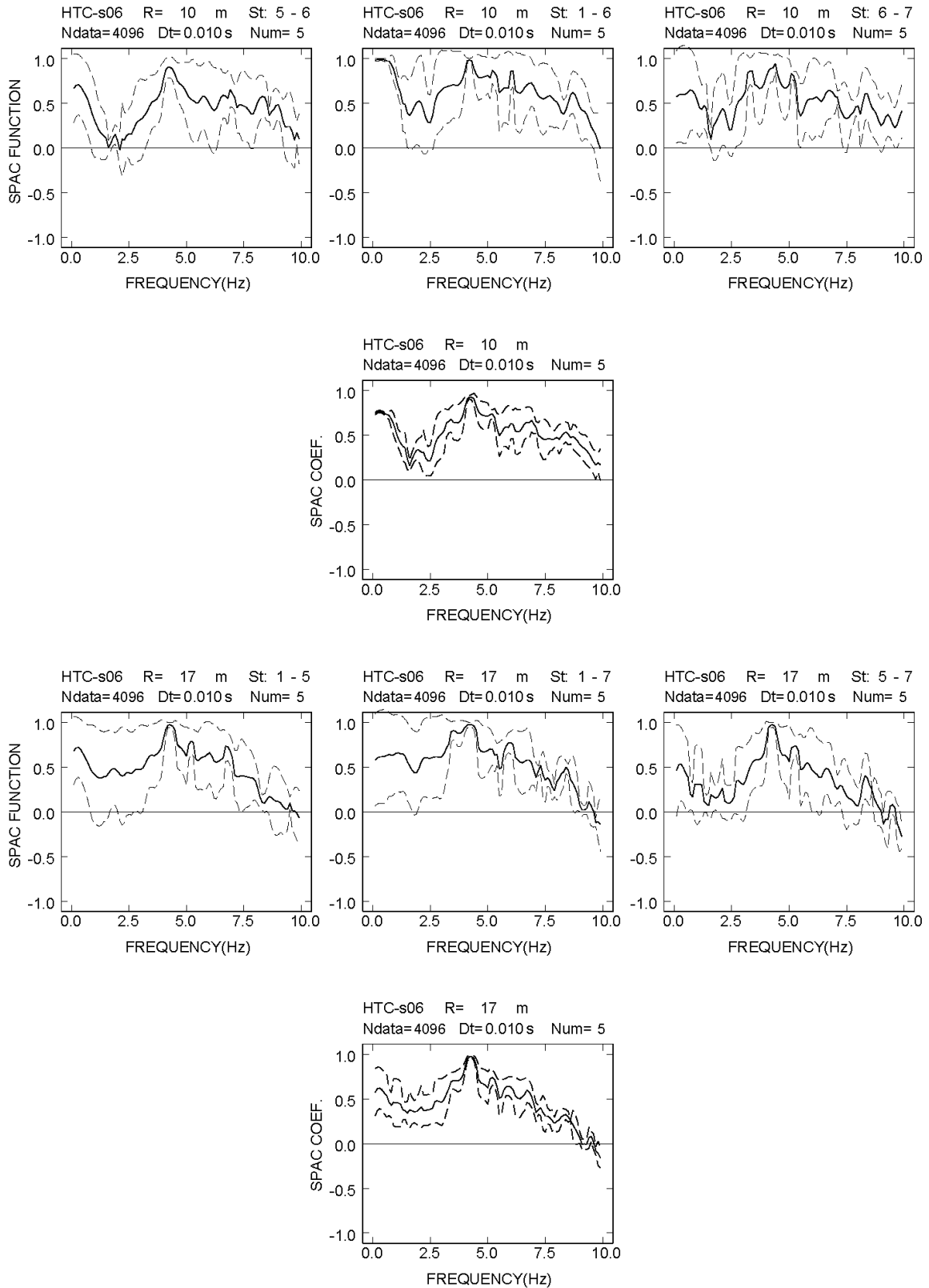
付図 2-12a-(8) 日立 S アレイにおける各地震計間隔での空間自己相関係数



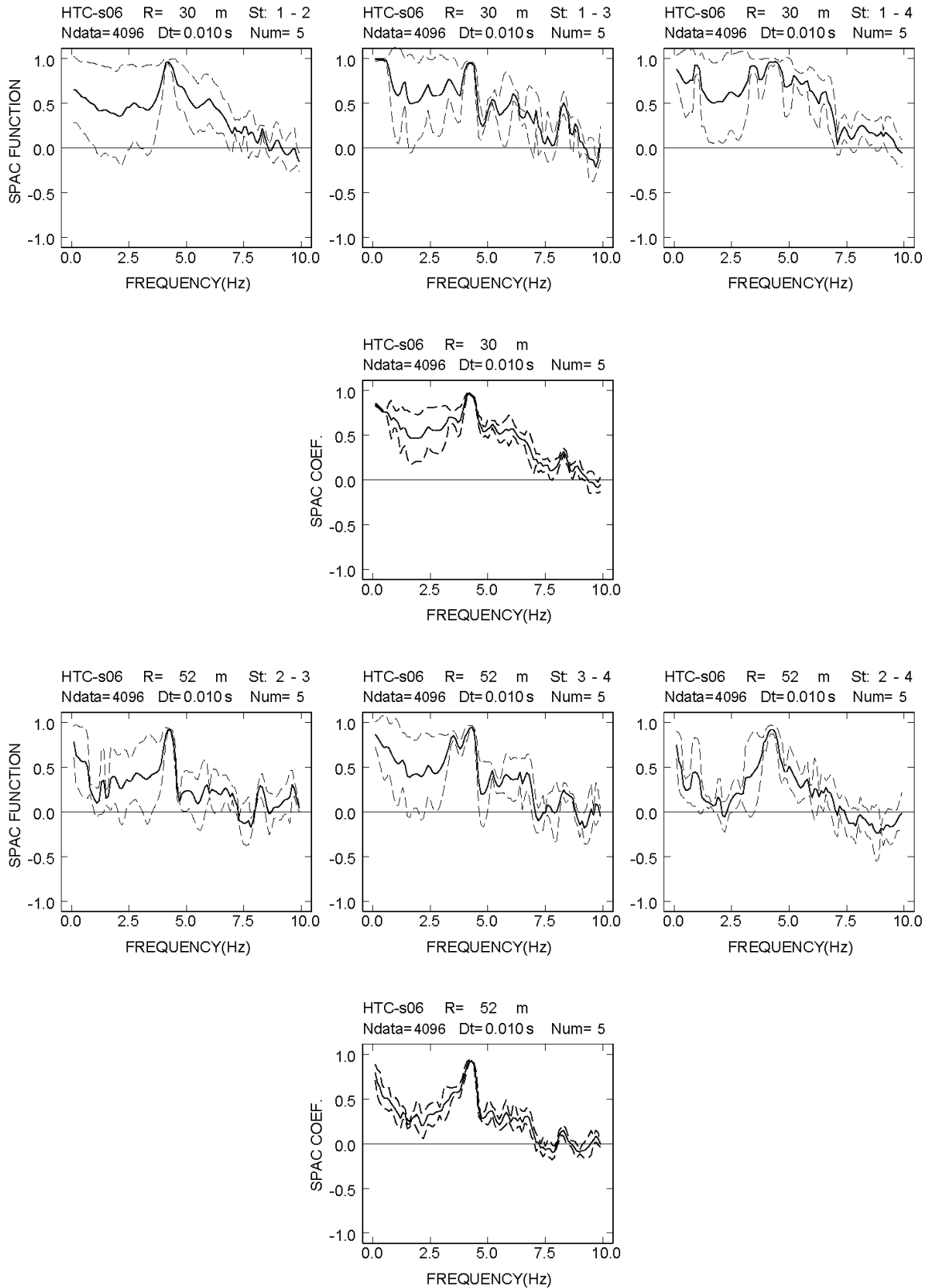
付図 2-12a-(9) 日立 S アレイにおける各地震計間隔での空間自己相関係数



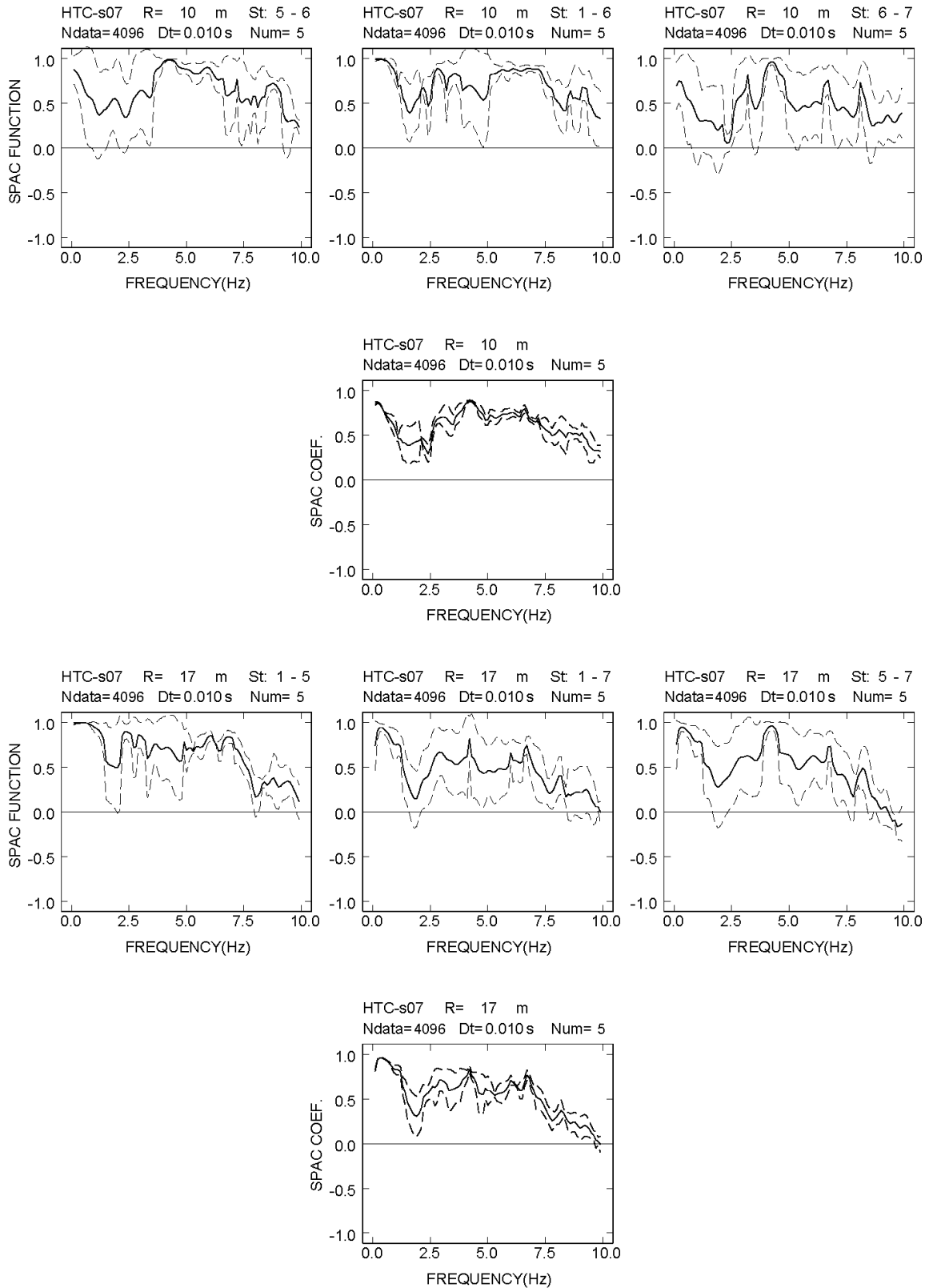
付図 2-12a-(10) 日立 S アレイにおける各地震計間隔での空間自己相関係数



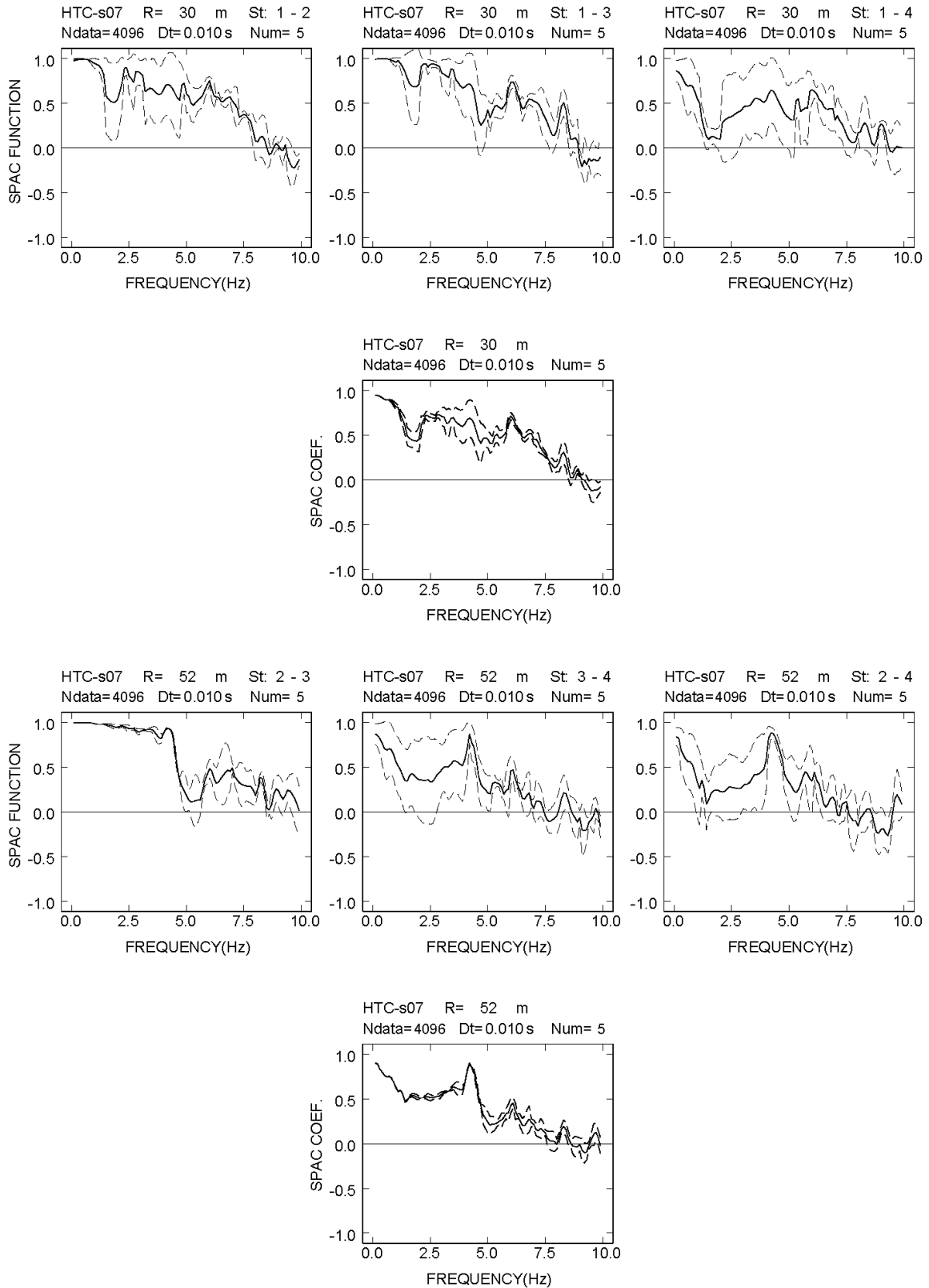
付図 2-12a-(11) 日立 S アレイにおける各地震計間隔での空間自己相関係数



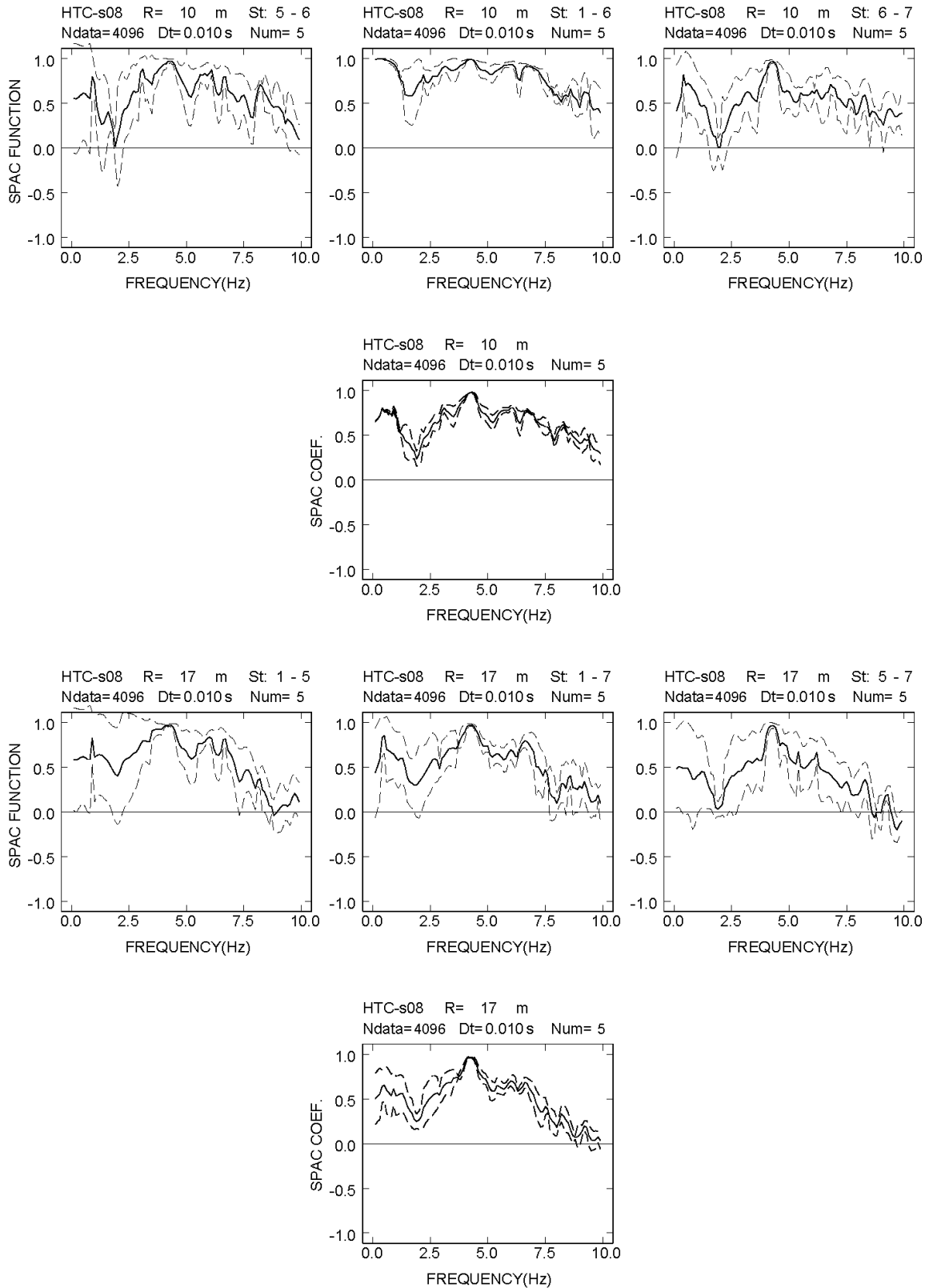
付図 2-12a-(12) 日立 S アレイにおける各地震計間隔での空間自己相関係数



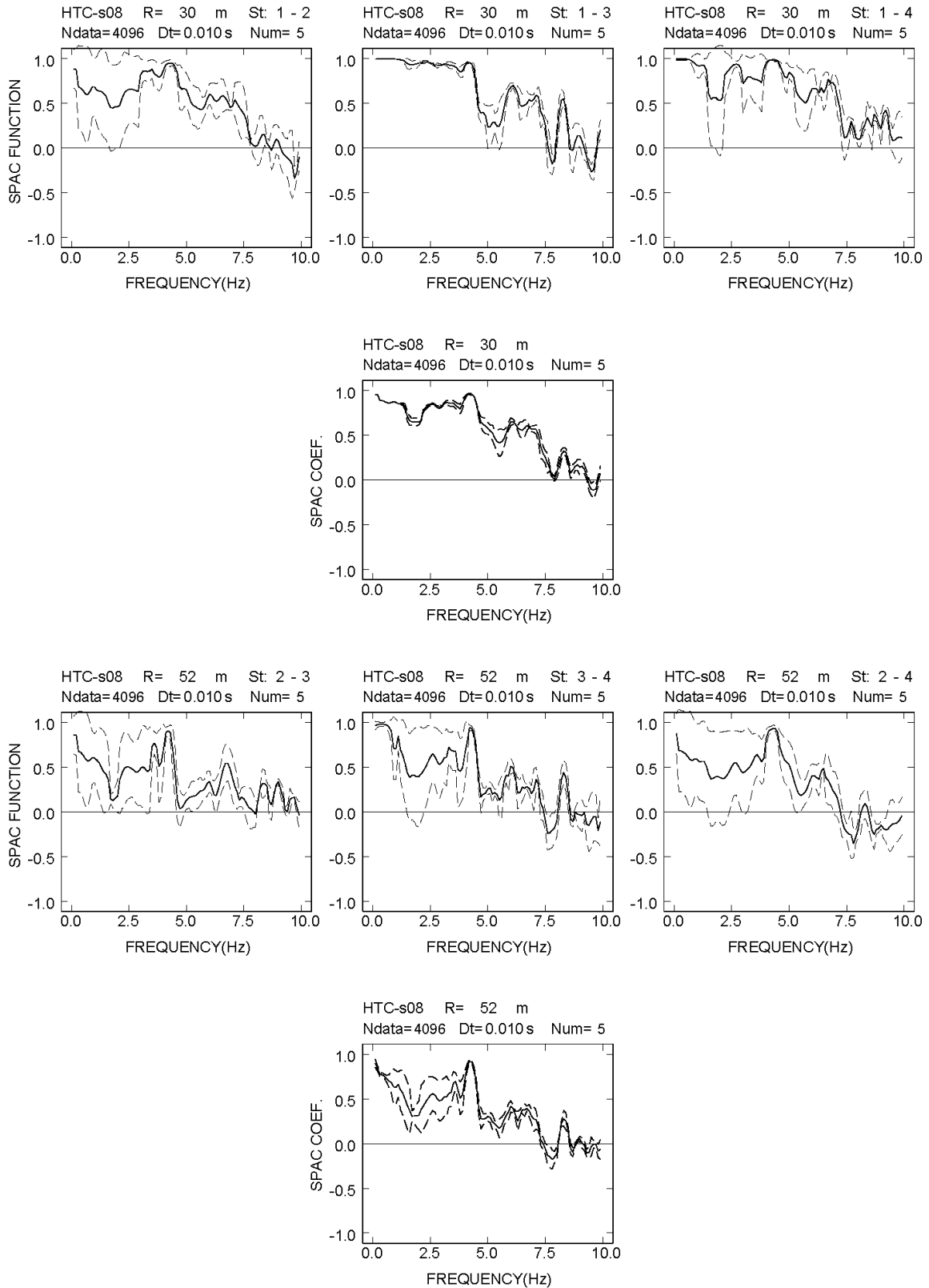
付図 2-12a-(13) 日立 S アレイにおける各地震計間隔での空間自己相関係数



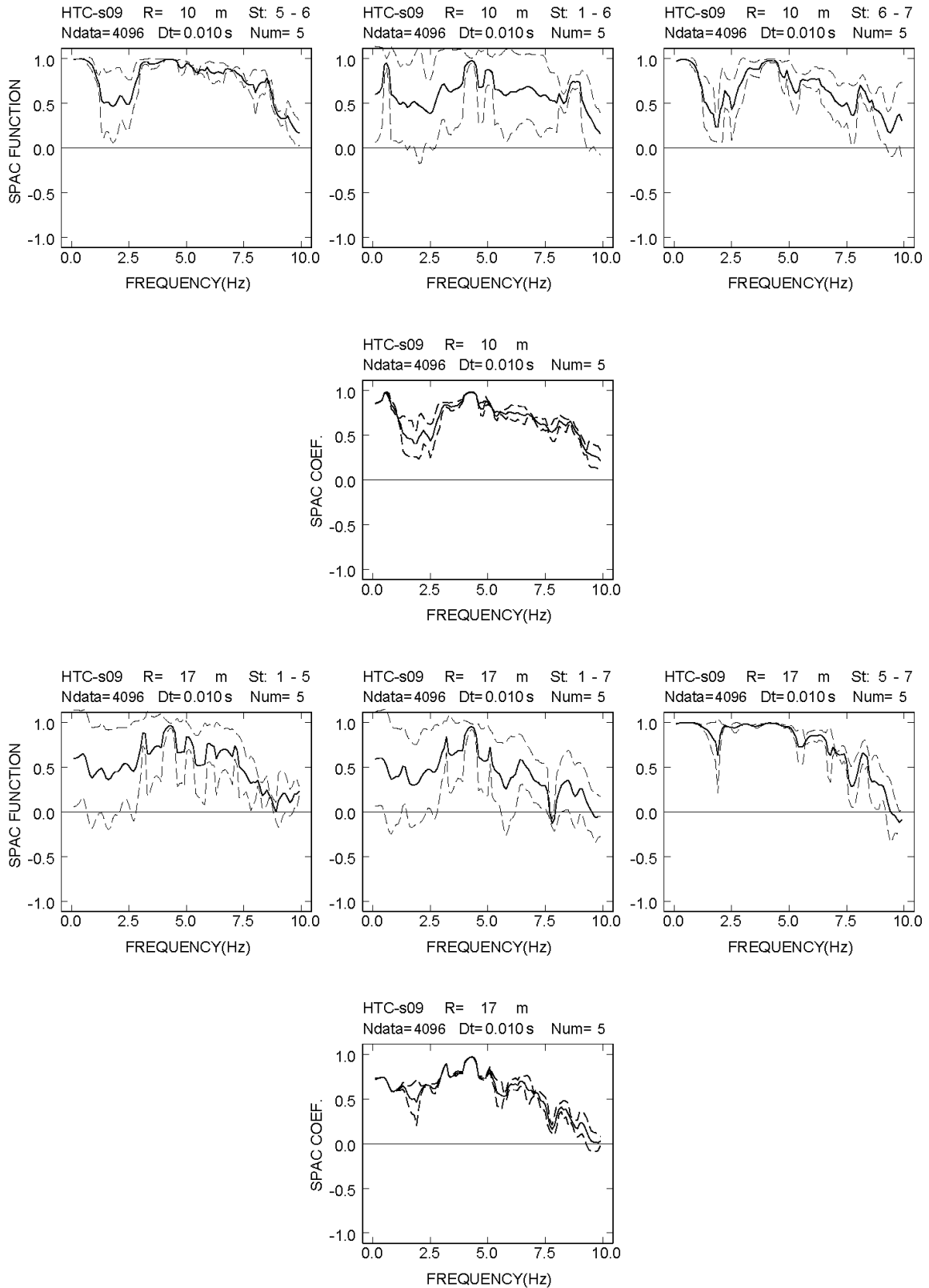
付図 2-12a-(14) 日立 S アレイにおける各地震計間隔での空間自己相関係数



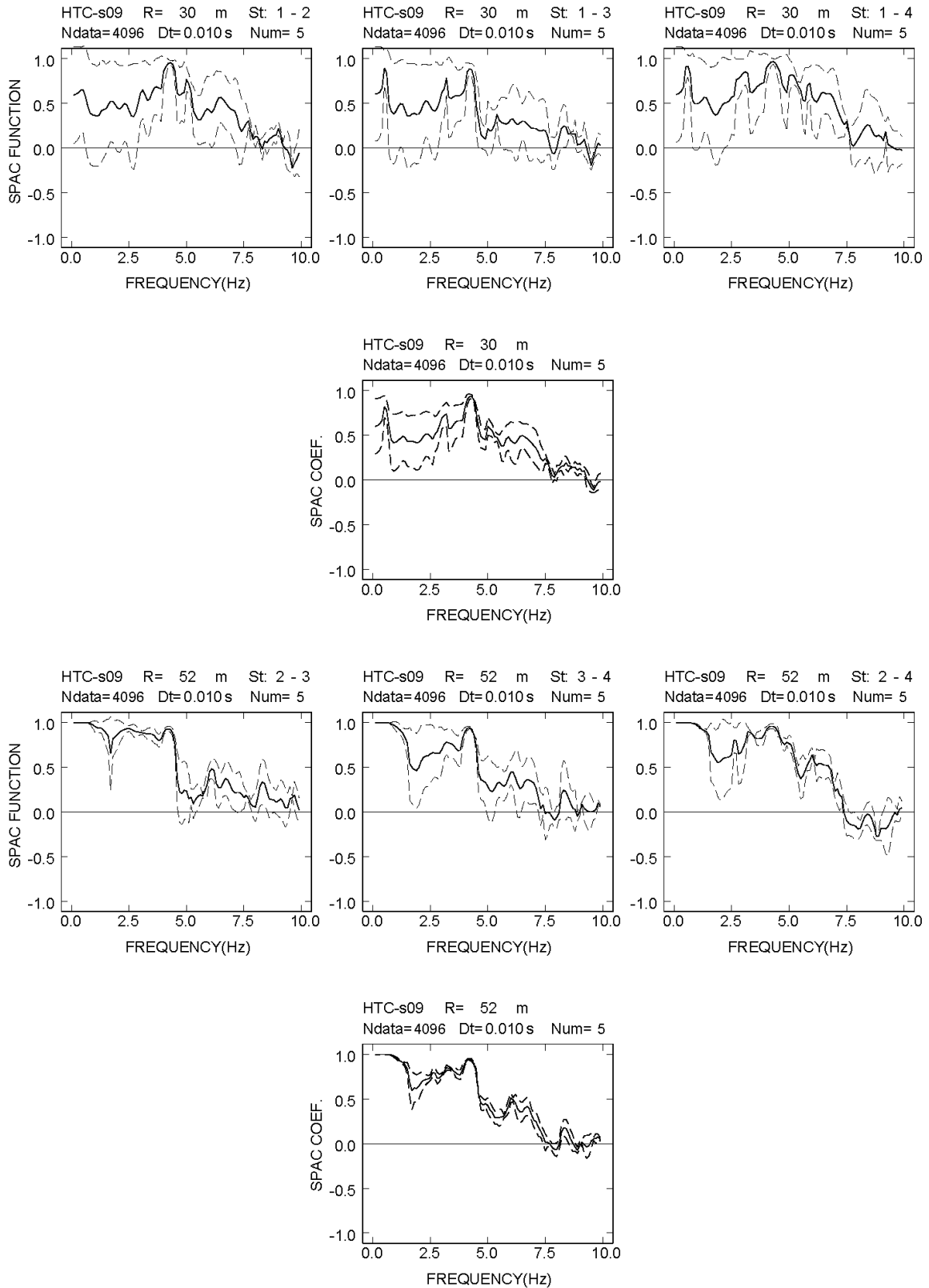
付図 2-12a-(15) 日立 S アレイにおける各地震計間隔での空間自己相関係数



付図 2-12a-(16) 日立 S アレイにおける各地震計間隔での空間自己相関係数



付図 2-12a-(17) 日立 S アレイにおける各地震計間隔での空間自己相関係数



付図 2-12a-(18) 日立 S アレイにおける各地震計間隔での空間自己相関係数